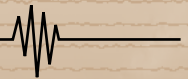


Revisión del Catálogo Sísmico de las Islas Canarias (1341-2000)



GOBIERNO
DE ESPAÑA

MINISTERIO
DE TRANSPORTES, MOVILIDAD
Y AGENDA URBANA

INSTITUTO
GEOGRÁFICO
NACIONAL



Revisión del Catálogo Sísmico
de las Islas Canarias
(1341-2000)



1ª Edición

Revisión del catálogo sísmico de las Islas Canarias (1341-2000)

Editado en Septiembre de 2020

Catálogo de publicaciones de la Administración General del Estado

<https://cpage.mpr.gob.es>

Grupo de trabajo

© INSTITUTO GEOGRÁFICO NACIONAL, 2020, Observatorio Geofísico Central:

Juan José Rueda Núñez (Coordinador)

Rafael Abella Meléndez

María José Blanco Sánchez

Eduardo Andrés Díaz Suárez

Itahiza Francisco Domínguez Cerdeña

Jorge Domínguez Valbuena

María Fernández de Villalta Compagni

Carmen del Fresno Rodríguez-Portugal

Rubén López Díaz

Carmen López Moreno

Marina López Muga

Antonio Muñoz Santamaría

UNIVERSIDAD POLITÉCNICA DE MADRID,

Escuela Técnica Superior de Ingenieros en Topografía, Geodesia y Cartografía:

Cintia Sánchez Sanz

FUNDACIÓN JOSÉ GARCÍA-SIÑERIZ:

Julio Mezcua Rodríguez

Edita:

© De esta edición Centro Nacional de Información Geográfica, 2020.

Diseño y maquetación:

Servicio de Edición y Trazado (IGN)

(Subdirección General de Geodesia y Cartografía).

NIPO papel: 798-20-051-8

NIPO digital: 798-20-052-3

DOI: 10.7419/162.34.2020

ISBN: 978-84-416-5653-6

Deposito Legal: M-19868-2020

Los derechos de la presente edición digital son del editor.

La difusión electrónica masiva debe hacerse a través de un enlace al apartado correspondiente de la página web oficial.



CNIG:

Calle General Ibañez de Ibero, 3

28003 - Madrid (España)

cnig.es

consulta@cnig.es

PRÓLOGO

Las diferentes crisis sísmo-volcánicas ocurridas en los últimos años en el archipiélago canario, culminaron con la acaecida en la isla de El Hierro en los años 2011-2012 y la correspondiente erupción marina en octubre de 2011. Esta erupción, cuarenta años después de la del volcán Teneguía (La Palma, 1971), coincidió en el tiempo con el desarrollo en el IGN de un Plan Integral de Vigilancia Volcánica, que ha logrado que en estos momentos, el archipiélago canario cuente con uno de los más completos y modernos sistemas de monitorización y vigilancia volcánica desplegados en regiones volcánicas activas del planeta.

Las misiones de vigilancia volcánica en el territorio nacional fueron encomendadas al IGN en el año 2004, mediante el Real Decreto 1476/2004, de 18 de junio. A partir de ese momento se produce en la nueva Unidad de Volcanología, dentro del Observatorio Geofísico Central, la integración de los recursos y del conocimiento que el IGN ha ido acumulando a lo largo de su historia en materias como sismología, geodesia, gravimetría, geomagnetismo y teledetección, que son de aplicación directa a la volcanología y se inicia asimismo en el centro, el desarrollo de otras disciplinas fundamentales para la vigilancia volcánica como son la geoquímica y la geología. En unos pocos años, se ha consolidado en el seno del observatorio un grupo de científicos y técnicos que aprovechando la experiencia del saber de la casa, y después de importantes inversiones en instrumentación, desarrollan con gran profesionalidad y dedicación estas labores de vigilancia del fenómeno natural, tan importantes en este caso para una de las regiones con un volcanismo activo más importante a nivel mundial.

En cuanto a la sismología en el archipiélago canario, desde la creación del Instituto, la observación sismológica en todo el territorio nacional ha sido una de las misiones fundamentales de nuestra institución, que se ha materializado a lo largo de los años en la instalación progresiva sobre el terreno de instrumentación para la medida de los terremotos y su observación. El Observatorio Geofísico de Tenerife fue creado en el año 1952 con la instalación de los primeros sismógrafos con registro continuo en el Cabildo Insular de Santa Cruz de Tenerife. Desde ese momento hasta el actual, en el que la Red Sísmica Nacional en Canarias cuenta con un total de 70 estaciones sísmicas, que transmiten sus datos en tiempo real a la Unidad de Vigilancia Volcánica, decenas de compañeros han prestado servicio en el Observatorio, más tarde Centro Geofísico de Canarias, con gran dedicación y responsabilidad. Esta publicación que hoy presentamos recoge, en gran medida, el trabajo y el esfuerzo de todos ellos.

El IGN es el depositario de gran parte de la historia sísmica de España. En sus archivos se encuentran contenidos no solamente los sismogramas registrados desde su inicio, sino también los proyectos de instalaciones y los resultados de las interpretaciones realizadas a lo largo de los años por los sismólogos de la institución. Entre esta importante documentación, se encuentran los catálogos sísmicos, que se alimentan actualmente de la información instrumental de la moderna Red Sísmica Nacional, pero también y de importancia fundamental, de las referencias históricas sobre fenómenos sísmicos acontecidos en el pasado. Esta última parte es fundamental para la completitud de los catálogos y su aplicación en los estudios de peligrosidad sísmica. Cuanto más completo sea un catálogo sísmico, con mayor exactitud recogerá la estimación de la aceleración del terremoto, que con un determinado grado de probabilidad ocurrirá en una zona, aspecto este fundamental para una correcta construcción sismorresistente y el desarrollo de la ingeniería sísmica.

De esta forma, presentamos con este trabajo una revisión en profundidad de los terremotos ocurridos en las islas Canarias y las zonas atlánticas adyacentes, comenzando por el periodo histórico y siguiendo con el periodo instrumental hasta el año 2000. La revisión ha permitido, mediante una investigación sistemática, descubrir y analizar del orden de 500 nuevos terremotos ocurridos en épocas históricas y que no habían sido catalogados hasta este momento. Esta búsqueda se ha centrado en el análisis de la bibliografía específica sobre las islas, de la prensa canaria de la época y de los boletines sísmicos de los antiguos observatorios sismológicos peninsulares, desarrollándose y aplicándose nuevos criterios de localización y asignación de la magnitud.

José Antonio López Fernández

Subdirector General de Astronomía, Geofísica y Aplicaciones Espaciales

AGRADECIMIENTOS

Los autores queremos mostrar con estas líneas nuestro más profundo agradecimiento a los compañeros ausentes, a los retirados y a los que hoy en día se encuentran en activo en el Centro Geofísico de Canarias y en la Red Sísmica Nacional, de la actual Subdirección General de Astronomía, Geofísica y Aplicaciones Espaciales, por su esfuerzo y dedicación a lo largo de los años en la instalación de la instrumentación, su mantenimiento y el tratamiento de los datos de la Red Sísmica en Canarias. Asimismo, a los compañeros del Servicio de Edición y Trazado y a los del Servicio de Talleres Cartográficos, de la Subdirección General de Geodesia y Cartografía, que han colaborado con su trabajo para una perfecta edición e impresión de este documento.

En la sede de la Biblioteca Nacional de España hemos realizado la revisión de todos los periódicos de la época gracias a la facilidad que nos ha permitido disponer de su completa hemeroteca digitalizada. En la Biblioteca General y de Humanidades de la Universidad de la Laguna, gracias a la diligencia de su personal, hemos tenido acceso a los ejemplares originales del decano de la prensa de Canarias "Diario de Avisos". A los responsables y al personal de estas dos instituciones, que nos han facilitado esta labor, y a los de otras muchas a las que hemos acudido, queremos mostrar también, desde estas palabras, nuestro agradecimiento.

Por último, queremos dejar aquí por escrito nuestro reconocimiento a navegantes, cronistas, historiadores, compañeros pioneros en la sismología y volcanología en Canarias, y más recientemente a los investigadores, que en el transcurrir de la historia hasta nuestros días, nos han dejado por escrito muchos de los documentos que han servido ahora para realizar gran parte de esta investigación. Asimismo, nuestro reconocimiento a todos aquellos que han colaborado en su conservación.

Santa Cruz de Tenerife, octubre de 2020

RESUMEN

La revisión sistemática de todas las fuentes bibliográficas y hemerográficas, en las que se basa el conocimiento de la sismicidad histórica de una zona tectónico-volcánica, como es el archipiélago canario, nos ha permitido actualizar el catálogo sísmico existente. Por una parte, con el descubrimiento de nuevos terremotos no catalogados hasta ahora, así como con la obtención de mayor información de terremotos ya conocidos, en los que se aumenta el conocimiento de sus efectos en la población y por lo tanto en la intensidad sísmica asignada. Esta doble perspectiva se ha logrado principalmente en la parte histórica del catálogo, que se extiende desde el año 1341 hasta 1975, en el que comienza definitivamente el periodo de registro instrumental, que permite el análisis a partir de los registros de las estaciones sísmicas.

La metodología seguida en este trabajo para la asignación geográfica del origen de la sismicidad en el periodo histórico, es diferente a la seguida en catálogos anteriores, pues la determinación epicentral se ha basado en la obtención previa de leyes de atenuación de la intensidad sísmica con la distancia para los dos posibles orígenes: tectónico y volcánico. Estas leyes han permitido, mediante extrapolación, la obtención de la intensidad máxima epicentral para cada terremoto, así como una acotación más efectiva del área fuente. En relación con el periodo instrumental, se han revisado los boletines sísmicos de la época, y se ha localizado con métodos de cálculo numérico más sofisticados que los métodos gráficos utilizados en su día, teniendo en cuenta no solo los tiempos de llegada de las distintas fases sísmicas, sino también sus diferencias como nuevo dato para la localización. De esta manera, además de la relocalización, se han obtenido también los parámetros de las elipses de error asociadas a cada sismo.

Otro aspecto muy importante que se ha conseguido con esta revisión, es el de la asignación unificada del tamaño de cada sismo, mediante la determinación de la magnitud momento **M**. Para lograr esta única valoración se ha abordado el problema mediante distintos procedimientos. Se ha determinado con datos actuales una correlación entre el valor de la intensidad máxima epicentral y **M**, que nos ha permitido, para aquellos sismos del periodo histórico, cuyo único valor disponible es la intensidad máxima epicentral, obtener su **M**. Para el periodo instrumental, se ha buscado una interrelación entre los distintos tipos de magnitudes presentes en el catálogo, que nos ha permitido, mediante el uso de las correspondientes correlaciones, el paso a **M** de todo el catálogo sísmico.

Una vez finalizado el nuevo catálogo, se ha realizado un análisis que permite conocer las características de los distintos periodos de sismicidad observados en el transcurso del tiempo. Este estudio ha permitido descartar las variaciones observadas en la sismicidad con origen no real de aquellas debidas a posibles incrementos o decrementos de la actividad sísmica relacionadas con la actividad tectónico-volcánica, que tienen que ver con cambios en el método de localización hipocentral, cambios en la fórmula de determinación de la magnitud u otras alteraciones producidas por incrementos del número de estaciones de la Red Sísmica Nacional en Canarias a lo largo de los años o eliminación de algunas de ellas y consecuentemente los cambios en la geometría de la red.

Por último se ha realizado una investigación exhaustiva del desarrollo de la instrumentación sísmica en el área de las Islas Canarias durante ese periodo, estableciéndose que el primer registro sísmico instrumental realizado en España se produjo de forma pionera en el año 1891 en este archipiélago, adelantándose 7 años a lo que se conocía hasta el momento en la historia de la instrumentación sísmica en España.

ABSTRACT

The review process of the present earthquake catalog for a volcano-tectonic region such as the Canary Islands is based on a systematic evaluation of all available bibliographic and newspaper archives. The process is twofold, on the one hand, new no-cataloged earthquakes were found and, on the other, also the increase of new data for the present events. These new data were used to increase the knowledge of the effects on the population and constructions and allowed to reassign the seismic intensity for the earthquakes. This process is mainly applicable to the historical catalog which we consider from 1341 to 1975, when the instrumental period effectively started

The methodology used in this work to assign the source location of each shock in the historical period is different from the one followed in previous catalogs. In the present study, we have previously determined the relation between the intensity attenuation and the epicentral distance for the two possible shock origin: tectonic and volcanic. Once the epicenter is determined we use the intensity-distance laws to extrapolate and assign the maximum intensity at the epicenter to each shock. Moreover, for the instrumental period, a revision of the seismic bulletins has been done. We introduced the phases travel times to each seismographic station and the time differences between phases into more sophisticated numerical location methods, in contrast with the graphic methods used in previous catalogs. In this way, the newly obtained location is accompanied by their uncertainty expressed through their error ellipses.

Another important issue obtained in this review process is a unified shock size assignment in terms of moment magnitude **M**. To achieve that goal, different procedures have been followed depending on the type of data available for each shock. A relationship between maximum intensity at the epicenter and moment magnitude has been obtained using current data of events in the area. This relation has been used for the historical period assignment of **M** from the epicentral intensity of the shocks. For the instrumental period, a relationship between the different magnitude definition used at each period of time and the moment magnitude has been deduced, unifying for the period the magnitude in terms of **M**.

Once the final catalog is obtained, an analysis has been carried out in order to know the characteristics of the seismicity of the different considered time periods. In this study, some seismicity variations have been identified to be directly related to the tectonic-volcanic origin in contrast to other changes which are due to artifacts of the location procedures used, magnitude formulae considered or changes in the network geometry as a consequence of variation of their detection capability due to increase/decrease of the number stations in operation at the National Seismic Network in Canary.

Finally, an exhaustive research of the seismic instrumentation development in the area of the Canary Islands during that period has been carried out, finding out that the first instrumental seismic record in Spain was produced in a pioneering way in the archipelago in 1891, which is 7 years ahead of what was previously thought in the history of the seismic instrumentation in Spain.

ÍNDICE

Revisión del Catálogo Sísmico de las Islas Canarias (1341-2000).....	1
1. Introducción.....	13
2. Evolución histórica y situación actual del catálogo de sismicidad de las Islas Canarias hasta el año 2000	15
3. Fuentes de información para la revisión del catálogo de Canarias hasta el año 2000	19
3.1. Periodo inicio-1974.....	19
3.2. Periodo 1975-2000.....	19
4. Metodología de la construcción de un nuevo catálogo sísmico de las Islas Canarias	20
5. Atenuación de la intensidad sísmica en las Islas Canarias	22
6. Localizaciones epicentrales del periodo histórico 1341-1974	25
7. Relocalización hipocentral del periodo 1975-2000.....	27
7.1. Descripción de los métodos y algoritmos utilizados	27
7.2. El programa de localización HYPOSAT (Schweitzer, 2001). Ventajas sobre métodos anteriores	27
7.3. Relocalización hipocentral	28
8. Comparación de localizaciones 1341-2000.....	30
9. Determinación de una magnitud unificada	33
9.1. Diferentes expresiones para el cálculo de la magnitud empleadas en el Catálogo de Canarias a lo largo del tiempo.....	33
9.2. Relación entre la definición de la magnitud m_b (Lg) de Mezcuá y Martínez Solares (1983) y la magnitud m_L de López (2008)	35
9.3. Relación de I_0 con la magnitud m_L de López (2008).....	36
9.4. Estrategia seguida para establecer una magnitud unificada en términos de Mw	37
10. Nuevo catálogo sísmico 1341-2000	39
11. Análisis preliminar del nuevo catálogo	41
12. Conclusiones.....	47
13. Referencias.....	48
Anexo 1. Evolución histórica de la instrumentación sísmica en Canarias hasta el año 2000.....	53
A1-1. Canarias pionera en el registro de la actividad sísmica en España	55
A1-2. Organización del Servicio Sismológico Español (SSE)	58
A1-3. La Guerra Civil Española	60
A1-4. La estación sísmica instalada en el Cabildo Insular de Tenerife (1952).....	61
A1-5. La erupción del Teneguía (La Palma). Estaciones de La Palma y El Hierro.....	63
A1-6. La Red Sísmica en Canarias	65
A1-7. La primera estación sísmica de banda ancha de la Red Sísmica en Canarias. Estación IRIS en Taburiente, La Palma (1993-1996)	69
A1-8. Referencias	70
Anexo 2. Documentación sísmica referida a las Islas Canarias, contenida en el Archivo Nacional de Datos Geofísicos.....	71
A2-1. El Archivo Nacional de Datos Geofísicos	73
A2-2. Registros sísmicos	74
A2-3. Otra documentación.....	76
A2-4. Referencias	77
Anexo 3. Nuevo Catálogo Sísmico de Canarias (1341-2000).....	79
A3-1. Descripción de variables.....	81
A3-2. Catálogo sísmico.....	83
Anexo 4. Referencias del Nuevo Catálogo Sísmico de Canarias.....	219
A4-1. Referencias por acrónimos.....	221
A4-2. Referencias	228

1. Introducción

La labor de profundizar en el conocimiento de la sismicidad de las Islas Canarias, durante el más extenso periodo de tiempo posible, tiene un doble objetivo. Por una parte, mejorar los modelos necesarios para efectuar una evaluación probabilista de la peligrosidad sísmica. En este sentido, parámetros muy importantes para la peligrosidad, como son la relación de terremotos grandes con los de más baja magnitud o el valor de la magnitud máxima en una determinada región sismotectónica, dependen directamente del conocimiento de la sismicidad pasada. Por otra parte, una mejora en el conocimiento de la sismicidad de Canarias permitirá una mejor comprensión, tanto del mecanismo generador de la actividad volcánica, como del origen y la evolución de este archipiélago volcánico, situado en el extremo oriental del Océano Atlántico Norte, en el interior de la placa Africana (Figura 1.1).

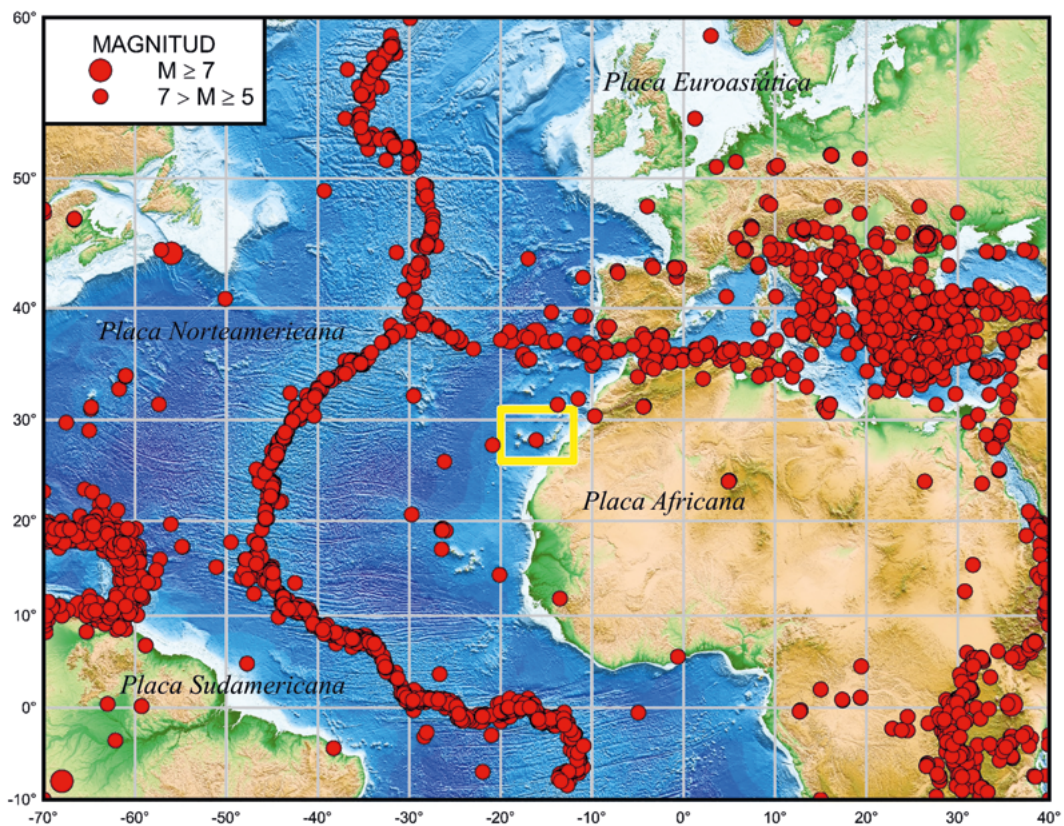


Figura 1.1.- Zona del catálogo de las Islas Canarias (rectángulo amarillo) en un mapa en el que se muestran los terremotos de magnitud mayor de 5,0 localizados en el siglo XX, cuya localización ha sido obtenida de la base de datos del International Seismological Centre.

El catálogo sísmico que actualmente se explota a través de la página web del Instituto Geográfico Nacional (www.ign.es), corresponde al Catálogo Sísmico de la Península Ibérica y áreas limítrofes, con inclusión de las Islas Canarias, que el servicio sismológico de España mantiene desde su origen. Este catálogo, para Canarias, está fundamentado básicamente en los datos recogidos a lo largo del tiempo en los distintos estudios sobre la sismicidad de España realizados por el IGN y por otras instituciones. En este sentido, caben destacar los trabajos de Sánchez Navarro-Neumann (1910), Galbis (1932), Observatorio del Ebro (2018), Bonelli (1950), Martel (1960), Munuera (1974), Monge (1981) y Mezcuá y Martínez Solares (1983). Todos estos catálogos son parciales en el tiempo y algunos han sido superados por estudios realizados posteriormente a su publicación. Entre estos estudios se encuentran los de Romero (1991), Carracedo y Rodríguez Badiola (1991) y Carracedo et al. (2007). En general, los sucesivos catálogos de la época instrumental, siempre se complementan con los boletines sísmicos

que el IGN realizó, que en el caso de Canarias, comienzan publicándose en papel en el año 1975 y continúan después de 1997 en soporte informático con el Banco de Datos Sísmicos, que se mantiene actualmente en tiempo real.

La información hasta el año 1975 es la que se encuentra sujeta a las revisiones de mayor importancia, por su condición de no instrumental. Aunque la primera estación sísmica en Canarias se instaló en Santa Cruz de Tenerife en el año 1952, hasta el año 1975 no se produce la primera localización con datos exclusivamente instrumentales, al contarse en ese momento ya con el concurso de al menos tres estaciones. Las localizaciones epicentrales desde 1975 hasta 1986 se realizaban mediante la aplicación de un método gráfico con el uso de ramas de hipérbolas, siendo en el año 1986 cuando se introdujo en Canarias el cálculo numérico mediante una versión simplificada del programa HYPO71, Lee y Lahr (1975), que permitió relocalizar la actividad pasada. Por lo tanto, los cálculos hipocentrales que figuran en el catálogo sísmico (www.ign.es) en el periodo 1975-1996 son los realizados con este software, que entre otras limitaciones que se expondrán en el capítulo correspondiente, no contempla la obtención de parámetros estocásticos de los hipocentros como son el tamaño y la orientación de la elipse de error, el error en el tiempo origen, etc... que los softwares utilizados para el periodo desde 1997 hasta la fecha sí los proporcionan. Por lo tanto, en ese sentido, se puede considerar que el catálogo actual no es homogéneo en cuanto a las localizaciones instrumentales, ya que proceden de distinto software utilizado en cada época.

Por otra parte, resulta imprescindible completar estos catálogos sísmicos instrumentales con la información que en épocas no instrumentales, solamente está recogida en documentos históricos de diferentes archivos, trabajos científicos publicados y por la prensa escrita del momento. Esta labor requiere de un minucioso trabajo de exploración bibliográfica y hemerográfica, que en el caso de Canarias nunca, hasta ahora, se había realizado de forma completa.

Por todas estas razones, el Instituto Geográfico Nacional ha decidido acometer una revisión del Catálogo Sísmico de Canarias, desde el origen de la información escrita disponible hasta el año 2000 incluido, considerando toda la información adicional existente en la bibliografía hasta este momento, y que complementase o corrigiese el catálogo actual. A esta revisión, realizada con fuentes de distintos autores, se ha añadido una revisión hecha ad hoc para este trabajo de la principal prensa escrita desde principios del siglo XX hasta el año 2000, que ha permitido complementar la información existente y descubrir numerosos nuevos sismos sentidos, no catalogados por ningún autor hasta la fecha.

Con toda esta nueva información, se ha investigado el comportamiento de la atenuación sísmica de la intensidad con la distancia, para terremotos sentidos en Canarias, tanto con origen volcánico como tectónico. Se han encontrado leyes diferentes, que han servido para determinar, en cada caso, para un terremoto sentido, la intensidad máxima en el epicentro, cuando esta no había sido observada. Este parámetro, ha permitido obtener para estos terremotos de la época histórica, una asignación de tamaño en términos de magnitud, mediante el uso de distintas correlaciones. De esta forma es posible compararlos con los terremotos de la época instrumental.

En el periodo instrumental del catálogo, se han buscado las relaciones entre las distintas definiciones de magnitud empleadas hasta la fecha en Canarias, a lo largo del tiempo. El resultado ha sido poder establecer finalmente un catálogo homogéneo con valores de magnitud momento para cada evento, esencial para acometer cualquier estudio de peligrosidad sísmica.

2. Evolución histórica y situación actual del catálogo de sismicidad de las Islas Canarias hasta el año 2000

La primera descripción sistemática, en forma de catálogo, de la actividad sísmica de las Islas Canarias se debe a Galbis (1932, 1940), el cual, recogiendo datos provenientes de distintas fuentes y las propias de periódicos de la época, sistematiza la información en su catálogo sísmico. El primer terremoto en Canarias considerado por Galbis (1932), se corresponde con uno ocurrido el año 1677, cuya información la toma de la obra de Moreira de Mendonça (1758).

A partir de los años 1940, el entonces denominado Instituto Geográfico y Catastral (IGC), mantiene un archivo manuscrito en el que se van incluyendo no solo los terremotos ocurridos en las islas Canarias a partir de 1940, sino que se complementa con toda la información proveniente de los distintos observatorios relacionados con la actividad sísmica de Canarias, Bonelli (1961). Desafortunadamente, en dicho archivo no quedaron reflejadas las fuentes de la información que contiene; sin embargo, sí existe una minuciosa descripción en términos de intensidad de cada uno de los terremotos catalogados. Parte de esta actualización realizada hasta el año 1955, la correspondiente a sismos con intensidad máxima $I_0 > VI$, fue recopilada a instancias de la Comisión Sismológica Europea, en una publicación sobre la sismicidad del área europea, Karnik (1969). Para el periodo 1953-1965, ese fichero del IGC también considera la información dada por Rothe (1969) en su catálogo mundial.

Utilizando toda esta información manuscrita, Munuera (1974) actualiza la información existente hasta ese momento y recoge la actividad sísmica de las Islas Canarias contenida en los Boletines Sísmicos del Observatorio Geofísico Especial de Tenerife del Instituto Geográfico Catastral, para el periodo 1964-1974. Sin embargo, al disponer Canarias en aquel momento de una única estación, no es posible determinar mediante cálculo gráfico o numérico los epicentros de los sismos registrados, de los que únicamente se conoce la distancia a dicha estación y su hora de llegada a Santa Cruz de Tenerife. Con la información contenida en Munuera (1974), complementada con investigaciones en periódicos de la época, Monge (1981) realiza un catálogo sísmico preliminar de las islas Canarias. De forma simultánea, el Instituto Geográfico Nacional (IGN) publica el Catálogo Sísmico del área Ibero-Mogrebí, Mezcua y Martínez Solares (1983), en el que se incluye un catálogo sísmico específico para las Islas Canarias, recogiendo la información existente en el IGN hasta ese momento.

La metodología utilizada para el periodo histórico por los distintos autores, hasta la fecha, ha sido la de asignar el epicentro del sismo a la localidad en la que la información existente de daños, o de su percepción, arroja valores máximos. Este criterio en zonas continentales puede aproximarse a lo verdadero, pero no en islas donde gran parte de la actividad se encuentra, por lo general, en zonas marinas. Además, en el caso de la sismicidad asociada al volcanismo, cuando no se dispone de instrumentación sísmica próxima desplegada a nivel local que permita una localización numérica, la opción más plausible para situar el epicentro es asociarlo a las erupciones coincidentes en el tiempo y no a los emplazamientos donde con mayor intensidad se ha sentido esa actividad sísmica volcánica.

Durante el periodo 1975-1986, la información proporcionada por la Red Sísmica del IGN en Canarias se publica en boletines sísmicos anuales específicos, con los datos registrados por dicha red, en los que se presentan las lecturas de los tiempos de llegada de las distintas fases sísmicas a las estaciones y los resultados de su localización y magnitud. Para las localizaciones numéricas se utiliza una simplificación del software HYPO71 de Lee y Lahr (1975). A partir del año 1987, y hasta el año 1995, la información correspondiente a Canarias es publicada además, dentro del Boletín de Sismos Próximos que anualmente editaba el Instituto Geográfico Nacional. A partir de 1996, dejan de publicarse de forma impresa dichos boletines, pero toda la información es incluida en la Base de Datos Sismológicos que mantiene actualizada de forma continua el IGN y que es accesible a través de www.ign.es. También en ese momento se cambia el software de cálculo de hipocentros, pasando a hacerse las localizaciones con el software LOCSAT, Bratt y Nagy (1991), y se extiende a Canarias el cálculo de la magnitud basada en la amplitud de la onda Lg , en lugar de la magnitud duración utilizada hasta esa fecha.

La información macrosísmica correspondiente a los terremotos que son sentidos por la población en Canarias tiene un origen variable. Hasta el momento en que se instala la primera estación sísmica en los sótanos del edificio del Cabildo Insular en Santa Cruz de Tenerife, en el año 1952 y se crea por tanto el Observatorio Geofísico de Santa Cruz de Tenerife, la información disponible procede fundamentalmente de las noticias aparecidas en la prensa de las Islas Canarias o de los estudios particulares de los distintos episodios sísmicos y/o volcánicos. A partir de ese momento, se realiza la recogida sistemática de información mediante cuestionarios enviados a

las localidades en que se estimaba podría ser sentido el terremoto, o se realizaba una recogida directa de información con encuestas in situ. Hasta el año 1952, estos cuestionarios se recibían en el Observatorio Sismológico de Málaga, donde eran evaluados. A partir del año 2009 la información macrosísmica se recoge directamente a través de internet, mediante encuestas en la página web del IGN www.ign.es, que son evaluadas automáticamente mediante un algoritmo desarrollado que proporciona el grado de intensidad en la escala EMS98 (Grünthal y Levret, 2001). Esta es la razón por la que en la última etapa se dispone de mayor y más extensa información, incluso para los terremotos de pequeña magnitud.

A la vista de esta breve descripción, puede deducirse que la información sísmica correspondiente a Canarias ha tenido desde los años 1970 muy diferentes fuentes de información y distintas forma de tratamiento. Además, durante este periodo se han producido cambios sustanciales en cuanto al número de estaciones sísmicas desplegadas, conocimiento de la estructura de velocidad de las islas Canarias y metodología de cálculo, tanto de la localización hipocentral como de la magnitud y la asignación de la intensidad sísmica, cuyo resultado es la gran heterogeneidad del catálogo actual.

En la figura 2.1 podemos ver la sismicidad en el periodo 1341-2000 contenida en el catálogo actual, representada en función de la magnitud, donde se pone de manifiesto que a excepción de la sismicidad localizada en el interior de la isla de El Hierro, los terremotos catalogados instrumentalmente tienen su epicentro en el mar, principalmente entre las islas de Gran Canaria y Tenerife y entre la primera y Lanzarote-Fuerteventura. Se trata pues de una sismicidad fundamentalmente con origen marino.

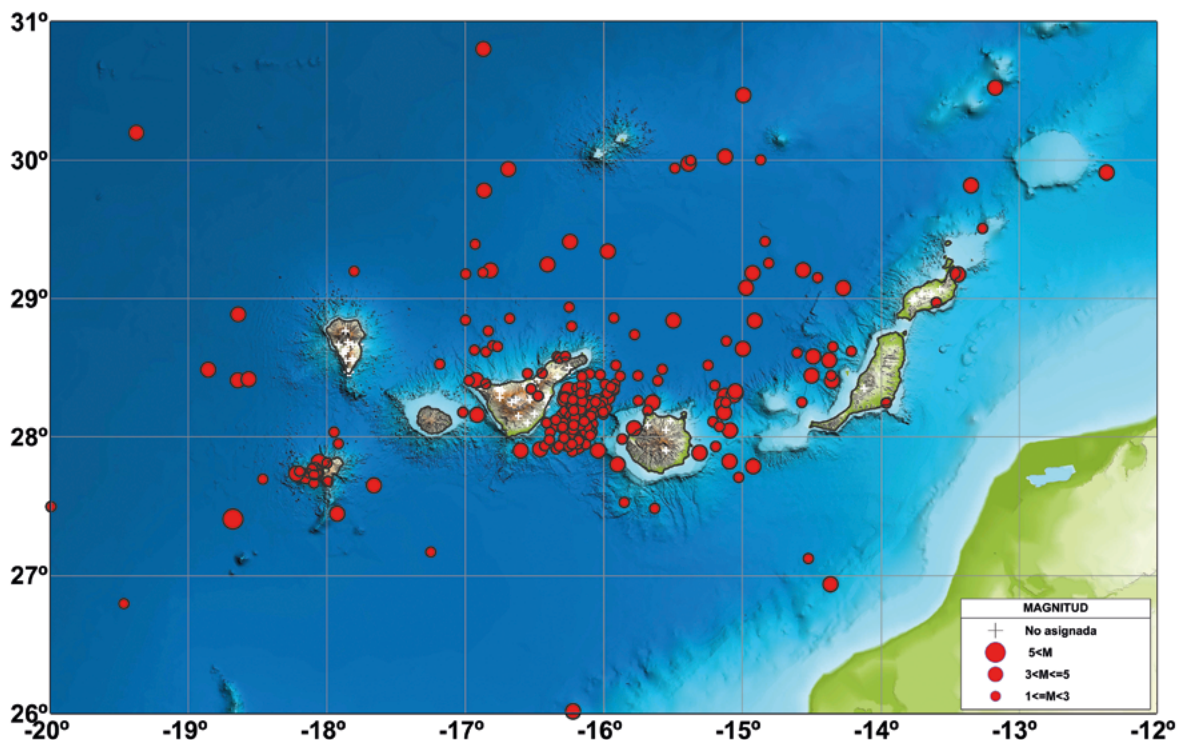


Figura 2.1.- Catálogo actual (1341-2000) representado en función de la magnitud.

Sin embargo, en la figura 2.2, en la que podemos ver la misma sismicidad, pero representada en función de la intensidad, podemos observar que los terremotos más sentidos se encuentran localizados en el periodo no instrumental, en el interior de las islas, principalmente en Tenerife y La Palma, y que están asociados fundamentalmente con el volcanismo activo en época histórica.

En estas figuras se pone de manifiesto la deficiencia de la red sísmica en ese periodo para realizar una monitorización volcánica. La actividad sísmica localizada en época instrumental en el interior de las islas es escasa ya que la capacidad de detección de la red no era suficiente para localizar los pequeños terremotos que se asocian con la actividad volcánica.

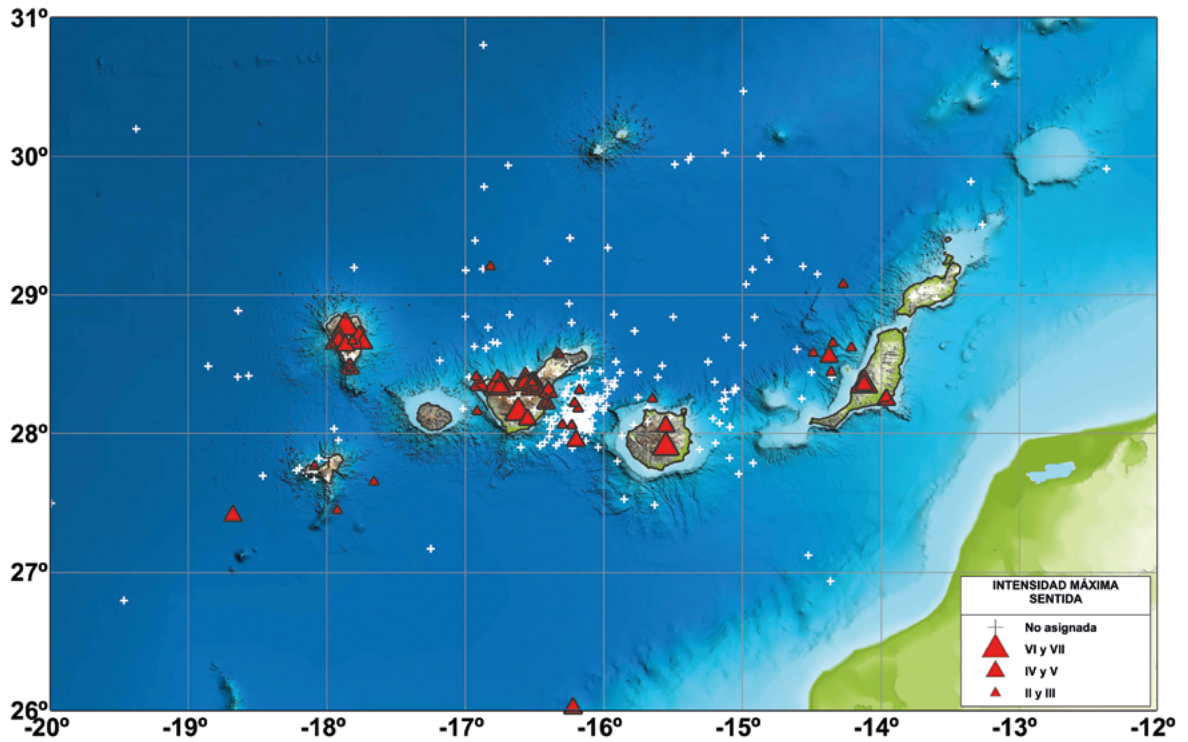


Figura 2.2.- Catálogo actual (1341-2000) representado en función de la intensidad máxima sentida.

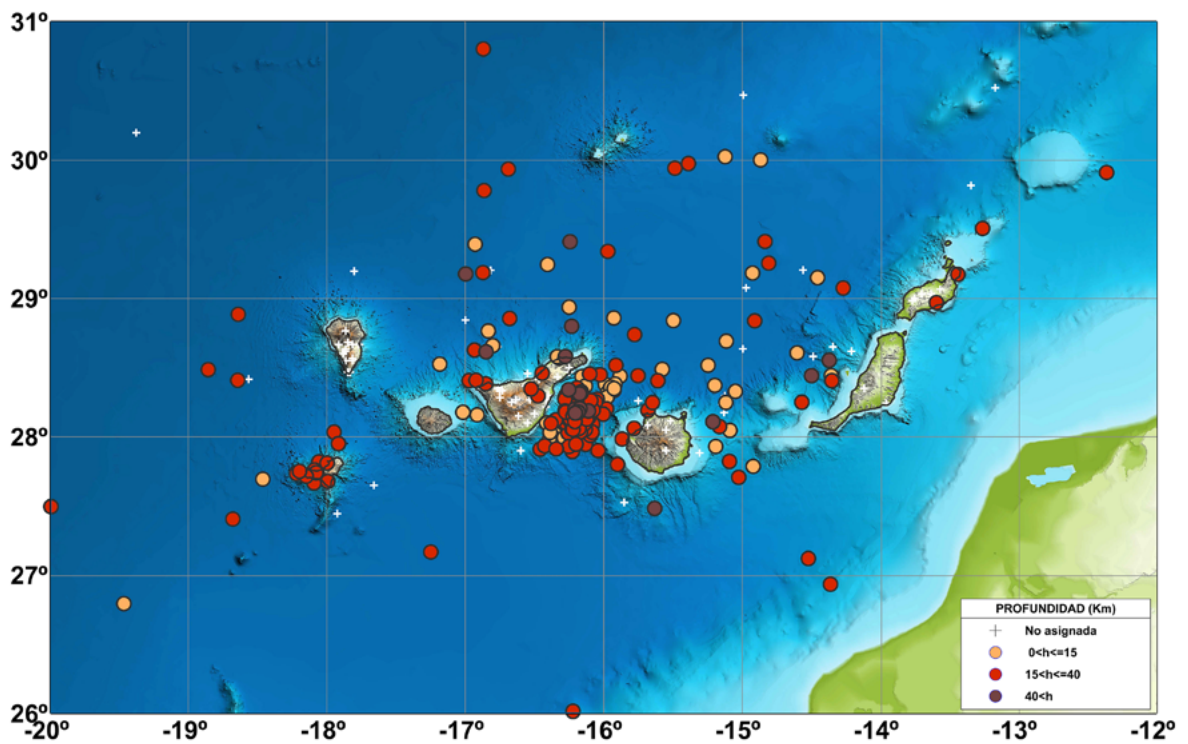


Figura 2.3.- Catálogo actual (1341-2000) representado en función de la profundidad.

En cuanto a la profundidad de los terremotos catalogados, esta se corresponde únicamente con la época instrumental y es el parámetro peor determinado, ya que se encuentra siempre afectado en gran medida por la configuración de la red sísmica. Se puede observar en la figura 2.3 que la sismicidad por debajo de 40 km es escasa, estando principalmente contenida toda la sismicidad hasta esa profundidad. La actividad localizada en el interior de la isla de El Hierro es toda de profundidad mayor de 15 km. Entre las islas de Gran Canaria y Tenerife, la sismicidad alcanza profundidades desde 0 hasta más de 40 km.

3. Fuentes de información para la revisión del catálogo de Canarias hasta el año 2000

Se han considerado dos periodos de tiempo caracterizados por la existencia o no de estaciones sísmicas. Estas estaciones proporcionan información sobre los tiempos de llegada de las distintas fases sísmicas de las ondas producidas por los terremotos originados en el área de estudio. Aunque la primera estación se instala en las islas Canarias en el año 1952, no es hasta al menos veinticinco años más tarde cuando se puede considerar que existe una red capaz de localizar los terremotos del área, así como su cuantificación con el cálculo de la magnitud a partir de los registros.

3.1. Periodo inicio-1974

En este periodo, la información sobre la localización epicentral proviene fundamentalmente de la recogida de datos de los efectos ocasionados, su evaluación y su distribución. Para este periodo existen dos publicaciones que son consideradas fuentes principales por aportar una información novedosa sobre los terremotos ya catalogados y otros desconocidos hasta su publicación. La primera es la de Romero (1991); se trata de un estudio sobre las manifestaciones volcánicas de las islas Canarias, en el que se realiza una investigación bibliográfica de los documentos antiguos relacionados con las erupciones volcánicas ocurridas, también utiliza información del catálogo de Monge (1981), así como de aquellas publicaciones relativas específicamente a erupciones volcánicas o informaciones de la prensa coetánea. La segunda referencia importante utilizada es la de Sánchez Sanz (2014), que basándose en las referencias anteriores considera además la información proporcionada por Mezcuca y Martínez Solares (1983) y realiza una revisión muy exhaustiva de los principales periódicos nacionales y una casi completa lista de los correspondientes a Canarias.

En el trabajo de Sánchez Sanz (2014), la búsqueda de la mayoría de la documentación se ha realizado a través de internet, obteniendo los documentos en formato digital, entre otras de la Biblioteca Digital de la Universidad de Las Palmas de Gran Canaria (Memoria Digital de Canarias) y de los Boletines de la Real Sociedad Española de Historia Natural, también en la Biblioteca Tomás Navarro Tomás del Consejo Superior de Investigaciones Científicas (CSIC), en la Biblioteca Nacional y en las distintas bibliotecas de la Universidad Politécnica de Madrid. En cuanto a la prensa escrita, la búsqueda ha sido realizada fundamentalmente en hemerotecas digitales: Archivo de Prensa Digital (JABLE) de la Universidad de Las Palmas de Gran Canaria (ULPGC), Biblioteca Virtual de Prensa Histórica del Ministerio de Cultura, Hemeroteca Digital de ABC, Hemeroteca Digital de La Vanguardia, Hemeroteca Municipal de Madrid y Hemeroteca Nacional.

Además de la información recogida en las dos publicaciones anteriores, en el presente trabajo se han considerado también aquellas publicaciones relativas a erupciones en Canarias, en las que se analizan aspectos relativos a la actividad sísmica, no consideradas hasta ahora, entre otras, Carracedo y Rodríguez Badiola (1991), Carracedo et al. (2007), o bien que describiesen efectos de terremotos sentidos, Cruz y Cruz (2012), Observatorio del Ebro (2018).

Por último, se ha vuelto a realizar una minuciosa revisión de la prensa canaria circunscrita fundamentalmente a dos diarios que cubren las dos provincias canarias: el "Diario de Avisos", que con algunas interrupciones abarca el periodo 1890-actualidad en sus dos periodos de publicación, el primero en Santa Cruz de la Palma y posteriormente en Santa Cruz de Tenerife y el periódico "La Provincia. Diario de Las Palmas", originado por la fusión de los dos diarios de comienzo 1911 y 1893 respectivamente. Asimismo, se han vuelto a consultar las publicaciones incluidas el Archivo de Prensa Digital de Canarias (JABLE) que incluye prensa y revistas de información general digitalizadas por la Universidad de Las Palmas de Gran Canaria (ULPGC).

3.2. Periodo 1975-2000

Para este periodo, la información fundamental utilizada para la revisión, proviene del estudio de los datos de tiempos de llegada de las distintas fases sísmicas observadas para los terremotos registrados por la Red Sísmica en Canarias del Instituto Geográfico Nacional, que permiten su localización hipocentral numérica. Estos datos se encuentran impresos en los boletines sísmicos del Centro Geofísico de Canarias, y contienen además de los tiempos de llegada para cada terremoto, el valor de la duración del sismo en cada una de las estaciones de registro. La información se ha complementado además con la revisión de la prensa canaria para este periodo, obteniéndose de esta revisión información macrosísmica hasta ahora no catalogada.

Toda la documentación citada anteriormente para la revisión de ambos periodos ha sido complementada con la que existía sobre los sismos catalogados en los archivos mundiales de datos sísmicos: International Seismological Center (ISC), que contiene información de terremotos desde 1900 hasta la fecha, con relocalizaciones en la gran mayoría de los sismos y Preliminary Determination of Epicenters (PDE) del Centro Nacional de Información de Terremotos (NEIC) del Servicio Geológico de los Estados Unidos (USGS), que contiene datos desde 1964 hasta la fecha. También se han consultado los catálogos regionales o mundiales tales como: Bureau Central Sismologique (BCIS) de Francia, Seismicity of the Earth Karnik (1969).

4. Metodología de la construcción de un nuevo catálogo sísmico de las Islas Canarias

Para la estructuración del nuevo catálogo sísmico, se han considerado como referencias las más importantes publicaciones realizadas sobre el tema en regiones volcánicas activas: Klein y Wright (2000), Azzaro et al. (2000), Alparone et al. (2015), Rovida et al. (2016), entre otras. Como la revisión del catálogo comprende dos periodos, uno histórico y otro instrumental, ha sido necesario establecer dos tipos de estructuras específicas, una para cada periodo.

En primer lugar, se han definido unas regiones geográficas principales para situar y nombrar los terremotos en el conjunto del archipiélago canario, dentro de las cuales los terremotos forman agrupamientos o alineaciones (figura 4.1). Estas regiones han sido establecidas a partir de la incidencia repetida de la sismicidad, tanto en cada isla como en las zonas oceánicas entre islas que se observa en el periodo instrumental más reciente. Por último, aquellas zonas oceánicas con una actividad menor y no específica, se han denominado de forma genérica como Océano Atlántico. Las diferentes regiones consideradas son: isla de El Hierro, isla de La Palma, isla de Tenerife (Valle de Güímar, Valle de Icod, Valle de La Orotava), isla de Gran Canaria, zonas oceánicas (zona atlántica Tenerife-Gran Canaria, zona atlántica Gran Canaria-Fuerteventura) y Océano Atlántico.

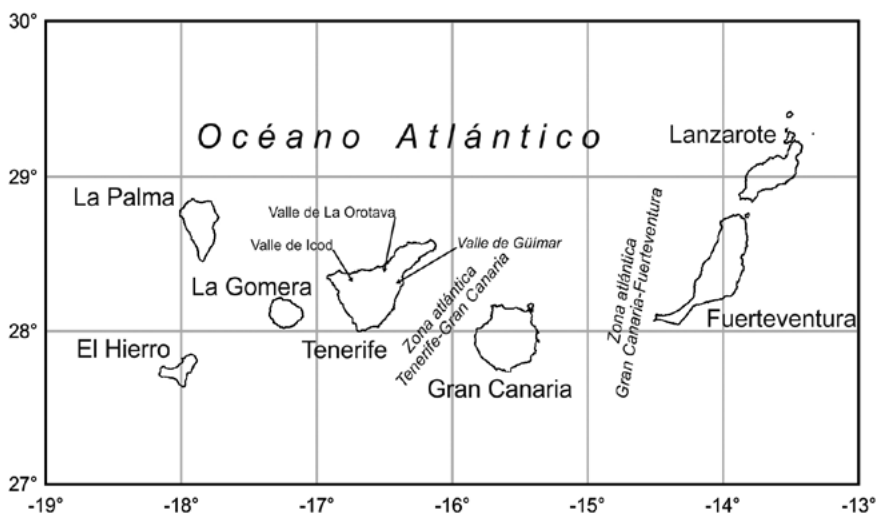


Figura 4.1.- Nomenclatura de las regiones geográficas principales utilizadas en la denominación epicentral.

Para el periodo histórico, el tiempo origen se ha convertido en Tiempo Universal cuando se ha tenido información, en la mayoría de los casos con una incertidumbre superior al minuto.

En cuanto a la localización del epicentro para el periodo histórico, se ha pretendido en todo momento establecer sus coordenadas en función de la información de las localidades en las que se ha sentido el terremoto. Cuando las informaciones provienen de una sola localidad, se ha procedido de la siguiente forma: si el terremoto corresponde temporalmente a una serie o erupción, se ha colocado, a diferencia de los catálogos anteriores, en el supuesto foco de la serie o erupción, además la intensidad en dicha localidad se ha trasladado al hipotético epicentro, a través de la ley de atenuación, con el fin de establecer una intensidad epicentral para el sismo. Para este propósito, se ha estudiado la atenuación de la intensidad sísmica para los dos tipos de actividad: sismo volcánica y tectónica, y así poder realizar la traslación al epicentro de la intensidad observada en una localidad. Este estudio de la atenuación forma parte de un apartado especial en este mismo trabajo.

En el caso en el que la información de la intensidad sísmica corresponde a varias localidades, se han considerado aquellas de igual valor y el epicentro se ha colocado en el baricentro formado por todas ellas, comprobando que se corresponde con la máxima intensidad observada, siempre que el epicentro no sea submarino. Con este

procedimiento hemos acercado la información sentida al lugar en que la hipotética fuente la generó, eliminando el sesgo observado en la mayoría de los catálogos históricos cuando se coloca el epicentro en el lugar en que se sintió con mayor intensidad el terremoto, incluso teniendo información de que se trata de una réplica de un sismo del que se conoce la posición de su epicentro.

La valoración de la intensidad, cuando existe información, se ha efectuado en la Escala EMS98 (Grünthal y Levret, 2001). De forma expresa, también se ha incluido el número de puntos con intensidad asignada para cada sismo y cuando no se conoce este, pero aparece de forma genérica que se ha sentido en diferentes lugares, se ha expresado con el signo + para indicar un número indeterminado. También se ha considerado de forma explícita en el catálogo la distancia máxima a la que el sismo se ha sentido, según las informaciones disponibles. Es en cierto modo, una medida de la distancia de perceptibilidad.

Como se ha comentado anteriormente, para los terremotos históricos se han trasladado las intensidades observadas en cada localidad, mediante las leyes de atenuación obtenidas, al valor que hipotéticamente tendrían en el epicentro. El valor promedio de las intensidades trasladadas para cada una de las localidades es el asignado al epicentro, correspondiendo este a la intensidad epicentral.

El periodo instrumental entendemos que comienza de forma continua en 1975, aunque existiese desde 1952 la estación situada en los sótanos del Cabildo Insular de Tenerife. En este periodo intermedio, y hasta que no existe una red completa, se ha considerado la información de la estación o estaciones que se fueron instalando únicamente para controlar el tiempo origen, mientras que el epicentro se ha determinado, cuando era posible, a partir de las intensidades, mediante el tratamiento descrito para el periodo histórico. También para este periodo se han utilizado las localizaciones suministradas por la ISC o cualquier otra agencia sismológica de carácter global que tuviese información sobre terremotos de la zona de estudio localizados con estaciones a distancias telesísmicas.

Dado que las localizaciones epicentrales para el periodo 1975-2000 que existen en el catálogo actual se realizaron con diferentes criterios y utilizando diversos programas de cálculo, hemos preferido realizar una relocalización completa para este periodo. Para ello se han utilizado las informaciones de los tiempos de llegadas de las distintas fases sísmicas contenidas en los boletines publicados hasta 1996 y a partir de esta fecha con los datos incluidos en la base de datos del IGN. En cuanto a la metodología empleada, así como los criterios seguidos se verán más adelante en este mismo trabajo.

La asignación de magnitud también ha necesitado de un proceso de unificación, dado que a lo largo del periodo instrumental se han utilizado diversas definiciones y expresiones para este parámetro. Para ello se ha abordado un estudio que ha permitido el establecimiento de una magnitud única para todo el catálogo en términos de la magnitud momento. Las relaciones empleadas para esta unificación se verán más adelante en este mismo trabajo.

5. Atenuación de la intensidad sísmica en las Islas Canarias

La atenuación de la intensidad sísmica observada en los terremotos ocurridos en las Islas Canarias es muy diferente si se trata de terremotos asociados al volcanismo activo o de terremotos de origen tectónico. Las razones de esta diferencia pueden deberse fundamentalmente a que, en el caso de terremotos asociados al volcanismo, el medio se encuentra a altas temperaturas y en fusión, y será mucho más atenuante que en el caso de zonas con terremotos puramente tectónicos. Además, los sismos volcánicos son por regla general muy superficiales (<15 km) mientras que en los tectónicos predominan profundidades mayores (>15 km). Prudencio et al. (2013, 2015) establecen que la alta atenuación observada en Canarias es compatible con las grandes heterogeneidades producto de la reciente actividad volcánica, que han dado lugar a la formación de las islas. En este capítulo procederemos a calcular las distintas expresiones de atenuación que posteriormente nos permitan inferir la intensidad sísmica epicentral, en cada uno de los casos.

Entre las primeras relaciones encontradas para explicar la atenuación de la intensidad sísmica con la distancia, debemos considerar la pionera y más extendida debida a Köveslighty (1906), que en la actualidad sigue usándose en múltiples trabajos, y posteriormente Sponheuer (1960), Scotti et al. (1999), López Casado et al. (2000), Stromeyer y Grünthal (2009), entre otros. Sin embargo, el alto número de variables a determinar (atenuación geométrica, atenuación anelástica y constantes empíricas), así como el conocimiento que ha de tenerse de la profundidad, ha hecho que busquemos otras alternativas más sencillas que modelicen los datos observados. Gasperini (2001) señala que existen otras alternativas para modelizar la atenuación sísmica, como es la propuesta por Berardi et al. (1994), denominada atenuación de la raíz cubica de la distancia y debido a su sencillez (únicamente dos parámetros), reproduce el comportamiento de la intensidad sísmica con la distancia mejor que otros modelos más sofisticados cuando las observaciones son escasas. La expresión general es:

$$I_0 - I = a + b D^{1/3} \quad (1)$$

Donde I_0 es la intensidad en el epicentro, e I es la intensidad observada a una distancia epicentral D . Los parámetros a y b han de determinarse mediante el ajuste a una serie de observaciones.

En nuestro caso, se han considerado datos de intensidad y distancia para dos tipos de sismos: los asociados al volcanismo activo y los puramente tectónicos. En la tabla 5.1 se presentan los parámetros focales de los terremotos utilizados para el ajuste, que se corresponden con estos dos tipos de sismos. Dado lo crítico que es para el ajuste el conocimiento de la distancia epicentral, se han utilizado o bien sismos de la época instrumental o bien de la época histórica, siempre que se tuviese la certeza de su localización y una estimación de la profundidad.

Tabla 5.1 - Terremotos volcánicos y tectónicos utilizados en el cálculo de la atenuación.

Terremotos volcánicos						
Fecha	Hora	Latitud°	Longitud°	Prof. (km)	Mag.	I max.
02/07/1949	09:00	28,5740	-17,8380	1	6,0	VIII
08/10/2011	20:34	27,6516	-18,0185	12	4,3	V
02/11/2011	18:10	27,7880	-18,0576	22	4,3	IV
Terremotos tectónicos						
Fecha	Hora	Latitud°	Longitud°	Prof. (km)	Mag.	I max.
09/05/1989	02:30	27,9170	-16,1950	28	5,2	V
05/02/2010	15:10	28,4390	-16,2340	28	4,5	IV
22/08/2011	14:15	27,7418	-15,4639	30	3,4	IV
18/08/2012	01:50	28,5295	-16,5136	27	3,8	IV
26/03/2017	15:53	28,4625	-14,2215	16	3,3	IV

Los resultados de los ajustes para ambos tipos de sismos en las Islas Canarias son los siguientes:

Terremotos Volcánicos:

$$I_0 - I = (-0,97 \pm 0,58) + (1,23 \pm 0,25) D^{1/3} \quad \sigma = 0,73 \quad (2)$$

Terremotos Tectónicos:

$$I_0 - I = (-0,09 \pm 0,12) + (0,48 \pm 0,04) D^{1/3} \quad \sigma = 0,53 \quad (3)$$

Siendo I_0 la intensidad en el epicentro, e I la intensidad observada a una distancia epicentral D .

Los ajustes obtenidos se presentan junto con las observaciones en la figura 5.1. Puede observarse la muy diferente atenuación para los sismos tectónicos y la correspondiente a los sismos asociados a erupciones volcánicas para las Islas Canarias. Como era previsible, los terremotos que son puramente tectónicos, presentan menor atenuación que los directamente asociados al volcanismo. Ya se ha comentado anteriormente que existen razones en cuanto a su diferente profundidad y la existencia de un medio más o menos disipativo consecuencia de su composición y temperatura. Si se comparan los valores obtenidos con estudios recientes, Pasolini et al. (2008), podemos observar que para los sismos volcánicos de Canarias la atenuación, aun siendo muy alta, es algo inferior que la obtenida para el Etna (figura 5.1a), mientras que en los tectónicos es superior a la correspondiente en la Italia peninsular.

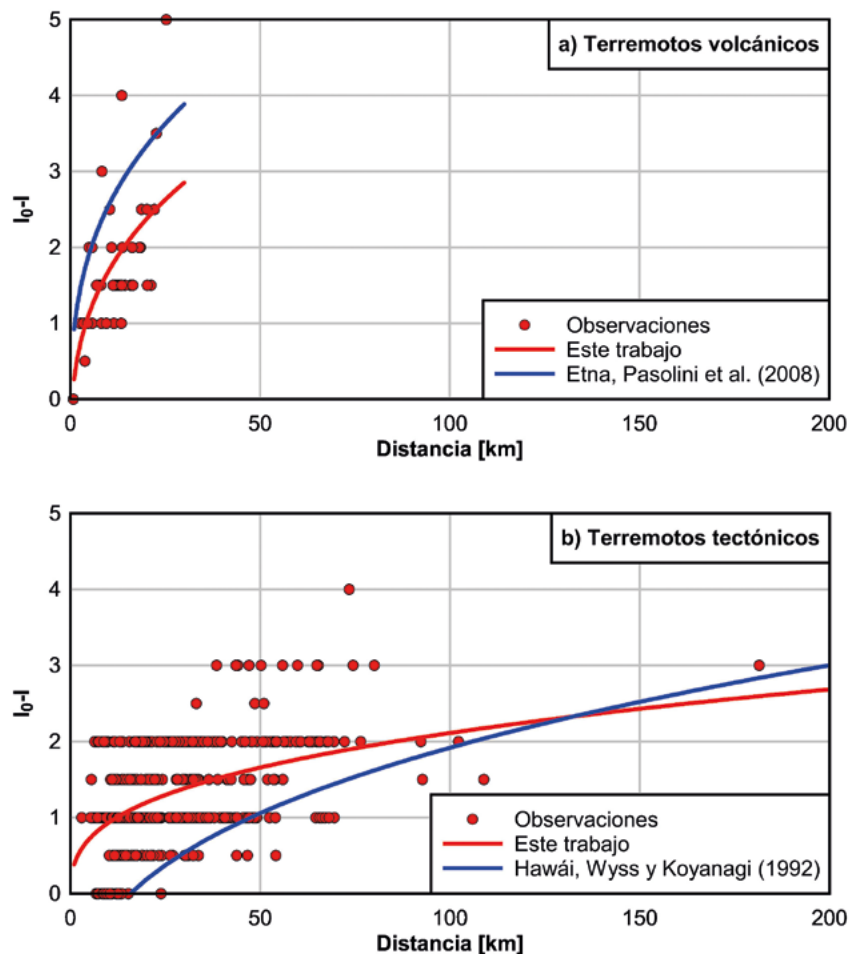


Figura 5.1 - Atenuación de la intensidad sísmica con la distancia en Canarias para terremotos volcánicos (a) y terremotos tectónicos (b).

Por último y con el propósito de comparar con los terremotos registrados en Hawái, se han seleccionado una serie de sismos cuyos valores de intensidad y área de percepción publican Wyss y Koyanagi (1992). A partir de estos valores hemos realizado un ajuste en términos de una atenuación de la raíz cubica de la distancia epicentral y se ha representado en la misma figura 5.1b. Los resultados son de una atenuación más suave que la correspondiente a Canarias, tanto para los terremotos tectónicos como para los asociados al volcanismo. Es de destacar que los sismos considerados en Hawái son de gran magnitud, comparados con los de Canarias y además no se conoce más que una estimación de la profundidad, catalogada en la publicación como de tipo normal.

Con las relaciones obtenidas para Canarias, estaremos en condiciones de extrapolar las intensidades observadas en una serie de emplazamientos a una intensidad epicentral, si conocemos la distancia de las observaciones al epicentro asignado. Los valores de intensidad epicentral obtenidos para cada intensidad observada en una localidad se han promediado asignando el valor medio como el correspondiente a la intensidad epicentral del terremoto considerado. Esto permitirá posteriormente la utilización de estos valores para su conversión en magnitud, uno de los objetivos de este trabajo, a fin de obtener un catálogo final unificado.

6. Localizaciones epicentrales del periodo histórico 1341-1974

Siguiendo la metodología descrita anteriormente y después de la revisión en la que se han obtenido nuevos y numerosos datos macrosísmicos asociados a terremotos catalogados y sin catalogar, se ha procedido a la localización y asignación de intensidad epicentral de todos los terremotos del periodo histórico.



Figura 6.1 - Noticia aparecida en el Diario de Las Palmas el 20 de enero de 1960 y que nos ha permitido incluir en el catálogo un nuevo terremoto hasta ahora inédito.

A modo de ejemplo de los resultados obtenidos, se describe el proceso de la nueva inclusión en el catálogo de un sismo ocurrido el día 19 de enero de 1960, como resultado del análisis de la noticia publicada en el Diario de Las Palmas con fecha 20 de enero:

"Extraordinaria impresión ha causado en toda la isla el temblor de tierra registrado hoy en las zonas de Tuineje, Tiscamanita, Antigua, Betancuria, Agua de Bueyes, Pájara y Ampuyenta... no se registraron desgracias personales... en Tuineje las paredes del Grupo Escolar de reciente construcción se resquebrajaron, rompiéndose los cristales de las ventanas... los niños se lanzaron a la calle al temblar el edificio... toda la población alarma... otros edificios han sufrido los efectos del sismo... en Antigua las sillas y mesas estaban bailando. El grupo Escolar de Betancuria sufrió como el de Tuineje, los efectos del temblor si bien no en la proporción de este. El sector afectado por el sismo alcanza unos veinticinco kilómetros cuadrados, habiéndose producido el anterior en 1909"

El nuevo epicentro ha sido situado al noroeste de Tiscamanita, en la isla de Fuerteventura, con una intensidad máxima de V-VI (EMS98) y una intensidad estimada en el epicentro superior a VI (EMS98). Las coordenadas del epicentro se han obtenido como resultado del baricentro de las localidades afectadas con similar intensidad.

Otro ejemplo, en este caso de una mala localización del catálogo actual, lo tenemos en el terremoto del 8 de enero de 1909, localizado en Agaete (Gran Canaria), donde según las noticias había sido sentido. Este terremoto pertenece sin duda a la serie sísmica que comienza el 4 de enero de ese mismo año con terremotos localizados entre Tenerife y Gran Canaria. El hecho de que solo hubiera noticias de que el terremoto había sido sentido exclusivamente en Gran Canaria y no en Tenerife llevó a una mala localización, que ha sido corregida en el nuevo catálogo.

Por último, ponemos otro ejemplo de terremoto con informaciones contradictorias en diferentes catálogos y que un análisis de la información original nos ha permitido catalogar de manera correcta. Se trata de un terremoto localizado en el catálogo de Karnik (1969) el día 23 de enero de 1947 a las 9:52:29 en la población de Tacoronte (Tenerife), con intensidad VI y del que se señala que ha producido numerosos

daños y ocasionado 5 víctimas mortales. Esta información proviene de un Boletín Sísmico del Instituto Geográfico y Catastral realizado por J.M. Bonelli, según consta en las referencias, información que se refleja igualmente en el Boletín del Observatorio del Ebro, en el que se proporcionan las horas de la llegada de la onda P a las

Gran temporal en Tenerife

Impresionante suceso en Tacoronte. - Murieron cinco personas que dormían en una casa, al ser derrumbado el edificio por un alud de tierra

Toda la isla de Tenerife ha quedado presa de enorme emoción desde esta mañana, pero principalmente en esta capital y zona Norte, al conocerse el gravísimo suceso ocurrido en las inmediaciones de Tacoronte en la madrugada última, como consecuencia del temporal de viento y agua que descargó con suma violencia, y como consecuencia también del temblor de tierra registrado a las diez de la noche.

La tragedia ocurrió en una casa terrera bastante nueva, propiedad de don Francisco Padilla, que se encontraba situada en el lugar denominado El Torcón, en el Cantillo, por la margen izquierda de la carretera con dirección a Tacoronte. Dicho inmueble estaba construido arimado a un muro de contención de tierras labradas, muro que se eleva a una altura de cinco metros. Parece que debido al fortísimo aguacero que se abatió sobre aquella comarca durante toda la noche, y acaso también por efectos del seísmo conocido, dicha pared se rompió por su centro, cayendo el alud de piedras y tierra sobre la casa de referencia, arrastrándola materialmente y quedando cubierta de escombros, ocasionando la muerte de las cinco personas que en ella dormían. Esta explicación del suceso es la más verosímil, pues de certeza absoluta nada puede saberse, ya que por la hora, dos de la madrugada, en que se supone ocurrió el siniestro, y haber resultado muertos los habitantes de la casa, nadie pudo presenciar aquél.

De siete a ocho de la mañana fué cuando unos vecinos se dieron cuenta de la desgracia, al advertir el derrumbamiento, propagándose la noticia rápidamente y con la consiguiente alarma. El vecindario y las autoridades de la localidad se congregaron en el lugar del triste suceso, procediéndose a realizar los trabajos de desescombros, que resultaron muy dificultosos, a causa de la gran cantidad de tierra y piedras derrumbadas sobre la casa. Dirigieron estos trabajos con el auxilio de la Guardia Civil del término, el alcalde, jerez comarcal y, poste formente, el juez de Instrucción de La Laguna. Hacia el mediodía quedaron al descubierto las infortunadas víctimas, todas las cuales estaban ligadas por vínculos de parentescos, y que son:

Francisco Padilla, dueño y habitante de la casa; su esposa, Antonia Hernández García; un hijo de este matrimonio, llamado Juan Luis, de 12 años de edad; Rafael Hernández, domiciliado en la calle de Los Molinos de esta capital, quien deja esposa y dos hijos, uno de tres años y otro de 17 meses; y Manuel González García domiciliado en Taco con su esposa y sus cuatro hijos.

Los dos últimos eran de profesión marchantes, quienes habían salido de Santa Cruz ayer con la intención de comprar reses en el Norte de la isla, y que decidieron pasar la noche en casa del aludido matrimonio, del cual eran parientes.

La tragedia se estima como ocurrida, según más arriba decimos a las dos de la madrugada última, toda vez que así lo hace presumir el hecho de que el reloj de pulsera de uno de los desgraciados marchantes se encontraba parado, al surgir el cadáver de entre los escombros, en la hora mencionada.

Inútil será declarar cuantas es la consternación provocada en Tacoronte por el siniestro que estamos relatando, así como la desgracia en esta capital, especialmente en los barrios de donde eran vecinos los marchantes que en aquél perdieron la vida. En El Cantillo no ha cesado en todo el día la aglomeración de gente en los alrededores del triste lugar de la ocurrencia, suscitándose en todos los presentes una agudización de sentimiento, con escenas impresionantes, a medida que iban apareciendo los cadáveres de las infortunadas víctimas.

Estas fueron hacia la una de la tarde trasladadas al cementerio de La Laguna, utilizándose el camión de la familia Peraza, entregándoseles en el depósito judicial donde se les practicará la autopsia. Todos los familiares de las víctimas do-

micilladas en esta capital se personaron en el referido depósito, desarrollándose a su llegada, como bien puede presumirse, escenas desgarradoras.

Como decimos al principio, por toda la isla ha circulado la triste nueva con enorme rapidez, provocando la general conmiseración hacia estas cinco víctimas tinerfeñas que han sido segadas de un solo golpe por la más inesperada de las desgracias.

A los afligidos familiares de las víctimas hacemos llegar nuestro profundo sentimiento, deseándoles resignación para sobrelevar tan ruda prueba como la que ahora lloran.

Un temblor de tierra de diez a quince segundos de duración

Para conocer datos técnicos y ampliar detalles sobre el temblor de tierra registrado el viernes último, nos pusimos en comunicación con el Observatorio Meteorológico, desde donde nos han facilitado los siguientes pormenores:

El seísmo que tuvo lugar exactamente a las veintidós menos cinco, fué más intenso que el ocurrido a las 21'20 de la noche del pasado 16 de diciembre. Ambos pueden ser considerados como de poca importancia, y el del viernes a la noche tuvo una duración que oscila entre los 10 y los 15 segundos, con dos sacudidas fuertes que fueron notadas en esta capital y La Laguna por numerosísimas personas. Trátase de movimientos sísmicos locales, es decir, circunscriptos a reducidas zonas.

Seísmo en Las Palmas de Gran Canaria

El tiempo en esta isla continúa con lluvias, viento y granizo. El jueves se alzó un temblor de tierra que alcanzó a diversos sectores de la isla, principalmente la zona de Teror, donde sonaron las campanas de la iglesia como consecuencia del fenómeno, que se repitió tres veces por varios segundos de duración. Afortunadamente no hubo desgracias.

estaciones sismológicas de Alicante, Almería y Málaga. Además, se incluyen los siguientes datos macrosísmicos: "Grado II-IV en Santa Cruz, Fasnia, La Laguna, Faro de Pons de Abona, Guía, Las Palmas. Alud de tierra y 5 víctimas en Tacoronte". Esta reseña de Karnik la recogen posteriormente los catálogos de Munuera (1974) y Monge (1981), sin embargo, Mezcuca y Martínez Solares (1983), a partir de la información recogida en ese momento del Centro Geofísico de Canarias lo sitúan en El Paso (La Palma), asignándole una intensidad de V. Esta última localización es la que permanece en el catálogo actual.

Analizada toda la información disponible para este terremoto, estamos en disposición de concluir que se trata de los lamentables sucesos ocurridos en Tenerife en el mes de enero de 1947 y que aparecieron como noticia destacada en el Diario de Avisos, figura 6.2, que se hizo eco de los graves acontecimientos que ocurrieron en Tacoronte el día 27 con motivo de un temporal que provocó un alud de tierra que ocasionó esas 5 víctimas mortales. En esa misma nota se reporta la ocurrencia simultánea de terremotos sentidos en Santa Cruz de Tenerife y La Laguna (Tenerife) y en la zona de Teror (Gran Canaria) y que se corresponden con la información macrosísmica también recogida en el Boletín del Observatorio del Ebro. Por lo tanto, podemos concluir que se trata de dos sucesos independientes, aunque próximos, no coinciden exactamente en la misma fecha. Por un lado el fenómeno meteorológico que ocasiona un alud que provoca las 5 víctimas mortales y por otro lado, un terremoto que se siente en las dos islas mayores y que por lo tanto tendría su epicentro entre ellas, como así se ha considerado en este nuevo catálogo.

Figura 6.2 - Noticia aparecida en el Diario de Avisos, en relación con los sucesos acontecidos en Tacoronte (Tenerife) en enero de 1947, debidos a un temporal que ocasionó un alud provocando 5 muertos. Estos daños habían sido erróneamente atribuidos en varios catálogos a los terremotos coincidentes en el tiempo y que se sintieron en poblaciones de Tenerife y Gran Canaria.

7. Relocalización hipocentral del periodo 1975-2000

En el periodo instrumental, la relocalización ha sido principalmente numérica, como describiremos a continuación, si bien, la revisión hemerográfica realizada ha permitido completar la información macrosísmica contenida en el catálogo de forma importante. A modo de ejemplo, se describe la información obtenida para el terremoto del 18 de julio de 1977 a las 5:35 (UTC), de magnitud 4,2 y con epicentro en el mar, al sureste de Candelaria (Tenerife), del que no existía información alguna de efectos. A partir de la nota publicada en el Diario de Avisos del 21 de Julio se le ha asignado una intensidad de III (EMS98). Curiosamente, el Diario cita como fuente al Observatorio Geofísico, pero no hemos encontrado esta reseña en sus boletines: "*Sentido en varias localidades de Tenerife: Santa Cruz, Güímar, La Orotava, Santa Úrsula, Izaña, etc con grado III*".

En cuanto a la localización numérica, a continuación se desarrolla la metodología utilizada en el recálculo de todos los terremotos catalogados y de los nuevos eventos aparecidos como resultado de una revisión de todos los boletines sísmicos del Centro Geofísico de Canarias y de otras instituciones nacionales e internacionales.

7.1. Descripción de los métodos y algoritmos utilizados

Como el periodo instrumental que trata este trabajo es bastante homogéneo en cuanto al tipo de instrumentación se refiere, aunque varía la configuración de la red (todas las estaciones del periodo son estaciones de corto periodo), se propone una relocalización utilizando un único método que pueda utilizar el mayor número de datos de entrada disponibles, dado el escaso número de estaciones sísmicas operativas en Canarias para este periodo.

En el proceso rutinario de localización en la Red Sísmica en Canarias para el periodo 1975-1995, se utilizó el software HYPO71, Lee y Lahr (1975), mientras que para los últimos cinco años 1996-2000 la localización hipocentral fue realizada mediante el programa LOCSAT, Bratt y Nagy (1991). Con objeto de utilizar el máximo de los escasos datos proporcionados por los boletines de ese periodo, nosotros en este trabajo hemos utilizado el software HYPOSAT, Schweitzer (2001), que además de usar los tiempos absolutos de llegada de las distintas fases sísmicas, permite la utilización de las diferencias entre las distintas fases para cada estación, añadiéndose así de esta forma ecuaciones al sistema. HYPOSAT utiliza además modelos de tierra locales, y puede considerar también como datos de entrada el acimut entre la estación y el epicentro y los valores del parámetro del rayo, si estos son conocidos.

7.2. El programa de localización HYPOSAT (Schweitzer, 2001).

Ventajas sobre métodos anteriores

Como en todo proceso de localización numérica basado en la inversión no lineal, el proceso de resolución se define como un proceso iterativo. A partir de una solución inicial, y después de un número determinado de iteraciones, es posible alcanzar la solución final, si esta converge. La precisión en la estimación de la localización depende fundamentalmente del conocimiento de la distribución de las velocidades sísmicas en el interior de la tierra y de la geometría de la red.

Los programas de localización para terremotos locales o regionales más extendidos en los procesos de cálculo de los centros sismológicos son: HYPO71 (Lee y Lahr, 1975), HYPOINVERSE (Klein, 1978), HYPOCENTER (Lienert et al. 1988), que utilizan de forma casi similar los tiempos de llegada a las distintas estaciones de la red de las fases sísmicas interpretadas. La generalización del concepto de antena sísmica permitió la obtención de datos referentes al vector lentitud, parámetro del rayo o su inversa la velocidad aparente. El uso conjunto de todos estos datos para la localización fue introducido por Bratt y Bache (1988) y posteriormente por Bratt y Nagy (1991) en el programa LOCSAT, que es el software de localización utilizado en el Centro Internacional de Datos (IDC) del Tratado de Prohibición Completa de Ensayos Nucleares (CTBTO) de las Naciones Unidas y en la Red Sísmica del IGN desde el año 1997. HYPOSAT (Schweitzer, 2001) recoge esta filosofía, invirtiendo los tiempos de recorrido de todas las fases P y S de las que se disponga de información de tiempos de llegada, pero también de forma conjunta con los datos de observaciones de acimut y parámetro del rayo (o velocidad aparente).

En HYPOSAT, la situación del epicentro inicial puede obtenerse a partir de la intersección de los diversos acimuts estación-epicentro de las diferentes fases y estaciones, que es una solución mejor que la clásica empleada

por otros programas al considerar como epicentro inicial uno próximo a la primera estación de registro. De la incertidumbre de los diferentes acimuts se puede obtener la incertidumbre asociada a ese epicentro inicial.

HYPOSAT determina la hora origen inicial y su incertidumbre mediante la aproximación de Wadati (1933), con las diferencias de llegada de las distintas fases P y S en las diferentes estaciones. La profundidad del hipocentro inicial suele ser fijada a priori en la primera iteración, liberándose a posteriori y pasando a ser unos de los parámetros a determinar en el proceso de inversión.

En cuanto a los tiempos de recorrido teóricos, necesarios para el proceso de inversión, HYPOSAT incorpora las tablas clásicas para distancias telesísmicas que se corresponden con los modelos: Jeffreys-Bullen (1940), PREM (Dziewonski y Anderson, 1981), IASPEI91 (Kennett y Engdahl, 1991), SP6 (Morelli y Dziewonski, 1993) y AK135 (Kennett et al. 1995). A nivel local o regional se deben utilizar, junto con estos modelos globales, modelos que definan mejor la velocidad de las ondas sísmicas a la escala correspondiente. Para ello, se definen modelos regionales de capas planas y horizontales en los que se calculan los tiempos de recorrido y sus derivadas correspondientes. Las nuevas versiones de HYPOSAT permiten la definición de distintos modelos en la fuente y en la estación de registro, además puede considerarse la diferencia de altitud de las distintas estaciones que componen la red. HYPOSAT incluye el algoritmo de Müller (1977) para transformar a modelos en tierra esférica.

El uso añadido de las diferencias de tiempos de llegada de distintas fases sísmicas, tiene un doble valor: por un lado, colaboran en disminuir la influencia de las incertidumbres del modelo ya que las diferencias son menos sensibles a sus discontinuidades, además en los casos de escasez de datos, las diferencias de tiempo pueden ayudar constreñir la solución, ya que estas dependen de la distancia y no de la hora origen. También habría que tener en cuenta, que las diferencias de tiempos no están afectadas por los errores de reloj, tan importantes en la época inicial de la sismología instrumental, cuando cada registrador llevaba asociado un sistema de hora, muchas veces con estado y marcha desconocidos.

HYPOSAT realiza la inversión mediante un proceso iterativo para la resolución de un sistema de ecuaciones linealizadas. El método que emplea es el de la Inversa Generalizada (Menke, 1978), con el uso del algoritmo de descomposición en valores singulares de Press et al. (1992).

Entre las múltiples soluciones que proporciona HYPOSAT para la localización de cada sismo, es necesario buscar la solución que, consiguiendo el menor RMS posible, sea compatible con unos valores de los semiejes mayor y menor de la elipse de error más reducidos, sin sacrificar, en lo posible, el número inicial de observaciones.

7.3. Relocalización hipocentral

Con objeto de homogeneizar los resultados del catálogo, se han recalculado todos los terremotos de los cuales se disponía de lecturas de fases realizadas a partir de los registros de las estaciones sísmicas. Estas lecturas, como se ha explicado en el apartado correspondiente, figuraban en los boletines sísmicos del Instituto Geográfico Nacional, ya fuesen realizados en las dependencias del Centro Geofísico de Canarias o en la Red Sísmica Nacional. El repaso de todos estos boletines ha dado lugar a la inclusión de nuevos terremotos que en su día no pudieron ser localizados debido a las limitaciones de los procesos de cálculo utilizados en la época.

En cuanto al modelo de velocidades utilizado, se ha decidido mantener el mismo modelo que se viene empleando en Canarias desde el inicio del cálculo numérico (figura 7.1). Este modelo fue obtenido en el año 1985 en el Centro Geofísico de Canarias, tomando como referencia los perfiles sísmicos profundos de refracción realizados en los años 1977 y 1979, que fueron interpretados en el trabajo de Dañoibeitia (1980) y es conocido en la Red Sísmica Nacional como "modelo Canary". Se trata de un modelo estratificado homogéneo

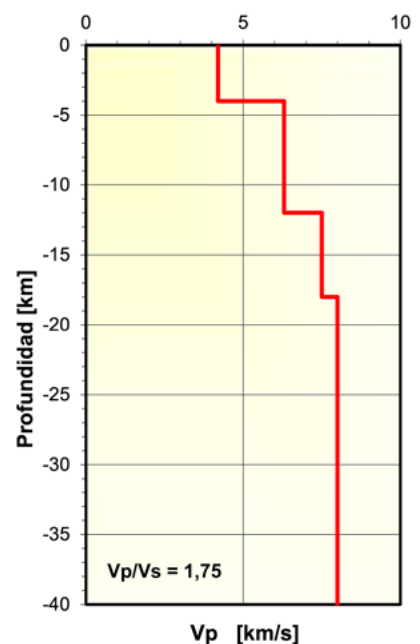


Figura 7.1 - Modelo de corteza "Canary", utilizado en las localizaciones hipocentrales.

y promedio para todo el archipiélago y que por lo tanto, no reproduce con total fidelidad el modelo real para cada una de las islas (modelos por otra parte totalmente heterogéneos como corresponde a un conjunto de islas de naturaleza volcánica). La relación constante promedio V_p/V_s es 1,75.

En la actualidad, la existencia de modelos de mayor precisión obtenidos con otras técnicas, junto con la densificación de la Red Sísmica, pueden permitir el uso de otros programas que mediante el uso de modelos de velocidad 3D, obtienen localizaciones hipocentrales con elipses de error reducidas. Por otra parte, el uso también de técnicas de localización relativa, minimiza el efecto del modelo sobre la incertidumbre en la localización. El escaso número de estaciones sísmicas instaladas en el periodo considerado no ha permitido utilizar estas técnicas modernas, siendo el proceso idóneo para este periodo el de una localización clásica con un modelo promedio para todo el archipiélago.

8. Comparación de localizaciones 1341-2000

En las figuras 2.1, 2.2, 2.3, 8.1, 8.2 y 8.3 se muestran los mapas de sismicidad correspondientes al catálogo actual y al resultante del presente estudio, respectivamente. Aparte de un considerable aumento en el número de terremotos catalogados hasta el año 2000 (922 terremotos frente a los 511 del catálogo actual), consideramos importante destacar los siguientes aspectos:

En la parte histórica, se han encontrado numerosos nuevos terremotos, fundamentalmente en la revisión de periódicos realizada, pero también en el análisis de los estudios recientes publicados sobre terremotos y erupciones volcánicas en Canarias. Quizá la característica más importante que deba reseñarse en cuanto a las localizaciones para este periodo histórico es la de asignar el epicentro no al punto en que fue sentido el terremoto con mayor intensidad, sino que en función de su posible relación con alguna fuente sismo volcánica, se ha trasladado su hipotético origen a las proximidades del fenómeno posiblemente causante del sismo. Esto ha permitido además realizar una cuantificación más rigurosa de cada uno de los sismos, trasladando al epicentro sus posibles efectos mediante las nuevas ecuaciones de atenuación de la intensidad obtenidas en este trabajo.

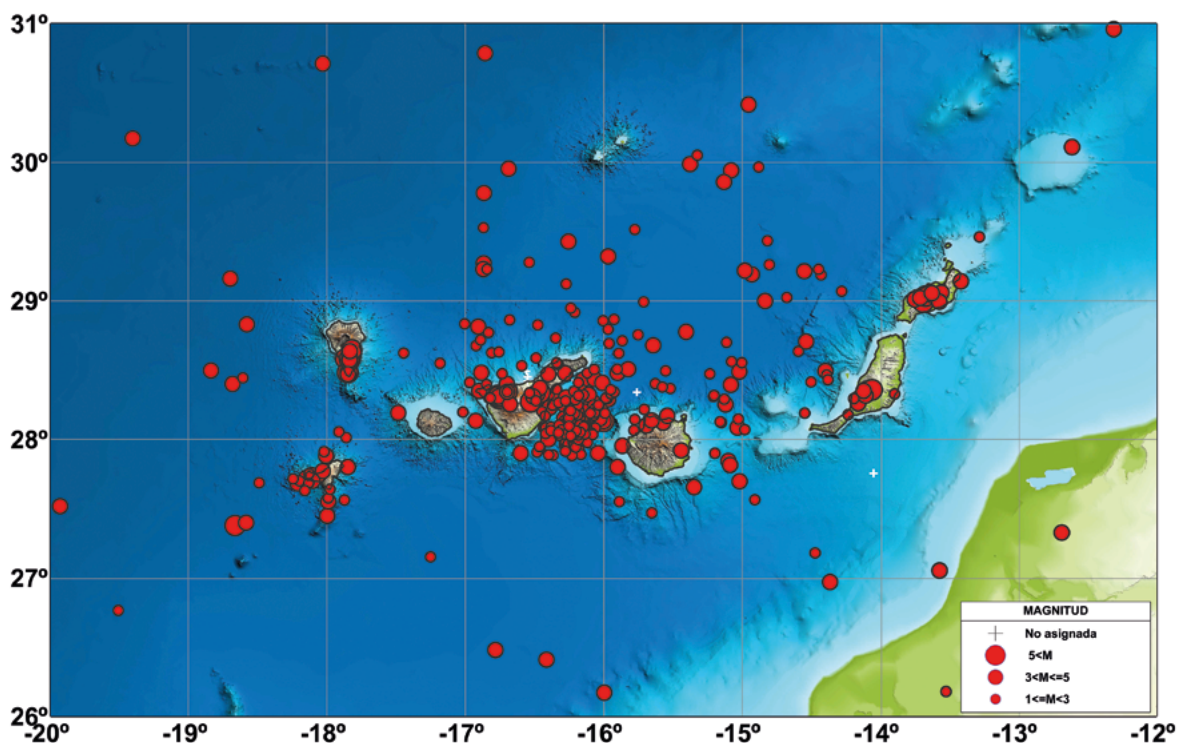


Figura 8.1. - Nuevo catálogo (1341-2000) representado en función de la magnitud momento M_w .

En la parte instrumental, al procederse de una forma única para todo el periodo, la solución de localización es más homogénea y con una asignación de errores con parámetros de control de la solución, como es el elipsoide de error que permite clasificar la sismicidad crítica en función de sus errores asociados.

Si comparamos la sismicidad del nuevo catálogo 1341-2000 (figura 8.1) con la del actual (figura 2.1) en función de la magnitud, podemos observar que la sismicidad en el interior de las islas se ha visto completada con terremotos a los cuales ha sido posible asignarles ese parámetro. Este aumento resulta significativo en la Isla de Tenerife, pero también en la de La Palma, Fuerteventura y Lanzarote, dando como resultado una visión mucho más realista de la sismicidad asociada al fenómeno volcánico canario.

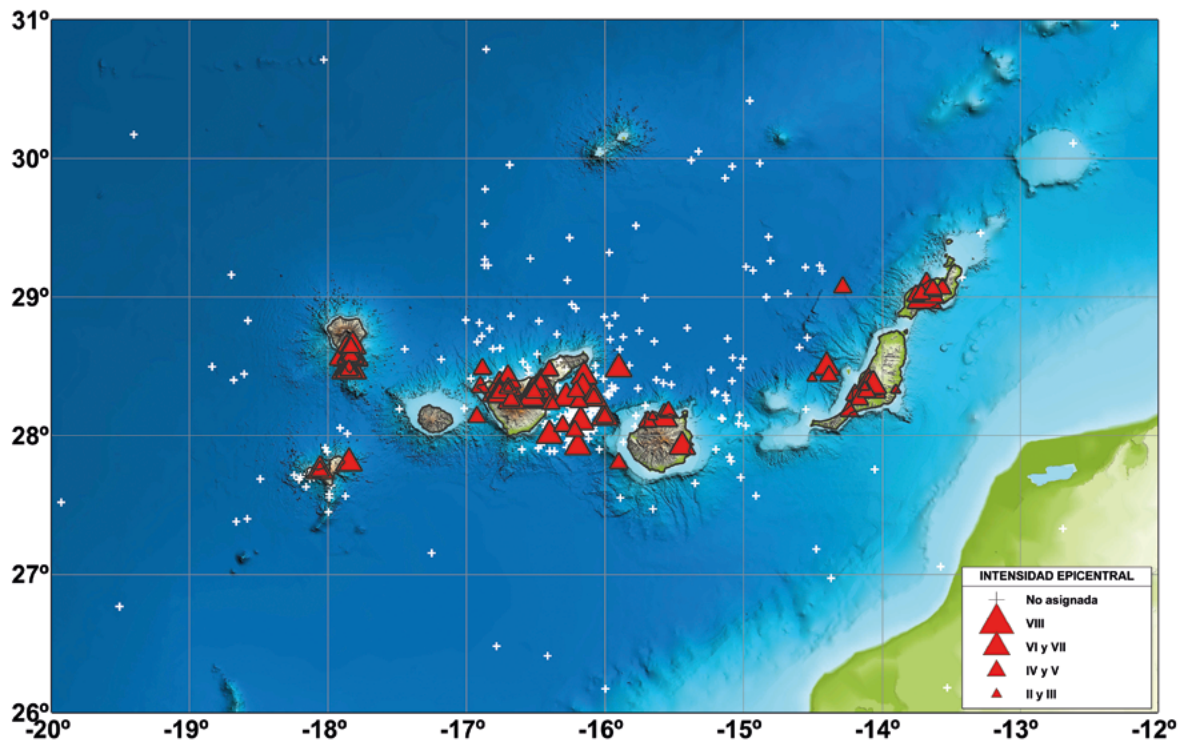


Figura 8.2. - Nuevo catálogo (1341-2000) representado en función de la Intensidad Epicentral (EMS98).

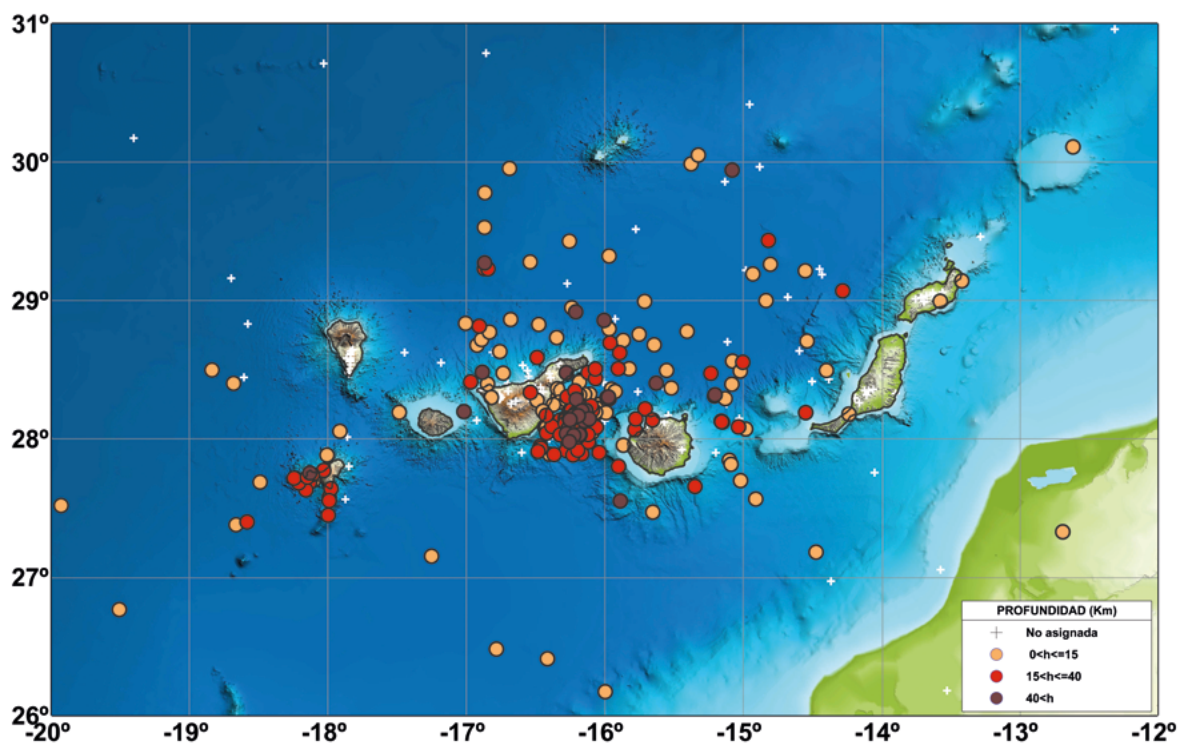


Figura 8.3. - Nuevo catálogo (1341-2000) representado en función de la profundidad.

En cuanto a la misma representación pero considerando el parámetro intensidad (EMS98), podemos apreciar en la figura 8.2, en la que se muestra el nuevo catálogo 1341-2000, un aumento significativo en el número de terremotos, muchos inéditos, que ha sido posible evaluar este parámetro, gracias a la revisión realizada, pero también un incremento importante de la valor intensidad al haberse trasladado esta a la intensidad máxima epicentral, mientras que en la figura 2.2 el valor representado era la intensidad observada.

El parámetro profundidad solamente es posible determinarlo numéricamente a partir de los datos recogidos de los registros sísmicos, por lo que únicamente disponen de este valor los terremotos de la época instrumental. Por esta razón, es poca la diferencia entre la visión de la sismicidad del catálogo actual (figura 2.3) y la del nuevo catálogo 1341-2000 (figura 8.3), ya que solamente se han añadido al primero aquellos nuevos terremotos cuyos datos han sido recuperados de los boletines sísmicos. Se confirma en la figura 8.3 que es poca la sismicidad por debajo de 40 km, estando principalmente contenida toda la actividad del área hasta esa profundidad, únicamente entre las islas de Gran Canaria y Tenerife la sismicidad alcanza profundidades desde 0 hasta más de 40 km.

9. Determinación de una magnitud unificada

El objetivo de este apartado es el de describir las diferentes expresiones de magnitud utilizadas a lo largo del tiempo en el catálogo de Canarias y tratar de desarrollar una metodología que nos permita expresar el catálogo completo final en una única definición de magnitud, denominada Magnitud Momento M_w o M , Kanamori (1977). Esta magnitud ha sido calculada únicamente en algunos terremotos de Canarias, debido a la dificultad de poder determinarla para sismos de pequeña magnitud. Sin embargo, debido a que esta magnitud es obtenida a partir del momento sísmico escalar del terremoto M_0 , la misma expresa con gran fidelidad el proceso físico de la rotura y las características elásticas del medio. En la actualidad, todos los estudios de sismicidad y peligrosidad sísmica se realizan con el uso de catálogos expresados en dicha magnitud M , que se supone representa más fielmente la energía liberada. Es por tanto nuestro objetivo intentar expresar el catálogo final de Canarias en términos de esta magnitud, si bien no puede ser a través de la obtención directa del momento sísmico, lo haremos mediante el uso de diversas correlaciones que explicamos en este capítulo.

Dado que durante la elaboración de los boletines sísmicos desde el año 1964 hasta el año 2000, se han venido utilizando diferentes definiciones de magnitud, será necesario diseñar una estrategia que permita establecer las diferentes correlaciones encaminadas a pasar todo el catálogo a magnitud momento M . Además, la parte histórica del catálogo carece de cuantificación en términos de magnitud, siendo la intensidad sísmica el parámetro que nos indica su tamaño y por lo tanto, también exploraremos la forma de establecer una correlación empírica de este valor con la M .

9.1. Diferentes expresiones para el cálculo de la magnitud empleadas en el Catálogo de Canarias a lo largo del tiempo

Existen en el catálogo actual valores de magnitud para determinados sismos que se tomaron del Catálogo de Karnik (1969) denominado "Seismicity of the European Area", correspondiente a terremotos en las Canarias, o del Catálogo de Munuera (1974). Estos valores fueron asignados, en su día, en función de la intensidad máxima y por tanto no se han considerado en la presente reevaluación, puesto que nosotros utilizaremos en este trabajo otra relación empírica que justificaremos posteriormente para la región, y que se aplicará a todos los sismos que tienen únicamente una intensidad asignada.

A partir de la década de los sesenta, aquellos sismos de Canarias que han sido recogidos en el catálogo del International Seismological Centre (ISC), sí disponen de valores de magnitud m_b y/o M_s obtenidas a partir de la medida de la amplitud de la onda P y/o superficiales registradas a distancias regionales o telesísmicas. Estos valores sí se han considerado en el catálogo para su posterior utilización en la reasignación de una magnitud común.

Específicamente para las Islas Canarias, comienzan a publicarse boletines de sismos locales y próximos en el año 1964, y en ellos, hasta 1974, se recogen solamente las identificaciones de las distintas fases sísmicas, con sus tiempos de llegada, para los sismos registrados con la calificación de próximo o lejano, sin cálculo de la magnitud. Únicamente si el sismo había sido sentido se especifica en el boletín su grado de intensidad en las distintas poblaciones.

En el año 1985 se introduce en Canarias el cálculo hipocentral numérico y el de la magnitud, pero la publicación de boletines se extendió hacia atrás hasta el año 1975, de tal forma que es a partir de ese año 1975 cuando puede considerarse el inicio de un cálculo sistemático de hipocentros y magnitud, a partir de los datos de las estaciones existentes en las Islas Canarias. En cuanto a la magnitud, se estableció como expresión a utilizar, la publicada por Lee et al. (1972) basada en la duración de la señal sísmica en cada una de las estaciones de registro.

$$M_b = -0,87 + 2,0 \log \tau + 0,0035 \Delta \quad (4)$$

Donde τ es la duración en segundos del sismo en cada estación y Δ la distancia epicentral en kilómetros.

Esta magnitud duración M_b es equivalente, con los coeficientes determinados por Lee et al. (1972), a la magnitud local M_L de Richter para California. Sin embargo, desde el comienzo de la publicación de boletines hasta

el año 1987, por un error de transcripción en el último de los términos de la expresión de M_D , se estuvieron asignando magnitudes ligeramente inferiores, como pudo comprobarse en el año 1987, cuando se empezó a publicar dicho boletín dentro del Boletín de Sismos Próximos (BSP) del IGN. Esta magnitud entre 1975 y 1987, con el coeficiente erróneo $0,00035 \Delta$, se denominó entonces magnitud M_D *modificada para Canarias*, corrigiéndose este término desde 1987 en adelante. Aprovechando que para el periodo 1987-1990 existen simultáneamente ambos boletines, el publicado por el CGC y el BSP, hemos realizado una correlación entre la verdadera magnitud M_D según Lee et al. (1972), y la llamada M_D *modificada para Canarias*:

$$M_D = 1,16 M_D \text{ modificada} - 0,12 \quad R^2 = 0,94 \quad (5)$$

De esta forma se ha podido establecer para todo el periodo 1975-1995 una asignación correcta de magnitud basada en la duración del sismo y que podemos considerar equivalente en la totalidad del periodo a la magnitud local de Richter M_L .

A partir del año 1996, para todos los terremotos de Canarias se comienza a asignar magnitud $m_b(Lg)$, basada en la expresión de Mezcua y Martínez Solares (1983), a partir de la amplitud máxima A de la onda Lg registrada y su periodo correspondiente T a una distancia epicentral Δ en grados:

$$m_b(Lg) = 3,90 + 1,05 \log \Delta + \log \frac{A}{T} \quad \text{para } \Delta < 3^\circ \quad (6)$$

$$m_b(Lg) = 3,30 + 1,66 \log \Delta + \log \frac{A}{T} \quad \text{para } \Delta > 3^\circ \quad (7)$$

Esta definición de magnitud se corresponde con una magnitud de ondas internas (de ahí la nomenclatura m_b). La asignación de magnitud $m_b(Lg)$ se mantiene en Canarias, con algunas excepciones que veremos a continuación, hasta el año 2000. Hay que destacar, que la expresión utiliza la onda Lg , que es una fase que no puede darse en un entorno volcánico al no existir un medio granítico para propagarse. Sin embargo, se consideró que su aplicación para Canarias se refiere a la onda S que se propaga por un medio de velocidades parecidas.

Las excepciones a que nos referíamos corresponden a algunos sismos, que debido a una propagación anómala no desarrollan de forma efectiva una onda de máxima amplitud, por lo que se decidió aplicar en estos casos, tanto en el área peninsular como en Canarias, una expresión basada en la observación de la amplitud de la onda P , en concreto la aproximación de Veith y Clawson (1972) cuya expresión es:

$$m_b = \log \frac{A}{T} + Q(\Delta, h) \quad (8)$$

dónde A y T son la amplitud de la velocidad del movimiento del suelo y el periodo correspondiente, de la onda P observada en sismógrafos de corto periodo y $Q(\Delta, h)$ es la función de atenuación dada por estos autores para distintos valores de distancia epicentral Δ y profundidad h . Por tanto, estamos ante otra definición basada en la observación, en este caso, de la onda interna P .

En mes de marzo de 2002 y aunque queda fuera del alcance temporal de este trabajo, López (2008) implementó una nueva definición de magnitud para la Península Ibérica, cuyo uso se extendió posteriormente a Canarias. La razón de tratar esta nueva magnitud aquí es porque intentaremos unificar todas las magnitudes descritas para el periodo de estudio en una única y, que sea además, compatible con el resto del catálogo que para el periodo 2002 hasta la actualidad viene dado en esa nueva definición. Esta nueva definición está también basada en la medida de amplitud en la fase Lg , que para el caso de Canarias se corresponde a la onda S que produce la mayor amplitud del sismograma, tomándose como magnitud de referencia la M_L local de Richter, de manera que para un periodo de 1 s y a una distancia de referencia de 100 km, la nueva definición m_L coincida con la M_L :

$$m_L = \log \frac{A}{T} + 1,17 \log R + 0,0012R + 0,67 \quad (9)$$

donde A es la amplitud de la velocidad del movimiento del suelo de la fase Lg en micras, T el periodo en segundos y R la distancia hipocentral. Por tanto, esta nueva magnitud m_L puede considerarse también equivalente a la magnitud M_L de Richter, en el rango de frecuencias de la onda Lg próximas a 1 Hz

Además, algunos de los terremotos del catálogo de Canarias hasta el año 2000 han sido recalculados en época reciente, con anterioridad a esta revisión, con lo que la magnitud que figura en el catálogo actual asociada a estos eventos es la nueva m_L de López (2008).

De todo lo expuesto, a modo de resumen, podemos concluir en este apartado, que en el catálogo de Canarias actual del IGN, hasta el año 2000, existen dos tipos de magnitud, cada una de ellas con tres versiones distintas:

Magnitud m_b :

- m_b en sus versiones del NEIC y de la ISC
- $m_b(Lg)$ de Mezcua y Martínez Solares (1983)
- m_b de Veith y Clawson (1972)

Magnitud M_L :

- M_D modificada para Canarias
- M_D de Lee et al. (1972)
- m_L de López (2008)

El objetivo que pretendemos es convertir todas las magnitudes a una magnitud única que estimamos que debe ser la magnitud momento M . Esta unificación puede realizarse utilizando cualquiera de las diferentes relaciones existentes en la literatura, aunque consideraremos aquella transformación que permita controlar las posibles desviaciones en relación con la magnitud m_L actualmente en operación.

9.2. Relación entre la definición de la magnitud $m_b(Lg)$ de Mezcua y Martínez Solares (1983) y la magnitud m_L de López (2008)

Como hemos expuesto en el apartado anterior, durante el periodo del 4 de abril de 1998 hasta el 24 de febrero de 2002, las magnitudes dadas en el catálogo general del IGN para Canarias corresponden a la magnitud $m_b(Lg)$ de Mezcua y Martínez Solares (1983). Con el fin de obtener una correlación de esa magnitud con la magnitud m_L de López (2008), para este periodo, se han obtenido de la información de fases que aparece en el Catálogo actual del IGN, para cada terremoto de ese periodo, las observaciones de amplitud máxima y su periodo correspondiente en cada una de las estaciones que lo registraron. Con estos datos y los correspondientes a la distancia epicentral y profundidad hemos calculado para esos terremotos los valores de magnitud, utilizando ahora la expresión m_L de López (2008). Disponemos entonces, para un conjunto de 98 terremotos de los valores simultáneos en las dos definiciones de magnitud, son datos suficientes para realizar un ajuste entre las dos magnitudes cuya representación gráfica puede verse en la figura 9.1.

El ajuste obtenido es:

$$m_L = 1,21 m_b(Lg) - 1,27 \quad R^2 = 0,97 \quad (10)$$

Con esta expresión, podremos trasladar las magnitudes $m_b(Lg)$ de Mezcua y Martínez Solares (1983) a la magnitud actual m_L de López (2008), que es equivalente, en 1 s de periodo, a la magnitud local de Richter M_L . Es en esta conversión, como veremos posteriormente, se ha introducido un desplazamiento en magnitud que es necesario considerar en cualquier estudio de actividad sísmica que la incluya.

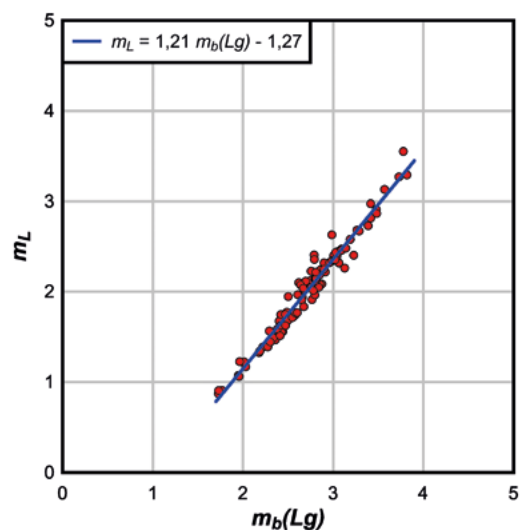


Figura 9.1.- Relación entre la definición de magnitud $m_b(Lg)$ de Mezcua y Martínez Solares (1983) y m_L de López (2008) en Canarias.

9.3. Relación de I_0 con la magnitud m_L de López (2008)

Por último, con objeto de dotar a todos los sismos de la época histórica de un valor de magnitud, intentaremos obtener una relación entre la intensidad máxima y/o epicentral y la magnitud, que permita su consideración conjunta con los correspondientes a la época instrumental. Existe un gran número de relaciones de estas variables en la literatura como son, entre otras, las de Gasperini (2004), Giampiccolo et al. (2007), Castello et al. (2007), Azzaro et al. (2011), para Italia o específicamente para el Etna, mientras que las propuestas por Mezcuca et al. (2011) y Cabañas et al. (2015) se han realizado para la Península Ibérica. En este trabajo, hemos intentado establecer una relación de la intensidad epicentral I_0 con la m_L de López (2008), específica para las islas Canarias. Para este propósito, se han considerado 669 terremotos correspondientes al periodo 2002-2018, que disponen de magnitud m_L y además tienen información de intensidad epicentral I_0 , o en algunos casos intensidad máxima I_{max} . Aunque formalmente ambas intensidades no tienen por qué coincidir en todos los casos, especialmente en los sismos con epicentro en el mar, en este trabajo se han considerado idénticas por simplicidad.

Al efectuar la comparación de ambos valores, que representamos en la figura 9.2, podemos observar que existe una gran dispersión en los datos que es debida por una parte a la equivalencia establecida entre I_0 e I_{max} , y por otra parte al carácter discreto de la intensidad, frente al de la magnitud que es un número real. Esta última propiedad es la responsable de que para cada clase de intensidad exista un amplio rango de valores de magnitud.

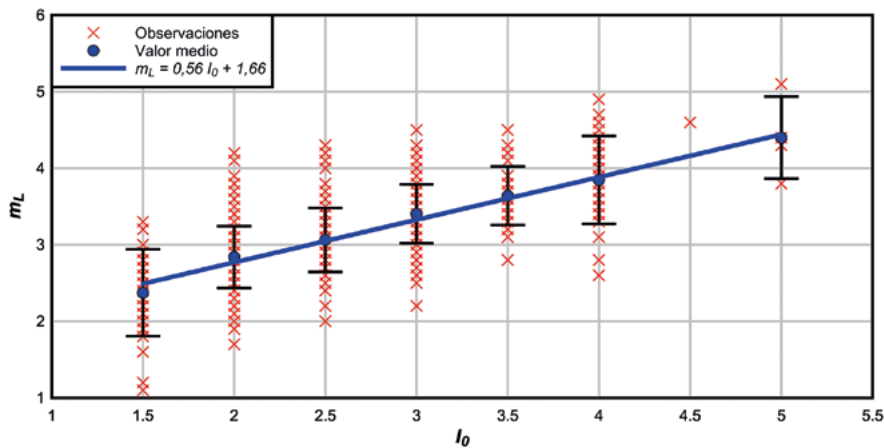


Figura 9.2.- Relación entre la magnitud m_L de López (2008) y la intensidad epicentral I_0 y/o intensidad máxima I_{max}

Con objeto de minimizar el efecto de la dispersión en magnitud, se han obtenido los valores medios de la magnitud m_L y su desviación estándar, para cada clase de intensidad. De esta forma, en la figura 9.2 se presentan también los valores medios y su desviación estándar para cada clase de intensidad. Se ha procedido a realizar un ajuste lineal de dichos valores medios cuyo resultado es:

$$m_L = 0,56 I_0 + 1,66 \quad R^2 = 0,99 \quad (11)$$

Esta expresión puede pues aplicarse a todos aquellos sismos que disponen solo de información de intensidad y así asignarles una magnitud local m_L siempre que la intensidad máxima sea inferior a 5. Desafortunadamente esta expresión no sería aplicable en general para los terremotos históricos aquí analizados, en los que la intensidad máxima observada o deducida es generalmente superior a este valor. Por esta razón, se ha considerado la relación de Mezcuca et al. (2011) para obtener directamente la magnitud momento M de los terremotos históricos evaluados a partir de la intensidad máxima epicentral. Esta expresión es:

$$Mw = 0,63 I_0 + 0,94 \quad \sigma = 0,5 \quad (12)$$

9.4. Estrategia seguida para establecer una magnitud unificada en términos de M_w

Como hemos visto, en el periodo de esta revisión, los terremotos han podido ser evaluados hasta con seis definiciones distintas de magnitud: dos en términos de la duración, basadas en la expresión de Lee et al. (1972), por lo tanto equivalentes a M_L y con una relación de equivalencia obtenida entre ambas, y otras cuatro a partir de la medida de la amplitud de ondas internas: con la medida de la amplitud de la onda P , una la m_b de NEIC e ISC y otra la m_b de Veith y Clawson (1972) y con la amplitud de la fase Lg o de la onda S la $m_b(Lg)$ de Mezcua y Martínez Solares (1983) y la m_L de López (2008).

Existen, a la vista de lo expuesto, diversos caminos para convertir esta dispersión de magnitudes existentes actualmente en el catálogo en M . Este es nuestro objetivo principal, ya que como ha quedado sobradamente demostrado por diversos autores, Habermann (1986, 1987 y 1991), Zúñiga y Wyss (1995), entre otros, los cambios en la definición de magnitud en un catálogo pueden ser los responsables de las variaciones artificiales de la tasa de actividad de una zona, por lo tanto, resulta imprescindible realizar un exhaustivo análisis de estos cambios. Consideraremos que durante el periodo estudiado, en nuestro caso 1975-2000, no ha existido ningún hecho volcánico y/o tectónico reseñable que pudiese indicar un cambio en la actividad sísmica de Canarias. Esto se traduce en la suposición de que tanto la relación frecuencia magnitud o ley de Gutenberg-Richter, como la tasa de sismos, han tenido que permanecer aproximadamente constantes a lo largo del tiempo. Por tanto, cualquiera de las vías que utilicemos para la unificación de la magnitud del catálogo introducirá las variaciones más pequeñas posibles en estos parámetros.

Con objeto de establecer una magnitud unificada para todo el catálogo se han seguido los siguientes pasos:

1. Trasladar los valores de M_D modificada para Canarias a los de M_D de Lee et al. (1972), a partir de la correlación obtenida en este trabajo.
2. Considerar magnitudes duración M_D de Lee et al. (1972) como magnitud local de Richter M_L válida para Canarias.
3. Trasladar los valores de $m_b(Lg)$ de Mezcua y Martínez Solares (1983) a m_L de López (2008) con la relación previamente obtenida. Y considerar que $m_L \approx M_L$.
4. Trasladar los valores de m_b (NEIC, ISC) y m_b (Veith y Clawson, 1972) a M .
5. Convertir todos los valores de M_L a magnitud momento M .

De esta forma tendremos todo el catálogo expresado en una magnitud homogénea, la magnitud momento M , que representa más fielmente la liberación de energía del sismo.

En la literatura sismológica existen numerosos estudios encaminados a establecer relaciones entre los distintos tipos de magnitud y la M . Entre los pioneros, que han usado mayor cantidad de datos provenientes de diferentes regiones, se encuentra el de Johnston (1996). En la Península Ibérica disponemos del estudio de Rueda y Mezcua (2002) para la conversión de $m_b(Lg)$ en M . Recientemente Cabañas et al. (2015) desarrollaron relaciones entre la $m_b(Lg)$ y m_L con M . Dado que estos últimos estudios están basados en datos del área peninsular, en un ambiente tectónico muy diferente al de las Islas Canarias, hemos considerado que no era compatible su utilización. En su lugar, hemos realizado el paso directo de M_L y m_b a M , para ambientes distensivos, a partir de las relaciones obtenidas de la literatura sismológica aplicables a la región de estudio y por otro lado convertir los valores de I_0 o I_{max} a M mediante la relación obtenida en este trabajo y la obtenida por Mezcua et al. (2011).

Para la conversión de m_b a M hemos considerado el trabajo de Scordilis (2006). Este estudio está basado en un elevado número de terremotos (20.407 eventos) ocurridos en todo el mundo, obteniéndose una relación lineal válida hasta $m_b=6,4$; aunque el límite inferior de aplicación es de $m_b=4,5$ podría extrapolarse a magnitudes más bajas. No obstante los terremotos con magnitud m_b dada por organismos internacionales para Canarias no son terremotos de pequeña magnitud. La relación utilizada es:

$$M=0,85 (\pm 0,04) m_b + 1,03 (\pm 0,23) \quad \sigma=0,29 \quad (13)$$

El resto de datos del catálogo están representados de una u otra forma por valores de magnitud equivalente a la magnitud local M_L de Richter. Para hacer la conversión de esta M_L a M , hemos seleccionado aquellas relacio-

nes que por situarse en un ambiente tectónico similar pudiesen ser aplicables. Entre ellas está la de Konstantinou y Melis (2018) para Grecia, con datos entre 2008 y 2016 y la de Castello et al. (2007) para toda Italia, con datos para el periodo 1981-2002. En la figura 9.3 se han representado estas relaciones, así como los terremotos del área de Canarias con m_L y M calculadas y recogidas en el trabajo de tesis doctoral de del Fresno (2016), así como otros valores de M determinados por el IGN y que están incluidos en el catálogo actual. Los terremotos de del Fresno (2016) se encuentran en el intervalo $3,5 \leq M_L \leq 3,8$ y se corresponden todos a un periodo de reactivación sísmica de El Hierro, sus correspondientes valores en magnitud momento se encuentran en el intervalo $3,1 \leq M_w \leq 3,9$. La causa de la falta de linealidad que queda de manifiesto en las observaciones puede ser debida a múltiples factores, como cita del Fresno (2016), como son las imprecisiones en la localización, la falta del conocimiento real de la estructura de velocidad y la posible existencia de distintos mecanismos focales. No obstante, a la vista de la figura 9.3, este conjunto de observaciones está bien representado por las relaciones de Munafò et al. (2016), Cabañas et al. (2015) y Konstantinou y Melis (2018). Sin embargo, el resto de datos correspondientes a Canarias (sismos del 5 de febrero de 2010, 8 de octubre de 2011 y 27 de diciembre de 2013) se ajustan mucho mejor a la relación de Castello et al. (2007) y en menor medida también a la de Konstantinou y Melis (2018). Por lo tanto, una solución de compromiso que representase de igual forma los valores de baja magnitud y se aproximase a los de más alta sería la relación de Konstantinou y Melis (2018), obtenida con 801 observaciones y que entendemos que se ajusta mejor al conjunto de datos de Canarias. Esta correlación es:

$$M = 0,991 (\pm 0,012) M_L + 0,060 (\pm 0,463) \quad R^2 = 0,87 \quad (14)$$

Mediante esta expresión pasaremos todos los datos en M_L del catálogo a M para así obtener un catálogo con magnitud momento unificada.

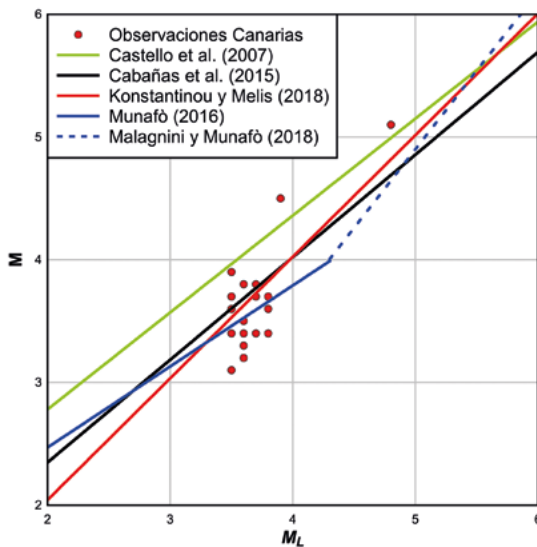


Figura 9.3.- Relaciones entre la magnitud M_L y la magnitud momento M . La relación de Konstantinou y Melis (2018) es la escogida para la transformación de M_L a M .

Por todo lo expuesto, procederemos de la forma siguiente:

1. A los sismos del periodo histórico con I_0 y/o I_{max} se les asignará M_L o M mediante la relación obtenida en este trabajo específica para Canarias y la obtenida por Mezcuca et al. (2011).
2. Los sismos con magnitud m_b según ISC-NEIC (1964-1975) se pasarán a M mediante la relación de Scordilis (2006), mientras que si disponen de M_s este valor es considerado directamente como M .
3. Los sismos con magnitud M_b modificada para Canarias se convertirán en M_b mediante la relación obtenida en este trabajo específica para Canarias.
4. Los sismos con magnitud $M_b \approx M_L$ (1975-1995) se convertirán en M mediante la relación de Konstantinou y Melis (2018).
5. Los Sismos con magnitud m_b (Lg) de Mezcuca y Martínez Solares (1983) se convertirán a $m_L \approx M_L$ mediante la relación obtenida en este trabajo.
6. Los sismos con magnitud m_L se convertirán a M mediante la relación de Konstantinou y Melis (2018).

10. Nuevo catálogo sísmico 1341-2000

El nuevo catálogo que se presenta dispone de una serie de campos que consideramos únicos y otros en los que se dispone de más de una información y que se incluyen en él, estableciendo posteriormente la opción que consideramos preferida para su posterior utilización. Para cada terremoto catalogado se ha rellenado una ficha que contiene los siguientes campos:

Datos Temporales:

Nº:	Número de evento correlativo establecido en el nuevo catálogo.
EVID:	Número de evento en el catálogo actual del IGN.
Fecha:	Día/mes/año de ocurrencia del terremoto.
Hora:	Hora origen de ocurrencia del terremoto en Tiempo Universal. Al tratarse de Canarias, con un adelanto en verano de una hora de la hora oficial al Tiempo Universal, ha sido a veces imposible conocer si las referencias históricas citaban hora local u oficial. En general estas imprecisiones se han producido en eventos ocurridos antes del siglo XX, puesto que con posterioridad las referencias al tiempo utilizado se conocen con bastante aproximación. En cualquier caso, estas imprecisiones no implican grandes cambios en la distribución temporal de la sismicidad.

Datos de localización:

Latitud:	Latitud de epicentro (ETRS89).
Longitud:	Longitud del epicentro (ETRS89).
Error en hora origen:	Error en s en la hora origen, obtenido en el proceso de cálculo numérico.
RMS:	Error medio cuadrático en s, obtenido en el proceso de cálculo numérico.
Semieje mayor:	Semieje mayor de la elipse de error, para el 90% de grado de confianza, en km, obtenido en el proceso de cálculo numérico.
Semieje menor:	Semieje menor de la elipse de error, para el 90% de grado de confianza, en km, obtenido en el proceso de cálculo numérico.
Acimut:	Acimut del semieje mayor de la elipse de error, en grados sexagesimales, obtenido en el proceso de cálculo numérico.
Profundidad:	Profundidad del hipocentro en km.
Error en profundidad:	Error en km en la profundidad del hipocentro, obtenido en el proceso de cálculo numérico.
Número de lecturas:	Número de datos utilizados en la localización numérica hipocentral.
Número de estaciones:	Número de estaciones utilizadas en la localización numérica hipocentral.
GAP:	Mayor ángulo en grados sexagesimales entre las estaciones que participan en el cálculo numérico.
Distancia mínima:	Mínima distancia epicentral.
Distancia máxima:	Máxima distancia epicentral.
Epicentro:	Denominación de la zona epicentral, generalmente la población más cercana.
Zona Sísmica:	Denominación de la región geográfica del epicentro.

Datos de Magnitud:

m_b:	Magnitud de ondas internas dada por NEIC e ISC o calculada con la expresión de Veith y Clawson (1972).
M_D modificada para Canarias:	Magnitud duración a partir de una expresión específica para Canarias.
M_D:	Magnitud duración de Lee et al. (1972).
m_b (Lg):	Magnitud de Mezcuca y Martínez Solares (1983).
m_L:	Magnitud local a partir de la expresión de López (2008).
M:	Magnitud momento definida por Kanamori (1977).

Datos de Intensidad:

Int. Máx. Calc.:	Intensidad máxima calculada (epicentral) en función de las intensidades observadas, en la escala EMS98.
Int. Máx. Obs.:	Intensidad máxima observada en la escala EMS98.
Duración:	Tiempo de perceptibilidad observado en s.
Nobs.:	Número de observaciones de intensidad.
Dist.:	Distancia máxima a la que se ha sentido el sismo.
Referencias:	Acrónimos de las referencias utilizadas en la investigación de cada terremoto, detalladas en el apartado Bibliografía.

11. Análisis preliminar del nuevo catálogo

En la tabla 11.1 apartecen los terremotos contenidos en el nuevo catálogo a los que se les ha asignado una magnitud $M \geq 5,5$. El mayor de los terremotos es el ocurrido el 24 de enero de 1705, con epicentro asociado al Volcán Fasnía (Tenerife) y magnitud $M = 6,1$. Las referencias históricas obtenidas para este terremoto (Núñez de la Peña, 1705; Cabrera, 1985; Romero, 1991 y Sánchez Sanz, 2014) indican que fue violentamente sentido en La Orotava, donde cayeron algunas casas, la cruz y un lienzo de una iglesia, dejando las demás en ruina, además de caída de riscos. También se refleja que este terremoto asoló casas en El Puerto de la Cruz y Los Realejos. En Güímar ocasionó la ruina de setenta casas y provocó la muerte de 16 personas.

Tabla 11.1 - Terremotos $M \geq 5,5$ en el periodo 1341-2000.

Terremotos $M \geq 5,5$ 1341-2000			
Fecha	Hora	M	Epicentro
junio/1585	Tarde	5,7	Volcan Tehuya (La Palma)
13/11/1677	20:00	5,7	Volcán San Antonio (La Palma)
24/12/1704	14:00	5,9	Volcán Sietefuentes. Valle de Güímar (Tenerife)
27/12/1704	20:30	5,9	Volcán Sietefuentes. Valle de Güímar (Tenerife)
28/12/1704	08:00	5,8	Volcán Sietefuentes. Valle de Güímar (Tenerife)
31/12/1704		5,5	Volcán Sietefuentes. Valle de Güímar (Tenerife)
05/01/1705	15:30	5,6	Volcán Fasnía. Valle de Güímar (Tenerife)
17/01/1705	17:00	5,7	Volcán Fasnía. Valle de Güímar (Tenerife)
24/01/1705	16:30	6,1	Volcán Fasnía. Valle de Güímar (Tenerife)
03/02/1705	04:30	5,7	Volcán Arafo. Valle de Güímar (Tenerife)
05/05/1706	03:30	5,7	Volcán Garachico. Valle de Icod (Tenerife)
01/09/1730	21:30	6,0	Volcan Timanfaya. Caldera de los Cuervos (Lanzarote)
25/12/1731		6,0	Volcan Timanfaya. Caldera Quemada (Lanzarote)
05/01/1909	23:30	5,5	Oeste de Agaete. Zona atlántica Tenerife-Gran Canaria
14/11/1909	06:51	5,5	Sur de Garachico. Valle de Icod (Tenerife)
16/06/1915	20:10	5,7	Pájara (Fuerteventura)
20/05/1917	06:00	5,6	Pájara (Fuerteventura)
02/07/1949	09:00	5,9	Volcán Duraznero (La Palma)
13/07/1949	11:45	5,8	Volcán Nambroque (La Palma)
01/04/1959	00:34	5,6	Océano Atlántico

La determinación de las incertidumbres de cada uno de los parámetros de un catálogo en su parte histórica, tiene que realizarse fundamentalmente de forma empírica. En el caso de la sismicidad histórica de Canarias, la dificultad de su determinación proviene de la escasa información de los efectos causados por los sismos, reduciéndose únicamente a la recogida en las localidades habitadas de las islas. Con el paso de Intensidad epicentral I_0 a magnitud momento M , estas limitaciones se traducen directamente en una indeterminación en la magnitud que varía a lo largo del tiempo. No obstante, hemos estimado un valor de las incertidumbres de la magnitud M para distintos periodos (tabla 11.2), basándonos en la suma cuadrática de las incertidumbres asociadas a los ajustes matemáticos realizados en este trabajo y que afectan a su cálculo. Para los periodos históricos 1341-1949 y 1950-1977, consideramos 0,5 y 0,4 como valores de la incertidumbre asociada a la magnitud respectivamente. Para el periodo instrumental 1977-2000, el error en la estimación de la magnitud se deriva directamente de las magnitudes obtenidas experimentalmente.

Para los estudios de sismicidad y de peligrosidad sísmica que se realicen considerando los datos del presente catálogo, deberá tenerse en cuenta que estos valores de incertidumbres pueden estar subestimados en el caso del periodo histórico, mientras que para la sismicidad instrumental más reciente las incertidumbres son mucho menores, como corresponde a un cálculo numérico a partir de las medidas de amplitud realizadas en los sismogramas.

Tabla 11.2 - Incertidumbres estimadas de la magnitud momento **M**, según el periodo.

Estimación de la magnitud M	
Periodo	Incertidumbre
1341-1949	$\pm 0,5$
1950-1977	$\pm 0,4$
1977-2000	$\pm 0,2$

El principal propósito de un catálogo de terremotos es el de proporcionar una descripción de la distribución de sismos en una región en función de su localización, del tiempo de ocurrencia y si es posible de la magnitud. Sin embargo, casi todos los catálogos muestran deficiencias en cuanto a la distribución completa y homogénea de alguno de esos parámetros, como consecuencia de variaciones en la recopilación de datos, número de estaciones, métodos de evaluación de la sismicidad, etc... Estas anomalías en la distribución de la sismicidad pueden conducir a la obtención de resultados erróneos y como consecuencia a falsas interpretaciones sismotectónicas.

Consideraremos que, en un principio, como promedio, la tasa de sismos es invariable en el tiempo para una determinada zona sismotectónica, esto es equivalente a considerar los sismos como sucesos independientes, sin tener en cuenta las réplicas o premonitorios que puedan existir en el catálogo, o lo que es lo mismo, asumir que la ocurrencia de terremotos está gobernada por un modelo de probabilidad discreta de Poisson. Es decir, asumimos que la producción de terremotos de una determinada zona es constante en el tiempo que abarca un determinado catálogo, pero siempre que no se produzcan sismos importantes o/y erupciones volcánicas que pudieran cambiar el régimen de esfuerzos en la zona, y cuando estos cambios se producen se pondrán de manifiesto en una variación de la tasa. Por otro lado, también analizaremos la relación frecuencia magnitud, expresada por la ley de Gutenberg-Richter, que también consideraremos constante para un determinado volumen cortical, en periodos de desarrollo normal de la actividad sísmica y por tanto, las variaciones locales que puedan existir en una zona serán compensadas con las variaciones en áreas próximas.

Representamos en la figura 11.1 el número acumulado de terremotos incluidos en el nuevo catálogo en función de su tiempo de ocurrencia hasta el año 1975. Los cambios más importantes del gráfico están asociados, como puede observarse, con las principales erupciones volcánicas ocurridas en Canarias. Únicamente se aprecia una variación en la actividad con el tiempo que no tuvo erupción asociada y es la correspondiente a la actividad detectada en las proximidades del Volcán San Antonio en isla de La Palma en el año 1939. Este periodo de actividad se ha considerado como la preparación de la erupción del Duraznero o Nambroque de 1949, Bonelli (1950). Es decir, comprobamos que las variaciones en la distribución acumulada de la sismicidad se identifican siempre de forma principal con los fenómenos volcánicos más importantes ocurridos en Canarias.

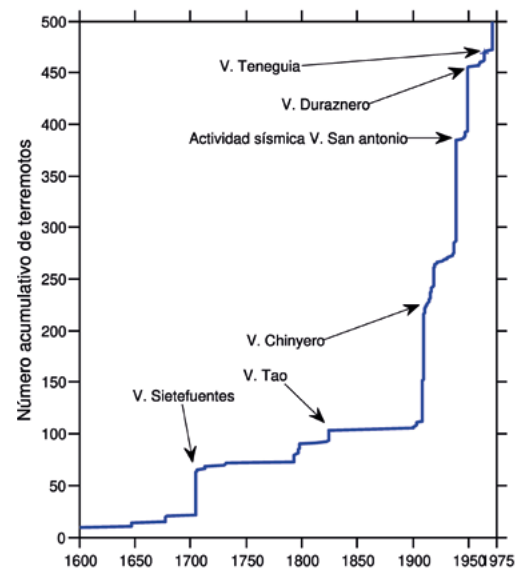


Figura 11.1.- Número acumulado de terremotos en función del tiempo hasta el año 1975 y principal actividad volcánica.

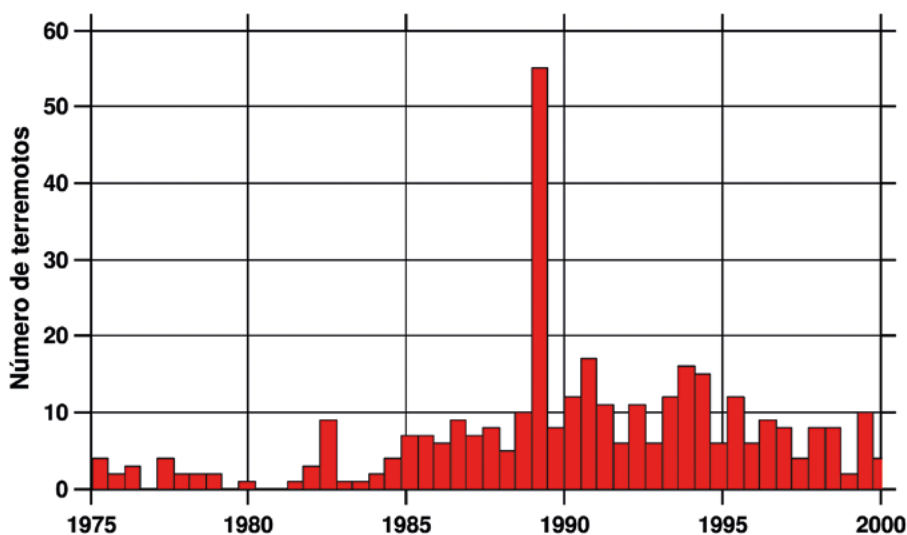


Figura 11.2.- Número de terremotos por año en el periodo instrumental 1975-2000.

Si nos limitamos al periodo puramente instrumental del catálogo 1975-2000, podemos analizar la actividad anual representando en un histograma el número total anual de terremotos en función del tiempo, figura 11.2. Puede observarse que la actividad registrada desde el año 1985, año en el que se completa la primera Red Sísmica, hasta el final en el año 2000, es aproximadamente constante, mostrando únicamente una alteración en 1989, que se corresponde con el terremoto de 9 de mayo de 1989 entre Tenerife y Gran Canaria de magnitud $M = 5,0$ y su serie de réplicas (Mezcua et al., 1992). También puede observarse una ligera disminución de la actividad a partir del año 1996, que intentaremos detectar y cuantificar correlacionándola con algún cambio en la elaboración del catálogo que pudiera explicar esta anomalía. En cuanto a la distribución de magnitudes registradas para este periodo, del histograma representado en la figura 11.3 se deduce que se registran sismos desde la magnitud próxima a $M = 1$, mientras que la magnitud mayor alcanza el valor de $M = 5,3$ correspondiente al terremoto de 26 de febrero de 1977, con epicentro en el Atlántico a unos 250 km al oeste de la isla de La Palma. La forma de la distribución se asemeja a una distribución normal centrada en 2,6, que como veremos posteriormente es muy cercana a la magnitud de completitud M_c para este periodo.

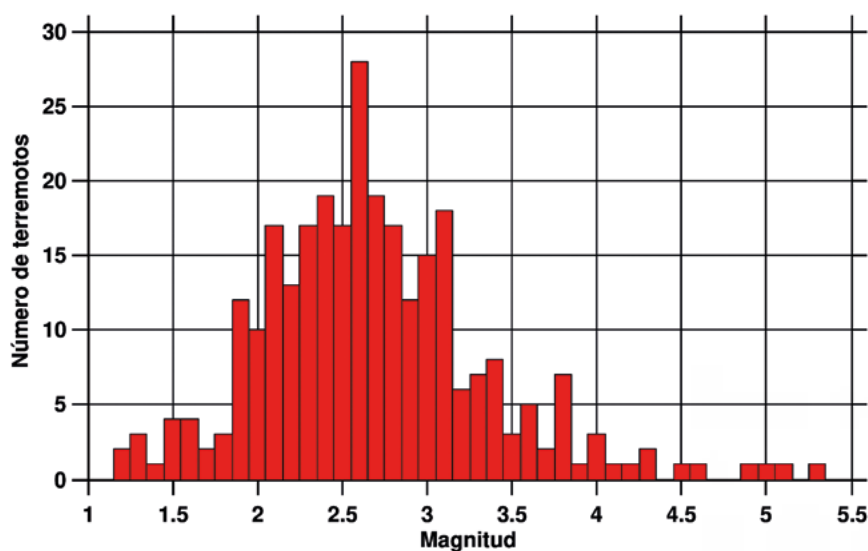


Figura 11.3. - Número de terremotos por magnitud M en el periodo 1975-2000.

En la figura 11.4 se presenta la distribución del número de terremotos frente a su magnitud para todo Canarias, correspondiente al periodo 1975-2000. Se muestran tanto la distribución acumulada (cuadrados) como la no acumulada (triángulos). La expresión de la distribución obtenida mediante un ajuste de máxima verosimilitud es:

$$\log N = 4,32 - 0,77 M_w \quad (15)$$

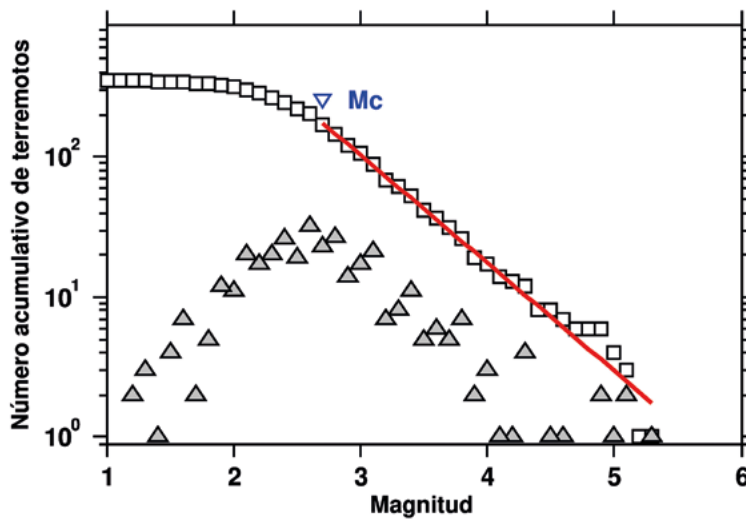


Figura 11.4.- Distribución número de terremotos-magnitud (cuadrados distribución acumulada, triángulos no acumulada).

La magnitud de completitud es $M_c = 2,70 \pm 0,17$ con una tasa anual de 2,83 sismos/año de magnitud igual o superior a esa magnitud de completitud.

En la figura 11.5 se ha representado la variación temporal de la magnitud de completitud del catálogo para este periodo con los valores de ± 1 desviación estándar. Puede observarse que a partir de 1989 el valor de la magnitud de completitud disminuye drásticamente como consecuencia de la instalación de nuevas estaciones de forma temporal como consecuencia de la ocurrencia del sismo de 9 de mayo de 1989. Sin embargo, a partir del periodo 1990-1992 coincidiendo con la instalación de nuevas estaciones permanentes y de un nuevo proceso de cálculo de epicentros instaurado en la RSN en 1996, la magnitud de completitud desciende al entorno de $M_c \approx 2,2$. También se representa en la figura 11.6 la variación temporal del parámetro b para todo el ámbito del catálogo, mostrándose un valor oscilante desde 0,6 hasta un valor próximo a $b \approx 0,8$ desde el año 1990. Con anterioridad a esta fecha se aprecia un aumento del valor de b en el tiempo desde el año 1985 hasta el año 1989, donde se produce entre Tenerife y Gran Canaria uno de los más grandes terremotos registrados en Canarias en toda la época instrumental de magnitud $M = 5,0$, que fue seguido por una larga serie de réplicas y que se pone de manifiesto en una aguda inflexión en la variación temporal de b con un repentino aumento a valores de $b=1,1$.

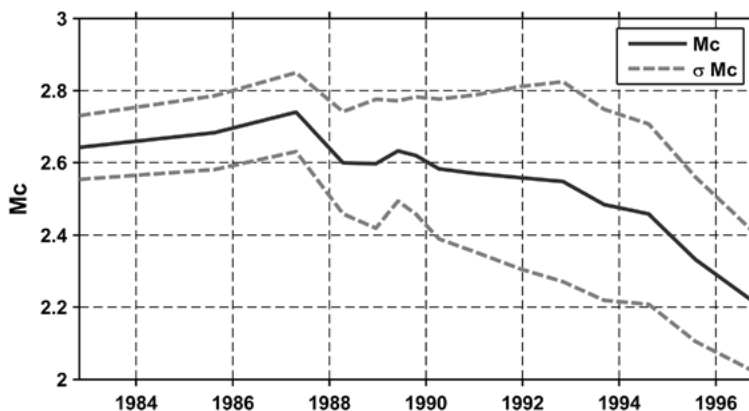


Figura 11.5.- Variación temporal de la magnitud de completitud y su desviación estándar.

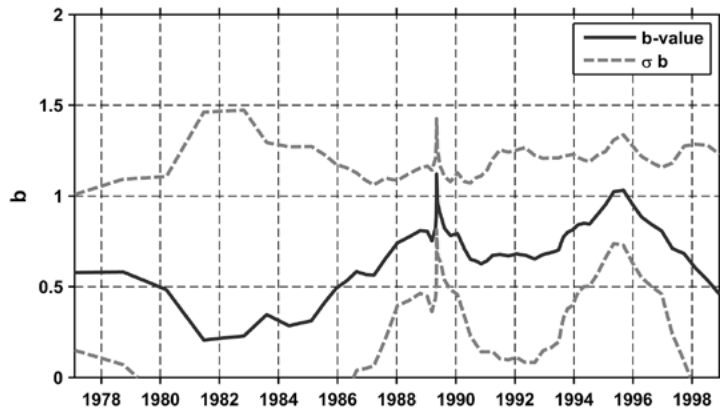


Figura 11.6. - Variación temporal del parámetro b de la relación Gutenberg-Richter y su desviación estándar.

La variación temporal en la actividad sísmica es un fenómeno que se asocia con procesos en el interior de la Tierra, por lo tanto, en el caso de Canarias, estos cambios podrían estar relacionados con la actividad volcánica. Muchos autores han estudiado las posibles causas de estas variaciones, entre otros estudios podemos citar los de Wyss et al. (1981, 1983), Habermann (1987), Zúñiga y Wyss (1995), en los que se analiza el comportamiento de la ley de Gutenberg-Richter, el comportamiento de la tasa anual de sismos en función de la magnitud o el comportamiento de estadísticos que relacionan la actividad sísmica media y su desviación estándar en los periodos de tiempo en los que estas se comparan.

Si representamos con detalle la distribución acumulada de terremotos para el periodo 1989-2000 (figura 11.7), después del terremoto de 9 de mayo de 1989, podemos observar un aumento lineal en el número acumulado de terremotos, hasta que en el año 1995 se produce una ligera inflexión, con un cambio en la pendiente de la actividad del periodo 1995-2000.

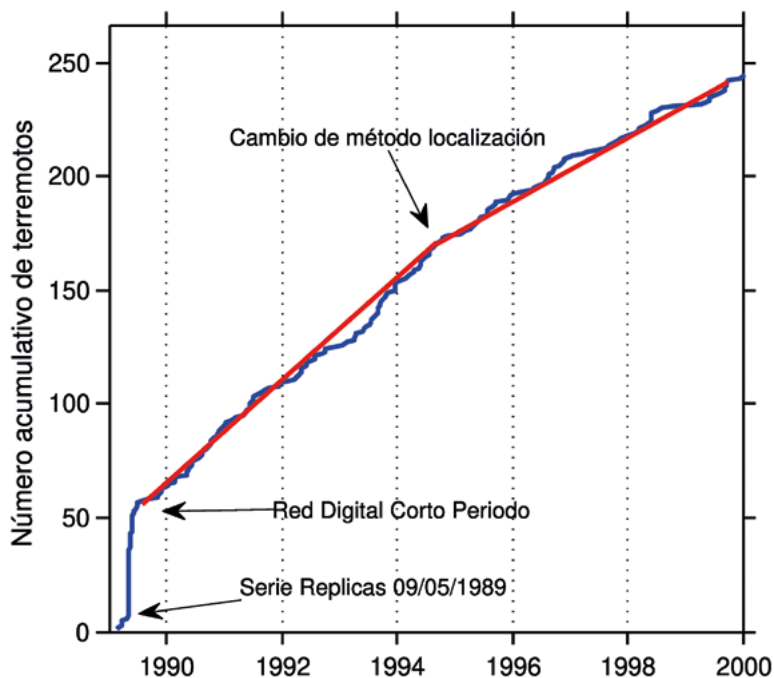


Figura 11.7. - Número acumulado de terremotos en función del tiempo (1989-2000).

Se han considerado entonces dos periodos 1990-1995 y 1996-2000. Si durante los dos periodos no se ha modificado el estado de esfuerzos de la zona, deberá existir en estos dos intervalos temporales la misma ley de actividad, expresada por la relación de Gutenberg-Richter, sin embargo, las expresiones obtenidas para los dos periodos son:

$$(1990-1995) \log N = 2,77 - 0,72 M_w \quad (16)$$

$$(1996-2000) \log N = 2,05 - 0,56 M_w \quad (15)$$

con magnitudes de completitud $M_c = 2,3$ para el primer periodo y $M_c = 1,8$ para el segundo. Es obvio que ambos periodos muestran una aparente diferencia en la actividad sísmica que podría estar relacionada con un cambio en la operación de la Red Sísmica, con la entrada en funcionamiento del sistema SAIC y el abandono de los registros analógicos. Este hecho supuso que, durante un primer periodo de tiempo, los algoritmos de detección automática y los criterios de asociación no considerasen terremotos de pequeña magnitud, que sí habrían sido localizados en etapas anteriores recientes con el análisis de los registros analógicos, sobre los que los analistas tenían una gran experiencia.

12. Conclusiones

Este trabajo aborda la catalogación de la sismicidad de las Islas Canarias realizada tanto para el periodo histórico como instrumental hasta el año 2000. Desde las últimas publicaciones de catálogos de sismicidad para Canarias en los años 80, han aparecido un número importante de publicaciones que abordan problemas relacionados con la sismicidad canaria y que no se habían incluido en el catálogo oficial del IGN. Sin embargo, en todos estos trabajos, la información aportada relacionada con la sismicidad está tratada de forma muy diferente, que impide su inclusión en el catálogo sin un tratamiento que hiciese que el catálogo sea lo más homogéneo posible.

La primera cuestión que se abordó en este trabajo fue la de intentar asignar el epicentro de un sismo no al punto de máxima intensidad registrada, dada la característica insular del área de trabajo, así como la certeza de que gran parte de los datos de poblaciones con información de haberse sentido un sismo estaban directamente relacionados con manifestaciones volcánicas presentes en el momento de la descripción. Por esta razón, se ha estudiado la atenuación de la intensidad sísmica, tanto para terremotos de origen volcánico como tectónico. Con las relaciones de atenuación obtenidas ha sido posible trasladar valores de intensidad al supuesto epicentro y así valorar verdaderamente el valor de la intensidad epicentral como medida del tamaño del sismo. En cuanto a la asignación del epicentro, cuando se han dispuesto de una serie de localidades con valores de intensidad, se ha procedido a calcular el baricentro de las poblaciones que lo hubiesen sentido con la misma intensidad. Si por el contrario, en el momento en el que en las poblaciones se sintió el sismo existía una erupción en estado de preparación o definitivamente en marcha, este lugar ha sido asignado como epicentro. En este punto, esta revisión difiere profundamente de los catálogos anteriores, que situaban los respectivos epicentros en las poblaciones que se disponía de información de haberse sentido el sismo con mayor intensidad.

En relación con la asignación de magnitud, se analizan para el periodo instrumental las distintas definiciones de magnitud empleadas. Con objeto de unificar todo el catálogo en una sola definición de magnitud, se ha decidido hacerlo en magnitud momento **M**, que como es sabido representa de una forma unívoca la energía sísmica liberada en el proceso de rotura, teniendo en cuenta las características elásticas del medio. Para este propósito se han convertido los valores de magnitud m_b (*Lg*) de la última parte del periodo estudiado a magnitud m_L que es la magnitud que se calcula en el periodo 2002 hasta la actualidad. Por otra parte, como para el periodo 1975-1995 se utilizaron dos fórmulas de magnitud en función de la duración del sismo M_D , se ha determinado una relación entre ellas, para que este periodo quedase en magnitud local de Richter M_L . Por último los contados terremotos de la zona calculados por agencias internacionales suministran la magnitud m_b , buscándose una relación que pudiese expresar todos estos valores en magnitud momento **M**. De igual forma, los terremotos expresados tanto en M_L como en m_L se han convertido en magnitud momento **M** utilizando la expresión que mejor incluye los datos de momento sísmico escalar existentes. Queda por último encontrar una correlación entre los datos de intensidad máxima y magnitud para, de esta forma, intentar también que esos terremotos históricos, actualmente sin catalogación en magnitud pudiesen tenerla. Para ello se ha desarrollado una correlación a partir de los datos existentes en el Banco de Datos de Intensidad del IGN correspondiente al periodo 2000-2018 entre la intensidad máxima y la M_L . Esta relación, junto con la de Mezcua et al. (2011), han sido aplicadas para la época histórica del catálogo, proporcionando así una asignación final, mediante el paso de M_L a magnitud momento **M**.

Por último, se ha procedido a una relocalización del periodo 1975-2000 con el programa HYPOSAT, que permite una homogenización para este periodo y que cuantifica las soluciones hipocentrales con su elipsoide de error para un nivel de confianza del 90 %. Este programa permite una determinación individualizada del hipocentro y del instante inicial, permitiendo el uso de todos los tiempos de llegada y sus diferencias, para las fases interpretadas.

Cabe pues concluir que esta revisión del catálogo presentada ha supuesto un trabajo que ha consistido por una parte en una revisión bibliográfica, con la unificación de los datos dispersos en diversas publicaciones, una revisión hemerográfica para el periodo 1900-1995 y un tratamiento final unificado de toda la información. Además de la relocalización, la asignación de una magnitud momento **M** permite tener de forma homogénea la información en cuanto al tamaño de los sismos compatible con la información contenida en el catálogo oficial del IGN desde 2000 hasta la actualidad.

13. Referencias.

- **Alparone, S., V. Maiolino, A. Mostaccio, A. Scaltrito, A. Ursino, G. Barberi, S. D'Amico, G. Di Grazia, E. Giampiccolo, C. Musumeci, L. Scarfi y L. Zuccarello (2015)**. Instrumental seismic catalogue of Mt. Etna earthquakes (Sicily, Italy): ten years (2000-2010) of instrumental recordings. *Annals of Geophysics*, **58**, 4, 2015, S0435; doi:10.4401/ag-6591.
- **Azzaro, R., M.S. Barbano, B. Antichi y R. Rigano (2000)**. Macro seismic catalogue of Mt. Etna earthquakes from 1832 to 1998. *Acta Vulcanologica*, **12** (1-2), 3-36.
- **Azzaro, R., S. D'Amico y T. Tuvè (2011)**. Estimating the magnitude of historical earthquakes from macro seismic intensity data: New relationships for the volcanic region of Mount Etna (Italy). *Seism. Res. Lett.* **82**, 533-544.
- **Berardi, R., L. Magri, M. Mucciarelli, C. Petrongaro y L. Zanetti (1994)**. Mappe di Sismicità per l'Area Italiana. *ENEL, Roma*, 66 pp.
- **Bonelli, J.M. (1950)**. Contribución al estudio de la erupción del volcán del Nambroque o San Juan (Isla de La Palma) 24 de junio-4 de agosto. *Instituto Geográfico y Catastral, Madrid*, 24 pp y 10 gráficos.
- **Bonelli, J.M. (1961)**. Sismos de grado VI en Adelante ocurridos desde el año 1915. *Manuscrito Inst. Geog. Y Cat.*, 5 pp.
- **Bratt, S y T. Bache (1988)**. Location estimation using regional array data. *Bulletin of the Seismological Society of America*, **78**, 780-798.
- **Bratt, S. y W. Nagy (1991)**. The LocSAT program. *Science Applications International Corporation. San Diego, EEUU*.
- **Cabañas, I., A. Rivas, J.M. Martínez Solares, J.M. Gaspar, B. Benito, R. Antón y S. Ruiz Barajas (2015)**. Relationships between M_w and earthquake size parameters in the Spanish Seismic Catalog. *Pure App. Geophys.* **172**, 2397-2410. DOI 10.1007/s00024-014-1025-2.
- **Cabrera Sánchez, J.M. (1985)**. Transcripción de "La relación diaria y verdadera de los terremotos en la isla de Tenerife, lugares de los Realejos, Villa de La Orotava y su puerto y otras vezindades". *Folleto Bosons 3131. Biblioteca Central de Cataluña*.
- **Carracedo, J.C. y E. Rodríguez Badiola (1991)**. Lanzarote. La erupción volcánica de 1730. *Excmo. Cabildo Insular de Lanzarote*. 183 pp.
- **Carracedo, J.C., E. Rodríguez Badiola, F.J. Pérez Torrado, A. Hansen, A. Rodríguez-González, S. Scaillet, H. Guillou, M. Paterne, U. Fra Paleo y R. Paris (2007)**. La erupción que Cristóbal Colón vio en la isla de Tenerife (Islas Canarias). *Geogaceta* **41**, 39-42.
- **Castello, B., M. Oliveri y G. Selvaggi (2007)**. Local and duration magnitude determination for the Italian Catalog, 1981-2002. *Bull. Seismol. Soc. Am.* **97**, 128-139.
- **Cruz Jorge A.A. y A.J. Cruz y Saavedra (2012)**. Catástrofes naturales, siniestralidad, accidentes y episodios luctuosos en la Villa de Agaete a través de la prensa. *Infonortedigital. Las Palmas de Gran Canaria*. 40 pp.
- **Dañobeitia, J.J. (1980)**. Interpretación de la estructura de la corteza en el Archipiélago Canario a partir de perfiles sísmicos profundos de refracción. *Tesis de Licenciatura, Univ. Madrid*, 91 pp.
- **Dziewonski, A.M. y D.L. Anderson (1981)**. Preliminary reference Earth model. *Phys. Earth Planet. Inter.*, **25**, 297-356.
- **del Fresno, C. (2016)**. Determinación de la fuente sísmica a distancias regionales: aplicación a la serie de El Hierro 2011. *Tesis doctoral, Universidad Complutense de Madrid, Facultad de Ciencias Físicas*, 228 pp y 8 anexos.
- **Galbis, J. (1932)**. Catálogo Sísmico de la zona comprendida entre los meridianos 5° E. y 20° W. de Greenwich y los paralelos 45° y 25° N. Tomo I. *Instituto Geográfico y Catastral*. 807 pp.

- **Galbis, J. (1940)**. Catálogo Sísmico de la zona comprendida entre los meridianos 5° E. y 20° W. de Greenwich y los paralelos 45° y 25° N. Tomo **II**. *Instituto Geográfico y Catastral*. 279 pp.
- **Gasperini, P. (2001)**. The attenuation of seismic intensity in Italy: A bilinear shape indicates dominance of deep phases at epicentral distances longer than 45 km. *Bull. Seismol. Soc. Am.* **91**, 826–841.
- **Gasperini, P. (2004)**. Catalogo di terremoti CPTI2-App. I Rapporto conclusivo, Gruppo di Lavoro per la redazione della mappa di pericolosità sísmica (ordinanza PCM 20.03.03, n.3247). *Istituto Nazionale di Geofisica e Vulcanologia*, 29pp.
- **Giampiccolo, E., S. D'Amico, D. Patané, y S. Gresta (2007)**. Attenuation and source parameters of shallow microearthquakes at Mt. Etna (Italy). *Bull. Seismol. Soc. Am.* **97**, 184–197.
- **Grünthal, G. y A. Levret (editores) (2001)**. European Macroseismic Scale 1998 (EMS-98). *Cahiers du Centre Européen de Geodynamique et de Sismologie*, **15**, 103.
- **Habermann, R.E. (1986)**. A test of two techniques for recognizing systematic errors in magnitude estimates using data from Parkfield, California. *Bull. Seismol. Soc. Am.* **76**, 1660-1667.
- **Habermann, R.E. (1987)**. Man-made changes of seismicity rates. *Bull. Seismol. Soc. Am.* **77**, 141-159.
- **Habermann, R.E. (1991)**. Seismicity rate variations and systematic changes in magnitudes in teleseismic catalogs. *Tectonophysics*, **193**, 277-289.
- **Jeffreys, H. y K.E. Bullen (1940)**. Seismological Tables. *British Association for the Advancement of Science, Gray Milne Trust, London*, 50 pp.
- **Johnston, A.C. (1996)**. Seismic moment assessment of earthquakes in stable continental regions-I. Instrumental seismicity. *Geophys. J. Int.*, **124**, 381–414.
- **Kanamori, H. (1977)**. Magnitude scale and quantification of earthquakes. *Tectonophysics*, **93**, 185-199.
- **Karnik, V. (1969)**. Seismicity of the European Area. *Part 1*. *D. Reidel Publishing Co. Dordrecht. Holland*. 364 pp.
- **Kennett, B.L.N. y E.R. Engdahl (1991)**. Travel times for global earthquake location and phase identification. *Geophys. J. Int.*, **105**, 429-466.
- **Kennett, B.L.N., E.R. Engdahl y R. Buland (1995)**. Constraints on seismic velocities in the Earth from traveltimes. *Geophys. J. Int.*, **122**, 108-124.
- **Klein, F.W. (1978)**. Hypocenter location program HYPOINVERSE, U.S. *Geological Survey Open-File Report 78-694*, 113 pp.
- **Klein, F.W. y T.L. Wright (2000)**. Catalog of Hawaiian earthquakes, 1823 – 1959. *U.S. Geol. Surv. Prof. Pap.*, **1623**, 90 pp.
- **Konstantinou, K.I. y N.S. Melis (2018)**. The relationship between local and moment magnitude in Greece during the period 2008-2016. *Pure App. Geophys.* **175**, 731-740. *Doi.10.1007/s00024-017-1750-4*.
- **Kövesligethy, R. (1906)**. A makroseismikus reñesek feldolgozása, *Math. Termud. Értesitö* **24**, 349–368.
- **Lee, W.H. K., R.E. Bennett y K.L. Meagher (1972)**. A Method of estimating magnitude of local earthquakes from signal duration. U.S. Geological Survey. *Open File Report 1972*. 28 pp.
- **Lee, W.H.K. y J.C. Lahr (1975)**. HYP071 (Revised): A computer program for determining hypocenter, magnitude, and first motion pattern of local earthquakes. *U. S. Geological Survey Open File Report 75-311*, 113 pp.
- **Lienert, B.R.E., E. Berg y L.N. Frazer (1988)**. HYPOCENTER: An earthquake location method using centered, scaled, and adaptively least squares. *Bull. Seism. Soc. Am.*, **76**, 771- 783.
- **López, C. (2008)**. Nuevas fórmulas de Magnitud para la Península Ibérica y su entorno. *Trabajo de Investigación del Máster de Geofísica y Meteorología. Universidad Complutense de Madrid. Facultad de Ciencias Físicas*. 38 pp.

-
- **López Casado, C., S. Molina Palacios, J. Delgado y J.A. Peláez (2000)**. Attenuation of Intensity with Epicentral Distance in the Iberian Peninsula. *Bull. Seismol. Soc. Am.* **90**, 34-47.
 - **Malagnini, L. e I. Munafò (2018)**. On the relationship between *ML* and *MW* in a broad range: An example from the Appenines. Italy. *Bull. Seismol. Soc. Am.* **108**, 1018-1024.
 - **Martel, M. (1960)**. El volcán de San Juan también llamado de Las Manchas y del Nambroque. La Palma Canarias. 239 pp.
 - **Menke, W. (1978)**. Geophysical Data Analysis: Discrete Inverse Theory, revised edition. *International Geophysics series 45 (Academic Press, San Diego 1978)*.
 - **Mezcua, J. y J.M. Martínez Solares (1983)**. Sismicidad del Área Iberomobrebi. *Publicación 202. Instituto Geográfico Nacional. 301 pp + 1 mapa. Madrid.*
 - **Mezcua, J., E. Buforn, A. Udías y J. Rueda (1992)**. Seismotectonics of the Canary Islands. *Tectonophysics 208*, 447-452.
 - **Mezcua, J., J. Rueda y R.M. García Blanco (2011)**. A new probabilistic seismic hazard study of Spain. *Nat. Hazards 59*, 1087-1108.
 - **Monge, F. (1981)**. Catalogo Sísmico preliminar del Archipiélago Canario. *Universidad Complutense de Madrid. Cátedra de Geofísica. Publicación 165. 33 pp.*
 - **Moreira de Mendoça, J.J. (1758)**. Historia universal dos terremotos. *Lisboa: Antonio Vicenta da Silva.*
 - **Morelli, A. y A.M. Dziewonski (1993)**. Body-wave traveltimes and a spherically symmetric P- and S-wave velocity model. *Geophys. J. Int.*, **112**, 178-194.
 - **Müller, G. (1977)**. Earth Flattening Approximation for Body Waves Derived from Geometric Ray Geometry—Improvements, Corrections and Range of Applicability. *J. Geophys.* **42**, 429–436.
 - **Munafò, I, L. Malagnini y L. Chiaraluce (2016)**. On the relationship between *MW* and *ML* for small earthquakes. *Bull. Seismol. Soc. Am.* **106**, 2402-2408.
 - **Munuera, J.M. (1974)**. Acerca de la Sismicidad Iberomogrebi. *Comunicaciones 1ª Asamblea Nacional de Geodesia y Geofísica. Instituto Geográfico y Catastral. Madrid, 289-310.*
 - **Núñez de la Peña, J. (C. 1705)**. Relación de los horrorosos terremotos y volcanes de fuego que han reventado en la isla de Tenerife. Años 1704 y 1705.
 - **Observatorio del Ebro (2018)**. 1910-1947 Resumen de las observaciones solares, meteorológicas y sismológicas.
 - **Pasolini, C., P. Gasperini, D. Albarello, B. Lolli y V. D'Amico (2008)**. The attenuation of seismic intensity in Italy, part I: Theoretical and empirical backgrounds. *Bull. Seismol. Soc. Am.* **98**, 682-691.
 - **Press, W.H., S.A. Teukolsky, W.T. Vetterling y B.P. Flannery (1992)**. Numerical Recipes in FORTRAN, the Art of Scientific Computing, second edition. *Cambridge University Press, Cambridge.*
 - **Prudencio, J., E. Del Pezzo, A. García-Yeguas y J.M. Ibáñez (2013)**. Spatial distribution of intrinsic and scattering seismic attenuation in active volcanic islands – I: model and the case of Tenerife Island. *Geophysical Journal International*, **195**, 1942–1956.
 - **Prudencio, J., J.M. Ibáñez, E. Del Pezzo, J. Martí, A. García-Yeguas y L. De Siena (2015)**. 3D Attenuation Tomography of the Volcanic Island of Tenerife (Canary Islands). *Surveys in Geophysics*, **36**, 693–716.
 - **Romero, C. (1991)**. Las manifestaciones volcánicas históricas del Archipiélago Canario. *Tomo I. Gobierno de Canarias (Consejería de Política Territorial), Tenerife. 695 pp.*
 - **Rothe, J.P. (1969)**. The seismicity of the Earth. 1953-1965. *UNESCO. Paris. 335 pp.*
 - **Rovida A., M. Locati, R. Camassi, B. Lolli y P. Gasperini (2016)**. Catalogo parametrico dei terremoti italiani, versione cpti15. *Istituto Nazionale di Geofisica e Vulcanologia. 33 pp.*

- **Rueda, J. y J. Mezcua (2002)**. Estudio del terremoto de 23 de septiembre de 2001 en Pego (Alicante). Obtención de una relación para la península Ibérica. *Rev. Soc. Geol. España*, **15**, 159-173.
- **Sánchez Navarro-Neumann, M.M. (1910)**. Enumeración de los terremotos sentidos en España. *Publicaciones Bol. de la Real Soc. Esp. de Historia Natural, Madrid. Tomo XIV y XVI. Revista Ibérica T III, IV, V, VIII, X, XVI, XXVII, XXVIII, y XXXV*.
- **Sanchez Sanz, C. (2014)**. Revisión del Catálogo Sísmico de las Islas Canarias. *Proyecto Fin de Carrera, E.T.S. Ing. Topografía, Geodesia y Cartografía, Universidad Politécnica de Madrid, 329 pp.*
- **Schweizer, J. (2001)**. HYPOSAT. An enhanced routine to locate seismic events. *Pure appl. Geophys.* **158**, 277-289.
- **Scordilis, E.M. (2006)**. Empirical global relations converting M_s and m_b to moment magnitude. *J. Seismol.*, **10**, 225-236.
- **Scotti, O., A. Levret y B. Hernández (1999)**. Verification of macroseismic methods on five $M_L > 5$ instrumental earthquakes in France. *Phys. Chem. Earth (A)*, **24**, 495-499.
- **Sponheuer, W. (1960)**. Methoden zur Herdtiefenbestimmung in der Makroseismik. *Freiberger Forschungshefte C88*, 1-120.
- **Stromeyer, D. y G. Grünthal (2009)**. Attenuation relationship of macroseismic intensities in Central Europe. *Bull. Seismol. Soc. Am.* **62**, 435-452.
- **Veith, K.F. y G.E. Clawson (1972)**. Magnitude from short-period P-Wave data. *Bull. Seismol. Soc. Am.* **99**, 554-565.
- **Wadati, K. (1933)**. On the travel time of earthquake waves. Part. II. *Geophys. Mag. (Tokyo)*, **7**, 101-111.
- **Wyss, M., F.W. Klein y A.C. Johnston (1981)**. Precursors to the Kalapana $M=7.2$ earthquake. *J. Geophys. Res.*, **86**, 3881-3900.
- **Wyss, M., R.E. Habermann y C. Heiniger (1983)**. Seismic quiescence, stress drops and asperities in the New Hebrides arc. *Bull. Seismol. Soc. Am.* **73**, 219-236.
- **Wyss, M. y R.Y. Koyanagi (1992)**. Isoleismic maps, macroseismic epicenters and estimated magnitudes of historical earthquakes in the Hawaiian islands. *U. S. Geological Survey Bulletin No. 2006*.
- **Zúñiga, F.R. y M. Wyss (1995)**. Inadvertent changes in magnitude reported in Earthquake Catalogs: Their evaluation through b-value estimates. *Bull. Seismol. Soc. Am.* **85**, 1858-1866.

Anexo 1.
Evolución histórica de la
instrumentación sísmica
en Canarias
hasta el año 2000



A1-1. Canarias pionera en el registro de la actividad sísmica en España

El inicio de la instrumentación sísmica desplegada en Canarias resulta un tanto casual. Siempre hemos conocido el año 1898 como la fecha origen de la instalación de la instrumentación sísmica en España, con la instalación en el Observatorio de San Fernando (Cádiz) de la Armada Española, de los primeros equipos de registro sísmico, aunque como veremos a continuación no es del todo cierto. El sismólogo y astrónomo alemán Ernst von Rebeur-Paschwitz, realizó una estancia en el antiguo Puerto de La Orotava, hoy Puerto de la Cruz (Tenerife), en el periodo 1889-1891, para reponerse de una enfermedad. Durante esta breve estancia en Tenerife, Rebeur-Paschwitz instaló uno de sus péndulos horizontales, que fue operado por él mismo, durante un periodo de tiempo de unos cuatro meses.

En la figura A1-1, tomada de Rebeur-Paschwitz (1892), se muestra un grabado del péndulo instalado en el Puerto de La Orotava, junto con el plano de la distribución en planta de la instrumentación instalada en una vivienda de la ciudad. Las observaciones realizadas a partir de los datos registrados de ese péndulo, junto con los instalados en Postdam, Estrasburgo y Wilhelmshaven, fueron analizadas con detalle Rebeur-Paschwitz (1892). En dicha publicación, se muestra un gráfico obtenido con el péndulo instalado en Tenerife del día 7 de abril de 1891, con un registro entre las 14 y 15 horas (figura A1-2), que no coincide con ningún evento telesísmico y que él mismo señala en sus notas como "inquietud sísmica". Este registro es el primer registro sísmico en España que se conserva y pudiera ser también el primero de la actividad sismo volcánica de Canarias.

Desgraciadamente, en el proyecto de instauración del Servicio Sismológico Español (SSE), del entonces recién creado Instituto Geográfico y Estadístico (IGE), elaborado por el Ingeniero Eduardo Mier en 1906, no se contemplaba la instalación de ninguna estación sismológica en Canarias. El siguiente registro sísmico por un sismógrafo en Canarias tardaría muchos años en llegar.

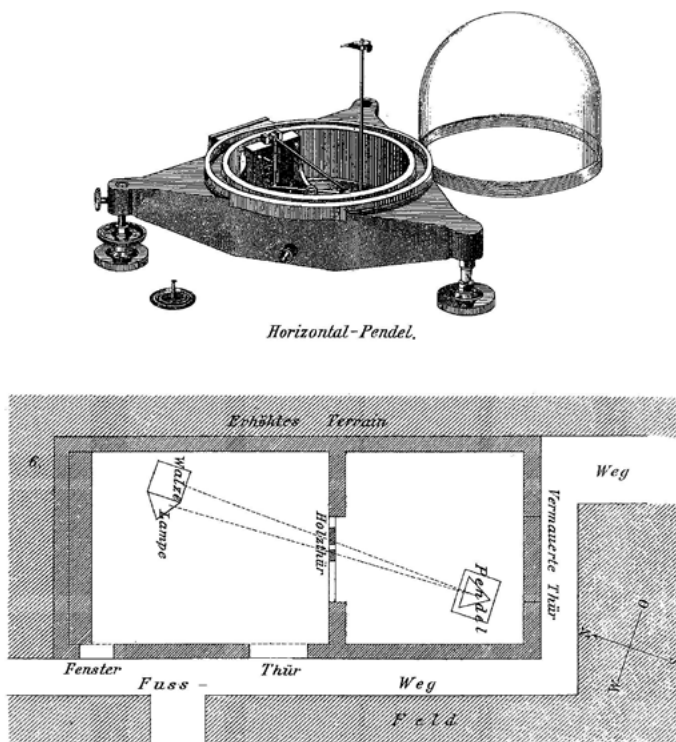


Figura A1-1. - Grabado del péndulo horizontal instalado por Rebeur-Paschwitz en el Puerto de la Orotava (hoy Puerto de la Cruz) en el año 1889 (arriba). Plano con la distribución de la sala en la que estaba instalado el péndulo y la sala contigua de registro (abajo). Tomado de Rebeur-Paschwitz (1892).

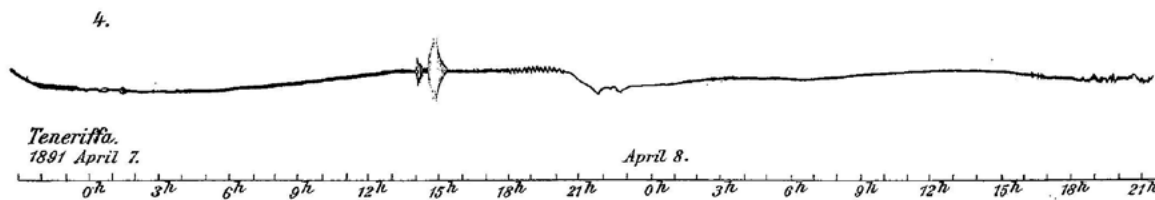


Figura A1-2. - Registro del péndulo horizontal Rebeur-Pashwitz del Puerto de la Orotava (hoy Puerto de la Cruz) del 7 de abril de 1891. Tomado de Rebeur-Paschwitz (1892).

Los siguientes pasos en el despliegue de la instrumentación sísmica en Canarias, y en concreto en Tenerife, están ligados a la figura de José Galbis, el que fuera desde 1921 jefe del recién creado SSE, dentro del Instituto Geográfico y Estadístico, con posterioridad a ser el jefe del Servicio Meteorológico Nacional (SMN) entre los años 1911-1921. Esta doble faceta del ingeniero militar Galbis: meteorólogo y sismólogo, le permitió poder contar para el Servicio Sismológico con las instalaciones e incluso personal del Servicio Meteorológico para sus proyectadas instalaciones sísmicas en Canarias, como posteriormente veremos.

Es un hecho decisivo en la historia de la instrumentación sísmica en España, la que por aquella época fue una disputa global de orden científico en los inicios de la sismometría, entre los partidarios de los sismómetros amortiguados y sin amortiguar. Por una parte, encabezados por Eduardo Mier, en aquellos momentos y hasta su muerte en 1917 jefe del Servicio Sismológico Español (SSE), junto con los eminentes sismólogos Fusakichi Omori y Giovanni Agamennone, eran los principales detractores de la doctrina amortiguadora, mientras que encabezados por el príncipe ruso Boris Galitzin otro grupo de sismólogos en Europa estaban introduciendo ya en todos los modernos observatorios aparatos amortiguados: Wiechert, Galitzin, Mainka... que permitían un registro mucho más interpretable.

La discusión definitiva entre Mier y Galitzin, que iba a tener lugar en el congreso de San Petersburgo de 1914, nunca llegó a celebrarse, al coincidir el mismo con los inicios de la Gran Guerra europea. El motivo de la disputa era puramente técnico. Galitzin (1911), en su obra "Conferencias sobre sismometría", curiosamente traducida del alemán al español en el año 1915 y no publicada esta traducción hasta el año 1921, por los ingenieros del SSE: Inglada, García-Siñeriz y del Castillo, demostró que era matemáticamente posible reconstruir el movimiento del suelo a partir del registro de un sistema amortiguado y galvanométrico, introduciendo en el desarrollo matemático de la ecuación de movimiento, el factor de la amortiguación, pero siempre considerando como hipótesis que el movimiento del eje del péndulo era sinusoidal. Esta última premisa era con la que Mier y su grupo no estaban en absoluto de acuerdo. Pero el uso de los sismógrafos amortiguados se extendió rápidamente, ya que permitía aumentar el periodo propio de los equipos para poder estudiar señales telesísmicas, mientras que los equipos que carecían de amortiguación solamente eran válidos para estudiar sismos más próximos, ya que al aumentar el periodo las oscilaciones después de una excitación se hacían interminables y hacían ininterpretables los sismogramas.

Mientras tanto, en España, a pesar de la opinión contraria de los ingenieros del propio Servicio, la negativa de Mier es seguramente la razón por la que el Servicio Sismológico Español (SSE) no comienza a instalar en sus observatorios aparatos amortiguados hasta la década de los 20, lo que supuso un importante retraso en relación con el resto de observatorios europeos y españoles de otras instituciones, Anduaga (2009).

En Canarias, en el año 1909, bajo la iniciativa del propio Kaiser Guillermo II y como una de las consecuencias de la expansión alemana de la época y del interés militar alemán por todo lo relacionado con la meteorología, se construye en las Cañadas del Teide, sin participación en su origen de la comunidad científica española, ni de sus autoridades, el "Observatorio Meteorológico y Aerológico Provisional de Las Cañadas del Teide", provocando con ello un conflicto diplomático serio entre los dos países, de Ory (2016). Después de unas negociaciones no muy duras, Alemania cedió simbólicamente a España las instalaciones, asegurándose su uso, y se incorporó al observatorio personal español del Servicio Meteorológico.

En este contexto (1912-1913), posiblemente por la influencia e interés de José Galbis, que recordemos que en ese momento era jefe del Servicio Meteorológico Nacional (SMN) y después de la erupción del volcán Chinyero, que tuvo lugar en noviembre de 1909 (Fernández Navarro, 1911), y que seguramente sorprendió a los alemanes en el proceso de construcción, el eminente sismólogo y constructor de instrumentación sísmica alemán Karl Mainka, financiado exclusivamente por el gobierno alemán, instaló unos de sus entonces modernos sismómetros en las instalaciones del Observatorio Provisional de Las Cañadas del Teide (figura A1-3).



Figura A1-3. - Observatorio Meteorológico y Aerológico Provisional de Las Cañadas del Teide establecido por Alemania, en donde se instaló el primer sismógrafo Mainka en 1912 (Batlló, 2004). El edificio de la fotografía coloreada, que fue donado por el propio Kaiser Guillermo II, era uno de los pabellones portátiles que utilizaba en sus viajes por Europa "el chalet del Kaiser" (de Ory, 2016).

Parece ser que las malas condiciones del emplazamiento elegido impidieron el correcto funcionamiento del instrumento, del que por otra parte no ha quedado rastro alguno, ni de él ni de los posibles registros. Canarias, por segunda vez en la historia de la sismología española es pionera en la instrumentación sísmica, Batlló (2004).

El inicio de la Gran Guerra en 1914 motivó el abandono del Observatorio por los científicos alemanes, pasando este a ser dirigido por el SMN. La nueva construcción del Observatorio de Izaña hizo que se desmantelase el Observatorio Provisional Alemán y con ello todo vestigio de la pionera instrumentación sísmológica en Canarias.

A1-2. Organización del Servicio Sismológico Español (SSE)

Muerto Mier en 1917, en el Instituto Geográfico y Estadístico se necesitaba imperiosamente una nueva reorganización del SSE. El proyecto fue encargado al ingeniero con más antigüedad del servicio en aquel momento, Eduardo Torallas, que en agosto de 1922 elevó a la dirección del IGE su plan (Torallas, 1924). Una vez aprobado, el proyecto fue desarrollado inicialmente por Vicente Inglada, favorable a la postura amortiguada y a la postre por José Galbis, ya en su etapa en el Servicio Sismológico, modernizándose tanto la instrumentación sísmica como la organización del Servicio. Por primera vez en el IGE aparece en un documento (Torallas, 1924) el proyecto de instalación de una estación sismológica en Canarias, en concreto en la isla de Tenerife.

A partir de ese momento, los esfuerzos del Servicio Sismológico por instalar instrumentación sísmica en Canarias se encaminaron por dos vías. La primera fue la presupuestaria, que no prosperó totalmente y la otra, más efectiva por la influencia de Galbis, en la que se realizaron las primeras instalaciones con el personal destinado en el Servicio Meteorológico en Tenerife, seguramente se realizó con cargo a los gastos corrientes. En el Presupuesto de Gastos para el ejercicio de 1923-1924, el Ingeniero Eduardo Torallas, hizo la previsión para la adquisición de un sismógrafo Mainka, de tres componentes, por un valor de 8.000 pesetas de la época, destinado, como así consta en el presupuesto, al "Observatorio de Canarias", instrumento que nunca llegó a adquirirse, más la instalación de un microsismógrafo Vicentini en el Observatorio de Izaña, procedente del Observatorio de Toledo, por valor de 3.000 pesetas.

Sin embargo, lo que realmente sucedió dista considerablemente de aquello. En marzo de 1924, desde el Observatorio de Toledo se enviaron a Tenerife 8 bultos que contenían dos sismógrafos Bosch-Omori de componente horizontal, que habían estado prestando servicio hasta ese momento en el Observatorio de Toledo y que se habían modificado. La modificación consistió en sustituir la masa original de 25 kg por una nueva de 100 kg, para conseguir cambiar el periodo propio de 15 a 10 s y añadir amortiguamiento ya que carecían de él (figura A1-4).

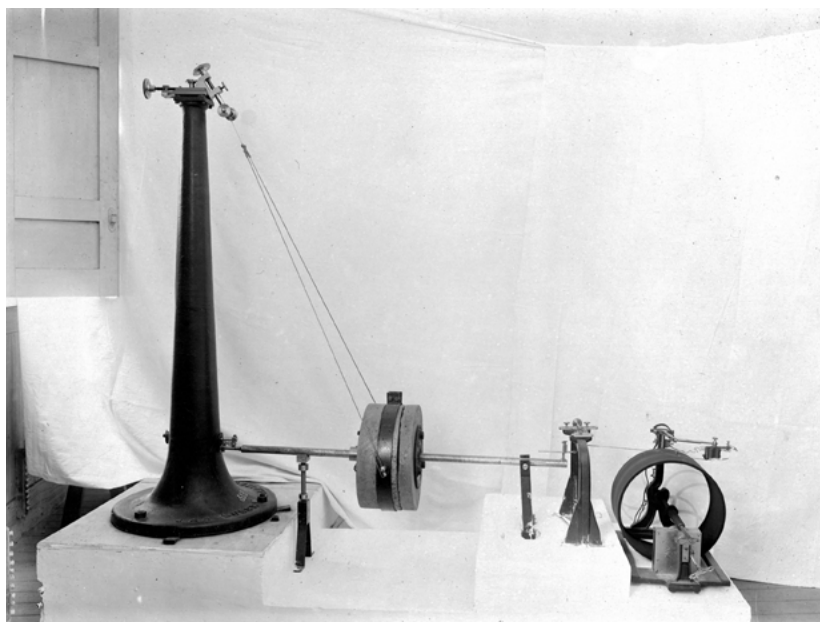


Figura A1-4. - Sismógrafo Bosch-Omori de componente horizontal, procedente del Observatorio de Toledo, al que se le sustituyó la masa de 25 kg por una de 100 kg y se le añadió amortiguamiento en los talleres del observatorio, antes de su envío en 1924 a Canarias, para su instalación en el Observatorio Meteorológico de Santa Cruz de Tenerife.

Las labores de instalación se iniciaron de forma inmediata en los sótanos del Observatorio Meteorológico de Santa Cruz de Tenerife (figura A1-5), financiadas por el Cabildo Insular, bajo las instrucciones dadas por Galbis al jefe del observatorio Miguel Botella. Se construyó un pilar en forma de L para la instalación de las dos componentes horizontales y sin embargo, hasta 1930, no parece que el equipo estuviese operativo a falta de las plumillas de cristal y del papel para ahumar. No se conservan más reseñas de esta instalación ni de los registros, si los hubiere, de este aparato.

De forma casi paralela, en el año 1928, Miguel Díaz, jefe del Observatorio Meteorológico de Izaña, también bajo las instrucciones de José Galbis, inició la instalación en el observatorio de las tres componentes de un sismógrafo Vicentini, sin amortiguamiento, procedente así mismo del Observatorio de Toledo. De este proceso se conservan en el archivo del IGN las instrucciones dadas por Galbis (figura A1-6) y la copia de los recibos del envío del dinero para la construcción del pilar al jefe del observatorio Sr. Díaz. Parece que el instrumento y el dinero llegaron a Izaña, pero en cualquier caso es seguro que lamentablemente no llegó a instalarse.

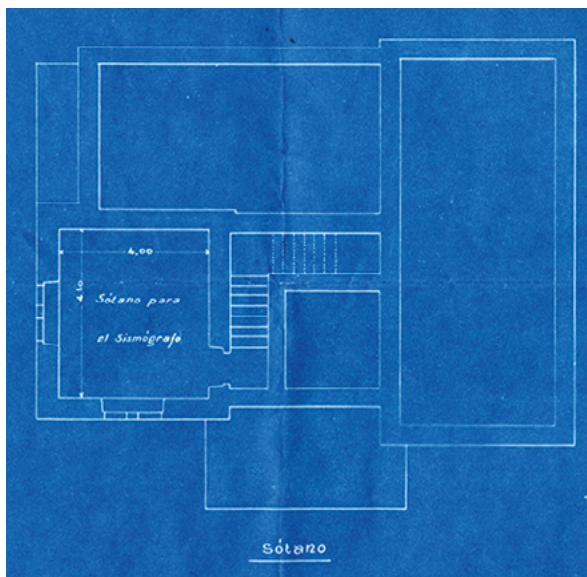


Figura A1-5. - Plano del emplazamiento en el sótano del Observatorio Meteorológico de Santa Cruz de Tenerife, en el que se instalaron en 1924-1930 los dos sismógrafos de componentes horizontales Bosch-Omori (modificados) procedentes del Observatorio de Toledo.

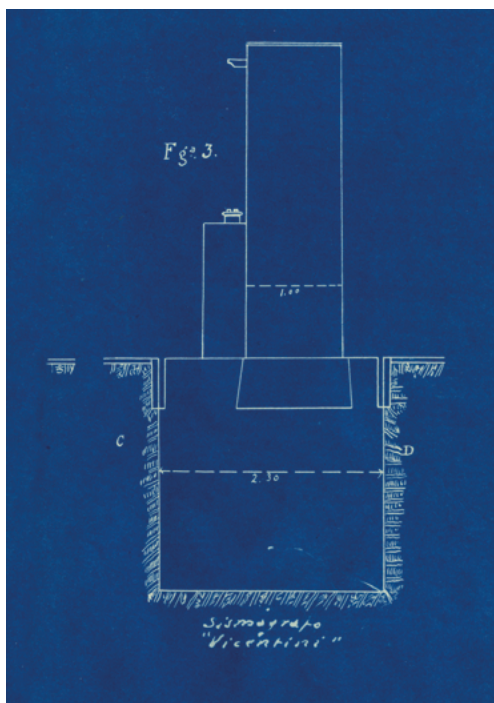


Figura A1-6. - Plano contenido en las instrucciones dadas por Galbis en 1928 al jefe del Observatorio Meteorológico de Izaña, para la construcción del pilar de instalación del sismógrafo de tres componentes Vicentini, procedente del Observatorio de Toledo.

A1-3. La Guerra Civil Española

La Guerra Civil supuso para toda la ciencia en España, incluida la sismología, un paréntesis que lamentablemente se dilató en el tiempo, una parálisis casi total de al menos una década. Si en los observatorios peninsulares, cuando comenzó la guerra, ya se habían instalado los principales sismógrafos previstos en la remodelación del Servicio Sismológico Nacional del año 1922, desgraciadamente en Canarias esto no fue así, y en el momento de comenzar la guerra civil, no había ninguna estación sísmica funcionando en Canarias.

Las penurias económicas de la postguerra afectaron a los observatorios sismológicos españoles en una enorme medida, pero en la mayoría de ellos, y sobre todo en el Observatorio de Toledo, se contaba con un excelente equipo de mecánicos instrumentistas, fruto sin duda de la previsión hecha en la remodelación del Servicio Sismológico de Torrallas de 1922 y de la limitada incidencia que tuvo en la plantilla los efectos de la Guerra Civil y las depuraciones de la postguerra. De esta forma, en los observatorios peninsulares se mantuvo más o menos operativa la instrumentación, e incluso se llegaron a desarrollar nuevos instrumentos, como es el sismómetro Victoria, que fue diseñado y fabricado en el observatorio de Málaga por el Ingeniero Félix Gómez Guillamón y el mecánico Antonio Sola (Gómez Guillamón, 1942), que en la época del Gobierno Republicano, habían coincidido prestando servicio en el Observatorio de Cartuja (Granada).

A1-4. La estación sísmica instalada en el Cabildo Insular de Tenerife (1952)

El sismógrafo Victoria (Gómez Guillamón, 1942) fue un ingenioso desarrollo a partir del sismógrafo Benioff, del que se fabricaron numerosos ejemplares para su instalación en los observatorios españoles, y uno de ellos, a principios de la década de los 50, fue por fin enviado a Santa Cruz de Tenerife. Se trataba de un sismómetro de una única componente vertical, con una masa de 100 kg, un periodo de 0,35 s y registro en papel fotográfico. Para la instalación en Santa Cruz de Tenerife, se acondicionó un amplio local en el sótano del edificio del Cabildo Insular, en la Plaza de España, donde comenzó a funcionar en el año 1952 el primer sismógrafo netamente español de las Islas Canarias. A partir de ese momento se crea oficialmente el Observatorio Geofísico de Santa Cruz de Tenerife, con sus oficinas situadas en el propio edificio del Cabildo Insular (figuras A1-7 y A1-8). Recordemos que en el año 1949 con la erupción del volcán San Juan en la isla de La Palma, no había ninguna estación sísmica operativa en Canarias (Bonelli, 1950).

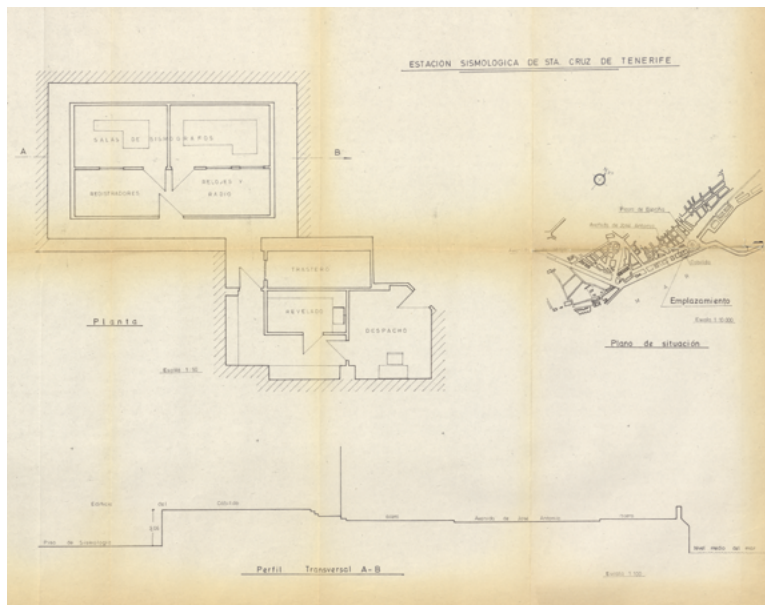


Figura A1-7. - Plano de la situación y distribución de la estación sismológica de Santa Cruz de Tenerife (TEN) instalada en el año 1952, que se mantuvo hasta el año 1983, en el sótano del Cabildo Insular de Tenerife.

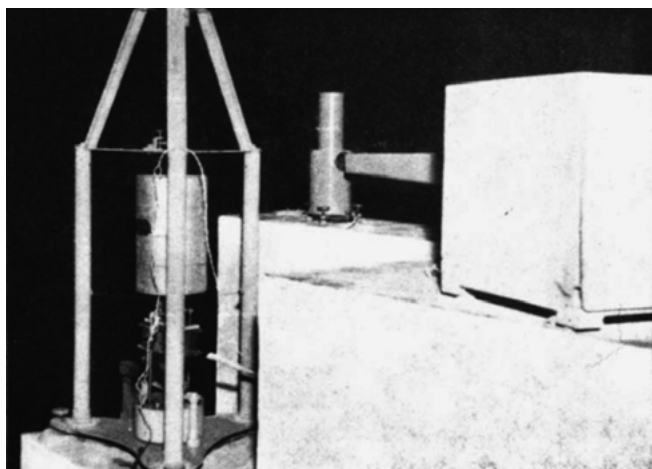


Figura A1-8. - Sismógrafo Victoria de componente vertical, masa de 100 kg, periodo de 0,35 s y registro en papel fotográfico, fabricado en el Observatorio de Málaga (Gómez Guillamón, 1942) e instalado en la estación sismológica de Santa Cruz de Tenerife (TEN), en el sótano del Cabildo Insular (1952-1958).

En esos años 50, el entonces ya Instituto Geográfico y Catastral (IGC), inició la construcción de un nuevo Observatorio Geofísico en Las Mesas, próximo a Santa Cruz de Tenerife, al noroeste de la ciudad, en una gran parcela cedida por el Ayuntamiento; una zona de complicada orografía y de difícil acceso. Al proyecto se le hizo coincidir con el Año Geofísico Internacional, en lo que sería el observatorio europeo más próximo al ecuador, para albergar principalmente las primeras observaciones geomagnéticas, aunque también se iniciaron obras para un futuro pabellón sísmico. Las primeras observaciones geomagnéticas se realizaron en el año 1961, sin embargo, las sísmicas tuvieron que esperar hasta los inicios de los años 80.

En el año 1957, las oficinas del Observatorio se trasladan del edificio del Cabildo Insular, en la Plaza de España, a unos pisos alquilados en la cercana calle José Murphy, en el interior de la ciudad, manteniéndose el registro sísmico del equipo Victoria en los sótanos del Cabildo Insular. En ese mismo año 1957, se realizaron las obras necesarias en el sótano del Cabildo para acoger a los modernos instrumentos Hiller-Stuttgart que estaban por llegar de la península, fruto de la reorganización de lo que entonces ya se llamaba Red de Observatorios Sismológicos del IGC. Los equipos Hiller-Stuttgart eran aparatos de corto periodo (1,5 s), de tres componentes, con registro en bandas de papel fotográfico; fueron instalados en todos los observatorios del IGC menos en Toledo, que ya disponía de una instrumentación de primer orden: Alicante (1962), Almería (1959), Logroño (1959), Málaga (1960) y Santa Cruz de Tenerife (1958). De esta forma, por primera vez, se disponía en España de una red sísmica con instrumentación homogénea y aparatos adaptados al registro de la sismicidad regional.

A pesar de que José Ruiz, Jefe del Observatorio Geofísico de Santa Cruz de Tenerife en aquella época, manifestó por escrito a la Dirección del IGC su interés en mantener dos estaciones sísmicas en la isla, la llegada e instalación en el año 1958 del moderno equipamiento Hiller-Stuttgart (figura A1-9) puso fuera de servicio al viejo equipo Victoria. Hasta el año 1983, este equipo Hiller-Stuttgart estuvo funcionando con un alto grado de rendimiento en los sótanos del Cabildo, bajo condiciones de ruido antrópico que fueron siendo cada vez más desfavorables al transcurrir de los años.

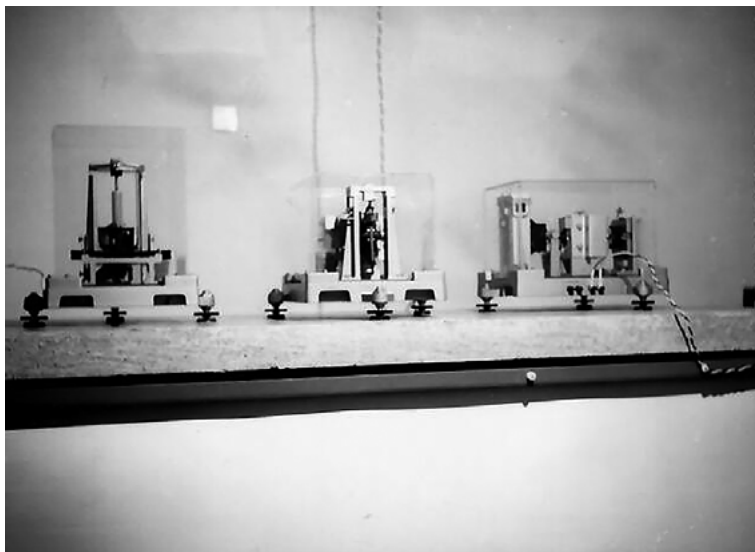


Figura A1-9. - Sismógrafos Hiller-Stuttgart de tres componentes instalados en 1958 en el sótano del Cabildo Insular de Tenerife (TEN) en sustitución del sismógrafo Victoria.

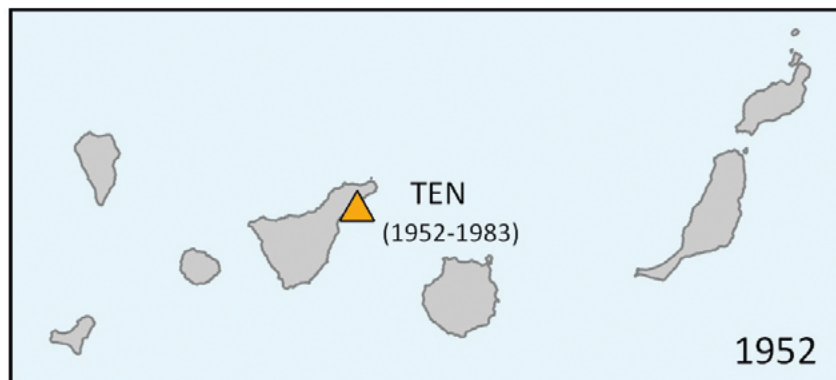


Figura A1-10. - Estado de la Red Sísmica en Canarias en el año 1952 con la única estación TEN (1952-1983) situada en Santa Cruz de Tenerife, en el sótano del edificio del Cabildo Insular en la Plaza de España.

A1-5. La erupción del Teneguía (La Palma). Estaciones de La Palma y El Hierro

El año 1971 estuvo marcado por un importante acontecimiento volcánico en las islas, la erupción del volcán Teneguía en la isla de La Palma, que tuvo lugar durante los meses de octubre y noviembre (Romero, 1991). En el momento de producirse la erupción, la Red Sísmica en Canarias estaba compuesta por una única estación (TEN) (figura A1-10) por lo que no fue posible registrar la actividad sísmica asociada a la erupción. No obstante, la Agencia Central de Inteligencia norteamericana CIA, a través del Observatorio Lamont-Doherty, disponía en aquella época en la isla de La Palma de unos sonógrafos para la detección del paso de submarinos por el Océano Atlántico, en los que se registró esa actividad sísmica. Los registros fueron enviados al IGC, pero al no tener una señal de tiempo fiable, no fue posible interpretarlos a los efectos de la localización, aunque sí para la identificación de las distintas etapas eruptivas. También por otra parte, fueron desplazados para la vigilancia de la erupción dos ingenieros desde el Laboratorio Central de Sismología del IGC, con unos equipos Sprengnether "portables" con registro in situ que fue imposible instalar, por las condiciones tan adversas que encontraron.

Fruto seguramente de la experiencia pasada del Teneguía, en aquel momento se consideró necesario dotar a la isla de La Palma y a la de El Hierro de sendas estaciones sísmicas a la mayor brevedad posible. Para ello, después de la experiencia adquirida en la instalación de una estación de la red High Gain Long Period Network, patrocinada por el Servicio Geológico de los Estados Unidos (USGS), en la cueva de Alcántara en Toledo, se buscaron emplazamientos similares a aquel en las dos islas. En la Isla de El Hierro, el emplazamiento elegido fue una antigua galería de captación de agua próxima a Valverde y en La Palma, otra galería similar en la Caldera de Taburiente. En ambos casos, se les dotó de una línea exclusiva de alimentación eléctrica.

En la estación de El Hierro (VVD) se instaló en el año 1973 un sensor Geotech de corto periodo y componente vertical, con un registrador Sprengnether de tinta sobre papel que estaba instalado en la misma galería (figura A1-11), lo que obligaba a tener una persona dedicada a realizar el cambio de bandas diario y su envío por correo postal a las oficinas del Observatorio Geofísico en Santa Cruz de Tenerife.

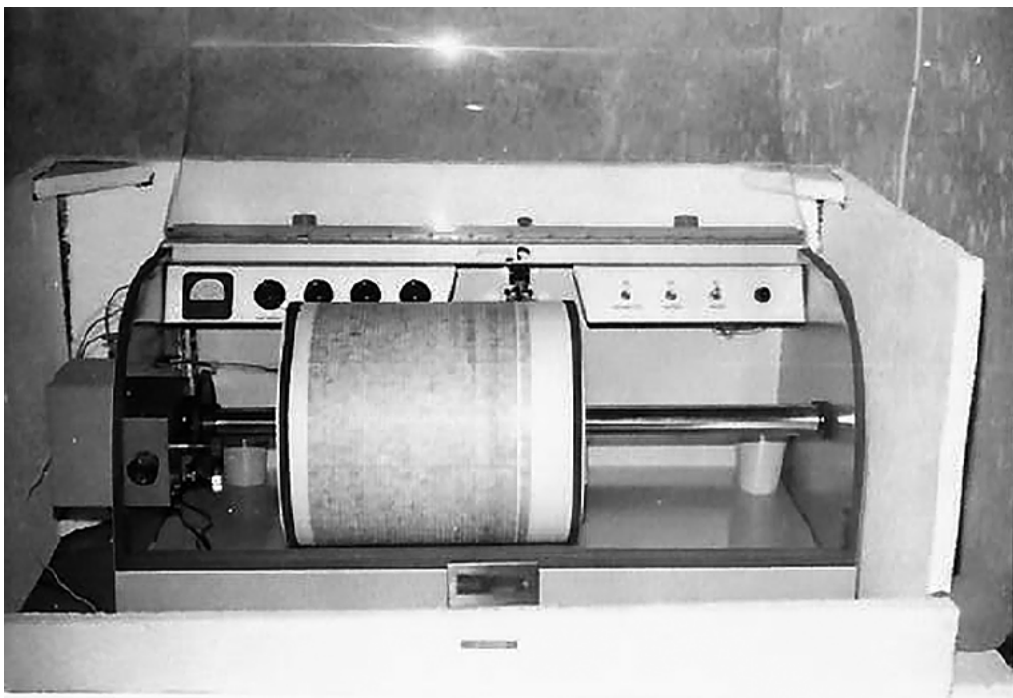


Figura A1-11. - Registro sísmico in situ en la estación sísmica de la galería de Valverde en la isla de El Hierro (VVD) instalada en el año 1973. Se trata de un registrador Sprengnether de tinta sobre papel a una velocidad de 60 mm/min.

En el año 1985, la estación fue trasladada de la galería de Valverde (VVD) a otra en Aguarijo (CVVD), también próxima a Valverde, conservándose la misma instrumentación hasta el año 1991.

En la isla de La Palma, la instrumentación instalada en 1974 coincidía con la que estaba funcionando satisfactoriamente en El Hierro: un sensor Geotech de corto periodo de componente vertical y un registrador Sprengnether de tinta sobre papel. En el año 1978, el registrador Sprengnether fue sustituido por un registrador Volk Lennartz de 120 mm/min, tal y como se observa en la figura A1-12. El proceso de obtención de los datos es el mismo, una persona dedicada a realizar el cambio diario de bandas y su envío postal a Santa Cruz de Tenerife.

En cuanto a las oficinas del Observatorio Geofísico, se trasladaron en el año 1979 desde los pisos de la calle José Murphy a unos nuevos y amplios espacios en la planta once del moderno edificio de Servicios Múltiples de la Administración Central del Estado, al final de la calle de La Marina. En la actualidad este edificio es la sede de varios organismos del Gobierno de Canarias. El centro adopta ya el nuevo nombre de Centro Geofísico de Canarias (CGC). Desde este nuevo emplazamiento, las transmisiones vía radio se facilitan en gran medida, al contarse con amplios espacios en la cubierta de edificio para situar antenas y horizontes despejados principalmente hacia el este.



Figura A1-12. - Estación sísmica (TBT) instalada en una galería en la Caldera de Taburiente de la isla de La Palma, en el año 1974. Se observa a la derecha el registrador Volk in situ en papel tinta. Al fondo se encuentran los sensores.

A1-6. La Red Sísmica en Canarias

A finales de los años 70, en lo que entonces se llamaba Laboratorio Central de Sismología en Madrid, del ya Instituto Geográfico Nacional (IGN), se estaban haciendo los estudios, proyectos y ensayos encaminados a la modernización de la red de observatorios, si esto era técnicamente posible, y la constitución de la Red Sísmica Nacional, que en Canarias adoptó el nombre de Red Sísmica de Canarias.

En aquellos momentos, las transmisiones radio que desde bastantes años atrás estaban ya en uso en las estaciones sísmicas de los Estados Unidos, se actualizaron con el auge de la energía fotovoltaica. Era ya posible establecer un enlace vía radio para transmitir señales desde lugares aislados. Además, se estaba iniciando la transmisión de datos a través de líneas telefónicas analógicas dedicadas, eso sí a un alto coste económico. De esta forma, los antiguos observatorios como lugar de registro dejaron de tener sentido sismológico. Por primera vez era posible situar sensores en lugares apartados, con un nivel de ruido antrópico bajo, y transmitir la señal a un centro de registro, apareciendo en toda su extensión el concepto moderno de red sísmica.

Así se diseñó y ejecutó (1983-1990) el proyecto de Red Sísmica Nacional en la península con 30 estaciones con sensor Kinematics de corto periodo, la mayoría solamente de componente vertical, instalado en pequeñas casetas apartadas de las ciudades y con transmisión de la señal analógica vía teléfono punto a punto hasta

el Centro de Recepción de Datos en Madrid, donde además del registro analógico se contaba ya con el primer detector digital de eventos DataSeis, con 12 bits de resolución, 32 canales, algoritmo STA/LTA y almacenamiento en cinta magnética (Mezcua, 1995).

En Canarias la situación fue un poco distinta, debido principalmente en esos momentos a las dificultades para establecer líneas telefónicas analógicas dedicadas punto a punto. Los esfuerzos entonces se encaminaron por establecer enlaces radio FM entre las estaciones sísmicas y el nuevo Centro Geofísico de Canarias (CGC). Así, en el año 1984, se instaló la estación de Guía-Gran Canaria (GGC), con un radio-enlace de longitud 72 km hasta el CGC (figura A1-13), donde se registraba la señal analógica en los registradores Volk a una velocidad de 120 mm/min. El sensor instalado era un sensor Geotech de corto periodo y componente vertical y la telemetría era también de Lennartz. En el año 1985 se instaló una estación similar en la isla de Fuerteventura (CFTV), con un enlace radio de 155 km de longitud hasta la estación GGC Guía-Gran Canaria (figura A1-14), que hacía de función repetidora hasta el CGC.



Figura A1-13. - Estación sísmica GGC de Guía-Gran Canaria (1984-act.). A partir de la instalación de la estación CFTV en Fuerteventura (1985-act.) esta estación enviaba sus datos al centro en Santa Cruz de Tenerife vía radio junto con la señal de la estación sísmica CFTV, haciendo las funciones de repetidor.

Figura A1-14. - Estación sísmica CFTV de Fuerteventura (1985-act.). En el inicio de la instalación, la señal se enviaba vía radio a la estación GGC en Guía-Gran Canaria desde donde se repetía la señal al Centro de Datos de Santa Cruz de Tenerife.



En el año 1983, se produjo definitivamente el cierre de la estación del Cabildo Insular de Tenerife (TEN) y sus equipos fueron almacenados ya que no contaban con la suficiente amplificación para la moderna instalación que se realizó en el Observatorio de Las Mesas (CTFE), donde en 1982 se instalaron tres sensores Willmore, de corto periodo, con registradores Volk en el propio observatorio (figura A1-15), a una velocidad de 120 mm/min. Las bandas se cambiaban todos los días y se bajaban al CGC en Santa Cruz de Tenerife para su análisis. Durante un periodo corto de tiempo 1976-1977, esta nueva estación Willmore estuvo funcionando solapadamente en el Cabildo Insular de Tenerife junto a los equipos Askania.

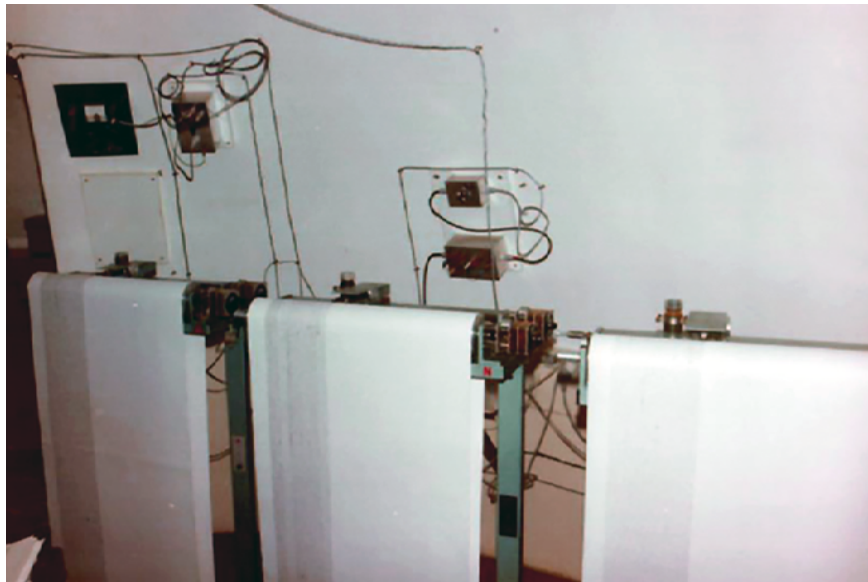


Figura A1-15. - Registradores Volk de las tres componentes de la estación sísmica del Observatorio de Las Mesas en Tenerife (CTFE).

De esta forma, en el año 1985, la Red Sísmica en Canarias estaba constituida por 5 estaciones, de las cuales solamente 2 se recibían en tiempo real en el CGC (figura A1-16).

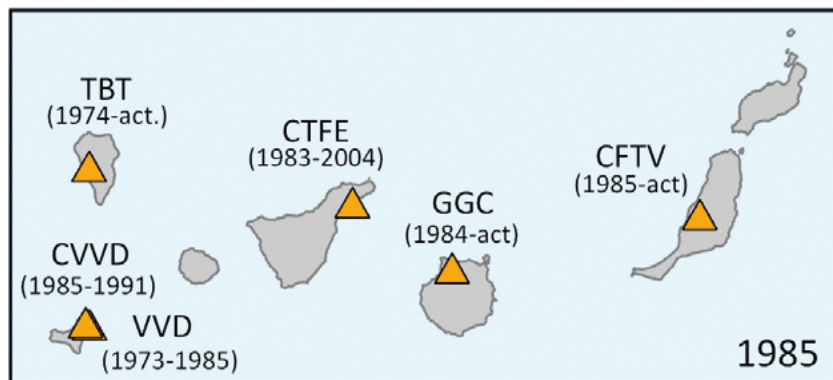


Figura A1-16. - Estado de la Red Sísmica en Canarias en el año 1985.

Es evidente que, con esta configuración de red, en ese momento, no se estaba monitorizando la actividad microsísmica en Canarias, ya que el umbral de localización estaba situado en los casos más favorables en magnitud 2,8. Por esta razón, y para conocer realmente si el interior de la isla de Tenerife tenía una microsismi-

idad asociada a la actividad volcánica, entre los años 1980 y 1983 se llevaron a cabo campañas anuales para el estudio de la microsismicidad en Las Cañadas del Teide. La toma de datos se realizaba con estaciones sísmicas portátiles Sprengether MEQ-800, con registro analógico sobre papel ahumado in situ y sensores de corto periodo Mark-L4, con una muy alta amplificación, pero con la señal filtrada entre 5-10 Hz. Las campañas duraban aproximadamente un mes al año y se realizaban aleatoriamente, sin tener en cuenta los niveles de microsismicidad en cada momento, que por otra parte la red sísmica permanente no permitía conocer. Los resultados de las campañas (Mezcua et al. 1990) demostraron que la actividad microsísmica ya entonces era recurrente en la zona. Esto se deduce porque siempre que se desplegaba la red se registraba actividad sísmica.

En la campaña de 1980, se instaló una de estas estaciones en la zona norte de Vilaflor, cuyo registro puede verse en la figura A1-17. En este registro se aprecia una actividad microsísmica de carácter volcánico que se inició de forma espontánea, duró solamente 5 días y fue registrada en una única estación.

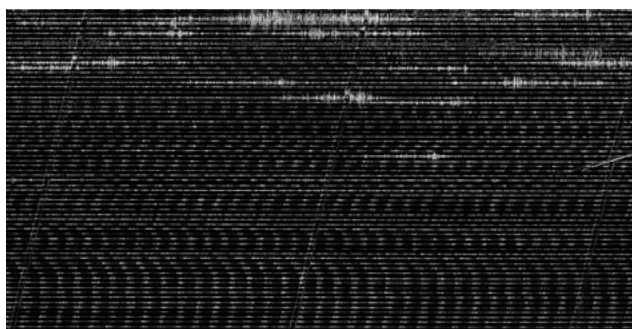


Figura A1-17. - Registro sísmico 5-10 Hz en la estación temporal instalada en Vilaflor en noviembre de 1980. Puede observarse una importante actividad microsísmica de carácter volcánico. Dos marcas de tiempo sucesivas acotan un minuto de registro.

El terremoto del 9 de mayo de 1989, de magnitud 5,0 M_w , con epicentro entre las islas de Gran Canaria y Tenerife, puso de manifiesto la necesidad de contar con el registro unificado en tiempo real de todas las señales sísmicas en un centro de recepción de datos, que por otra parte era uno de los principales objetivos de la nueva Red Sísmica Nacional. Además, la actividad microsísmica detectada en las distintas campañas hacía necesaria la instalación de forma inmediata de una estación sísmica permanente en Las Cañadas del Teide con el fin de monitorizar la actividad. De esta forma, en julio de 1990 (figura A1-18) se instaló una estación sísmica con sensor Geotech de corto periodo y componente vertical en uno de los emplazamientos utilizados en las campañas de microsismicidad de los años 80, en concreto la estación CCAN se situó en una zona en Las Cañadas del Teide, próxima al Parador Nacional. Con telemetría Lennartz se estableció inicialmente un enlace radio con un equipo repetidor en el Observatorio Meteorológico de Izaña hasta el CGC, pasándose posteriormente el radio enlace a Montaña Rajada, con una línea telefónica para conseguir transportar la señal en tiempo real al CGC. En la actualidad, con los correspondientes cambios en la instrumentación, esta estación sigue en funcionamiento, siendo una de las estaciones con mayor nivel de detectabilidad de la Red Sísmica.



Figura A1-18. - Estación sísmica CCAN (1990-act.) de Las Cañadas del Teide, con un sismómetro Geotech de corto periodo, de una sola componente (Z). La señal era transmitida en tiempo real al CGC mediante una transmisión mixta radio-teléfono.

En las estaciones de La Palma Taburiente (TBT) y en la de Valverde-Aguarrijo (CVVD) se instalaron sendos enlaces telefónicos con el centro de Santa Cruz de Tenerife, para transmitir la señal en tiempo real. También en enero de 1995 se instaló una estación de corto periodo, con sensor Kinometrics Ranger SS1 de componente vertical en la Isla de Lanzarote, próxima a la Presa de Mala, con un enlace directo al centro de recepción de datos de la Red Sísmica Nacional en Madrid. En diciembre del año 1991 la estación sísmica de Valverde, en la isla de El Hierro (CVVD), fue sustituida por una nueva estación (CHIE), en un lugar aislado en la costa este de la isla, próxima al Parador Nacional, en Las Playas. Esta estación, con componente vertical de corto periodo y sensor Kinometrics Ranger SS1, disponía de un enlace telefónico punto a punto para el envío de sus datos en tiempo real y ha seguido en funcionamiento hasta la actualidad.

Con el fin de conectar los centros de Madrid y Tenerife, se instaló una línea telefónica dedicada punto a punto por donde se enviaban todos los datos analógicos de un centro al otro. En el año 1992, se estableció en el centro de recepción de datos de la Red Sísmica Nacional en Madrid un sistema automático de localización, que era revisado 24 horas / 365 días por operadores sismológicos trabajando a turnos y permanentemente un sismólogo de guardia en contacto con las autoridades encargadas de la Protección Civil. Se organizó así el Sistema de Alerta Sísmica del Instituto Geográfico Nacional, que se extendía a todo el territorio nacional y que en la actualidad continúa siendo el pilar básico de la monitorización sísmica en España.

De esta forma, en el año 2000, la Red Sísmica en Canarias estaba formada por 7 estaciones de corto periodo que transmitían sus datos en tiempo real a los centros de recepción de datos en Tenerife y en Madrid, que a su vez estaban intercomunicados, según se muestra en la figura A1-19.

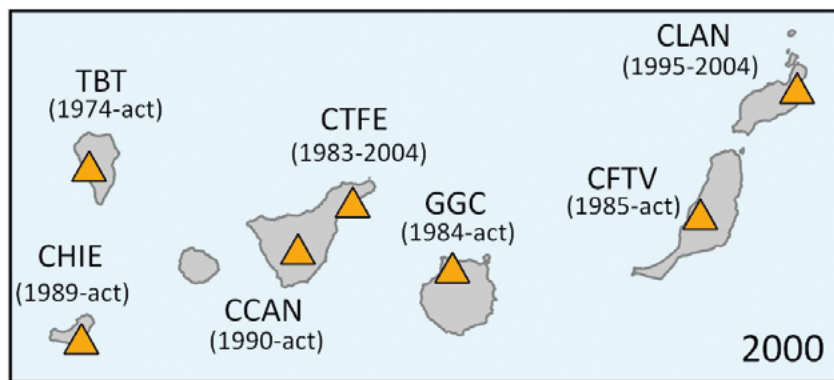


Figura A1-19. - Estado de la Red Sísmica en Canarias en el año 2000.

A1-7. La primera estación sísmica de banda ancha de la Red Sísmica en Canarias. Estación IRIS en Taburiente, La Palma (1993-1996)

En el año 1993, dentro de la colaboración existente entre el IGN y el USGS, desde que en los años 60 se permitió la instalación de las estaciones estándar de la red mundial (Global Seismograph Network) en los observatorios de Toledo y Málaga, el consorcio norteamericano de universidades y de centros de investigación IRIS (Incorporated Research Institutions for Seismology) solicitó al IGN colaboración para la instalación de una de sus estaciones digitales en la Red Sísmica de Canarias. El IGN ofreció las excelentes condiciones de la estación sísmica de Taburiente en la Isla de La Palma, ya que además de disponer de unas condiciones óptimas de ruido sísmico, se tenían solucionados los problemas de la alimentación eléctrica. La estación que se instaló formaba parte del sistema IRIS-2 y consistía en sensores de tres componentes de banda ancha (120 s) Streikesen STS-1, más un sensor de aceleración, también de tres componentes, Kinematics FBA-23. La estación se completaba con un registrador digital de 24 bits Quanterra Q680 y almacenamiento digital continuo sobre cinta magnética.

Las cintas magnéticas se cambiaban cada quince días y eran enviadas al Albuquerque Seismological Observatory en Nuevo México, junto a las de la estación IRIS del Observatorio de Toledo, a través de la Embajada Norteamericana en Madrid. Previamente, en la Red Sísmica Nacional se hacía una copia para su integración en la incipiente base de datos digitales.

La estación IRIS se mantuvo funcionando hasta el año 1996, con excelentes niveles de ruido sísmico, pero sin posibilidades de disponer de un enlace telefónico digital para la transmisión en tiempo real de los datos hasta el centro de Albuquerque. Esa fue la razón por la cual IRIS planteó al IGN el cambio de la instrumentación a otro emplazamiento en el que el problema de las comunicaciones estuviese resuelto. Se pensó entonces en una nueva estación en la isla de Tenerife.

En aquellos momentos del año 1996, el Instituto Nacional de Geofísica y Vulcanología de Italia (INGV) estaba completando su red MedNet que estaba formada por estaciones de banda ancha (120 s) en la región mediterránea y áreas próximas y tenía un acuerdo con IRIS para incorporar a dicha red las estaciones próximas. De esta forma, el INGV ofreció a IRIS adquirir unos nuevos sensores Streikesen STS-1 para instalar en la nueva estación de Canarias y sustituir a los de IRIS, pasando a ser esta una de las estaciones de la red MedNet. La decisión final del IGN fue que España adquiriría los costosos sensores Streikesen STS-1, que se instalarían en la nueva estación MACI de la Red Sísmica en Canarias en Morro de la Arena, Arico (Tenerife), con transmisión digital y cuyos datos se compartirían con IRIS. La estación en Tenerife fue instalada de forma definitiva en el año 2008, pero esto ya forma parte de otra historia que contaremos en otro momento.

A1-8. Referencias

- **Anduaga (2009)**. Geofísica, economía y sociedad en la España contemporánea. *Consejo Superior de Investigaciones Científicas, Estudios sobre la Ciencia*, **56**, 379 pp.
- **Bonelli, J.M. (1950)**. Contribución al estudio de la erupción del volcán del Nambroque o San Juan (Isla de La Palma) 24 de junio-4 de agosto. *Instituto Geográfico y Catastral, Madrid*, 24 pp y 10 gráficos.
- **Fernández Navarro, L. (1911)**. Erupción volcánica del Chinyero (Tenerife) en noviembre de 1909. *Anales de la Junta para la Ampliación de Estudios e Investigaciones Científicas*. **V**, Mem.1ª, p13.
- **Galitzin (1911)**. Conferencias sobre sismometría. Traducción del alemán por Inglada, García-Siñeriz y del Castillo. *Instituto Geográfico y Estadístico 1921*, **XII**, 560 pp.
- **Gómez Guillamón, F. (1942)**. Nuevo sismógrafo "Victoria", proyectado y construido en la estación sismológica de Málaga del Instituto Geográfico y Catastral. *Las Ciencias*, **7**, 23-37.
- **Mezcua, J., J. Galán, J. Rueda, J.M. Martínez Solares y E. Buforn (1990)**. Sismotectónica de las islas Canarias, estudio del terremoto del 9 de mayo de 1989 y su serie de réplicas. *Instituto Geográfico Nacional, Publicación Técnica* **23**, 24 pp.
- **Mezcua, J. (1995)**. Fundamentos de la Red Sísmica de España. *Publicación Instituto Geográfico Nacional, Monografía* **11**, 63-86.
- **de Ory, F. (2016)**. El centenario del Observatorio de Izaña: La apasionante historia de un Observatorio de montaña en una remota isla del Atlántico Norte. *Publicación Agencia Estatal de Meteorología*, 26 pp.
- **Rebeur-Paschwitz, E. (1892)**. Das Horizontalpendel und seine Anwendung zur Beobachtung der absoluten und relativen Richtungs-Aenderungen der lothlinie. *Nova Acta der Ksl. Leop—Carol. Deutschen Akademie der Naturforscher*, **LX**, 1, 232 pp.
- **Romero, C. (1991)**. Las manifestaciones volcánicas históricas del Archipiélago Canario. *Gobierno de Canarias (Consejería de Política Territorial), Tenerife*. Tomo **I**. 695 pp.
- **Torallas, E. (1924)**. Rapport sur l'Organisation du Service Sismologique en Espagne. *Instituto Geográfico y Catastral*, 67 pp.

Anexo 2.
Documentación sísmica
referida a las Islas Canarias,
contenida en el Archivo Nacional
de Datos Geofísicos



A2-1. El Archivo Nacional de Datos Geofísicos

En el año 2006 el IGN creó el Archivo Nacional de Datos Geofísicos con la finalidad de concentrar en él todos los datos geofísicos que se han producido en los diferentes instrumentos de medida que esta institución ha tenido a lo largo de su historia. Este Archivo (figura A2-1), que se encuentra ubicado en el Observatorio Geofísico de Toledo, cuenta actualmente con todos los registros sísmicos y geomagnéticos, así como una gran parte de los documentos que están relacionados con la geofísica del Instituto (Lopez-Muga et al., 2020).

En relación a los datos de las Islas Canarias, en los últimos años se ha realizado el traslado hasta este Archivo de los documentos que se encontraban almacenados en el Centro Geofísico de Canarias. Una vez recibidos en el Archivo, dichos documentos han sido identificados, catalogados y en los casos en que ha sido necesario se ha procedido a la limpieza y restauración de los mismos. De este modo, todos los registros sísmicos analógicos que se conservan de las diferentes estaciones que han estado operativas en la Red Sísmica en Canarias, se encuentran debidamente catalogados y archivados para poder ser consultados por la comunidad científica.

Entre la documentación que se encuentra en el Archivo, se encuentra la correspondencia que mantuvo el personal de los Observatorios Meteorológicos de Santa Cruz de Tenerife e Izaña con José Galbis para la instalación de los primeros sismógrafos en Tenerife, los planos de la instalación de los mismos y algún anteproyecto de la construcción del Observatorio de Las Mesas, tal como se recoge en el Anexo 1.



Figura A2-1. - Edificio del Archivo Nacional de Datos Geofísicos, Observatorio Geofísico de Toledo.

A2-2. Registros sísmicos

Los registros sísmicos analógicos, en sus distintos soportes, se encuentran entre la documentación más valiosa disponible en el Archivo, ya que son documentos únicos con un alto valor científico. También es una de las documentaciones más complicada de conservar y archivar debido al gran tamaño que en ocasiones tienen los documentos y los diferentes tipos de soportes, lo que hace que cada tipo de papel necesite un tratamiento diferente a la hora de conservarlo y ubicarlo.

Las graves inundaciones que ocurrieron en Santa Cruz de Tenerife el 31 de marzo de 2002, destrozaron parte del archivo de los registros sísmicos del Centro Geofísico de Canarias, por lo que lamentablemente no ha sido posible recuperar de forma completa toda la colección de sismogramas registrados en las distintas estaciones sísmicas que han estado instaladas en las islas Canarias. En concreto, las bandas de las estaciones de TBT en La Palma y de VVD en El Hierro, fueron las más afectadas por esta pérdida. Además, las condiciones de conservación de las bandas no han sido siempre las más adecuadas, por lo que algunas se encuentran en mal estado. Una vez que han sido recepcionadas en el Archivo, se ha procedido a realizar un proceso de limpieza, identificación y catalogación, así como el almacenamiento en condiciones adecuadas para su preservación, quedando las bandas ubicadas en cajas con PH neutro y libres de ligninas para protegerlas de la luz, el polvo y la humedad y las bandas de gran formato enrolladas y envueltas con polipropileno (figura A2-2).



Figura A2-2. - Almacenamiento de los registros sísmicos en el Archivo Nacional de Datos Geofísicos, Observatorio Geofísico de Toledo.

La tabla A2-1 indica los registros sísmicos que se conservan en el archivo, correspondientes a las distintas estaciones sísmicas que han estado operativas en Canarias, con indicación de las estaciones a las que pertenecen, la instrumentación operativa, tipo de registro y el periodo que se conserva. Bajo el nombre de Red Sísmica en Canarias, figuran los registros de todas las estaciones analógicas que a partir de 1989 y hasta 2013 se recibían en tiempo real en el Centro Geofísico de Canarias.

Tabla A2-1. Registros de las estaciones sísmicas en Canarias.

Estación	Sensor-Registrador	Tipo de registro	Fecha de inicio	Fecha Final
TEN (Cabildo Insular, Tenerife)	Hiller-Stuttgart	Papel fotográfico	Enero 1962	Diciembre 1983
TEN (Cabildo Insular, Tenerife)	Willmore-Volk	Papel tinta	Noviembre 1976	Diciembre 1977
CTFE (Las Mesas, Tenerife)	Willmore-Volk	Papel tinta	1982	2003
CVVD (Valverde Aguarijo, El Hierro)	Geotech - Sprengnether	Papel tinta	Enero 1990	Diciembre 1991
Red Sísmica de Canarias	Kinematics	Papel térmico	Octubre 1989	Septiembre 2013

Asimismo en la tabla A2-2 se indican los registros sísmicos que se conservan en el Archivo, correspondientes a todas las estaciones desplegadas durante las distintas campañas de microsismicidad que se han realizado en la isla de Tenerife.

Tabla A2-2. Registros de las campañas de microsismicidad de Tenerife.

Sensor-Registrador	Tipo de registro	Fecha inicio	Fecha Final
MarkL4-Sprengether MEQ-800	Papel ahumado	28/10/1980	13/11/1980
MarkL4-Sprengether MEQ-800	Papel ahumado	01/05/1981	04/07/1981
MarkL4-Sprengether MEQ-800	Papel ahumado	22/04/1982	08/06/1982
MarkL4-Sprengether MEQ-800	Papel ahumado	16/05/1983	05/06/1983

A2-3. Otra documentación

Además de las bandas sísmicas analógicas, el Archivo Nacional de Datos Geofísicos conserva otro tipo de documentación relativa a la sismicidad de las Islas Canarias. Por un lado, se dispone de las fichas sísmicas que se realizaban para cada sismo, que contienen información de las observaciones y cálculos, y que se utilizaban para poder realizar con posterioridad los boletines sísmicos. Existen fichas sísmicas de sismos de Canarias para el periodo correspondiente a los años 1975-2000.

Por otra parte, el Archivo dispone de una amplia colección de Boletines Sísmicos elaborados por instituciones de todo el mundo. En lo que respecta a los boletines del Observatorio Geofísico de Tenerife, llamado posteriormente Centro Geofísico de Canarias, se dispone, aunque de forma incompleta, de los correspondientes al periodo comprendido entre los años 1964 y 1989.

Otro tipo de documentos que se están catalogando son los relativos a la información macrosísmica, fundamentalmente cuestionarios macrosísmicos, mapas de isosistas y fotografías de daños. En lo que se refiere a los sismos sentidos en las Islas Canarias, se conservan 14 cuestionarios macrosísmicos que corresponden al periodo 1939-1948 siendo el más antiguo el correspondiente a un evento sentido el 21 de octubre de 1939, como se muestra en la figura A2-3. Esta información, anterior a la creación del primer Observatorio en Tenerife, era recogida en el Observatorio Sismológico de Málaga. Además, se encuentra también en el archivo toda la información macrosísmica recogida con motivo del terremoto del 9 de mayo de 1989, con epicentro entre Gran Canaria y Tenerife.

Desde el año 1998, la información macrosísmica en Canarias, se obtenía principalmente mediante encuestas telefónicas por parte de los técnicos de la Red Sísmica Nacional. Dicha información transcrita también se conserva en el Archivo Nacional de Datos Geofísicos.

I, T-3

(Si ha sentido hoy el temblor, no deje para mañana el hacer esta información ni de ponerla en el Correo.)

1 Temblor de tierra en: Pueblo Arico Nuevo Provincia: Tenerife
sábado 21 de octubre de 1939 a las 11 horas mañana minutos 14 segundos 14

2 ¿Se observó al aire libre? ¿En la planta baja? si ¿En el piso de la casa? Escuela Nacional
Calle
Paseo
Cortijo

3 Número de sacudidas 1 Hora en que ocurrieron: 1.ª a las once aproximadamente
 Fue más intensa la 1.ª después la 1.ª después las 1.ª

4 Caracter del movimiento: ¿Vertical? frecuente ¿Horizontal? si ¿Ondulatorio? si

5 Duración del a cuatro segundos

6 Dirección de donde parecía provenir: ¿Del Norte? si ¿Del Mediodía? si ¿De Saliente? si ¿De Poniente? si

EFFECTOS PRODUCIDOS	SI o NO	EFFECTOS PRODUCIDOS	SI o NO
Sentido por alguna persona		Idem varias chimeneas	
Idem por pocos		Idem la mayoría de las chimeneas	
Idem por la mayoría	<u>si</u>	Desprendimiento de revocos de cielos rasos o paredes	<u>si</u>
Idem por casi todos		Pequeñas grietas en tabiques	
Idem por todos		Caída de cornisas y remates de torres, etc.	
Idem por todos con espanto		Grietas en edificios mal contruidos	
Estremecimiento casi imperceptible		Idem en idem bien contruidos	
Idem análogo al paso rápido de un coche		Hundimiento parcial de algún corral o cobertizo	
Ligero balanceo del mobiliario		Idem total de algún corral o cobertizo	
Crujido de cristalerías	<u>si</u>	Grietas importantes en la mayoría de los edificios	
Movimiento de líquido en sus vasijas		Estatuas y objetos análogos cambian de posición	
Oscilación de lámparas y cuadros suspendidos	<u>si</u>	Caída de muros de cerco	
Relojes de péndola se paran		Edificios arruinados. ¿Cuántos en tanto por ciento?	
Caída de algún objeto en equilibrio poco estable. ¿Cual?		Dstrucción de puentes de madera	
Idem de cuadros, libros y objetos ligeros. ¿Cuales?		Idem de idem metálicos	
Idem de objetos pesados. ¿Cuales?		Torceduras de carriles	
Puertas y ventanas se abren o cierran		Rotura de cañerías	
Idem idem con rotura de cristales		Grietas en el suelo	
Tocan las campanas de pequeñas capillas		Emanaciones sulfúricas	
Idem las campanas de las Iglesias		Pozos que se han quedado secos. ¿Cuántos?	
Caída de alguna chimenea ruinosas			

8 Nombre, apellidos y profesión del observador Maestro Nacional Pedesico Juan de Aguirre y Velaz de Mendizabal
 Edad y domicilio 20 años - Arico Nuevo y Varista Puente Tenerife.
 Fecha del día en que se contesta esta tarjeta 24 - octubre - 1939 -

62

Figura A2-3. - Cuestionario de información macrosísmica del terremoto del 21 de octubre de 1939.

A2-4. Referencias

- **López Muga, M., I. Benayas y J.M. Tordesillas (2020)**. Seismic Information at the Spanish Geophysical Data National Archive. Example: the Earthquake of February 28, 1969. *Pure Appl. Geophys.* **177**, 1747–1759. doi.org/10.1007/s00024-019-02340-y.

Anexo 3.
Nuevo Catálogo Sísmico
de Canarias (1341-2000)



A3-1. Descripción de variables

Nº	Número de evento correlativo establecido en el nuevo catálogo.
EVID	Número de evento en el catálogo actual del IGN.
Fecha	Día/mes/año de ocurrencia del terremoto.
Hora	Hora origen de ocurrencia del terremoto en Tiempo Universal. Al tratarse de Canarias, con un adelanto en verano de una hora de la hora oficial al Tiempo Universal, ha sido a veces imposible conocer si las referencias históricas citaban hora local u oficial. En general estas imprecisiones se han producido en eventos ocurridos antes del siglo XX, puesto que con posterioridad las referencias al tiempo utilizado se conocen con bastante aproximación. En cualquier caso, las imprecisiones no implican grandes cambios en la distribución temporal de la sismicidad.
Latitud:	Latitud de epicentro (ETRS89).
Longitud:	Longitud del epicentro (ETRS89).
Error_hora:	Error en s en la hora origen, obtenido en el proceso de cálculo numérico.
RMS:	Error medio cuadrático en s, obtenido en el proceso de cálculo numérico.
S_mayor:	Semieje mayor de la elipse de error, para el 90% de grado de confianza, en km, obtenido en el proceso de cálculo numérico.
S_menor:	Semieje menor de la elipse de error, para el 90% de grado de confianza, en km, obtenido en el proceso de cálculo numérico.
Acimut:	Acimut del semieje mayor de la elipse de error, en grados sexagesimales, obtenido en el proceso de cálculo numérico.
Profundidad:	Profundidad del hipocentro en km. El valor termina con una f cuando la profundidad ha sido fijada en el proceso de cálculo numérico.
Error_prof:	Error en km en la profundidad del hipocentro, obtenido en el proceso de cálculo numérico.
Nº_Datos:	Número de datos utilizados en la localización numérica hipocentral.
Nº_Esta:	Número de estaciones utilizadas en la localización numérica hipocentral.
GAP:	Mayor ángulo en grados sexagesimales entre estaciones.
Dist_mín:	Mínima distancia epicentral.
Dist_máx:	Máxima distancia epicentral.
Epicentro:	Denominación de la zona epicentral, generalmente la población más cercana.
Zona_sísmica:	Denominación de la región geográfica del epicentro.
m_b:	Magnitud de ondas internas dada por NEIC e ISC o con la expresión de Veith y Clawson (1972).
M_d mod:	Magnitud duración a partir de una expresión específica para Canarias.
M_d:	Magnitud duración de Lee et al. (1972).
m_b (Lg):	Magnitud de Mezcua y Martínez Solares (1983).
m_L:	Magnitud local definida por López (2008).
M:	Magnitud momento de Kanamori (1977).
I_máx_calc:	Intensidad máxima calculada (epicentral) en función de las intensidades observadas, en la escala EMS98.
I_máx_obs:	Intensidad máxima observada en la escala EMS98.
Dur_perc:	Tiempo de perceptibilidad observado en s.
N_obs_I.:	Número de observaciones de intensidad.
Dist_perc.:	Distancia máxima a la que se ha sentido el sismo.
Referencias:	Acrónimos de las referencias utilizadas en la investigación de cada terremoto, detalladas en el Anexo 4.

A3-2. Catálogo sísmico

Nº	EVID	Fecha	Hora	Error_hora	RMS	Latitud	Longitud
1	27	00/00/1341				28.272	-16.642
S_mayor	S_menor	Acimut	Profundidad	Error_prof	Nº_Datos	Nº_Esta	GAP
Dist_mín	Dist_máx	Epicentro	Zona_sísmica	m_b	$m_b(Lg)$	m_L	$M_b mod$
		Pico Teide.TF	Valle de Icod.TF				
M_b	M	I_máx_calc	I_máx_obs	Dur_perc	Dist_perc	N_obs_I	Referencias
							MM, MO, CR, SA1, MP, LG
Nº	EVID	Fecha	Hora	Error_hora	RMS	Latitud	Longitud
2	42	00/00/1393				28.272	-16.642
S_mayor	S_menor	Acimut	Profundidad	Error_prof	Nº_Datos	Nº_Esta	GAP
Dist_mín	Dist_máx	Epicentro	Zona_sísmica	m_b	$m_b(Lg)$	m_L	$M_b mod$
		Pico Teide.TF	Valle de Icod.TF				
M_b	M	I_máx_calc	I_máx_obs	Dur_perc	Dist_perc	N_obs_I	Referencias
							MM, MO, CR, WyB, VC, FN, SA2
Nº	EVID	Fecha	Hora	Error_hora	RMS	Latitud	Longitud
3	79	00/00/1430				28.62	-17.84
S_mayor	S_menor	Acimut	Profundidad	Error_prof	Nº_Datos	Nº_Esta	GAP
Dist_mín	Dist_máx	Epicentro	Zona_sísmica	m_b	$m_b(Lg)$	m_L	$M_b mod$
		Volcán Tacande (Montaña Quemada)	Isla de La Palma				
M_b	M	I_máx_calc	I_máx_obs	Dur_perc	Dist_perc	N_obs_I	Referencias
							MM, MO, CR, HyB, WyB, FN
Nº	EVID	Fecha	Hora	Error_hora	RMS	Latitud	Longitud
4		24/08/1492				28.283	-16.759
S_mayor	S_menor	Acimut	Profundidad	Error_prof	Nº_Datos	Nº_Esta	GAP
Dist_mín	Dist_máx	Epicentro	Zona_sísmica	m_b	$m_b(Lg)$	m_L	$M_b mod$
		Vólcan Boca Cangrejo.TF	Valle de Icod.TF				
M_b	M	I_máx_calc	I_máx_obs	Dur_perc	Dist_perc	N_obs_I	Referencias
							MM, MO, CR, CyB, CA1
Nº	EVID	Fecha	Hora	Error_hora	RMS	Latitud	Longitud
5		00/04/1585				28.582	-17.867
S_mayor	S_menor	Acimut	Profundidad	Error_prof	Nº_Datos	Nº_Esta	GAP
Dist_mín	Dist_máx	Epicentro	Zona_sísmica	m_b	$m_b(Lg)$	m_L	$M_b mod$
		Volcán Tehuya(1ª fase)	Isla de La Palma				
M_b	M	I_máx_calc	I_máx_obs	Dur_perc	Dist_perc	N_obs_I	Referencias
					9	2	CR, CS, SA1, AE, LT, VC, NP, PC
Nº	EVID	Fecha	Hora	Error_hora	RMS	Latitud	Longitud
6		19/05/1585	Noche			28.582	-17.867
S_mayor	S_menor	Acimut	Profundidad	Error_prof	Nº_Datos	Nº_Esta	GAP
Dist_mín	Dist_máx	Epicentro	Zona_sísmica	m_b	$m_b(Lg)$	m_L	$M_b mod$
		Volcán Tehuya(1ª fase)	Isla de La Palma				
M_b	M	I_máx_calc	I_máx_obs	Dur_perc	Dist_perc	N_obs_I	Referencias
						+	CR, CS, SA1, AE, LT, VC, NP, PC, WyB, SV, LB, FN, BO, MA, RB
Nº	EVID	Fecha	Hora	Error_hora	RMS	Latitud	Longitud
7	125	26/05/1585	Noche			28.582	-17.867
S_mayor	S_menor	Acimut	Profundidad	Error_prof	Nº_Datos	Nº_Esta	GAP
Dist_mín	Dist_máx	Epicentro	Zona_sísmica	m_b	$m_b(Lg)$	m_L	$M_b mod$
		Volcán Tehuya(1ª fase)	Isla de La Palma				
M_b	M	I_máx_calc	I_máx_obs	Dur_perc	Dist_perc	N_obs_I	Referencias
					9	1	MM, MO, CR, LT, SA2

N°	EVID	Fecha	Hora	Error_hora	RMS	Latitud	Longitud
8		27/05/1585				28.582	-17.867
S_mayor	S_menor	Acimut	Profundidad	Error_prof	N°_Datos	N°_Esta	GAP
Dist_mín	Dist_máy	Epicentro	Zona_sísmica	m_b	$m_b(Lg)$	m_L	$M_b mod$
		Volcán Tehuya(1ª fase)	Isla de La Palma				
M_b	M	I_máy_calc	I_máy_obs	Dur_perc	Dist_perc	N_obs_I	Referencias
							SA1, LT, CR
N°	EVID	Fecha	Hora	Error_hora	RMS	Latitud	Longitud
9		00/06/1585	Tarde			28.582	-17.867
S_mayor	S_menor	Acimut	Profundidad	Error_prof	N°_Datos	N°_Esta	GAP
Dist_mín	Dist_máy	Epicentro	Zona_sísmica	m_b	$m_b(Lg)$	m_L	$M_b mod$
		Volcán Tehuya(1ª fase)	Isla de La Palma				
M_b	M	I_máy_calc	I_máy_obs	Dur_perc	Dist_perc	N_obs_I	Referencias
	5.7	7.5	6		9	+	SA1, LT, CR, CS
N°	EVID	Fecha	Hora	Error_hora	RMS	Latitud	Longitud
10		30/09/1646	23:00:24.00			28.536	-17.838
S_mayor	S_menor	Acimut	Profundidad	Error_prof	N°_Datos	N°_Esta	GAP
Dist_mín	Dist_máy	Epicentro	Zona_sísmica	m_b	$m_b(Lg)$	m_L	$M_b mod$
		Volcán Martín	Isla de La Palma				
M_b	M	I_máy_calc	I_máy_obs	Dur_perc	Dist_perc	N_obs_I	Referencias
							MC, MA, CR, CS
N°	EVID	Fecha	Hora	Error_hora	RMS	Latitud	Longitud
11	167	01/10/1646				28.536	-17.838
S_mayor	S_menor	Acimut	Profundidad	Error_prof	N°_Datos	N°_Esta	GAP
Dist_mín	Dist_máy	Epicentro	Zona_sísmica	m_b	$m_b(Lg)$	m_L	$M_b mod$
		Volcán Martín	Isla de La Palma				
M_b	M	I_máy_calc	I_máy_obs	Dur_perc	Dist_perc	N_obs_I	Referencias
							MC, MA, MM, MO, CR
N°	EVID	Fecha	Hora	Error_hora	RMS	Latitud	Longitud
12		03/10/1646				28.536	-17.838
S_mayor	S_menor	Acimut	Profundidad	Error_prof	N°_Datos	N°_Esta	GAP
Dist_mín	Dist_máy	Epicentro	Zona_sísmica	m_b	$m_b(Lg)$	m_L	$M_b mod$
		Volcán Martín	Isla de La Palma				
M_b	M	I_máy_calc	I_máy_obs	Dur_perc	Dist_perc	N_obs_I	Referencias
							MC, MA, CR, CS
N°	EVID	Fecha	Hora	Error_hora	RMS	Latitud	Longitud
13		04/10/1646	11:00			28.536	-17.838
S_mayor	S_menor	Acimut	Profundidad	Error_prof	N°_Datos	N°_Esta	GAP
Dist_mín	Dist_máy	Epicentro	Zona_sísmica	m_b	$m_b(Lg)$	m_L	$M_b mod$
		Volcán Martín	Isla de La Palma				
M_b	M	I_máy_calc	I_máy_obs	Dur_perc	Dist_perc	N_obs_I	Referencias
			3		240	2	MC, MA, CR, CS
N°	EVID	Fecha	Hora	Error_hora	RMS	Latitud	Longitud
14		15/11/1646	Tarde			28.536	-17.838
S_mayor	S_menor	Acimut	Profundidad	Error_prof	N°_Datos	N°_Esta	GAP
Dist_mín	Dist_máy	Epicentro	Zona_sísmica	m_b	$m_b(Lg)$	m_L	$M_b mod$
		Volcán Martín	Isla de La Palma				
M_b	M	I_máy_calc	I_máy_obs	Dur_perc	Dist_perc	N_obs_I	Referencias
			3		150	1+	MC, NP, ML, VC, MA, CR, CS

Nº	EVID	Fecha	Hora	Error_hora	RMS	Latitud	Longitud
15	188	13/11/1677	20:00			28.483	-17.849
S_mayor	S_menor	Acimut	Profundidad	Error_prof	Nº_Datos	Nº_Esta	GAP
Dist_mín	Dist_máx	Epicentro	Zona_sísmica	m_b	$m_b(Lg)$	m_L	$M_b mod$
		Volcán San Antonio	Isla de La Palma				
M_b	M	I_máx_calc	I_máx_obs	Dur_perc	Dist_perc	N_obs_I	Referencias
	5.7	7.6	7		10	2	NP, GG, LB, GA, MA, MM, CR, CA3
Nº	EVID	Fecha	Hora	Error_hora	RMS	Latitud	Longitud
16	189	17/11/1677	Noche			28.483	-17.849
S_mayor	S_menor	Acimut	Profundidad	Error_prof	Nº_Datos	Nº_Esta	GAP
Dist_mín	Dist_máx	Epicentro	Zona_sísmica	m_b	$m_b(Lg)$	m_L	$M_b mod$
		Volcán San Antonio	Isla de La Palma				
M_b	M	I_máx_calc	I_máx_obs	Dur_perc	Dist_perc	N_obs_I	Referencias
							MA, MM, MO, CR, CS
Nº	EVID	Fecha	Hora	Error_hora	RMS	Latitud	Longitud
17		21/11/1677				28.483	-17.849
S_mayor	S_menor	Acimut	Profundidad	Error_prof	Nº_Datos	Nº_Esta	GAP
Dist_mín	Dist_máx	Epicentro	Zona_sísmica	m_b	$m_b(Lg)$	m_L	$M_b mod$
		Volcán San Antonio	Isla de La Palma				
M_b	M	I_máx_calc	I_máx_obs	Dur_perc	Dist_perc	N_obs_I	Referencias
							MA, CR
Nº	EVID	Fecha	Hora	Error_hora	RMS	Latitud	Longitud
18		26/11/1677				28.483	-17.849
S_mayor	S_menor	Acimut	Profundidad	Error_prof	Nº_Datos	Nº_Esta	GAP
Dist_mín	Dist_máx	Epicentro	Zona_sísmica	m_b	$m_b(Lg)$	m_L	$M_b mod$
		Volcán San Antonio	Isla de La Palma				
M_b	M	I_máx_calc	I_máx_obs	Dur_perc	Dist_perc	N_obs_I	Referencias
							GA, MU, MM, CR
Nº	EVID	Fecha	Hora	Error_hora	RMS	Latitud	Longitud
19		02/01/1678				28.483	-17.849
S_mayor	S_menor	Acimut	Profundidad	Error_prof	Nº_Datos	Nº_Esta	GAP
Dist_mín	Dist_máx	Epicentro	Zona_sísmica	m_b	$m_b(Lg)$	m_L	$M_b mod$
		Volcán San Antonio	Isla de La Palma				
M_b	M	I_máx_calc	I_máx_obs	Dur_perc	Dist_perc	N_obs_I	Referencias
							MA, CR
Nº	EVID	Fecha	Hora	Error_hora	RMS	Latitud	Longitud
20		21/01/1678				28.483	-17.849
S_mayor	S_menor	Acimut	Profundidad	Error_prof	Nº_Datos	Nº_Esta	GAP
Dist_mín	Dist_máx	Epicentro	Zona_sísmica	m_b	$m_b(Lg)$	m_L	$M_b mod$
		Volcán San Antonio	Isla de La Palma				
M_b	M	I_máx_calc	I_máx_obs	Dur_perc	Dist_perc	N_obs_I	Referencias
							MA, CR
Nº	EVID	Fecha	Hora	Error_hora	RMS	Latitud	Longitud
21	208	24/12/1704	14:00			28.271	-16.529
S_mayor	S_menor	Acimut	Profundidad	Error_prof	Nº_Datos	Nº_Esta	GAP
Dist_mín	Dist_máx	Epicentro	Zona_sísmica	m_b	$m_b(Lg)$	m_L	$M_b mod$
		Volcán Sietefuentes	Valle de Güímar.TF				
M_b	M	I_máx_calc	I_máx_obs	Dur_perc	Dist_perc	N_obs_I	Referencias
	5.9	7.8	6		15	4+	GG, VC, CA, NP2, MO, MM, CR, CS

N°	EVID	Fecha	Hora	Error_hora	RMS	Latitud	Longitud
22		25/12/1704				28.271	-16.529
S_mayor	S_menor	Acimut	Profundidad	Error_prof	N°_Datos	N°_Esta	GAP
Dist_mín	Dist_máx	Epicentro	Zona_sísmica	m_b	$m_b(Lg)$	m_L	$M_b mod$
		Volcán Sietefuentes	Valle de Gúimar.TF				
M_b	M	I_máx_calc	I_máx_obs	Dur_perc	Dist_perc	N_obs_I	Referencias
						3+	CA, NP2, CR, CS
N°	EVID	Fecha	Hora	Error_hora	RMS	Latitud	Longitud
23		26/12/1704				28.271	-16.529
S_mayor	S_menor	Acimut	Profundidad	Error_prof	N°_Datos	N°_Esta	GAP
Dist_mín	Dist_máx	Epicentro	Zona_sísmica	m_b	$m_b(Lg)$	m_L	$M_b mod$
		Volcán Sietefuentes	Valle de Gúimar.TF				
M_b	M	I_máx_calc	I_máx_obs	Dur_perc	Dist_perc	N_obs_I	Referencias
						+	CA, NP2, CR, CS
N°	EVID	Fecha	Hora	Error_hora	RMS	Latitud	Longitud
24		27/12/1704	20:30			28.271	-16.529
S_mayor	S_menor	Acimut	Profundidad	Error_prof	N°_Datos	N°_Esta	GAP
Dist_mín	Dist_máx	Epicentro	Zona_sísmica	m_b	$m_b(Lg)$	m_L	$M_b mod$
		Volcán Sietefuentes	Valle de Gúimar.TF				
M_b	M	I_máx_calc	I_máx_obs	Dur_perc	Dist_perc	N_obs_I	Referencias
	5.9	7.8	6		15	4+	CA, NP2, CR, CS
N°	EVID	Fecha	Hora	Error_hora	RMS	Latitud	Longitud
25		28/12/1704	08:00			28.271	-16.529
S_mayor	S_menor	Acimut	Profundidad	Error_prof	N°_Datos	N°_Esta	GAP
Dist_mín	Dist_máx	Epicentro	Zona_sísmica	m_b	$m_b(Lg)$	m_L	$M_b mod$
		Volcán Sietefuentes	Valle de Gúimar.TF				
M_b	M	I_máx_calc	I_máx_obs	Dur_perc	Dist_perc	N_obs_I	Referencias
	5.8	7.7	6		60	2	CA, NP2, CR, CS
N°	EVID	Fecha	Hora	Error_hora	RMS	Latitud	Longitud
26		29/12/1704				28.271	-16.529
S_mayor	S_menor	Acimut	Profundidad	Error_prof	N°_Datos	N°_Esta	GAP
Dist_mín	Dist_máx	Epicentro	Zona_sísmica	m_b	$m_b(Lg)$	m_L	$M_b mod$
		Volcán Sietefuentes	Valle de Gúimar.TF				
M_b	M	I_máx_calc	I_máx_obs	Dur_perc	Dist_perc	N_obs_I	Referencias
							CA, CR, CS
N°	EVID	Fecha	Hora	Error_hora	RMS	Latitud	Longitud
27		30/12/1704				28.271	-16.529
S_mayor	S_menor	Acimut	Profundidad	Error_prof	N°_Datos	N°_Esta	GAP
Dist_mín	Dist_máx	Epicentro	Zona_sísmica	m_b	$m_b(Lg)$	m_L	$M_b mod$
		Volcán Sietefuentes	Valle de Gúimar.TF				
M_b	M	I_máx_calc	I_máx_obs	Dur_perc	Dist_perc	N_obs_I	Referencias
							CA, CR, CS
N°	EVID	Fecha	Hora	Error_hora	RMS	Latitud	Longitud
28		31/12/1704				28.271	-16.529
S_mayor	S_menor	Acimut	Profundidad	Error_prof	N°_Datos	N°_Esta	GAP
Dist_mín	Dist_máx	Epicentro	Zona_sísmica	m_b	$m_b(Lg)$	m_L	$M_b mod$
		Volcán Sietefuentes	Valle de Gúimar.TF				
M_b	M	I_máx_calc	I_máx_obs	Dur_perc	Dist_perc	N_obs_I	Referencias
	5.5	7.3	6		35	1+	GG, VC, CA, NP2, MO, CR, CS

Nº	EVID	Fecha	Hora	Error_hora	RMS	Latitud	Longitud
29		01/01/1705				28.271	-16.529
S_mayor	S_menor	Acimut	Profundidad	Error_prof	Nº_Datos	Nº_Esta	GAP
Dist_mín	Dist_máx	Epicentro	Zona_sísmica	m_b	$m_b(Lg)$	m_L	$M_b mod$
		Volcán Sietefuentes	Valle de Güímar,TF				
M_b	M	I_máx_calc	I_máx_obs	Dur_perc	Dist_perc	N_obs_I	Referencias
							CA, CR
Nº	EVID	Fecha	Hora	Error_hora	RMS	Latitud	Longitud
30		02/01/1705				28.271	-16.529
S_mayor	S_menor	Acimut	Profundidad	Error_prof	Nº_Datos	Nº_Esta	GAP
Dist_mín	Dist_máx	Epicentro	Zona_sísmica	m_b	$m_b(Lg)$	m_L	$M_b mod$
		Volcán Sietefuentes	Valle de Güímar,TF				
M_b	M	I_máx_calc	I_máx_obs	Dur_perc	Dist_perc	N_obs_I	Referencias
							CA, CR, CS
Nº	EVID	Fecha	Hora	Error_hora	RMS	Latitud	Longitud
31		03/01/1705				28.271	-16.529
S_mayor	S_menor	Acimut	Profundidad	Error_prof	Nº_Datos	Nº_Esta	GAP
Dist_mín	Dist_máx	Epicentro	Zona_sísmica	m_b	$m_b(Lg)$	m_L	$M_b mod$
		Volcán Sietefuentes	Valle de Güímar,TF				
M_b	M	I_máx_calc	I_máx_obs	Dur_perc	Dist_perc	N_obs_I	Referencias
							CA, CR, CS
Nº	EVID	Fecha	Hora	Error_hora	RMS	Latitud	Longitud
32		04/01/1705				28.271	-16.529
S_mayor	S_menor	Acimut	Profundidad	Error_prof	Nº_Datos	Nº_Esta	GAP
Dist_mín	Dist_máx	Epicentro	Zona_sísmica	m_b	$m_b(Lg)$	m_L	$M_b mod$
		Volcán Sietefuentes	Valle de Güímar,TF				
M_b	M	I_máx_calc	I_máx_obs	Dur_perc	Dist_perc	N_obs_I	Referencias
							CA, CR, CS
Nº	EVID	Fecha	Hora	Error_hora	RMS	Latitud	Longitud
33	209	05/01/1705	08:00			28.280	-16.516
S_mayor	S_menor	Acimut	Profundidad	Error_prof	Nº_Datos	Nº_Esta	GAP
Dist_mín	Dist_máx	Epicentro	Zona_sísmica	m_b	$m_b(Lg)$	m_L	$M_b mod$
		Volcán Fasnia	Valle de Güímar,TF				
M_b	M	I_máx_calc	I_máx_obs	Dur_perc	Dist_perc	N_obs_I	Referencias
			5		14	3+	CA, NP2, MO, MM, CR
Nº	EVID	Fecha	Hora	Error_hora	RMS	Latitud	Longitud
34		05/01/1705	13:00			28.280	-16.516
S_mayor	S_menor	Acimut	Profundidad	Error_prof	Nº_Datos	Nº_Esta	GAP
Dist_mín	Dist_máx	Epicentro	Zona_sísmica	m_b	$m_b(Lg)$	m_L	$M_b mod$
		Volcán Fasnia	Valle de Güímar,TF				
M_b	M	I_máx_calc	I_máx_obs	Dur_perc	Dist_perc	N_obs_I	Referencias
							CA, NP2, CR, CS
Nº	EVID	Fecha	Hora	Error_hora	RMS	Latitud	Longitud
35		05/01/1705	15:30			28.280	-16.516
S_mayor	S_menor	Acimut	Profundidad	Error_prof	Nº_Datos	Nº_Esta	GAP
Dist_mín	Dist_máx	Epicentro	Zona_sísmica	m_b	$m_b(Lg)$	m_L	$M_b mod$
		Volcán Fasnia	Valle de Güímar,TF				
M_b	M	I_máx_calc	I_máx_obs	Dur_perc	Dist_perc	N_obs_I	Referencias
	5.6	7.4	6		14	3+	CR, CS

N°	EVID	Fecha	Hora	Error_hora	RMS	Latitud	Longitud
36		08/01/1705				28.280	-16.516
S_mayor	S_menor	Acimut	Profundidad	Error_prof	N°_Datos	N°_Esta	GAP
Dist_mín	Dist_máx	Epicentro	Zona_sísmica	m_b	$m_b(Lg)$	m_L	$M_b mod$
		Volcán Fasnía	Valle de Güímar,TF				
M_b	M	I_máx_calc	I_máx_obs	Dur_perc	Dist_perc	N_obs_I	Referencias
					14		CA, CR, CS
N°	EVID	Fecha	Hora	Error_hora	RMS	Latitud	Longitud
37		09/01/1705				28.280	-16.516
S_mayor	S_menor	Acimut	Profundidad	Error_prof	N°_Datos	N°_Esta	GAP
Dist_mín	Dist_máx	Epicentro	Zona_sísmica	m_b	$m_b(Lg)$	m_L	$M_b mod$
		Volcán Fasnía	Valle de Güímar,TF				
M_b	M	I_máx_calc	I_máx_obs	Dur_perc	Dist_perc	N_obs_I	Referencias
					14		CA, CR, CS
N°	EVID	Fecha	Hora	Error_hora	RMS	Latitud	Longitud
38		10/01/1705				28.280	-16.516
S_mayor	S_menor	Acimut	Profundidad	Error_prof	N°_Datos	N°_Esta	GAP
Dist_mín	Dist_máx	Epicentro	Zona_sísmica	m_b	$m_b(Lg)$	m_L	$M_b mod$
		Volcán Fasnía	Valle de Güímar,TF				
M_b	M	I_máx_calc	I_máx_obs	Dur_perc	Dist_perc	N_obs_I	Referencias
					14		CA, CR, CS
N°	EVID	Fecha	Hora	Error_hora	RMS	Latitud	Longitud
39		11/01/1705				28.280	-16.516
S_mayor	S_menor	Acimut	Profundidad	Error_prof	N°_Datos	N°_Esta	GAP
Dist_mín	Dist_máx	Epicentro	Zona_sísmica	m_b	$m_b(Lg)$	m_L	$M_b mod$
		Volcán Fasnía	Valle de Güímar,TF				
M_b	M	I_máx_calc	I_máx_obs	Dur_perc	Dist_perc	N_obs_I	Referencias
					14		CA, NP2, CR, CS
N°	EVID	Fecha	Hora	Error_hora	RMS	Latitud	Longitud
40		12/01/1705				28.280	-16.516
S_mayor	S_menor	Acimut	Profundidad	Error_prof	N°_Datos	N°_Esta	GAP
Dist_mín	Dist_máx	Epicentro	Zona_sísmica	m_b	$m_b(Lg)$	m_L	$M_b mod$
		Volcán Fasnía	Valle de Güímar,TF				
M_b	M	I_máx_calc	I_máx_obs	Dur_perc	Dist_perc	N_obs_I	Referencias
					14		CA, NP2, CR, CS
N°	EVID	Fecha	Hora	Error_hora	RMS	Latitud	Longitud
41		13/01/1705	17:00			28.280	-16.516
S_mayor	S_menor	Acimut	Profundidad	Error_prof	N°_Datos	N°_Esta	GAP
Dist_mín	Dist_máx	Epicentro	Zona_sísmica	m_b	$m_b(Lg)$	m_L	$M_b mod$
		Volcán Fasnía	Valle de Güímar,TF				
M_b	M	I_máx_calc	I_máx_obs	Dur_perc	Dist_perc	N_obs_I	Referencias
					15	3	CA, NP2, CR, CS
N°	EVID	Fecha	Hora	Error_hora	RMS	Latitud	Longitud
42		14/01/1705				28.280	-16.516
S_mayor	S_menor	Acimut	Profundidad	Error_prof	N°_Datos	N°_Esta	GAP
Dist_mín	Dist_máx	Epicentro	Zona_sísmica	m_b	$m_b(Lg)$	m_L	$M_b mod$
		Volcán Fasnía	Valle de Güímar,TF				
M_b	M	I_máx_calc	I_máx_obs	Dur_perc	Dist_perc	N_obs_I	Referencias
					31	4	CA, NP2, CR, CS

Nº	EVID	Fecha	Hora	Error_hora	RMS	Latitud	Longitud
43		15/01/1705				28.280	-16.516
S_mayor	S_menor	Acimut	Profundidad	Error_prof	Nº_Datos	Nº_Esta	GAP
Dist_mín	Dist_máx	Epicentro	Zona_sísmica	m_b	$m_b(Lg)$	m_L	$M_b mod$
		Volcán Fasnía	Valle de Güímar,TF				
M_b	M	I_máx_calc	I_máx_obs	Dur_perc	Dist_perc	N_obs_I	Referencias
					31	4	CA, CR, CS
Nº	EVID	Fecha	Hora	Error_hora	RMS	Latitud	Longitud
44		17/01/1705	17:00			28.280	-16.516
S_mayor	S_menor	Acimut	Profundidad	Error_prof	Nº_Datos	Nº_Esta	GAP
Dist_mín	Dist_máx	Epicentro	Zona_sísmica	m_b	$m_b(Lg)$	m_L	$M_b mod$
		Volcán Fasnía	Valle de Güímar,TF				
M_b	M	I_máx_calc	I_máx_obs	Dur_perc	Dist_perc	N_obs_I	Referencias
	5.7	7.6	7		45	3+	CA, NP2, CR, CS
Nº	EVID	Fecha	Hora	Error_hora	RMS	Latitud	Longitud
45		19/01/1705				28.280	-16.516
S_mayor	S_menor	Acimut	Profundidad	Error_prof	Nº_Datos	Nº_Esta	GAP
Dist_mín	Dist_máx	Epicentro	Zona_sísmica	m_b	$m_b(Lg)$	m_L	$M_b mod$
		Volcán Fasnía	Valle de Güímar,TF				
M_b	M	I_máx_calc	I_máx_obs	Dur_perc	Dist_perc	N_obs_I	Referencias
					15	3	NP2, CR, CS
Nº	EVID	Fecha	Hora	Error_hora	RMS	Latitud	Longitud
46		20/01/1705	22:00			28.280	-16.516
S_mayor	S_menor	Acimut	Profundidad	Error_prof	Nº_Datos	Nº_Esta	GAP
Dist_mín	Dist_máx	Epicentro	Zona_sísmica	m_b	$m_b(Lg)$	m_L	$M_b mod$
		Volcán Fasnía	Valle de Güímar,TF				
M_b	M	I_máx_calc	I_máx_obs	Dur_perc	Dist_perc	N_obs_I	Referencias
					15	3	NP2, CR, CS
Nº	EVID	Fecha	Hora	Error_hora	RMS	Latitud	Longitud
47		21/01/1705				28.280	-16.516
S_mayor	S_menor	Acimut	Profundidad	Error_prof	Nº_Datos	Nº_Esta	GAP
Dist_mín	Dist_máx	Epicentro	Zona_sísmica	m_b	$m_b(Lg)$	m_L	$M_b mod$
		Volcán Fasnía	Valle de Güímar,TF				
M_b	M	I_máx_calc	I_máx_obs	Dur_perc	Dist_perc	N_obs_I	Referencias
					15	3	NP2, CR, CS
Nº	EVID	Fecha	Hora	Error_hora	RMS	Latitud	Longitud
48		22/01/1705	20:00			28.280	-16.516
S_mayor	S_menor	Acimut	Profundidad	Error_prof	Nº_Datos	Nº_Esta	GAP
Dist_mín	Dist_máx	Epicentro	Zona_sísmica	m_b	$m_b(Lg)$	m_L	$M_b mod$
		Volcán Fasnía	Valle de Güímar,TF				
M_b	M	I_máx_calc	I_máx_obs	Dur_perc	Dist_perc	N_obs_I	Referencias
					15	3	NP2, CR, CS
Nº	EVID	Fecha	Hora	Error_hora	RMS	Latitud	Longitud
49		23/01/1705				28.280	-16.516
S_mayor	S_menor	Acimut	Profundidad	Error_prof	Nº_Datos	Nº_Esta	GAP
Dist_mín	Dist_máx	Epicentro	Zona_sísmica	m_b	$m_b(Lg)$	m_L	$M_b mod$
		Volcán Fasnía	Valle de Güímar,TF				
M_b	M	I_máx_calc	I_máx_obs	Dur_perc	Dist_perc	N_obs_I	Referencias
					15	3	CA, CR, CS

N°	EVID	Fecha	Hora	Error_hora	RMS	Latitud	Longitud
50		24/01/1705	16:30			28.280	-16.516
S_mayor	S_menor	Acimut	Profundidad	Error_prof	N°_Datos	N°_Esta	GAP
Dist_mín	Dist_máx	Epicentro	Zona_sísmica	m_b	$m_b(Lg)$	m_L	$M_b mod$
		Volcán Fasnía	Valle de Gúímar,TF				
M_b	M	I_máx_calc	I_máx_obs	Dur_perc	Dist_perc	N_obs_I	Referencias
	6.1	8.2	7		15	3	CA, NP2, CR, CS
N°	EVID	Fecha	Hora	Error_hora	RMS	Latitud	Longitud
51		25/01/1705				28.280	-16.516
S_mayor	S_menor	Acimut	Profundidad	Error_prof	N°_Datos	N°_Esta	GAP
Dist_mín	Dist_máx	Epicentro	Zona_sísmica	m_b	$m_b(Lg)$	m_L	$M_b mod$
		Volcán Fasnía	Valle de Gúímar,TF				
M_b	M	I_máx_calc	I_máx_obs	Dur_perc	Dist_perc	N_obs_I	Referencias
					15	3	CA, NP2, CR, CS
N°	EVID	Fecha	Hora	Error_hora	RMS	Latitud	Longitud
52		26/01/1705				28.280	-16.516
S_mayor	S_menor	Acimut	Profundidad	Error_prof	N°_Datos	N°_Esta	GAP
Dist_mín	Dist_máx	Epicentro	Zona_sísmica	m_b	$m_b(Lg)$	m_L	$M_b mod$
		Volcán Fasnía	Valle de Gúímar,TF				
M_b	M	I_máx_calc	I_máx_obs	Dur_perc	Dist_perc	N_obs_I	Referencias
					15	3	CA, NP2, CR, CS
N°	EVID	Fecha	Hora	Error_hora	RMS	Latitud	Longitud
53		27/01/1705	Noche			28.280	-16.516
S_mayor	S_menor	Acimut	Profundidad	Error_prof	N°_Datos	N°_Esta	GAP
Dist_mín	Dist_máx	Epicentro	Zona_sísmica	m_b	$m_b(Lg)$	m_L	$M_b mod$
		Volcán Fasnía	Valle de Gúímar,TF				
M_b	M	I_máx_calc	I_máx_obs	Dur_perc	Dist_perc	N_obs_I	Referencias
					15	3	CA, NP2, CR, CS
N°	EVID	Fecha	Hora	Error_hora	RMS	Latitud	Longitud
54		28/01/1705	Mañana			28.280	-16.516
S_mayor	S_menor	Acimut	Profundidad	Error_prof	N°_Datos	N°_Esta	GAP
Dist_mín	Dist_máx	Epicentro	Zona_sísmica	m_b	$m_b(Lg)$	m_L	$M_b mod$
		Volcán Fasnía	Valle de Gúímar,TF				
M_b	M	I_máx_calc	I_máx_obs	Dur_perc	Dist_perc	N_obs_I	Referencias
					15	3	NP2, CR, CS
N°	EVID	Fecha	Hora	Error_hora	RMS	Latitud	Longitud
55		28/01/1705	12:00			28.280	-16.516
S_mayor	S_menor	Acimut	Profundidad	Error_prof	N°_Datos	N°_Esta	GAP
Dist_mín	Dist_máx	Epicentro	Zona_sísmica	m_b	$m_b(Lg)$	m_L	$M_b mod$
		Volcán Fasnía	Valle de Gúímar,TF				
M_b	M	I_máx_calc	I_máx_obs	Dur_perc	Dist_perc	N_obs_I	Referencias
					15	3	CA, NP2, CR, CS
N°	EVID	Fecha	Hora	Error_hora	RMS	Latitud	Longitud
56		28/01/1705				28.280	-16.516
S_mayor	S_menor	Acimut	Profundidad	Error_prof	N°_Datos	N°_Esta	GAP
Dist_mín	Dist_máx	Epicentro	Zona_sísmica	m_b	$m_b(Lg)$	m_L	$M_b mod$
		Volcán Fasnía	Valle de Gúímar,TF				
M_b	M	I_máx_calc	I_máx_obs	Dur_perc	Dist_perc	N_obs_I	Referencias
					15	3	NP2, CR, CS

Nº	EVID	Fecha	Hora	Error_hora	RMS	Latitud	Longitud
57		29/01/1705				28.280	-16.516
S_mayor	S_menor	Acimut	Profundidad	Error_prof	Nº_Datos	Nº_Esta	GAP
Dist_mín	Dist_máx	Epicentro	Zona_sísmica	m_b	$m_b(Lg)$	m_L	$M_b mod$
		Volcán Fasnía	Valle de Güímar,TF				
M_b	M	I_máx_calc	I_máx_obs	Dur_perc	Dist_perc	N_obs_I	Referencias
					15		NP2, CR, CS
Nº	EVID	Fecha	Hora	Error_hora	RMS	Latitud	Longitud
58		30/01/1705				28.339	-16.460
S_mayor	S_menor	Acimut	Profundidad	Error_prof	Nº_Datos	Nº_Esta	GAP
Dist_mín	Dist_máx	Epicentro	Zona_sísmica	m_b	$m_b(Lg)$	m_L	$M_b mod$
		Volcán Arafo	Valle de Güímar,TF				
M_b	M	I_máx_calc	I_máx_obs	Dur_perc	Dist_perc	N_obs_I	Referencias
					13	4	CA, CR, CS
Nº	EVID	Fecha	Hora	Error_hora	RMS	Latitud	Longitud
59		31/01/1705				28.339	-16.460
S_mayor	S_menor	Acimut	Profundidad	Error_prof	Nº_Datos	Nº_Esta	GAP
Dist_mín	Dist_máx	Epicentro	Zona_sísmica	m_b	$m_b(Lg)$	m_L	$M_b mod$
		Volcán Arafo	Valle de Güímar,TF				
M_b	M	I_máx_calc	I_máx_obs	Dur_perc	Dist_perc	N_obs_I	Referencias
					13	3	CA, CR, CS
Nº	EVID	Fecha	Hora	Error_hora	RMS	Latitud	Longitud
60		02/02/1705	03:00			28.339	-16.460
S_mayor	S_menor	Acimut	Profundidad	Error_prof	Nº_Datos	Nº_Esta	GAP
Dist_mín	Dist_máx	Epicentro	Zona_sísmica	m_b	$m_b(Lg)$	m_L	$M_b mod$
		Volcán Arafo	Valle de Güímar,TF				
M_b	M	I_máx_calc	I_máx_obs	Dur_perc	Dist_perc	N_obs_I	Referencias
	5.4	7.0	6		21	4	GG, VC, CA, NP2, MO, MM, CR
Nº	EVID	Fecha	Hora	Error_hora	RMS	Latitud	Longitud
61	210	02/02/1705	16:30			28.339	-16.460
S_mayor	S_menor	Acimut	Profundidad	Error_prof	Nº_Datos	Nº_Esta	GAP
Dist_mín	Dist_máx	Epicentro	Zona_sísmica	m_b	$m_b(Lg)$	m_L	$M_b mod$
		Volcán Arafo	Valle de Güímar,TF				
M_b	M	I_máx_calc	I_máx_obs	Dur_perc	Dist_perc	N_obs_I	Referencias
					21	1	NP2, MM, MO, CR
Nº	EVID	Fecha	Hora	Error_hora	RMS	Latitud	Longitud
62		03/02/1705	04:30			28.339	-16.460
S_mayor	S_menor	Acimut	Profundidad	Error_prof	Nº_Datos	Nº_Esta	GAP
Dist_mín	Dist_máx	Epicentro	Zona_sísmica	m_b	$m_b(Lg)$	m_L	$M_b mod$
		Volcán Arafo	Valle de Güímar,TF				
M_b	M	I_máx_calc	I_máx_obs	Dur_perc	Dist_perc	N_obs_I	Referencias
	5.7	7.5	6		9	1+	NP2, CR, CS
Nº	EVID	Fecha	Hora	Error_hora	RMS	Latitud	Longitud
63		04/02/1705				28.339	-16.460
S_mayor	S_menor	Acimut	Profundidad	Error_prof	Nº_Datos	Nº_Esta	GAP
Dist_mín	Dist_máx	Epicentro	Zona_sísmica	m_b	$m_b(Lg)$	m_L	$M_b mod$
		Volcán Arafo	Valle de Güímar,TF				
M_b	M	I_máx_calc	I_máx_obs	Dur_perc	Dist_perc	N_obs_I	Referencias
					13	3	NP2, CR, CS

N°	EVID	Fecha	Hora	Error_hora	RMS	Latitud	Longitud
64	212	04/05/1706	Noche			28.319	-16.762
S_mayor	S_menor	Acimut	Profundidad	Error_prof	N°_Datos	N°_Esta	GAP
Dist_mín	Dist_máx	Epicentro	Zona_sísmica	m_b	$m_b(Lg)$	m_L	$M_b mod$
		SE San Jose de los Llanos.TF	Valle de Icod.TF				
M_b	M	I_máx_calc	I_máx_obs	Dur_perc	Dist_perc	N_obs_I	Referencias
					25	1	MM, MF, CR, CS
N°	EVID	Fecha	Hora	Error_hora	RMS	Latitud	Longitud
65	213	05/05/1706	03:30			28.319	-16.762
S_mayor	S_menor	Acimut	Profundidad	Error_prof	N°_Datos	N°_Esta	GAP
Dist_mín	Dist_máx	Epicentro	Zona_sísmica	m_b	$m_b(Lg)$	m_L	$M_b mod$
		Volcán Garachico.	Valle de Icod.TF				
M_b	M	I_máx_calc	I_máx_obs	Dur_perc	Dist_perc	N_obs_I	Referencias
	5.7	7.5	7		25	1	PC, GG, VC, SV, WyB, MM, MO, CR, CB
N°	EVID	Fecha	Hora	Error_hora	RMS	Latitud	Longitud
66	220	04/10/1712				28.557	-17.844
S_mayor	S_menor	Acimut	Profundidad	Error_prof	N°_Datos	N°_Esta	GAP
Dist_mín	Dist_máx	Epicentro	Zona_sísmica	m_b	$m_b(Lg)$	m_L	$M_b mod$
		Volcán El Charco	Isla de La Palma				
M_b	M	I_máx_calc	I_máx_obs	Dur_perc	Dist_perc	N_obs_I	Referencias
							RB, MM, CS
N°	EVID	Fecha	Hora	Error_hora	RMS	Latitud	Longitud
67		08/10/1712				28.557	-17.844
S_mayor	S_menor	Acimut	Profundidad	Error_prof	N°_Datos	N°_Esta	GAP
Dist_mín	Dist_máx	Epicentro	Zona_sísmica	m_b	$m_b(Lg)$	m_L	$M_b mod$
		Volcán El Charco	Isla de La Palma				
M_b	M	I_máx_calc	I_máx_obs	Dur_perc	Dist_perc	N_obs_I	Referencias
							RB, CS
N°	EVID	Fecha	Hora	Error_hora	RMS	Latitud	Longitud
68	221	09/10/1712	13:00			28.557	-17.844
S_mayor	S_menor	Acimut	Profundidad	Error_prof	N°_Datos	N°_Esta	GAP
Dist_mín	Dist_máx	Epicentro	Zona_sísmica	m_b	$m_b(Lg)$	m_L	$M_b mod$
		Volcán El Charco	Isla de La Palma				
M_b	M	I_máx_calc	I_máx_obs	Dur_perc	Dist_perc	N_obs_I	Referencias
							RB, MM, MO
N°	EVID	Fecha	Hora	Error_hora	RMS	Latitud	Longitud
69	245	01/09/1730	21:30			28.990	-13.690
S_mayor	S_menor	Acimut	Profundidad	Error_prof	N°_Datos	N°_Esta	GAP
Dist_mín	Dist_máx	Epicentro	Zona_sísmica	m_b	$m_b(Lg)$	m_L	$M_b mod$
		Volcán Timanfaya (Caldera de los Cuervos).LZ	Isla de Lanzarote				
M_b	M	I_máx_calc	I_máx_obs	Dur_perc	Dist_perc	N_obs_I	Referencias
	6.0	8.0	7		250	+	GA, LB, PC, GG, VC, SV, HyB, HP, CL, CO, MM, MO, CR, CS, CA2
N°	EVID	Fecha	Hora	Error_hora	RMS	Latitud	Longitud
70		13/04/1731				28.992	-13.692
S_mayor	S_menor	Acimut	Profundidad	Error_prof	N°_Datos	N°_Esta	GAP
Dist_mín	Dist_máx	Epicentro	Zona_sísmica	m_b	$m_b(Lg)$	m_L	$M_b mod$
		Volcán Timanfaya (Montaña del Señalo)	Isla de Lanzarote				
M_b	M	I_máx_calc	I_máx_obs	Dur_perc	Dist_perc	N_obs_I	Referencias
							LB, HP

Nº	EVID	Fecha	Hora	Error_hora	RMS	Latitud	Longitud
71		04/06/1731				29.034	-13.673
S_mayor	S_menor	Acimut	Profundidad	Error_prof	Nº_Datos	Nº_Esta	GAP
Dist_mín	Dist_máx	Epícentro	Zona_sísmica	m_b	$m_b(Lg)$	m_L	$M_b mod$
		Volcán Timanfaya (Caldera Quemada)	Isla de Lanzarote				
M_b	M	I_máx_calc	I_máx_obs	Dur_perc	Dist_perc	N_obs_I	Referencias
							LB, HP, CR, CS
Nº	EVID	Fecha	Hora	Error_hora	RMS	Latitud	Longitud
72		25/12/1731				29.034	-13.673
S_mayor	S_menor	Acimut	Profundidad	Error_prof	Nº_Datos	Nº_Esta	GAP
Dist_mín	Dist_máx	Epícentro	Zona_sísmica	m_b	$m_b(Lg)$	m_L	$M_b mod$
		Volcán Timanfaya (Caldera Quemada)	Isla de Lanzarote				
M_b	M	I_máx_calc	I_máx_obs	Dur_perc	Dist_perc	N_obs_I	Referencias
	6.0	8.0	5		40	+	LB, HP, CR
Nº	EVID	Fecha	Hora	Error_hora	RMS	Latitud	Longitud
73	611	27/03/1793				27.744	-18.060
S_mayor	S_menor	Acimut	Profundidad	Error_prof	Nº_Datos	Nº_Esta	GAP
Dist_mín	Dist_máx	Epícentro	Zona_sísmica	m_b	$m_b(Lg)$	m_L	$M_b mod$
		Mencafete	Isla de El Hierro				
M_b	M	I_máx_calc	I_máx_obs	Dur_perc	Dist_perc	N_obs_I	Referencias
	4.1	5.0	4		15	3	DP, MM, MO, CR, CS
Nº	EVID	Fecha	Hora	Error_hora	RMS	Latitud	Longitud
74		08/05/1793	23:00			27.744	-18.060
S_mayor	S_menor	Acimut	Profundidad	Error_prof	Nº_Datos	Nº_Esta	GAP
Dist_mín	Dist_máx	Epícentro	Zona_sísmica	m_b	$m_b(Lg)$	m_L	$M_b mod$
		Mencafete	Isla de El Hierro				
M_b	M	I_máx_calc	I_máx_obs	Dur_perc	Dist_perc	N_obs_I	Referencias
	4.7	6.0	5		15	1	DP, CR, CS
Nº	EVID	Fecha	Hora	Error_hora	RMS	Latitud	Longitud
75		09/05/1793				27.744	-18.060
S_mayor	S_menor	Acimut	Profundidad	Error_prof	Nº_Datos	Nº_Esta	GAP
Dist_mín	Dist_máx	Epícentro	Zona_sísmica	m_b	$m_b(Lg)$	m_L	$M_b mod$
		Mencafete	Isla de El Hierro				
M_b	M	I_máx_calc	I_máx_obs	Dur_perc	Dist_perc	N_obs_I	Referencias
	4.7	6.0	5		15	1	DP, CR, CS
Nº	EVID	Fecha	Hora	Error_hora	RMS	Latitud	Longitud
76		29/05/1793				27.744	-18.060
S_mayor	S_menor	Acimut	Profundidad	Error_prof	Nº_Datos	Nº_Esta	GAP
Dist_mín	Dist_máx	Epícentro	Zona_sísmica	m_b	$m_b(Lg)$	m_L	$M_b mod$
		Mencafete	Isla de El Hierro				
M_b	M	I_máx_calc	I_máx_obs	Dur_perc	Dist_perc	N_obs_I	Referencias
						+	CR, CS
Nº	EVID	Fecha	Hora	Error_hora	RMS	Latitud	Longitud
77		09/06/1793				27.744	-18.060
S_mayor	S_menor	Acimut	Profundidad	Error_prof	Nº_Datos	Nº_Esta	GAP
Dist_mín	Dist_máx	Epícentro	Zona_sísmica	m_b	$m_b(Lg)$	m_L	$M_b mod$
		Mencafete	Isla de El Hierro				
M_b	M	I_máx_calc	I_máx_obs	Dur_perc	Dist_perc	N_obs_I	Referencias
						2	DP, CR, CS

N°	EVID	Fecha	Hora	Error_hora	RMS	Latitud	Longitud
78		15/06/1793				27.744	-18.060
S_mayor	S_menor	Acimut	Profundidad	Error_prof	N°_Datos	N°_Esta	GAP
Dist_mín	Dist_máx	Epicentro	Zona_sísmica	m_b	$m_b(Lg)$	m_L	$M_b mod$
		Mencafete	Isla de El Hierro				
M_b	M	I_máx_calc	I_máx_obs	Dur_perc	Dist_perc	N_obs_I	Referencias
	4.9	6.3	6		15	2	DP, CR, CS
N°	EVID	Fecha	Hora	Error_hora	RMS	Latitud	Longitud
79		27/06/1793				27.744	-18.060
S_mayor	S_menor	Acimut	Profundidad	Error_prof	N°_Datos	N°_Esta	GAP
Dist_mín	Dist_máx	Epicentro	Zona_sísmica	m_b	$m_b(Lg)$	m_L	$M_b mod$
		Mencafete	Isla de El Hierro				
M_b	M	I_máx_calc	I_máx_obs	Dur_perc	Dist_perc	N_obs_I	Referencias
					15	1	DP, CR, CS
N°	EVID	Fecha	Hora	Error_hora	RMS	Latitud	Longitud
80		15/06/1795	07:15			28.492	-16.559
S_mayor	S_menor	Acimut	Profundidad	Error_prof	N°_Datos	N°_Esta	GAP
Dist_mín	Dist_máx	Epicentro	Zona_sísmica	m_b	$m_b(Lg)$	m_L	$M_b mod$
		N Isla deTenerife	Océano Atlántico				
M_b	M	I_máx_calc	I_máx_obs	Dur_perc	Dist_perc	N_obs_I	Referencias
				60		1	CO, CR, CS
N°	EVID	Fecha	Hora	Error_hora	RMS	Latitud	Longitud
81		25/04/1797	15:30			28.492	-16.559
S_mayor	S_menor	Acimut	Profundidad	Error_prof	N°_Datos	N°_Esta	GAP
Dist_mín	Dist_máx	Epicentro	Zona_sísmica	m_b	$m_b(Lg)$	m_L	$M_b mod$
		N Isla deTenerife	Océano Atlántico				
M_b	M	I_máx_calc	I_máx_obs	Dur_perc	Dist_perc	N_obs_I	Referencias
						1	CO, CR, CS
N°	EVID	Fecha	Hora	Error_hora	RMS	Latitud	Longitud
82		26/04/1797	18:00			28.492	-16.559
S_mayor	S_menor	Acimut	Profundidad	Error_prof	N°_Datos	N°_Esta	GAP
Dist_mín	Dist_máx	Epicentro	Zona_sísmica	m_b	$m_b(Lg)$	m_L	$M_b mod$
		N Isla deTenerife	Océano Atlántico				
M_b	M	I_máx_calc	I_máx_obs	Dur_perc	Dist_perc	N_obs_I	Referencias
						1	CO, CR, CS
N°	EVID	Fecha	Hora	Error_hora	RMS	Latitud	Longitud
83		30/04/1797	13:45			28.253	-16.677
S_mayor	S_menor	Acimut	Profundidad	Error_prof	N°_Datos	N°_Esta	GAP
Dist_mín	Dist_máx	Epicentro	Zona_sísmica	m_b	$m_b(Lg)$	m_L	$M_b mod$
		NO Vilaflor	Isla de Tenerife				
M_b	M	I_máx_calc	I_máx_obs	Dur_perc	Dist_perc	N_obs_I	Referencias
	5.0	6.4	4		21	1	CO, CR, CS
N°	EVID	Fecha	Hora	Error_hora	RMS	Latitud	Longitud
84		01/05/1797	02:30			28.253	-16.677
S_mayor	S_menor	Acimut	Profundidad	Error_prof	N°_Datos	N°_Esta	GAP
Dist_mín	Dist_máx	Epicentro	Zona_sísmica	m_b	$m_b(Lg)$	m_L	$M_b mod$
		NO Vilaflor	Isla de Tenerife				
M_b	M	I_máx_calc	I_máx_obs	Dur_perc	Dist_perc	N_obs_I	Referencias
	4.3	5.4	3		21	1	CO, CR, CS

Nº	EVID	Fecha	Hora	Error_hora	RMS	Latitud	Longitud
85		01/05/1797	04:45			28.253	-16.677
S_mayor	S_menor	Acimut	Profundidad	Error_prof	Nº_Datos	Nº_Esta	GAP
Dist_mín	Dist_máx	Epicentro	Zona_sísmica	m_b	$m_b(Lg)$	m_L	$M_b mod$
		NO Vilaflor	Isla de Tenerife				
M_b	M	I_máx_calc	I_máx_obs	Dur_perc	Dist_perc	N_obs_I	Referencias
	4.3	5.4	3		21	1	CO, CR, CS
Nº	EVID	Fecha	Hora	Error_hora	RMS	Latitud	Longitud
86	631	09/06/1798	15:00			28.253	-16.677
S_mayor	S_menor	Acimut	Profundidad	Error_prof	Nº_Datos	Nº_Esta	GAP
Dist_mín	Dist_máx	Epicentro	Zona_sísmica	m_b	$m_b(Lg)$	m_L	$M_b mod$
		Volcán Chaorra	Isla de Tenerife				
M_b	M	I_máx_calc	I_máx_obs	Dur_perc	Dist_perc	N_obs_I	Referencias
	5.0	6.4	4		21	1	MM, MO, CO, CR, CS
Nº	EVID	Fecha	Hora	Error_hora	RMS	Latitud	Longitud
87		11/06/1798				28.253	-16.677
S_mayor	S_menor	Acimut	Profundidad	Error_prof	Nº_Datos	Nº_Esta	GAP
Dist_mín	Dist_máx	Epicentro	Zona_sísmica	m_b	$m_b(Lg)$	m_L	$M_b mod$
		Volcán Chaorra	Isla de Tenerife				
M_b	M	I_máx_calc	I_máx_obs	Dur_perc	Dist_perc	N_obs_I	Referencias
	4.0	4.9	3		14	1	SF, CR, CS
Nº	EVID	Fecha	Hora	Error_hora	RMS	Latitud	Longitud
88		13/06/1798				28.253	-16.677
S_mayor	S_menor	Acimut	Profundidad	Error_prof	Nº_Datos	Nº_Esta	GAP
Dist_mín	Dist_máx	Epicentro	Zona_sísmica	m_b	$m_b(Lg)$	m_L	$M_b mod$
		Volcán Chaorra	Isla de Tenerife				
M_b	M	I_máx_calc	I_máx_obs	Dur_perc	Dist_perc	N_obs_I	Referencias
						1	SF, CS
Nº	EVID	Fecha	Hora	Error_hora	RMS	Latitud	Longitud
89		14/06/1798	09:00			28.253	-16.677
S_mayor	S_menor	Acimut	Profundidad	Error_prof	Nº_Datos	Nº_Esta	GAP
Dist_mín	Dist_máx	Epicentro	Zona_sísmica	m_b	$m_b(Lg)$	m_L	$M_b mod$
		Volcán Chaorra	Isla de Tenerife				
M_b	M	I_máx_calc	I_máx_obs	Dur_perc	Dist_perc	N_obs_I	Referencias
						1	SF, CS
Nº	EVID	Fecha	Hora	Error_hora	RMS	Latitud	Longitud
90		18/06/1798	02:00			28.253	-16.677
S_mayor	S_menor	Acimut	Profundidad	Error_prof	Nº_Datos	Nº_Esta	GAP
Dist_mín	Dist_máx	Epicentro	Zona_sísmica	m_b	$m_b(Lg)$	m_L	$M_b mod$
		Volcán Chaorra	Isla de Tenerife				
M_b	M	I_máx_calc	I_máx_obs	Dur_perc	Dist_perc	N_obs_I	Referencias
						1	SF, CS
Nº	EVID	Fecha	Hora	Error_hora	RMS	Latitud	Longitud
91		00/00/1813				29.040	-13.625
S_mayor	S_menor	Acimut	Profundidad	Error_prof	Nº_Datos	Nº_Esta	GAP
Dist_mín	Dist_máx	Epicentro	Zona_sísmica	m_b	$m_b(Lg)$	m_L	$M_b mod$
		Tao	Isla de Lanzarote				
M_b	M	I_máx_calc	I_máx_obs	Dur_perc	Dist_perc	N_obs_I	Referencias
							HP, CR

N°	EVID	Fecha	Hora	Error_hora	RMS	Latitud	Longitud
92		00/00/1822				29.040	-13.625
S_mayor	S_menor	Acimut	Profundidad	Error_prof	N°_Datos	N°_Esta	GAP
Dist_mín	Dist_máx	Epicentro	Zona_sísmica	m_b	$m_b(Lg)$	m_L	$M_b mod$
		Tao	Isla de Lanzarote				
M_b	M	I_máx_calc	I_máx_obs	Dur_perc	Dist_perc	N_obs_I	Referencias
	4.0	4.9				4	CR
N°	EVID	Fecha	Hora	Error_hora	RMS	Latitud	Longitud
93		29/07/1824	05:00			29.056	-13.627
S_mayor	S_menor	Acimut	Profundidad	Error_prof	N°_Datos	N°_Esta	GAP
Dist_mín	Dist_máx	Epicentro	Zona_sísmica	m_b	$m_b(Lg)$	m_L	$M_b mod$
		Tiagua	Isla de Lanzarote				
M_b	M	I_máx_calc	I_máx_obs	Dur_perc	Dist_perc	N_obs_I	Referencias
						+	RU, AR, WyB, CR, CS
N°	EVID	Fecha	Hora	Error_hora	RMS	Latitud	Longitud
94		30/07/1824	Noche			29.056	-13.627
S_mayor	S_menor	Acimut	Profundidad	Error_prof	N°_Datos	N°_Esta	GAP
Dist_mín	Dist_máx	Epicentro	Zona_sísmica	m_b	$m_b(Lg)$	m_L	$M_b mod$
		Tiagua	Isla de Lanzarote				
M_b	M	I_máx_calc	I_máx_obs	Dur_perc	Dist_perc	N_obs_I	Referencias
						1+	RU, CR, CS
N°	EVID	Fecha	Hora	Error_hora	RMS	Latitud	Longitud
95		30/07/1824				29.056	-13.627
S_mayor	S_menor	Acimut	Profundidad	Error_prof	N°_Datos	N°_Esta	GAP
Dist_mín	Dist_máx	Epicentro	Zona_sísmica	m_b	$m_b(Lg)$	m_L	$M_b mod$
		Tiagua	Isla de Lanzarote				
M_b	M	I_máx_calc	I_máx_obs	Dur_perc	Dist_perc	N_obs_I	Referencias
	3.1	3.5	3		2	1+	RU, CR, CS
N°	EVID	Fecha	Hora	Error_hora	RMS	Latitud	Longitud
96	955	31/07/1824	07:00			29.056	-13.627
S_mayor	S_menor	Acimut	Profundidad	Error_prof	N°_Datos	N°_Esta	GAP
Dist_mín	Dist_máx	Epicentro	Zona_sísmica	m_b	$m_b(Lg)$	m_L	$M_b mod$
		Volcán Tao	Isla de Lanzarote				
M_b	M	I_máx_calc	I_máx_obs	Dur_perc	Dist_perc	N_obs_I	Referencias
							MM, MO, RU, CR, CS
N°	EVID	Fecha	Hora	Error_hora	RMS	Latitud	Longitud
97		06/08/1824	00:00			29.056	-13.627
S_mayor	S_menor	Acimut	Profundidad	Error_prof	N°_Datos	N°_Esta	GAP
Dist_mín	Dist_máx	Epicentro	Zona_sísmica	m_b	$m_b(Lg)$	m_L	$M_b mod$
		Volcán Tao	Isla de Lanzarote				
M_b	M	I_máx_calc	I_máx_obs	Dur_perc	Dist_perc	N_obs_I	Referencias
	3.8	4.5	4		2	1	RU, CR, CS
N°	EVID	Fecha	Hora	Error_hora	RMS	Latitud	Longitud
98		06/08/1824	21:00			29.056	-13.627
S_mayor	S_menor	Acimut	Profundidad	Error_prof	N°_Datos	N°_Esta	GAP
Dist_mín	Dist_máx	Epicentro	Zona_sísmica	m_b	$m_b(Lg)$	m_L	$M_b mod$
		Volcán Tao	Isla de Lanzarote				
M_b	M	I_máx_calc	I_máx_obs	Dur_perc	Dist_perc	N_obs_I	Referencias
	3.1	3.5	3		2	1	RU, CR, CS

Nº	EVID	Fecha	Hora	Error_hora	RMS	Latitud	Longitud
99	957	29/09/1824	12:00			29.010	-13.751
S_mayor	S_menor	Acimut	Profundidad	Error_prof	Nº_Datos	Nº_Esta	GAP
Dist_mín	Dist_máx	Epicentro	Zona_sísmica	m_b	$m_b(Lg)$	m_L	$M_b mod$
		Volcán Nuevo del Fuego	Isla de Lanzarote				
M_b	M	I_máx_calc	I_máx_obs	Dur_perc	Dist_perc	N_obs_I	Referencias
							MM, MO, AR, CR
Nº	EVID	Fecha	Hora	Error_hora	RMS	Latitud	Longitud
100		02/10/1824				29.010	-13.751
S_mayor	S_menor	Acimut	Profundidad	Error_prof	Nº_Datos	Nº_Esta	GAP
Dist_mín	Dist_máx	Epicentro	Zona_sísmica	m_b	$m_b(Lg)$	m_L	$M_b mod$
		Volcán Nuevo del Fuego	Isla de Lanzarote				
M_b	M	I_máx_calc	I_máx_obs	Dur_perc	Dist_perc	N_obs_I	Referencias
	4.3	5.3	3		19	1+	RU, CR, CS
Nº	EVID	Fecha	Hora	Error_hora	RMS	Latitud	Longitud
101		08/10/1824				29.021	-13.711
S_mayor	S_menor	Acimut	Profundidad	Error_prof	Nº_Datos	Nº_Esta	GAP
Dist_mín	Dist_máx	Epicentro	Zona_sísmica	m_b	$m_b(Lg)$	m_L	$M_b mod$
		Volcán Tinguatón	Isla de Lanzarote				
M_b	M	I_máx_calc	I_máx_obs	Dur_perc	Dist_perc	N_obs_I	Referencias
						+	RU, CR, CS
Nº	EVID	Fecha	Hora	Error_hora	RMS	Latitud	Longitud
102		12/10/1824				29.021	-13.711
S_mayor	S_menor	Acimut	Profundidad	Error_prof	Nº_Datos	Nº_Esta	GAP
Dist_mín	Dist_máx	Epicentro	Zona_sísmica	m_b	$m_b(Lg)$	m_L	$M_b mod$
		Volcán Tinguatón	Isla de Lanzarote				
M_b	M	I_máx_calc	I_máx_obs	Dur_perc	Dist_perc	N_obs_I	Referencias
	3.8	4.5	3		9	1	AR, CR, CS
Nº	EVID	Fecha	Hora	Error_hora	RMS	Latitud	Longitud
103	958	16/10/1824	18:15			29.021	-13.711
S_mayor	S_menor	Acimut	Profundidad	Error_prof	Nº_Datos	Nº_Esta	GAP
Dist_mín	Dist_máx	Epicentro	Zona_sísmica	m_b	$m_b(Lg)$	m_L	$M_b mod$
		Volcán Tinguatón	Isla de Lanzarote				
M_b	M	I_máx_calc	I_máx_obs	Dur_perc	Dist_perc	N_obs_I	Referencias
							GA, MU, MM, AR, CR
Nº	EVID	Fecha	Hora	Error_hora	RMS	Latitud	Longitud
104		20/04/1852	05:00				
S_mayor	S_menor	Acimut	Profundidad	Error_prof	Nº_Datos	Nº_Esta	GAP
Dist_mín	Dist_máx	Epicentro	Zona_sísmica	m_b	$m_b(Lg)$	m_L	$M_b mod$
			Zona atlántica Tenerife-Gran Canaria				
M_b	M	I_máx_calc	I_máx_obs	Dur_perc	Dist_perc	N_obs_I	Referencias
							GA, MM, MO
Nº	EVID	Fecha	Hora	Error_hora	RMS	Latitud	Longitud
105	1271	27/05/1853	14:17				
S_mayor	S_menor	Acimut	Profundidad	Error_prof	Nº_Datos	Nº_Esta	GAP
Dist_mín	Dist_máx	Epicentro	Zona_sísmica	m_b	$m_b(Lg)$	m_L	$M_b mod$
			Zona atlántica Tenerife-Gran Canaria				
M_b	M	I_máx_calc	I_máx_obs	Dur_perc	Dist_perc	N_obs_I	Referencias
				1		1+	GA, MU, MM, MO, CS

N°	EVID	Fecha	Hora	Error_hora	RMS	Latitud	Longitud
106		28/05/1853					
S_mayor	S_menor	Acimut	Profundidad	Error_prof	N°_Datos	N°_Esta	GAP
Dist_mín	Dist_máx	Epicentro	Zona_sísmica	m_b	$m_b(Lg)$	m_L	$M_b\text{mod}$
			Zona atlántica Tenerife-Gran Canaria				
M_b	M	I_máx_calc	I_máx_obs	Dur_perc	Dist_perc	N_obs_I	Referencias
				2		1+	GA, MU, MM, MO, CS
N°	EVID	Fecha	Hora	Error_hora	RMS	Latitud	Longitud
107	1332	24/04/1856	10:45				
S_mayor	S_menor	Acimut	Profundidad	Error_prof	N°_Datos	N°_Esta	GAP
Dist_mín	Dist_máx	Epicentro	Zona_sísmica	m_b	$m_b(Lg)$	m_L	$M_b\text{mod}$
		N La Laguna	Valle de La Orotava.TF				
M_b	M	I_máx_calc	I_máx_obs	Dur_perc	Dist_perc	N_obs_I	Referencias
						2	GA, MU, MM, MO, CS
N°	EVID	Fecha	Hora	Error_hora	RMS	Latitud	Longitud
108		11/10/1863	20:30				
S_mayor	S_menor	Acimut	Profundidad	Error_prof	N°_Datos	N°_Esta	GAP
Dist_mín	Dist_máx	Epicentro	Zona_sísmica	m_b	$m_b(Lg)$	m_L	$M_b\text{mod}$
		N La Laguna	Valle de La Orotava.TF				
M_b	M	I_máx_calc	I_máx_obs	Dur_perc	Dist_perc	N_obs_I	Referencias
						1	GA, MU, MM, MO, CS
N°	EVID	Fecha	Hora	Error_hora	RMS	Latitud	Longitud
109		12/10/1863	07:00				
S_mayor	S_menor	Acimut	Profundidad	Error_prof	N°_Datos	N°_Esta	GAP
Dist_mín	Dist_máx	Epicentro	Zona_sísmica	m_b	$m_b(Lg)$	m_L	$M_b\text{mod}$
		N La Laguna	Valle de La Orotava.TF				
M_b	M	I_máx_calc	I_máx_obs	Dur_perc	Dist_perc	N_obs_I	Referencias
						1	GA, MU, MM, MO, CS
N°	EVID	Fecha	Hora	Error_hora	RMS	Latitud	Longitud
110		12/10/1863	10:15				
S_mayor	S_menor	Acimut	Profundidad	Error_prof	N°_Datos	N°_Esta	GAP
Dist_mín	Dist_máx	Epicentro	Zona_sísmica	m_b	$m_b(Lg)$	m_L	$M_b\text{mod}$
		N La Laguna	Valle de La Orotava.TF				
M_b	M	I_máx_calc	I_máx_obs	Dur_perc	Dist_perc	N_obs_I	Referencias
						2	GA, MU, MM, MO, CS
N°	EVID	Fecha	Hora	Error_hora	RMS	Latitud	Longitud
111		27/03/1864				28.44	-16.39
S_mayor	S_menor	Acimut	Profundidad	Error_prof	N°_Datos	N°_Esta	GAP
Dist_mín	Dist_máx	Epicentro	Zona_sísmica	m_b	$m_b(Lg)$	m_L	$M_b\text{mod}$
		O Santa Cruz	Valle de La Orotava.TF				
M_b	M	I_máx_calc	I_máx_obs	Dur_perc	Dist_perc	N_obs_I	Referencias
						2	GA, MU, MM, MO, CS
N°	EVID	Fecha	Hora	Error_hora	RMS	Latitud	Longitud
112		29/03/1864				28.44	-16.39
S_mayor	S_menor	Acimut	Profundidad	Error_prof	N°_Datos	N°_Esta	GAP
Dist_mín	Dist_máx	Epicentro	Zona_sísmica	m_b	$m_b(Lg)$	m_L	$M_b\text{mod}$
		O Santa Cruz	Valle de La Orotava.TF				
M_b	M	I_máx_calc	I_máx_obs	Dur_perc	Dist_perc	N_obs_I	Referencias
						1	GA, MU, MM, MO, CS

Nº	EVID	Fecha	Hora	Error_hora	RMS	Latitud	Longitud
113	2209	22/07/1885					
S_mayor	S_menor	Acimut	Profundidad	Error_prof	Nº_Datos	Nº_Esta	GAP
Dist_mín	Dist_máx	Epicentro	Zona_sísmica	m_b	$m_b(Lg)$	m_L	$M_b\text{mod}$
			Zona atlántica Tenerife-Gran Canaria				
M_b	M	I_máx_calc	I_máx_obs	Dur_perc	Dist_perc	N_obs_I	Referencias
						+	GA, MU, MM, MO, CS
Nº	EVID	Fecha	Hora	Error_hora	RMS	Latitud	Longitud
114		02/09/1900	23:40			28.33	-16.50
S_mayor	S_menor	Acimut	Profundidad	Error_prof	Nº_Datos	Nº_Esta	GAP
Dist_mín	Dist_máx	Epicentro	Zona_sísmica	m_b	$m_b(Lg)$	m_L	$M_b\text{mod}$
		S La Orotava	Valle de la Orotava.TF				
M_b	M	I_máx_calc	I_máx_obs	Dur_perc	Dist_perc	N_obs_I	Referencias
	3.6	4.3	3	5	25	2	CS
Nº	EVID	Fecha	Hora	Error_hora	RMS	Latitud	Longitud
115	2501	03/09/1900				28.33	-16.50
S_mayor	S_menor	Acimut	Profundidad	Error_prof	Nº_Datos	Nº_Esta	GAP
Dist_mín	Dist_máx	Epicentro	Zona_sísmica	m_b	$m_b(Lg)$	m_L	$M_b\text{mod}$
		S La Orotava.TF	Valle de la Orotava.TF				
M_b	M	I_máx_calc	I_máx_obs	Dur_perc	Dist_perc	N_obs_I	Referencias
						1	GA, MU, MM, MO, CS
Nº	EVID	Fecha	Hora	Error_hora	RMS	Latitud	Longitud
116		01/11/1902				28.10	-15.69
S_mayor	S_menor	Acimut	Profundidad	Error_prof	Nº_Datos	Nº_Esta	GAP
Dist_mín	Dist_máx	Epicentro	Zona_sísmica	m_b	$m_b(Lg)$	m_L	$M_b\text{mod}$
		Agaete.GC	Isla de Gran Canaria				
M_b	M	I_máx_calc	I_máx_obs	Dur_perc	Dist_perc	N_obs_I	Referencias
	3.5	4.0	4			1	CC
Nº	EVID	Fecha	Hora	Error_hora	RMS	Latitud	Longitud
117		22/09/1903	08:20			28.645	-17.822
S_mayor	S_menor	Acimut	Profundidad	Error_prof	Nº_Datos	Nº_Esta	GAP
Dist_mín	Dist_máx	Epicentro	Zona_sísmica	m_b	$m_b(Lg)$	m_L	$M_b\text{mod}$
		O Santa Cruz de la Palma.LP	Isla de La Palma				
M_b	M	I_máx_calc	I_máx_obs	Dur_perc	Dist_perc	N_obs_I	Referencias
					10	5+	CS
Nº	EVID	Fecha	Hora	Error_hora	RMS	Latitud	Longitud
118		22/09/1903	11:50			28.645	-17.822
S_mayor	S_menor	Acimut	Profundidad	Error_prof	Nº_Datos	Nº_Esta	GAP
Dist_mín	Dist_máx	Epicentro	Zona_sísmica	m_b	$m_b(Lg)$	m_L	$M_b\text{mod}$
		O Santa Cruz de la Palma	Isla de La Palma				
M_b	M	I_máx_calc	I_máx_obs	Dur_perc	Dist_perc	N_obs_I	Referencias
					10	5+	CS
Nº	EVID	Fecha	Hora	Error_hora	RMS	Latitud	Longitud
119	2561	23/09/1903				28.645	-17.822
S_mayor	S_menor	Acimut	Profundidad	Error_prof	Nº_Datos	Nº_Esta	GAP
Dist_mín	Dist_máx	Epicentro	Zona_sísmica	m_b	$m_b(Lg)$	m_L	$M_b\text{mod}$
		O Santa Cruz de la Palma	Isla de La Palma				
M_b	M	I_máx_calc	I_máx_obs	Dur_perc	Dist_perc	N_obs_I	Referencias
	5.0	6.5	6		7	1	GA, MM, MO, CS

N°	EVID	Fecha	Hora	Error_hora	RMS	Latitud	Longitud
120	2668	23/03/1908	22:15			28.343	-16.698
S_mayor	S_menor	Acimut	Profundidad	Error_prof	N°_Datos	N°_Esta	GAP
Dist_mín	Dist_máx	Epicentro	Zona_sísmica	m_b	$m_b(Lg)$	m_L	$M_b mod$
		S Cueva del Viento	Valle de Icod.TF				
M_b	M	I_máx_calc	I_máx_obs	Dur_perc	Dist_perc	N_obs_I	Referencias
	3.5	4.1	3		17	1	GA, MU, MM, MO, CR, CS
N°	EVID	Fecha	Hora	Error_hora	RMS	Latitud	Longitud
121	2670	26/03/1908	23:17			28.343	-16.698
S_mayor	S_menor	Acimut	Profundidad	Error_prof	N°_Datos	N°_Esta	GAP
Dist_mín	Dist_máx	Epicentro	Zona_sísmica	m_b	$m_b(Lg)$	m_L	$M_b mod$
		S Cueva del Viento	Valle de Icod.TF				
M_b	M	I_máx_calc	I_máx_obs	Dur_perc	Dist_perc	N_obs_I	Referencias
	4.2	5.1	4		17	1	GA, MM, MO, CR, CS
N°	EVID	Fecha	Hora	Error_hora	RMS	Latitud	Longitud
122	2671	26/03/1908	23:33			28.343	-16.698
S_mayor	S_menor	Acimut	Profundidad	Error_prof	N°_Datos	N°_Esta	GAP
Dist_mín	Dist_máx	Epicentro	Zona_sísmica	m_b	$m_b(Lg)$	m_L	$M_b mod$
		S Cueva del Viento	Valle de Icod.TF				
M_b	M	I_máx_calc	I_máx_obs	Dur_perc	Dist_perc	N_obs_I	Referencias
	4.8	6.1	5		17	1	GA, MM, MO, CR, CS
N°	EVID	Fecha	Hora	Error_hora	RMS	Latitud	Longitud
123	2681	23/07/1908	23:21			28.343	-16.698
S_mayor	S_menor	Acimut	Profundidad	Error_prof	N°_Datos	N°_Esta	GAP
Dist_mín	Dist_máx	Epicentro	Zona_sísmica	m_b	$m_b(Lg)$	m_L	$M_b mod$
		S Cueva del Viento	Valle de Icod.TF				
M_b	M	I_máx_calc	I_máx_obs	Dur_perc	Dist_perc	N_obs_I	Referencias
	2.9	3.1	2		17	1	GA, MU, MM, MO, CR, CS
N°	EVID	Fecha	Hora	Error_hora	RMS	Latitud	Longitud
124		25/07/1908	Noche			28.343	-16.698
S_mayor	S_menor	Acimut	Profundidad	Error_prof	N°_Datos	N°_Esta	GAP
Dist_mín	Dist_máx	Epicentro	Zona_sísmica	m_b	$m_b(Lg)$	m_L	$M_b mod$
		S Cueva del Viento	Valle de Icod.TF				
M_b	M	I_máx_calc	I_máx_obs	Dur_perc	Dist_perc	N_obs_I	Referencias
			2		14	1	CS
N°	EVID	Fecha	Hora	Error_hora	RMS	Latitud	Longitud
125		26/07/1908	Noche			28.343	-16.698
S_mayor	S_menor	Acimut	Profundidad	Error_prof	N°_Datos	N°_Esta	GAP
Dist_mín	Dist_máx	Epicentro	Zona_sísmica	m_b	$m_b(Lg)$	m_L	$M_b mod$
		S Cueva del Viento	Valle de Icod.TF				
M_b	M	I_máx_calc	I_máx_obs	Dur_perc	Dist_perc	N_obs_I	Referencias
	3.0	3.2	2		21	1	CS
N°	EVID	Fecha	Hora	Error_hora	RMS	Latitud	Longitud
126	2682	27/07/1908	00:23			28.343	-16.698
S_mayor	S_menor	Acimut	Profundidad	Error_prof	N°_Datos	N°_Esta	GAP
Dist_mín	Dist_máx	Epicentro	Zona_sísmica	m_b	$m_b(Lg)$	m_L	$M_b mod$
		S Cueva del Viento	Valle de Icod.TF				
M_b	M	I_máx_calc	I_máx_obs	Dur_perc	Dist_perc	N_obs_I	Referencias
	4.2	5.1	4		17	1	GA, MU, MM, MO, CR, CS

Nº	EVID	Fecha	Hora	Error_hora	RMS	Latitud	Longitud
127	2683	27/07/1908	00:39			28.343	-16.698
S_mayor	S_menor	Acimut	Profundidad	Error_prof	Nº_Datos	Nº_Esta	GAP
Dist_mín	Dist_máx	Epicentro	Zona_sísmica	m_b	$m_b(Lg)$	m_L	$M_b mod$
		S Cueva del Viento	Valle de Icod.TF				
M_b	M	I_máx_calc	I_máx_obs	Dur_perc	Dist_perc	N_obs.I	Referencias
	5.4	7.1	6		17	1	GA, MU, MM, MO, CR, CS
Nº	EVID	Fecha	Hora	Error_hora	RMS	Latitud	Longitud
128		27/07/1908	23:30			28.343	-16.698
S_mayor	S_menor	Acimut	Profundidad	Error_prof	Nº_Datos	Nº_Esta	GAP
Dist_mín	Dist_máx	Epicentro	Zona_sísmica	m_b	$m_b(Lg)$	m_L	$M_b mod$
		S Cueva del Viento	Valle de Icod.TF				
M_b	M	I_máx_calc	I_máx_obs	Dur_perc	Dist_perc	N_obs.I	Referencias
				3	17	1	GA, MM, MO, CR CS
Nº	EVID	Fecha	Hora	Error_hora	RMS	Latitud	Longitud
129	2684	28/07/1908	23:59				
S_mayor	S_menor	Acimut	Profundidad	Error_prof	Nº_Datos	Nº_Esta	GAP
Dist_mín	Dist_máx	Epicentro	Zona_sísmica	m_b	$m_b(Lg)$	m_L	$M_b mod$
			Zona atlántica Tenerife-Gran Canaria				
M_b	M	I_máx_calc	I_máx_obs	Dur_perc	Dist_perc	N_obs.I	Referencias
				3		1	GA, MU, MM, MO, CR, CS
Nº	EVID	Fecha	Hora	Error_hora	RMS	Latitud	Longitud
130	2685	28/07/1908	00:10				
S_mayor	S_menor	Acimut	Profundidad	Error_prof	Nº_Datos	Nº_Esta	GAP
Dist_mín	Dist_máx	Epicentro	Zona_sísmica	m_b	$m_b(Lg)$	m_L	$M_b mod$
			Zona atlántica Tenerife-Gran Canaria				
M_b	M	I_máx_calc	I_máx_obs	Dur_perc	Dist_perc	N_obs.I	Referencias
						1	GA, MM, MO, CR, CS
Nº	EVID	Fecha	Hora	Error_hora	RMS	Latitud	Longitud
131		28/07/1908	01:00			28.343	-16.698
S_mayor	S_menor	Acimut	Profundidad	Error_prof	Nº_Datos	Nº_Esta	GAP
Dist_mín	Dist_máx	Epicentro	Zona_sísmica	m_b	$m_b(Lg)$	m_L	$M_b mod$
		S Cueva del Viento	Valle de Icod.TF				
M_b	M	I_máx_calc	I_máx_obs	Dur_perc	Dist_perc	N_obs.I	Referencias
					17	1	SC, GA, MM, MO, CS
Nº	EVID	Fecha	Hora	Error_hora	RMS	Latitud	Longitud
132	2686	28/07/1908	01:30			28.343	-16.698
S_mayor	S_menor	Acimut	Profundidad	Error_prof	Nº_Datos	Nº_Esta	GAP
Dist_mín	Dist_máx	Epicentro	Zona_sísmica	m_b	$m_b(Lg)$	m_L	$M_b mod$
		S Cueva del Viento	Valle de Icod.TF				
M_b	M	I_máx_calc	I_máx_obs	Dur_perc	Dist_perc	N_obs.I	Referencias
					17	1	SC, GA, MU, MM, MO, CR, CS
Nº	EVID	Fecha	Hora	Error_hora	RMS	Latitud	Longitud
133	2687	28/07/1908	01:40			28.343	-16.698
S_mayor	S_menor	Acimut	Profundidad	Error_prof	Nº_Datos	Nº_Esta	GAP
Dist_mín	Dist_máx	Epicentro	Zona_sísmica	m_b	$m_b(Lg)$	m_L	$M_b mod$
		S Cueva del Viento	Valle de Icod.TF				
M_b	M	I_máx_calc	I_máx_obs	Dur_perc	Dist_perc	N_obs.I	Referencias
					17	1	SC, GA, MM, MO, CR, CS

N°	EVID	Fecha	Hora	Error_hora	RMS	Latitud	Longitud
134		04/08/1908				28.30	-16.75
S_mayor	S_menor	Acimut	Profundidad	Error_prof	N°_Datos	N°_Esta	GAP
Dist_mín	Dist_máx	Epicentro	Zona_sísmica	m_b	$m_b(Lg)$	m_L	$M_b mod$
		S de La Montañeta	Valle de Icod.TF				
M_b	M	I_máx_calc	I_máx_obs	Dur_perc	Dist_perc	N_obs_I	Referencias
					8	1	FN, CR, CS
N°	EVID	Fecha	Hora	Error_hora	RMS	Latitud	Longitud
135		09/09/1908				28.343	-16.698
S_mayor	S_menor	Acimut	Profundidad	Error_prof	N°_Datos	N°_Esta	GAP
Dist_mín	Dist_máx	Epicentro	Zona_sísmica	m_b	$m_b(Lg)$	m_L	$M_b mod$
		S Cueva del Viento	Valle de Icod.TF				
M_b	M	I_máx_calc	I_máx_obs	Dur_perc	Dist_perc	N_obs_I	Referencias
	3.5	4.0	3		13	1	FN, CR, CS
N°	EVID	Fecha	Hora	Error_hora	RMS	Latitud	Longitud
136		04/11/1908	19:00			28.343	-16.698
S_mayor	S_menor	Acimut	Profundidad	Error_prof	N°_Datos	N°_Esta	GAP
Dist_mín	Dist_máx	Epicentro	Zona_sísmica	m_b	$m_b(Lg)$	m_L	$M_b mod$
		S Cueva del Viento	Valle de Icod.TF				
M_b	M	I_máx_calc	I_máx_obs	Dur_perc	Dist_perc	N_obs_I	Referencias
					13	1	FN, CR, CS
N°	EVID	Fecha	Hora	Error_hora	RMS	Latitud	Longitud
137		17/11/1908	01:55			28.343	-16.698
S_mayor	S_menor	Acimut	Profundidad	Error_prof	N°_Datos	N°_Esta	GAP
Dist_mín	Dist_máx	Epicentro	Zona_sísmica	m_b	$m_b(Lg)$	m_L	$M_b mod$
		S Cueva del Viento	Valle de Icod.TF				
M_b	M	I_máx_calc	I_máx_obs	Dur_perc	Dist_perc	N_obs_I	Referencias
	4.7	6.0	5		13	2	FN, GA, MM, MO, CR, CS
N°	EVID	Fecha	Hora	Error_hora	RMS	Latitud	Longitud
138	2697	17/11/1908	23:30			28.343	-16.698
S_mayor	S_menor	Acimut	Profundidad	Error_prof	N°_Datos	N°_Esta	GAP
Dist_mín	Dist_máx	Epicentro	Zona_sísmica	m_b	$m_b(Lg)$	m_L	$M_b mod$
		S Cueva del Viento	Valle de Icod.TF				
M_b	M	I_máx_calc	I_máx_obs	Dur_perc	Dist_perc	N_obs_I	Referencias
					17	1	SC, FN, GA, MU, MM, MO, CR, CS
N°	EVID	Fecha	Hora	Error_hora	RMS	Latitud	Longitud
139	2698	18/11/1908	00:26			28.343	-16.698
S_mayor	S_menor	Acimut	Profundidad	Error_prof	N°_Datos	N°_Esta	GAP
Dist_mín	Dist_máx	Epicentro	Zona_sísmica	m_b	$m_b(Lg)$	m_L	$M_b mod$
		S Cueva del Viento	Valle de Icod.TF				
M_b	M	I_máx_calc	I_máx_obs	Dur_perc	Dist_perc	N_obs_I	Referencias
	4.2	5.1	4		17	1	SC, FN, GA, MU, MM, MO, CR, CS
N°	EVID	Fecha	Hora	Error_hora	RMS	Latitud	Longitud
140	2699	18/11/1908	01:55			28.343	-16.698
S_mayor	S_menor	Acimut	Profundidad	Error_prof	N°_Datos	N°_Esta	GAP
Dist_mín	Dist_máx	Epicentro	Zona_sísmica	m_b	$m_b(Lg)$	m_L	$M_b mod$
		S Cueva del Viento	Valle de Icod.TF				
M_b	M	I_máx_calc	I_máx_obs	Dur_perc	Dist_perc	N_obs_I	Referencias
	4.7	6.0	5	5+	44	4	SC, FN, GA, MM, MO, CR, CS

Nº	EVID	Fecha	Hora	Error_hora	RMS	Latitud	Longitud
141	2700	18/11/1908	02:30			28.343	-16.698
S_mayor	S_menor	Acimut	Profundidad	Error_prof	Nº_Datos	Nº_Esta	GAP
Dist_mín	Dist_máx	Epicentro	Zona_sísmica	m_b	$m_b(Lg)$	m_L	$M_b\text{mod}$
		S Cueva del Viento	Valle de Icod.TF				
M_b	M	I_máx_calc	I_máx_obs	Dur_perc	Dist_perc	N_obs_I	Referencias
	4.8	6.1	5		17	1	SC, FN, GA, MM, MO, CR, CS
Nº	EVID	Fecha	Hora	Error_hora	RMS	Latitud	Longitud
142	2701	18/11/1908	03:01			28.343	-16.698
S_mayor	S_menor	Acimut	Profundidad	Error_prof	Nº_Datos	Nº_Esta	GAP
Dist_mín	Dist_máx	Epicentro	Zona_sísmica	m_b	$m_b(Lg)$	m_L	$M_b\text{mod}$
		S Cueva del Viento	Valle de Icod.TF				
M_b	M	I_máx_calc	I_máx_obs	Dur_perc	Dist_perc	N_obs_I	Referencias
	4.8	6.1	5		17	1	SC, FN, GA, MM, MO, CR, CS
Nº	EVID	Fecha	Hora	Error_hora	RMS	Latitud	Longitud
143	2702	18/11/1908	04:49			28.343	-16.698
S_mayor	S_menor	Acimut	Profundidad	Error_prof	Nº_Datos	Nº_Esta	GAP
Dist_mín	Dist_máx	Epicentro	Zona_sísmica	m_b	$m_b(Lg)$	m_L	$M_b\text{mod}$
		S Cueva del Viento	Valle de Icod.TF				
M_b	M	I_máx_calc	I_máx_obs	Dur_perc	Dist_perc	N_obs_I	Referencias
	3.5	4.1	3		17	1	SC, FN, GA, MM, MO, CR, CS
Nº	EVID	Fecha	Hora	Error_hora	RMS	Latitud	Longitud
144	2703	18/11/1908	05:53			28.343	-16.698
S_mayor	S_menor	Acimut	Profundidad	Error_prof	Nº_Datos	Nº_Esta	GAP
Dist_mín	Dist_máx	Epicentro	Zona_sísmica	m_b	$m_b(Lg)$	m_L	$M_b\text{mod}$
		S Cueva del Viento	Valle de Icod.TF				
M_b	M	I_máx_calc	I_máx_obs	Dur_perc	Dist_perc	N_obs_I	Referencias
	4.2	5.1	4		17	1	SC, FN, GA, MM, MO, CR, CS
Nº	EVID	Fecha	Hora	Error_hora	RMS	Latitud	Longitud
145	2704	18/11/1908	05:55			28.343	-16.698
S_mayor	S_menor	Acimut	Profundidad	Error_prof	Nº_Datos	Nº_Esta	GAP
Dist_mín	Dist_máx	Epicentro	Zona_sísmica	m_b	$m_b(Lg)$	m_L	$M_b\text{mod}$
		S Cueva del Viento	Valle de Icod.TF				
M_b	M	I_máx_calc	I_máx_obs	Dur_perc	Dist_perc	N_obs_I	Referencias
	2.9	3.1	2		17	1	SC, FN, GA, MM, MO, CR, CS
Nº	EVID	Fecha	Hora	Error_hora	RMS	Latitud	Longitud
146	2705	18/11/1908	06:30			28.343	-16.698
S_mayor	S_menor	Acimut	Profundidad	Error_prof	Nº_Datos	Nº_Esta	GAP
Dist_mín	Dist_máx	Epicentro	Zona_sísmica	m_b	$m_b(Lg)$	m_L	$M_b\text{mod}$
		S Cueva del Viento	Valle de Icod.TF				
M_b	M	I_máx_calc	I_máx_obs	Dur_perc	Dist_perc	N_obs_I	Referencias
	5.2	6.8	6		17	1	SC, FN, GA, IG, MM, MO, CR, CS
Nº	EVID	Fecha	Hora	Error_hora	RMS	Latitud	Longitud
147		24/11/1908	17:15			28.343	-16.698
S_mayor	S_menor	Acimut	Profundidad	Error_prof	Nº_Datos	Nº_Esta	GAP
Dist_mín	Dist_máx	Epicentro	Zona_sísmica	m_b	$m_b(Lg)$	m_L	$M_b\text{mod}$
		S Cueva del Viento	Valle de Icod.TF				
M_b	M	I_máx_calc	I_máx_obs	Dur_perc	Dist_perc	N_obs_I	Referencias
	3.8	4.5	3.5		13	1	SC, FN, CR, CS

N°	EVID	Fecha	Hora	Error_hora	RMS	Latitud	Longitud
148		30/11/1908	04:30			28.343	-16.698
S_mayor	S_menor	Acimut	Profundidad	Error_prof	N°_Datos	N°_Esta	GAP
Dist_mín	Dist_máx	Epicentro	Zona_sísmica	m_b	$m_b(Lg)$	m_L	$M_b mod$
		S Cueva del Viento	Valle de Icod.TF				
M_b	M	I_máx_calc	I_máx_obs	Dur_perc	Dist_perc	N_obs_I	Referencias
					13	1	FN, CR, CS
N°	EVID	Fecha	Hora	Error_hora	RMS	Latitud	Longitud
149	2707	08/12/1908	05:10			28.343	-16.698
S_mayor	S_menor	Acimut	Profundidad	Error_prof	N°_Datos	N°_Esta	GAP
Dist_mín	Dist_máx	Epicentro	Zona_sísmica	m_b	$m_b(Lg)$	m_L	$M_b mod$
		S Cueva del Viento	Valle de Icod.TF				
M_b	M	I_máx_calc	I_máx_obs	Dur_perc	Dist_perc	N_obs_I	Referencias
					10	1	GA, MU, MM, MO, CR, CS
N°	EVID	Fecha	Hora	Error_hora	RMS	Latitud	Longitud
150	2708	08/12/1908	05:30			28.343	-16.698
S_mayor	S_menor	Acimut	Profundidad	Error_prof	N°_Datos	N°_Esta	GAP
Dist_mín	Dist_máx	Epicentro	Zona_sísmica	m_b	$m_b(Lg)$	m_L	$M_b mod$
		S Cueva del Viento	Valle de Icod.TF				
M_b	M	I_máx_calc	I_máx_obs	Dur_perc	Dist_perc	N_obs_I	Referencias
	4.8	6.1	4		16	1	GA, MM, MO, CR, CS
N°	EVID	Fecha	Hora	Error_hora	RMS	Latitud	Longitud
151	2710	19/12/1908	20:55			28.343	-16.698
S_mayor	S_menor	Acimut	Profundidad	Error_prof	N°_Datos	N°_Esta	GAP
Dist_mín	Dist_máx	Epicentro	Zona_sísmica	m_b	$m_b(Lg)$	m_L	$M_b mod$
		S Cueva del Viento	Valle de Icod.TF				
M_b	M	I_máx_calc	I_máx_obs	Dur_perc	Dist_perc	N_obs_I	Referencias
	4.8	6.1	5		44	2	GA, MU, MM, MO, CR, CS
N°	EVID	Fecha	Hora	Error_hora	RMS	Latitud	Longitud
152		19/12/1908	21:10			28.343	-16.698
S_mayor	S_menor	Acimut	Profundidad	Error_prof	N°_Datos	N°_Esta	GAP
Dist_mín	Dist_máx	Epicentro	Zona_sísmica	m_b	$m_b(Lg)$	m_L	$M_b mod$
		S Cueva del Viento	Valle de Icod.TF				
M_b	M	I_máx_calc	I_máx_obs	Dur_perc	Dist_perc	N_obs_I	Referencias
					44	2	SC, FN, CR, CS
N°	EVID	Fecha	Hora	Error_hora	RMS	Latitud	Longitud
153	2711	19/12/1908	21:20			28.343	-16.698
S_mayor	S_menor	Acimut	Profundidad	Error_prof	N°_Datos	N°_Esta	GAP
Dist_mín	Dist_máx	Epicentro	Zona_sísmica	m_b	$m_b(Lg)$	m_L	$M_b mod$
		S Cueva del Viento	Valle de Icod.TF				
M_b	M	I_máx_calc	I_máx_obs	Dur_perc	Dist_perc	N_obs_I	Referencias
	4.8	6.1	5		17	1	GA, MU, MM, MO, CR, CS
N°	EVID	Fecha	Hora	Error_hora	RMS	Latitud	Longitud
154	2712	19/12/1908	22:01			28.343	-16.698
S_mayor	S_menor	Acimut	Profundidad	Error_prof	N°_Datos	N°_Esta	GAP
Dist_mín	Dist_máx	Epicentro	Zona_sísmica	m_b	$m_b(Lg)$	m_L	$M_b mod$
		S Cueva del Viento	Valle de Icod.TF				
M_b	M	I_máx_calc	I_máx_obs	Dur_perc	Dist_perc	N_obs_I	Referencias
	4.8	6.1	5		17	1	GA, MU, MM, MO, CR, CS

Nº	EVID	Fecha	Hora	Error_hora	RMS	Latitud	Longitud
155	2715	04/01/1909	23:44			28.34	-16.16
S_mayor	S_menor	Acimut	Profundidad	Error_prof	Nº_Datos	Nº_Esta	GAP
Dist_mín	Dist_máx	Epicentro	Zona_sísmica	m_b	$m_b(Lg)$	m_L	$M_b mod$
		SE Santa Cruz de Tenerife	Zona atlántica Tenerife-Gran Canaria				
M_b	M	I_máx_calc	I_máx_obs	Dur_perc	Dist_perc	N_obs_I	Referencias
	4.5	5.7	5	12	43	6	GA, FN, MU, MM, MO, CR, CS
Nº	EVID	Fecha	Hora	Error_hora	RMS	Latitud	Longitud
156	2716	05/01/1909	00:14			28.34	-16.16
S_mayor	S_menor	Acimut	Profundidad	Error_prof	Nº_Datos	Nº_Esta	GAP
Dist_mín	Dist_máx	Epicentro	Zona_sísmica	m_b	$m_b(Lg)$	m_L	$M_b mod$
		SE Santa Cruz de Tenerife	Zona atlántica Tenerife-Gran Canaria				
M_b	M	I_máx_calc	I_máx_obs	Dur_perc	Dist_perc	N_obs_I	Referencias
	4.7	6.0	4	8	39	3+	NN, GA, MU, MM, MO, CR, CS
Nº	EVID	Fecha	Hora	Error_hora	RMS	Latitud	Longitud
157		05/01/1909	23:00			28.13	-16.00
S_mayor	S_menor	Acimut	Profundidad	Error_prof	Nº_Datos	Nº_Esta	GAP
Dist_mín	Dist_máx	Epicentro	Zona_sísmica	m_b	$m_b(Lg)$	m_L	$M_b mod$
		O Agaete.GC	Zona atlántica Tenerife-Gran Canaria				
M_b	M	I_máx_calc	I_máx_obs	Dur_perc	Dist_perc	N_obs_I	Referencias
	3.7	4.4	3		107	2	CS
Nº	EVID	Fecha	Hora	Error_hora	RMS	Latitud	Longitud
158		05/01/1909	23:30			28.13	-16.00
S_mayor	S_menor	Acimut	Profundidad	Error_prof	Nº_Datos	Nº_Esta	GAP
Dist_mín	Dist_máx	Epicentro	Zona_sísmica	m_b	$m_b(Lg)$	m_L	$M_b mod$
		O Agaete.GC	Zona atlántica Tenerife-Gran Canaria				
M_b	M	I_máx_calc	I_máx_obs	Dur_perc	Dist_perc	N_obs_I	Referencias
	5.5	7.3	6		45	2	FN, CC, CR, CS
Nº	EVID	Fecha	Hora	Error_hora	RMS	Latitud	Longitud
159		05/01/1909	23:44			28.13	-16.00
S_mayor	S_menor	Acimut	Profundidad	Error_prof	Nº_Datos	Nº_Esta	GAP
Dist_mín	Dist_máx	Epicentro	Zona_sísmica	m_b	$m_b(Lg)$	m_L	$M_b mod$
		O Agaete.GC	Zona atlántica Tenerife-Gran Canaria				
M_b	M	I_máx_calc	I_máx_obs	Dur_perc	Dist_perc	N_obs_I	Referencias
	5.4	7.0	6		45	2	SC, GA, CC, CS
Nº	EVID	Fecha	Hora	Error_hora	RMS	Latitud	Longitud
160		08/01/1909	21:30			28.13	-16.00
S_mayor	S_menor	Acimut	Profundidad	Error_prof	Nº_Datos	Nº_Esta	GAP
Dist_mín	Dist_máx	Epicentro	Zona_sísmica	m_b	$m_b(Lg)$	m_L	$M_b mod$
		O Agaete.GC	Zona atlántica Tenerife-Gran Canaria				
M_b	M	I_máx_calc	I_máx_obs	Dur_perc	Dist_perc	N_obs_I	Referencias
					45	3+	GA, NN, CS

N°	EVID	Fecha	Hora	Error_hora	RMS	Latitud	Longitud
161	2718	08/01/1909	24:00			28.13	-16.00
S_mayor	S_menor	Acimut	Profundidad	Error_prof	N°_Datos	N°_Esta	GAP
Dist_mín	Dist_máx	Epicentro	Zona_sísmica	m_b	$m_b(Lg)$	m_L	$M_b mod$
		O Agaete.GC	Zona atlántica Tenerife-Gran Canaria				
M_b	M	I_máx_calc	I_máx_obs	Dur_perc	Dist_perc	N_obs_I	Referencias
					44	1	GA, NN, MU, MM, CS
N°	EVID	Fecha	Hora	Error_hora	RMS	Latitud	Longitud
162		12/01/1909	23:20			28.13	-16.00
S_mayor	S_menor	Acimut	Profundidad	Error_prof	N°_Datos	N°_Esta	GAP
Dist_mín	Dist_máx	Epicentro	Zona_sísmica	m_b	$m_b(Lg)$	m_L	$M_b mod$
		O Agaete.GC	Zona atlántica Tenerife-Gran Canaria				
M_b	M	I_máx_calc	I_máx_obs	Dur_perc	Dist_perc	N_obs_I	Referencias
	4.3	5.4	4		58	4+	CS
N°	EVID	Fecha	Hora	Error_hora	RMS	Latitud	Longitud
163		19/03/1909	10:45			28.31	-16.76
S_mayor	S_menor	Acimut	Profundidad	Error_prof	N°_Datos	N°_Esta	GAP
Dist_mín	Dist_máx	Epicentro	Zona_sísmica	m_b	$m_b(Lg)$	m_L	$M_b mod$
		S de Garachico	Valle de Icod.TF				
M_b	M	I_máx_calc	I_máx_obs	Dur_perc	Dist_perc	N_obs_I	Referencias
			3		19	1	FN, CR, CS
N°	EVID	Fecha	Hora	Error_hora	RMS	Latitud	Longitud
164	2734	21/03/1909	10:30			28.31	-16.76
S_mayor	S_menor	Acimut	Profundidad	Error_prof	N°_Datos	N°_Esta	GAP
Dist_mín	Dist_máx	Epicentro	Zona_sísmica	m_b	$m_b(Lg)$	m_L	$M_b mod$
		S de Garachico	Valle de Icod.TF				
M_b	M	I_máx_calc	I_máx_obs	Dur_perc	Dist_perc	N_obs_I	Referencias
				3	25	1	FN, GA, MU, MM, MO, CR, CS
N°	EVID	Fecha	Hora	Error_hora	RMS	Latitud	Longitud
165		04/04/1909	19:15			28.31	-16.76
S_mayor	S_menor	Acimut	Profundidad	Error_prof	N°_Datos	N°_Esta	GAP
Dist_mín	Dist_máx	Epicentro	Zona_sísmica	m_b	$m_b(Lg)$	m_L	$M_b mod$
		S de Garachico	Valle de Icod.TF				
M_b	M	I_máx_calc	I_máx_obs	Dur_perc	Dist_perc	N_obs_I	Referencias
					19	1	FN, CR, CS
N°	EVID	Fecha	Hora	Error_hora	RMS	Latitud	Longitud
166		07/04/1909	21:00			28.31	-16.76
S_mayor	S_menor	Acimut	Profundidad	Error_prof	N°_Datos	N°_Esta	GAP
Dist_mín	Dist_máx	Epicentro	Zona_sísmica	m_b	$m_b(Lg)$	m_L	$M_b mod$
		S de Garachico	Valle de Icod.TF				
M_b	M	I_máx_calc	I_máx_obs	Dur_perc	Dist_perc	N_obs_I	Referencias
					19	1	FN, CR, CS
N°	EVID	Fecha	Hora	Error_hora	RMS	Latitud	Longitud
167		18/04/1909	01:45			28.31	-16.76
S_mayor	S_menor	Acimut	Profundidad	Error_prof	N°_Datos	N°_Esta	GAP
Dist_mín	Dist_máx	Epicentro	Zona_sísmica	m_b	$m_b(Lg)$	m_L	$M_b mod$
		S de Garachico	Valle de Icod.TF				
M_b	M	I_máx_calc	I_máx_obs	Dur_perc	Dist_perc	N_obs_I	Referencias
					19	1	FN, CR, CS

Nº	EVID	Fecha	Hora	Error_hora	RMS	Latitud	Longitud
168		26/04/1909	08:45			28.31	-16.76
S_mayor	S_menor	Acimut	Profundidad	Error_prof	Nº_Datos	Nº_Esta	GAP
Dist_mín	Dist_máx	Epicentro	Zona_sísmica	m_b	$m_b(Lg)$	m_L	$M_b mod$
		S de Garachico	Valle de Icod.TF				
M_b	M	I_máx_calc	I_máx_obs	Dur_perc	Dist_perc	N_obs_I	Referencias
					19	1	FN, CR, CS
Nº	EVID	Fecha	Hora	Error_hora	RMS	Latitud	Longitud
169	2740	21/05/1909	11:00			28.31	-16.76
S_mayor	S_menor	Acimut	Profundidad	Error_prof	Nº_Datos	Nº_Esta	GAP
Dist_mín	Dist_máx	Epicentro	Zona_sísmica	m_b	$m_b(Lg)$	m_L	$M_b mod$
		S de Garachico	Valle de Icod.TF				
M_b	M	I_máx_calc	I_máx_obs	Dur_perc	Dist_perc	N_obs_I	Referencias
				3	25	1	NN, GA, MM, MO, CR, CS
Nº	EVID	Fecha	Hora	Error_hora	RMS	Latitud	Longitud
170	2768	24/05/1909	04:15			28.31	-16.76
S_mayor	S_menor	Acimut	Profundidad	Error_prof	Nº_Datos	Nº_Esta	GAP
Dist_mín	Dist_máx	Epicentro	Zona_sísmica	m_b	$m_b(Lg)$	m_L	$M_b mod$
		S de Garachico	Valle de Icod.TF				
M_b	M	I_máx_calc	I_máx_obs	Dur_perc	Dist_perc	N_obs_I	Referencias
			4		25	1	NN, GA, MU, MM, MO, CR, CS
Nº	EVID	Fecha	Hora	Error_hora	RMS	Latitud	Longitud
171		25/05/1909	03:25			28.31	-16.76
S_mayor	S_menor	Acimut	Profundidad	Error_prof	Nº_Datos	Nº_Esta	GAP
Dist_mín	Dist_máx	Epicentro	Zona_sísmica	m_b	$m_b(Lg)$	m_L	$M_b mod$
		S de Garachico	Valle de Icod.TF				
M_b	M	I_máx_calc	I_máx_obs	Dur_perc	Dist_perc	N_obs_I	Referencias
					19	1	FN, CR, CS
Nº	EVID	Fecha	Hora	Error_hora	RMS	Latitud	Longitud
172		25/05/1909	03:26			28.31	-16.76
S_mayor	S_menor	Acimut	Profundidad	Error_prof	Nº_Datos	Nº_Esta	GAP
Dist_mín	Dist_máx	Epicentro	Zona_sísmica	m_b	$m_b(Lg)$	m_L	$M_b mod$
		S de Garachico	Valle de Icod.TF				
M_b	M	I_máx_calc	I_máx_obs	Dur_perc	Dist_perc	N_obs_I	Referencias
	5.1	6.6	5.5		19	2	FN, CR, CS
Nº	EVID	Fecha	Hora	Error_hora	RMS	Latitud	Longitud
173		25/05/1909	05:00			28.31	-16.76
S_mayor	S_menor	Acimut	Profundidad	Error_prof	Nº_Datos	Nº_Esta	GAP
Dist_mín	Dist_máx	Epicentro	Zona_sísmica	m_b	$m_b(Lg)$	m_L	$M_b mod$
		S de Garachico	Valle de Icod.TF				
M_b	M	I_máx_calc	I_máx_obs	Dur_perc	Dist_perc	N_obs_I	Referencias
					19	1	FN, CR, CS
Nº	EVID	Fecha	Hora	Error_hora	RMS	Latitud	Longitud
174		27/05/1909	12:45			28.31	-16.76
S_mayor	S_menor	Acimut	Profundidad	Error_prof	Nº_Datos	Nº_Esta	GAP
Dist_mín	Dist_máx	Epicentro	Zona_sísmica	m_b	$m_b(Lg)$	m_L	$M_b mod$
		S de Garachico	Valle de Icod.TF				
M_b	M	I_máx_calc	I_máx_obs	Dur_perc	Dist_perc	N_obs_I	Referencias
					19	1	FN, CR, CS

N°	EVID	Fecha	Hora	Error_hora	RMS	Latitud	Longitud
175		28/05/1909	02:30			28.31	-16.76
S_mayor	S_menor	Acimut	Profundidad	Error_prof	N°_Datos	N°_Esta	GAP
Dist_mín	Dist_máx	Epicentro	Zona_sísmica	m_b	$m_b(Lg)$	m_L	$M_b mod$
		S de Garachico	Valle de Icod.TF				
M_b	M	I_máx_calc	I_máx_obs	Dur_perc	Dist_perc	N_obs_I	Referencias
					19	1	FN, CR, CS
N°	EVID	Fecha	Hora	Error_hora	RMS	Latitud	Longitud
176		19/06/1909	08:00			28.31	-16.76
S_mayor	S_menor	Acimut	Profundidad	Error_prof	N°_Datos	N°_Esta	GAP
Dist_mín	Dist_máx	Epicentro	Zona_sísmica	m_b	$m_b(Lg)$	m_L	$M_b mod$
		S de Garachico	Valle de Icod.TF				
M_b	M	I_máx_calc	I_máx_obs	Dur_perc	Dist_perc	N_obs_I	Referencias
	5.2	6.7	6		25	3	FN, CR, CS
N°	EVID	Fecha	Hora	Error_hora	RMS	Latitud	Longitud
177		19/06/1909	08:46			28.31	-16.76
S_mayor	S_menor	Acimut	Profundidad	Error_prof	N°_Datos	N°_Esta	GAP
Dist_mín	Dist_máx	Epicentro	Zona_sísmica	m_b	$m_b(Lg)$	m_L	$M_b mod$
		S de Garachico	Valle de Icod.TF				
M_b	M	I_máx_calc	I_máx_obs	Dur_perc	Dist_perc	N_obs_I	Referencias
				1	25	1	FN, CR, CS
N°	EVID	Fecha	Hora	Error_hora	RMS	Latitud	Longitud
178		06/07/1909	06:40			28.31	-16.76
S_mayor	S_menor	Acimut	Profundidad	Error_prof	N°_Datos	N°_Esta	GAP
Dist_mín	Dist_máx	Epicentro	Zona_sísmica	m_b	$m_b(Lg)$	m_L	$M_b mod$
		S de Garachico	Valle de Icod.TF				
M_b	M	I_máx_calc	I_máx_obs	Dur_perc	Dist_perc	N_obs_I	Referencias
					19	1	NN, GA, FN, CR, CS
N°	EVID	Fecha	Hora	Error_hora	RMS	Latitud	Longitud
179	2818	23/09/1909	20:52			28.31	-16.76
S_mayor	S_menor	Acimut	Profundidad	Error_prof	N°_Datos	N°_Esta	GAP
Dist_mín	Dist_máx	Epicentro	Zona_sísmica	m_b	$m_b(Lg)$	m_L	$M_b mod$
		S de Garachico	Valle de Icod.TF	4.6			
M_b	M	I_máx_calc	I_máx_obs	Dur_perc	Dist_perc	N_obs_I	Referencias
	4.9	5.3	4		25	1	NN, GA, KA, MU, MM, BS, CR, CS
N°	EVID	Fecha	Hora	Error_hora	RMS	Latitud	Longitud
180		04/10/1909	22:15			28.31	-16.76
S_mayor	S_menor	Acimut	Profundidad	Error_prof	N°_Datos	N°_Esta	GAP
Dist_mín	Dist_máx	Epicentro	Zona_sísmica	m_b	$m_b(Lg)$	m_L	$M_b mod$
		S de Garachico	Valle de Icod.TF				
M_b	M	I_máx_calc	I_máx_obs	Dur_perc	Dist_perc	N_obs_I	Referencias
					19	1	FN, CR, CS
N°	EVID	Fecha	Hora	Error_hora	RMS	Latitud	Longitud
181		06/10/1909	13:05			28.31	-16.76
S_mayor	S_menor	Acimut	Profundidad	Error_prof	N°_Datos	N°_Esta	GAP
Dist_mín	Dist_máx	Epicentro	Zona_sísmica	m_b	$m_b(Lg)$	m_L	$M_b mod$
		S de Garachico	Valle de Icod.TF				
M_b	M	I_máx_calc	I_máx_obs	Dur_perc	Dist_perc	N_obs_I	Referencias
					19	1	FN, CR, CS

Nº	EVID	Fecha	Hora	Error_hora	RMS	Latitud	Longitud
182		06/10/1909	13:10			28.31	-16.76
S_mayor	S_menor	Acimut	Profundidad	Error_prof	Nº_Datos	Nº_Esta	GAP
Dist_mín	Dist_máx	Epicentro	Zona_sísmica	m_b	$m_b(Lg)$	m_L	$M_b mod$
		S de Garachico	Valle de Icod.TF				
M_b	M	I_máx_calc	I_máx_obs	Dur_perc	Dist_perc	N_obs_I	Referencias
					19	1	FN, CR, CS
Nº	EVID	Fecha	Hora	Error_hora	RMS	Latitud	Longitud
183		09/10/1909	07:40			28.31	-16.76
S_mayor	S_menor	Acimut	Profundidad	Error_prof	Nº_Datos	Nº_Esta	GAP
Dist_mín	Dist_máx	Epicentro	Zona_sísmica	m_b	$m_b(Lg)$	m_L	$M_b mod$
		S de Garachico	Valle de Icod.TF				
M_b	M	I_máx_calc	I_máx_obs	Dur_perc	Dist_perc	N_obs_I	Referencias
					19	1	FN, CR, CS
Nº	EVID	Fecha	Hora	Error_hora	RMS	Latitud	Longitud
184		10/10/1909	21:10			28.31	-16.76
S_mayor	S_menor	Acimut	Profundidad	Error_prof	Nº_Datos	Nº_Esta	GAP
Dist_mín	Dist_máx	Epicentro	Zona_sísmica	m_b	$m_b(Lg)$	m_L	$M_b mod$
		S de Garachico	Valle de Icod.TF				
M_b	M	I_máx_calc	I_máx_obs	Dur_perc	Dist_perc	N_obs_I	Referencias
					19	1	FN, CR, CS
Nº	EVID	Fecha	Hora	Error_hora	RMS	Latitud	Longitud
185		11/10/1909	09:00			28.31	-16.76
S_mayor	S_menor	Acimut	Profundidad	Error_prof	Nº_Datos	Nº_Esta	GAP
Dist_mín	Dist_máx	Epicentro	Zona_sísmica	m_b	$m_b(Lg)$	m_L	$M_b mod$
		S de Garachico	Valle de Icod.TF				
M_b	M	I_máx_calc	I_máx_obs	Dur_perc	Dist_perc	N_obs_I	Referencias
					19	1	FN, CR, CS
Nº	EVID	Fecha	Hora	Error_hora	RMS	Latitud	Longitud
186		13/10/1909	01:30			28.31	-16.76
S_mayor	S_menor	Acimut	Profundidad	Error_prof	Nº_Datos	Nº_Esta	GAP
Dist_mín	Dist_máx	Epicentro	Zona_sísmica	m_b	$m_b(Lg)$	m_L	$M_b mod$
		S de Garachico	Valle de Icod.TF				
M_b	M	I_máx_calc	I_máx_obs	Dur_perc	Dist_perc	N_obs_I	Referencias
					19	1	FN, CR, CS
Nº	EVID	Fecha	Hora	Error_hora	RMS	Latitud	Longitud
187		13/11/1909	13:00			28.31	-16.76
S_mayor	S_menor	Acimut	Profundidad	Error_prof	Nº_Datos	Nº_Esta	GAP
Dist_mín	Dist_máx	Epicentro	Zona_sísmica	m_b	$m_b(Lg)$	m_L	$M_b mod$
		S de Garachico	Valle de Icod.TF				
M_b	M	I_máx_calc	I_máx_obs	Dur_perc	Dist_perc	N_obs_I	Referencias
					19	1	FN, CR, CS
Nº	EVID	Fecha	Hora	Error_hora	RMS	Latitud	Longitud
188		14/11/1909	05:40			28.31	-16.76
S_mayor	S_menor	Acimut	Profundidad	Error_prof	Nº_Datos	Nº_Esta	GAP
Dist_mín	Dist_máx	Epicentro	Zona_sísmica	m_b	$m_b(Lg)$	m_L	$M_b mod$
		S de Garachico	Valle de Icod.TF				
M_b	M	I_máx_calc	I_máx_obs	Dur_perc	Dist_perc	N_obs_I	Referencias
					19	2	NN, GA, FN, CR, CS

N°	EVID	Fecha	Hora	Error_hora	RMS	Latitud	Longitud
189		14/11/1909	05:58			28.31	-16.76
S_mayor	S_menor	Acimut	Profundidad	Error_prof	N°_Datos	N°_Esta	GAP
Dist_mín	Dist_máx	Epicentro	Zona_sísmica	m_b	$m_b(Lg)$	m_L	$M_b\text{mod}$
		S de Garachico	Valle de Icod.TF				
M_b	M	I_máx_calc	I_máx_obs	Dur_perc	Dist_perc	N_obs_I	Referencias
					19	1	FN, CR, CS
N°	EVID	Fecha	Hora	Error_hora	RMS	Latitud	Longitud
190		14/11/1909	06:11			28.31	-16.76
S_mayor	S_menor	Acimut	Profundidad	Error_prof	N°_Datos	N°_Esta	GAP
Dist_mín	Dist_máx	Epicentro	Zona_sísmica	m_b	$m_b(Lg)$	m_L	$M_b\text{mod}$
		S de Garachico	Valle de Icod.TF				
M_b	M	I_máx_calc	I_máx_obs	Dur_perc	Dist_perc	N_obs_I	Referencias
	4.6	5.8	5		8	2+	NN, GA, MO, CR, CS
N°	EVID	Fecha	Hora	Error_hora	RMS	Latitud	Longitud
191		14/11/1909	06:15			28.31	-16.76
S_mayor	S_menor	Acimut	Profundidad	Error_prof	N°_Datos	N°_Esta	GAP
Dist_mín	Dist_máx	Epicentro	Zona_sísmica	m_b	$m_b(Lg)$	m_L	$M_b\text{mod}$
		S de Garachico	Valle de Icod.TF				
M_b	M	I_máx_calc	I_máx_obs	Dur_perc	Dist_perc	N_obs_I	Referencias
					17	1	FN, CR, CS
N°	EVID	Fecha	Hora	Error_hora	RMS	Latitud	Longitud
192		14/11/1909	06:40			28.31	-16.76
S_mayor	S_menor	Acimut	Profundidad	Error_prof	N°_Datos	N°_Esta	GAP
Dist_mín	Dist_máx	Epicentro	Zona_sísmica	m_b	$m_b(Lg)$	m_L	$M_b\text{mod}$
		S de Garachico	Valle de Icod.TF				
M_b	M	I_máx_calc	I_máx_obs	Dur_perc	Dist_perc	N_obs_I	Referencias
					19		FN, CR, CS
N°	EVID	Fecha	Hora	Error_hora	RMS	Latitud	Longitud
193	2828	14/11/1909	06:42			28.31	-16.76
S_mayor	S_menor	Acimut	Profundidad	Error_prof	N°_Datos	N°_Esta	GAP
Dist_mín	Dist_máx	Epicentro	Zona_sísmica	m_b	$m_b(Lg)$	m_L	$M_b\text{mod}$
		S de Garachico	Valle de Icod.TF	4.7			
M_b	M	I_máx_calc	I_máx_obs	Dur_perc	Dist_perc	N_obs_I	Referencias
	5.0	6.3	5	8	105	2+	NN, GA, KA, MU, MM, BS, MO, CR, CS, CC
N°	EVID	Fecha	Hora	Error_hora	RMS	Latitud	Longitud
194	2829	14/11/1909	06:51			28.31	-16.76
S_mayor	S_menor	Acimut	Profundidad	Error_prof	N°_Datos	N°_Esta	GAP
Dist_mín	Dist_máx	Epicentro	Zona_sísmica	m_b	$m_b(Lg)$	m_L	$M_b\text{mod}$
		S de Garachico	Valle de Icod.TF				
M_b	M	I_máx_calc	I_máx_obs	Dur_perc	Dist_perc	N_obs_I	Referencias
	5.5	7.3	6		25	1	NN, GA, MM, MO, CR, CS
N°	EVID	Fecha	Hora	Error_hora	RMS	Latitud	Longitud
195		14/11/1909	06:55			28.31	-16.76
S_mayor	S_menor	Acimut	Profundidad	Error_prof	N°_Datos	N°_Esta	GAP
Dist_mín	Dist_máx	Epicentro	Zona_sísmica	m_b	$m_b(Lg)$	m_L	$M_b\text{mod}$
		S de Garachico	Valle de Icod.TF				
M_b	M	I_máx_calc	I_máx_obs	Dur_perc	Dist_perc	N_obs_I	Referencias
					19	1	FN, CR, CS

Nº	EVID	Fecha	Hora	Error_hora	RMS	Latitud	Longitud
196	2830	14/11/1909	07:12			28.31	-16.76
S_mayor	S_menor	Acimut	Profundidad	Error_prof	Nº_Datos	Nº_Esta	GAP
Dist_mín	Dist_máx	Epicentro	Zona_sísmica	m_b	$m_b(Lg)$	m_L	$M_b mod$
		S de Garachico	Valle de Icod.TF				
M_b	M	I_máx_calc	I_máx_obs	Dur_perc	Dist_perc	N_obs_I	Referencias
					25	1	NN, GA, MM, MO, CR, CS
Nº	EVID	Fecha	Hora	Error_hora	RMS	Latitud	Longitud
197		14/11/1909	07:35			28.31	-16.76
S_mayor	S_menor	Acimut	Profundidad	Error_prof	Nº_Datos	Nº_Esta	GAP
Dist_mín	Dist_máx	Epicentro	Zona_sísmica	m_b	$m_b(Lg)$	m_L	$M_b mod$
		S de Garachico	Valle de Icod.TF				
M_b	M	I_máx_calc	I_máx_obs	Dur_perc	Dist_perc	N_obs_I	Referencias
					25	1	NN, GA, MM, MO, CR, CS
Nº	EVID	Fecha	Hora	Error_hora	RMS	Latitud	Longitud
198	2831	14/11/1909	07:57			28.31	-16.76
S_mayor	S_menor	Acimut	Profundidad	Error_prof	Nº_Datos	Nº_Esta	GAP
Dist_mín	Dist_máx	Epicentro	Zona_sísmica	m_b	$m_b(Lg)$	m_L	$M_b mod$
		S de Garachico	Valle de Icod.TF				
M_b	M	I_máx_calc	I_máx_obs	Dur_perc	Dist_perc	N_obs_I	Referencias
					25	1	NN, GA, MM, MO, CR, CS
Nº	EVID	Fecha	Hora	Error_hora	RMS	Latitud	Longitud
199	2832	15/11/1909	04:15			28.31	-16.76
S_mayor	S_menor	Acimut	Profundidad	Error_prof	Nº_Datos	Nº_Esta	GAP
Dist_mín	Dist_máx	Epicentro	Zona_sísmica	m_b	$m_b(Lg)$	m_L	$M_b mod$
		S de Garachico	Valle de Icod.TF				
M_b	M	I_máx_calc	I_máx_obs	Dur_perc	Dist_perc	N_obs_I	Referencias
					19	1	NN, GA, MM, MO, CR, CS
Nº	EVID	Fecha	Hora	Error_hora	RMS	Latitud	Longitud
200		15/11/1909	04:30			28.31	-16.76
S_mayor	S_menor	Acimut	Profundidad	Error_prof	Nº_Datos	Nº_Esta	GAP
Dist_mín	Dist_máx	Epicentro	Zona_sísmica	m_b	$m_b(Lg)$	m_L	$M_b mod$
		S de Garachico	Valle de Icod.TF				
M_b	M	I_máx_calc	I_máx_obs	Dur_perc	Dist_perc	N_obs_I	Referencias
	4.3	5.4	4		105	2	FN, CR, CS, CC
Nº	EVID	Fecha	Hora	Error_hora	RMS	Latitud	Longitud
201	2833	15/11/1909	05:11			28.31	-16.76
S_mayor	S_menor	Acimut	Profundidad	Error_prof	Nº_Datos	Nº_Esta	GAP
Dist_mín	Dist_máx	Epicentro	Zona_sísmica	m_b	$m_b(Lg)$	m_L	$M_b mod$
		S de Garachico	Valle de Icod.TF				
M_b	M	I_máx_calc	I_máx_obs	Dur_perc	Dist_perc	N_obs_I	Referencias
					25	1	NN, GA, MU, MM, MO, CR, CS
Nº	EVID	Fecha	Hora	Error_hora	RMS	Latitud	Longitud
202		15/11/1909	09:15			28.31	-16.76
S_mayor	S_menor	Acimut	Profundidad	Error_prof	Nº_Datos	Nº_Esta	GAP
Dist_mín	Dist_máx	Epicentro	Zona_sísmica	m_b	$m_b(Lg)$	m_L	$M_b mod$
		S de Garachico	Valle de Icod.TF				
M_b	M	I_máx_calc	I_máx_obs	Dur_perc	Dist_perc	N_obs_I	Referencias
					19	1	FN, CR, CS

N°	EVID	Fecha	Hora	Error_hora	RMS	Latitud	Longitud
203	2835	17/11/1909	03:00			28.31	-16.76
S_mayor	S_menor	Acimut	Profundidad	Error_prof	N°_Datos	N°_Esta	GAP
Dist_mín	Dist_máx	Epicentro	Zona_sísmica	m_b	$m_b(Lg)$	m_L	$M_b mod$
		S de Garachico	Valle de Icod.TF				
M_b	M	I_máx_calc	I_máx_obs	Dur_perc	Dist_perc	N_obs_I	Referencias
					25	2	NN, FN, GA, MU, MM, MO, CR, CS
N°	EVID	Fecha	Hora	Error_hora	RMS	Latitud	Longitud
204		18/11/1909	12:50			28.31	-16.76
S_mayor	S_menor	Acimut	Profundidad	Error_prof	N°_Datos	N°_Esta	GAP
Dist_mín	Dist_máx	Epicentro	Zona_sísmica	m_b	$m_b(Lg)$	m_L	$M_b mod$
		S de Garachico	Valle de Icod.TF				
M_b	M	I_máx_calc	I_máx_obs	Dur_perc	Dist_perc	N_obs_I	Referencias
					19	1	FN, CR, CS
N°	EVID	Fecha	Hora	Error_hora	RMS	Latitud	Longitud
205		18/11/1909	13:30			28.31	-16.76
S_mayor	S_menor	Acimut	Profundidad	Error_prof	N°_Datos	N°_Esta	GAP
Dist_mín	Dist_máx	Epicentro	Zona_sísmica	m_b	$m_b(Lg)$	m_L	$M_b mod$
		S de Garachico	Valle de Icod.TF				
M_b	M	I_máx_calc	I_máx_obs	Dur_perc	Dist_perc	N_obs_I	Referencias
					19	1	FN, CR, CS
N°	EVID	Fecha	Hora	Error_hora	RMS	Latitud	Longitud
206	2837	18/11/1909	14:30			28.294	-16.756
S_mayor	S_menor	Acimut	Profundidad	Error_prof	N°_Datos	N°_Esta	GAP
Dist_mín	Dist_máx	Epicentro	Zona_sísmica	m_b	$m_b(Lg)$	m_L	$M_b mod$
		Vólcan Chinyero	Valle de Icod.TF				
M_b	M	I_máx_calc	I_máx_obs	Dur_perc	Dist_perc	N_obs_I	Referencias
							+ NN, GA, FN, MU, MM, MO, CR, CS
N°	EVID	Fecha	Hora	Error_hora	RMS	Latitud	Longitud
207		18/11/1909	16:30			28.294	-16.756
S_mayor	S_menor	Acimut	Profundidad	Error_prof	N°_Datos	N°_Esta	GAP
Dist_mín	Dist_máx	Epicentro	Zona_sísmica	m_b	$m_b(Lg)$	m_L	$M_b mod$
		Vólcan Chinyero	Valle de Icod.TF				
M_b	M	I_máx_calc	I_máx_obs	Dur_perc	Dist_perc	N_obs_I	Referencias
					9	1	CS
N°	EVID	Fecha	Hora	Error_hora	RMS	Latitud	Longitud
208		18/11/1909	20:00			28.294	-16.756
S_mayor	S_menor	Acimut	Profundidad	Error_prof	N°_Datos	N°_Esta	GAP
Dist_mín	Dist_máx	Epicentro	Zona_sísmica	m_b	$m_b(Lg)$	m_L	$M_b mod$
		Vólcan Chinyero	Valle de Icod.TF				
M_b	M	I_máx_calc	I_máx_obs	Dur_perc	Dist_perc	N_obs_I	Referencias
					19	1	CS
N°	EVID	Fecha	Hora	Error_hora	RMS	Latitud	Longitud
209		19/11/1909	Noche			28.294	-16.756
S_mayor	S_menor	Acimut	Profundidad	Error_prof	N°_Datos	N°_Esta	GAP
Dist_mín	Dist_máx	Epicentro	Zona_sísmica	m_b	$m_b(Lg)$	m_L	$M_b mod$
		Vólcan Chinyero	Valle de Icod.TF				
M_b	M	I_máx_calc	I_máx_obs	Dur_perc	Dist_perc	N_obs_I	Referencias
	5.4	7.0	5		19	1	CR, CS

Nº	EVID	Fecha	Hora	Error_hora	RMS	Latitud	Longitud
210	2828	21/11/1909				28.294	-16.756
S_mayor	S_menor	Acimut	Profundidad	Error_prof	Nº_Datos	Nº_Esta	GAP
Dist_mín	Dist_máx	Epicentro	Zona_sísmica	m_b	$m_b(Lg)$	m_L	$M_b mod$
		Vólcan Chinyero	Valle de Icod.TF				
M_b	M	I_máx_calc	I_máx_obs	Dur_perc	Dist_perc	N_obs_I	Referencias
	5.5	7.2	5.5		105	1	NN, GA, MU, MM, MO, CR, CS
Nº	EVID	Fecha	Hora	Error_hora	RMS	Latitud	Longitud
211		22/11/1909				28.294	-16.756
S_mayor	S_menor	Acimut	Profundidad	Error_prof	Nº_Datos	Nº_Esta	GAP
Dist_mín	Dist_máx	Epicentro	Zona_sísmica	m_b	$m_b(Lg)$	m_L	$M_b mod$
		Vólcan Chinyero	Valle de Icod.TF				
M_b	M	I_máx_calc	I_máx_obs	Dur_perc	Dist_perc	N_obs_I	Referencias
					9	1	CS
Nº	EVID	Fecha	Hora	Error_hora	RMS	Latitud	Longitud
212		22/11/1909	Tarde			28.294	-16.756
S_mayor	S_menor	Acimut	Profundidad	Error_prof	Nº_Datos	Nº_Esta	GAP
Dist_mín	Dist_máx	Epicentro	Zona_sísmica	m_b	$m_b(Lg)$	m_L	$M_b mod$
		Vólcan Chinyero	Valle de Icod.TF				
M_b	M	I_máx_calc	I_máx_obs	Dur_perc	Dist_perc	N_obs_I	Referencias
					9	1	CS
Nº	EVID	Fecha	Hora	Error_hora	RMS	Latitud	Longitud
213		23/11/1909				28.294	-16.756
S_mayor	S_menor	Acimut	Profundidad	Error_prof	Nº_Datos	Nº_Esta	GAP
Dist_mín	Dist_máx	Epicentro	Zona_sísmica	m_b	$m_b(Lg)$	m_L	$M_b mod$
		Vólcan Chinyero	Valle de Icod.TF				
M_b	M	I_máx_calc	I_máx_obs	Dur_perc	Dist_perc	N_obs_I	Referencias
					6	1	CR, CS
Nº	EVID	Fecha	Hora	Error_hora	RMS	Latitud	Longitud
214	2839	23/11/1909	11:00			28.294	-16.756
S_mayor	S_menor	Acimut	Profundidad	Error_prof	Nº_Datos	Nº_Esta	GAP
Dist_mín	Dist_máx	Epicentro	Zona_sísmica	m_b	$m_b(Lg)$	m_L	$M_b mod$
		Vólcan Chinyero	Valle de Icod.TF				
M_b	M	I_máx_calc	I_máx_obs	Dur_perc	Dist_perc	N_obs_I	Referencias
					10	2	MM, CS
Nº	EVID	Fecha	Hora	Error_hora	RMS	Latitud	Longitud
215	2842	30/11/1909				28.294	-16.756
S_mayor	S_menor	Acimut	Profundidad	Error_prof	Nº_Datos	Nº_Esta	GAP
Dist_mín	Dist_máx	Epicentro	Zona_sísmica	m_b	$m_b(Lg)$	m_L	$M_b mod$
		Vólcan Chinyero	Valle de Icod.TF				
M_b	M	I_máx_calc	I_máx_obs	Dur_perc	Dist_perc	N_obs_I	Referencias
					25	1	NN, GA, MU, MM, MO, CR, CS
Nº	EVID	Fecha	Hora	Error_hora	RMS	Latitud	Longitud
216	2844	03/12/1909	20:00			28.294	-16.756
S_mayor	S_menor	Acimut	Profundidad	Error_prof	Nº_Datos	Nº_Esta	GAP
Dist_mín	Dist_máx	Epicentro	Zona_sísmica	m_b	$m_b(Lg)$	m_L	$M_b mod$
		Vólcan Chinyero	Valle de Icod.TF				
M_b	M	I_máx_calc	I_máx_obs	Dur_perc	Dist_perc	N_obs_I	Referencias
					25	3	NN, GA, MU, MM, MO, CR, CS

N°	EVID	Fecha	Hora	Error_hora	RMS	Latitud	Longitud
217	2845	04/12/1909	07:00			28.294	-16.756
S_mayor	S_menor	Acimut	Profundidad	Error_prof	N°_Datos	N°_Esta	GAP
Dist_mín	Dist_máx	Epicentro	Zona_sísmica	m_b	$m_b(Lg)$	m_L	$M_b mod$
		Vólcan Chinyero	Valle de Icod.TF				
M_b	M	I_máx_calc	I_máx_obs	Dur_perc	Dist_perc	N_obs_I	Referencias
	4.5	5.6	3		25	1	NN, GA, MU, MM, MO, CR, CS
N°	EVID	Fecha	Hora	Error_hora	RMS	Latitud	Longitud
218		09/12/1909	Noche			28.294	-16.756
S_mayor	S_menor	Acimut	Profundidad	Error_prof	N°_Datos	N°_Esta	GAP
Dist_mín	Dist_máx	Epicentro	Zona_sísmica	m_b	$m_b(Lg)$	m_L	$M_b mod$
		Vólcan Chinyero	Valle de Icod.TF				
M_b	M	I_máx_calc	I_máx_obs	Dur_perc	Dist_perc	N_obs_I	Referencias
					9	1	FN, CR, CS
N°	EVID	Fecha	Hora	Error_hora	RMS	Latitud	Longitud
219		11/12/1909	05:15			28.294	-16.756
S_mayor	S_menor	Acimut	Profundidad	Error_prof	N°_Datos	N°_Esta	GAP
Dist_mín	Dist_máx	Epicentro	Zona_sísmica	m_b	$m_b(Lg)$	m_L	$M_b mod$
		Vólcan Chinyero	Valle de Icod.TF				
M_b	M	I_máx_calc	I_máx_obs	Dur_perc	Dist_perc	N_obs_I	Referencias
					9	1	FN, CR, CS
N°	EVID	Fecha	Hora	Error_hora	RMS	Latitud	Longitud
220		18/12/1909	06:00			28.294	-16.756
S_mayor	S_menor	Acimut	Profundidad	Error_prof	N°_Datos	N°_Esta	GAP
Dist_mín	Dist_máx	Epicentro	Zona_sísmica	m_b	$m_b(Lg)$	m_L	$M_b mod$
		Vólcan Chinyero	Valle de Icod.TF				
M_b	M	I_máx_calc	I_máx_obs	Dur_perc	Dist_perc	N_obs_I	Referencias
						+	FN, CR, CS
N°	EVID	Fecha	Hora	Error_hora	RMS	Latitud	Longitud
221		19/12/1909	Noche			28.294	-16.756
S_mayor	S_menor	Acimut	Profundidad	Error_prof	N°_Datos	N°_Esta	GAP
Dist_mín	Dist_máx	Epicentro	Zona_sísmica	m_b	$m_b(Lg)$	m_L	$M_b mod$
		Vólcan Chinyero	Valle de Icod.TF				
M_b	M	I_máx_calc	I_máx_obs	Dur_perc	Dist_perc	N_obs_I	Referencias
					9	1	FN, CR, CS
N°	EVID	Fecha	Hora	Error_hora	RMS	Latitud	Longitud
222		20/12/1909				28.294	-16.756
S_mayor	S_menor	Acimut	Profundidad	Error_prof	N°_Datos	N°_Esta	GAP
Dist_mín	Dist_máx	Epicentro	Zona_sísmica	m_b	$m_b(Lg)$	m_L	$M_b mod$
		Vólcan Chinyero	Valle de Icod.TF				
M_b	M	I_máx_calc	I_máx_obs	Dur_perc	Dist_perc	N_obs_I	Referencias
					9	1	FN, CR, CS
N°	EVID	Fecha	Hora	Error_hora	RMS	Latitud	Longitud
223		21/12/1909				28.294	-16.756
S_mayor	S_menor	Acimut	Profundidad	Error_prof	N°_Datos	N°_Esta	GAP
Dist_mín	Dist_máx	Epicentro	Zona_sísmica	m_b	$m_b(Lg)$	m_L	$M_b mod$
		Vólcan Chinyero	Valle de Icod.TF				
M_b	M	I_máx_calc	I_máx_obs	Dur_perc	Dist_perc	N_obs_I	Referencias
					9	1	FN, CR, CS

Nº	EVID	Fecha	Hora	Error_hora	RMS	Latitud	Longitud
224		22/12/1909	Noche			28.294	-16.756
S_mayor	S_menor	Acimut	Profundidad	Error_prof	Nº_Datos	Nº_Esta	GAP
Dist_mín	Dist_máx	Epicentro	Zona_sísmica	m_b	$m_b(Lg)$	m_L	$M_b mod$
		Vólcan Chinyero	Valle de Icod.TF				
M_b	M	I_máx_calc	I_máx_obs	Dur_perc	Dist_perc	N_obs_I	Referencias
					9	1	FN, CR, CS
Nº	EVID	Fecha	Hora	Error_hora	RMS	Latitud	Longitud
225		19/01/1910	19:00			28.294	-16.756
S_mayor	S_menor	Acimut	Profundidad	Error_prof	Nº_Datos	Nº_Esta	GAP
Dist_mín	Dist_máx	Epicentro	Zona_sísmica	m_b	$m_b(Lg)$	m_L	$M_b mod$
		Vólcan Chinyero	Valle de Icod.TF				
M_b	M	I_máx_calc	I_máx_obs	Dur_perc	Dist_perc	N_obs_I	Referencias
				3	9	1	FN, CR, CS
Nº	EVID	Fecha	Hora	Error_hora	RMS	Latitud	Longitud
226		18/02/1910				28.294	-16.756
S_mayor	S_menor	Acimut	Profundidad	Error_prof	Nº_Datos	Nº_Esta	GAP
Dist_mín	Dist_máx	Epicentro	Zona_sísmica	m_b	$m_b(Lg)$	m_L	$M_b mod$
		Vólcan Chinyero	Valle de Icod.TF				
M_b	M	I_máx_calc	I_máx_obs	Dur_perc	Dist_perc	N_obs_I	Referencias
					9	1	FN, CR, CS
Nº	EVID	Fecha	Hora	Error_hora	RMS	Latitud	Longitud
227	2857	07/03/1910	02:51			28.294	-16.756
S_mayor	S_menor	Acimut	Profundidad	Error_prof	Nº_Datos	Nº_Esta	GAP
Dist_mín	Dist_máx	Epicentro	Zona_sísmica	m_b	$m_b(Lg)$	m_L	$M_b mod$
		Vólcan Chinyero	Valle de Icod.TF				
M_b	M	I_máx_calc	I_máx_obs	Dur_perc	Dist_perc	N_obs_I	Referencias
					25	1	NN, FN, GA, MU, MM, MO, CR, CS
Nº	EVID	Fecha	Hora	Error_hora	RMS	Latitud	Longitud
228	2858	15/03/1910				28.294	-16.756
S_mayor	S_menor	Acimut	Profundidad	Error_prof	Nº_Datos	Nº_Esta	GAP
Dist_mín	Dist_máx	Epicentro	Zona_sísmica	m_b	$m_b(Lg)$	m_L	$M_b mod$
		Vólcan Chinyero	Valle de Icod.TF				
M_b	M	I_máx_calc	I_máx_obs	Dur_perc	Dist_perc	N_obs_I	Referencias
					25	1	NN, GA, MM, MO, CR, CS
Nº	EVID	Fecha	Hora	Error_hora	RMS	Latitud	Longitud
229	2859	15/03/1910	11:20			28.294	-16.756
S_mayor	S_menor	Acimut	Profundidad	Error_prof	Nº_Datos	Nº_Esta	GAP
Dist_mín	Dist_máx	Epicentro	Zona_sísmica	m_b	$m_b(Lg)$	m_L	$M_b mod$
		Vólcan Chinyero	Valle de Icod.TF				
M_b	M	I_máx_calc	I_máx_obs	Dur_perc	Dist_perc	N_obs_I	Referencias
	4.8	6.1	5	4	25	2	NN, FN, GA, MU, MM, MO, CR, CS
Nº	EVID	Fecha	Hora	Error_hora	RMS	Latitud	Longitud
230	2860	15/03/1910	11:36			28.294	-16.756
S_mayor	S_menor	Acimut	Profundidad	Error_prof	Nº_Datos	Nº_Esta	GAP
Dist_mín	Dist_máx	Epicentro	Zona_sísmica	m_b	$m_b(Lg)$	m_L	$M_b mod$
		Vólcan Chinyero	Valle de Icod.TF				
M_b	M	I_máx_calc	I_máx_obs	Dur_perc	Dist_perc	N_obs_I	Referencias
					25	2	NN, GA, MM, MO, CR, CS

Nº	EVID	Fecha	Hora	Error_hora	RMS	Latitud	Longitud
231		19/03/1910				28.294	-16.756
S_mayor	S_menor	Acimut	Profundidad	Error_prof	Nº_Datos	Nº_Esta	GAP
Dist_mín	Dist_máx	Epicentro	Zona_sísmica	m_b	$m_b(Lg)$	m_L	$M_b mod$
		Vólcan Chinyero	Valle de Icod.TF				
M_b	M	I_máx_calc	I_máx_obs	Dur_perc	Dist_perc	N_obs_I	Referencias
					9	1	FN, CR, CS
Nº	EVID	Fecha	Hora	Error_hora	RMS	Latitud	Longitud
232		21/03/1910	20:00			28.294	-16.756
S_mayor	S_menor	Acimut	Profundidad	Error_prof	Nº_Datos	Nº_Esta	GAP
Dist_mín	Dist_máx	Epicentro	Zona_sísmica	m_b	$m_b(Lg)$	m_L	$M_b mod$
		Vólcan Chinyero	Valle de Icod.TF				
M_b	M	I_máx_calc	I_máx_obs	Dur_perc	Dist_perc	N_obs_I	Referencias
					9	1	FN, CR, CS
Nº	EVID	Fecha	Hora	Error_hora	RMS	Latitud	Longitud
233	3031	22/12/1911	23:40			28.27	-16.28
S_mayor	S_menor	Acimut	Profundidad	Error_prof	Nº_Datos	Nº_Esta	GAP
Dist_mín	Dist_máx	Epicentro	Zona_sísmica	m_b	$m_b(Lg)$	m_L	$M_b mod$
		O Guimar.TF	Zona atlántica Tenerife-Gran Canaria				
M_b	M	I_máx_calc	I_máx_obs	Dur_perc	Dist_perc	N_obs_I	Referencias
	5.1	6.6	5		52	5+	NN, GA, MM, MO, CS, CC
Nº	EVID	Fecha	Hora	Error_hora	RMS	Latitud	Longitud
234	3037	08/01/1912	13:30			28.33	-16.50
S_mayor	S_menor	Acimut	Profundidad	Error_prof	Nº_Datos	Nº_Esta	GAP
Dist_mín	Dist_máx	Epicentro	Zona_sísmica	m_b	$m_b(Lg)$	m_L	$M_b mod$
		La Orotava	Valle de la Orotava.TF				
M_b	M	I_máx_calc	I_máx_obs	Dur_perc	Dist_perc	N_obs_I	Referencias
				2	6	1	GA, MM, MO, CS
Nº	EVID	Fecha	Hora	Error_hora	RMS	Latitud	Longitud
235	3069	16/05/1912	20:00			28.33	-16.50
S_mayor	S_menor	Acimut	Profundidad	Error_prof	Nº_Datos	Nº_Esta	GAP
Dist_mín	Dist_máx	Epicentro	Zona_sísmica	m_b	$m_b(Lg)$	m_L	$M_b mod$
		La Orotava	Valle de la Orotava.TF				
M_b	M	I_máx_calc	I_máx_obs	Dur_perc	Dist_perc	N_obs_I	Referencias
					6	1	GA, MM, MO, CS
Nº	EVID	Fecha	Hora	Error_hora	RMS	Latitud	Longitud
236	3110	19/02/1913	02:30			28.12	-15.57
S_mayor	S_menor	Acimut	Profundidad	Error_prof	Nº_Datos	Nº_Esta	GAP
Dist_mín	Dist_máx	Epicentro	Zona_sísmica	m_b	$m_b(Lg)$	m_L	$M_b mod$
		E Arucas	Isla de Gran Canaria				
M_b	M	I_máx_calc	I_máx_obs	Dur_perc	Dist_perc	N_obs_I	Referencias
	4.5	5.7	5		9	2+	IGN, MU, MM, MO, CS
Nº	EVID	Fecha	Hora	Error_hora	RMS	Latitud	Longitud
237	3121	24/06/1913	Noche			27.92	-15.44
S_mayor	S_menor	Acimut	Profundidad	Error_prof	Nº_Datos	Nº_Esta	GAP
Dist_mín	Dist_máx	Epicentro	Zona_sísmica	m_b	$m_b(Lg)$	m_L	$M_b mod$
		N de Ingenio	Isla de Gran Canaria				
M_b	M	I_máx_calc	I_máx_obs	Dur_perc	Dist_perc	N_obs_I	Referencias
	4.6	5.8	5		26	6+	NN, IGN, MU, MM, MO, CS

Nº	EVID	Fecha	Hora	Error_hora	RMS	Latitud	Longitud
238		23/10/1914	Noche			28.426	-16.202
S_mayor	S_menor	Acimut	Profundidad	Error_prof	Nº_Datos	Nº_Esta	GAP
Dist_mín	Dist_máx	Epicentro	Zona_sísmica	m_b	$m_b(Lg)$	m_L	$M_b mod$
		E de Sta. Cruz Tenerife	Zona atlántica Tenerife-Gran Canaria				
M_b	M	I_máx_calc	I_máx_obs	Dur_perc	Dist_perc	N_obs_I	Referencias
					7	1+	CS
Nº	EVID	Fecha	Hora	Error_hora	RMS	Latitud	Longitud
239	3197	24/10/1914	09:34			28.421	-16.552
S_mayor	S_menor	Acimut	Profundidad	Error_prof	Nº_Datos	Nº_Esta	GAP
Dist_mín	Dist_máx	Epicentro	Zona_sísmica	m_b	$m_b(Lg)$	m_L	$M_b mod$
		Pto. de la Cruz	Valle de la Orotava.TF				
M_b	M	I_máx_calc	I_máx_obs	Dur_perc	Dist_perc	N_obs_I	Referencias
				3	30	3	NN, GA, MM, MO, CS
Nº	EVID	Fecha	Hora	Error_hora	RMS	Latitud	Longitud
240	3211	14/01/1915				28.37	-16.50
S_mayor	S_menor	Acimut	Profundidad	Error_prof	Nº_Datos	Nº_Esta	GAP
Dist_mín	Dist_máx	Epicentro	Zona_sísmica	m_b	$m_b(Lg)$	m_L	$M_b mod$
		S de La Orotava	Valle de la Orotava.TF				
M_b	M	I_máx_calc	I_máx_obs	Dur_perc	Dist_perc	N_obs_I	Referencias
					3	1	NN, GA, MU, MM, MO, CS
Nº	EVID	Fecha	Hora	Error_hora	RMS	Latitud	Longitud
241	3227	16/06/1915	20:10			28.345	-14.093
S_mayor	S_menor	Acimut	Profundidad	Error_prof	Nº_Datos	Nº_Esta	GAP
Dist_mín	Dist_máx	Epicentro	Zona_sísmica	m_b	$m_b(Lg)$	m_L	$M_b mod$
		Pájara	Isla de Fuerteventura				
M_b	M	I_máx_calc	I_máx_obs	Dur_perc	Dist_perc	N_obs_I	Referencias
	5.7	7.5	7.5	15	134	2+	NN, GA, MU, MM, MO, CS
Nº	EVID	Fecha	Hora	Error_hora	RMS	Latitud	Longitud
242		16/06/1915	22:00			28.345	-14.093
S_mayor	S_menor	Acimut	Profundidad	Error_prof	Nº_Datos	Nº_Esta	GAP
Dist_mín	Dist_máx	Epicentro	Zona_sísmica	m_b	$m_b(Lg)$	m_L	$M_b mod$
		Pájara	Isla de Fuerteventura				
M_b	M	I_máx_calc	I_máx_obs	Dur_perc	Dist_perc	N_obs_I	Referencias
					2	1	CS
Nº	EVID	Fecha	Hora	Error_hora	RMS	Latitud	Longitud
243	3229	20/06/1915				28.35	-14.09
S_mayor	S_menor	Acimut	Profundidad	Error_prof	Nº_Datos	Nº_Esta	GAP
Dist_mín	Dist_máx	Epicentro	Zona_sísmica	m_b	$m_b(Lg)$	m_L	$M_b mod$
		Pájara	Isla de Fuerteventura				
M_b	M	I_máx_calc	I_máx_obs	Dur_perc	Dist_perc	N_obs_I	Referencias
					2	1	IGN, MM, MO, CS
Nº	EVID	Fecha	Hora	Error_hora	RMS	Latitud	Longitud
244		25/06/1915				28.35	-14.09
S_mayor	S_menor	Acimut	Profundidad	Error_prof	Nº_Datos	Nº_Esta	GAP
Dist_mín	Dist_máx	Epicentro	Zona_sísmica	m_b	$m_b(Lg)$	m_L	$M_b mod$
		Pájara	Isla de Fuerteventura				
M_b	M	I_máx_calc	I_máx_obs	Dur_perc	Dist_perc	N_obs_I	Referencias
					2	1	IGN, MO, CS

N°	EVID	Fecha	Hora	Error_hora	RMS	Latitud	Longitud
245	3233	09/07/1915	00:15			28.35	-14.09
S_mayor	S_menor	Acimut	Profundidad	Error_prof	N°_Datos	N°_Esta	GAP
Dist_mín	Dist_máx	Epicentro	Zona_sísmica	m_b	$m_b(Lg)$	m_L	$M_b mod$
		Pájara	Isla de Fuerteventura				
M_b	M	I_máx_calc	I_máx_obs	Dur_perc	Dist_perc	N_obs_I	Referencias
					2	1	NN, GA, MM, MO, CS
N°	EVID	Fecha	Hora	Error_hora	RMS	Latitud	Longitud
246		09/07/1915	03:00			28.35	-14.09
S_mayor	S_menor	Acimut	Profundidad	Error_prof	N°_Datos	N°_Esta	GAP
Dist_mín	Dist_máx	Epicentro	Zona_sísmica	m_b	$m_b(Lg)$	m_L	$M_b mod$
		Pájara	Isla de Fuerteventura				
M_b	M	I_máx_calc	I_máx_obs	Dur_perc	Dist_perc	N_obs_I	Referencias
					2	1	NN, GA, CS
N°	EVID	Fecha	Hora	Error_hora	RMS	Latitud	Longitud
247	3236	13/07/1915				28.35	-14.09
S_mayor	S_menor	Acimut	Profundidad	Error_prof	N°_Datos	N°_Esta	GAP
Dist_mín	Dist_máx	Epicentro	Zona_sísmica	m_b	$m_b(Lg)$	m_L	$M_b mod$
		Pájara	Isla de Fuerteventura				
M_b	M	I_máx_calc	I_máx_obs	Dur_perc	Dist_perc	N_obs_I	Referencias
					2	1	IGN, MM, MO, CS
N°	EVID	Fecha	Hora	Error_hora	RMS	Latitud	Longitud
248	3279	22/03/1916				28.35	-14.09
S_mayor	S_menor	Acimut	Profundidad	Error_prof	N°_Datos	N°_Esta	GAP
Dist_mín	Dist_máx	Epicentro	Zona_sísmica	m_b	$m_b(Lg)$	m_L	$M_b mod$
		Pájara	Isla de Fuerteventura				
M_b	M	I_máx_calc	I_máx_obs	Dur_perc	Dist_perc	N_obs_I	Referencias
					2	+	MM, GA, MU, MM, MO, CS
N°	EVID	Fecha	Hora	Error_hora	RMS	Latitud	Longitud
249	3275	15/04/1916	13:00			28.35	-14.09
S_mayor	S_menor	Acimut	Profundidad	Error_prof	N°_Datos	N°_Esta	GAP
Dist_mín	Dist_máx	Epicentro	Zona_sísmica	m_b	$m_b(Lg)$	m_L	$M_b mod$
		Pájara	Isla de Fuerteventura				
M_b	M	I_máx_calc	I_máx_obs	Dur_perc	Dist_perc	N_obs_I	Referencias
				15		+	GA, MU, MM, MO, CS
N°	EVID	Fecha	Hora	Error_hora	RMS	Latitud	Longitud
250	3276	16/04/1916				28.35	-14.09
S_mayor	S_menor	Acimut	Profundidad	Error_prof	N°_Datos	N°_Esta	GAP
Dist_mín	Dist_máx	Epicentro	Zona_sísmica	m_b	$m_b(Lg)$	m_L	$M_b mod$
		Pájara	Isla de Fuerteventura				
M_b	M	I_máx_calc	I_máx_obs	Dur_perc	Dist_perc	N_obs_I	Referencias
					2	1	IGN, MO, CS
N°	EVID	Fecha	Hora	Error_hora	RMS	Latitud	Longitud
251	3277	17/04/1916				28.35	-14.09
S_mayor	S_menor	Acimut	Profundidad	Error_prof	N°_Datos	N°_Esta	GAP
Dist_mín	Dist_máx	Epicentro	Zona_sísmica	m_b	$m_b(Lg)$	m_L	$M_b mod$
		Pájara	Isla de Fuerteventura				
M_b	M	I_máx_calc	I_máx_obs	Dur_perc	Dist_perc	N_obs_I	Referencias
					2	1	IGN, MO, CS

Nº	EVID	Fecha	Hora	Error_hora	RMS	Latitud	Longitud
252	3317	20/05/1917	06:00			28.35	-14.09
S_mayor	S_menor	Acimut	Profundidad	Error_prof	Nº_Datos	Nº_Esta	GAP
Dist_mín	Dist_máx	Epicentro	Zona_sísmica	m_b	$m_b(Lg)$	m_L	$M_b mod$
		Pájara	Isla de Fuerteventura				
M_b	M	I_máx_calc	I_máx_obs	Dur_perc	Dist_perc	N_obs_I	Referencias
	5.6	7.4	7		2	1+	NN, GA, MU, MM, MO, CR, CS
Nº	EVID	Fecha	Hora	Error_hora	RMS	Latitud	Longitud
253	3361	30/04/1918	16:50			28.45	-16.55
S_mayor	S_menor	Acimut	Profundidad	Error_prof	Nº_Datos	Nº_Esta	GAP
Dist_mín	Dist_máx	Epicentro	Zona_sísmica	m_b	$m_b(Lg)$	m_L	$M_b mod$
		N Pto de la Cruz.TF	Océano Atlántico				
M_b	M	I_máx_calc	I_máx_obs	Dur_perc	Dist_perc	N_obs_I	Referencias
					29	1	NN, GA, MM, CS
Nº	EVID	Fecha	Hora	Error_hora	RMS	Latitud	Longitud
254		11/05/1918	14:45			28.45	-16.55
S_mayor	S_menor	Acimut	Profundidad	Error_prof	Nº_Datos	Nº_Esta	GAP
Dist_mín	Dist_máx	Epicentro	Zona_sísmica	m_b	$m_b(Lg)$	m_L	$M_b mod$
		N Pto de la Cruz.TF	Océano Atlántico				
M_b	M	I_máx_calc	I_máx_obs	Dur_perc	Dist_perc	N_obs_I	Referencias
					29	1	GA, IGN, CS
Nº	EVID	Fecha	Hora	Error_hora	RMS	Latitud	Longitud
255		12/05/1918	02:50			28.45	-16.55
S_mayor	S_menor	Acimut	Profundidad	Error_prof	Nº_Datos	Nº_Esta	GAP
Dist_mín	Dist_máx	Epicentro	Zona_sísmica	m_b	$m_b(Lg)$	m_L	$M_b mod$
		N Pto de la Cruz.TF	Océano Atlántico				
M_b	M	I_máx_calc	I_máx_obs	Dur_perc	Dist_perc	N_obs_I	Referencias
					29	1+	CS
Nº	EVID	Fecha	Hora	Error_hora	RMS	Latitud	Longitud
256		13/05/1918				28.45	-16.55
S_mayor	S_menor	Acimut	Profundidad	Error_prof	Nº_Datos	Nº_Esta	GAP
Dist_mín	Dist_máx	Epicentro	Zona_sísmica	m_b	$m_b(Lg)$	m_L	$M_b mod$
		N Pto de la Cruz.TF	Océano Atlántico				
M_b	M	I_máx_calc	I_máx_obs	Dur_perc	Dist_perc	N_obs_I	Referencias
					29	1	NN, GA, MM, CS
Nº	EVID	Fecha	Hora	Error_hora	RMS	Latitud	Longitud
257	3363	15/05/1918	00:30			28.45	-16.55
S_mayor	S_menor	Acimut	Profundidad	Error_prof	Nº_Datos	Nº_Esta	GAP
Dist_mín	Dist_máx	Epicentro	Zona_sísmica	m_b	$m_b(Lg)$	m_L	$M_b mod$
		N Pto de la Cruz.TF	Océano Atlántico				
M_b	M	I_máx_calc	I_máx_obs	Dur_perc	Dist_perc	N_obs_I	Referencias
					29	1	NN, GA, MM, CS
Nº	EVID	Fecha	Hora	Error_hora	RMS	Latitud	Longitud
258	3364	20/05/1918	19:18			28.45	-16.55
S_mayor	S_menor	Acimut	Profundidad	Error_prof	Nº_Datos	Nº_Esta	GAP
Dist_mín	Dist_máx	Epicentro	Zona_sísmica	m_b	$m_b(Lg)$	m_L	$M_b mod$
		N Pto de la Cruz.TF	Océano Atlántico				
M_b	M	I_máx_calc	I_máx_obs	Dur_perc	Dist_perc	N_obs_I	Referencias
					29	2	GA, MM, CS

N°	EVID	Fecha	Hora	Error_hora	RMS	Latitud	Longitud
259		20/05/1918	22:30			28.45	-16.55
S_mayor	S_menor	Acimut	Profundidad	Error_prof	N°_Datos	N°_Esta	GAP
Dist_mín	Dist_máx	Epicentro	Zona_sísmica	m_b	$m_b(Lg)$	m_L	$M_b mod$
		N Pto de la Cruz.TF	Océano Atlántico				
M_b	M	I_máx_calc	I_máx_obs	Dur_perc	Dist_perc	N_obs_I	Referencias
					29	1+	NN, GA, CS
N°	EVID	Fecha	Hora	Error_hora	RMS	Latitud	Longitud
260		20/05/1918	23:00			28.45	-16.55
S_mayor	S_menor	Acimut	Profundidad	Error_prof	N°_Datos	N°_Esta	GAP
Dist_mín	Dist_máx	Epicentro	Zona_sísmica	m_b	$m_b(Lg)$	m_L	$M_b mod$
		N Pto de la Cruz.TF	Océano Atlántico				
M_b	M	I_máx_calc	I_máx_obs	Dur_perc	Dist_perc	N_obs_I	Referencias
					29	1+	NN, CS
N°	EVID	Fecha	Hora	Error_hora	RMS	Latitud	Longitud
261		20/05/1918	23:30			28.45	-16.55
S_mayor	S_menor	Acimut	Profundidad	Error_prof	N°_Datos	N°_Esta	GAP
Dist_mín	Dist_máx	Epicentro	Zona_sísmica	m_b	$m_b(Lg)$	m_L	$M_b mod$
		N Pto de la Cruz.TF	Océano Atlántico				
M_b	M	I_máx_calc	I_máx_obs	Dur_perc	Dist_perc	N_obs_I	Referencias
					29	1+	NN, CS
N°	EVID	Fecha	Hora	Error_hora	RMS	Latitud	Longitud
262	3365	21/05/1918	Madrugada			28.45	-16.55
S_mayor	S_menor	Acimut	Profundidad	Error_prof	N°_Datos	N°_Esta	GAP
Dist_mín	Dist_máx	Epicentro	Zona_sísmica	m_b	$m_b(Lg)$	m_L	$M_b mod$
		N Pto de la Cruz.TF	Océano Atlántico				
M_b	M	I_máx_calc	I_máx_obs	Dur_perc	Dist_perc	N_obs_I	Referencias
					29	1+	GA, NN, IGN, CS
N°	EVID	Fecha	Hora	Error_hora	RMS	Latitud	Longitud
263		22/05/1918	03:30			28.45	-16.55
S_mayor	S_menor	Acimut	Profundidad	Error_prof	N°_Datos	N°_Esta	GAP
Dist_mín	Dist_máx	Epicentro	Zona_sísmica	m_b	$m_b(Lg)$	m_L	$M_b mod$
		N Pto de la Cruz.TF	Océano Atlántico				
M_b	M	I_máx_calc	I_máx_obs	Dur_perc	Dist_perc	N_obs_I	Referencias
					29	1+	GA, NN, IGN, CS
N°	EVID	Fecha	Hora	Error_hora	RMS	Latitud	Longitud
264	3367	28/05/1918	12:30			28.45	-16.55
S_mayor	S_menor	Acimut	Profundidad	Error_prof	N°_Datos	N°_Esta	GAP
Dist_mín	Dist_máx	Epicentro	Zona_sísmica	m_b	$m_b(Lg)$	m_L	$M_b mod$
		N Pto de la Cruz.TF	Océano Atlántico				
M_b	M	I_máx_calc	I_máx_obs	Dur_perc	Dist_perc	N_obs_I	Referencias
					29	1+	GA, NN, IGN, CS
N°	EVID	Fecha	Hora	Error_hora	RMS	Latitud	Longitud
265		03/06/1918	03:45			28.45	-16.55
S_mayor	S_menor	Acimut	Profundidad	Error_prof	N°_Datos	N°_Esta	GAP
Dist_mín	Dist_máx	Epicentro	Zona_sísmica	m_b	$m_b(Lg)$	m_L	$M_b mod$
		N Pto de la Cruz.TF	Océano Atlántico				
M_b	M	I_máx_calc	I_máx_obs	Dur_perc	Dist_perc	N_obs_I	Referencias
					29	1+	GA, NN, IGN, CS

N°	EVID	Fecha	Hora	Error_hora	RMS	Latitud	Longitud
266	3370	08/06/1918	04:00			28.45	-16.55
S_mayor	S_menor	Acimut	Profundidad	Error_prof	N°_Datos	N°_Esta	GAP
Dist_mín	Dist_máx	Epicentro	Zona_sísmica	m_b	$m_b(Lg)$	m_L	$M_b\text{mod}$
		N Pto de la Cruz.TF	Océano Atlántico				
M_b	M	I_máx_calc	I_máx_obs	Dur_perc	Dist_perc	N_obs_I	Referencias
					29	1+	GA, NN, MU, IGN, CS
N°	EVID	Fecha	Hora	Error_hora	RMS	Latitud	Longitud
267	3371	11/06/1918				28.45	-16.55
S_mayor	S_menor	Acimut	Profundidad	Error_prof	N°_Datos	N°_Esta	GAP
Dist_mín	Dist_máx	Epicentro	Zona_sísmica	m_b	$m_b(Lg)$	m_L	$M_b\text{mod}$
		N Pto de la Cruz.TF	Océano Atlántico				
M_b	M	I_máx_calc	I_máx_obs	Dur_perc	Dist_perc	N_obs_I	Referencias
					29	1+	GA, NN, MU, IGN, CS
N°	EVID	Fecha	Hora	Error_hora	RMS	Latitud	Longitud
268	3372	13/06/1918	05:30			28.45	-16.55
S_mayor	S_menor	Acimut	Profundidad	Error_prof	N°_Datos	N°_Esta	GAP
Dist_mín	Dist_máx	Epicentro	Zona_sísmica	m_b	$m_b(Lg)$	m_L	$M_b\text{mod}$
		N Pto de la Cruz.TF	Océano Atlántico				
M_b	M	I_máx_calc	I_máx_obs	Dur_perc	Dist_perc	N_obs_I	Referencias
					29	1+	GA, NN, MU, IGN, CS
N°	EVID	Fecha	Hora	Error_hora	RMS	Latitud	Longitud
269	3373	18/06/1918	02:00			28.45	-16.55
S_mayor	S_menor	Acimut	Profundidad	Error_prof	N°_Datos	N°_Esta	GAP
Dist_mín	Dist_máx	Epicentro	Zona_sísmica	m_b	$m_b(Lg)$	m_L	$M_b\text{mod}$
		N Pto de la Cruz.TF	Océano Atlántico				
M_b	M	I_máx_calc	I_máx_obs	Dur_perc	Dist_perc	N_obs_I	Referencias
					29	1+	GA, NN, MU, IGN, CS
N°	EVID	Fecha	Hora	Error_hora	RMS	Latitud	Longitud
270	3375	23/06/1918	04:30			28.45	-16.55
S_mayor	S_menor	Acimut	Profundidad	Error_prof	N°_Datos	N°_Esta	GAP
Dist_mín	Dist_máx	Epicentro	Zona_sísmica	m_b	$m_b(Lg)$	m_L	$M_b\text{mod}$
		N Pto de la Cruz.TF	Océano Atlántico				
M_b	M	I_máx_calc	I_máx_obs	Dur_perc	Dist_perc	N_obs_I	Referencias
					29	1+	GA, NN, MU, IGN, CS
N°	EVID	Fecha	Hora	Error_hora	RMS	Latitud	Longitud
271	3377	30/06/1918	01:45			28.45	-16.55
S_mayor	S_menor	Acimut	Profundidad	Error_prof	N°_Datos	N°_Esta	GAP
Dist_mín	Dist_máx	Epicentro	Zona_sísmica	m_b	$m_b(Lg)$	m_L	$M_b\text{mod}$
		N Pto de la Cruz.TF	Océano Atlántico				
M_b	M	I_máx_calc	I_máx_obs	Dur_perc	Dist_perc	N_obs_I	Referencias
					29	1+	GA, NN, MU, IGN, CS
N°	EVID	Fecha	Hora	Error_hora	RMS	Latitud	Longitud
272		22/07/1919	22:30			27.80	-17.85
S_mayor	S_menor	Acimut	Profundidad	Error_prof	N°_Datos	N°_Esta	GAP
Dist_mín	Dist_máx	Epicentro	Zona_sísmica	m_b	$m_b(Lg)$	m_L	$M_b\text{mod}$
		E Valverde.HE	Océano Atlántico				
M_b	M	I_máx_calc	I_máx_obs	Dur_perc	Dist_perc	N_obs_I	Referencias
	4.4	5.5	5		6	1	Este trabajo (Diario de Las Palmas)

N°	EVID	Fecha	Hora	Error_hora	RMS	Latitud	Longitud
273		29/07/1919	06:00			27.80	-17.85
S_mayor	S_menor	Acimut	Profundidad	Error_prof	N°_Datos	N°_Esta	GAP
Dist_mín	Dist_máx	Epicentro	Zona_sísmica	m_b	$m_b(Lg)$	m_L	$M_b mod$
		E Valverde.HE	Océano Atlántico				
M_b	M	I_máx_calc	I_máx_obs	Dur_perc	Dist_perc	N_obs_I	Referencias
					6	1	Este trabajo (Diario de Las Palmas)
N°	EVID	Fecha	Hora	Error_hora	RMS	Latitud	Longitud
274	3443	20/01/1920				28.57	-17.84
S_mayor	S_menor	Acimut	Profundidad	Error_prof	N°_Datos	N°_Esta	GAP
Dist_mín	Dist_máx	Epicentro	Zona_sísmica	m_b	$m_b(Lg)$	m_L	$M_b mod$
		Cumbre Vieja.LP	Isla de La Palma				
M_b	M	I_máx_calc	I_máx_obs	Dur_perc	Dist_perc	N_obs_I	Referencias
					14	+	GA, NN, MU, MM, MO, CS
N°	EVID	Fecha	Hora	Error_hora	RMS	Latitud	Longitud
275		23/05/1921	22:00			28.26	-14.16
S_mayor	S_menor	Acimut	Profundidad	Error_prof	N°_Datos	N°_Esta	GAP
Dist_mín	Dist_máx	Epicentro	Zona_sísmica	m_b	$m_b(Lg)$	m_L	$M_b mod$
		Montaña Cardón	Isla de Fuerteventura				
M_b	M	I_máx_calc	I_máx_obs	Dur_perc	Dist_perc	N_obs_I	Referencias
						+	CS
N°	EVID	Fecha	Hora	Error_hora	RMS	Latitud	Longitud
276	3513	03/06/1921				28.26	-14.16
S_mayor	S_menor	Acimut	Profundidad	Error_prof	N°_Datos	N°_Esta	GAP
Dist_mín	Dist_máx	Epicentro	Zona_sísmica	m_b	$m_b(Lg)$	m_L	$M_b mod$
		Montaña Cardón	Isla de Fuerteventura				
M_b	M	I_máx_calc	I_máx_obs	Dur_perc	Dist_perc	N_obs_I	Referencias
	3.4	3.9	3		11	1+	GA, NN, IGN, MU, MM, MM, CS
N°	EVID	Fecha	Hora	Error_hora	RMS	Latitud	Longitud
277		03/06/1926	16:0			28.328	-16.48
S_mayor	S_menor	Acimut	Profundidad	Error_prof	N°_Datos	N°_Esta	GAP
Dist_mín	Dist_máx	Epicentro	Zona_sísmica	m_b	$m_b(Lg)$	m_L	$M_b mod$
		NW Observatorio Izaña	Valle de Güímar. TF				
M_b	M	I_máx_calc	I_máx_obs	Dur_perc	Dist_perc	N_obs_I	Referencias
	4.5	5.7	5	4	3	1	GA, NN, IGN, CS
N°	EVID	Fecha	Hora	Error_hora	RMS	Latitud	Longitud
278	3756	16/08/1926	04:50			28.328	-16.48
S_mayor	S_menor	Acimut	Profundidad	Error_prof	N°_Datos	N°_Esta	GAP
Dist_mín	Dist_máx	Epicentro	Zona_sísmica	m_b	$m_b(Lg)$	m_L	$M_b mod$
		NW Observatorio Izaña	Valle de Güímar. TF				
M_b	M	I_máx_calc	I_máx_obs	Dur_perc	Dist_perc	N_obs_I	Referencias
	4.9	6.3	6	40	26	3+	GA, NN, IGN, MM, MO, CS
N°	EVID	Fecha	Hora	Error_hora	RMS	Latitud	Longitud
279		15/05/1927	Noche			28.48	-15.90
S_mayor	S_menor	Acimut	Profundidad	Error_prof	N°_Datos	N°_Esta	GAP
Dist_mín	Dist_máx	Epicentro	Zona_sísmica	m_b	$m_b(Lg)$	m_L	$M_b mod$
		E Santa Cruz de Tenerife	Zona atlántica				
			Tenerife-Gran Canaria				
M_b	M	I_máx_calc	I_máx_obs	Dur_perc	Dist_perc	N_obs_I	Referencias
	4.7	6.0	4.5	3	34	1	Este trabajo(Diario Las Palmas)

Nº	EVID	Fecha	Hora	Error_hora	RMS	Latitud	Longitud
280	4007	11/12/1930				28.372	-16.462
S_mayor	S_menor	Acimut	Profundidad	Error_prof	Nº_Datos	Nº_Esta	GAP
Dist_mín	Dist_máx	Episentro	Zona_sísmica	m_b	$m_b(Lg)$	m_L	$M_b mod$
		SO Pto. de la Cruz	Valle de la Orotava.TF				
M_b	M	$I_{máx_calc}$	$I_{máx_obs}$	Dur_perc	Dist_perc	N_obs_I	Referencias
	3.5	4.0	3		21	2	GA, IGN, MM, MO, CS
Nº	EVID	Fecha	Hora	Error_hora	RMS	Latitud	Longitud
281	4009	13/12/1930				28.372	-16.462
S_mayor	S_menor	Acimut	Profundidad	Error_prof	Nº_Datos	Nº_Esta	GAP
Dist_mín	Dist_máx	Episentro	Zona_sísmica	m_b	$m_b(Lg)$	m_L	$M_b mod$
		SO Pto. de la Cruz	Valle de la Orotava.TF				
M_b	M	$I_{máx_calc}$	$I_{máx_obs}$	Dur_perc	Dist_perc	N_obs_I	Referencias
	3.5	4.0	3		21	1	GA, NN, IGN, MU, MM, MO, CS
Nº	EVID	Fecha	Hora	Error_hora	RMS	Latitud	Longitud
282		07/01/1934	12:00			28.341	-16.443
S_mayor	S_menor	Acimut	Profundidad	Error_prof	Nº_Datos	Nº_Esta	GAP
Dist_mín	Dist_máx	Episentro	Zona_sísmica	m_b	$m_b(Lg)$	m_L	$M_b mod$
		O Arafo	Valle de Güímar.TF				
M_b	M	$I_{máx_calc}$	$I_{máx_obs}$	Dur_perc	Dist_perc	N_obs_I	Referencias
				3	10	3+	Este trabajo (Gaceta de Tenerife)
Nº	EVID	Fecha	Hora	Error_hora	RMS	Latitud	Longitud
283	4200	13/11/1935	19:30			28.17	-15.54
S_mayor	S_menor	Acimut	Profundidad	Error_prof	Nº_Datos	Nº_Esta	GAP
Dist_mín	Dist_máx	Episentro	Zona_sísmica	m_b	$m_b(Lg)$	m_L	$M_b mod$
		N Gran Canaria	Zona atlántica Tenerife-Gran Canaria				
M_b	M	$I_{máx_calc}$	$I_{máx_obs}$	Dur_perc	Dist_perc	N_obs_I	Referencias
	3.8	4.5	3.5		12	1	IGN, MM, MO, CS
Nº	EVID	Fecha	Hora	Error_hora	RMS	Latitud	Longitud
284	4205	07/12/1935				28.0	-16.4
S_mayor	S_menor	Acimut	Profundidad	Error_prof	Nº_Datos	Nº_Esta	GAP
Dist_mín	Dist_máx	Episentro	Zona_sísmica	m_b	$m_b(Lg)$	m_L	$M_b mod$
		SE San Miguel de Tajao.TF	Zona atlántica Tenerife-Gran Canaria	4.3			
M_b	M	$I_{máx_calc}$	$I_{máx_obs}$	Dur_perc	Dist_perc	N_obs_I	Referencias
	4.7	6.2	5		21	1	IGN, MM, MO, CS
Nº	EVID	Fecha	Hora	Error_hora	RMS	Latitud	Longitud
285	4303	23/07/1936	23:30			28.636	-17.836
S_mayor	S_menor	Acimut	Profundidad	Error_prof	Nº_Datos	Nº_Esta	GAP
Dist_mín	Dist_máx	Episentro	Zona_sísmica	m_b	$m_b(Lg)$	m_L	$M_b mod$
		S Caldera Taburiente.LP	Isla de La Palma				
M_b	M	$I_{máx_calc}$	$I_{máx_obs}$	Dur_perc	Dist_perc	N_obs_I	Referencias
	3.3	3.8	3		8	2	IGN, BO, MU, MM, MO, CS
Nº	EVID	Fecha	Hora	Error_hora	RMS	Latitud	Longitud
286	4304	24/07/1936	07:00			28.636	-17.836
S_mayor	S_menor	Acimut	Profundidad	Error_prof	Nº_Datos	Nº_Esta	GAP
Dist_mín	Dist_máx	Episentro	Zona_sísmica	m_b	$m_b(Lg)$	m_L	$M_b mod$
		S Caldera Taburiente.LP	Isla de La Palma				
M_b	M	$I_{máx_calc}$	$I_{máx_obs}$	Dur_perc	Dist_perc	N_obs_I	Referencias
	3.3	3.8	3		8	1	IGN, BO, MU, MM, MO, CS

N°	EVID	Fecha	Hora	Error_hora	RMS	Latitud	Longitud
287	4305	24/07/1936	14:30			28.636	-17.836
S_mayor	S_menor	Acimut	Profundidad	Error_prof	N°_Datos	N°_Esta	GAP
Dist_mín	Dist_máx	Epicentro	Zona_sísmica	m_b	$m_b(Lg)$	m_L	$M_b mod$
		S Caldera Taburiente.LP	Isla de La Palma				
M_b	M	I_máx_calc	I_máx_obs	Dur_perc	Dist_perc	N_obs_I	Referencias
	3.3	3.8	3		8	2	IGN, BO, MM, MO, CS
N°	EVID	Fecha	Hora	Error_hora	RMS	Latitud	Longitud
288	4306	24/07/1936	15:30			28.636	-17.836
S_mayor	S_menor	Acimut	Profundidad	Error_prof	N°_Datos	N°_Esta	GAP
Dist_mín	Dist_máx	Epicentro	Zona_sísmica	m_b	$m_b(Lg)$	m_L	$M_b mod$
		S Caldera Taburiente.LP	Isla de La Palma				
M_b	M	I_máx_calc	I_máx_obs	Dur_perc	Dist_perc	N_obs_I	Referencias
	3.3	3.7	3		5	1	IGN, BO, MM, MO, CS
N°	EVID	Fecha	Hora	Error_hora	RMS	Latitud	Longitud
289	4307	25/07/1936	06:50			28.636	-17.836
S_mayor	S_menor	Acimut	Profundidad	Error_prof	N°_Datos	N°_Esta	GAP
Dist_mín	Dist_máx	Epicentro	Zona_sísmica	m_b	$m_b(Lg)$	m_L	$M_b mod$
		S Caldera Taburiente.LP	Isla de La Palma				
M_b	M	I_máx_calc	I_máx_obs	Dur_perc	Dist_perc	N_obs_I	Referencias
	3.3	3.8	3		8	1	IGN, BO, MU, MM, MO, CS
N°	EVID	Fecha	Hora	Error_hora	RMS	Latitud	Longitud
290	4308	25/07/1936	07:15			28.636	-17.836
S_mayor	S_menor	Acimut	Profundidad	Error_prof	N°_Datos	N°_Esta	GAP
Dist_mín	Dist_máx	Epicentro	Zona_sísmica	m_b	$m_b(Lg)$	m_L	$M_b mod$
		S Caldera Taburiente.LP	Isla de La Palma				
M_b	M	I_máx_calc	I_máx_obs	Dur_perc	Dist_perc	N_obs_I	Referencias
	3.3	3.8	3		8	1	IGN, BO, MM, MO, CS
N°	EVID	Fecha	Hora	Error_hora	RMS	Latitud	Longitud
291		25/07/1936	08:40			28.636	-17.836
S_mayor	S_menor	Acimut	Profundidad	Error_prof	N°_Datos	N°_Esta	GAP
Dist_mín	Dist_máx	Epicentro	Zona_sísmica	m_b	$m_b(Lg)$	m_L	$M_b mod$
		S Caldera Taburiente.LP	Isla de La Palma				
M_b	M	I_máx_calc	I_máx_obs	Dur_perc	Dist_perc	N_obs_I	Referencias
	3.3	3.8	3		8	1	IGN, MO, CS
N°	EVID	Fecha	Hora	Error_hora	RMS	Latitud	Longitud
292	4309	25/07/1936	09:55			28.636	-17.836
S_mayor	S_menor	Acimut	Profundidad	Error_prof	N°_Datos	N°_Esta	GAP
Dist_mín	Dist_máx	Epicentro	Zona_sísmica	m_b	$m_b(Lg)$	m_L	$M_b mod$
		S Caldera Taburiente.LP	Isla de La Palma				
M_b	M	I_máx_calc	I_máx_obs	Dur_perc	Dist_perc	N_obs_I	Referencias
	3.3	3.8	3		8	1	IGN, BO, MM, MO, CS
N°	EVID	Fecha	Hora	Error_hora	RMS	Latitud	Longitud
293	4310	25/07/1936	12:05			28.636	-17.836
S_mayor	S_menor	Acimut	Profundidad	Error_prof	N°_Datos	N°_Esta	GAP
Dist_mín	Dist_máx	Epicentro	Zona_sísmica	m_b	$m_b(Lg)$	m_L	$M_b mod$
		S Caldera Taburiente.LP	Isla de La Palma				
M_b	M	I_máx_calc	I_máx_obs	Dur_perc	Dist_perc	N_obs_I	Referencias
	3.3	3.8	3		8	1	IGN, BO, MM, MO, CS

Nº	EVID	Fecha	Hora	Error_hora	RMS	Latitud	Longitud
294	4311	25/07/1936	22:40			28.636	-17.836
S_mayor	S_menor	Acimut	Profundidad	Error_prof	Nº_Datos	Nº_Esta	GAP
Dist_mín	Dist_máx	Epicentro	Zona_sísmica	m_b	$m_b(Lg)$	m_L	$M_b mod$
		S Caldera Taburiente.LP	Isla de La Palma				
M_b	M	I_máx_calc	I_máx_obs	Dur_perc	Dist_perc	N_obs_I	Referencias
	3.3	3.8	3		8	1	IGN, BO, MM, MO, CS
Nº	EVID	Fecha	Hora	Error_hora	RMS	Latitud	Longitud
295	4336	21/06/1937	11:15			28.4	-16.7
S_mayor	S_menor	Acimut	Profundidad	Error_prof	Nº_Datos	Nº_Esta	GAP
Dist_mín	Dist_máx	Epicentro	Zona_sísmica	m_b	$m_b(Lg)$	m_L	$M_b mod$
		NE de Garachico	Valle de Icod.TF				
M_b	M	I_máx_calc	I_máx_obs	Dur_perc	Dist_perc	N_obs_I	Referencias
	4.6	5.8	5		7	1	IGN, KA, MU, MM, MO, CS
Nº	EVID	Fecha	Hora	Error_hora	RMS	Latitud	Longitud
296	4345	07/07/1937				28.35	-16.90
S_mayor	S_menor	Acimut	Profundidad	Error_prof	Nº_Datos	Nº_Esta	GAP
Dist_mín	Dist_máx	Epicentro	Zona_sísmica	m_b	$m_b(Lg)$	m_L	$M_b mod$
		Faro de Teno.TF	Isla de Tenerife				
M_b	M	I_máx_calc	I_máx_obs	Dur_perc	Dist_perc	N_obs_I	Referencias
	4.1	5.0	4.5		5	1	IGN, MU, MM, MO, CS
Nº	EVID	Fecha	Hora	Error_hora	RMS	Latitud	Longitud
297	4372	21/02/1939	22:25			28.572	-17.838
S_mayor	S_menor	Acimut	Profundidad	Error_prof	Nº_Datos	Nº_Esta	GAP
Dist_mín	Dist_máx	Epicentro	Zona_sísmica	m_b	$m_b(Lg)$	m_L	$M_b mod$
		E de Jeday.LP	Isla de La Palma				
M_b	M	I_máx_calc	I_máx_obs	Dur_perc	Dist_perc	N_obs_I	Referencias
	4.7	6.0	5	14	12	1	IGN, MU, MM, MO, CS
Nº	EVID	Fecha	Hora	Error_hora	RMS	Latitud	Longitud
298	4373	22/02/1939	20:30			28.572	-17.838
S_mayor	S_menor	Acimut	Profundidad	Error_prof	Nº_Datos	Nº_Esta	GAP
Dist_mín	Dist_máx	Epicentro	Zona_sísmica	m_b	$m_b(Lg)$	m_L	$M_b mod$
		E de Jeday.LP	Isla de La Palma				
M_b	M	I_máx_calc	I_máx_obs	Dur_perc	Dist_perc	N_obs_I	Referencias
	3.3	3.8	3	2	12	2	IGN, MA, MM, MO, CR, CS
Nº	EVID	Fecha	Hora	Error_hora	RMS	Latitud	Longitud
299		23/02/1939	01:20			28.572	-17.838
S_mayor	S_menor	Acimut	Profundidad	Error_prof	Nº_Datos	Nº_Esta	GAP
Dist_mín	Dist_máx	Epicentro	Zona_sísmica	m_b	$m_b(Lg)$	m_L	$M_b mod$
		E de Jeday.LP	Isla de La Palma				
M_b	M	I_máx_calc	I_máx_obs	Dur_perc	Dist_perc	N_obs_I	Referencias
	4.0	4.8	4	3	9	1	MA, MO, CR, CS
Nº	EVID	Fecha	Hora	Error_hora	RMS	Latitud	Longitud
300		23/02/1939	01:50			28.572	-17.838
S_mayor	S_menor	Acimut	Profundidad	Error_prof	Nº_Datos	Nº_Esta	GAP
Dist_mín	Dist_máx	Epicentro	Zona_sísmica	m_b	$m_b(Lg)$	m_L	$M_b mod$
		E de Jeday.LP	Isla de La Palma				
M_b	M	I_máx_calc	I_máx_obs	Dur_perc	Dist_perc	N_obs_I	Referencias
				15	12	1	IGN, CS

N°	EVID	Fecha	Hora	Error_hora	RMS	Latitud	Longitud
301		23/02/1939	06:50			28.572	-17.838
S_mayor	S_menor	Acimut	Profundidad	Error_prof	N°_Datos	N°_Esta	GAP
Dist_mín	Dist_máx	Epicentro	Zona_sísmica	m_b	$m_b(Lg)$	m_L	$M_b mod$
		E de Jedey.LP	Isla de La Palma				
M_b	M	I_máx_calc	I_máx_obs	Dur_perc	Dist_perc	N_obs_I	Referencias
				4	12	1	IGN, CS
N°	EVID	Fecha	Hora	Error_hora	RMS	Latitud	Longitud
302		23/02/1939	16:00			28.572	-17.838
S_mayor	S_menor	Acimut	Profundidad	Error_prof	N°_Datos	N°_Esta	GAP
Dist_mín	Dist_máx	Epicentro	Zona_sísmica	m_b	$m_b(Lg)$	m_L	$M_b mod$
		E de Jedey.LP	Isla de La Palma				
M_b	M	I_máx_calc	I_máx_obs	Dur_perc	Dist_perc	N_obs_I	Referencias
				4	9	1	MA, CS
N°	EVID	Fecha	Hora	Error_hora	RMS	Latitud	Longitud
303	4374	23/02/1939	16:45			28.572	-17.838
S_mayor	S_menor	Acimut	Profundidad	Error_prof	N°_Datos	N°_Esta	GAP
Dist_mín	Dist_máx	Epicentro	Zona_sísmica	m_b	$m_b(Lg)$	m_L	$M_b mod$
		E de Jedey.LP	Isla de La Palma				
M_b	M	I_máx_calc	I_máx_obs	Dur_perc	Dist_perc	N_obs_I	Referencias
				25	12	1	IGN, MM, CS
N°	EVID	Fecha	Hora	Error_hora	RMS	Latitud	Longitud
304		23/02/1939	18:30			28.572	-17.838
S_mayor	S_menor	Acimut	Profundidad	Error_prof	N°_Datos	N°_Esta	GAP
Dist_mín	Dist_máx	Epicentro	Zona_sísmica	m_b	$m_b(Lg)$	m_L	$M_b mod$
		E de Jedey.LP	Isla de La Palma				
M_b	M	I_máx_calc	I_máx_obs	Dur_perc	Dist_perc	N_obs_I	Referencias
				15	12	1	IGN, CS
N°	EVID	Fecha	Hora	Error_hora	RMS	Latitud	Longitud
305		23/02/1939	21:48			28.572	-17.838
S_mayor	S_menor	Acimut	Profundidad	Error_prof	N°_Datos	N°_Esta	GAP
Dist_mín	Dist_máx	Epicentro	Zona_sísmica	m_b	$m_b(Lg)$	m_L	$M_b mod$
		E de Jedey.LP	Isla de La Palma				
M_b	M	I_máx_calc	I_máx_obs	Dur_perc	Dist_perc	N_obs_I	Referencias
				18	12	1	IGN, CS
N°	EVID	Fecha	Hora	Error_hora	RMS	Latitud	Longitud
306		24/02/1939	00:20			28.572	-17.838
S_mayor	S_menor	Acimut	Profundidad	Error_prof	N°_Datos	N°_Esta	GAP
Dist_mín	Dist_máx	Epicentro	Zona_sísmica	m_b	$m_b(Lg)$	m_L	$M_b mod$
		E de Jedey.LP	Isla de La Palma				
M_b	M	I_máx_calc	I_máx_obs	Dur_perc	Dist_perc	N_obs_I	Referencias
	4.1	5.0	4	9	12	1	IGN, CS
N°	EVID	Fecha	Hora	Error_hora	RMS	Latitud	Longitud
307		24/02/1939	02:25			28.572	-17.838
S_mayor	S_menor	Acimut	Profundidad	Error_prof	N°_Datos	N°_Esta	GAP
Dist_mín	Dist_máx	Epicentro	Zona_sísmica	m_b	$m_b(Lg)$	m_L	$M_b mod$
		E de Jedey.LP	Isla de La Palma				
M_b	M	I_máx_calc	I_máx_obs	Dur_perc	Dist_perc	N_obs_I	Referencias
				7	12	1	IGN, CS

Nº	EVID	Fecha	Hora	Error_hora	RMS	Latitud	Longitud
308		24/02/1939	02:55			28.572	-17.838
S_mayor	S_menor	Acimut	Profundidad	Error_prof	Nº_Datos	Nº_Esta	GAP
Dist_mín	Dist_máx	Epicentro	Zona_sísmica	m_b	$m_b(Lg)$	m_L	$M_b mod$
		E de Jeday.LP	Isla de La Palma				
M_b	M	I_máx_calc	I_máx_obs	Dur_perc	Dist_perc	N_obs_I	Referencias
				5	12	1	IGN, CS
Nº	EVID	Fecha	Hora	Error_hora	RMS	Latitud	Longitud
309		24/02/1939	06:10			28.572	-17.838
S_mayor	S_menor	Acimut	Profundidad	Error_prof	Nº_Datos	Nº_Esta	GAP
Dist_mín	Dist_máx	Epicentro	Zona_sísmica	m_b	$m_b(Lg)$	m_L	$M_b mod$
		E de Jeday.LP	Isla de La Palma				
M_b	M	I_máx_calc	I_máx_obs	Dur_perc	Dist_perc	N_obs_I	Referencias
				5	12	1	IGN, CS
Nº	EVID	Fecha	Hora	Error_hora	RMS	Latitud	Longitud
310		24/02/1939	07:05			28.572	-17.838
S_mayor	S_menor	Acimut	Profundidad	Error_prof	Nº_Datos	Nº_Esta	GAP
Dist_mín	Dist_máx	Epicentro	Zona_sísmica	m_b	$m_b(Lg)$	m_L	$M_b mod$
		E de Jeday.LP	Isla de La Palma				
M_b	M	I_máx_calc	I_máx_obs	Dur_perc	Dist_perc	N_obs_I	Referencias
				8	12	1	IGN, CS
Nº	EVID	Fecha	Hora	Error_hora	RMS	Latitud	Longitud
311		25/02/1939	02:10			28.572	-17.838
S_mayor	S_menor	Acimut	Profundidad	Error_prof	Nº_Datos	Nº_Esta	GAP
Dist_mín	Dist_máx	Epicentro	Zona_sísmica	m_b	$m_b(Lg)$	m_L	$M_b mod$
		E de Jeday.LP	Isla de La Palma				
M_b	M	I_máx_calc	I_máx_obs	Dur_perc	Dist_perc	N_obs_I	Referencias
				4	12	1	IGN, CS
Nº	EVID	Fecha	Hora	Error_hora	RMS	Latitud	Longitud
312		25/02/1939	04:00			28.572	-17.838
S_mayor	S_menor	Acimut	Profundidad	Error_prof	Nº_Datos	Nº_Esta	GAP
Dist_mín	Dist_máx	Epicentro	Zona_sísmica	m_b	$m_b(Lg)$	m_L	$M_b mod$
		E de Jeday.LP	Isla de La Palma				
M_b	M	I_máx_calc	I_máx_obs	Dur_perc	Dist_perc	N_obs_I	Referencias
				2	12	1	IGN, CS
Nº	EVID	Fecha	Hora	Error_hora	RMS	Latitud	Longitud
313		25/02/1939	06:00			28.572	-17.838
S_mayor	S_menor	Acimut	Profundidad	Error_prof	Nº_Datos	Nº_Esta	GAP
Dist_mín	Dist_máx	Epicentro	Zona_sísmica	m_b	$m_b(Lg)$	m_L	$M_b mod$
		E de Jeday.LP	Isla de La Palma				
M_b	M	I_máx_calc	I_máx_obs	Dur_perc	Dist_perc	N_obs_I	Referencias
				1	12	1	IGN, CS
Nº	EVID	Fecha	Hora	Error_hora	RMS	Latitud	Longitud
314		26/02/1939	03:35			28.572	-17.838
S_mayor	S_menor	Acimut	Profundidad	Error_prof	Nº_Datos	Nº_Esta	GAP
Dist_mín	Dist_máx	Epicentro	Zona_sísmica	m_b	$m_b(Lg)$	m_L	$M_b mod$
		E de Jeday.LP	Isla de La Palma				
M_b	M	I_máx_calc	I_máx_obs	Dur_perc	Dist_perc	N_obs_I	Referencias
				2	12	1	IGN, CS

N°	EVID	Fecha	Hora	Error_hora	RMS	Latitud	Longitud
315		26/02/1939	05:15			28.572	-17.838
S_mayor	S_menor	Acimut	Profundidad	Error_prof	N°_Datos	N°_Esta	GAP
Dist_mín	Dist_máx	Epicentro	Zona_sísmica	m_b	$m_b(Lg)$	m_L	$M_b mod$
		E de Jedey.LP	Isla de La Palma				
M_b	M	I_máx_calc	I_máx_obs	Dur_perc	Dist_perc	N_obs_I	Referencias
				3	12	1	IGN, CS
N°	EVID	Fecha	Hora	Error_hora	RMS	Latitud	Longitud
316		27/02/1939	20:55			28.572	-17.838
S_mayor	S_menor	Acimut	Profundidad	Error_prof	N°_Datos	N°_Esta	GAP
Dist_mín	Dist_máx	Epicentro	Zona_sísmica	m_b	$m_b(Lg)$	m_L	$M_b mod$
		E de Jedey.LP	Isla de La Palma				
M_b	M	I_máx_calc	I_máx_obs	Dur_perc	Dist_perc	N_obs_I	Referencias
					12	1	IGN, CS
N°	EVID	Fecha	Hora	Error_hora	RMS	Latitud	Longitud
317		28/02/1939				28.572	-17.838
S_mayor	S_menor	Acimut	Profundidad	Error_prof	N°_Datos	N°_Esta	GAP
Dist_mín	Dist_máx	Epicentro	Zona_sísmica	m_b	$m_b(Lg)$	m_L	$M_b mod$
		E de Jedey.LP	Isla de La Palma				
M_b	M	I_máx_calc	I_máx_obs	Dur_perc	Dist_perc	N_obs_I	Referencias
					12	1	IGN, CS
N°	EVID	Fecha	Hora	Error_hora	RMS	Latitud	Longitud
318		01/03/1939	03:05			28.572	-17.838
S_mayor	S_menor	Acimut	Profundidad	Error_prof	N°_Datos	N°_Esta	GAP
Dist_mín	Dist_máx	Epicentro	Zona_sísmica	m_b	$m_b(Lg)$	m_L	$M_b mod$
		E de Jedey.LP	Isla de La Palma				
M_b	M	I_máx_calc	I_máx_obs	Dur_perc	Dist_perc	N_obs_I	Referencias
				2	12	1	IGN, CS
N°	EVID	Fecha	Hora	Error_hora	RMS	Latitud	Longitud
319		01/03/1939	03:15			28.572	-17.838
S_mayor	S_menor	Acimut	Profundidad	Error_prof	N°_Datos	N°_Esta	GAP
Dist_mín	Dist_máx	Epicentro	Zona_sísmica	m_b	$m_b(Lg)$	m_L	$M_b mod$
		E de Jedey.LP	Isla de La Palma				
M_b	M	I_máx_calc	I_máx_obs	Dur_perc	Dist_perc	N_obs_I	Referencias
	4.1	5.0	4	23	12	1	IGN, CS
N°	EVID	Fecha	Hora	Error_hora	RMS	Latitud	Longitud
320		02/03/1939	12:00			28.572	-17.838
S_mayor	S_menor	Acimut	Profundidad	Error_prof	N°_Datos	N°_Esta	GAP
Dist_mín	Dist_máx	Epicentro	Zona_sísmica	m_b	$m_b(Lg)$	m_L	$M_b mod$
		E de Jedey.LP	Isla de La Palma				
M_b	M	I_máx_calc	I_máx_obs	Dur_perc	Dist_perc	N_obs_I	Referencias
	3.5	4.0	3	4	12	1	IGN, CS
N°	EVID	Fecha	Hora	Error_hora	RMS	Latitud	Longitud
321		04/03/1939	03:20			28.572	-17.838
S_mayor	S_menor	Acimut	Profundidad	Error_prof	N°_Datos	N°_Esta	GAP
Dist_mín	Dist_máx	Epicentro	Zona_sísmica	m_b	$m_b(Lg)$	m_L	$M_b mod$
		E de Jedey.LP	Isla de La Palma				
M_b	M	I_máx_calc	I_máx_obs	Dur_perc	Dist_perc	N_obs_I	Referencias
				2	12	1	IGN, CS

Nº	EVID	Fecha	Hora	Error_hora	RMS	Latitud	Longitud
322		04/03/1939	04:00			28.572	-17.838
S_mayor	S_menor	Acimut	Profundidad	Error_prof	Nº_Datos	Nº_Esta	GAP
Dist_mín	Dist_máx	Epicentro	Zona_sísmica	m_b	$m_b(Lg)$	m_L	$M_b mod$
		E de Jeday.LP	Isla de La Palma				
M_b	M	I_máx_calc	I_máx_obs	Dur_perc	Dist_perc	N_obs_I	Referencias
				4	12	1	IGN, CS
Nº	EVID	Fecha	Hora	Error_hora	RMS	Latitud	Longitud
323	4375	06/03/1939	11:20			28.572	-17.838
S_mayor	S_menor	Acimut	Profundidad	Error_prof	Nº_Datos	Nº_Esta	GAP
Dist_mín	Dist_máx	Epicentro	Zona_sísmica	m_b	$m_b(Lg)$	m_L	$M_b mod$
		E de Jeday.LP	Isla de La Palma				
M_b	M	I_máx_calc	I_máx_obs	Dur_perc	Dist_perc	N_obs_I	Referencias
	4.4	5.5	4.5	11	12	1+	IGN, MM, CS
Nº	EVID	Fecha	Hora	Error_hora	RMS	Latitud	Longitud
324		06/03/1939	18:08			28.572	-17.838
S_mayor	S_menor	Acimut	Profundidad	Error_prof	Nº_Datos	Nº_Esta	GAP
Dist_mín	Dist_máx	Epicentro	Zona_sísmica	m_b	$m_b(Lg)$	m_L	$M_b mod$
		E de Jeday.LP	Isla de La Palma				
M_b	M	I_máx_calc	I_máx_obs	Dur_perc	Dist_perc	N_obs_I	Referencias
	4.4	5.5	4.5	27	12	1+	IGN, CS
Nº	EVID	Fecha	Hora	Error_hora	RMS	Latitud	Longitud
325		06/03/1939	07:00			28.572	-17.838
S_mayor	S_menor	Acimut	Profundidad	Error_prof	Nº_Datos	Nº_Esta	GAP
Dist_mín	Dist_máx	Epicentro	Zona_sísmica	m_b	$m_b(Lg)$	m_L	$M_b mod$
		E de Jeday.LP	Isla de La Palma				
M_b	M	I_máx_calc	I_máx_obs	Dur_perc	Dist_perc	N_obs_I	Referencias
				15	12	1	IGN, CS
Nº	EVID	Fecha	Hora	Error_hora	RMS	Latitud	Longitud
326	4376	07/03/1939	14:30			28.572	-17.838
S_mayor	S_menor	Acimut	Profundidad	Error_prof	Nº_Datos	Nº_Esta	GAP
Dist_mín	Dist_máx	Epicentro	Zona_sísmica	m_b	$m_b(Lg)$	m_L	$M_b mod$
		E de Jeday.LP	Isla de La Palma				
M_b	M	I_máx_calc	I_máx_obs	Dur_perc	Dist_perc	N_obs_I	Referencias
	5.1	6.6	6	22	12	3	IGN, MA, MM, MO, CR, CS
Nº	EVID	Fecha	Hora	Error_hora	RMS	Latitud	Longitud
327		07/03/1939	03:50			28.572	-17.838
S_mayor	S_menor	Acimut	Profundidad	Error_prof	Nº_Datos	Nº_Esta	GAP
Dist_mín	Dist_máx	Epicentro	Zona_sísmica	m_b	$m_b(Lg)$	m_L	$M_b mod$
		E de Jeday.LP	Isla de La Palma				
M_b	M	I_máx_calc	I_máx_obs	Dur_perc	Dist_perc	N_obs_I	Referencias
				3	12	1	IGN, CS
Nº	EVID	Fecha	Hora	Error_hora	RMS	Latitud	Longitud
328		09/03/1939				28.572	-17.838
S_mayor	S_menor	Acimut	Profundidad	Error_prof	Nº_Datos	Nº_Esta	GAP
Dist_mín	Dist_máx	Epicentro	Zona_sísmica	m_b	$m_b(Lg)$	m_L	$M_b mod$
		E de Jeday.LP	Isla de La Palma				
M_b	M	I_máx_calc	I_máx_obs	Dur_perc	Dist_perc	N_obs_I	Referencias
					12	1	IGN, CS

N°	EVID	Fecha	Hora	Error_hora	RMS	Latitud	Longitud
329		10/03/1939	20:30			28.572	-17.838
S_mayor	S_menor	Acimut	Profundidad	Error_prof	N°_Datos	N°_Esta	GAP
Dist_mín	Dist_máx	Epicentro	Zona_sísmica	m_b	$m_b(Lg)$	m_L	$M_b mod$
		E de Jedey.LP	Isla de La Palma				
M_b	M	I_máx_calc	I_máx_obs	Dur_perc	Dist_perc	N_obs_I	Referencias
				1	12	1	IGN, CS
N°	EVID	Fecha	Hora	Error_hora	RMS	Latitud	Longitud
330	4377	11/03/1939	01:05			28.584	-17.837
S_mayor	S_menor	Acimut	Profundidad	Error_prof	N°_Datos	N°_Esta	GAP
Dist_mín	Dist_máx	Epicentro	Zona_sísmica	m_b	$m_b(Lg)$	m_L	$M_b mod$
		E de Las Manchas.LP	Isla de La Palma				
M_b	M	I_máx_calc	I_máx_obs	Dur_perc	Dist_perc	N_obs_I	Referencias
	4.7	6.0	5	20	12	1	IGN, MM, CS
N°	EVID	Fecha	Hora	Error_hora	RMS	Latitud	Longitud
331		11/03/1939	04:25			28.584	-17.837
S_mayor	S_menor	Acimut	Profundidad	Error_prof	N°_Datos	N°_Esta	GAP
Dist_mín	Dist_máx	Epicentro	Zona_sísmica	m_b	$m_b(Lg)$	m_L	$M_b mod$
		E de Las Manchas.Lp	Isla de La Palma				
M_b	M	I_máx_calc	I_máx_obs	Dur_perc	Dist_perc	N_obs_I	Referencias
				14	11	1	IGN, CS
N°	EVID	Fecha	Hora	Error_hora	RMS	Latitud	Longitud
332		11/03/1939	12:00			28.483	-17.853
S_mayor	S_menor	Acimut	Profundidad	Error_prof	N°_Datos	N°_Esta	GAP
Dist_mín	Dist_máx	Epicentro	Zona_sísmica	m_b	$m_b(Lg)$	m_L	$M_b mod$
		O Volcán San Antonio. LP	Isla de La Palma				
M_b	M	I_máx_calc	I_máx_obs	Dur_perc	Dist_perc	N_obs_I	Referencias
					3	1	MA, CR, CS
N°	EVID	Fecha	Hora	Error_hora	RMS	Latitud	Longitud
333		11/03/1939	13:15			28.483	-17.853
S_mayor	S_menor	Acimut	Profundidad	Error_prof	N°_Datos	N°_Esta	GAP
Dist_mín	Dist_máx	Epicentro	Zona_sísmica	m_b	$m_b(Lg)$	m_L	$M_b mod$
		O Volcán San Antonio. LP	Isla de La Palma				
M_b	M	I_máx_calc	I_máx_obs	Dur_perc	Dist_perc	N_obs_I	Referencias
	5.2	6.7	6		3	1	MA, CR, CS
N°	EVID	Fecha	Hora	Error_hora	RMS	Latitud	Longitud
334		11/03/1939	21:00			28.483	-17.853
S_mayor	S_menor	Acimut	Profundidad	Error_prof	N°_Datos	N°_Esta	GAP
Dist_mín	Dist_máx	Epicentro	Zona_sísmica	m_b	$m_b(Lg)$	m_L	$M_b mod$
		O Volcán San Antonio. LP	Isla de La Palma				
M_b	M	I_máx_calc	I_máx_obs	Dur_perc	Dist_perc	N_obs_I	Referencias
					18	1	IGN, MM, CS
N°	EVID	Fecha	Hora	Error_hora	RMS	Latitud	Longitud
335		12/03/1939	04:00			28.483	-17.853
S_mayor	S_menor	Acimut	Profundidad	Error_prof	N°_Datos	N°_Esta	GAP
Dist_mín	Dist_máx	Epicentro	Zona_sísmica	m_b	$m_b(Lg)$	m_L	$M_b mod$
		O Volcán San Antonio. LP	Isla de La Palma				
M_b	M	I_máx_calc	I_máx_obs	Dur_perc	Dist_perc	N_obs_I	Referencias
				2	3	1	MA, CR, CS

Nº	EVID	Fecha	Hora	Error_hora	RMS	Latitud	Longitud
336		13/03/1939	04:15			28.483	-17.853
S_mayor	S_menor	Acimut	Profundidad	Error_prof	Nº_Datos	Nº_Esta	GAP
Dist_mín	Dist_máx	Epicentro	Zona_sísmica	m_b	$m_b(Lg)$	m_L	$M_b mod$
		O Volcán San Antonio. LP	Isla de La Palma				
M_b	M	I_máx_calc	I_máx_obs	Dur_perc	Dist_perc	N_obs_I	Referencias
				16	18	1	IGN, CS
Nº	EVID	Fecha	Hora	Error_hora	RMS	Latitud	Longitud
337		14/03/1939	18:10			28.483	-17.853
S_mayor	S_menor	Acimut	Profundidad	Error_prof	Nº_Datos	Nº_Esta	GAP
Dist_mín	Dist_máx	Epicentro	Zona_sísmica	m_b	$m_b(Lg)$	m_L	$M_b mod$
		O Volcán San Antonio. LP	Isla de La Palma				
M_b	M	I_máx_calc	I_máx_obs	Dur_perc	Dist_perc	N_obs_I	Referencias
				3	18	1	IGN, CS
Nº	EVID	Fecha	Hora	Error_hora	RMS	Latitud	Longitud
338		15/03/1939	22:30			28.483	-17.853
S_mayor	S_menor	Acimut	Profundidad	Error_prof	Nº_Datos	Nº_Esta	GAP
Dist_mín	Dist_máx	Epicentro	Zona_sísmica	m_b	$m_b(Lg)$	m_L	$M_b mod$
		O Volcán San Antonio. LP	Isla de La Palma				
M_b	M	I_máx_calc	I_máx_obs	Dur_perc	Dist_perc	N_obs_I	Referencias
				3	18	1	IGN, CS
Nº	EVID	Fecha	Hora	Error_hora	RMS	Latitud	Longitud
339		15/03/1939	22:31			28.483	-17.853
S_mayor	S_menor	Acimut	Profundidad	Error_prof	Nº_Datos	Nº_Esta	GAP
Dist_mín	Dist_máx	Epicentro	Zona_sísmica	m_b	$m_b(Lg)$	m_L	$M_b mod$
		O Volcán San Antonio. LP	Isla de La Palma				
M_b	M	I_máx_calc	I_máx_obs	Dur_perc	Dist_perc	N_obs_I	Referencias
				4	18	1	IGN, CS
Nº	EVID	Fecha	Hora	Error_hora	RMS	Latitud	Longitud
340		16/03/1939	03:15			28.483	-17.853
S_mayor	S_menor	Acimut	Profundidad	Error_prof	Nº_Datos	Nº_Esta	GAP
Dist_mín	Dist_máx	Epicentro	Zona_sísmica	m_b	$m_b(Lg)$	m_L	$M_b mod$
		O Volcán San Antonio. LP	Isla de La Palma				
M_b	M	I_máx_calc	I_máx_obs	Dur_perc	Dist_perc	N_obs_I	Referencias
				5	18	1	IGN, CS
Nº	EVID	Fecha	Hora	Error_hora	RMS	Latitud	Longitud
341		19/03/1939	02:15			28.483	-17.853
S_mayor	S_menor	Acimut	Profundidad	Error_prof	Nº_Datos	Nº_Esta	GAP
Dist_mín	Dist_máx	Epicentro	Zona_sísmica	m_b	$m_b(Lg)$	m_L	$M_b mod$
		O Volcán San Antonio. LP	Isla de La Palma				
M_b	M	I_máx_calc	I_máx_obs	Dur_perc	Dist_perc	N_obs_I	Referencias
				3	18	1	IGN, CS
Nº	EVID	Fecha	Hora	Error_hora	RMS	Latitud	Longitud
342		19/03/1939	02:40			28.483	-17.853
S_mayor	S_menor	Acimut	Profundidad	Error_prof	Nº_Datos	Nº_Esta	GAP
Dist_mín	Dist_máx	Epicentro	Zona_sísmica	m_b	$m_b(Lg)$	m_L	$M_b mod$
		O Volcán San Antonio. LP	Isla de La Palma				
M_b	M	I_máx_calc	I_máx_obs	Dur_perc	Dist_perc	N_obs_I	Referencias
				5	18	1	IGN, CS

N°	EVID	Fecha	Hora	Error_hora	RMS	Latitud	Longitud
343		19/03/1939	06:50			28.483	-17.853
S_mayor	S_menor	Acimut	Profundidad	Error_prof	N°_Datos	N°_Esta	GAP
Dist_mín	Dist_máx	Epicentro	Zona_sísmica	m_b	$m_b(Lg)$	m_L	$M_b mod$
		O Volcán San Antonio. LP	Isla de La Palma				
M_b	M	I_máx_calc	I_máx_obs	Dur_perc	Dist_perc	N_obs_I	Referencias
				1	18	1	IGN, CS
N°	EVID	Fecha	Hora	Error_hora	RMS	Latitud	Longitud
344		19/03/1939	07:08			28.483	-17.853
S_mayor	S_menor	Acimut	Profundidad	Error_prof	N°_Datos	N°_Esta	GAP
Dist_mín	Dist_máx	Epicentro	Zona_sísmica	m_b	$m_b(Lg)$	m_L	$M_b mod$
		O Volcán San Antonio. LP	Isla de La Palma				
M_b	M	I_máx_calc	I_máx_obs	Dur_perc	Dist_perc	N_obs_I	Referencias
				11	18	1	IGN, CS
N°	EVID	Fecha	Hora	Error_hora	RMS	Latitud	Longitud
345		19/03/1939	07:28			28.483	-17.853
S_mayor	S_menor	Acimut	Profundidad	Error_prof	N°_Datos	N°_Esta	GAP
Dist_mín	Dist_máx	Epicentro	Zona_sísmica	m_b	$m_b(Lg)$	m_L	$M_b mod$
		O Volcán San Antonio. LP	Isla de La Palma				
M_b	M	I_máx_calc	I_máx_obs	Dur_perc	Dist_perc	N_obs_I	Referencias
				8	18	1	IGN, CS
N°	EVID	Fecha	Hora	Error_hora	RMS	Latitud	Longitud
346		20/03/1939	02:20			28.483	-17.853
S_mayor	S_menor	Acimut	Profundidad	Error_prof	N°_Datos	N°_Esta	GAP
Dist_mín	Dist_máx	Epicentro	Zona_sísmica	m_b	$m_b(Lg)$	m_L	$M_b mod$
		O Volcán San Antonio. LP	Isla de La Palma				
M_b	M	I_máx_calc	I_máx_obs	Dur_perc	Dist_perc	N_obs_I	Referencias
				10	18	1	IGN, CS
N°	EVID	Fecha	Hora	Error_hora	RMS	Latitud	Longitud
347		20/03/1939	09:05			28.483	-17.853
S_mayor	S_menor	Acimut	Profundidad	Error_prof	N°_Datos	N°_Esta	GAP
Dist_mín	Dist_máx	Epicentro	Zona_sísmica	m_b	$m_b(Lg)$	m_L	$M_b mod$
		O Volcán San Antonio. LP	Isla de La Palma				
M_b	M	I_máx_calc	I_máx_obs	Dur_perc	Dist_perc	N_obs_I	Referencias
				2	18	1	IGN, CS
N°	EVID	Fecha	Hora	Error_hora	RMS	Latitud	Longitud
348		20/03/1939	09:22			28.483	-17.853
S_mayor	S_menor	Acimut	Profundidad	Error_prof	N°_Datos	N°_Esta	GAP
Dist_mín	Dist_máx	Epicentro	Zona_sísmica	m_b	$m_b(Lg)$	m_L	$M_b mod$
		O Volcán San Antonio. LP	Isla de La Palma				
M_b	M	I_máx_calc	I_máx_obs	Dur_perc	Dist_perc	N_obs_I	Referencias
				1	18	1	IGN, CS
N°	EVID	Fecha	Hora	Error_hora	RMS	Latitud	Longitud
349		20/03/1939	16:30			28.483	-17.853
S_mayor	S_menor	Acimut	Profundidad	Error_prof	N°_Datos	N°_Esta	GAP
Dist_mín	Dist_máx	Epicentro	Zona_sísmica	m_b	$m_b(Lg)$	m_L	$M_b mod$
		O Volcán San Antonio. LP	Isla de La Palma				
M_b	M	I_máx_calc	I_máx_obs	Dur_perc	Dist_perc	N_obs_I	Referencias
				8	18	1	IGN, CS

Nº	EVID	Fecha	Hora	Error_hora	RMS	Latitud	Longitud
350		20/03/1939	23:10			28.483	-17.853
S_mayor	S_menor	Acimut	Profundidad	Error_prof	Nº_Datos	Nº_Esta	GAP
Dist_mín	Dist_máx	Epicentro	Zona_sísmica	m_b	$m_b(Lg)$	m_L	$M_b mod$
		O Volcán San Antonio. LP	Isla de La Palma				
M_b	M	I_máx_calc	I_máx_obs	Dur_perc	Dist_perc	N_obs_I	Referencias
				7	18	1	IGN, CS
Nº	EVID	Fecha	Hora	Error_hora	RMS	Latitud	Longitud
351		21/03/1939	01:15			28.483	-17.853
S_mayor	S_menor	Acimut	Profundidad	Error_prof	Nº_Datos	Nº_Esta	GAP
Dist_mín	Dist_máx	Epicentro	Zona_sísmica	m_b	$m_b(Lg)$	m_L	$M_b mod$
		O Volcán San Antonio. LP	Isla de La Palma				
M_b	M	I_máx_calc	I_máx_obs	Dur_perc	Dist_perc	N_obs_I	Referencias
				7	18	1	IGN, CS
Nº	EVID	Fecha	Hora	Error_hora	RMS	Latitud	Longitud
352		21/03/1939	06:04			28.483	-17.853
S_mayor	S_menor	Acimut	Profundidad	Error_prof	Nº_Datos	Nº_Esta	GAP
Dist_mín	Dist_máx	Epicentro	Zona_sísmica	m_b	$m_b(Lg)$	m_L	$M_b mod$
		O Volcán San Antonio. LP	Isla de La Palma				
M_b	M	I_máx_calc	I_máx_obs	Dur_perc	Dist_perc	N_obs_I	Referencias
				11	18	1	IGN, CS
Nº	EVID	Fecha	Hora	Error_hora	RMS	Latitud	Longitud
353		21/03/1939	10:30			28.483	-17.853
S_mayor	S_menor	Acimut	Profundidad	Error_prof	Nº_Datos	Nº_Esta	GAP
Dist_mín	Dist_máx	Epicentro	Zona_sísmica	m_b	$m_b(Lg)$	m_L	$M_b mod$
		O Volcán San Antonio. LP	Isla de La Palma				
M_b	M	I_máx_calc	I_máx_obs	Dur_perc	Dist_perc	N_obs_I	Referencias
				17	18	1	IGN, CS
Nº	EVID	Fecha	Hora	Error_hora	RMS	Latitud	Longitud
354		21/03/1939	10:55			28.483	-17.853
S_mayor	S_menor	Acimut	Profundidad	Error_prof	Nº_Datos	Nº_Esta	GAP
Dist_mín	Dist_máx	Epicentro	Zona_sísmica	m_b	$m_b(Lg)$	m_L	$M_b mod$
		O Volcán San Antonio. LP	Isla de La Palma				
M_b	M	I_máx_calc	I_máx_obs	Dur_perc	Dist_perc	N_obs_I	Referencias
				1	18	1	IGN, CS
Nº	EVID	Fecha	Hora	Error_hora	RMS	Latitud	Longitud
355		21/03/1939	15:28			28.483	-17.853
S_mayor	S_menor	Acimut	Profundidad	Error_prof	Nº_Datos	Nº_Esta	GAP
Dist_mín	Dist_máx	Epicentro	Zona_sísmica	m_b	$m_b(Lg)$	m_L	$M_b mod$
		O Volcán San Antonio. LP	Isla de La Palma				
M_b	M	I_máx_calc	I_máx_obs	Dur_perc	Dist_perc	N_obs_I	Referencias
				19	18	1	IGN, CS
Nº	EVID	Fecha	Hora	Error_hora	RMS	Latitud	Longitud
356		21/03/1939	16:50			28.483	-17.853
S_mayor	S_menor	Acimut	Profundidad	Error_prof	Nº_Datos	Nº_Esta	GAP
Dist_mín	Dist_máx	Epicentro	Zona_sísmica	m_b	$m_b(Lg)$	m_L	$M_b mod$
		O Volcán San Antonio. LP	Isla de La Palma				
M_b	M	I_máx_calc	I_máx_obs	Dur_perc	Dist_perc	N_obs_I	Referencias
				5	18	1	IGN, CS

N°	EVID	Fecha	Hora	Error_hora	RMS	Latitud	Longitud
357		22/03/1939	01:05			28.483	-17.853
S_mayor	S_menor	Acimut	Profundidad	Error_prof	N°_Datos	N°_Esta	GAP
Dist_mín	Dist_máx	Epicentro	Zona_sísmica	m_b	$m_b(Lg)$	m_L	$M_b mod$
		O Volcán San Antonio. LP	Isla de La Palma				
M_b	M	I_máx_calc	I_máx_obs	Dur_perc	Dist_perc	N_obs_I	Referencias
				9	18	1	IGN, CS
N°	EVID	Fecha	Hora	Error_hora	RMS	Latitud	Longitud
358		22/03/1939	01:50			28.483	-17.853
S_mayor	S_menor	Acimut	Profundidad	Error_prof	N°_Datos	N°_Esta	GAP
Dist_mín	Dist_máx	Epicentro	Zona_sísmica	m_b	$m_b(Lg)$	m_L	$M_b mod$
		O Volcán San Antonio. LP	Isla de La Palma				
M_b	M	I_máx_calc	I_máx_obs	Dur_perc	Dist_perc	N_obs_I	Referencias
				8	18	1	IGN, CS
N°	EVID	Fecha	Hora	Error_hora	RMS	Latitud	Longitud
359		22/03/1939	04:15			28.483	-17.853
S_mayor	S_menor	Acimut	Profundidad	Error_prof	N°_Datos	N°_Esta	GAP
Dist_mín	Dist_máx	Epicentro	Zona_sísmica	m_b	$m_b(Lg)$	m_L	$M_b mod$
		O Volcán San Antonio. LP	Isla de La Palma				
M_b	M	I_máx_calc	I_máx_obs	Dur_perc	Dist_perc	N_obs_I	Referencias
				18	18	1	IGN, CS
N°	EVID	Fecha	Hora	Error_hora	RMS	Latitud	Longitud
360		22/03/1939	04:40			28.483	-17.853
S_mayor	S_menor	Acimut	Profundidad	Error_prof	N°_Datos	N°_Esta	GAP
Dist_mín	Dist_máx	Epicentro	Zona_sísmica	m_b	$m_b(Lg)$	m_L	$M_b mod$
		O Volcán San Antonio. LP	Isla de La Palma				
M_b	M	I_máx_calc	I_máx_obs	Dur_perc	Dist_perc	N_obs_I	Referencias
				8	18	1	IGN, CS
N°	EVID	Fecha	Hora	Error_hora	RMS	Latitud	Longitud
361		22/03/1939	13:00			28.483	-17.853
S_mayor	S_menor	Acimut	Profundidad	Error_prof	N°_Datos	N°_Esta	GAP
Dist_mín	Dist_máx	Epicentro	Zona_sísmica	m_b	$m_b(Lg)$	m_L	$M_b mod$
		O Volcán San Antonio. LP	Isla de La Palma				
M_b	M	I_máx_calc	I_máx_obs	Dur_perc	Dist_perc	N_obs_I	Referencias
				20	18	1	IGN, CS
N°	EVID	Fecha	Hora	Error_hora	RMS	Latitud	Longitud
362		22/03/1939	20:07			28.483	-17.853
S_mayor	S_menor	Acimut	Profundidad	Error_prof	N°_Datos	N°_Esta	GAP
Dist_mín	Dist_máx	Epicentro	Zona_sísmica	m_b	$m_b(Lg)$	m_L	$M_b mod$
		O Volcán San Antonio. LP	Isla de La Palma				
M_b	M	I_máx_calc	I_máx_obs	Dur_perc	Dist_perc	N_obs_I	Referencias
				4	18	1	IGN, CS
N°	EVID	Fecha	Hora	Error_hora	RMS	Latitud	Longitud
363		24/03/1939	04:55			28.483	-17.853
S_mayor	S_menor	Acimut	Profundidad	Error_prof	N°_Datos	N°_Esta	GAP
Dist_mín	Dist_máx	Epicentro	Zona_sísmica	m_b	$m_b(Lg)$	m_L	$M_b mod$
		O Volcán San Antonio. LP	Isla de La Palma				
M_b	M	I_máx_calc	I_máx_obs	Dur_perc	Dist_perc	N_obs_I	Referencias
				3	18	1	IGN, CS

Nº	EVID	Fecha	Hora	Error_hora	RMS	Latitud	Longitud
364		25/03/1939	02:05			28.483	-17.853
S_mayor	S_menor	Acimut	Profundidad	Error_prof	Nº_Datos	Nº_Esta	GAP
Dist_mín	Dist_máx	Epicentro	Zona_sísmica	m_b	$m_b(Lg)$	m_L	$M_b mod$
		O Volcán San Antonio. LP	Isla de La Palma				
M_b	M	I_máx_calc	I_máx_obs	Dur_perc	Dist_perc	N_obs_I	Referencias
				9	18	1	IGN, CS
Nº	EVID	Fecha	Hora	Error_hora	RMS	Latitud	Longitud
365		25/03/1939	05:10			28.483	-17.853
S_mayor	S_menor	Acimut	Profundidad	Error_prof	Nº_Datos	Nº_Esta	GAP
Dist_mín	Dist_máx	Epicentro	Zona_sísmica	m_b	$m_b(Lg)$	m_L	$M_b mod$
		O Volcán San Antonio. LP	Isla de La Palma				
M_b	M	I_máx_calc	I_máx_obs	Dur_perc	Dist_perc	N_obs_I	Referencias
				4	18	1	IGN, CS
Nº	EVID	Fecha	Hora	Error_hora	RMS	Latitud	Longitud
366		25/03/1939	10:15			28.483	-17.853
S_mayor	S_menor	Acimut	Profundidad	Error_prof	Nº_Datos	Nº_Esta	GAP
Dist_mín	Dist_máx	Epicentro	Zona_sísmica	m_b	$m_b(Lg)$	m_L	$M_b mod$
		O Volcán San Antonio. LP	Isla de La Palma				
M_b	M	I_máx_calc	I_máx_obs	Dur_perc	Dist_perc	N_obs_I	Referencias
				35	18	1	IGN, CS
Nº	EVID	Fecha	Hora	Error_hora	RMS	Latitud	Longitud
367		25/03/1939	14:00			28.483	-17.853
S_mayor	S_menor	Acimut	Profundidad	Error_prof	Nº_Datos	Nº_Esta	GAP
Dist_mín	Dist_máx	Epicentro	Zona_sísmica	m_b	$m_b(Lg)$	m_L	$M_b mod$
		O Volcán San Antonio. LP	Isla de La Palma				
M_b	M	I_máx_calc	I_máx_obs	Dur_perc	Dist_perc	N_obs_I	Referencias
				11	18	1	IGN, CS
Nº	EVID	Fecha	Hora	Error_hora	RMS	Latitud	Longitud
368		25/03/1939	22:35			28.483	-17.853
S_mayor	S_menor	Acimut	Profundidad	Error_prof	Nº_Datos	Nº_Esta	GAP
Dist_mín	Dist_máx	Epicentro	Zona_sísmica	m_b	$m_b(Lg)$	m_L	$M_b mod$
		O Volcán San Antonio. LP	Isla de La Palma				
M_b	M	I_máx_calc	I_máx_obs	Dur_perc	Dist_perc	N_obs_I	Referencias
				25	18	1	IGN, CS
Nº	EVID	Fecha	Hora	Error_hora	RMS	Latitud	Longitud
369	4379	25/03/1939	23:00			28.483	-17.853
S_mayor	S_menor	Acimut	Profundidad	Error_prof	Nº_Datos	Nº_Esta	GAP
Dist_mín	Dist_máx	Epicentro	Zona_sísmica	m_b	$m_b(Lg)$	m_L	$M_b mod$
		O Volcán San Antonio. LP	Isla de La Palma				
M_b	M	I_máx_calc	I_máx_obs	Dur_perc	Dist_perc	N_obs_I	Referencias
	4.7	6.0	5	30	18	2	IGN, CS
Nº	EVID	Fecha	Hora	Error_hora	RMS	Latitud	Longitud
370		26/03/1939	05:05			28.483	-17.853
S_mayor	S_menor	Acimut	Profundidad	Error_prof	Nº_Datos	Nº_Esta	GAP
Dist_mín	Dist_máx	Epicentro	Zona_sísmica	m_b	$m_b(Lg)$	m_L	$M_b mod$
		O Volcán San Antonio. LP	Isla de La Palma				
M_b	M	I_máx_calc	I_máx_obs	Dur_perc	Dist_perc	N_obs_I	Referencias
				8	18	1	IGN, CS

N°	EVID	Fecha	Hora	Error_hora	RMS	Latitud	Longitud
371		26/03/1939	06:45			28.483	-17.853
S_mayor	S_menor	Acimut	Profundidad	Error_prof	N°_Datos	N°_Esta	GAP
Dist_mín	Dist_máx	Epicentro	Zona_sísmica	m_b	$m_b(Lg)$	m_L	$M_b mod$
		O Volcán San Antonio. LP	Isla de La Palma				
M_b	M	I_máx_calc	I_máx_obs	Dur_perc	Dist_perc	N_obs_I	Referencias
				5	18	1	IGN, CS
N°	EVID	Fecha	Hora	Error_hora	RMS	Latitud	Longitud
372		26/03/1939	06:55			28.483	-17.853
S_mayor	S_menor	Acimut	Profundidad	Error_prof	N°_Datos	N°_Esta	GAP
Dist_mín	Dist_máx	Epicentro	Zona_sísmica	m_b	$m_b(Lg)$	m_L	$M_b mod$
		O Volcán San Antonio. LP	Isla de La Palma				
M_b	M	I_máx_calc	I_máx_obs	Dur_perc	Dist_perc	N_obs_I	Referencias
				2	18	1	IGN, CS
N°	EVID	Fecha	Hora	Error_hora	RMS	Latitud	Longitud
373		27/03/1939	05:48			28.483	-17.853
S_mayor	S_menor	Acimut	Profundidad	Error_prof	N°_Datos	N°_Esta	GAP
Dist_mín	Dist_máx	Epicentro	Zona_sísmica	m_b	$m_b(Lg)$	m_L	$M_b mod$
		O Volcán San Antonio. LP	Isla de La Palma				
M_b	M	I_máx_calc	I_máx_obs	Dur_perc	Dist_perc	N_obs_I	Referencias
				5	18	1	IGN, CS
N°	EVID	Fecha	Hora	Error_hora	RMS	Latitud	Longitud
374		27/03/1939	08:45			28.483	-17.853
S_mayor	S_menor	Acimut	Profundidad	Error_prof	N°_Datos	N°_Esta	GAP
Dist_mín	Dist_máx	Epicentro	Zona_sísmica	m_b	$m_b(Lg)$	m_L	$M_b mod$
		O Volcán San Antonio. LP	Isla de La Palma				
M_b	M	I_máx_calc	I_máx_obs	Dur_perc	Dist_perc	N_obs_I	Referencias
				3	18	1	IGN, CS
N°	EVID	Fecha	Hora	Error_hora	RMS	Latitud	Longitud
375		27/03/1939	11:30			28.483	-17.853
S_mayor	S_menor	Acimut	Profundidad	Error_prof	N°_Datos	N°_Esta	GAP
Dist_mín	Dist_máx	Epicentro	Zona_sísmica	m_b	$m_b(Lg)$	m_L	$M_b mod$
		O Volcán San Antonio. LP	Isla de La Palma				
M_b	M	I_máx_calc	I_máx_obs	Dur_perc	Dist_perc	N_obs_I	Referencias
				4	18	1	IGN, CS
N°	EVID	Fecha	Hora	Error_hora	RMS	Latitud	Longitud
376		27/03/1939	15:52			28.483	-17.853
S_mayor	S_menor	Acimut	Profundidad	Error_prof	N°_Datos	N°_Esta	GAP
Dist_mín	Dist_máx	Epicentro	Zona_sísmica	m_b	$m_b(Lg)$	m_L	$M_b mod$
		O Volcán San Antonio. LP	Isla de La Palma				
M_b	M	I_máx_calc	I_máx_obs	Dur_perc	Dist_perc	N_obs_I	Referencias
				12	18	1	IGN, CS
N°	EVID	Fecha	Hora	Error_hora	RMS	Latitud	Longitud
377		28/03/1939	04:40			28.483	-17.853
S_mayor	S_menor	Acimut	Profundidad	Error_prof	N°_Datos	N°_Esta	GAP
Dist_mín	Dist_máx	Epicentro	Zona_sísmica	m_b	$m_b(Lg)$	m_L	$M_b mod$
		O Volcán San Antonio. LP	Isla de La Palma				
M_b	M	I_máx_calc	I_máx_obs	Dur_perc	Dist_perc	N_obs_I	Referencias
				3	18	1	IGN, CS

Nº	EVID	Fecha	Hora	Error_hora	RMS	Latitud	Longitud
378		29/03/1939	03:00			28.483	-17.853
S_mayor	S_menor	Acimut	Profundidad	Error_prof	Nº_Datos	Nº_Esta	GAP
Dist_mín	Dist_máx	Epicentro	Zona_sísmica	m_b	$m_b(Lg)$	m_L	$M_b mod$
		O Volcán San Antonio. LP	Isla de La Palma				
M_b	M	I_máx_calc	I_máx_obs	Dur_perc	Dist_perc	N_obs_I	Referencias
				4	18	1	IGN, CS
Nº	EVID	Fecha	Hora	Error_hora	RMS	Latitud	Longitud
379		29/03/1939	11:35			28.483	-17.853
S_mayor	S_menor	Acimut	Profundidad	Error_prof	Nº_Datos	Nº_Esta	GAP
Dist_mín	Dist_máx	Epicentro	Zona_sísmica	m_b	$m_b(Lg)$	m_L	$M_b mod$
		O Volcán San Antonio. LP	Isla de La Palma				
M_b	M	I_máx_calc	I_máx_obs	Dur_perc	Dist_perc	N_obs_I	Referencias
				2	18	1	IGN, CS
Nº	EVID	Fecha	Hora	Error_hora	RMS	Latitud	Longitud
380		30/03/1939	01:50			28.483	-17.853
S_mayor	S_menor	Acimut	Profundidad	Error_prof	Nº_Datos	Nº_Esta	GAP
Dist_mín	Dist_máx	Epicentro	Zona_sísmica	m_b	$m_b(Lg)$	m_L	$M_b mod$
		O Volcán San Antonio. LP	Isla de La Palma				
M_b	M	I_máx_calc	I_máx_obs	Dur_perc	Dist_perc	N_obs_I	Referencias
				3	18	1	IGN, CS
Nº	EVID	Fecha	Hora	Error_hora	RMS	Latitud	Longitud
381		30/03/1939	22:13			28.483	-17.853
S_mayor	S_menor	Acimut	Profundidad	Error_prof	Nº_Datos	Nº_Esta	GAP
Dist_mín	Dist_máx	Epicentro	Zona_sísmica	m_b	$m_b(Lg)$	m_L	$M_b mod$
		O Volcán San Antonio. LP	Isla de La Palma				
M_b	M	I_máx_calc	I_máx_obs	Dur_perc	Dist_perc	N_obs_I	Referencias
				8	18	1	IGN, CS
Nº	EVID	Fecha	Hora	Error_hora	RMS	Latitud	Longitud
382		31/03/1939	06:18			28.483	-17.853
S_mayor	S_menor	Acimut	Profundidad	Error_prof	Nº_Datos	Nº_Esta	GAP
Dist_mín	Dist_máx	Epicentro	Zona_sísmica	m_b	$m_b(Lg)$	m_L	$M_b mod$
		O Volcán San Antonio. LP	Isla de La Palma				
M_b	M	I_máx_calc	I_máx_obs	Dur_perc	Dist_perc	N_obs_I	Referencias
				2	18	1	IGN, CS
Nº	EVID	Fecha	Hora	Error_hora	RMS	Latitud	Longitud
383		31/03/1939	13:20			28.483	-17.853
S_mayor	S_menor	Acimut	Profundidad	Error_prof	Nº_Datos	Nº_Esta	GAP
Dist_mín	Dist_máx	Epicentro	Zona_sísmica	m_b	$m_b(Lg)$	m_L	$M_b mod$
		O Volcán San Antonio. LP	Isla de La Palma				
M_b	M	I_máx_calc	I_máx_obs	Dur_perc	Dist_perc	N_obs_I	Referencias
				15	18	1	IGN, CS
Nº	EVID	Fecha	Hora	Error_hora	RMS	Latitud	Longitud
384		31/03/1939	17:45			28.483	-17.853
S_mayor	S_menor	Acimut	Profundidad	Error_prof	Nº_Datos	Nº_Esta	GAP
Dist_mín	Dist_máx	Epicentro	Zona_sísmica	m_b	$m_b(Lg)$	m_L	$M_b mod$
		O Volcán San Antonio. LP	Isla de La Palma				
M_b	M	I_máx_calc	I_máx_obs	Dur_perc	Dist_perc	N_obs_I	Referencias
				4	18	1	IGN, CS

N°	EVID	Fecha	Hora	Error_hora	RMS	Latitud	Longitud
385		31/03/1939	20:00			28.483	-17.853
S_mayor	S_menor	Acimut	Profundidad	Error_prof	N°_Datos	N°_Esta	GAP
Dist_mín	Dist_máx	Epicentro	Zona_sísmica	m_b	$m_b(Lg)$	m_L	$M_b mod$
		O Volcán San Antonio. LP	Isla de La Palma				
M_b	M	I_máx_calc	I_máx_obs	Dur_perc	Dist_perc	N_obs_I	Referencias
				4	18	1	IGN, CS
N°	EVID	Fecha	Hora	Error_hora	RMS	Latitud	Longitud
386		31/03/1939	20:30			28.483	-17.853
S_mayor	S_menor	Acimut	Profundidad	Error_prof	N°_Datos	N°_Esta	GAP
Dist_mín	Dist_máx	Epicentro	Zona_sísmica	m_b	$m_b(Lg)$	m_L	$M_b mod$
		O Volcán San Antonio. LP	Isla de La Palma				
M_b	M	I_máx_calc	I_máx_obs	Dur_perc	Dist_perc	N_obs_I	Referencias
				3	18	1	IGN, CS
N°	EVID	Fecha	Hora	Error_hora	RMS	Latitud	Longitud
387		01/04/1939	02:30			28.483	-17.853
S_mayor	S_menor	Acimut	Profundidad	Error_prof	N°_Datos	N°_Esta	GAP
Dist_mín	Dist_máx	Epicentro	Zona_sísmica	m_b	$m_b(Lg)$	m_L	$M_b mod$
		O Volcán San Antonio. LP	Isla de La Palma				
M_b	M	I_máx_calc	I_máx_obs	Dur_perc	Dist_perc	N_obs_I	Referencias
				2	18	1	IGN, CS
N°	EVID	Fecha	Hora	Error_hora	RMS	Latitud	Longitud
388		01/04/1939	04:45			28.483	-17.853
S_mayor	S_menor	Acimut	Profundidad	Error_prof	N°_Datos	N°_Esta	GAP
Dist_mín	Dist_máx	Epicentro	Zona_sísmica	m_b	$m_b(Lg)$	m_L	$M_b mod$
		O Volcán San Antonio. LP	Isla de La Palma				
M_b	M	I_máx_calc	I_máx_obs	Dur_perc	Dist_perc	N_obs_I	Referencias
				1	18	1	IGN, CS
N°	EVID	Fecha	Hora	Error_hora	RMS	Latitud	Longitud
389		01/04/1939	09:25			28.483	-17.853
S_mayor	S_menor	Acimut	Profundidad	Error_prof	N°_Datos	N°_Esta	GAP
Dist_mín	Dist_máx	Epicentro	Zona_sísmica	m_b	$m_b(Lg)$	m_L	$M_b mod$
		O Volcán San Antonio. LP	Isla de La Palma				
M_b	M	I_máx_calc	I_máx_obs	Dur_perc	Dist_perc	N_obs_I	Referencias
				3	18	1	IGN, CS
N°	EVID	Fecha	Hora	Error_hora	RMS	Latitud	Longitud
390		01/04/1939	20:52			28.483	-17.853
S_mayor	S_menor	Acimut	Profundidad	Error_prof	N°_Datos	N°_Esta	GAP
Dist_mín	Dist_máx	Epicentro	Zona_sísmica	m_b	$m_b(Lg)$	m_L	$M_b mod$
		O Volcán San Antonio. LP	Isla de La Palma				
M_b	M	I_máx_calc	I_máx_obs	Dur_perc	Dist_perc	N_obs_I	Referencias
				1	18	1	IGN, CS
N°	EVID	Fecha	Hora	Error_hora	RMS	Latitud	Longitud
391		01/04/1939	21:30			28.483	-17.853
S_mayor	S_menor	Acimut	Profundidad	Error_prof	N°_Datos	N°_Esta	GAP
Dist_mín	Dist_máx	Epicentro	Zona_sísmica	m_b	$m_b(Lg)$	m_L	$M_b mod$
		O Volcán San Antonio. LP	Isla de La Palma				
M_b	M	I_máx_calc	I_máx_obs	Dur_perc	Dist_perc	N_obs_I	Referencias
				4	18	1	IGN, CS

Nº	EVID	Fecha	Hora	Error_hora	RMS	Latitud	Longitud
392	4383	02/04/1939	00:05			28.483	-17.853
S_mayor	S_menor	Acimut	Profundidad	Error_prof	Nº_Datos	Nº_Esta	GAP
Dist_mín	Dist_máx	Epicentro	Zona_sísmica	m_b	$m_b(Lg)$	m_L	$M_b mod$
		O Volcán San Antonio. LP	Isla de La Palma				
M_b	M	I_máx_calc	I_máx_obs	Dur_perc	Dist_perc	N_obs_I	Referencias
	4.2	5.1		4	18	1	IGN, CS
Nº	EVID	Fecha	Hora	Error_hora	RMS	Latitud	Longitud
393		02/04/1939	02:15			28.483	-17.853
S_mayor	S_menor	Acimut	Profundidad	Error_prof	Nº_Datos	Nº_Esta	GAP
Dist_mín	Dist_máx	Epicentro	Zona_sísmica	m_b	$m_b(Lg)$	m_L	$M_b mod$
		O Volcán San Antonio. LP	Isla de La Palma				
M_b	M	I_máx_calc	I_máx_obs	Dur_perc	Dist_perc	N_obs_I	Referencias
				6	18	1	IGN, CS
Nº	EVID	Fecha	Hora	Error_hora	RMS	Latitud	Longitud
394		02/04/1939	10:00			28.483	-17.853
S_mayor	S_menor	Acimut	Profundidad	Error_prof	Nº_Datos	Nº_Esta	GAP
Dist_mín	Dist_máx	Epicentro	Zona_sísmica	m_b	$m_b(Lg)$	m_L	$M_b mod$
		O Volcán San Antonio. LP	Isla de La Palma				
M_b	M	I_máx_calc	I_máx_obs	Dur_perc	Dist_perc	N_obs_I	Referencias
				3	18	1	IGN, CS
Nº	EVID	Fecha	Hora	Error_hora	RMS	Latitud	Longitud
395		02/04/1939	10:08			28.483	-17.853
S_mayor	S_menor	Acimut	Profundidad	Error_prof	Nº_Datos	Nº_Esta	GAP
Dist_mín	Dist_máx	Epicentro	Zona_sísmica	m_b	$m_b(Lg)$	m_L	$M_b mod$
		O Volcán San Antonio. LP	Isla de La Palma				
M_b	M	I_máx_calc	I_máx_obs	Dur_perc	Dist_perc	N_obs_I	Referencias
					18	1	IGN, CS
Nº	EVID	Fecha	Hora	Error_hora	RMS	Latitud	Longitud
396	4589	03/12/1943	18:15			28.316	-14.106
S_mayor	S_menor	Acimut	Profundidad	Error_prof	Nº_Datos	Nº_Esta	GAP
Dist_mín	Dist_máx	Epicentro	Zona_sísmica	m_b	$m_b(Lg)$	m_L	$M_b mod$
		Pájara	Isla de Fuerteventura				
M_b	M	I_máx_calc	I_máx_obs	Dur_perc	Dist_perc	N_obs_I	Referencias
	3.2	3.6	3		4	1	IGN, MM, MO, CS
Nº	EVID	Fecha	Hora	Error_hora	RMS	Latitud	Longitud
397	4677	08/02/1946	21:10			28.35	-14.12
S_mayor	S_menor	Acimut	Profundidad	Error_prof	Nº_Datos	Nº_Esta	GAP
Dist_mín	Dist_máx	Epicentro	Zona_sísmica	m_b	$m_b(Lg)$	m_L	$M_b mod$
		Pájara	Isla de Fuerteventura				
M_b	M	I_máx_calc	I_máx_obs	Dur_perc	Dist_perc	N_obs_I	Referencias
	3.1	3.4	3		4	1	IGN, MU, MM, MO, CS
Nº	EVID	Fecha	Hora	Error_hora	RMS	Latitud	Longitud
398	4686	18/05/1946				29.060	-13.558
S_mayor	S_menor	Acimut	Profundidad	Error_prof	Nº_Datos	Nº_Esta	GAP
Dist_mín	Dist_máx	Epicentro	Zona_sísmica	m_b	$m_b(Lg)$	m_L	$M_b mod$
		Teguise	Isla de Lanzarote				
M_b	M	I_máx_calc	I_máx_obs	Dur_perc	Dist_perc	N_obs_I	Referencias
	3.6	4.3	4		1	1	IGN, MU, MM, MO, CS

N°	EVID	Fecha	Hora	Error_hora	RMS	Latitud	Longitud
399	4725	23/01/1947	09:52:29.00			28.27	-16.08
S_mayor	S_menor	Acimut	Profundidad	Error_prof	N°_Datos	N°_Esta	GAP
Dist_mín	Dist_máx	Epicentro	Zona_sísmica	m_b	$m_b(Lg)$	m_L	$M_b mod$
		E Puertito de Güimar.TF	Zona atlántica Tenerife-Gran Canaria				
M_b	M	I_máx_calc	I_máx_obs	Dur_perc	Dist_perc	N_obs_I	Referencias
	4.3	5.3		20	65	6+	IGN, OE, KA, MU, MO, MM, CS
N°	EVID	Fecha	Hora	Error_hora	RMS	Latitud	Longitud
400		23/01/1947	20:00			28.27	-16.08
S_mayor	S_menor	Acimut	Profundidad	Error_prof	N°_Datos	N°_Esta	GAP
Dist_mín	Dist_máx	Epicentro	Zona_sísmica	m_b	$m_b(Lg)$	m_L	$M_b mod$
		E Puertito de Güimar.TF	Zona atlántica Tenerife-Gran Canaria				
M_b	M	I_máx_calc	I_máx_obs	Dur_perc	Dist_perc	N_obs_I	Referencias
					26	1+	CS
N°	EVID	Fecha	Hora	Error_hora	RMS	Latitud	Longitud
401		23/01/1947	22:00			28.27	-16.08
S_mayor	S_menor	Acimut	Profundidad	Error_prof	N°_Datos	N°_Esta	GAP
Dist_mín	Dist_máx	Epicentro	Zona_sísmica	m_b	$m_b(Lg)$	m_L	$M_b mod$
		E Puertito de Güimar.TF	Zona atlántica Tenerife-Gran Canaria				
M_b	M	I_máx_calc	I_máx_obs	Dur_perc	Dist_perc	N_obs_I	Referencias
	4.4	5.5		20	57	2	CS
N°	EVID	Fecha	Hora	Error_hora	RMS	Latitud	Longitud
402		07/05/1947	13:00			28.429	-16.150
S_mayor	S_menor	Acimut	Profundidad	Error_prof	N°_Datos	N°_Esta	GAP
Dist_mín	Dist_máx	Epicentro	Zona_sísmica	m_b	$m_b(Lg)$	m_L	$M_b mod$
		E Santa Cruz de Tenerife	Zona atlántica Tenerife-Gran Canaria				
M_b	M	I_máx_calc	I_máx_obs	Dur_perc	Dist_perc	N_obs_I	Referencias
	4.7	5.9	5		10	1+	IGN, MU, MM, MO, CS
N°	EVID	Fecha	Hora	Error_hora	RMS	Latitud	Longitud
403		25/03/1949				28.559	-17.837
S_mayor	S_menor	Acimut	Profundidad	Error_prof	N°_Datos	N°_Esta	GAP
Dist_mín	Dist_máx	Epicentro	Zona_sísmica	m_b	$m_b(Lg)$	m_L	$M_b mod$
		E de Jedey.LP	Isla de La Palma				
M_b	M	I_máx_calc	I_máx_obs	Dur_perc	Dist_perc	N_obs_I	Referencias
	4.9	6.3	5		7	1	IGN, MM, MO, CS
N°	EVID	Fecha	Hora	Error_hora	RMS	Latitud	Longitud
404	4844	21/06/1949				28.574	-17.838
S_mayor	S_menor	Acimut	Profundidad	Error_prof	N°_Datos	N°_Esta	GAP
Dist_mín	Dist_máx	Epicentro	Zona_sísmica	m_b	$m_b(Lg)$	m_L	$M_b mod$
		E de Las Manchas.LP	Isla de La Palma				
M_b	M	I_máx_calc	I_máx_obs	Dur_perc	Dist_perc	N_obs_I	Referencias
					9	1	IGN, RB, MU, MM, CR, CS
N°	EVID	Fecha	Hora	Error_hora	RMS	Latitud	Longitud
405	4845	23/06/1949				28.574	-17.838
S_mayor	S_menor	Acimut	Profundidad	Error_prof	N°_Datos	N°_Esta	GAP
Dist_mín	Dist_máx	Epicentro	Zona_sísmica	m_b	$m_b(Lg)$	m_L	$M_b mod$
		E de Las Manchas.LP	Isla de La Palma				
M_b	M	I_máx_calc	I_máx_obs	Dur_perc	Dist_perc	N_obs_I	Referencias
					9	1	IGN, RB, MU, MM, CR, CS

Nº	EVID	Fecha	Hora	Error_hora	RMS	Latitud	Longitud
406		24/06/1949	Madrugada			28.574	-17.838
S_mayor	S_menor	Acimut	Profundidad	Error_prof	Nº_Datos	Nº_Esta	GAP
Dist_mín	Dist_máx	Epicentro	Zona_sísmica	m_b	$m_b(Lg)$	m_L	$M_b mod$
		Volcán Duraznero	Isla de La Palma				
M_b	M	I_máx_calc	I_máx_obs	Dur_perc	Dist_perc	N_obs_I	Referencias
					9	6+	RB, MA, CR, CS
Nº	EVID	Fecha	Hora	Error_hora	RMS	Latitud	Longitud
407	4846	24/06/1949	08:30			28.574	-17.838
S_mayor	S_menor	Acimut	Profundidad	Error_prof	Nº_Datos	Nº_Esta	GAP
Dist_mín	Dist_máx	Epicentro	Zona_sísmica	m_b	$m_b(Lg)$	m_L	$M_b mod$
		Volcán Duraznero	Isla de La Palma				
M_b	M	I_máx_calc	I_máx_obs	Dur_perc	Dist_perc	N_obs_I	Referencias
							IGN, RB, MA, MM, CR, CS
Nº	EVID	Fecha	Hora	Error_hora	RMS	Latitud	Longitud
408		24/06/1949	11:00			28.574	-17.838
S_mayor	S_menor	Acimut	Profundidad	Error_prof	Nº_Datos	Nº_Esta	GAP
Dist_mín	Dist_máx	Epicentro	Zona_sísmica	m_b	$m_b(Lg)$	m_L	$M_b mod$
		Volcán Duraznero	Isla de La Palma				
M_b	M	I_máx_calc	I_máx_obs	Dur_perc	Dist_perc	N_obs_I	Referencias
							RB, MA
Nº	EVID	Fecha	Hora	Error_hora	RMS	Latitud	Longitud
409		24/06/1949	Noche			28.574	-17.838
S_mayor	S_menor	Acimut	Profundidad	Error_prof	Nº_Datos	Nº_Esta	GAP
Dist_mín	Dist_máx	Epicentro	Zona_sísmica	m_b	$m_b(Lg)$	m_L	$M_b mod$
		Volcán Duraznero	Isla de La Palma				
M_b	M	I_máx_calc	I_máx_obs	Dur_perc	Dist_perc	N_obs_I	Referencias
	3.8	4.6	4		9	2	CS
Nº	EVID	Fecha	Hora	Error_hora	RMS	Latitud	Longitud
410	4847	25/06/1949	Mañana			28.574	-17.838
S_mayor	S_menor	Acimut	Profundidad	Error_prof	Nº_Datos	Nº_Esta	GAP
Dist_mín	Dist_máx	Epicentro	Zona_sísmica	m_b	$m_b(Lg)$	m_L	$M_b mod$
		Volcán Duraznero	Isla de La Palma				
M_b	M	I_máx_calc	I_máx_obs	Dur_perc	Dist_perc	N_obs_I	Referencias
	3.8	4.6	3		10	4+	IGN, BO, RB, MA, MM, MO, CR, CS
Nº	EVID	Fecha	Hora	Error_hora	RMS	Latitud	Longitud
411		25/06/1949	Tarde			28.574	-17.838
S_mayor	S_menor	Acimut	Profundidad	Error_prof	Nº_Datos	Nº_Esta	GAP
Dist_mín	Dist_máx	Epicentro	Zona_sísmica	m_b	$m_b(Lg)$	m_L	$M_b mod$
		Volcán Duraznero	Isla de La Palma				
M_b	M	I_máx_calc	I_máx_obs	Dur_perc	Dist_perc	N_obs_I	Referencias
							MA, CR
Nº	EVID	Fecha	Hora	Error_hora	RMS	Latitud	Longitud
412	4848	26/06/1949	01:15			28.574	-17.838
S_mayor	S_menor	Acimut	Profundidad	Error_prof	Nº_Datos	Nº_Esta	GAP
Dist_mín	Dist_máx	Epicentro	Zona_sísmica	m_b	$m_b(Lg)$	m_L	$M_b mod$
		Volcán Duraznero	Isla de La Palma				
M_b	M	I_máx_calc	I_máx_obs	Dur_perc	Dist_perc	N_obs_I	Referencias
					10	2+	MA, MO, CR, CS

N°	EVID	Fecha	Hora	Error_hora	RMS	Latitud	Longitud
413	4849	26/06/1949	14:30			28.574	-17.838
S_mayor	S_menor	Acimut	Profundidad	Error_prof	N°_Datos	N°_Esta	GAP
Dist_mín	Dist_máx	Epicentro	Zona_sísmica	m_b	$m_b(Lg)$	m_L	$M_b mod$
		Volcán Duraznero	Isla de La Palma				
M_b	M	I_máx_calc	I_máx_obs	Dur_perc	Dist_perc	N_obs_I	Referencias
	4.8	6.1	5		5	1+	IGN, MA, MM, MO, CR, CS
N°	EVID	Fecha	Hora	Error_hora	RMS	Latitud	Longitud
414	4850	27/06/1949				28.574	-17.838
S_mayor	S_menor	Acimut	Profundidad	Error_prof	N°_Datos	N°_Esta	GAP
Dist_mín	Dist_máx	Epicentro	Zona_sísmica	m_b	$m_b(Lg)$	m_L	$M_b mod$
		Volcán Duraznero	Isla de La Palma				
M_b	M	I_máx_calc	I_máx_obs	Dur_perc	Dist_perc	N_obs_I	Referencias
	4.8	6.1	5		10	3+	IGN, MA, MM, MO, CR, CS
N°	EVID	Fecha	Hora	Error_hora	RMS	Latitud	Longitud
415	4851	28/06/1949				28.574	-17.838
S_mayor	S_menor	Acimut	Profundidad	Error_prof	N°_Datos	N°_Esta	GAP
Dist_mín	Dist_máx	Epicentro	Zona_sísmica	m_b	$m_b(Lg)$	m_L	$M_b mod$
		Volcán Duraznero	Isla de La Palma				
M_b	M	I_máx_calc	I_máx_obs	Dur_perc	Dist_perc	N_obs_I	Referencias
					5	1+	CS
N°	EVID	Fecha	Hora	Error_hora	RMS	Latitud	Longitud
416		28/06/1949	18:15			28.574	-17.838
S_mayor	S_menor	Acimut	Profundidad	Error_prof	N°_Datos	N°_Esta	GAP
Dist_mín	Dist_máx	Epicentro	Zona_sísmica	m_b	$m_b(Lg)$	m_L	$M_b mod$
		Volcán Duraznero	Isla de La Palma				
M_b	M	I_máx_calc	I_máx_obs	Dur_perc	Dist_perc	N_obs_I	Referencias
					14	3+	MA, CR, CS
N°	EVID	Fecha	Hora	Error_hora	RMS	Latitud	Longitud
417		28/06/1949	21:00			28.574	-17.838
S_mayor	S_menor	Acimut	Profundidad	Error_prof	N°_Datos	N°_Esta	GAP
Dist_mín	Dist_máx	Epicentro	Zona_sísmica	m_b	$m_b(Lg)$	m_L	$M_b mod$
		Volcán Duraznero	Isla de La Palma				
M_b	M	I_máx_calc	I_máx_obs	Dur_perc	Dist_perc	N_obs_I	Referencias
	4.0	4.8	4		5	2+	MA, CR
N°	EVID	Fecha	Hora	Error_hora	RMS	Latitud	Longitud
418	4852	29/06/1949	03:30			28.574	-17.838
S_mayor	S_menor	Acimut	Profundidad	Error_prof	N°_Datos	N°_Esta	GAP
Dist_mín	Dist_máx	Epicentro	Zona_sísmica	m_b	$m_b(Lg)$	m_L	$M_b mod$
		Volcán Duraznero	Isla de La Palma				
M_b	M	I_máx_calc	I_máx_obs	Dur_perc	Dist_perc	N_obs_I	Referencias
	5.4	7.1	6.5		5	2+	IGN, RB, MA, MM, MO, CR, CS
N°	EVID	Fecha	Hora	Error_hora	RMS	Latitud	Longitud
419		29/06/1949	22:00			28.574	-17.838
S_mayor	S_menor	Acimut	Profundidad	Error_prof	N°_Datos	N°_Esta	GAP
Dist_mín	Dist_máx	Epicentro	Zona_sísmica	m_b	$m_b(Lg)$	m_L	$M_b mod$
		Volcán Duraznero	Isla de La Palma				
M_b	M	I_máx_calc	I_máx_obs	Dur_perc	Dist_perc	N_obs_I	Referencias
					5		MA, CR, CS

Nº	EVID	Fecha	Hora	Error_hora	RMS	Latitud	Longitud
420	4853	30/07/1949				28.574	-17.838
S_mayor	S_menor	Acimut	Profundidad	Error_prof	Nº_Datos	Nº_Esta	GAP
Dist_mín	Dist_máx	Epicentro	Zona_sísmica	m_b	$m_b(Lg)$	m_L	$M_b mod$
		Volcán Duraznero	Isla de La Palma				
M_b	M	I_máx_calc	I_máx_obs	Dur_perc	Dist_perc	N_obs_I	Referencias
					10	2+	IGN, RB, MA, MM, MO, CR, CS
Nº	EVID	Fecha	Hora	Error_hora	RMS	Latitud	Longitud
421		01/07/1949				28.574	-17.838
S_mayor	S_menor	Acimut	Profundidad	Error_prof	Nº_Datos	Nº_Esta	GAP
Dist_mín	Dist_máx	Epicentro	Zona_sísmica	m_b	$m_b(Lg)$	m_L	$M_b mod$
		Volcán Duraznero	Isla de La Palma				
M_b	M	I_máx_calc	I_máx_obs	Dur_perc	Dist_perc	N_obs_I	Referencias
					5	1	MA, CR, CS
Nº	EVID	Fecha	Hora	Error_hora	RMS	Latitud	Longitud
422	4854	01/07/1949	18:40			28.574	-17.838
S_mayor	S_menor	Acimut	Profundidad	Error_prof	Nº_Datos	Nº_Esta	GAP
Dist_mín	Dist_máx	Epicentro	Zona_sísmica	m_b	$m_b(Lg)$	m_L	$M_b mod$
		Volcán Duraznero	Isla de La Palma				
M_b	M	I_máx_calc	I_máx_obs	Dur_perc	Dist_perc	N_obs_I	Referencias
					14	4+	IGN, RB, MA, MM, MO, CR, CS
Nº	EVID	Fecha	Hora	Error_hora	RMS	Latitud	Longitud
423	4856	02/07/1949	09:00			28.574	-17.838
S_mayor	S_menor	Acimut	Profundidad	Error_prof	Nº_Datos	Nº_Esta	GAP
Dist_mín	Dist_máx	Epicentro	Zona_sísmica	m_b	$m_b(Lg)$	m_L	$M_b mod$
		Volcán Duraznero	Isla de La Palma				
M_b	M	I_máx_calc	I_máx_obs	Dur_perc	Dist_perc	N_obs_I	Referencias
	5.9	7.8	7	20	5	+	IGN, RB, MA, MU, MM, MO, CR, CS
Nº	EVID	Fecha	Hora	Error_hora	RMS	Latitud	Longitud
424		02/07/1949	21:05			28.574	-17.838
S_mayor	S_menor	Acimut	Profundidad	Error_prof	Nº_Datos	Nº_Esta	GAP
Dist_mín	Dist_máx	Epicentro	Zona_sísmica	m_b	$m_b(Lg)$	m_L	$M_b mod$
		Volcán Duraznero	Isla de La Palma				
M_b	M	I_máx_calc	I_máx_obs	Dur_perc	Dist_perc	N_obs_I	Referencias
	5.4	7.1	6	10	8	5+	RB, MA, CR, CS
Nº	EVID	Fecha	Hora	Error_hora	RMS	Latitud	Longitud
425		03/07/1949	16:30			28.574	-17.838
S_mayor	S_menor	Acimut	Profundidad	Error_prof	Nº_Datos	Nº_Esta	GAP
Dist_mín	Dist_máx	Epicentro	Zona_sísmica	m_b	$m_b(Lg)$	m_L	$M_b mod$
		Volcán Duraznero	Isla de La Palma				
M_b	M	I_máx_calc	I_máx_obs	Dur_perc	Dist_perc	N_obs_I	Referencias
					3	1	MA, CS
Nº	EVID	Fecha	Hora	Error_hora	RMS	Latitud	Longitud
426	4857	06/07/1949				28.574	-17.838
S_mayor	S_menor	Acimut	Profundidad	Error_prof	Nº_Datos	Nº_Esta	GAP
Dist_mín	Dist_máx	Epicentro	Zona_sísmica	m_b	$m_b(Lg)$	m_L	$M_b mod$
		Volcán Duraznero	Isla de La Palma				
M_b	M	I_máx_calc	I_máx_obs	Dur_perc	Dist_perc	N_obs_I	Referencias
					12	2	IGN, RB, MA, MM, CR, CS

N°	EVID	Fecha	Hora	Error_hora	RMS	Latitud	Longitud
427	4858	07/07/1949				28.574	-17.838
S_mayor	S_menor	Acimut	Profundidad	Error_prof	N°_Datos	N°_Esta	GAP
Dist_mín	Dist_máx	Epicentro	Zona_sísmica	m_b	$m_b(Lg)$	m_L	$M_b mod$
		Volcán Duraznero	Isla de La Palma				
M_b	M	I_máx_calc	I_máx_obs	Dur_perc	Dist_perc	N_obs_I	Referencias
					7	3	IGN, RB, MA, MM, MO, CR, CS
N°	EVID	Fecha	Hora	Error_hora	RMS	Latitud	Longitud
428	4859	08/07/1949	04:30			28.606	-17.838
S_mayor	S_menor	Acimut	Profundidad	Error_prof	N°_Datos	N°_Esta	GAP
Dist_mín	Dist_máx	Epicentro	Zona_sísmica	m_b	$m_b(Lg)$	m_L	$M_b mod$
		Volcán Llano del Banco	Isla de La Palma				
M_b	M	I_máx_calc	I_máx_obs	Dur_perc	Dist_perc	N_obs_I	Referencias
					4	1	IGN, RB, MA, MM, MO, CR, CS
N°	EVID	Fecha	Hora	Error_hora	RMS	Latitud	Longitud
429	4860	09/07/1949				28.606	-17.838
S_mayor	S_menor	Acimut	Profundidad	Error_prof	N°_Datos	N°_Esta	GAP
Dist_mín	Dist_máx	Epicentro	Zona_sísmica	m_b	$m_b(Lg)$	m_L	$M_b mod$
		Volcán Llano del Banco	Isla de La Palma				
M_b	M	I_máx_calc	I_máx_obs	Dur_perc	Dist_perc	N_obs_I	Referencias
					5	2	IGN, RB, MM, MO, CR, CS
N°	EVID	Fecha	Hora	Error_hora	RMS	Latitud	Longitud
430		11/07/1949	00:00			28.58	-17.84
S_mayor	S_menor	Acimut	Profundidad	Error_prof	N°_Datos	N°_Esta	GAP
Dist_mín	Dist_máx	Epicentro	Zona_sísmica	m_b	$m_b(Lg)$	m_L	$M_b mod$
		Volcán Nambroque	Isla de La Palma				
M_b	M	I_máx_calc	I_máx_obs	Dur_perc	Dist_perc	N_obs_I	Referencias
					10	2+	MA, CS
N°	EVID	Fecha	Hora	Error_hora	RMS	Latitud	Longitud
431	4861	11/07/1949	03:00			28.58	-17.84
S_mayor	S_menor	Acimut	Profundidad	Error_prof	N°_Datos	N°_Esta	GAP
Dist_mín	Dist_máx	Epicentro	Zona_sísmica	m_b	$m_b(Lg)$	m_L	$M_b mod$
		Volcán Nambroque	Isla de La Palma				
M_b	M	I_máx_calc	I_máx_obs	Dur_perc	Dist_perc	N_obs_I	Referencias
					10	1+	IGN, RB, MA, MM, MO, CR, CS
N°	EVID	Fecha	Hora	Error_hora	RMS	Latitud	Longitud
432	4862	12/07/1949				28.58	-17.84
S_mayor	S_menor	Acimut	Profundidad	Error_prof	N°_Datos	N°_Esta	GAP
Dist_mín	Dist_máx	Epicentro	Zona_sísmica	m_b	$m_b(Lg)$	m_L	$M_b mod$
		Volcán Nambroque	Isla de La Palma				
M_b	M	I_máx_calc	I_máx_obs	Dur_perc	Dist_perc	N_obs_I	Referencias
							IGN, RB, MM, MO, CR, CS
N°	EVID	Fecha	Hora	Error_hora	RMS	Latitud	Longitud
433	4863	13/07/1949	01:30			28.58	-17.84
S_mayor	S_menor	Acimut	Profundidad	Error_prof	N°_Datos	N°_Esta	GAP
Dist_mín	Dist_máx	Epicentro	Zona_sísmica	m_b	$m_b(Lg)$	m_L	$M_b mod$
		Volcán Nambroque	Isla de La Palma				
M_b	M	I_máx_calc	I_máx_obs	Dur_perc	Dist_perc	N_obs_I	Referencias
					10	1	IGN, RB, MM, MO, CR, CS

Nº	EVID	Fecha	Hora	Error_hora	RMS	Latitud	Longitud
434		13/07/1949	07:45			28.58	-17.84
S_mayor	S_menor	Acimut	Profundidad	Error_prof	Nº_Datos	Nº_Esta	GAP
Dist_mín	Dist_máy	Epicentro	Zona_sísmica	m_b	$m_b(Lg)$	m_L	$M_b mod$
		Volcán Nambroque	Isla de La Palma				
M_b	M	I_máy_calc	I_máy_obs	Dur_perc	Dist_perc	N_obs_I	Referencias
					10	1	RB, MO, CR, CS
Nº	EVID	Fecha	Hora	Error_hora	RMS	Latitud	Longitud
435		13/07/1949	08:00			28.58	-17.84
S_mayor	S_menor	Acimut	Profundidad	Error_prof	Nº_Datos	Nº_Esta	GAP
Dist_mín	Dist_máy	Epicentro	Zona_sísmica	m_b	$m_b(Lg)$	m_L	$M_b mod$
		Volcán Nambroque	Isla de La Palma				
M_b	M	I_máy_calc	I_máy_obs	Dur_perc	Dist_perc	N_obs_I	Referencias
						+	MA, CR, CS
Nº	EVID	Fecha	Hora	Error_hora	RMS	Latitud	Longitud
436		13/07/1949	10:45			28.58	-17.84
S_mayor	S_menor	Acimut	Profundidad	Error_prof	Nº_Datos	Nº_Esta	GAP
Dist_mín	Dist_máy	Epicentro	Zona_sísmica	m_b	$m_b(Lg)$	m_L	$M_b mod$
		Volcán Nambroque	Isla de La Palma				
M_b	M	I_máy_calc	I_máy_obs	Dur_perc	Dist_perc	N_obs_I	Referencias
						+	MA, CR, CS
Nº	EVID	Fecha	Hora	Error_hora	RMS	Latitud	Longitud
437		13/07/1949	11:40			28.58	-17.84
S_mayor	S_menor	Acimut	Profundidad	Error_prof	Nº_Datos	Nº_Esta	GAP
Dist_mín	Dist_máy	Epicentro	Zona_sísmica	m_b	$m_b(Lg)$	m_L	$M_b mod$
		Volcán Nambroque	Isla de La Palma				
M_b	M	I_máy_calc	I_máy_obs	Dur_perc	Dist_perc	N_obs_I	Referencias
	5.1	6.6	5	12	9	2+	MA, CR, CS
Nº	EVID	Fecha	Hora	Error_hora	RMS	Latitud	Longitud
438		13/07/1949	11:45			28.58	-17.84
S_mayor	S_menor	Acimut	Profundidad	Error_prof	Nº_Datos	Nº_Esta	GAP
Dist_mín	Dist_máy	Epicentro	Zona_sísmica	m_b	$m_b(Lg)$	m_L	$M_b mod$
		Volcán Nambroque	Isla de La Palma				
M_b	M	I_máy_calc	I_máy_obs	Dur_perc	Dist_perc	N_obs_I	Referencias
	5.8	7.7	6.5	5	9	4+	RB, MO, CR, CS
Nº	EVID	Fecha	Hora	Error_hora	RMS	Latitud	Longitud
439		13/07/1949	12:20			28.58	-17.84
S_mayor	S_menor	Acimut	Profundidad	Error_prof	Nº_Datos	Nº_Esta	GAP
Dist_mín	Dist_máy	Epicentro	Zona_sísmica	m_b	$m_b(Lg)$	m_L	$M_b mod$
		Volcán Nambroque	Isla de La Palma				
M_b	M	I_máy_calc	I_máy_obs	Dur_perc	Dist_perc	N_obs_I	Referencias
	4.8	6.1	4.5		9	1	RB, MO, CR, CS
Nº	EVID	Fecha	Hora	Error_hora	RMS	Latitud	Longitud
440		13/07/1949	20:15			28.58	-17.84
S_mayor	S_menor	Acimut	Profundidad	Error_prof	Nº_Datos	Nº_Esta	GAP
Dist_mín	Dist_máy	Epicentro	Zona_sísmica	m_b	$m_b(Lg)$	m_L	$M_b mod$
		Volcán Nambroque	Isla de La Palma				
M_b	M	I_máy_calc	I_máy_obs	Dur_perc	Dist_perc	N_obs_I	Referencias
					9	1	RB, MO, CR, CS

N°	EVID	Fecha	Hora	Error_hora	RMS	Latitud	Longitud
441		13/07/1949	20:20			28.58	-17.84
S_mayor	S_menor	Acimut	Profundidad	Error_prof	N°_Datos	N°_Esta	GAP
Dist_mín	Dist_máx	Epicentro	Zona_sísmica	m_b	$m_b(Lg)$	m_L	$M_b mod$
		Volcán Nambroque	Isla de La Palma				
M_b	M	I_máx_calc	I_máx_obs	Dur_perc	Dist_perc	N_obs_I	Referencias
					9	1	RB, MO, CR, CS
N°	EVID	Fecha	Hora	Error_hora	RMS	Latitud	Longitud
442		14/07/1949	09:15			28.58	-17.84
S_mayor	S_menor	Acimut	Profundidad	Error_prof	N°_Datos	N°_Esta	GAP
Dist_mín	Dist_máx	Epicentro	Zona_sísmica	m_b	$m_b(Lg)$	m_L	$M_b mod$
		Volcán Nambroque	Isla de La Palma				
M_b	M	I_máx_calc	I_máx_obs	Dur_perc	Dist_perc	N_obs_I	Referencias
				4	9		RB, MO, CR, CS
N°	EVID	Fecha	Hora	Error_hora	RMS	Latitud	Longitud
443		14/07/1949	10:30			28.58	-17.84
S_mayor	S_menor	Acimut	Profundidad	Error_prof	N°_Datos	N°_Esta	GAP
Dist_mín	Dist_máx	Epicentro	Zona_sísmica	m_b	$m_b(Lg)$	m_L	$M_b mod$
		Volcán Nambroque	Isla de La Palma				
M_b	M	I_máx_calc	I_máx_obs	Dur_perc	Dist_perc	N_obs_I	Referencias
	5.1	6.6	5		9	1	MA, CR, CS
N°	EVID	Fecha	Hora	Error_hora	RMS	Latitud	Longitud
444		14/07/1949	Noche			28.58	-17.84
S_mayor	S_menor	Acimut	Profundidad	Error_prof	N°_Datos	N°_Esta	GAP
Dist_mín	Dist_máx	Epicentro	Zona_sísmica	m_b	$m_b(Lg)$	m_L	$M_b mod$
		Volcán Nambroque	Isla de La Palma				
M_b	M	I_máx_calc	I_máx_obs	Dur_perc	Dist_perc	N_obs_I	Referencias
					11	1	MA, MO, CR, CS
N°	EVID	Fecha	Hora	Error_hora	RMS	Latitud	Longitud
445		15/07/1949	Mañana			28.58	-17.84
S_mayor	S_menor	Acimut	Profundidad	Error_prof	N°_Datos	N°_Esta	GAP
Dist_mín	Dist_máx	Epicentro	Zona_sísmica	m_b	$m_b(Lg)$	m_L	$M_b mod$
		Volcán Nambroque	Isla de La Palma				
M_b	M	I_máx_calc	I_máx_obs	Dur_perc	Dist_perc	N_obs_I	Referencias
	4.2	5.1	4		11	3+	MA, CR, CS
N°	EVID	Fecha	Hora	Error_hora	RMS	Latitud	Longitud
446		16/07/1949	Amanecer			28.58	-17.84
S_mayor	S_menor	Acimut	Profundidad	Error_prof	N°_Datos	N°_Esta	GAP
Dist_mín	Dist_máx	Epicentro	Zona_sísmica	m_b	$m_b(Lg)$	m_L	$M_b mod$
		Volcán Nambroque	Isla de La Palma				
M_b	M	I_máx_calc	I_máx_obs	Dur_perc	Dist_perc	N_obs_I	Referencias
						+	MA, CR, CS
N°	EVID	Fecha	Hora	Error_hora	RMS	Latitud	Longitud
447		17/07/1949	Noche			28.61	-17.84
S_mayor	S_menor	Acimut	Profundidad	Error_prof	N°_Datos	N°_Esta	GAP
Dist_mín	Dist_máx	Epicentro	Zona_sísmica	m_b	$m_b(Lg)$	m_L	$M_b mod$
		Volcán Nambroque	Isla de La Palma				
M_b	M	I_máx_calc	I_máx_obs	Dur_perc	Dist_perc	N_obs_I	Referencias
					11	5+	MA, CR, CS

Nº	EVID	Fecha	Hora	Error_hora	RMS	Latitud	Longitud
448		18/07/1949	19:00			28.58	-17.84
S_mayor	S_menor	Acimut	Profundidad	Error_prof	Nº_Datos	Nº_Esta	GAP
Dist_mín	Dist_máx	Epicentro	Zona_sísmica	m_b	$m_b(Lg)$	m_L	$M_b mod$
		Volcán Nambroque	Isla de La Palma				
M_b	M	I_máx_calc	I_máx_obs	Dur_perc	Dist_perc	N_obs_I	Referencias
					11	2	MA, CR, CS
Nº	EVID	Fecha	Hora	Error_hora	RMS	Latitud	Longitud
449		18/07/1949	21:20			28.58	-17.84
S_mayor	S_menor	Acimut	Profundidad	Error_prof	Nº_Datos	Nº_Esta	GAP
Dist_mín	Dist_máx	Epicentro	Zona_sísmica	m_b	$m_b(Lg)$	m_L	$M_b mod$
		Volcán Nambroque	Isla de La Palma				
M_b	M	I_máx_calc	I_máx_obs	Dur_perc	Dist_perc	N_obs_I	Referencias
					11	+	MA, CR, CS
Nº	EVID	Fecha	Hora	Error_hora	RMS	Latitud	Longitud
450		19/07/1949	23:20			28.58	-17.84
S_mayor	S_menor	Acimut	Profundidad	Error_prof	Nº_Datos	Nº_Esta	GAP
Dist_mín	Dist_máx	Epicentro	Zona_sísmica	m_b	$m_b(Lg)$	m_L	$M_b mod$
		Volcán Nambroque	Isla de La Palma				
M_b	M	I_máx_calc	I_máx_obs	Dur_perc	Dist_perc	N_obs_I	Referencias
					11	+	MA, CR, CS
Nº	EVID	Fecha	Hora	Error_hora	RMS	Latitud	Longitud
451	4865	21/07/1949	12:00			28.58	-17.84
S_mayor	S_menor	Acimut	Profundidad	Error_prof	Nº_Datos	Nº_Esta	GAP
Dist_mín	Dist_máx	Epicentro	Zona_sísmica	m_b	$m_b(Lg)$	m_L	$M_b mod$
		Volcán Nambroque	Isla de La Palma				
M_b	M	I_máx_calc	I_máx_obs	Dur_perc	Dist_perc	N_obs_I	Referencias
					12	4+	IGN, RB, MA, MM, MO, CS
Nº	EVID	Fecha	Hora	Error_hora	RMS	Latitud	Longitud
452		21/07/1949	13:45			28.58	-17.84
S_mayor	S_menor	Acimut	Profundidad	Error_prof	Nº_Datos	Nº_Esta	GAP
Dist_mín	Dist_máx	Epicentro	Zona_sísmica	m_b	$m_b(Lg)$	m_L	$M_b mod$
		Volcán Nambroque	Isla de La Palma				
M_b	M	I_máx_calc	I_máx_obs	Dur_perc	Dist_perc	N_obs_I	Referencias
					12	4+	MA, CR, CS
Nº	EVID	Fecha	Hora	Error_hora	RMS	Latitud	Longitud
453		21/07/1949	17:40			28.58	-17.84
S_mayor	S_menor	Acimut	Profundidad	Error_prof	Nº_Datos	Nº_Esta	GAP
Dist_mín	Dist_máx	Epicentro	Zona_sísmica	m_b	$m_b(Lg)$	m_L	$M_b mod$
		Volcán Nambroque	Isla de La Palma				
M_b	M	I_máx_calc	I_máx_obs	Dur_perc	Dist_perc	N_obs_I	Referencias
					12	4+	MA, CR, CS
Nº	EVID	Fecha	Hora	Error_hora	RMS	Latitud	Longitud
454		22/07/1949	03:00			28.606	-17.838
S_mayor	S_menor	Acimut	Profundidad	Error_prof	Nº_Datos	Nº_Esta	GAP
Dist_mín	Dist_máx	Epicentro	Zona_sísmica	m_b	$m_b(Lg)$	m_L	$M_b mod$
		Volcán Llano del Banco.LP	Isla de La Palma				
M_b	M	I_máx_calc	I_máx_obs	Dur_perc	Dist_perc	N_obs_I	Referencias
	3.5	4.1	3		4	1+	RB, MA, MO, CR, CS

N°	EVID	Fecha	Hora	Error_hora	RMS	Latitud	Longitud
455		22/07/1949	05:00			28.606	-17.838
S_mayor	S_menor	Acimut	Profundidad	Error_prof	N°_Datos	N°_Esta	GAP
Dist_mín	Dist_máy	Epicentro	Zona_sísmica	m_b	$m_b(Lg)$	m_L	$M_b mod$
		Volcán Llano del Banco	Isla de La Palma				
M_b	M	I_máy_calc	I_máy_obs	Dur_perc	Dist_perc	N_obs_I	Referencias
					4		RB, MA, CR, CS
N°	EVID	Fecha	Hora	Error_hora	RMS	Latitud	Longitud
456		22/07/1949	06:30			28.606	-17.838
S_mayor	S_menor	Acimut	Profundidad	Error_prof	N°_Datos	N°_Esta	GAP
Dist_mín	Dist_máy	Epicentro	Zona_sísmica	m_b	$m_b(Lg)$	m_L	$M_b mod$
		Volcán Llano del Banco	Isla de La Palma				
M_b	M	I_máy_calc	I_máy_obs	Dur_perc	Dist_perc	N_obs_I	Referencias
					10	1+	MA, CR, CS
N°	EVID	Fecha	Hora	Error_hora	RMS	Latitud	Longitud
457		22/07/1949	07:00			28.606	-17.838
S_mayor	S_menor	Acimut	Profundidad	Error_prof	N°_Datos	N°_Esta	GAP
Dist_mín	Dist_máy	Epicentro	Zona_sísmica	m_b	$m_b(Lg)$	m_L	$M_b mod$
		Volcán Llano del Banco	Isla de La Palma				
M_b	M	I_máy_calc	I_máy_obs	Dur_perc	Dist_perc	N_obs_I	Referencias
					10	+	RB, CR, CS
N°	EVID	Fecha	Hora	Error_hora	RMS	Latitud	Longitud
458	4866	22/07/1949	14:00			28.606	-17.838
S_mayor	S_menor	Acimut	Profundidad	Error_prof	N°_Datos	N°_Esta	GAP
Dist_mín	Dist_máy	Epicentro	Zona_sísmica	m_b	$m_b(Lg)$	m_L	$M_b mod$
		Volcán Llano del Banco	Isla de La Palma				
M_b	M	I_máy_calc	I_máy_obs	Dur_perc	Dist_perc	N_obs_I	Referencias
					4	1	IGN, RB, MM, MO, CR, CS
N°	EVID	Fecha	Hora	Error_hora	RMS	Latitud	Longitud
459		22/07/1949	17:45			28.606	-17.838
S_mayor	S_menor	Acimut	Profundidad	Error_prof	N°_Datos	N°_Esta	GAP
Dist_mín	Dist_máy	Epicentro	Zona_sísmica	m_b	$m_b(Lg)$	m_L	$M_b mod$
		Volcán Llano del Banco	Isla de La Palma				
M_b	M	I_máy_calc	I_máy_obs	Dur_perc	Dist_perc	N_obs_I	Referencias
					4	1	RB, MO, CR, CS
N°	EVID	Fecha	Hora	Error_hora	RMS	Latitud	Longitud
460	4867	23/07/1949				28.606	-17.838
S_mayor	S_menor	Acimut	Profundidad	Error_prof	N°_Datos	N°_Esta	GAP
Dist_mín	Dist_máy	Epicentro	Zona_sísmica	m_b	$m_b(Lg)$	m_L	$M_b mod$
		Volcán Llano del Banco	Isla de La Palma				
M_b	M	I_máy_calc	I_máy_obs	Dur_perc	Dist_perc	N_obs_I	Referencias
					14	1+	IGN, RB, MA, MO, CR, CS
N°	EVID	Fecha	Hora	Error_hora	RMS	Latitud	Longitud
461		24/07/1949				28.606	-17.838
S_mayor	S_menor	Acimut	Profundidad	Error_prof	N°_Datos	N°_Esta	GAP
Dist_mín	Dist_máy	Epicentro	Zona_sísmica	m_b	$m_b(Lg)$	m_L	$M_b mod$
		Volcán Llano del Banco	Isla de La Palma				
M_b	M	I_máy_calc	I_máy_obs	Dur_perc	Dist_perc	N_obs_I	Referencias
					11	+	MA, CR, CS

Nº	EVID	Fecha	Hora	Error_hora	RMS	Latitud	Longitud
462		25/07/1949				28.606	-17.838
S_mayor	S_menor	Acimut	Profundidad	Error_prof	Nº_Datos	Nº_Esta	GAP
Dist_mín	Dist_máx	Epicentro	Zona_sísmica	m_b	$m_b(Lg)$	m_L	$M_b mod$
		Volcán Llano del Banco	Isla de La Palma				
M_b	M	I_máx_calc	I_máx_obs	Dur_perc	Dist_perc	N_obs_I	Referencias
					11	3	MA, CR, CS
Nº	EVID	Fecha	Hora	Error_hora	RMS	Latitud	Longitud
463	4868	30/07/1949	11:00			28.58	-17.84
S_mayor	S_menor	Acimut	Profundidad	Error_prof	Nº_Datos	Nº_Esta	GAP
Dist_mín	Dist_máx	Epicentro	Zona_sísmica	m_b	$m_b(Lg)$	m_L	$M_b mod$
		Volcán Nambroque	Isla de La Palma				
M_b	M	I_máx_calc	I_máx_obs	Dur_perc	Dist_perc	N_obs_I	Referencias
					11	2	IGN, RB, MA, CR, CS
Nº	EVID	Fecha	Hora	Error_hora	RMS	Latitud	Longitud
464		01/08/1949				28.58	-17.84
S_mayor	S_menor	Acimut	Profundidad	Error_prof	Nº_Datos	Nº_Esta	GAP
Dist_mín	Dist_máx	Epicentro	Zona_sísmica	m_b	$m_b(Lg)$	m_L	$M_b mod$
		Volcán Nambroque	Isla de La Palma				
M_b	M	I_máx_calc	I_máx_obs	Dur_perc	Dist_perc	N_obs_I	Referencias
						+	MA
Nº	EVID	Fecha	Hora	Error_hora	RMS	Latitud	Longitud
465		02/08/1949				28.58	-17.84
S_mayor	S_menor	Acimut	Profundidad	Error_prof	Nº_Datos	Nº_Esta	GAP
Dist_mín	Dist_máx	Epicentro	Zona_sísmica	m_b	$m_b(Lg)$	m_L	$M_b mod$
		Volcán Nambroque	Isla de La Palma				
M_b	M	I_máx_calc	I_máx_obs	Dur_perc	Dist_perc	N_obs_I	Referencias
						+	MA, CR
Nº	EVID	Fecha	Hora	Error_hora	RMS	Latitud	Longitud
466	4891	23/02/1950				28.23	-16.39
S_mayor	S_menor	Acimut	Profundidad	Error_prof	Nº_Datos	Nº_Esta	GAP
Dist_mín	Dist_máx	Epicentro	Zona_sísmica	m_b	$m_b(Lg)$	m_L	$M_b mod$
		O Fasnía,TF	Zona atlántica				
			Tenerife-Gran Canaria				
M_b	M	I_máx_calc	I_máx_obs	Dur_perc	Dist_perc	N_obs_I	Referencias
	3.9	4.7	4		5	1+	IGN, MU, MM, MO
Nº	EVID	Fecha	Hora	Error_hora	RMS	Latitud	Longitud
467		01/04/1959	00:34:22.00		3.15	27.602	-20.865
S_mayor	S_menor	Acimut	Profundidad	Error_prof	Nº_Datos	Nº_Esta	GAP
4.6	4.6		15f		183		
Dist_mín	Dist_máx	Epicentro	Zona_sísmica	m_b	$m_b(Lg)$	m_L	$M_b mod$
		Océano Atlántico					
M_b	M	I_máx_calc	I_máx_obs	Dur_perc	Dist_perc	N_obs_I	Referencias
	5.6	7.2	4		343	3+	IGN, ISC, MU, MM, MO, CS
Nº	EVID	Fecha	Hora	Error_hora	RMS	Latitud	Longitud
468		01/04/1959	11:03:12.00			27.75	-21.00
S_mayor	S_menor	Acimut	Profundidad	Error_prof	Nº_Datos	Nº_Esta	GAP
Dist_mín	Dist_máx	Epicentro	Zona_sísmica	m_b	$m_b(Lg)$	m_L	$M_b mod$
		Océano Atlántico					
M_b	M	I_máx_calc	I_máx_obs	Dur_perc	Dist_perc	N_obs_I	Referencias
	5.4	7.1	4		312	1+	BCIS, CS

N°	EVID	Fecha	Hora	Error_hora	RMS	Latitud	Longitud
469		19/01/1960	10:30			28.358	-14.058
S_mayor	S_menor	Acimut	Profundidad	Error_prof	N°_Datos	N°_Esta	GAP
Dist_mín	Dist_máx	Epicentro	Zona_sísmica	m_b	$m_b(Lg)$	m_L	$M_b mod$
		NO Tiscamanita	Isla de Fuerteventura				
M_b	M	I_máx_calc	I_máx_obs	Dur_perc	Dist_perc	N_obs_I	Referencias
	5.4	7.2	5.5	4	24	7	Este trabajo (Diario de Las Palmas)
N°	EVID	Fecha	Hora	Error_hora	RMS	Latitud	Longitud
470		07/07/1960	Mañana			28.358	-14.058
S_mayor	S_menor	Acimut	Profundidad	Error_prof	N°_Datos	N°_Esta	GAP
Dist_mín	Dist_máx	Epicentro	Zona_sísmica	m_b	$m_b(Lg)$	m_L	$M_b mod$
		NO Tiscamanita	Isla de Fuerteventura				
M_b	M	I_máx_calc	I_máx_obs	Dur_perc	Dist_perc	N_obs_I	Referencias
					14	5	Este trabajo
N°	EVID	Fecha	Hora	Error_hora	RMS	Latitud	Longitud
471		06/12/1962	01:00			28.47	-16.40
S_mayor	S_menor	Acimut	Profundidad	Error_prof	N°_Datos	N°_Esta	GAP
Dist_mín	Dist_máx	Epicentro	Zona_sísmica	m_b	$m_b(Lg)$	m_L	$M_b mod$
		Tacoronte	Isla de Tenerife				
M_b	M	I_máx_calc	I_máx_obs	Dur_perc	Dist_perc	N_obs_I	Referencias
	3.8	4.5	3.5		13	2+	Este trabajo (Diario de Avisos)
N°	EVID	Fecha	Hora	Error_hora	RMS	Latitud	Longitud
472		25/03/1964	05:15			28.34	-15.76
S_mayor	S_menor	Acimut	Profundidad	Error_prof	N°_Datos	N°_Esta	GAP
Dist_mín	Dist_máx	Epicentro	Zona_sísmica	m_b	$m_b(Lg)$	m_L	$M_b mod$
		Océano Atlántico	Zona atlántica Tenerife-Gran Canaria				
M_b	M	I_máx_calc	I_máx_obs	Dur_perc	Dist_perc	N_obs_I	Referencias
						3	Este trabajo
N°	EVID	Fecha	Hora	Error_hora	RMS	Latitud	Longitud
473		25/03/1964	06:34			28.34	-15.76
S_mayor	S_menor	Acimut	Profundidad	Error_prof	N°_Datos	N°_Esta	GAP
Dist_mín	Dist_máx	Epicentro	Zona_sísmica	m_b	$m_b(Lg)$	m_L	$M_b mod$
		Océano Atlántico	Zona atlántica Tenerife-Gran Canaria				
M_b	M	I_máx_calc	I_máx_obs	Dur_perc	Dist_perc	N_obs_I	Referencias
							Este trabajo (Diario de Las Palmas)
N°	EVID	Fecha	Hora	Error_hora	RMS	Latitud	Longitud
474		21/05/1964	09:41:42.00			28.00	-16.25
S_mayor	S_menor	Acimut	Profundidad	Error_prof	N°_Datos	N°_Esta	GAP
Dist_mín	Dist_máx	Epicentro	Zona_sísmica	m_b	$m_b(Lg)$	m_L	$M_b mod$
		Océano Atlántico	Zona atlántica Tenerife-Gran Canaria				
M_b	M	I_máx_calc	I_máx_obs	Dur_perc	Dist_perc	N_obs_I	Referencias
					50	2	IGN

Nº	EVID	Fecha	Hora	Error_hora	RMS	Latitud	Longitud
475	5956	22/05/1964	05:12:32.00		2.45	27.8	-15.9
S_mayor	S_menor	Acimut	Profundidad	Error_prof	Nº_Datos	Nº_Esta	GAP
19.6	19.6		33f		13		
Dist_mín	Dist_máx	Epicentro	Zona_sísmica	m_b	$m_b(Lg)$	m_L	$M_b mod$
		O Taurito.GC	Zona atlántica Tenerife-Gran Canaria	4.1			
M_b	M	I_máx_calc	I_máx_obs	Dur_perc	Dist_perc	N_obs_I	Referencias
	4.5	5.2	4		90	4	IGN, ISC, USGS, RO, MO, MM, CS
Nº	EVID	Fecha	Hora	Error_hora	RMS	Latitud	Longitud
476	5957	22/05/1964	05:38:40.00		1.13	27.90	-16.04
S_mayor	S_menor	Acimut	Profundidad	Error_prof	Nº_Datos	Nº_Esta	GAP
7.3	7.3		34f		21		
Dist_mín	Dist_máx	Epicentro	Zona_sísmica	m_b	$m_b(Lg)$	m_L	$M_b mod$
		O Playa de Tasarte.GC	Zona atlántica Tenerife-Gran Canaria	4.3			
M_b	M	I_máx_calc	I_máx_obs	Dur_perc	Dist_perc	N_obs_I	Referencias
	4.7				63	4	IGN, ISC, USGS, RO, MO, MM, CS
Nº	EVID	Fecha	Hora	Error_hora	RMS	Latitud	Longitud
477		22/05/1964	05:49:07.00			27.90	-16.04
S_mayor	S_menor	Acimut	Profundidad	Error_prof	Nº_Datos	Nº_Esta	GAP
Dist_mín	Dist_máx	Epicentro	Zona_sísmica	m_b	$m_b(Lg)$	m_L	$M_b mod$
		O Playa de Tasarte.GC	Zona atlántica Tenerife-Gran Canaria				
M_b	M	I_máx_calc	I_máx_obs	Dur_perc	Dist_perc	N_obs_I	Referencias
							IGN, MM, CS
Nº	EVID	Fecha	Hora	Error_hora	RMS	Latitud	Longitud
478		22/05/1964	10:03:07.00			27.90	-16.04
S_mayor	S_menor	Acimut	Profundidad	Error_prof	Nº_Datos	Nº_Esta	GAP
Dist_mín	Dist_máx	Epicentro	Zona_sísmica	m_b	$m_b(Lg)$	m_L	$M_b mod$
		O Playa de Tasarte.GC	Zona atlántica Tenerife-Gran Canaria				
M_b	M	I_máx_calc	I_máx_obs	Dur_perc	Dist_perc	N_obs_I	Referencias
							IGN, CS
Nº	EVID	Fecha	Hora	Error_hora	RMS	Latitud	Longitud
479		24/05/1964	03:44:46.00			27.90	-16.04
S_mayor	S_menor	Acimut	Profundidad	Error_prof	Nº_Datos	Nº_Esta	GAP
Dist_mín	Dist_máx	Epicentro	Zona_sísmica	m_b	$m_b(Lg)$	m_L	$M_b mod$
		O Playa de Tasarte.GC	Zona atlántica Tenerife-Gran Canaria				
M_b	M	I_máx_calc	I_máx_obs	Dur_perc	Dist_perc	N_obs_I	Referencias
					56	1	IGN, MO, CS
Nº	EVID	Fecha	Hora	Error_hora	RMS	Latitud	Longitud
480		24/05/1964	04:22:40.00			27.90	-16.04
S_mayor	S_menor	Acimut	Profundidad	Error_prof	Nº_Datos	Nº_Esta	GAP
Dist_mín	Dist_máx	Epicentro	Zona_sísmica	m_b	$m_b(Lg)$	m_L	$M_b mod$
		O Playa de Tasarte.GC	Zona atlántica Tenerife-Gran Canaria				
M_b	M	I_máx_calc	I_máx_obs	Dur_perc	Dist_perc	N_obs_I	Referencias
							IGN, CS

N°	EVID	Fecha	Hora	Error_hora	RMS	Latitud	Longitud	
481	6151	28/05/1966	11:28:59.00		2.70	27.9	-16.6	
S_mayor	S_menor	Acimut	Profundidad	Error_prof	N°_Datos	N°_Esta	GAP	
11.8	11.8		0f					
Dist_mín	Dist_máx	Epicentro	Zona_sísmica	m_b	$m_b(Lg)$	m_L	$M_b mod$	
		S El Médano. TF	Zona atlántica Tenerife-Gran Canaria	4.4				
M_b	M	I_máx_calc	I_máx_obs	Dur_perc	Dist_perc	N_obs_I	Referencias	
	4.8						IGN, ISC, MO, MM, CS	
N°	EVID	Fecha	Hora	Error_hora	RMS	Latitud	Longitud	
482		09/09/1967	01:04:37.00					
S_mayor	S_menor	Acimut	Profundidad	Error_prof	N°_Datos	N°_Esta	GAP	
Dist_mín	Dist_máx	Epicentro	Zona_sísmica	m_b	$m_b(Lg)$	m_L	$M_b mod$	
M_b	M	I_máx_calc	I_máx_obs	Dur_perc	Dist_perc	N_obs_I	Referencias	
						1	IGN	
N°	EVID	Fecha	Hora	Error_hora	RMS	Latitud	Longitud	
483	6909	05/01/1971	15:38:20.00			28.31	-16.51	
S_mayor	S_menor	Acimut	Profundidad	Error_prof	N°_Datos	N°_Esta	GAP	
Dist_mín	Dist_máx	Epicentro	Zona_sísmica	m_b	$m_b(Lg)$	m_L	$M_b mod$	
		N Observatorio de Izaña	Valle de Güímar:TF					
M_b	M	I_máx_calc	I_máx_obs	Dur_perc	Dist_perc	N_obs_I	Referencias	
	3.5	4.0	3		11	3	IGN, MO, MM	
N°	EVID	Fecha	Hora	Error_hora	RMS	Latitud	Longitud	
484		15/10/1971				28.47	-17.85	
S_mayor	S_menor	Acimut	Profundidad	Error_prof	N°_Datos	N°_Esta	GAP	
Dist_mín	Dist_máx	Epicentro	Zona_sísmica	m_b	$m_b(Lg)$	m_L	$M_b mod$	
		S Fuencaliente. LP	Isla de La Palma					
M_b	M	I_máx_calc	I_máx_obs	Dur_perc	Dist_perc	N_obs_I	Referencias	
						+	CR	
N°	EVID	Fecha	Hora	Error_hora	RMS	Latitud	Longitud	
485		15/10/1971	09:00			28.47	-17.85	
S_mayor	S_menor	Acimut	Profundidad	Error_prof	N°_Datos	N°_Esta	GAP	
Dist_mín	Dist_máx	Epicentro	Zona_sísmica	m_b	$m_b(Lg)$	m_L	$M_b mod$	
		S Fuencaliente. LP	Isla de La Palma					
M_b	M	I_máx_calc	I_máx_obs	Dur_perc	Dist_perc	N_obs_I	Referencias	
							CR	
N°	EVID	Fecha	Hora	Error_hora	RMS	Latitud	Longitud	
486		20/10/1971	04:10			28.47	-17.85	
S_mayor	S_menor	Acimut	Profundidad	Error_prof	N°_Datos	N°_Esta	GAP	
Dist_mín	Dist_máx	Epicentro	Zona_sísmica	m_b	$m_b(Lg)$	m_L	$M_b mod$	
		S Fuencaliente. LP	Isla de La Palma					
M_b	M	I_máx_calc	I_máx_obs	Dur_perc	Dist_perc	N_obs_I	Referencias	
	4.0	4.9	4		4	1	CS	
N°	EVID	Fecha	Hora	Error_hora	RMS	Latitud	Longitud	
487		21/10/1971	05:00			28.47	-17.85	
S_mayor	S_menor	Acimut	Profundidad	Error_prof	N°_Datos	N°_Esta	GAP	
Dist_mín	Dist_máx	Epicentro	Zona_sísmica	m_b	$m_b(Lg)$	m_L	$M_b mod$	
		S Fuencaliente. LP	Isla de La Palma					
M_b	M	I_máx_calc	I_máx_obs	Dur_perc	Dist_perc	N_obs_I	Referencias	
						21	3+	CS

Nº	EVID	Fecha	Hora	Error_hora	RMS	Latitud	Longitud
488		21/10/1971	11:00			28.47	-17.85
S_mayor	S_menor	Acimut	Profundidad	Error_prof	Nº_Datos	Nº_Esta	GAP
Dist_mín	Dist_máx	Epicentro	Zona_sísmica	m_b	$m_b(Lg)$	m_L	$M_b mod$
		S Fuencaliente. LP	Isla de La Palma				
M_b	M	I_máx_calc	I_máx_obs	Dur_perc	Dist_perc	N_obs_I	Referencias
							CR
Nº	EVID	Fecha	Hora	Error_hora	RMS	Latitud	Longitud
489	7096	21/10/1971	11:30			28.47	-17.85
S_mayor	S_menor	Acimut	Profundidad	Error_prof	Nº_Datos	Nº_Esta	GAP
Dist_mín	Dist_máx	Epicentro	Zona_sísmica	m_b	$m_b(Lg)$	m_L	$M_b mod$
		S Fuencaliente. LP	Isla de La Palma				
M_b	M	I_máx_calc	I_máx_obs	Dur_perc	Dist_perc	N_obs_I	Referencias
					25	+	IGN, MO, MM, CR, CS
Nº	EVID	Fecha	Hora	Error_hora	RMS	Latitud	Longitud
490		21/10/1971	13:15			28.47	-17.85
S_mayor	S_menor	Acimut	Profundidad	Error_prof	Nº_Datos	Nº_Esta	GAP
Dist_mín	Dist_máx	Epicentro	Zona_sísmica	m_b	$m_b(Lg)$	m_L	$M_b mod$
		S Fuencaliente. LP	Isla de La Palma				
M_b	M	I_máx_calc	I_máx_obs	Dur_perc	Dist_perc	N_obs_I	Referencias
							CR
Nº	EVID	Fecha	Hora	Error_hora	RMS	Latitud	Longitud
491	7097	21/10/1971	15:45			28.47	-17.85
S_mayor	S_menor	Acimut	Profundidad	Error_prof	Nº_Datos	Nº_Esta	GAP
Dist_mín	Dist_máx	Epicentro	Zona_sísmica	m_b	$m_b(Lg)$	m_L	$M_b mod$
		S Fuencaliente. LP	Isla de La Palma				
M_b	M	I_máx_calc	I_máx_obs	Dur_perc	Dist_perc	N_obs_I	Referencias
	4.4	5.5	4		21	3+	IGN, MO, MM, CR, CS
Nº	EVID	Fecha	Hora	Error_hora	RMS	Latitud	Longitud
492		21/10/1971	15:50			28.47	-17.85
S_mayor	S_menor	Acimut	Profundidad	Error_prof	Nº_Datos	Nº_Esta	GAP
Dist_mín	Dist_máx	Epicentro	Zona_sísmica	m_b	$m_b(Lg)$	m_L	$M_b mod$
		S Fuencaliente. LP	Isla de La Palma				
M_b	M	I_máx_calc	I_máx_obs	Dur_perc	Dist_perc	N_obs_I	Referencias
					18	1	CR
Nº	EVID	Fecha	Hora	Error_hora	RMS	Latitud	Longitud
493		21/10/1971	16:00			28.47	-17.85
S_mayor	S_menor	Acimut	Profundidad	Error_prof	Nº_Datos	Nº_Esta	GAP
Dist_mín	Dist_máx	Epicentro	Zona_sísmica	m_b	$m_b(Lg)$	m_L	$M_b mod$
		S Fuencaliente. LP	Isla de La Palma				
M_b	M	I_máx_calc	I_máx_obs	Dur_perc	Dist_perc	N_obs_I	Referencias
					2		CR
Nº	EVID	Fecha	Hora	Error_hora	RMS	Latitud	Longitud
494		21/10/1971	16:30			28.47	-17.85
S_mayor	S_menor	Acimut	Profundidad	Error_prof	Nº_Datos	Nº_Esta	GAP
Dist_mín	Dist_máx	Epicentro	Zona_sísmica	m_b	$m_b(Lg)$	m_L	$M_b mod$
		S Fuencaliente. LP	Isla de La Palma				
M_b	M	I_máx_calc	I_máx_obs	Dur_perc	Dist_perc	N_obs_I	Referencias
					21		CR

N°	EVID	Fecha	Hora	Error_hora	RMS	Latitud	Longitud
495		21/10/1971	17:00			28.47	-17.85
S_mayor	S_menor	Acimut	Profundidad	Error_prof	N°_Datos	N°_Esta	GAP
Dist_mín	Dist_máx	Epicentro	Zona_sísmica	m_b	$m_b(Lg)$	m_L	$M_b mod$
		S Fuencaliente. LP	Isla de La Palma				
M_b	M	I_máx_calc	I_máx_obs	Dur_perc	Dist_perc	N_obs_I	Referencias
					21		CR
N°	EVID	Fecha	Hora	Error_hora	RMS	Latitud	Longitud
496		21/10/1971	19:00			28.47	-17.85
S_mayor	S_menor	Acimut	Profundidad	Error_prof	N°_Datos	N°_Esta	GAP
Dist_mín	Dist_máx	Epicentro	Zona_sísmica	m_b	$m_b(Lg)$	m_L	$M_b mod$
		S Fuencaliente. LP	Isla de La Palma				
M_b	M	I_máx_calc	I_máx_obs	Dur_perc	Dist_perc	N_obs_I	Referencias
					21		CR
N°	EVID	Fecha	Hora	Error_hora	RMS	Latitud	Longitud
497		21/10/1971	21:30			28.47	-17.85
S_mayor	S_menor	Acimut	Profundidad	Error_prof	N°_Datos	N°_Esta	GAP
Dist_mín	Dist_máx	Epicentro	Zona_sísmica	m_b	$m_b(Lg)$	m_L	$M_b mod$
		S Fuencaliente. LP	Isla de La Palma				
M_b	M	I_máx_calc	I_máx_obs	Dur_perc	Dist_perc	N_obs_I	Referencias
					21		CR
N°	EVID	Fecha	Hora	Error_hora	RMS	Latitud	Longitud
498	7098	21/10/1971	23:53:40.00			28.47	-17.85
S_mayor	S_menor	Acimut	Profundidad	Error_prof	N°_Datos	N°_Esta	GAP
Dist_mín	Dist_máx	Epicentro	Zona_sísmica	m_b	$m_b(Lg)$	m_L	$M_b mod$
		S Fuencaliente. LP	Isla de La Palma				
M_b	M	I_máx_calc	I_máx_obs	Dur_perc	Dist_perc	N_obs_I	Referencias
	4.1	5.0	2		21	3+	IGN, MO, MM, CR, CS
N°	EVID	Fecha	Hora	Error_hora	RMS	Latitud	Longitud
499	7099	22/10/1971	00:50			28.47	-17.85
S_mayor	S_menor	Acimut	Profundidad	Error_prof	N°_Datos	N°_Esta	GAP
Dist_mín	Dist_máx	Epicentro	Zona_sísmica	m_b	$m_b(Lg)$	m_L	$M_b mod$
		S Fuencaliente. LP	Isla de La Palma				
M_b	M	I_máx_calc	I_máx_obs	Dur_perc	Dist_perc	N_obs_I	Referencias
					2	1	IGN, MM, CS
N°	EVID	Fecha	Hora	Error_hora	RMS	Latitud	Longitud
500	7100	22/10/1971	03:45			28.47	-17.85
S_mayor	S_menor	Acimut	Profundidad	Error_prof	N°_Datos	N°_Esta	GAP
Dist_mín	Dist_máx	Epicentro	Zona_sísmica	m_b	$m_b(Lg)$	m_L	$M_b mod$
		S Fuencaliente. LP	Isla de La Palma				
M_b	M	I_máx_calc	I_máx_obs	Dur_perc	Dist_perc	N_obs_I	Referencias
	5.0	6.4	4		21	1+	IGN, MO, MM, CR, CS
N°	EVID	Fecha	Hora	Error_hora	RMS	Latitud	Longitud
501	7101	22/10/1971	04:04:34.00			28.47	-17.85
S_mayor	S_menor	Acimut	Profundidad	Error_prof	N°_Datos	N°_Esta	GAP
Dist_mín	Dist_máx	Epicentro	Zona_sísmica	m_b	$m_b(Lg)$	m_L	$M_b mod$
		S Fuencaliente. LP	Isla de La Palma				
M_b	M	I_máx_calc	I_máx_obs	Dur_perc	Dist_perc	N_obs_I	Referencias
	3.8	4.5	2		21	3+	IGN, MM, CR, CS

Nº	EVID	Fecha	Hora	Error_hora	RMS	Latitud	Longitud
502	7102	22/10/1971	04:15			28.47	-17.85
S_mayor	S_menor	Acimut	Profundidad	Error_prof	Nº_Datos	Nº_Esta	GAP
Dist_mín	Dist_máx	Epicentro	Zona_sísmica	m_b	$m_b(Lg)$	m_L	$M_b mod$
		S Fuencaliente. LP	Isla de La Palma				
M_b	M	I_máx_calc	I_máx_obs	Dur_perc	Dist_perc	N_obs_I	Referencias
				16	2	1	IGN, MO, MM, CR, CSCS
Nº	EVID	Fecha	Hora	Error_hora	RMS	Latitud	Longitud
503		22/10/1971	04:59:32.00			28.47	-17.85
S_mayor	S_menor	Acimut	Profundidad	Error_prof	Nº_Datos	Nº_Esta	GAP
Dist_mín	Dist_máx	Epicentro	Zona_sísmica	m_b	$m_b(Lg)$	m_L	$M_b mod$
		S Fuencaliente. LP	Isla de La Palma				
M_b	M	I_máx_calc	I_máx_obs	Dur_perc	Dist_perc	N_obs_I	Referencias
	3.8	4.5	2		21	3	IGN, MO, CR, CS
Nº	EVID	Fecha	Hora	Error_hora	RMS	Latitud	Longitud
504		22/10/1971	05:08:38.00			28.47	-17.85
S_mayor	S_menor	Acimut	Profundidad	Error_prof	Nº_Datos	Nº_Esta	GAP
Dist_mín	Dist_máx	Epicentro	Zona_sísmica	m_b	$m_b(Lg)$	m_L	$M_b mod$
		S Fuencaliente. LP	Isla de La Palma				
M_b	M	I_máx_calc	I_máx_obs	Dur_perc	Dist_perc	N_obs_I	Referencias
	3.8	4.5	2		21	3	IGN, CS
Nº	EVID	Fecha	Hora	Error_hora	RMS	Latitud	Longitud
505	7103	22/10/1971	05:20			28.47	-17.85
S_mayor	S_menor	Acimut	Profundidad	Error_prof	Nº_Datos	Nº_Esta	GAP
Dist_mín	Dist_máx	Epicentro	Zona_sísmica	m_b	$m_b(Lg)$	m_L	$M_b mod$
		S Fuencaliente. LP	Isla de La Palma				
M_b	M	I_máx_calc	I_máx_obs	Dur_perc	Dist_perc	N_obs_I	Referencias
				9	2	1	IGN, MO, MM, CR, CS
Nº	EVID	Fecha	Hora	Error_hora	RMS	Latitud	Longitud
506		22/10/1971	05:36:57.00			28.47	-17.85
S_mayor	S_menor	Acimut	Profundidad	Error_prof	Nº_Datos	Nº_Esta	GAP
Dist_mín	Dist_máx	Epicentro	Zona_sísmica	m_b	$m_b(Lg)$	m_L	$M_b mod$
		S Fuencaliente. LP	Isla de La Palma				
M_b	M	I_máx_calc	I_máx_obs	Dur_perc	Dist_perc	N_obs_I	Referencias
					21	3	IGN, MO, CR, CS
Nº	EVID	Fecha	Hora	Error_hora	RMS	Latitud	Longitud
507		22/10/1971	06:02:23.00			28.47	-17.85
S_mayor	S_menor	Acimut	Profundidad	Error_prof	Nº_Datos	Nº_Esta	GAP
Dist_mín	Dist_máx	Epicentro	Zona_sísmica	m_b	$m_b(Lg)$	m_L	$M_b mod$
		S Fuencaliente. LP	Isla de La Palma				
M_b	M	I_máx_calc	I_máx_obs	Dur_perc	Dist_perc	N_obs_I	Referencias
							IGN, MO, CR, CS
Nº	EVID	Fecha	Hora	Error_hora	RMS	Latitud	Longitud
508	7104	22/10/1971	10:00			28.47	-17.85
S_mayor	S_menor	Acimut	Profundidad	Error_prof	Nº_Datos	Nº_Esta	GAP
Dist_mín	Dist_máx	Epicentro	Zona_sísmica	m_b	$m_b(Lg)$	m_L	$M_b mod$
		S Fuencaliente. LP	Isla de La Palma				
M_b	M	I_máx_calc	I_máx_obs	Dur_perc	Dist_perc	N_obs_I	Referencias
					21	1	IGN, MO, MM, CR, CS

N°	EVID	Fecha	Hora	Error_hora	RMS	Latitud	Longitud
509		22/10/1971	11:30			28.47	-17.85
S_mayor	S_menor	Acimut	Profundidad	Error_prof	N°_Datos	N°_Esta	GAP
Dist_mín	Dist_máx	Epicentro	Zona_sísmica	m_b	$m_b(Lg)$	m_L	$M_b mod$
		S Fuencaliente. LP	Isla de La Palma				
M_b	M	I_máx_calc	I_máx_obs	Dur_perc	Dist_perc	N_obs_I	Referencias
					2	1	IGN, CR, CS
N°	EVID	Fecha	Hora	Error_hora	RMS	Latitud	Longitud
510		22/10/1971	15:50			28.47	-17.85
S_mayor	S_menor	Acimut	Profundidad	Error_prof	N°_Datos	N°_Esta	GAP
Dist_mín	Dist_máx	Epicentro	Zona_sísmica	m_b	$m_b(Lg)$	m_L	$M_b mod$
		S Fuencaliente. LP	Isla de La Palma				
M_b	M	I_máx_calc	I_máx_obs	Dur_perc	Dist_perc	N_obs_I	Referencias
					2	1	IGN, CR, CS
N°	EVID	Fecha	Hora	Error_hora	RMS	Latitud	Longitud
511	7105	22/10/1971	16:30			28.47	-17.85
S_mayor	S_menor	Acimut	Profundidad	Error_prof	N°_Datos	N°_Esta	GAP
Dist_mín	Dist_máx	Epicentro	Zona_sísmica	m_b	$m_b(Lg)$	m_L	$M_b mod$
		S Fuencaliente. LP	Isla de La Palma				
M_b	M	I_máx_calc	I_máx_obs	Dur_perc	Dist_perc	N_obs_I	Referencias
					21	2	IGN, MO, MM, CR, CS
N°	EVID	Fecha	Hora	Error_hora	RMS	Latitud	Longitud
512		22/10/1971	21:00			28.47	-17.85
S_mayor	S_menor	Acimut	Profundidad	Error_prof	N°_Datos	N°_Esta	GAP
Dist_mín	Dist_máx	Epicentro	Zona_sísmica	m_b	$m_b(Lg)$	m_L	$M_b mod$
		S Fuencaliente. LP	Isla de La Palma				
M_b	M	I_máx_calc	I_máx_obs	Dur_perc	Dist_perc	N_obs_I	Referencias
					2	1	CS
N°	EVID	Fecha	Hora	Error_hora	RMS	Latitud	Longitud
513	7106	22/10/1971	23:45			28.47	-17.85
S_mayor	S_menor	Acimut	Profundidad	Error_prof	N°_Datos	N°_Esta	GAP
Dist_mín	Dist_máx	Epicentro	Zona_sísmica	m_b	$m_b(Lg)$	m_L	$M_b mod$
		S Fuencaliente. LP	Isla de La Palma				
M_b	M	I_máx_calc	I_máx_obs	Dur_perc	Dist_perc	N_obs_I	Referencias
					2	1	IGN, MO, MM, CR, CS
N°	EVID	Fecha	Hora	Error_hora	RMS	Latitud	Longitud
514		23/10/1971	03:00			28.47	-17.85
S_mayor	S_menor	Acimut	Profundidad	Error_prof	N°_Datos	N°_Esta	GAP
Dist_mín	Dist_máx	Epicentro	Zona_sísmica	m_b	$m_b(Lg)$	m_L	$M_b mod$
		S Fuencaliente. LP	Isla de La Palma				
M_b	M	I_máx_calc	I_máx_obs	Dur_perc	Dist_perc	N_obs_I	Referencias
					21	1	CR, CS
N°	EVID	Fecha	Hora	Error_hora	RMS	Latitud	Longitud
515		23/10/1971	12:16			28.47	-17.85
S_mayor	S_menor	Acimut	Profundidad	Error_prof	N°_Datos	N°_Esta	GAP
Dist_mín	Dist_máx	Epicentro	Zona_sísmica	m_b	$m_b(Lg)$	m_L	$M_b mod$
		S Fuencaliente. LP	Isla de La Palma				
M_b	M	I_máx_calc	I_máx_obs	Dur_perc	Dist_perc	N_obs_I	Referencias
	3.8	4.5	2		21	3	IGN, MO, CR, CS

Nº	EVID	Fecha	Hora	Error_hora	RMS	Latitud	Longitud
516		23/10/1971	01:02:32.00			28.47	-17.85
S_mayor	S_menor	Acimut	Profundidad	Error_prof	Nº_Datos	Nº_Esta	GAP
Dist_mín	Dist_máx	Epicentro	Zona_sísmica	m_b	$m_b(Lg)$	m_L	$M_b mod$
		S Fuencaliente. LP	Isla de La Palma				
M_b	M	I_máx_calc	I_máx_obs	Dur_perc	Dist_perc	N_obs_I	Referencias
	3.8	4.5	2		21	3	IGN, MO, CR, CS
Nº	EVID	Fecha	Hora	Error_hora	RMS	Latitud	Longitud
517		23/10/1971	02:01:19.00			28.47	-17.85
S_mayor	S_menor	Acimut	Profundidad	Error_prof	Nº_Datos	Nº_Esta	GAP
Dist_mín	Dist_máx	Epicentro	Zona_sísmica	m_b	$m_b(Lg)$	m_L	$M_b mod$
		S Fuencaliente. LP	Isla de La Palma				
M_b	M	I_máx_calc	I_máx_obs	Dur_perc	Dist_perc	N_obs_I	Referencias
	3.8	4.5	2		21	3	IGN, MO, CR, CS
Nº	EVID	Fecha	Hora	Error_hora	RMS	Latitud	Longitud
518		23/10/1971	04:30			28.47	-17.85
S_mayor	S_menor	Acimut	Profundidad	Error_prof	Nº_Datos	Nº_Esta	GAP
Dist_mín	Dist_máx	Epicentro	Zona_sísmica	m_b	$m_b(Lg)$	m_L	$M_b mod$
		S Fuencaliente. LP	Isla de La Palma				
M_b	M	I_máx_calc	I_máx_obs	Dur_perc	Dist_perc	N_obs_I	Referencias
					23	1	IGN, CR, CS
Nº	EVID	Fecha	Hora	Error_hora	RMS	Latitud	Longitud
519	7107	23/10/1971	04:46:43.00			28.47	-17.85
S_mayor	S_menor	Acimut	Profundidad	Error_prof	Nº_Datos	Nº_Esta	GAP
Dist_mín	Dist_máx	Epicentro	Zona_sísmica	m_b	$m_b(Lg)$	m_L	$M_b mod$
		S Fuencaliente. LP	Isla de La Palma				
M_b	M	I_máx_calc	I_máx_obs	Dur_perc	Dist_perc	N_obs_I	Referencias
	4.1	5.0	3		21	1	IGN, MO, MM, CR, CS
Nº	EVID	Fecha	Hora	Error_hora	RMS	Latitud	Longitud
520		23/10/1971	04:48			28.47	-17.85
S_mayor	S_menor	Acimut	Profundidad	Error_prof	Nº_Datos	Nº_Esta	GAP
Dist_mín	Dist_máx	Epicentro	Zona_sísmica	m_b	$m_b(Lg)$	m_L	$M_b mod$
		S Fuencaliente. LP	Isla de La Palma				
M_b	M	I_máx_calc	I_máx_obs	Dur_perc	Dist_perc	N_obs_I	Referencias
					2	1	CR, CS
Nº	EVID	Fecha	Hora	Error_hora	RMS	Latitud	Longitud
521		23/10/1971	04:50			28.47	-17.85
S_mayor	S_menor	Acimut	Profundidad	Error_prof	Nº_Datos	Nº_Esta	GAP
Dist_mín	Dist_máx	Epicentro	Zona_sísmica	m_b	$m_b(Lg)$	m_L	$M_b mod$
		S Fuencaliente. LP	Isla de La Palma				
M_b	M	I_máx_calc	I_máx_obs	Dur_perc	Dist_perc	N_obs_I	Referencias
					2	1	CR, CS
Nº	EVID	Fecha	Hora	Error_hora	RMS	Latitud	Longitud
522		23/10/1971	04:54:24.00			28.47	-17.85
S_mayor	S_menor	Acimut	Profundidad	Error_prof	Nº_Datos	Nº_Esta	GAP
Dist_mín	Dist_máx	Epicentro	Zona_sísmica	m_b	$m_b(Lg)$	m_L	$M_b mod$
		S Fuencaliente. LP	Isla de La Palma				
M_b	M	I_máx_calc	I_máx_obs	Dur_perc	Dist_perc	N_obs_I	Referencias
	4.1	5.0	3		21	3	IGN, MO, CR, CS

N°	EVID	Fecha	Hora	Error_hora	RMS	Latitud	Longitud
523	7108	23/10/1971	05:25:11.00			28.47	-17.85
S_mayor	S_menor	Acimut	Profundidad	Error_prof	N°_Datos	N°_Esta	GAP
Dist_mín	Dist_máx	Epicentro	Zona_sísmica	m_b	$m_b(Lg)$	m_L	$M_b mod$
		S Fuencaliente. LP	Isla de La Palma				
M_b	M	I_máx_calc	I_máx_obs	Dur_perc	Dist_perc	N_obs_I	Referencias
	4.1	5.0	3		21	3	IGN, MO, MM, CR, CS
N°	EVID	Fecha	Hora	Error_hora	RMS	Latitud	Longitud
524	7109	23/10/1971	06:00			28.47	-17.85
S_mayor	S_menor	Acimut	Profundidad	Error_prof	N°_Datos	N°_Esta	GAP
Dist_mín	Dist_máx	Epicentro	Zona_sísmica	m_b	$m_b(Lg)$	m_L	$M_b mod$
		S Fuencaliente. LP	Isla de La Palma				
M_b	M	I_máx_calc	I_máx_obs	Dur_perc	Dist_perc	N_obs_I	Referencias
						+	IGN, MO, MM, CR
N°	EVID	Fecha	Hora	Error_hora	RMS	Latitud	Longitud
525	7110	23/10/1971	06:10:12.00			28.47	-17.85
S_mayor	S_menor	Acimut	Profundidad	Error_prof	N°_Datos	N°_Esta	GAP
Dist_mín	Dist_máx	Epicentro	Zona_sísmica	m_b	$m_b(Lg)$	m_L	$M_b mod$
		S Fuencaliente. LP	Isla de La Palma				
M_b	M	I_máx_calc	I_máx_obs	Dur_perc	Dist_perc	N_obs_I	Referencias
	3.8	4.5	2		21	3	IGN, MO, MM, CR, Cs
N°	EVID	Fecha	Hora	Error_hora	RMS	Latitud	Longitud
526	7111	23/10/1971	10:58:05.00			28.47	-17.85
S_mayor	S_menor	Acimut	Profundidad	Error_prof	N°_Datos	N°_Esta	GAP
Dist_mín	Dist_máx	Epicentro	Zona_sísmica	m_b	$m_b(Lg)$	m_L	$M_b mod$
		S Fuencaliente. LP	Isla de La Palma				
M_b	M	I_máx_calc	I_máx_obs	Dur_perc	Dist_perc	N_obs_I	Referencias
	4.0	4.8	4		21	4+	IGN, MO, MM, CR, CS
N°	EVID	Fecha	Hora	Error_hora	RMS	Latitud	Longitud
527		23/10/1971	15:30			28.47	-17.85
S_mayor	S_menor	Acimut	Profundidad	Error_prof	N°_Datos	N°_Esta	GAP
Dist_mín	Dist_máx	Epicentro	Zona_sísmica	m_b	$m_b(Lg)$	m_L	$M_b mod$
		S Fuencaliente. LP	Isla de La Palma				
M_b	M	I_máx_calc	I_máx_obs	Dur_perc	Dist_perc	N_obs_I	Referencias
					2	1	CR, CS
N°	EVID	Fecha	Hora	Error_hora	RMS	Latitud	Longitud
528	7112	23/10/1971	22:56:19.00			28.47	-17.85
S_mayor	S_menor	Acimut	Profundidad	Error_prof	N°_Datos	N°_Esta	GAP
Dist_mín	Dist_máx	Epicentro	Zona_sísmica	m_b	$m_b(Lg)$	m_L	$M_b mod$
		S Fuencaliente. LP	Isla de La Palma				
M_b	M	I_máx_calc	I_máx_obs	Dur_perc	Dist_perc	N_obs_I	Referencias
	3.8	4.5	2		21	3	IGN, MO, MM, CR, CS
N°	EVID	Fecha	Hora	Error_hora	RMS	Latitud	Longitud
529		24/10/1971	02:00			28.47	-17.85
S_mayor	S_menor	Acimut	Profundidad	Error_prof	N°_Datos	N°_Esta	GAP
Dist_mín	Dist_máx	Epicentro	Zona_sísmica	m_b	$m_b(Lg)$	m_L	$M_b mod$
		S Fuencaliente. LP	Isla de La Palma				
M_b	M	I_máx_calc	I_máx_obs	Dur_perc	Dist_perc	N_obs_I	Referencias
					21	3	CR

Nº	EVID	Fecha	Hora	Error_hora	RMS	Latitud	Longitud
530		24/10/1971	00:35			28.47	-17.85
S_mayor	S_menor	Acimut	Profundidad	Error_prof	Nº_Datos	Nº_Esta	GAP
Dist_mín	Dist_máx	Epicentro	Zona_sísmica	m_b	$m_b(Lg)$	m_L	$M_b mod$
		S Fuencaliente. LP	Isla de La Palma				
M_b	M	I_máx_calc	I_máx_obs	Dur_perc	Dist_perc	N_obs_I	Referencias
					2	1	CS
Nº	EVID	Fecha	Hora	Error_hora	RMS	Latitud	Longitud
531		24/10/1971	04:15			28.47	-17.85
S_mayor	S_menor	Acimut	Profundidad	Error_prof	Nº_Datos	Nº_Esta	GAP
Dist_mín	Dist_máx	Epicentro	Zona_sísmica	m_b	$m_b(Lg)$	m_L	$M_b mod$
		S Fuencaliente. LP	Isla de La Palma				
M_b	M	I_máx_calc	I_máx_obs	Dur_perc	Dist_perc	N_obs_I	Referencias
					2	1	CS
Nº	EVID	Fecha	Hora	Error_hora	RMS	Latitud	Longitud
532		24/10/1971	05:25			28.47	-17.85
S_mayor	S_menor	Acimut	Profundidad	Error_prof	Nº_Datos	Nº_Esta	GAP
Dist_mín	Dist_máx	Epicentro	Zona_sísmica	m_b	$m_b(Lg)$	m_L	$M_b mod$
		S Fuencaliente. LP	Isla de La Palma				
M_b	M	I_máx_calc	I_máx_obs	Dur_perc	Dist_perc	N_obs_I	Referencias
					2	1	CS
Nº	EVID	Fecha	Hora	Error_hora	RMS	Latitud	Longitud
533		24/10/1971	06:00			28.47	-17.85
S_mayor	S_menor	Acimut	Profundidad	Error_prof	Nº_Datos	Nº_Esta	GAP
Dist_mín	Dist_máx	Epicentro	Zona_sísmica	m_b	$m_b(Lg)$	m_L	$M_b mod$
		S Fuencaliente.LP	Isla de La Palma				
M_b	M	I_máx_calc	I_máx_obs	Dur_perc	Dist_perc	N_obs_I	Referencias
					21	3	CR
Nº	EVID	Fecha	Hora	Error_hora	RMS	Latitud	Longitud
534		24/10/1971	06:20			28.47	-17.85
S_mayor	S_menor	Acimut	Profundidad	Error_prof	Nº_Datos	Nº_Esta	GAP
Dist_mín	Dist_máx	Epicentro	Zona_sísmica	m_b	$m_b(Lg)$	m_L	$M_b mod$
		S Fuencaliente.LP	Isla de La Palma				
M_b	M	I_máx_calc	I_máx_obs	Dur_perc	Dist_perc	N_obs_I	Referencias
					2	1	CS
Nº	EVID	Fecha	Hora	Error_hora	RMS	Latitud	Longitud
535	7113	25/10/1971	04:16:58.00			28.47	-17.85
S_mayor	S_menor	Acimut	Profundidad	Error_prof	Nº_Datos	Nº_Esta	GAP
Dist_mín	Dist_máx	Epicentro	Zona_sísmica	m_b	$m_b(Lg)$	m_L	$M_b mod$
		S Fuencaliente.LP	Isla de La Palma				
M_b	M	I_máx_calc	I_máx_obs	Dur_perc	Dist_perc	N_obs_I	Referencias
	4.7	6.0	5	12	37	7+	IGN, MO, MM, CR, CS
Nº	EVID	Fecha	Hora	Error_hora	RMS	Latitud	Longitud
536	7114	25/10/1971	10:00			28.47	-17.85
S_mayor	S_menor	Acimut	Profundidad	Error_prof	Nº_Datos	Nº_Esta	GAP
Dist_mín	Dist_máx	Epicentro	Zona_sísmica	m_b	$m_b(Lg)$	m_L	$M_b mod$
		S Fuencaliente.LP	Isla de La Palma				
M_b	M	I_máx_calc	I_máx_obs	Dur_perc	Dist_perc	N_obs_I	Referencias
	4.7	6.0	6		4	1	IGN, MO, MM, CR, CS

N°	EVID	Fecha	Hora	Error_hora	RMS	Latitud	Longitud
537		25/10/1971	16:00			28.47	-17.85
S_mayor	S_menor	Acimut	Profundidad	Error_prof	N°_Datos	N°_Esta	GAP
Dist_mín	Dist_máx	Epicentro	Zona_sísmica	m_b	$m_b(Lg)$	m_L	$M_b mod$
		S Fuencaliente.LP	Isla de La Palma				
M_b	M	I_máx_calc	I_máx_obs	Dur_perc	Dist_perc	N_obs_I	Referencias
					2	1	CR
N°	EVID	Fecha	Hora	Error_hora	RMS	Latitud	Longitud
538	7115	25/10/1971	19:37			28.47	-17.85
S_mayor	S_menor	Acimut	Profundidad	Error_prof	N°_Datos	N°_Esta	GAP
Dist_mín	Dist_máx	Epicentro	Zona_sísmica	m_b	$m_b(Lg)$	m_L	$M_b mod$
		S Fuencaliente.LP	Isla de La Palma				
M_b	M	I_máx_calc	I_máx_obs	Dur_perc	Dist_perc	N_obs_I	Referencias
					2	1	IGN, MO, MM, CR, CS
N°	EVID	Fecha	Hora	Error_hora	RMS	Latitud	Longitud
539		25/10/1971	21:30			28.47	-17.85
S_mayor	S_menor	Acimut	Profundidad	Error_prof	N°_Datos	N°_Esta	GAP
Dist_mín	Dist_máx	Epicentro	Zona_sísmica	m_b	$m_b(Lg)$	m_L	$M_b mod$
		S Fuencaliente.LP	Isla de La Palma				
M_b	M	I_máx_calc	I_máx_obs	Dur_perc	Dist_perc	N_obs_I	Referencias
					2	1	CS
N°	EVID	Fecha	Hora	Error_hora	RMS	Latitud	Longitud
540	7116	26/10/1971	Noche			28.472	-17.850
S_mayor	S_menor	Acimut	Profundidad	Error_prof	N°_Datos	N°_Esta	GAP
Dist_mín	Dist_máx	Epicentro	Zona_sísmica	m_b	$m_b(Lg)$	m_L	$M_b mod$
		Volcán Teneguía	Isla de La Palma				
M_b	M	I_máx_calc	I_máx_obs	Dur_perc	Dist_perc	N_obs_I	Referencias
					21	1	CR
N°	EVID	Fecha	Hora	Error_hora	RMS	Latitud	Longitud
541		26/10/1971	10:36			28.472	-17.850
S_mayor	S_menor	Acimut	Profundidad	Error_prof	N°_Datos	N°_Esta	GAP
Dist_mín	Dist_máx	Epicentro	Zona_sísmica	m_b	$m_b(Lg)$	m_L	$M_b mod$
		Volcán Teneguía	Isla de La Palma				
M_b	M	I_máx_calc	I_máx_obs	Dur_perc	Dist_perc	N_obs_I	Referencias
						+	CR
N°	EVID	Fecha	Hora	Error_hora	RMS	Latitud	Longitud
542		26/10/1971	12:15			28.472	-17.850
S_mayor	S_menor	Acimut	Profundidad	Error_prof	N°_Datos	N°_Esta	GAP
Dist_mín	Dist_máx	Epicentro	Zona_sísmica	m_b	$m_b(Lg)$	m_L	$M_b mod$
		Volcán Teneguía	Isla de La Palma				
M_b	M	I_máx_calc	I_máx_obs	Dur_perc	Dist_perc	N_obs_I	Referencias
						+	CR
N°	EVID	Fecha	Hora	Error_hora	RMS	Latitud	Longitud
543	7117	27/10/1971	01:25			28.47	-17.85
S_mayor	S_menor	Acimut	Profundidad	Error_prof	N°_Datos	N°_Esta	GAP
Dist_mín	Dist_máx	Epicentro	Zona_sísmica	m_b	$m_b(Lg)$	m_L	$M_b mod$
		Volcán Teneguía	Isla de La Palma				
M_b	M	I_máx_calc	I_máx_obs	Dur_perc	Dist_perc	N_obs_I	Referencias
					2	1	IGN, MO, MM, CRCS

Nº	EVID	Fecha	Hora	Error_hora	RMS	Latitud	Longitud
544	7118	28/10/1971	09:56			28.47	-17.85
S_mayor	S_menor	Acimut	Profundidad	Error_prof	Nº_Datos	Nº_Esta	GAP
Dist_mín	Dist_máx	Epicentro	Zona_sísmica	m_b	$m_b(Lg)$	m_L	$M_b mod$
		Volcán Teneguía	Isla de La Palma				
M_b	M	I_máx_calc	I_máx_obs	Dur_perc	Dist_perc	N_obs_I	Referencias
						+	IGN, MO, MM, CR, CS
Nº	EVID	Fecha	Hora	Error_hora	RMS	Latitud	Longitud
545		28/10/1971	11:00			28.47	-17.85
S_mayor	S_menor	Acimut	Profundidad	Error_prof	Nº_Datos	Nº_Esta	GAP
Dist_mín	Dist_máx	Epicentro	Zona_sísmica	m_b	$m_b(Lg)$	m_L	$M_b mod$
		Volcán Teneguía	Isla de La Palma				
M_b	M	I_máx_calc	I_máx_obs	Dur_perc	Dist_perc	N_obs_I	Referencias
	4.3	5.4	3		21	1	CS
Nº	EVID	Fecha	Hora	Error_hora	RMS	Latitud	Longitud
546	7119	29/10/1971	06:00			28.47	-17.85
S_mayor	S_menor	Acimut	Profundidad	Error_prof	Nº_Datos	Nº_Esta	GAP
Dist_mín	Dist_máx	Epicentro	Zona_sísmica	m_b	$m_b(Lg)$	m_L	$M_b mod$
		Volcán Teneguía	Isla de La Palma				
M_b	M	I_máx_calc	I_máx_obs	Dur_perc	Dist_perc	N_obs_I	Referencias
					2	1+	IGN, MO, MM, CR, CS
Nº	EVID	Fecha	Hora	Error_hora	RMS	Latitud	Longitud
547		29/10/1971	Noche			28.47	-17.85
S_mayor	S_menor	Acimut	Profundidad	Error_prof	Nº_Datos	Nº_Esta	GAP
Dist_mín	Dist_máx	Epicentro	Zona_sísmica	m_b	$m_b(Lg)$	m_L	$M_b mod$
		Volcán Teneguía	Isla de La Palma				
M_b	M	I_máx_calc	I_máx_obs	Dur_perc	Dist_perc	N_obs_I	Referencias
							IGN, MO, CR
Nº	EVID	Fecha	Hora	Error_hora	RMS	Latitud	Longitud
548	7120	31/10/1971	03:28			28.47	-17.85
S_mayor	S_menor	Acimut	Profundidad	Error_prof	Nº_Datos	Nº_Esta	GAP
Dist_mín	Dist_máx	Epicentro	Zona_sísmica	m_b	$m_b(Lg)$	m_L	$M_b mod$
		Volcán Teneguía	Isla de La Palma				
M_b	M	I_máx_calc	I_máx_obs	Dur_perc	Dist_perc	N_obs_I	Referencias
	3.8	4.6	4		2	+	IGN, MO, MM
Nº	EVID	Fecha	Hora	Error_hora	RMS	Latitud	Longitud
549	7122	01/11/1971	11:39			28.47	-17.85
S_mayor	S_menor	Acimut	Profundidad	Error_prof	Nº_Datos	Nº_Esta	GAP
Dist_mín	Dist_máx	Epicentro	Zona_sísmica	m_b	$m_b(Lg)$	m_L	$M_b mod$
		Volcán Teneguía	Isla de La Palma				
M_b	M	I_máx_calc	I_máx_obs	Dur_perc	Dist_perc	N_obs_I	Referencias
							IGN, MO, MM, CR
Nº	EVID	Fecha	Hora	Error_hora	RMS	Latitud	Longitud
550	7123	01/11/1971	12:41			28.47	-17.85
S_mayor	S_menor	Acimut	Profundidad	Error_prof	Nº_Datos	Nº_Esta	GAP
Dist_mín	Dist_máx	Epicentro	Zona_sísmica	m_b	$m_b(Lg)$	m_L	$M_b mod$
		Volcán Teneguía	Isla de La Palma				
M_b	M	I_máx_calc	I_máx_obs	Dur_perc	Dist_perc	N_obs_I	Referencias
	3.8	4.6	4		2	1+	IGN, MO, MM, CR, CS

N°	EVID	Fecha	Hora	Error_hora	RMS	Latitud	Longitud
551	7124	01/11/1971	15:43			28.47	-17.85
S_mayor	S_menor	Acimut	Profundidad	Error_prof	N°_Datos	N°_Esta	GAP
Dist_mín	Dist_máx	Epicentro	Zona_sísmica	m_b	$m_b(Lg)$	m_L	$M_b mod$
		Volcán Teneguía	Isla de La Palma				
M_b	M	I_máx_calc	I_máx_obs	Dur_perc	Dist_perc	N_obs_I	Referencias
	3.2	3.6	3		2	1+	IGN, MO, MM, CR, CS
N°	EVID	Fecha	Hora	Error_hora	RMS	Latitud	Longitud
552	7125	04/11/1971	07:49			28.47	-17.85
S_mayor	S_menor	Acimut	Profundidad	Error_prof	N°_Datos	N°_Esta	GAP
Dist_mín	Dist_máx	Epicentro	Zona_sísmica	m_b	$m_b(Lg)$	m_L	$M_b mod$
		Volcán Teneguía	Isla de La Palma				
M_b	M	I_máx_calc	I_máx_obs	Dur_perc	Dist_perc	N_obs_I	Referencias
					2	1	IGN, MO, MM, CR, Cs
N°	EVID	Fecha	Hora	Error_hora	RMS	Latitud	Longitud
553		04/11/1971	10:30			28.47	-17.85
S_mayor	S_menor	Acimut	Profundidad	Error_prof	N°_Datos	N°_Esta	GAP
Dist_mín	Dist_máx	Epicentro	Zona_sísmica	m_b	$m_b(Lg)$	m_L	$M_b mod$
		Volcán Teneguía	Isla de La Palma				
M_b	M	I_máx_calc	I_máx_obs	Dur_perc	Dist_perc	N_obs_I	Referencias
					2	1	MO, CR, CS
N°	EVID	Fecha	Hora	Error_hora	RMS	Latitud	Longitud
554	7126	07/11/1971	Madrugada			28.47	-17.85
S_mayor	S_menor	Acimut	Profundidad	Error_prof	N°_Datos	N°_Esta	GAP
Dist_mín	Dist_máx	Epicentro	Zona_sísmica	m_b	$m_b(Lg)$	m_L	$M_b mod$
		Volcán Teneguía	Isla de La Palma				
M_b	M	I_máx_calc	I_máx_obs	Dur_perc	Dist_perc	N_obs_I	Referencias
					2	1	IGN, MO, MM, CR, CS
N°	EVID	Fecha	Hora	Error_hora	RMS	Latitud	Longitud
555	7127	09/11/1971	00:00			28.47	-17.85
S_mayor	S_menor	Acimut	Profundidad	Error_prof	N°_Datos	N°_Esta	GAP
Dist_mín	Dist_máx	Epicentro	Zona_sísmica	m_b	$m_b(Lg)$	m_L	$M_b mod$
		Volcán Teneguía	Isla de La Palma				
M_b	M	I_máx_calc	I_máx_obs	Dur_perc	Dist_perc	N_obs_I	Referencias
							IGN, MO, MM
N°	EVID	Fecha	Hora	Error_hora	RMS	Latitud	Longitud
556	7128	09/11/1971	02:20			28.47	-17.85
S_mayor	S_menor	Acimut	Profundidad	Error_prof	N°_Datos	N°_Esta	GAP
Dist_mín	Dist_máx	Epicentro	Zona_sísmica	m_b	$m_b(Lg)$	m_L	$M_b mod$
		Volcán Teneguía	Isla de La Palma				
M_b	M	I_máx_calc	I_máx_obs	Dur_perc	Dist_perc	N_obs_I	Referencias
						1+	IGN, MO, MM, CR, CS
N°	EVID	Fecha	Hora	Error_hora	RMS	Latitud	Longitud
557	7134	16/11/1971	05:15			28.47	-17.85
S_mayor	S_menor	Acimut	Profundidad	Error_prof	N°_Datos	N°_Esta	GAP
Dist_mín	Dist_máx	Epicentro	Zona_sísmica	m_b	$m_b(Lg)$	m_L	$M_b mod$
		Volcán Teneguía	Isla de La Palma				
M_b	M	I_máx_calc	I_máx_obs	Dur_perc	Dist_perc	N_obs_I	Referencias
	4.3	5.4	3		21	1+	IGN, MO, MM, CR, CS

Nº	EVID	Fecha	Hora	Error_hora	RMS	Latitud	Longitud
558	7135	16/11/1971	08:35			28.47	-17.85
S_mayor	S_menor	Acimut	Profundidad	Error_prof	Nº_Datos	Nº_Esta	GAP
Dist_mín	Dist_máx	Epicentro	Zona_sísmica	m_b	$m_b(Lg)$	m_L	$M_b mod$
		Volcán Teneguía	Isla de La Palma				
M_b	M	I_máx_calc	I_máx_obs	Dur_perc	Dist_perc	N_obs_I	Referencias
					21	1+	IGN, MO, MM, CR, CS
Nº	EVID	Fecha	Hora	Error_hora	RMS	Latitud	Longitud
559		16/11/1971	19:30			28.47	-17.85
S_mayor	S_menor	Acimut	Profundidad	Error_prof	Nº_Datos	Nº_Esta	GAP
Dist_mín	Dist_máx	Epicentro	Zona_sísmica	m_b	$m_b(Lg)$	m_L	$M_b mod$
		Volcán Teneguía	Isla de La Palma				
M_b	M	I_máx_calc	I_máx_obs	Dur_perc	Dist_perc	N_obs_I	Referencias
					21	1	MO, CR, CS
Nº	EVID	Fecha	Hora	Error_hora	RMS	Latitud	Longitud
560	7136	17/11/1971	01:00			28.47	-17.85
S_mayor	S_menor	Acimut	Profundidad	Error_prof	Nº_Datos	Nº_Esta	GAP
Dist_mín	Dist_máx	Epicentro	Zona_sísmica	m_b	$m_b(Lg)$	m_L	$M_b mod$
		Volcán Teneguía	Isla de La Palma				
M_b	M	I_máx_calc	I_máx_obs	Dur_perc	Dist_perc	N_obs_I	Referencias
	5.0	6.4	4		21	1	IGN, MO, MM, CR, CS
Nº	EVID	Fecha	Hora	Error_hora	RMS	Latitud	Longitud
561	7137	17/11/1971	10:55			28.47	-17.85
S_mayor	S_menor	Acimut	Profundidad	Error_prof	Nº_Datos	Nº_Esta	GAP
Dist_mín	Dist_máx	Epicentro	Zona_sísmica	m_b	$m_b(Lg)$	m_L	$M_b mod$
		Volcán Teneguía	Isla de La Palma				
M_b	M	I_máx_calc	I_máx_obs	Dur_perc	Dist_perc	N_obs_I	Referencias
					21	1	IGN, MO, MM, CR, CS
Nº	EVID	Fecha	Hora	Error_hora	RMS	Latitud	Longitud
562	7138	17/11/1971	12:30			28.47	-17.85
S_mayor	S_menor	Acimut	Profundidad	Error_prof	Nº_Datos	Nº_Esta	GAP
Dist_mín	Dist_máx	Epicentro	Zona_sísmica	m_b	$m_b(Lg)$	m_L	$M_b mod$
		Volcán Teneguía	Isla de La Palma				
M_b	M	I_máx_calc	I_máx_obs	Dur_perc	Dist_perc	N_obs_I	Referencias
					21	1	IGN, MO, MM, CR, CS
Nº	EVID	Fecha	Hora	Error_hora	RMS	Latitud	Longitud
563	7139	18/11/1971	11:00			28.47	-17.85
S_mayor	S_menor	Acimut	Profundidad	Error_prof	Nº_Datos	Nº_Esta	GAP
Dist_mín	Dist_máx	Epicentro	Zona_sísmica	m_b	$m_b(Lg)$	m_L	$M_b mod$
		Volcán Teneguía	Isla de La Palma				
M_b	M	I_máx_calc	I_máx_obs	Dur_perc	Dist_perc	N_obs_I	Referencias
					2	1	IGN, MO, MM, CR, CS
Nº	EVID	Fecha	Hora	Error_hora	RMS	Latitud	Longitud
564	7141	21/11/1971	Madrugada			28.47	-17.85
S_mayor	S_menor	Acimut	Profundidad	Error_prof	Nº_Datos	Nº_Esta	GAP
Dist_mín	Dist_máx	Epicentro	Zona_sísmica	m_b	$m_b(Lg)$	m_L	$M_b mod$
		Volcán Teneguía	Isla de La Palma				
M_b	M	I_máx_calc	I_máx_obs	Dur_perc	Dist_perc	N_obs_I	Referencias
					2	1	IGN, MO, MM, CR, CS

N°	EVID	Fecha	Hora	Error_hora	RMS	Latitud	Longitud
565	7145	04/12/1971	11:40:52.00			28.47	-17.85
S_mayor	S_menor	Acimut	Profundidad	Error_prof	N°_Datos	N°_Esta	GAP
Dist_mín	Dist_máx	Epicentro	Zona_sísmica	m_b	$m_b(Lg)$	m_L	$M_b mod$
		Volcán Teneguía	Isla de La Palma				
M_b	M	I_máx_calc	I_máx_obs	Dur_perc	Dist_perc	N_obs_I	Referencias
						+	IGN, MO, MM, CR, CS
N°	EVID	Fecha	Hora	Error_hora	RMS	Latitud	Longitud
566	7147	08/12/1971	06:45:38.00			28.47	-17.85
S_mayor	S_menor	Acimut	Profundidad	Error_prof	N°_Datos	N°_Esta	GAP
Dist_mín	Dist_máx	Epicentro	Zona_sísmica	m_b	$m_b(Lg)$	m_L	$M_b mod$
		Volcán Teneguía	Isla de La Palma				
M_b	M	I_máx_calc	I_máx_obs	Dur_perc	Dist_perc	N_obs_I	Referencias
						+	IGN, MO, MM, CR, CS
N°	EVID	Fecha	Hora	Error_hora	RMS	Latitud	Longitud
567	7270	16/01/1973	18:51			29.160	-18.701
S_mayor	S_menor	Acimut	Profundidad	Error_prof	N°_Datos	N°_Esta	GAP
Dist_mín	Dist_máx	Epicentro	Zona_sísmica	m_b	$m_b(Lg)$	m_L	$M_b mod$
		NO Isla de la Palma	Isla de La Palma				
M_b	M	I_máx_calc	I_máx_obs	Dur_perc	Dist_perc	N_obs_I	Referencias
					256	1	IGN
N°	EVID	Fecha	Hora	Error_hora	RMS	Latitud	Longitud
568		15/01/1974				28.506	-17.846
S_mayor	S_menor	Acimut	Profundidad	Error_prof	N°_Datos	N°_Esta	GAP
Dist_mín	Dist_máx	Epicentro	Zona_sísmica	m_b	$m_b(Lg)$	m_L	$M_b mod$
		Fuencaliente. LP	Isla de La Palma				
M_b	M	I_máx_calc	I_máx_obs	Dur_perc	Dist_perc	N_obs_I	Referencias
							Este trabajo(Diario de Avisos)
N°	EVID	Fecha	Hora	Error_hora	RMS	Latitud	Longitud
569		22/01/1975	00:26:36.05	0.77	1.71	29.160	-18.701
S_mayor	S_menor	Acimut	Profundidad	Error_prof	N°_Datos	N°_Esta	GAP
5.5	5.5	0	0f		33	33	188.0
Dist_mín	Dist_máx	Epicentro	Zona_sísmica	m_b	$m_b(Lg)$	m_L	$M_b mod$
2.0	76.0	NO Isla de la Palma	Océano Atlántico	4.5			
M_b	M	I_máx_calc	I_máx_obs	Dur_perc	Dist_perc	N_obs_I	Referencias
	4.9					+	IGN, ISC
N°	EVID	Fecha	Hora	Error_hora	RMS	Latitud	Longitud
570	7566	31/01/1975	23:11:05.55	0.85	0.31	28.830	-18.581
S_mayor	S_menor	Acimut	Profundidad	Error_prof	N°_Datos	N°_Esta	GAP
4.2	4.2	117.6	0f		7	3	309.8
Dist_mín	Dist_máx	Epicentro	Zona_sísmica	m_b	$m_b(Lg)$	m_L	$M_b mod$
0.6	2.1	NO Isla de la Palma	Océano Atlántico			3.7	3.3
M_b	M	I_máx_calc	I_máx_obs	Dur_perc	Dist_perc	N_obs_I	Referencias
3.7	3.7						IGN
N°	EVID	Fecha	Hora	Error_hora	RMS	Latitud	Longitud
571		23/02/1975	15:49:45.95	1.06	0.36	29.515	-15.775
S_mayor	S_menor	Acimut	Profundidad	Error_prof	N°_Datos	N°_Esta	GAP
5.3	5.3	51.6	0f		5	3	315.1
Dist_mín	Dist_máx	Epicentro	Zona_sísmica	m_b	$m_b(Lg)$	m_L	$M_b mod$
1.1	2.5	NE Isla de Tenerife	Océano Atlántico			2.8	2.5
M_b	M	I_máx_calc	I_máx_obs	Dur_perc	Dist_perc	N_obs_I	Referencias
2.8	2.8						IGN

Nº	EVID	Fecha	Hora	Error_hora	RMS	Latitud	Longitud
572		02/05/1975	02:29:12.33	1.99	0.71	26.179	-13.524
S_mayor	S_menor	Acimut	Profundidad	Error_prof	Nº_Datos	Nº_Esta	GAP
18.9	18.9	46.5	0f		5	3	339.6
Dist_mín	Dist_máx	Epicentro	Zona_sísmica	m_b	$m_b(Lg)$	m_L	$M_b(mod)$
3.3	4.6	S El- Aiún	Africa			2.8	2.5
M_b	M	$I_{máx_calc}$	$I_{máx_obs}$	Dur_perc	Dist_perc	N_obs_I	Referencias
2.8	2.8						IGN
Nº	EVID	Fecha	Hora	Error_hora	RMS	Latitud	Longitud
573		18/09/1975	22:04:34.02	0.69	0.31	27.053	-13.571
S_mayor	S_menor	Acimut	Profundidad	Error_prof	Nº_Datos	Nº_Esta	GAP
9.6	9.6	29.8	0f		6	3	340.7
Dist_mín	Dist_máx	Epicentro	Zona_sísmica	m_b	$m_b(Lg)$	m_L	$M_b(mod)$
2.8	4.2	E El-Aaiún	Océano Atlántico			3.4	3.0
M_b	M	$I_{máx_calc}$	$I_{máx_obs}$	Dur_perc	Dist_perc	N_obs_I	Referencias
3.4	3.4						IGN
Nº	EVID	Fecha	Hora	Error_hora	RMS	Latitud	Longitud
574	7705	12/12/1975	13:45:53.04	1.13	0.90	28.531	-16.592
S_mayor	S_menor	Acimut	Profundidad	Error_prof	Nº_Datos	Nº_Esta	GAP
9.6	9.6	3.5	0f		5	3	184.6
Dist_mín	Dist_máx	Epicentro	Zona_sísmica	m_b	$m_b(Lg)$	m_L	$M_b(mod)$
0.3	1.4	N Puerto de la Cruz.TF	Océano Atlántico			2.3	2.1
M_b	M	$I_{máx_calc}$	$I_{máx_obs}$	Dur_perc	Dist_perc	N_obs_I	Referencias
2.3	2.3						IGN
Nº	EVID	Fecha	Hora	Error_hora	RMS	Latitud	Longitud
575		06/07/1976	10:18:48.96	0.13	0.06	28.085	-16.434
S_mayor	S_menor	Acimut	Profundidad	Error_prof	Nº_Datos	Nº_Esta	GAP
0.7	0.7	110.4	5f		5	3	234.8
Dist_mín	Dist_máx	Epicentro	Zona_sísmica	m_b	$m_b(Lg)$	m_L	$M_b(mod)$
0.4	1.4	SE San Miguel de Tajao.TF	Zona atlántica Tenerife-Gran Canaria			2.8	2.5
M_b	M	$I_{máx_calc}$	$I_{máx_obs}$	Dur_perc	Dist_perc	N_obs_I	Referencias
2.8	2.8						IGN
Nº	EVID	Fecha	Hora	Error_hora	RMS	Latitud	Longitud
576	7767	06/07/1976	19:37:56.48	0.49	0.19	28.278	-16.490
S_mayor	S_menor	Acimut	Profundidad	Error_prof	Nº_Datos	Nº_Esta	GAP
9.9	9.9	158.6	9	8	9	3	200.6
Dist_mín	Dist_máx	Epicentro	Zona_sísmica	m_b	$m_b(Lg)$	m_L	$M_b(mod)$
0.3	1.3	SO Güímar	Valle de Güímar.TF			2.8	2.5
M_b	M	$I_{máx_calc}$	$I_{máx_obs}$	Dur_perc	Dist_perc	N_obs_I	Referencias
2.8	2.8						IGN
Nº	EVID	Fecha	Hora	Error_hora	RMS	Latitud	Longitud
577	7768	11/07/1976	03:17:06.24	2.45	1.00	28.999	-14.833
S_mayor	S_menor	Acimut	Profundidad	Error_prof	Nº_Datos	Nº_Esta	GAP
26.6	26.6	173.3	5f		6	3	343.1
Dist_mín	Dist_máx	Epicentro	Zona_sísmica	m_b	$m_b(Lg)$	m_L	$M_b(mod)$
1.4	3.0	NO Isla de Fuerteventura	Zona atlántica Gran Canaria-Fuerteventura			3.8	3.4
M_b	M	$I_{máx_calc}$	$I_{máx_obs}$	Dur_perc	Dist_perc	N_obs_I	Referencias
3.8	3.8						IGN
Nº	EVID	Fecha	Hora	Error_hora	RMS	Latitud	Longitud
578		26/02/1977	22:43:55.96	1.54	0.64	28.521	-20.559
S_mayor	S_menor	Acimut	Profundidad	Error_prof	Nº_Datos	Nº_Esta	GAP
18.1	18.1	10.1	5f		4	3	355.7
Dist_mín	Dist_máx	Epicentro	Zona_sísmica	m_b	$m_b(Lg)$	m_L	$M_b(mod)$
2.3	3.8	O Isla de La Palma	Océano Atlántico			5.3	4.7
M_b	M	$I_{máx_calc}$	$I_{máx_obs}$	Dur_perc	Dist_perc	N_obs_I	Referencias
5.3	5.3					+	IGN

N°	EVID	Fecha	Hora	Error_hora	RMS	Latitud	Longitud
579	7865	18/07/1977	05:34:55.16	0.53	0.21	28.318	-16.206
S_mayor	S_menor	Acimut	Profundidad	Error_prof	N°_Datos	N°_Esta	GAP
22.9	22.9	168.7	27	7	7	3	265.1
Dist_mín	Dist_máx	Epicentro	Zona_sísmica	m_b	$m_b(Lg)$	m_L	$M_b mod$
0.2	1.6	SE Candelaria.TF	Zona atlántica Tenerife-Gran Canaria			4.2	3.7
M_b	M	I_máx_calc	I_máx_obs	Dur_perc	Dist_perc	N_obs_I	Referencias
4.2	4.2	4.4	3		30	5	IGN
N°	EVID	Fecha	Hora	Error_hora	RMS	Latitud	Longitud
580		22/07/1977	12:26:09.57	1.10	0.30	28.298	-16.820
S_mayor	S_menor	Acimut	Profundidad	Error_prof	N°_Datos	N°_Esta	GAP
10.9	10.9	131.9	5f		4	3	171.6
Dist_mín	Dist_máx	Epicentro	Zona_sísmica	m_b	$m_b(Lg)$	m_L	$M_b mod$
0.5	1.1	Santiago del Teide. TF	Isla de Tenerife			2.8	2.5
M_b	M	I_máx_calc	I_máx_obs	Dur_perc	Dist_perc	N_obs_I	Referencias
2.8	2.8						IGN
N°	EVID	Fecha	Hora	Error_hora	RMS	Latitud	Longitud
581		25/07/1977	03:06:39.37	0.20	0.00	28.191	-17.486
S_mayor	S_menor	Acimut	Profundidad	Error_prof	N°_Datos	N°_Esta	GAP
2.1	2.1	157.2	5f		3	3	262.3
Dist_mín	Dist_máx	Epicentro	Zona_sísmica	m_b	$m_b(Lg)$	m_L	$M_b mod$
0.5	1.1	NO Isla de La Gomera	Océano Atlántico			3.6	3.2
M_b	M	I_máx_calc	I_máx_obs	Dur_perc	Dist_perc	N_obs_I	Referencias
3.6	3.6						IGN
N°	EVID	Fecha	Hora	Error_hora	RMS	Latitud	Longitud
582	7897	03/11/1977	01:23:07.69	0.01	0.00	28.086	-16.246
S_mayor	S_menor	Acimut	Profundidad	Error_prof	N°_Datos	N°_Esta	GAP
0.3	0.3	133.5	7	0	5	3	259.6
Dist_mín	Dist_máx	Epicentro	Zona_sísmica	m_b	$m_b(Lg)$	m_L	$M_b mod$
0.4	1.6	E San Miguel de Tajao.TF	Zona atlántica Tenerife-Gran Canaria			4.3	3.8
M_b	M	I_máx_calc	I_máx_obs	Dur_perc	Dist_perc	N_obs_I	Referencias
4.3	4.3						IGN
N°	EVID	Fecha	Hora	Error_hora	RMS	Latitud	Longitud
583		09/02/1978	10:30:59.84	0.26	0.10	30.713	-18.032
S_mayor	S_menor	Acimut	Profundidad	Error_prof	N°_Datos	N°_Esta	GAP
3.3	3.3	110.6	0f		5	3	359.1
Dist_mín	Dist_máx	Epicentro	Zona_sísmica	m_b	$m_b(Lg)$	m_L	$M_b mod$
2.1	2.9	N Isla de La palma	Océano Atlántico			3.6	3.2
M_b	M	I_máx_calc	I_máx_obs	Dur_perc	Dist_perc	N_obs_I	Referencias
3.6	3.6						IGN
N°	EVID	Fecha	Hora	Error_hora	RMS	Latitud	Longitud
584	7951	20/04/1978	11:44:10.01	0.43	0.21	28.083	-16.420
S_mayor	S_menor	Acimut	Profundidad	Error_prof	N°_Datos	N°_Esta	GAP
2.6	2.6	110.8	5f		9	3	324.0
Dist_mín	Dist_máx	Epicentro	Zona_sísmica	m_b	$m_b(Lg)$	m_L	$M_b mod$
0.4	1.4	E San Miguel de Tajao.TF	Zona atlántica Tenerife-Gran Canaria				2.7 2.4
M_b	M	I_máx_calc	I_máx_obs	Dur_perc	Dist_perc	N_obs_I	Referencias
2.7	2.7						IGN
N°	EVID	Fecha	Hora	Error_hora	RMS	Latitud	Longitud
585	7982	25/06/1978	16:23:57.96	0.10	0.00	28.866	-15.925
S_mayor	S_menor	Acimut	Profundidad	Error_prof	N°_Datos	N°_Esta	GAP
0.5	0.5	73.6	0f		7	3	310.8
Dist_mín	Dist_máx	Epicentro	Zona_sísmica	m_b	$m_b(Lg)$	m_L	$M_b mod$
0.5	2.0	NE Isla de Tenerife	Zona atlántica Tenerife-Gran Canaria			2.8	2.5
M_b	M	I_máx_calc	I_máx_obs	Dur_perc	Dist_perc	N_obs_I	Referencias
2.8	2.8						IGN

Nº	EVID	Fecha	Hora	Error_hora	RMS	Latitud	Longitud
586		10/10/1978	02:16:23.38	0.42	0.17	26.171	-15.996
S_mayor	S_menor	Acimut	Profundidad	Error_prof	Nº_Datos	Nº_Esta	GAP
2.9	2.9	6.3	5	0	6	3	331.6
Dist_mín	Dist_máx	Epicentro	Zona_sísmica	m_b	$m_b(Lg)$	m_L	$M_b mod$
2.3	3.0	SO Isla de Gran Canaria	Océano Atlántico			3.6	3.2
M_b	M	I_máx_calc	I_máx_obs	Dur_perc	Dist_perc	N_obs_I	Referencias
3.6	3.6						IGN
Nº	EVID	Fecha	Hora	Error_hora	RMS	Latitud	Longitud
587	8092	14/02/1979	19:43:33.06	0.66	0.21	27.699	-18.106
S_mayor	S_menor	Acimut	Profundidad	Error_prof	Nº_Datos	Nº_Esta	GAP
3.7	3.7	59	5f		7	3	305.1
Dist_mín	Dist_máx	Epicentro	Zona_sísmica	m_b	$m_b(Lg)$	m_L	$M_b mod$
0.2	1.8	SE Sabinosa.HE	Isla de El Hierro			3.2	2.9
M_b	M	I_máx_calc	I_máx_obs	Dur_perc	Dist_perc	N_obs_I	Referencias
3.3	3.2						IGN
Nº	EVID	Fecha	Hora	Error_hora	RMS	Latitud	Longitud
588		31/10/1979	13:58:05.23	0.24	0.11	28.304	-16.339
S_mayor	S_menor	Acimut	Profundidad	Error_prof	Nº_Datos	Nº_Esta	GAP
8.1	8.1	31	5f		5	3	223.5
Dist_mín	Dist_máx	Epicentro	Zona_sísmica	m_b	$m_b(Lg)$	m_L	$M_b mod$
0.2	1.5	NE Puertito de Güimar.TF	Zona atlántica Tenerife-Gran Canaria			3.6	3.2
M_b	M	I_máx_calc	I_máx_obs	Dur_perc	Dist_perc	N_obs_I	Referencias
3.6	3.6						IGN
Nº	EVID	Fecha	Hora	Error_hora	RMS	Latitud	Longitud
589	9044	22/04/1981	17:41:12.27	0.69	0.30	28.099	-16.174
S_mayor	S_menor	Acimut	Profundidad	Error_prof	Nº_Datos	Nº_Esta	GAP
3.5	3.5	106.1	5f		9	3	269.4
Dist_mín	Dist_máx	Epicentro	Zona_sísmica	m_b	$m_b(Lg)$	m_L	$M_b mod$
0.4	1.6	E San Miguel de Tajao.TF	Zona atlántica Tenerife-Gran Canaria			3.8	3.4
M_b	M	I_máx_calc	I_máx_obs	Dur_perc	Dist_perc	N_obs_I	Referencias
3.8	3.8	6.4	5		47	4	IGN
Nº	EVID	Fecha	Hora	Error_hora	RMS	Latitud	Longitud
590	9183	13/10/1981	05:28:24.98	0.06	0.05	28.013	-17.862
S_mayor	S_menor	Acimut	Profundidad	Error_prof	Nº_Datos	Nº_Esta	GAP
0.5	0.5	115.9	0f		5	3	164.1
Dist_mín	Dist_máx	Epicentro	Zona_sísmica	m_b	$m_b(Lg)$	m_L	$M_b mod$
0.2	1.5	N Isla de El Hierro	Océano Atlántico			2.4	2.2
M_b	M	I_máx_calc	I_máx_obs	Dur_perc	Dist_perc	N_obs_I	Referencias
2.4	2.4						IGN
Nº	EVID	Fecha	Hora	Error_hora	RMS	Latitud	Longitud
591		08/11/1981	10:55:27.30	5.22	1.83	29.122	-16.271
S_mayor	S_menor	Acimut	Profundidad	Error_prof	Nº_Datos	Nº_Esta	GAP
21.8	21.8	58	0f		5	3	284.7
Dist_mín	Dist_máx	Epicentro	Zona_sísmica	m_b	$m_b(Lg)$	m_L	$M_b mod$
0.7	2.0	N Isla de Tenerife	Océano Atlántico			2.8	2.5
M_b	M	I_máx_calc	I_máx_obs	Dur_perc	Dist_perc	N_obs_I	Referencias
2.8	2.8						IGN
Nº	EVID	Fecha	Hora	Error_hora	RMS	Latitud	Longitud
592	9202	16/11/1981	02:31:28.28	1.12	0.43	29.987	-15.375
S_mayor	S_menor	Acimut	Profundidad	Error_prof	Nº_Datos	Nº_Esta	GAP
6.8	6.8	129.9	5f		9	3	326.7
Dist_mín	Dist_máx	Epicentro	Zona_sísmica	m_b	$m_b(Lg)$	m_L	$M_b mod$
1.7	3.1	NE Isla de Tenerife	Océano Atlántico			3.8	3.4
M_b	M	I_máx_calc	I_máx_obs	Dur_perc	Dist_perc	N_obs_I	Referencias
3.8	3.8						IGN

N°	EVID	Fecha	Hora	Error_hora	RMS	Latitud	Longitud
593	9322	25/04/1982	04:15:32.34	0.81	0.30	28.826	-16.477
S_mayor	S_menor	Acimut	Profundidad	Error_prof	N°_Datos	N°_Esta	GAP
5.9	5.9	97	5f		7	3	320.9
Dist_mín	Dist_máx	Epicentro	Zona_sísmica	m_b	$m_b(Lg)$	m_L	$M_b(mod)$
0.4	0.6	N Isla de Tenerife	Océano Atlántico			2.7	2.4
M_b	M	I_máx_calc	I_máx_obs	Dur_perc	Dist_perc	N_obs_I	Referencias
2.7	2.7						IGN
N°	EVID	Fecha	Hora	Error_hora	RMS	Latitud	Longitud
594	9337	11/05/1982	11:35:58.56	0.75	0.41	28.041	-16.420
S_mayor	S_menor	Acimut	Profundidad	Error_prof	N°_Datos	N°_Esta	GAP
14.9	14.9	25.7	18	16	14	6	271.2
Dist_mín	Dist_máx	Epicentro	Zona_sísmica	m_b	$m_b(Lg)$	m_L	$M_b(mod)$
0.2	0.4	E El Médano.Tf	Zona atlántica Tenerife-Gran Canaria			2.2	2.0
M_b	M	I_máx_calc	I_máx_obs	Dur_perc	Dist_perc	N_obs_I	Referencias
2.2	2.2						IGN
N°	EVID	Fecha	Hora	Error_hora	RMS	Latitud	Longitud
595	9341	19/05/1982	00:02:33.64	0.68	0.37	27.888	-16.398
S_mayor	S_menor	Acimut	Profundidad	Error_prof	N°_Datos	N°_Esta	GAP
6.2	6.2	165.2	11	14	13	5	309.2
Dist_mín	Dist_máx	Epicentro	Zona_sísmica	m_b	$m_b(Lg)$	m_L	$M_b(mod)$
0.3	0.6	SE El Médano.Tf	Zona atlántica Tenerife-Gran Canaria			2.1	1.9
M_b	M	I_máx_calc	I_máx_obs	Dur_perc	Dist_perc	N_obs_I	Referencias
2.1	2.1						IGN
N°	EVID	Fecha	Hora	Error_hora	RMS	Latitud	Longitud
596	9342	19/05/1982	00:02:54.98	0.86	0.40	27.947	-16.465
S_mayor	S_menor	Acimut	Profundidad	Error_prof	N°_Datos	N°_Esta	GAP
7.5	7.5	15.88	16	14	12	4	316.4
Dist_mín	Dist_máx	Epicentro	Zona_sísmica	m_b	$m_b(Lg)$	m_L	$M_b(mod)$
0.3	0.6	SE El Médano.Tf	Zona atlántica Tenerife-Gran Canaria			2.1	1.9
M_b	M	I_máx_calc	I_máx_obs	Dur_perc	Dist_perc	N_obs_I	Referencias
2.1	2.1						IGN
N°	EVID	Fecha	Hora	Error_hora	RMS	Latitud	Longitud
597		23/05/1982	19:29:53.96	0.22	0.08	28.136	-16.321
S_mayor	S_menor	Acimut	Profundidad	Error_prof	N°_Datos	N°_Esta	GAP
10.3	10.3	15.2	22	7	9	3	339.3
Dist_mín	Dist_máx	Epicentro	Zona_sísmica	m_b	$m_b(Lg)$	m_L	$M_b(mod)$
0.2	0.3	E Abades.Tf	Zona atlántica Tenerife-Gran Canaria				
M_b	M	I_máx_calc	I_máx_obs	Dur_perc	Dist_perc	N_obs_I	Referencias
							IGN
N°	EVID	Fecha	Hora	Error_hora	RMS	Latitud	Longitud
598	9356	25/05/1982	04:43:56.41	0.72	0.41	28.169	-16.423
S_mayor	S_menor	Acimut	Profundidad	Error_prof	N°_Datos	N°_Esta	GAP
6.0	6.0	150.1	35	9	9	6	232.3
Dist_mín	Dist_máx	Epicentro	Zona_sísmica	m_b	$m_b(Lg)$	m_L	$M_b(mod)$
0.0	0.3	E Poris de Abona.Tf	Zona atlántica Tenerife-Gran Canaria			2.1	1.9
M_b	M	I_máx_calc	I_máx_obs	Dur_perc	Dist_perc	N_obs_I	Referencias
2.1	2.1						IGN
N°	EVID	Fecha	Hora	Error_hora	RMS	Latitud	Longitud
599		28/05/1982	10:24:03.12	1.19	0.52	27.755	-14.048
S_mayor	S_menor	Acimut	Profundidad	Error_prof	N°_Datos	N°_Esta	GAP
27.1	27.1	15.5	0f		6	4	351.4
Dist_mín	Dist_máx	Epicentro	Zona_sísmica	m_b	$m_b(Lg)$	m_L	$M_b(mod)$
2.1	2.4	N Isla de Fuerteventura	Océano Atlántico				
M_b	M	I_máx_calc	I_máx_obs	Dur_perc	Dist_perc	N_obs_I	Referencias
							IGN

Nº	EVID	Fecha	Hora	Error_hora	RMS	Latitud	Longitud
600		04/06/1982	12:24:11.90	0.78	0.42	28.060	-16.426
S_mayor	S_menor	Acimut	Profundidad	Error_prof	Nº_Datos	Nº_Esta	GAP
3.4	3.4	73.7	0f		10	4	294.5
Dist_mín	Dist_máx	Epicentro	Zona_sísmica	m_b	$m_b(Lg)$	m_L	$M_b mod$
0.1	0.4	E El Médano.TF	Zona atlántica Tenerife-Gran Canaria				
M_b	M	I_máx_calc	I_máx_obs	Dur_perc	Dist_perc	N_obs_I	Referencias
							IGN
Nº	EVID	Fecha	Hora	Error_hora	RMS	Latitud	Longitud
601	9363	06/06/1982	16:08:25.26	1.00	0.54	28.731	-16.347
S_mayor	S_menor	Acimut	Profundidad	Error_prof	Nº_Datos	Nº_Esta	GAP
4.7	4.7	98.9	5f		14	6	310.6
Dist_mín	Dist_máx	Epicentro	Zona_sísmica	m_b	$m_b(Lg)$	m_L	$M_b mod$
0.3	0.7	N Isla de Tenerife	Océano Atlántico			1.8	1.6
M_b	M	I_máx_calc	I_máx_obs	Dur_perc	Dist_perc	N_obs_I	Referencias
1.7	1.8						IGN
Nº	EVID	Fecha	Hora	Error_hora	RMS	Latitud	Longitud
602		23/11/1982	20:22:28.42	0.36	0.00	28.361	-16.341
S_mayor	S_menor	Acimut	Profundidad	Error_prof	Nº_Datos	Nº_Esta	GAP
11.0	11.0	23.9	5f		3	3	209.5
Dist_mín	Dist_máx	Epicentro	Zona_sísmica	m_b	$m_b(Lg)$	m_L	$M_b mod$
0.1	1.5	E Candelaria.TF	Zona atlántica Tenerife-Gran Canaria			2.6	2.3
M_b	M	I_máx_calc	I_máx_obs	Dur_perc	Dist_perc	N_obs_I	Referencias
2.6	2.6						IGN
Nº	EVID	Fecha	Hora	Error_hora	RMS	Latitud	Longitud
603	9620	09/10/1983	20:39:40.88	0.09	0.03	27.686	-18.133
S_mayor	S_menor	Acimut	Profundidad	Error_prof	Nº_Datos	Nº_Esta	GAP
0.6	0.6	22.7	19	1	7	3	307.0
Dist_mín	Dist_máx	Epicentro	Zona_sísmica	m_b	$m_b(Lg)$	m_L	$M_b mod$
0.2	1.8	NO La Restinga	Isla de El Hierro			2.6	2.3
M_b	M	I_máx_calc	I_máx_obs	Dur_perc	Dist_perc	N_obs_I	Referencias
2.6	2.6						IGN
Nº	EVID	Fecha	Hora	Error_hora	RMS	Latitud	Longitud
604		20/12/1983	21:00:06.52	0.38	0.18	28.200	-16.446
S_mayor	S_menor	Acimut	Profundidad	Error_prof	Nº_Datos	Nº_Esta	GAP
12.5	12.5	26.1	9f		5	3	223.4
Dist_mín	Dist_máx	Epicentro	Zona_sísmica	m_b	$m_b(Lg)$	m_L	$M_b mod$
0.3	1.4	Icor. TF	Valle de Güímar. TF			2.2	2.0
M_b	M	I_máx_calc	I_máx_obs	Dur_perc	Dist_perc	N_obs_I	Referencias
2.2	2.2						IGN
Nº	EVID	Fecha	Hora	Error_hora	RMS	Latitud	Longitud
605	9649	25/01/1984	09:10:09.11	1.07	0.51	28.994	-13.573
S_mayor	S_menor	Acimut	Profundidad	Error_prof	Nº_Datos	Nº_Esta	GAP
18.1	18.1	177.6	5f		9	3	347.5
Dist_mín	Dist_máx	Epicentro	Zona_sísmica	m_b	$m_b(Lg)$	m_L	$M_b mod$
2.4	4.0	Arrecife	Isla de Lanzarote			3.2	2.9
M_b	M	I_máx_calc	I_máx_obs	Dur_perc	Dist_perc	N_obs_I	Referencias
3.3	3.2		5		13	5	IGN
Nº	EVID	Fecha	Hora	Error_hora	RMS	Latitud	Longitud
606	9709	14/06/1984	22:44:52.36	1.19	0.47	29.778	-16.866
S_mayor	S_menor	Acimut	Profundidad	Error_prof	Nº_Datos	Nº_Esta	GAP
6.9	6.9	9.1	5f		9	3	297.5
Dist_mín	Dist_máx	Epicentro	Zona_sísmica	m_b	$m_b(Lg)$	m_L	$M_b mod$
1.4	2.2	N Isla de Tenerife	Océano Atlántico			3.4	3.0
M_b	M	I_máx_calc	I_máx_obs	Dur_perc	Dist_perc	N_obs_I	Referencias
3.4	3.4						IGN

N°	EVID	Fecha	Hora	Error_hora	RMS	Latitud	Longitud
607	9714	21/06/1984	03:55:06.47	1.65	0.79	27.517	-19.931
S_mayor	S_menor	Acimut	Profundidad	Error_prof	N°_Datos	N°_Esta	GAP
14.2	14.2	171.4	5f		9	3	336.1
Dist_mín	Dist_máx	Epicentro	Zona_sísmica	m_b	$m_b(Lg)$	m_L	$M_b mod$
1.8	3.4	O Isla de El Hierro	Océano Atlántico			3.1	2.8
M_b	M	I_máx_calc	I_máx_obs	Dur_perc	Dist_perc	N_obs_I	Referencias
3.1	3.1						IGN
N°	EVID	Fecha	Hora	Error_hora	RMS	Latitud	Longitud
608	9752	24/08/1984	19:20:48.66	0.38	0.15	27.715	-18.246
S_mayor	S_menor	Acimut	Profundidad	Error_prof	N°_Datos	N°_Esta	GAP
2.5	2.5	29.8	35	3	7	3	304.2
Dist_mín	Dist_máx	Epicentro	Zona_sísmica	m_b	$m_b(Lg)$	m_L	$M_b mod$
0.3	1.9	O Isla de El Hierro	Océano Atlántico			2.8	2.5
M_b	M	I_máx_calc	I_máx_obs	Dur_perc	Dist_perc	N_obs_I	Referencias
2.8	2.8						IGN
N°	EVID	Fecha	Hora	Error_hora	RMS	Latitud	Longitud
609		24/08/1984	22:37:00.05			27.7	-18.2
S_mayor	S_menor	Acimut	Profundidad	Error_prof	N°_Datos	N°_Esta	GAP
Dist_mín	Dist_máx	Epicentro	Zona_sísmica	m_b	$m_b(Lg)$	m_L	$M_b mod$
		O Isla de El Hierro	Océano Atlántico			2.9	2.6
M_b	M	I_máx_calc	I_máx_obs	Dur_perc	Dist_perc	N_obs_I	Referencias
2.9	2.9						IGN
N°	EVID	Fecha	Hora	Error_hora	RMS	Latitud	Longitud
610	9806	28/11/1984	06:13:44.15	0.48	0.29	28.303	-16.271
S_mayor	S_menor	Acimut	Profundidad	Error_prof	N°_Datos	N°_Esta	GAP
3.3	3.3	51.9	32	7	10	4	143.7
Dist_mín	Dist_máx	Epicentro	Zona_sísmica	m_b	$m_b(Lg)$	m_L	$M_b mod$
0.2	1.5	SE Candelaria.TF	Zona atlántica Tenerife-Gran Canaria			3.4	3.0
M_b	M	I_máx_calc	I_máx_obs	Dur_perc	Dist_perc	N_obs_I	Referencias
3.4	3.4						IGN
N°	EVID	Fecha	Hora	Error_hora	RMS	Latitud	Longitud
611	9810	10/12/1984	14:02:47.12	0.07	0.03	28.679	-15.642
S_mayor	S_menor	Acimut	Profundidad	Error_prof	N°_Datos	N°_Esta	GAP
0.1	0.1	138	5	0	6	3	289.4
Dist_mín	Dist_máx	Epicentro	Zona_sísmica	m_b	$m_b(Lg)$	m_L	$M_b mod$
0.6	2.0	N Gáldar.GC	Zona atlántica Tenerife-Gran Canaria			3.0	2.7
M_b	M	I_máx_calc	I_máx_obs	Dur_perc	Dist_perc	N_obs_I	Referencias
3.0	3.0						IGN
N°	EVID	Fecha	Hora	Error_hora	RMS	Latitud	Longitud
612		15/01/1985	02:16:12.38	0.64	0.00	28.474	-16.734
S_mayor	S_menor	Acimut	Profundidad	Error_prof	N°_Datos	N°_Esta	GAP
2.9	2.9	28	5	4	5	3	171.7
Dist_mín	Dist_máx	Epicentro	Zona_sísmica	m_b	$m_b(Lg)$	m_L	$M_b mod$
0.4	1.1	N Garachico.TF	Océano Atlántico			2.7	2.4
M_b	M	I_máx_calc	I_máx_obs	Dur_perc	Dist_perc	N_obs_I	Referencias
2.7	2.7						IGN
N°	EVID	Fecha	Hora	Error_hora	RMS	Latitud	Longitud
613	9879	23/02/1985	04:21:20.29	0.40	0.27	28.187	-16.188
S_mayor	S_menor	Acimut	Profundidad	Error_prof	N°_Datos	N°_Esta	GAP
2.8	2.8	46.2	15f		7	3	190.6
Dist_mín	Dist_máx	Epicentro	Zona_sísmica	m_b	$m_b(Lg)$	m_L	$M_b mod$
0.3	1.6	E Porís de Abona.TF	Zona atlántica Tenerife-Gran Canaria			3.1	2.8
M_b	M	I_máx_calc	I_máx_obs	Dur_perc	Dist_perc	N_obs_I	Referencias
3.1	3.1						IGN

Nº	EVID	Fecha	Hora	Error_hora	RMS	Latitud	Longitud
614	9930	28/03/1985	23:19:25.90	0.32	0.11	27.180	-14.471
S_mayor	S_menor	Acimut	Profundidad	Error_prof	Nº_Datos	Nº_Esta	GAP
1.9	1.9	31.4	5f		7	3	344.5
Dist_mín	Dist_máx	Epicentro	Zona_sísmica	m_b	$m_b(Lg)$	m_L	$M_b mod$
1.4	3.4	S Isla de Fuerteventura	Océano Atlántico			2.0	1.8
M_b	M	I_máx_calc	I_máx_obs	Dur_perc	Dist_perc	N_obs_I	Referencias
2.0	2.0						IGN
Nº	EVID	Fecha	Hora	Error_hora	RMS	Latitud	Longitud
615	9935	01/04/1985	14:33:47.22	0.90	0.18	26.765	-19.510
S_mayor	S_menor	Acimut	Profundidad	Error_prof	Nº_Datos	Nº_Esta	GAP
3.8	3.8	64.1	5f		5	4	328.5
Dist_mín	Dist_máx	Epicentro	Zona_sísmica	m_b	$m_b(Lg)$	m_L	$M_b mod$
1.8	3.7	SO Isla de El Hierro	Océano Atlántico			2.6	2.3
M_b	M	I_máx_calc	I_máx_obs	Dur_perc	Dist_perc	N_obs_I	Referencias
2.6	2.6						IGN
Nº	EVID	Fecha	Hora	Error_hora	RMS	Latitud	Longitud
616	9986	04/05/1985	23:39:46.48	0.34	0.14	28.506	-15.823
S_mayor	S_menor	Acimut	Profundidad	Error_prof	Nº_Datos	Nº_Esta	GAP
1.7	1.7	68.4	5f		6	3	250.6
Dist_mín	Dist_máx	Epicentro	Zona_sísmica	m_b	$m_b(Lg)$	m_L	$M_b mod$
0.4	1.8	E Igueste de San Andrés.TF	Zona atlántica Tenerife-Gran Canaria			3.1	2.8
M_b	M	I_máx_calc	I_máx_obs	Dur_perc	Dist_perc	N_obs_I	Referencias
3.1	3.1						IGN
Nº	EVID	Fecha	Hora	Error_hora	RMS	Latitud	Longitud
617		06/06/1985	03:15:49.20	2.26	1.22	26.479	-16.783
S_mayor	S_menor	Acimut	Profundidad	Error_prof	Nº_Datos	Nº_Esta	GAP
12.5	12.5	26.8	5f		9	5	285.0
Dist_mín	Dist_máx	Epicentro	Zona_sísmica	m_b	$m_b(Lg)$	m_L	$M_b mod$
1.7	3.1	S Isla de Tenerife	Océano Atlántico			4.0	3.6
M_b	M	I_máx_calc	I_máx_obs	Dur_perc	Dist_perc	N_obs_I	Referencias
4.1	4.0						IGN
Nº	EVID	Fecha	Hora	Error_hora	RMS	Latitud	Longitud
618	10083	01/08/1985	22:17:21.07	1.16	0.57	28.196	-17.018
S_mayor	S_menor	Acimut	Profundidad	Error_prof	Nº_Datos	Nº_Esta	GAP
5.8	5.8	151.1	60	13	10	4	0.7
Dist_mín	Dist_máx	Epicentro	Zona_sísmica	m_b	$m_b(Lg)$	m_L	$M_b mod$
1.2	1.3	O Alcalá.TF	Océano Atlántico			2.6	2.3
M_b	M	I_máx_calc	I_máx_obs	Dur_perc	Dist_perc	N_obs_I	Referencias
2.6	2.6						IGN
Nº	EVID	Fecha	Hora	Error_hora	RMS	Latitud	Longitud
619	10111	06/09/1985	09:01:22.08	0.22	0.16	28.149	-16.03
S_mayor	S_menor	Acimut	Profundidad	Error_prof	Nº_Datos	Nº_Esta	GAP
1.2	1.2	18	0f		5	3	193.5
Dist_mín	Dist_máx	Epicentro	Zona_sísmica	m_b	$m_b(Lg)$	m_L	$M_b mod$
0.3	1.7	O Gáldar.GC	Zona atlántica Tenerife-Gran Canaria			3.2	2.9
M_b	M	I_máx_calc	I_máx_obs	Dur_perc	Dist_perc	N_obs_I	Referencias
3.3	3.2						IGN
Nº	EVID	Fecha	Hora	Error_hora	RMS	Latitud	Longitud
620		01/11/1985	20:44:02.91	1.68	0.88	31.015	-13.719
S_mayor	S_menor	Acimut	Profundidad	Error_prof	Nº_Datos	Nº_Esta	GAP
10.1	10.1	136.4	0f		12	4	332.1
Dist_mín	Dist_máx	Epicentro	Zona_sísmica	m_b	$m_b(Lg)$	m_L	$M_b mod$
3.3	4.9	N Isla de Lanzarote	Océano Atlántico	4.8			
M_b	M	I_máx_calc	I_máx_obs	Dur_perc	Dist_perc	N_obs_I	Referencias
	5.1						IGN, USGS

N°	EVID	Fecha	Hora	Error_hora	RMS	Latitud	Longitud
621	10133	12/11/1985	13:39:13.63	0.43	0.34	28.156	-16.217
S_mayor	S_menor	Acimut	Profundidad	Error_prof	N°_Datos	N°_Esta	GAP
3.1	3.1	33.7	12f		9	3	195.7
Dist_mín	Dist_máx	Epicentro	Zona_sísmica	m_b	$m_b(Lg)$	m_L	$M_b(mod)$
0.3	1.6	E Porís de Abona.TF	Zona atlántica Tenerife-Gran Canaria			2.8	2.5
M_b	M	I_máx_calc	I_máx_obs	Dur_perc	Dist_perc	N_obs_I	Referencias
2.8	2.8						IGN
N°	EVID	Fecha	Hora	Error_hora	RMS	Latitud	Longitud
622		18/11/1985	11:01:42.51	1.13	0.57	30.961	-12.311
S_mayor	S_menor	Acimut	Profundidad	Error_prof	N°_Datos	N°_Esta	GAP
9.4	9.4	143.4	0f		10	4	340.1
Dist_mín	Dist_máx	Epicentro	Zona_sísmica	m_b	$m_b(Lg)$	m_L	$M_b(mod)$
4.1	5.3	NO Agadir	Océano Atlántico			3.9	3.5
M_b	M	I_máx_calc	I_máx_obs	Dur_perc	Dist_perc	N_obs_I	Referencias
3.9	3.9						IGN
N°	EVID	Fecha	Hora	Error_hora	RMS	Latitud	Longitud
623	10138	19/11/1985	04:03:26.24	0.11	0.04	28.302	-15.973
S_mayor	S_menor	Acimut	Profundidad	Error_prof	N°_Datos	N°_Esta	GAP
6.3	6.3	4.5	66	1	7	3	176.5
Dist_mín	Dist_máx	Epicentro	Zona_sísmica	m_b	$m_b(Lg)$	m_L	$M_b(mod)$
0.3	1.8	NO Santa Cruz de Tenerife	Zona atlántica Tenerife-Gran Canaria			2.7	2.4
M_b	M	I_máx_calc	I_máx_obs	Dur_perc	Dist_perc	N_obs_I	Referencias
2.7	2.7						IGN
N°	EVID	Fecha	Hora	Error_hora	RMS	Latitud	Longitud
624	10152	24/12/1985	21:16:49.15	0.36	0.37	28.150	-16.285
S_mayor	S_menor	Acimut	Profundidad	Error_prof	N°_Datos	N°_Esta	GAP
9.8	9.8	168.4	27	13	13	5	164.9
Dist_mín	Dist_máx	Epicentro	Zona_sísmica	m_b	$m_b(Lg)$	m_L	$M_b(mod)$
0.3	2.0	E Porís de Abona.TF	Zona atlántica Tenerife-Gran Canaria			3.2	2.9
M_b	M	I_máx_calc	I_máx_obs	Dur_perc	Dist_perc	N_obs_I	Referencias
3.3	3.2						IGN
N°	EVID	Fecha	Hora	Error_hora	RMS	Latitud	Longitud
625	10187	04/02/1986	18:42:20.31	0.56	0.23	28.323	-16.108
S_mayor	S_menor	Acimut	Profundidad	Error_prof	N°_Datos	N°_Esta	GAP
4.5	4.5	170.9	2	2	8	5	163.6
Dist_mín	Dist_máx	Epicentro	Zona_sísmica	m_b	$m_b(Lg)$	m_L	$M_b(mod)$
0.2	1.8	E Candelaria.TF	Zona atlántica Tenerife-Gran Canaria			3.0	2.7
M_b	M	I_máx_calc	I_máx_obs	Dur_perc	Dist_perc	N_obs_I	Referencias
3.0	3.0						IGN
N°	EVID	Fecha	Hora	Error_hora	RMS	Latitud	Longitud
626	10213	12/03/1986	14:23:25.37	1.04	0.41	29.528	-16.869
S_mayor	S_menor	Acimut	Profundidad	Error_prof	N°_Datos	N°_Esta	GAP
3.7	3.7	5.2	5	0	6	4	274.6
Dist_mín	Dist_máx	Epicentro	Zona_sísmica	m_b	$m_b(Lg)$	m_L	$M_b(mod)$
1.2	2.7	NE Isla de La Palma	Océano Atlántico			2.9	2.6
M_b	M	I_máx_calc	I_máx_obs	Dur_perc	Dist_perc	N_obs_I	Referencias
2.9	2.9						IGN
N°	EVID	Fecha	Hora	Error_hora	RMS	Latitud	Longitud
627	10223	19/03/1986	15:49:13.40	0.89	0.00	28.561	-15.075
S_mayor	S_menor	Acimut	Profundidad	Error_prof	N°_Datos	N°_Esta	GAP
			5f		2	3	360.0
Dist_mín	Dist_máx	Epicentro	Zona_sísmica	m_b	$m_b(Lg)$	m_L	$M_b(mod)$
0.7	0.7	NE Isla de Gran Canaria	Zona atlántica Tenerife-Gran Canaria			2.4	2.2
M_b	M	I_máx_calc	I_máx_obs	Dur_perc	Dist_perc	N_obs_I	Referencias
2.4	2.4						IGN

N°	EVID	Fecha	Hora	Error_hora	RMS	Latitud	Longitud
628	10227	22/03/1986	01:02:35.87	1.52	0.74	28.068	-16.288
S_mayor	S_menor	Acimut	Profundidad	Error_prof	N°_Datos	N°_Esta	GAP
5.0	5.0	44.6	5f		10	4	208.7
Dist_mín	Dist_máx	Epicentro	Zona_sísmica	m_b	$m_b(Lg)$	m_L	$M_b mod$
0.4	2.0	E Arenas del Mar.TF	Zona atlántica Tenerife-Gran Canaria			2.9	2.6
M_b	M	I_máx_calc	I_máx_obs	Dur_perc	Dist_perc	N_obs_I	Referencias
2.9	2.9						IGN
N°	EVID	Fecha	Hora	Error_hora	RMS	Latitud	Longitud
629	10280	16/05/1986	04:28:47.18	0.12	0.05	29.261	-14.802
S_mayor	S_menor	Acimut	Profundidad	Error_prof	N°_Datos	N°_Esta	GAP
2.8	2.8	171	9	2	7	4	264.0
Dist_mín	Dist_máx	Epicentro	Zona_sísmica	m_b	$m_b(Lg)$	m_L	$M_b mod$
1.1	2.8	S La Geira	Isla de Lanzarote			2.4	2.2
M_b	M	I_máx_calc	I_máx_obs	Dur_perc	Dist_perc	N_obs_I	Referencias
2.4	2.4						IGN
N°	EVID	Fecha	Hora	Error_hora	RMS	Latitud	Longitud
630	10298	04/06/1986	07:31:38.87	0.78	0.40	28.635	-14.592
S_mayor	S_menor	Acimut	Profundidad	Error_prof	N°_Datos	N°_Esta	GAP
4.6	4.6	18.2	0f		9	3	211.7
Dist_mín	Dist_máx	Epicentro	Zona_sísmica	m_b	$m_b(Lg)$	m_L	$M_b mod$
0.5	1.5	O El Cotillo.FV	Zona atlántica Tenerife-Gran Canaria			2.7	2.4
M_b	M	I_máx_calc	I_máx_obs	Dur_perc	Dist_perc	N_obs_I	Referencias
2.7	2.7						IGN
N°	EVID	Fecha	Hora	Error_hora	RMS	Latitud	Longitud
631	10307	14/06/1986	10:13:50.81	0.04	0.01	28.149	-16.257
S_mayor	S_menor	Acimut	Profundidad	Error_prof	N°_Datos	N°_Esta	GAP
0.5	0.5	9.8	31	0	7	3	266.3
Dist_mín	Dist_máx	Epicentro	Zona_sísmica	m_b	$m_b(Lg)$	m_L	$M_b mod$
0.3	1.9	E Punta de Abona.TF	Zona atlántica Tenerife-Gran Canaria			1.9	1.7
M_b	M	I_máx_calc	I_máx_obs	Dur_perc	Dist_perc	N_obs_I	Referencias
1.9	1.9						IGN
N°	EVID	Fecha	Hora	Error_hora	RMS	Latitud	Longitud
632	10345	16/08/1986	06:13:08.46	0.67	0.50	28.198	-16.196
S_mayor	S_menor	Acimut	Profundidad	Error_prof	N°_Datos	N°_Esta	GAP
24.0	24.0	169.4	24	16	10	5	189.1
Dist_mín	Dist_máx	Epicentro	Zona_sísmica	m_b	$m_b(Lg)$	m_L	$M_b mod$
0.3	1.9	E Los Roques.TF	Zona atlántica Tenerife-Gran Canaria			2.9	2.6
M_b	M	I_máx_calc	I_máx_obs	Dur_perc	Dist_perc	N_obs_I	Referencias
2.9	2.9						IGN
N°	EVID	Fecha	Hora	Error_hora	RMS	Latitud	Longitud
633	10348	21/08/1986	18:50:06.20	0.21	0.08	28.185	-16.154
S_mayor	S_menor	Acimut	Profundidad	Error_prof	N°_Datos	N°_Esta	GAP
3.4	3.4	9.4	36	2	7	4	244.1
Dist_mín	Dist_máx	Epicentro	Zona_sísmica	m_b	$m_b(Lg)$	m_L	$M_b mod$
0.3	1.8	E Las Eras.TF	Zona atlántica Tenerife-Gran Canaria			2.8	2.5
M_b	M	I_máx_calc	I_máx_obs	Dur_perc	Dist_perc	N_obs_I	Referencias
2.8	2.8						IGN
N°	EVID	Fecha	Hora	Error_hora	RMS	Latitud	Longitud
634	10361	11/09/1986	20:56:53.99	1.46	0.53	28.062	-16.205
S_mayor	S_menor	Acimut	Profundidad	Error_prof	N°_Datos	N°_Esta	GAP
6.6	6.6	71.1	0f		7	3	269.7
Dist_mín	Dist_máx	Epicentro	Zona_sísmica	m_b	$m_b(Lg)$	m_L	$M_b mod$
0.4	1.9	E San Miguel de Tajao.TF	Zona atlántica Tenerife-Gran Canaria			1.6	1.5
M_b	M	I_máx_calc	I_máx_obs	Dur_perc	Dist_perc	N_obs_I	Referencias
1.6	1.6						IGN

N°	EVID	Fecha	Hora	Error_hora	RMS	Latitud	Longitud
635	10371	02/10/1986	14:21:45.74	0.49	0.19	28.285	-16.205
S_mayor	S_menor	Acimut	Profundidad	Error_prof	N°_Datos	N°_Esta	GAP
9.8	9.8	10.3	42	3	7	3	237.4
Dist_mín	Dist_máx	Epicentro	Zona_sísmica	m_b	$m_b(Lg)$	m_L	$M_b mod$
0.2	1.9	E Puertito de Güimar. TF	Zona atlántica Tenerife-Gran Canaria			1.6	1.5
M_b	M	I_máx_calc	I_máx_obs	Dur_perc	Dist_perc	N_obs_I	Referencias
1.6	1.6						IGN
N°	EVID	Fecha	Hora	Error_hora	RMS	Latitud	Longitud
636	10372	03/10/1986	13:42:06.10	0.42	0.26	29.434	-14.816
S_mayor	S_menor	Acimut	Profundidad	Error_prof	N°_Datos	N°_Esta	GAP
2.2	2.2	36.5	18f		12	4	252.3
Dist_mín	Dist_máx	Epicentro	Zona_sísmica	m_b	$m_b(Lg)$	m_L	$M_b mod$
1.2	2.8	NO Isla de Lanzarote	Océano Atlántico			2.3	2.1
M_b	M	I_máx_calc	I_máx_obs	Dur_perc	Dist_perc	N_obs_I	Referencias
2.3	2.3						IGN
N°	EVID	Fecha	Hora	Error_hora	RMS	Latitud	Longitud
637	10406	17/11/1986	00:41:27.00	0.24	0.12	27.697	-15.017
S_mayor	S_menor	Acimut	Profundidad	Error_prof	N°_Datos	N°_Esta	GAP
5.6	5.6	7.9	8	4	12	4	242.7
Dist_mín	Dist_máx	Epicentro	Zona_sísmica	m_b	$m_b(Lg)$	m_L	$M_b mod$
0.7	2.7	E Maspalomas. GC	Zona atlántica Tenerife-Gran Canaria			3.1	2.8
M_b	M	I_máx_calc	I_máx_obs	Dur_perc	Dist_perc	N_obs_I	Referencias
3.1	3.1						IGN
N°	EVID	Fecha	Hora	Error_hora	RMS	Latitud	Longitud
638	10411	27/11/1986	07:30:07.61	0.02	0.01	28.127	-15.157
S_mayor	S_menor	Acimut	Profundidad	Error_prof	N°_Datos	N°_Esta	GAP
0.7	0.7	1.9	5	0	7	3	196.3
Dist_mín	Dist_máx	Epicentro	Zona_sísmica	m_b	$m_b(Lg)$	m_L	$M_b mod$
0.4	1.0	E Las Palmas de Gran Canaria	Zona atlántica Gran Canaria-Fuerteventura			2.1	1.9
M_b	M	I_máx_calc	I_máx_obs	Dur_perc	Dist_perc	N_obs_I	Referencias
2.1	2.1						IGN
N°	EVID	Fecha	Hora	Error_hora	RMS	Latitud	Longitud
639	10420	02/12/1986	23:22:40.26	0.59	0.20	29.461	-13.282
S_mayor	S_menor	Acimut	Profundidad	Error_prof	N°_Datos	N°_Esta	GAP
3.5	3.5	158.5	0f		5	3	337.4
Dist_mín	Dist_máx	Epicentro	Zona_sísmica	m_b	$m_b(Lg)$	m_L	$M_b mod$
2.5	4.1	NE Isla Graciosa	Zona atlántica Gran Canaria-Fuerteventura			2.8	2.5
M_b	M	I_máx_calc	I_máx_obs	Dur_perc	Dist_perc	N_obs_I	Referencias
2.8	2.8						IGN
N°	EVID	Fecha	Hora	Error_hora	RMS	Latitud	Longitud
640	10456	12/01/1987	05:18:46.22	0.64	0.56	28.396	-16.847
S_mayor	S_menor	Acimut	Profundidad	Error_prof	N°_Datos	N°_Esta	GAP
28.7	28.7	13.9	5f		9	3	182.8
Dist_mín	Dist_máx	Epicentro	Zona_sísmica	m_b	$m_b(Lg)$	m_L	$M_b mod$
0.5	1.1	N Buenavista del Norte. TF	Océano Atlántico			2.9	2.6
M_b	M	I_máx_calc	I_máx_obs	Dur_perc	Dist_perc	N_obs_I	Referencias
2.9	2.9						IGN
N°	EVID	Fecha	Hora	Error_hora	RMS	Latitud	Longitud
641		13/02/1987	10:49:41.55	0.36	0.13	31.508	-16.986
S_mayor	S_menor	Acimut	Profundidad	Error_prof	N°_Datos	N°_Esta	GAP
0.8	0.8	85.6	5f		7	3	324.4
Dist_mín	Dist_máx	Epicentro	Zona_sísmica	m_b	$m_b(Lg)$	m_L	$M_b mod$
2.9	3.6	S Isla de Madeira	Océano Atlántico			3.1	2.8
M_b	M	I_máx_calc	I_máx_obs	Dur_perc	Dist_perc	N_obs_I	Referencias
3.1	3.1						IGN

Nº	EVID	Fecha	Hora	Error_hora	RMS	Latitud	Longitud
642		04/04/1987	04:19:04.90	0.17	0.06	28.856	-16.004
S_mayor	S_menor	Acimut	Profundidad	Error_prof	Nº_Datos	Nº_Esta	GAP
8.2	8.2	169.9	55	2	5	3	251.6
Dist_mín	Dist_máx	Epicentro	Zona_sísmica	m_b	$m_b(Lg)$	m_L	$M_b mod$
0.4	1.7	NE Isla de Tenerife	Océano Atlántico			2.3	2.1
M_b	M	I_máx_calc	I_máx_obs	Dur_perc	Dist_perc	N_obs_I	Referencias
2.3	2.3						IGN
Nº	EVID	Fecha	Hora	Error_hora	RMS	Latitud	Longitud
643	10518	09/04/1987	00:44:18.96	0.19	0.07	28.172	-16.194
S_mayor	S_menor	Acimut	Profundidad	Error_prof	Nº_Datos	Nº_Esta	GAP
2.3	2.3	8.8	40	4	7	3	193.0
Dist_mín	Dist_máx	Epicentro	Zona_sísmica	m_b	$m_b(Lg)$	m_L	$M_b mod$
0.3	1.6	E Poris de Abona. TF	Zona atlántica Tenerife-Gran Canaria			2.5	2.3
M_b	M	I_máx_calc	I_máx_obs	Dur_perc	Dist_perc	N_obs_I	Referencias
2.5	2.5						IGN
Nº	EVID	Fecha	Hora	Error_hora	RMS	Latitud	Longitud
644	10521	11/04/1987	03:58:31.96	0.77	0.80	28.549	-17.183
S_mayor	S_menor	Acimut	Profundidad	Error_prof	Nº_Datos	Nº_Esta	GAP
8.1	8.1	6.7	0f		10	4	173.0
Dist_mín	Dist_máx	Epicentro	Zona_sísmica	m_b	$m_b(Lg)$	m_L	$M_b mod$
0.7	1.4	N Isla de La Gomera	Océano Atlántico			2.8	2.5
M_b	M	I_máx_calc	I_máx_obs	Dur_perc	Dist_perc	N_obs_I	Referencias
2.8	2.8						IGN
Nº	EVID	Fecha	Hora	Error_hora	RMS	Latitud	Longitud
645		04/05/1987	23:42:00.05	0.44	0.18	26.409	-16.414
S_mayor	S_menor	Acimut	Profundidad	Error_prof	Nº_Datos	Nº_Esta	GAP
2.7	2.7	70.3	5	0	6	3	312.7
Dist_mín	Dist_máx	Epicentro	Zona_sísmica	m_b	$m_b(Lg)$	m_L	$M_b mod$
1.8	2.1	S Isla de Tenerife	Océano Atlántico			3.1	2.8
M_b	M	I_máx_calc	I_máx_obs	Dur_perc	Dist_perc	N_obs_I	Referencias
3.1	3.1						IGN
Nº	EVID	Fecha	Hora	Error_hora	RMS	Latitud	Longitud
646		16/06/1987	21:44:19.29	0.59	0.44	28.378	-15.576
S_mayor	S_menor	Acimut	Profundidad	Error_prof	Nº_Datos	Nº_Esta	GAP
4.5	4.5	60	0f		7	3	168.4
Dist_mín	Dist_máx	Epicentro	Zona_sísmica	m_b	$m_b(Lg)$	m_L	$M_b mod$
0.3	1.3	N San Felipe. GC	Océano Atlántico			2.4	2.2
M_b	M	I_máx_calc	I_máx_obs	Dur_perc	Dist_perc	N_obs_I	Referencias
2.4	2.4						IGN
Nº	EVID	Fecha	Hora	Error_hora	RMS	Latitud	Longitud
647		19/06/1987	04:34:13.16	0.43	0.14	29.227	-14.446
S_mayor	S_menor	Acimut	Profundidad	Error_prof	Nº_Datos	Nº_Esta	GAP
1.8	1.8	35.6	0f		7	3	273.1
Dist_mín	Dist_máx	Epicentro	Zona_sísmica	m_b	$m_b(Lg)$	m_L	$M_b mod$
0.9	1.8	O Isla Graciosa	Zona atlántica Gran Canaria-Fuerteventura			2.7	2.4
M_b	M	I_máx_calc	I_máx_obs	Dur_perc	Dist_perc	N_obs_I	Referencias
2.7	2.7						IGN
Nº	EVID	Fecha	Hora	Error_hora	RMS	Latitud	Longitud
648	10584	01/07/1987	11:08:04.85	0.49	0.26	28.700	-15.112
S_mayor	S_menor	Acimut	Profundidad	Error_prof	Nº_Datos	Nº_Esta	GAP
2.6	2.6	162.6	0f		7	3	209.2
Dist_mín	Dist_máx	Epicentro	Zona_sísmica	m_b	$m_b(Lg)$	m_L	$M_b mod$
0.7	1.0	NE Isla de Gran Canaria	Zona atlántica Gran Canaria-Fuerteventura			2.4	2.1
M_b	M	I_máx_calc	I_máx_obs	Dur_perc	Dist_perc	N_obs_I	Referencias
2.4	2.4						IGN

N°	EVID	Fecha	Hora	Error_hora	RMS	Latitud	Longitud
649	10588	07/07/1987	16:51:44.30	0.47	0.20	29.141	-13.417
S_mayor	S_menor	Acimut	Profundidad	Error_prof	N°_Datos	N°_Esta	GAP
3.1	3.1	151	5f		9	3	323.2
Dist_mín	Dist_máx	Epicentro	Zona_sísmica	m_b	$m_b(Lg)$	m_L	$M_b mod$
0.9	2.6	E Punta Mujeres. LZ	Océano Atlántico			3.5	2.6
M_b	M	I_máx_calc	I_máx_obs	Dur_perc	Dist_perc	N_obs_I	Referencias
3.5	3.5						IGN
N°	EVID	Fecha	Hora	Error_hora	RMS	Latitud	Longitud
650	10602	29/07/1987	19:49:19.39	1.03	0.51	27.962	-16.265
S_mayor	S_menor	Acimut	Profundidad	Error_prof	N°_Datos	N°_Esta	GAP
8.6	8.6	160.4	2	4	10	4	220.2
Dist_mín	Dist_máx	Epicentro	Zona_sísmica	m_b	$m_b(Lg)$	m_L	$M_b mod$
0.5	2.0	SE El Médano. TF	Zona atlántica Tenerife-Gran Canaria			3.0	2.7
M_b	M	I_máx_calc	I_máx_obs	Dur_perc	Dist_perc	N_obs_I	Referencias
3.0	3.0						IGN
N°	EVID	Fecha	Hora	Error_hora	RMS	Latitud	Longitud
651	10606	01/08/1987	21:07:10.98	0.09	0.04	28.189	-14.546
S_mayor	S_menor	Acimut	Profundidad	Error_prof	N°_Datos	N°_Esta	GAP
5.5	5.5	11	21f		7	3	205.0
Dist_mín	Dist_máx	Epicentro	Zona_sísmica	m_b	$m_b(Lg)$	m_L	$M_b mod$
0.5	1.5	O Isla de Fuerteventura	Zona atlántica Gran Canaria-Fuerteventura			2.6	2.3
M_b	M	I_máx_calc	I_máx_obs	Dur_perc	Dist_perc	N_obs_I	Referencias
2.6	2.6						IGN
N°	EVID	Fecha	Hora	Error_hora	RMS	Latitud	Longitud
652		20/09/1987	00:43:09.08	2.52	1.18	28.794	-15.968
S_mayor	S_menor	Acimut	Profundidad	Error_prof	N°_Datos	N°_Esta	GAP
12.2	12.2	46	5f		7	3	249.7
Dist_mín	Dist_máx	Epicentro	Zona_sísmica	m_b	$m_b(Lg)$	m_L	$M_b mod$
0.4	1.7	NE Isla de Tenerife	Zona atlántica Tenerife-Gran Canaria			2.7	2.4
M_b	M	I_máx_calc	I_máx_obs	Dur_perc	Dist_perc	N_obs_I	Referencias
2.7	2.7						IGN
N°	EVID	Fecha	Hora	Error_hora	RMS	Latitud	Longitud
653		22/09/1987	07:48:29.77	1.05	0.41	28.073	-16.265
S_mayor	S_menor	Acimut	Profundidad	Error_prof	N°_Datos	N°_Esta	GAP
23.2	23.2	167.6	45	5	7	3	215.0
Dist_mín	Dist_máx	Epicentro	Zona_sísmica	m_b	$m_b(Lg)$	m_L	$M_b mod$
0.1	1.6	E San Miguel de Tajao. TF	Zona atlántica Tenerife-Gran Canaria			2.3	2.1
M_b	M	I_máx_calc	I_máx_obs	Dur_perc	Dist_perc	N_obs_I	Referencias
2.3	2.3						IGN
N°	EVID	Fecha	Hora	Error_hora	RMS	Latitud	Longitud
654	10822	23/04/1988	05:47:20.76	0.23	0.09	28.755	-15.751
S_mayor	S_menor	Acimut	Profundidad	Error_prof	N°_Datos	N°_Esta	GAP
0.7	0.7	43.8	14	4	7	3	262.7
Dist_mín	Dist_máx	Epicentro	Zona_sísmica	m_b	$m_b(Lg)$	m_L	$M_b mod$
0.5	1.9	NE Isla de Tenerife	Zona atlántica Tenerife-Gran Canaria			2.4	2.2
M_b	M	I_máx_calc	I_máx_obs	Dur_perc	Dist_perc	N_obs_I	Referencias
2.4	2.4						IGN
N°	EVID	Fecha	Hora	Error_hora	RMS	Latitud	Longitud
655		05/05/1988	21:07:25.64	0.10	0.04	28.621	-15.891
S_mayor	S_menor	Acimut	Profundidad	Error_prof	N°_Datos	N°_Esta	GAP
0.3	0.3	179.9	34	1	6	2	269.1
Dist_mín	Dist_máx	Epicentro	Zona_sísmica	m_b	$m_b(Lg)$	m_L	$M_b mod$
0.4	0.5	NE Isla de Tenerife	Zona atlántica Tenerife-Gran Canaria			2.1	1.9
M_b	M	I_máx_calc	I_máx_obs	Dur_perc	Dist_perc	N_obs_I	Referencias
2.1	2.1						IGN

N°	EVID	Fecha	Hora	Error_hora	RMS	Latitud	Longitud
656		19/05/1988	03:35:17.36	0.65	0.00	28.993	-15.711
S_mayor	S_menor	Acimut	Profundidad	Error_prof	N°_Datos	N°_Esta	GAP
3.2	3.2	40.9	5f		6	2	312.2
Dist_mín	Dist_máx	Epicentro	Zona_sísmica	m_b	$m_b(Lg)$	m_L	$M_b mod$
0.7	0.9	NE Isla de Tenerife	Zona atlántica Tenerife-Gran Canaria			2.6	2.3
M_b	M	I_máx_calc	I_máx_obs	Dur_perc	Dist_perc	N_obs_I	Referencias
2.6	2.6						IGN
N°	EVID	Fecha	Hora	Error_hora	RMS	Latitud	Longitud
657		25/05/1988	16:01:09.10	1.56	0.56	28.367	-15.518
S_mayor	S_menor	Acimut	Profundidad	Error_prof	N°_Datos	N°_Esta	GAP
6.4	6.4	77.4	5f		7	3	283.1
Dist_mín	Dist_máx	Epicentro	Zona_sísmica	m_b	$m_b(Lg)$	m_L	$M_b mod$
0.3	2.1	N Isla de Gran Canaria	Zona atlántica Tenerife-Gran Canaria			2.8	2.5
M_b	M	I_máx_calc	I_máx_obs	Dur_perc	Dist_perc	N_obs_I	Referencias
2.8	2.8						IGN
N°	EVID	Fecha	Hora	Error_hora	RMS	Latitud	Longitud
658		27/05/1988	06:00:17.29	0.34	0.16	27.398	-18.586
S_mayor	S_menor	Acimut	Profundidad	Error_prof	N°_Datos	N°_Esta	GAP
3.1	3.1	24.5	33	7	12	4	310.8
Dist_mín	Dist_máx	Epicentro	Zona_sísmica	m_b	$m_b(Lg)$	m_L	$M_b mod$
0.7	2.7	SO Isla de El Hierro	Océano Atlántico			3.1	2.8
M_b	M	I_máx_calc	I_máx_obs	Dur_perc	Dist_perc	N_obs_I	Referencias
3.1	3.1						IGN
N°	EVID	Fecha	Hora	Error_hora	RMS	Latitud	Longitud
659	10974	27/08/1988	09:17:35.89	1.74	0.82	28.489	-15.019
S_mayor	S_menor	Acimut	Profundidad	Error_prof	N°_Datos	N°_Esta	GAP
10.6	10.6	87	5f		10	4	321.2
Dist_mín	Dist_máx	Epicentro	Zona_sísmica	m_b	$m_b(Lg)$	m_L	$M_b mod$
0.7	2.7	E Isla de Fuerteventura	Zona atlántica Gran Canaria-Fuerteventura			3.7	3.2
M_b	M	I_máx_calc	I_máx_obs	Dur_perc	Dist_perc	N_obs_I	Referencias
3.7	3.7						IGN
N°	EVID	Fecha	Hora	Error_hora	RMS	Latitud	Longitud
660	10980	30/08/1988	04:41:35.24	1.32	0.38	27.655	-15.347
S_mayor	S_menor	Acimut	Profundidad	Error_prof	N°_Datos	N°_Esta	GAP
4.9	4.9	64.1	19f		7	3	323.8
Dist_mín	Dist_máx	Epicentro	Zona_sísmica	m_b	$m_b(Lg)$	m_L	$M_b mod$
0.5	2.5	SE Isla de Gran Canaria	Zona atlántica Gran Canaria-Fuerteventura			3.2	2.9
M_b	M	I_máx_calc	I_máx_obs	Dur_perc	Dist_perc	N_obs_I	Referencias
3.2	3.2						IGN
N°	EVID	Fecha	Hora	Error_hora	RMS	Latitud	Longitud
661		18/09/1988	06:34:11.47	0.20	0.12	28.138	-16.179
S_mayor	S_menor	Acimut	Profundidad	Error_prof	N°_Datos	N°_Esta	GAP
1.4	1.4	40.2	29f		7	3	197.8
Dist_mín	Dist_máx	Epicentro	Zona_sísmica	m_b	$m_b(Lg)$	m_L	$M_b mod$
0.3	1.6	E Abades .TF	Zona atlántica Tenerife-Gran Canaria			2.9	2.6
M_b	M	I_máx_calc	I_máx_obs	Dur_perc	Dist_perc	N_obs_I	Referencias
2.9	2.9						IGN
N°	EVID	Fecha	Hora	Error_hora	RMS	Latitud	Longitud
662		23/09/1988	09:32:06.18	0.41	0.16	29.858	-15.130
S_mayor	S_menor	Acimut	Profundidad	Error_prof	N°_Datos	N°_Esta	GAP
2.5	2.5	117	0f		7	3	309.6
Dist_mín	Dist_máx	Epicentro	Zona_sísmica	m_b	$m_b(Lg)$	m_L	$M_b mod$
1.7	2.7	NE Isla de Tenerife	Zona atlántica Tenerife-Gran Canaria			3.0	2.7
M_b	M	I_máx_calc	I_máx_obs	Dur_perc	Dist_perc	N_obs_I	Referencias
3.0	3.0						IGN

N°	EVID	Fecha	Hora	Error_hora	RMS	Latitud	Longitud
663	11046	14/11/1988	19:14:27.48	0.39	0.20	28.144	-16.143
S_mayor	S_menor	Acimut	Profundidad	Error_prof	N°_Datos	N°_Esta	GAP
1.5	1.5	10	14	5	10	4	195.3
Dist_mín	Dist_máx	Epicentro	Zona_sísmica	m_b	$m_b(Lg)$	m_L	$M_b mod$
0.4	1.8	O Puerto de Sardina.GC	Zona atlántica Tenerife-Gran Canaria			2.9	2.6
M_b	M	I_máx_calc	I_máx_obs	Dur_perc	Dist_perc	N_obs_I	Referencias
2.9	2.9						IGN
N°	EVID	Fecha	Hora	Error_hora	RMS	Latitud	Longitud
664	11047	15/11/1988	09:40:34.78	1.42	0.46	28.173	-16.070
S_mayor	S_menor	Acimut	Profundidad	Error_prof	N°_Datos	N°_Esta	GAP
58.0	58.0	148.3	5f		7	3	233.3
Dist_mín	Dist_máx	Epicentro	Zona_sísmica	m_b	$m_b(Lg)$	m_L	$M_b mod$
0.3	1.8	O Puerto de Sardina.GC	Zona atlántica Tenerife-Gran Canaria			2.1	2.0
M_b	M	I_máx_calc	I_máx_obs	Dur_perc	Dist_perc	N_obs_I	Referencias
2.1	2.1						IGN
N°	EVID	Fecha	Hora	Error_hora	RMS	Latitud	Longitud
665		19/11/1988	09:39:07.67	1.38	0.69	30.110	-12.613
S_mayor	S_menor	Acimut	Profundidad	Error_prof	N°_Datos	N°_Esta	GAP
9.2	9.2	149.4	5f		9	3	323.4
Dist_mín	Dist_máx	Epicentro	Zona_sísmica	m_b	$m_b(Lg)$	m_L	$M_b mod$
2.1	4.5	NE Isla de Lanzarote.	Zona atlántica Gran Canaria-Fuerteventura			3.1	2.8
M_b	M	I_máx_calc	I_máx_obs	Dur_perc	Dist_perc	N_obs_I	Referencias
3.1	3.1						IGN
N°	EVID	Fecha	Hora	Error_hora	RMS	Latitud	Longitud
666	11056	29/11/1988	04:27:37.34	0.73	0.90	28.394	-15.080
S_mayor	S_menor	Acimut	Profundidad	Error_prof	N°_Datos	N°_Esta	GAP
9.1	9.1	172.5	5f		10	4	171.3
Dist_mín	Dist_máx	Epicentro	Zona_sísmica	m_b	$m_b(Lg)$	m_L	$M_b mod$
0.6	2.5	NE Las Palmas de Gran Canaria	Zona atlántica Gran Canaria-Fuerteventura			3.3	2.8
M_b	M	I_máx_calc	I_máx_obs	Dur_perc	Dist_perc	N_obs_I	Referencias
3.3	3.3						IGN
N°	EVID	Fecha	Hora	Error_hora	RMS	Latitud	Longitud
667	11058	30/11/1988	05:53:55.00	0.07	0.03	29.214	-14.549
S_mayor	S_menor	Acimut	Profundidad	Error_prof	N°_Datos	N°_Esta	GAP
3.5	3.5	6.9	10	2	7	3	268.3
Dist_mín	Dist_máx	Epicentro	Zona_sísmica	m_b	$m_b(Lg)$	m_L	$M_b mod$
0.9	1.7	O Isla de Lanzarote	Zona atlántica Gran Canaria-Fuerteventura			3.1	2.7
M_b	M	I_máx_calc	I_máx_obs	Dur_perc	Dist_perc	N_obs_I	Referencias
3.1	3.1						IGN
N°	EVID	Fecha	Hora	Error_hora	RMS	Latitud	Longitud
668		06/12/1988	22:41:26.22	0.46	0.38	28.587	-16.489
S_mayor	S_menor	Acimut	Profundidad	Error_prof	N°_Datos	N°_Esta	GAP
15.7	15.7	170.1	40	5	8	4	179.6
Dist_mín	Dist_máx	Epicentro	Zona_sísmica	m_b	$m_b(Lg)$	m_L	$M_b mod$
0.2	2.1	NO Tacoronte.TF	Océano Atlántico			2.4	2.2
M_b	M	I_máx_calc	I_máx_obs	Dur_perc	Dist_perc	N_obs_I	Referencias
2.4	2.4						IGN
N°	EVID	Fecha	Hora	Error_hora	RMS	Latitud	Longitud
669		18/02/1989	20:09:52.04	0.12	0.09	28.298	-15.984
S_mayor	S_menor	Acimut	Profundidad	Error_prof	N°_Datos	N°_Esta	GAP
1.3	1.3	16.8	7f		5	3	186.4
Dist_mín	Dist_máx	Epicentro	Zona_sísmica	m_b	$m_b(Lg)$	m_L	$M_b mod$
0.3	1.7	NO Gáldar. GC	Zona atlántica Tenerife-Gran Canaria			2.3	2.1
M_b	M	I_máx_calc	I_máx_obs	Dur_perc	Dist_perc	N_obs_I	Referencias
2.3	2.3						IGN

Nº	EVID	Fecha	Hora	Error_hora	RMS	Latitud	Longitud
670	11159	01/03/1989	16:08:16.68	0.75	0.29	27.562	-17.875
S_mayor	S_menor	Acimut	Profundidad	Error_prof	Nº_Datos	Nº_Esta	GAP
3.5	3.5	65.5	0f		7	5	273.3
Dist_mín	Dist_máx	Epicentro	Zona_sísmica	m_b	$m_b(Lg)$	m_L	$M_b mod$
0.3	3.5	SE La Restinga.HE	Océano Atlántico			2.7	2.4
M_b	M	$I_{máx_calc}$	$I_{máx_obs}$	Dur_perc	Dist_perc	N_obs_I	Referencias
2.7	2.7						IGN
Nº	EVID	Fecha	Hora	Error_hora	RMS	Latitud	Longitud
671	11181	22/03/1989	18:00:30.29	0.54	0.27	28.309	-15.206
S_mayor	S_menor	Acimut	Profundidad	Error_prof	Nº_Datos	Nº_Esta	GAP
2.3	2.3	154	1	2	8	4	163.0
Dist_mín	Dist_máx	Epicentro	Zona_sísmica	m_b	$m_b(Lg)$	m_L	$M_b mod$
0.4	2.4	NE Las Palmas de Gran Canaria	Zona atlántica Gran Canaria-Fuerteventura			2.9	
M_b	M	$I_{máx_calc}$	$I_{máx_obs}$	Dur_perc	Dist_perc	N_obs_I	Referencias
2.9	2.9						IGN
Nº	EVID	Fecha	Hora	Error_hora	RMS	Latitud	Longitud
672	11182	22/03/1989	19:28:06.74	0.35	0.32	28.411	-16.969
S_mayor	S_menor	Acimut	Profundidad	Error_prof	Nº_Datos	Nº_Esta	GAP
16.7	16.7	21.9	22f		10	4	184.5
Dist_mín	Dist_máx	Epicentro	Zona_sísmica	m_b	$m_b(Lg)$	m_L	$M_b mod$
0.6	2.5	NO Buenavista del Norte.TF	Océano Atlántico			2.5	
M_b	M	$I_{máx_calc}$	$I_{máx_obs}$	Dur_perc	Dist_perc	N_obs_I	Referencias
2.5	2.5						IGN
Nº	EVID	Fecha	Hora	Error_hora	RMS	Latitud	Longitud
673	11185	23/03/1989	10:37:02.67	0.58	0.52	28.676	-16.923
S_mayor	S_menor	Acimut	Profundidad	Error_prof	Nº_Datos	Nº_Esta	GAP
5.1	5.1	7	5f		10	4	184.8
Dist_mín	Dist_máx	Epicentro	Zona_sísmica	m_b	$m_b(Lg)$	m_L	$M_b mod$
0.6	2.5	N Isla de Tenerife	Océano Atlántico			2.4	
M_b	M	$I_{máx_calc}$	$I_{máx_obs}$	Dur_perc	Dist_perc	N_obs_I	Referencias
2.4	2.4						IGN
Nº	EVID	Fecha	Hora	Error_hora	RMS	Latitud	Longitud
674	11211	25/04/1989	09:28:05.99	0.52	0.52	28.477	-16.278
S_mayor	S_menor	Acimut	Profundidad	Error_prof	Nº_Datos	Nº_Esta	GAP
7.0	7.0	157.6	53	5	13	5	160.3
Dist_mín	Dist_máx	Epicentro	Zona_sísmica	m_b	$m_b(Lg)$	m_L	$M_b mod$
0.0	1.9	Santa Cruz de Tenerife	Isla de Tenerife			3.1	
M_b	M	$I_{máx_calc}$	$I_{máx_obs}$	Dur_perc	Dist_perc	N_obs_I	Referencias
3.1	3.1						IGN
Nº	EVID	Fecha	Hora	Error_hora	RMS	Latitud	Longitud
675	11215	09/05/1989	02:30:37.94	0.29	0.21	27.917	-16.195
S_mayor	S_menor	Acimut	Profundidad	Error_prof	Nº_Datos	Nº_Esta	GAP
2.9	2.9	173.1	29	14	11	5	192.2
Dist_mín	Dist_máx	Epicentro	Zona_sísmica	m_b	$m_b(Lg)$	m_L	$M_b mod$
0.5	1.9	O Mogán.GC	Zona atlántica Tenerife-Gran Canaria	5.2		5.5	4.7
M_b	M	$I_{máx_calc}$	$I_{máx_obs}$	Dur_perc	Dist_perc	N_obs_I	Referencias
5.3	5.0	6.7	5		186	36+	IGN, USGS, SPGM, ISC
Nº	EVID	Fecha	Hora	Error_hora	RMS	Latitud	Longitud
676	11216	09/05/1989	02:39:49.31	0.47	0.17	28.206	-16.105
S_mayor	S_menor	Acimut	Profundidad	Error_prof	Nº_Datos	Nº_Esta	GAP
8.3	8.3	9	30	4	9	3	231.4
Dist_mín	Dist_máx	Epicentro	Zona_sísmica	m_b	$m_b(Lg)$	m_L	$M_b mod$
0.3	1.8	E Los Roques.TF	Zona atlántica Tenerife-Gran Canaria			2.7	
M_b	M	$I_{máx_calc}$	$I_{máx_obs}$	Dur_perc	Dist_perc	N_obs_I	Referencias
2.7	2.7						IGN

N°	EVID	Fecha	Hora	Error_hora	RMS	Latitud	Longitud
677	11217	09/05/1989	02:41:02.63	0.59	0.23	28.082	-16.061
S_mayor	S_menor	Acimut	Profundidad	Error_prof	N°_Datos	N°_Esta	GAP
13.9	13.9	8.6	32	9	7	3	251.6
Dist_mín	Dist_máx	Epicentro	Zona_sísmica	m_b	$m_b(Lg)$	m_L	$M_b mod$
0.4	1.8	O Agaete.GC	Zona atlántica Tenerife-Gran Canaria			2.6	
M_b	M	I_máx_calc	I_máx_obs	Dur_perc	Dist_perc	N_obs_I	Referencias
2.6	2.6						IGN
N°	EVID	Fecha	Hora	Error_hora	RMS	Latitud	Longitud
678	11218	09/05/1989	02:47:50.57	1.05	0.38	28.095	-16.103
S_mayor	S_menor	Acimut	Profundidad	Error_prof	N°_Datos	N°_Esta	GAP
10.4	10.4	8.7	24	16	9	3	253.5
Dist_mín	Dist_máx	Epicentro	Zona_sísmica	m_b	$m_b(Lg)$	m_L	$M_b mod$
0.4	1.8	E San Miguel de Tajao. TF	Zona atlántica Tenerife-Gran Canaria			2.7	
M_b	M	I_máx_calc	I_máx_obs	Dur_perc	Dist_perc	N_obs_I	Referencias
2.7	2.7						IGN
N°	EVID	Fecha	Hora	Error_hora	RMS	Latitud	Longitud
679	11219	09/05/1989	02:48:34.08	1.13	0.44	28.144	-16.112
S_mayor	S_menor	Acimut	Profundidad	Error_prof	N°_Datos	N°_Esta	GAP
17.6	17.6	9.5	49	7	7	3	245.2
Dist_mín	Dist_máx	Epicentro	Zona_sísmica	m_b	$m_b(Lg)$	m_L	$M_b mod$
0.4	1.8	E Porís de Abona. TF	Zona atlántica Tenerife-Gran Canaria			2.5	
M_b	M	I_máx_calc	I_máx_obs	Dur_perc	Dist_perc	N_obs_I	Referencias
2.5	2.5						IGN
N°	EVID	Fecha	Hora	Error_hora	RMS	Latitud	Longitud
680	11220	09/05/1989	02:49:22.96	0.21	0.08	28.205	-16.135
S_mayor	S_menor	Acimut	Profundidad	Error_prof	N°_Datos	N°_Esta	GAP
3.8	3.8	9.7	41	2	9	3	237.0
Dist_mín	Dist_máx	Epicentro	Zona_sísmica	m_b	$m_b(Lg)$	m_L	$M_b mod$
0.3	1.8	E Los Roques. TF	Zona atlántica Tenerife-Gran Canaria			2.7	
M_b	M	I_máx_calc	I_máx_obs	Dur_perc	Dist_perc	N_obs_I	Referencias
2.7	2.7						IGN
N°	EVID	Fecha	Hora	Error_hora	RMS	Latitud	Longitud
681	11221	09/05/1989	03:02:10.02	0.25	0.22	28.329	-15.948
S_mayor	S_menor	Acimut	Profundidad	Error_prof	N°_Datos	N°_Esta	GAP
2.6	2.6	13.8	0f		5	3	171.3
Dist_mín	Dist_máx	Epicentro	Zona_sísmica	m_b	$m_b(Lg)$	m_L	$M_b mod$
0.3	1.6	E Candelaria. TF	Zona atlántica Tenerife-Gran Canaria			2.2	
M_b	M	I_máx_calc	I_máx_obs	Dur_perc	Dist_perc	N_obs_I	Referencias
2.2	2.2						IGN
N°	EVID	Fecha	Hora	Error_hora	RMS	Latitud	Longitud
682	11222	09/05/1989	03:05:11.18	0.24	0.09	28.07	-16.16
S_mayor	S_menor	Acimut	Profundidad	Error_prof	N°_Datos	N°_Esta	GAP
2.6	2.6	9.2	34	2	7	3	263.9
Dist_mín	Dist_máx	Epicentro	Zona_sísmica	m_b	$m_b(Lg)$	m_L	$M_b mod$
0.4	1.9	E San Miguel de Tajao. TF	Zona atlántica Tenerife-Gran Canaria			2.5	
M_b	M	I_máx_calc	I_máx_obs	Dur_perc	Dist_perc	N_obs_I	Referencias
2.5	2.5						IGN

Nº	EVID	Fecha	Hora	Error_hora	RMS	Latitud	Longitud
683	11223	09/05/1989	03:22:25.08	1.19	0.43	28.129	-16.148
S_mayor	S_menor	Acimut	Profundidad	Error_prof	Nº_Datos	Nº_Esta	GAP
17.8	17.8	9.7	42	9	9	3	253.0
Dist_mín	Dist_máx	Epicentro	Zona_sísmica	m_b	$m_b(Lg)$	m_L	$M_b mod$
0.4	1.8	E Abades. TF	Zona atlántica Tenerife-Gran Canaria			3.0	2.9
M_b	M	I_máx_calc	I_máx_obs	Dur_perc	Dist_perc	N_obs_I	Referencias
3.0	3.0						IGN
Nº	EVID	Fecha	Hora	Error_hora	RMS	Latitud	Longitud
684	11224	09/05/1989	03:33:43.12	0.49	0.18	28.136	-16.121
S_mayor	S_menor	Acimut	Profundidad	Error_prof	Nº_Datos	Nº_Esta	GAP
7.1	7.1	9.3	38	4	9	3	247.9
Dist_mín	Dist_máx	Epicentro	Zona_sísmica	m_b	$m_b(Lg)$	m_L	$M_b mod$
0.4	1.8	E Porís de Abona. TF	Zona atlántica Tenerife-Gran Canaria			2.9	
M_b	M	I_máx_calc	I_máx_obs	Dur_perc	Dist_perc	N_obs_I	Referencias
2.9	2.9						IGN
Nº	EVID	Fecha	Hora	Error_hora	RMS	Latitud	Longitud
685	11225	09/05/1989	03:36:57.07	0.13	0.06	28.188	-15.990
S_mayor	S_menor	Acimut	Profundidad	Error_prof	Nº_Datos	Nº_Esta	GAP
1.0	1.0	7.7	8f		5	3	218.2
Dist_mín	Dist_máx	Epicentro	Zona_sísmica	m_b	$m_b(Lg)$	m_L	$M_b mod$
0.3	1.7	O Puerto de Sardina.GC	Zona atlántica Tenerife-Gran Canaria			2.4	
M_b	M	I_máx_calc	I_máx_obs	Dur_perc	Dist_perc	N_obs_I	Referencias
2.4	2.4						IGN
Nº	EVID	Fecha	Hora	Error_hora	RMS	Latitud	Longitud
686	11226	09/05/1989	03:45:47.44	1.06	0.41	28.138	-16.251
S_mayor	S_menor	Acimut	Profundidad	Error_prof	Nº_Datos	Nº_Esta	GAP
17.8	17.8	10.6	56	7	7	3	266.5
Dist_mín	Dist_máx	Epicentro	Zona_sísmica	m_b	$m_b(Lg)$	m_L	$M_b mod$
0.3	1.9	E Porís de Abona. TF	Zona atlántica Tenerife-Gran Canaria			2.5	
M_b	M	I_máx_calc	I_máx_obs	Dur_perc	Dist_perc	N_obs_I	Referencias
2.5	2.5						IGN
Nº	EVID	Fecha	Hora	Error_hora	RMS	Latitud	Longitud
687	11227	09/05/1989	04:15:11.83	0.78	0.32	28.066	-16.193
S_mayor	S_menor	Acimut	Profundidad	Error_prof	Nº_Datos	Nº_Esta	GAP
3.8	3.8	68.9	5f		9	3	268.0
Dist_mín	Dist_máx	Epicentro	Zona_sísmica	m_b	$m_b(Lg)$	m_L	$M_b mod$
0.4	1.9	E San Miguel de Tajao.TF	Zona atlántica Tenerife-Gran Canaria			3.1	2.9
M_b	M	I_máx_calc	I_máx_obs	Dur_perc	Dist_perc	N_obs_I	Referencias
3.1	3.1						IGN
Nº	EVID	Fecha	Hora	Error_hora	RMS	Latitud	Longitud
688	11228	09/05/1989	07:12:11.58	0.82	0.49	28.091	-16.233
S_mayor	S_menor	Acimut	Profundidad	Error_prof	Nº_Datos	Nº_Esta	GAP
25.3	25.3	169.5	37	14	10	4	205.2
Dist_mín	Dist_máx	Epicentro	Zona_sísmica	m_b	$m_b(Lg)$	m_L	$M_b mod$
0.4	1.9	E San Miguel de Tajao.TF	Zona atlántica Tenerife-Gran Canaria			3.1	
M_b	M	I_máx_calc	I_máx_obs	Dur_perc	Dist_perc	N_obs_I	Referencias
3.1	3.1						IGN

N°	EVID	Fecha	Hora	Error_hora	RMS	Latitud	Longitud
689	11229	09/05/1989	07:57:45.44	1.65	0.64	28.143	-16.256
S_mayor	S_menor	Acimut	Profundidad	Error_prof	N°_Datos	N°_Esta	GAP
26.7	26.7	10.9	47	12	7	3	266.8
Dist_mín	Dist_máx	Epicentro	Zona_sísmica	m_b	$m_b(Lg)$	m_L	$M_b mod$
0.3	1.9	E Poris de Abona. TF	Zona atlántica Tenerife-Gran Canaria			2.5	
M_b	M	I_máx_calc	I_máx_obs	Dur_perc	Dist_perc	N_obs_I	Referencias
2.5	2.5						IGN
N°	EVID	Fecha	Hora	Error_hora	RMS	Latitud	Longitud
690	11230	09/05/1989	08:19:55.74	1.34	0.52	28.142	-16.236
S_mayor	S_menor	Acimut	Profundidad	Error_prof	N°_Datos	N°_Esta	GAP
20.6	20.6	10.4	45	10	7	3	263.8
Dist_mín	Dist_máx	Epicentro	Zona_sísmica	m_b	$m_b(Lg)$	m_L	$M_b mod$
0.3	1.9	E Poris de Abona. TF	Zona atlántica Tenerife-Gran Canaria			2.6	
M_b	M	I_máx_calc	I_máx_obs	Dur_perc	Dist_perc	N_obs_I	Referencias
2.6	2.6						IGN
N°	EVID	Fecha	Hora	Error_hora	RMS	Latitud	Longitud
691	11231	09/05/1989	08:21:56.36	0.65	0.00	27.908	-16.482
S_mayor	S_menor	Acimut	Profundidad	Error_prof	N°_Datos	N°_Esta	GAP
7.4	7.4	11.2	35	10	5	3	302.7
Dist_mín	Dist_máx	Epicentro	Zona_sísmica	m_b	$m_b(Lg)$	m_L	$M_b mod$
0.6	2.2	SE El Médano. TF	Zona atlántica Tenerife-Gran Canaria			2.2	
M_b	M	I_máx_calc	I_máx_obs	Dur_perc	Dist_perc	N_obs_I	Referencias
2.2	2.2						IGN
N°	EVID	Fecha	Hora	Error_hora	RMS	Latitud	Longitud
692	11232	09/05/1989	08:24:10.62	1.52	0.59	28.110	-16.285
S_mayor	S_menor	Acimut	Profundidad	Error_prof	N°_Datos	N°_Esta	GAP
34.8	34.8	168.4	40	14	7	3	274.2
Dist_mín	Dist_máx	Epicentro	Zona_sísmica	m_b	$m_b(Lg)$	m_L	$M_b mod$
0.4	2.0	E San Miguel de Tajao.TF	Zona atlántica Tenerife-Gran Canaria			2.5	
M_b	M	I_máx_calc	I_máx_obs	Dur_perc	Dist_perc	N_obs_I	Referencias
2.5	2.5						IGN
N°	EVID	Fecha	Hora	Error_hora	RMS	Latitud	Longitud
693	11233	09/05/1989	09:46:38.34	0.57	0.21	28.058	-16.250
S_mayor	S_menor	Acimut	Profundidad	Error_prof	N°_Datos	N°_Esta	GAP
14.6	14.6	167.3	34	7	9	3	275.2
Dist_mín	Dist_máx	Epicentro	Zona_sísmica	m_b	$m_b(Lg)$	m_L	$M_b mod$
0.4	1.9	E San Miguel de Tajao.TF	Zona atlántica Tenerife-Gran Canaria			3.0	
M_b	M	I_máx_calc	I_máx_obs	Dur_perc	Dist_perc	N_obs_I	Referencias
3.0	3.0						IGN
N°	EVID	Fecha	Hora	Error_hora	RMS	Latitud	Longitud
694	11234	09/05/1989	10:46:52.29	0.57	0.41	28.435	-16.066
S_mayor	S_menor	Acimut	Profundidad	Error_prof	N°_Datos	N°_Esta	GAP
6.0	6.0	146.3	32	6	11	5	174.7
Dist_mín	Dist_máx	Epicentro	Zona_sísmica	m_b	$m_b(Lg)$	m_L	$M_b mod$
0.2	1.8	E Santa Cruz de Tenerife	Zona atlántica Tenerife-Gran Canaria			4.0	3.5
M_b	M	I_máx_calc	I_máx_obs	Dur_perc	Dist_perc	N_obs_I	Referencias
4.0	4.0		3				IGN

Nº	EVID	Fecha	Hora	Error_hora	RMS	Latitud	Longitud
695	11235	09/05/1989	15:40:57.51	0.38	0.15	28.205	-16.089
S_mayor	S_menor	Acimut	Profundidad	Error_prof	Nº_Datos	Nº_Esta	GAP
6.2	6.2	8.5	32	3	7	3	228.9
Dist_mín	Dist_máx	Epicentro	Zona_sísmica	m_b	$m_b(Lg)$	m_L	$M_b mod$
0.3	1.8	E Los Roques. TF	Zona atlántica Tenerife-Gran Canaria			2.7	2.6
M_b	M	I_máx_calc	I_máx_obs	Dur_perc	Dist_perc	N_obs_I	Referencias
2.7	2.7						IGN
Nº	EVID	Fecha	Hora	Error_hora	RMS	Latitud	Longitud
696	11236	09/05/1989	15:49:06.50	1.51	0.66	28.116	-16.186
S_mayor	S_menor	Acimut	Profundidad	Error_prof	Nº_Datos	Nº_Esta	GAP
9.0	9.0	63.1	37f		9	3	260.2
Dist_mín	Dist_máx	Epicentro	Zona_sísmica	m_b	$m_b(Lg)$	m_L	$M_b mod$
0.4	1.9	E San Miguel de Tajao.TF	Zona atlántica Tenerife-Gran Canaria			2.8	
M_b	M	I_máx_calc	I_máx_obs	Dur_perc	Dist_perc	N_obs_I	Referencias
2.8	2.8						IGN
Nº	EVID	Fecha	Hora	Error_hora	RMS	Latitud	Longitud
697	11237	09/05/1989	21:15:24.32	1.35	0.52	28.163	-16.232
S_mayor	S_menor	Acimut	Profundidad	Error_prof	Nº_Datos	Nº_Esta	GAP
22.6	22.6	10.5	47	10	7	3	260.7
Dist_mín	Dist_máx	Epicentro	Zona_sísmica	m_b	$m_b(Lg)$	m_L	$M_b mod$
0.3	1.9	E Poris de Abona. TF	Zona atlántica Tenerife-Gran Canaria			2.5	
M_b	M	I_máx_calc	I_máx_obs	Dur_perc	Dist_perc	N_obs_I	Referencias
2.5	2.5						IGN
Nº	EVID	Fecha	Hora	Error_hora	RMS	Latitud	Longitud
698	11238	10/05/1989	02:11:44.00	1.01	0.29	28.089	-16.131
S_mayor	S_menor	Acimut	Profundidad	Error_prof	Nº_Datos	Nº_Esta	GAP
4.7	4.7	70.6	5f		7	3	257.6
Dist_mín	Dist_máx	Epicentro	Zona_sísmica	m_b	$m_b(Lg)$	m_L	$M_b mod$
0.4	1.8	E San Miguel de Tajao.TF	Zona atlántica Tenerife-Gran Canaria			2.7	2.6
M_b	M	I_máx_calc	I_máx_obs	Dur_perc	Dist_perc	N_obs_I	Referencias
2.7	2.7						IGN
Nº	EVID	Fecha	Hora	Error_hora	RMS	Latitud	Longitud
699	11239	10/05/1989	04:10:42.49	0.57	0.39	28.201	-16.164
S_mayor	S_menor	Acimut	Profundidad	Error_prof	Nº_Datos	Nº_Esta	GAP
16.6	16.6	170.4	43	6	8	4	181.1
Dist_mín	Dist_máx	Epicentro	Zona_sísmica	m_b	$m_b(Lg)$	m_L	$M_b mod$
0.3	1.8	E Los Roques. TF	Zona atlántica Tenerife-Gran Canaria			2.8	2.7
M_b	M	I_máx_calc	I_máx_obs	Dur_perc	Dist_perc	N_obs_I	Referencias
2.8	2.8						IGN
Nº	EVID	Fecha	Hora	Error_hora	RMS	Latitud	Longitud
700	11240	10/05/1989	04:49:23.36	0.61	0.34	28.238	-16.098
S_mayor	S_menor	Acimut	Profundidad	Error_prof	Nº_Datos	Nº_Esta	GAP
8.0	8.0	164.3	33	9	10	5	150.1
Dist_mín	Dist_máx	Epicentro	Zona_sísmica	m_b	$m_b(Lg)$	m_L	$M_b mod$
0.3	1.8	E El Tablado. TF	Zona atlántica Tenerife-Gran Canaria			3.2	2.9
M_b	M	I_máx_calc	I_máx_obs	Dur_perc	Dist_perc	N_obs_I	Referencias
3.2	3.2						IGN

N°	EVID	Fecha	Hora	Error_hora	RMS	Latitud	Longitud
701	11241	10/05/1989	05:41:03.66	0.48	0.19	28.073	-16.257
S_mayor	S_menor	Acimut	Profundidad	Error_prof	N°_Datos	N°_Esta	GAP
11.5	11.5	168.5	26	8	7	3	274.3
Dist_mín	Dist_máx	Epicentro	Zona_sísmica	m_b	$m_b(Lg)$	m_L	$M_b mod$
0.4	1.9	E San Miguel de Tajao.TF	Zona atlántica Tenerife-Gran Canaria			2.4	
M_b	M	I_máx_calc	I_máx_obs	Dur_perc	Dist_perc	N_obs_I	Referencias
2.4	2.4						IGN
N°	EVID	Fecha	Hora	Error_hora	RMS	Latitud	Longitud
702	11242	10/05/1989	09:17:40.45	0.53	0.16	28.131	-16.147
S_mayor	S_menor	Acimut	Profundidad	Error_prof	N°_Datos	N°_Esta	GAP
2.6	2.6	73.5	5f		7	3	252.4
Dist_mín	Dist_máx	Epicentro	Zona_sísmica	m_b	$m_b(Lg)$	m_L	$M_b mod$
0.4	1.8	E Porís de Abona. TF	Zona atlántica Tenerife-Gran Canaria			2.9	2.6
M_b	M	I_máx_calc	I_máx_obs	Dur_perc	Dist_perc	N_obs_I	Referencias
2.9	2.9						IGN
N°	EVID	Fecha	Hora	Error_hora	RMS	Latitud	Longitud
703	11243	10/05/1989	11:11:06.14	0.58	0.71	28.152	-16.153
S_mayor	S_menor	Acimut	Profundidad	Error_prof	N°_Datos	N°_Esta	GAP
4.6	4.6	23.2	5f		13	5	164.7
Dist_mín	Dist_máx	Epicentro	Zona_sísmica	m_b	$m_b(Lg)$	m_L	$M_b mod$
0.3	1.8	E Porís de Abona. TF	Zona atlántica Tenerife-Gran Canaria			3.3	3.0
M_b	M	I_máx_calc	I_máx_obs	Dur_perc	Dist_perc	N_obs_I	Referencias
3.3	3.3						IGN
N°	EVID	Fecha	Hora	Error_hora	RMS	Latitud	Longitud
704	11244	10/05/1989	21:28:45.94	1.53	0.59	28.141	-16.109
S_mayor	S_menor	Acimut	Profundidad	Error_prof	N°_Datos	N°_Esta	GAP
21.0	21.0	8.3	22	22	7	3	245.5
Dist_mín	Dist_máx	Epicentro	Zona_sísmica	m_b	$m_b(Lg)$	m_L	$M_b mod$
0.4	1.8	O Gáldar.GC	Zona atlántica Tenerife-Gran Canaria			2.6	2.4
M_b	M	I_máx_calc	I_máx_obs	Dur_perc	Dist_perc	N_obs_I	Referencias
2.6	2.6						IGN
N°	EVID	Fecha	Hora	Error_hora	RMS	Latitud	Longitud
705	11245	11/05/1989	01:03:52.75	0.74	0.29	28.176	-16.165
S_mayor	S_menor	Acimut	Profundidad	Error_prof	N°_Datos	N°_Esta	GAP
12.0	12.0	9.2	29	7	7	3	247.5
Dist_mín	Dist_máx	Epicentro	Zona_sísmica	m_b	$m_b(Lg)$	m_L	$M_b mod$
0.3	1.9	E Las Eras. TF	Zona atlántica Tenerife-Gran Canaria			3.0	2.8
M_b	M	I_máx_calc	I_máx_obs	Dur_perc	Dist_perc	N_obs_I	Referencias
3.0	3.0						IGN
N°	EVID	Fecha	Hora	Error_hora	RMS	Latitud	Longitud
706	11246	12/05/1989	06:28:58.85	0.28	0.24	28.117	-16.130
S_mayor	S_menor	Acimut	Profundidad	Error_prof	N°_Datos	N°_Esta	GAP
1.8	1.8	20.7	5f		9	3	190.3
Dist_mín	Dist_máx	Epicentro	Zona_sísmica	m_b	$m_b(Lg)$	m_L	$M_b mod$
0.3	0.4	E Abades.TF	Zona atlántica Tenerife-Gran Canaria			2.5	2.1
M_b	M	I_máx_calc	I_máx_obs	Dur_perc	Dist_perc	N_obs_I	Referencias
2.5	2.5						IGN

Nº	EVID	Fecha	Hora	Error_hora	RMS	Latitud	Longitud
707	11247	14/05/1989	18:44:56.60	0.70	0.66	28.098	-16.127
S_mayor	S_menor	Acimut	Profundidad	Error_prof	Nº_Datos	Nº_Esta	GAP
4.3	4.3	28.7	0f		12	4	196.4
Dist_mín	Dist_máx	Epicentro	Zona_sísmica	m_b	$m_b(Lg)$	m_L	$M_b mod$
0.3	1.8	E San Miguel de Tajao.TF	Zona atlántica Tenerife-Gran Canaria			3.1	2.8
M_b	M	$I_{máx_calc}$	$I_{máx_obs}$	Dur_perc	Dist_perc	N_obs_I	Referencias
3.1	3.1						IGN
Nº	EVID	Fecha	Hora	Error_hora	RMS	Latitud	Longitud
708	11249	16/05/1989	11:55:47.89	0.92	0.34	28.114	-16.150
S_mayor	S_menor	Acimut	Profundidad	Error_prof	Nº_Datos	Nº_Esta	GAP
10.6	10.6	8.8	24	15	9	3	255.6
Dist_mín	Dist_máx	Epicentro	Zona_sísmica	m_b	$m_b(Lg)$	m_L	$M_b mod$
0.4	1.8	E Abades.TF	Zona atlántica Tenerife-Gran Canaria			3.0	2.7
M_b	M	$I_{máx_calc}$	$I_{máx_obs}$	Dur_perc	Dist_perc	N_obs_I	Referencias
3.0	3.0						IGN
Nº	EVID	Fecha	Hora	Error_hora	RMS	Latitud	Longitud
709		18/05/1989	08:32:54.37	0.11	0.04	28.012	-16.193
S_mayor	S_menor	Acimut	Profundidad	Error_prof	Nº_Datos	Nº_Esta	GAP
2.4	2.4	166.6	44	1	7	3	275.1
Dist_mín	Dist_máx	Epicentro	Zona_sísmica	m_b	$m_b(Lg)$	m_L	$M_b mod$
0.5	1.9	E El Médano TF	Zona atlántica Tenerife-Gran Canaria			2.3	2.1
M_b	M	$I_{máx_calc}$	$I_{máx_obs}$	Dur_perc	Dist_perc	N_obs_I	Referencias
2.3	2.3						IGN
Nº	EVID	Fecha	Hora	Error_hora	RMS	Latitud	Longitud
710	11251	19/05/1989	15:13:01.71	0.85	0.58	28.098	-16.171
S_mayor	S_menor	Acimut	Profundidad	Error_prof	Nº_Datos	Nº_Esta	GAP
4.9	4.9	47.6	5f		10	4	203.8
Dist_mín	Dist_máx	Epicentro	Zona_sísmica	m_b	$m_b(Lg)$	m_L	$M_b mod$
0.4	1.9	E San Miguel de Tajao.TF	Zona atlántica Tenerife-Gran Canaria			3.0	2.6
M_b	M	$I_{máx_calc}$	$I_{máx_obs}$	Dur_perc	Dist_perc	N_obs_I	Referencias
3.0	3.0						IGN
Nº	EVID	Fecha	Hora	Error_hora	RMS	Latitud	Longitud
711	11252	19/05/1989	15:18:58.73	1.33	0.51	28.224	-16.047
S_mayor	S_menor	Acimut	Profundidad	Error_prof	Nº_Datos	Nº_Esta	GAP
59.0	59.0	141.9	5f		7	3	217.4
Dist_mín	Dist_máx	Epicentro	Zona_sísmica	m_b	$m_b(Lg)$	m_L	$M_b mod$
0.3	1.7	E El Tablado. TF	Zona atlántica Tenerife-Gran Canaria			2.6	2.2
M_b	M	$I_{máx_calc}$	$I_{máx_obs}$	Dur_perc	Dist_perc	N_obs_I	Referencias
2.6	2.6						IGN
Nº	EVID	Fecha	Hora	Error_hora	RMS	Latitud	Longitud
712	11254	26/05/1989	02:32:49.53	0.49	0.21	28.218	-16.137
S_mayor	S_menor	Acimut	Profundidad	Error_prof	Nº_Datos	Nº_Esta	GAP
18.0	18.0	146.3	5f		5	3	234.7
Dist_mín	Dist_máx	Epicentro	Zona_sísmica	m_b	$m_b(Lg)$	m_L	$M_b mod$
0.3	1.8	E El Tablado. TF	Zona atlántica Tenerife-Gran Canaria			2.6	2.3
M_b	M	$I_{máx_calc}$	$I_{máx_obs}$	Dur_perc	Dist_perc	N_obs_I	Referencias
2.6	2.6						IGN

Nº	EVID	Fecha	Hora	Error_hora	RMS	Latitud	Longitud
713	11255	26/05/1989	03:11:30.83	0.72	0.37	28.248	-16.077
S_mayor	S_menor	Acimut	Profundidad	Error_prof	Nº_Datos	Nº_Esta	GAP
4.5	4.5	14.3	0f		5	3	216.6
Dist_mín	Dist_máx	Epicentro	Zona_sísmica	m_b	$m_b(Lg)$	m_L	$M_b mod$
0.3	1.8	E El Tablado. TF	Zona atlántica Tenerife-Gran Canaria			2.6	2.3
M_b	M	I_máx_calc	I_máx_obs	Dur_perc	Dist_perc	N_obs_I	Referencias
2.6	2.6						IGN
Nº	EVID	Fecha	Hora	Error_hora	RMS	Latitud	Longitud
714		27/05/1989	22:42:18.00	1.41	0.64	28.248	-16.037
S_mayor	S_menor	Acimut	Profundidad	Error_prof	Nº_Datos	Nº_Esta	GAP
61.0	61.0	46.6	5f		5	3	209.5
Dist_mín	Dist_máx	Epicentro	Zona_sísmica	m_b	$m_b(Lg)$	m_L	$M_b mod$
0.3	1.7	NO Gáldar. GC	Zona atlántica Tenerife-Gran Canaria			2.0	
M_b	M	I_máx_calc	I_máx_obs	Dur_perc	Dist_perc	N_obs_I	Referencias
2.0	2.0						IGN
Nº	EVID	Fecha	Hora	Error_hora	RMS	Latitud	Longitud
715		28/05/1989	22:42:57.44	2.08	0.75	27.966	-16.258
S_mayor	S_menor	Acimut	Profundidad	Error_prof	Nº_Datos	Nº_Esta	GAP
9.4	9.4	66.2	5f		7	3	283.2
Dist_mín	Dist_máx	Epicentro	Zona_sísmica	m_b	$m_b(Lg)$	m_L	$M_b mod$
0.5	2.0	SE El Médano. TF	Zona atlántica Tenerife-Gran Canaria			2.6	2.3
M_b	M	I_máx_calc	I_máx_obs	Dur_perc	Dist_perc	N_obs_I	Referencias
2.6	2.6						IGN
Nº	EVID	Fecha	Hora	Error_hora	RMS	Latitud	Longitud
716		28/05/1989	23:46:29.37	0.93	0.36	28.023	-16.224
S_mayor	S_menor	Acimut	Profundidad	Error_prof	Nº_Datos	Nº_Esta	GAP
20.4	20.4	167.5	51	8	7	3	276.4
Dist_mín	Dist_máx	Epicentro	Zona_sísmica	m_b	$m_b(Lg)$	m_L	$M_b mod$
0.5	1.9	E El Médano. TF	Zona atlántica Tenerife-Gran Canaria			2.1	1.9
M_b	M	I_máx_calc	I_máx_obs	Dur_perc	Dist_perc	N_obs_I	Referencias
2.1	2.1						IGN
Nº	EVID	Fecha	Hora	Error_hora	RMS	Latitud	Longitud
717	11256	29/05/1989	06:58:55.04	0.78	0.59	28.166	-16.191
S_mayor	S_menor	Acimut	Profundidad	Error_prof	Nº_Datos	Nº_Esta	GAP
9.9	9.9	159.3	49	11	13	5	162.6
Dist_mín	Dist_máx	Epicentro	Zona_sísmica	m_b	$m_b(Lg)$	m_L	$M_b mod$
0.3	1.9	E Porís de Abona. TF	Zona atlántica Tenerife-Gran Canaria			4.0	3.7
M_b	M	I_máx_calc	I_máx_obs	Dur_perc	Dist_perc	N_obs_I	Referencias
4.0	4.0		3				IGN
Nº	EVID	Fecha	Hora	Error_hora	RMS	Latitud	Longitud
718	11258	01/06/1989	20:40:12.17	0.45	0.17	28.029	-16.177
S_mayor	S_menor	Acimut	Profundidad	Error_prof	Nº_Datos	Nº_Esta	GAP
4.8	4.8	166.4	37	4	9	3	221.0
Dist_mín	Dist_máx	Epicentro	Zona_sísmica	m_b	$m_b(Lg)$	m_L	$M_b mod$
0.3	0.5	E El Médano TF	Zona atlántica Tenerife-Gran Canaria			2.8	2.4
M_b	M	I_máx_calc	I_máx_obs	Dur_perc	Dist_perc	N_obs_I	Referencias
2.8	2.8						IGN

N°	EVID	Fecha	Hora	Error_hora	RMS	Latitud	Longitud
719	11259	01/06/1989	23:30:52.30	0.62	0.23	28.064	-16.186
S_mayor	S_menor	Acimut	Profundidad	Error_prof	N°_Datos	N°_Esta	GAP
6.4	6.4	165.9	40	5	9	3	210.6
Dist_mín	Dist_máx	Epicentro	Zona_sísmica	m_b	$m_b(Lg)$	m_L	$M_b mod$
0.2	0.5	E San Miguel de Tajao.TF	Zona atlántica Tenerife-Gran Canaria			2.7	2.2
M_b	M	I_máx_calc	I_máx_obs	Dur_perc	Dist_perc	N_obs_I	Referencias
2.7	2.7						IGN
N°	EVID	Fecha	Hora	Error_hora	RMS	Latitud	Longitud
720	11262	04/06/1989	03:27:54.39	0.46	0.50	28.071	-16.214
S_mayor	S_menor	Acimut	Profundidad	Error_prof	N°_Datos	N°_Esta	GAP
6.1	6.1	19.1	18	9	16	6	176.7
Dist_mín	Dist_máx	Epicentro	Zona_sísmica	m_b	$m_b(Lg)$	m_L	$M_b mod$
0.2	1.9	E San Miguel de Tajao.TF	Zona atlántica Tenerife-Gran Canaria			3.4	3.0
M_b	M	I_máx_calc	I_máx_obs	Dur_perc	Dist_perc	N_obs_I	Referencias
3.4	3.4						IGN
N°	EVID	Fecha	Hora	Error_hora	RMS	Latitud	Longitud
721	11384	11/06/1989	01:51:12.54	0.79	0.29	27.886	-16.366
S_mayor	S_menor	Acimut	Profundidad	Error_prof	N°_Datos	N°_Esta	GAP
10.4	10.4	15.5	35	9	9	3	277.0
Dist_mín	Dist_máx	Epicentro	Zona_sísmica	m_b	$m_b(Lg)$	m_L	$M_b mod$
0.3	0.7	SE El Médano. TF	Zona atlántica Tenerife-Gran Canaria			2.6	2.4
M_b	M	I_máx_calc	I_máx_obs	Dur_perc	Dist_perc	N_obs_I	Referencias
2.6	2.6						IGN
N°	EVID	Fecha	Hora	Error_hora	RMS	Latitud	Longitud
722	11395	16/06/1989	15:54:58.31	0.52	0.34	28.506	-15.902
S_mayor	S_menor	Acimut	Profundidad	Error_prof	N°_Datos	N°_Esta	GAP
11.3	11.3	171.6	33	8	12	4	187.5
Dist_mín	Dist_máx	Epicentro	Zona_sísmica	m_b	$m_b(Lg)$	m_L	$M_b mod$
0.3	1.6	E Iguaste de San Andrés.TF	Zona atlántica Tenerife-Gran Canaria			2.8	2.5
M_b	M	I_máx_calc	I_máx_obs	Dur_perc	Dist_perc	N_obs_I	Referencias
2.8	2.8						IGN
N°	EVID	Fecha	Hora	Error_hora	RMS	Latitud	Longitud
723		29/06/1989	14:16:22.24	0.50	0.21	28.07	-14.98
S_mayor	S_menor	Acimut	Profundidad	Error_prof	N°_Datos	N°_Esta	GAP
3.1	3.1	163.3	5f		7	3	208.7
Dist_mín	Dist_máx	Epicentro	Zona_sísmica	m_b	$m_b(Lg)$	m_L	$M_b mod$
0.6	1.2	E Las Palmas de Gran Canaria	Zona atlántica Tenerife-Gran Canaria			2.7	2.5
M_b	M	I_máx_calc	I_máx_obs	Dur_perc	Dist_perc	N_obs_I	Referencias
2.7	2.7						IGN
N°	EVID	Fecha	Hora	Error_hora	RMS	Latitud	Longitud
724		01/07/1989	10:10:12.72	0.72	0.28	28.148	-16.15
S_mayor	S_menor	Acimut	Profundidad	Error_prof	N°_Datos	N°_Esta	GAP
10.3	10.3	9.2	33	6	7	3	250.0
Dist_mín	Dist_máx	Epicentro	Zona_sísmica	m_b	$m_b(Lg)$	m_L	$M_b mod$
0.3	1.8	E Porís de Abona. TF	Zona atlántica Tenerife-Gran Canaria			2.3	2.2
M_b	M	I_máx_calc	I_máx_obs	Dur_perc	Dist_perc	N_obs_I	Referencias
2.3	2.3						IGN

N°	EVID	Fecha	Hora	Error_hora	RMS	Latitud	Longitud
725		03/07/1989	06:51:28.89	0.64	0.52	28.222	-16.062
S_mayor	S_menor	Acimut	Profundidad	Error_prof	N°_Datos	N°_Esta	GAP
72.0	72.0	137	5f		6	3	220.4
Dist_mín	Dist_máx	Epicentro	Zona_sísmica	m_b	$m_b(Lg)$	m_L	$M_b mod$
0.3	1.8	SE Puertito de Güimar. TF	Zona atlántica Tenerife-Gran Canaria			2.1	1.8
M_b	M	I_máx_calc	I_máx_obs	Dur_perc	Dist_perc	N_obs_I	Referencias
2.1	2.1						IGN
N°	EVID	Fecha	Hora	Error_hora	RMS	Latitud	Longitud
726		31/08/1989	23:43:03.48	2.83	1.26	28.711	-15.866
S_mayor	S_menor	Acimut	Profundidad	Error_prof	N°_Datos	N°_Esta	GAP
12.9	12.9	54.1	5f		7	3	251.6
Dist_mín	Dist_máx	Epicentro	Zona_sísmica	m_b	$m_b(Lg)$	m_L	$M_b mod$
0.4	1.8	NE Isla de Tenerife	Zona atlántica Tenerife-Gran Canaria			2.6	2.5
M_b	M	I_máx_calc	I_máx_obs	Dur_perc	Dist_perc	N_obs_I	Referencias
2.6	2.6						IGN
N°	EVID	Fecha	Hora	Error_hora	RMS	Latitud	Longitud
727		06/11/1989	05:19:58.90	0.33	0.20	28.146	-15.026
S_mayor	S_menor	Acimut	Profundidad	Error_prof	N°_Datos	N°_Esta	GAP
2.6	2.6	169.5	0f		4	3	195.4
Dist_mín	Dist_máx	Epicentro	Zona_sísmica	m_b	$m_b(Lg)$	m_L	$M_b mod$
0.5	1.1	E Las Palmas de Gran Canaria	Zona atlántica Tenerife-Gran Canaria			2.7	2.5
M_b	M	I_máx_calc	I_máx_obs	Dur_perc	Dist_perc	N_obs_I	Referencias
2.7	2.7						IGN
N°	EVID	Fecha	Hora	Error_hora	RMS	Latitud	Longitud
728	11555	07/11/1989	09:00:17.50	0.51	0.19	28.346	-16.215
S_mayor	S_menor	Acimut	Profundidad	Error_prof	N°_Datos	N°_Esta	GAP
12.1	12.1	10.6	32	4	9	4	228.9
Dist_mín	Dist_máx	Epicentro	Zona_sísmica	m_b	$m_b(Lg)$	m_L	$M_b mod$
0.1	1.9	E Candelaria.TF	Zona atlántica Tenerife-Gran Canaria			2.2	
M_b	M	I_máx_calc	I_máx_obs	Dur_perc	Dist_perc	N_obs_I	Referencias
2.2	2.2						IGN
N°	EVID	Fecha	Hora	Error_hora	RMS	Latitud	Longitud
729		28/11/1989	07:43:07.02	0.27	0.10	27.977	-16.221
S_mayor	S_menor	Acimut	Profundidad	Error_prof	N°_Datos	N°_Esta	GAP
5.9	5.9	166.2	26	5	7	3	279.4
Dist_mín	Dist_máx	Epicentro	Zona_sísmica	m_b	$m_b(Lg)$	m_L	$M_b mod$
0.5	1.9	SE El Médano. TF	Zona atlántica Tenerife-Gran Canaria			2.5	
M_b	M	I_máx_calc	I_máx_obs	Dur_perc	Dist_perc	N_obs_I	Referencias
2.5	2.5						IGN
N°	EVID	Fecha	Hora	Error_hora	RMS	Latitud	Longitud
730		28/11/1989	07:47:00.25	0.21	0.08	27.957	-16.213
S_mayor	S_menor	Acimut	Profundidad	Error_prof	N°_Datos	N°_Esta	GAP
8.7	8.7	165.6	11	5	7	3	279.4
Dist_mín	Dist_máx	Epicentro	Zona_sísmica	m_b	$m_b(Lg)$	m_L	$M_b mod$
0.5	1.9	O La Aldea de San Nicolás de Tolentino. GC	Zona atlántica Tenerife-Gran Canaria			2.3	
M_b	M	I_máx_calc	I_máx_obs	Dur_perc	Dist_perc	N_obs_I	Referencias
2.3	2.3						IGN

Nº	EVID	Fecha	Hora	Error_hora	RMS	Latitud	Longitud
731		28/11/1989	08:54:28.51	0.37	0.46	28.150	-16.102
S_mayor	S_menor	Acimut	Profundidad	Error_prof	Nº_Datos	Nº_Esta	GAP
3.2	3.2	50.2	0f		9	5	161.9
Dist_mín	Dist_máx	Epicentro	Zona_sísmica	m_b	$m_b(Lg)$	m_L	$M_b mod$
0.4	1.8	E Porís de Abona. TF	Zona atlántica Tenerife-Gran Canaria			3.4	
M_b	M	I_máx_calc	I_máx_obs	Dur_perc	Dist_perc	N_obs_I	Referencias
3.4	3.4						IGN
Nº	EVID	Fecha	Hora	Error_hora	RMS	Latitud	Longitud
732	11611	06/01/1990	14:23:09.54	0.62	0.29	28.069	-16.199
S_mayor	S_menor	Acimut	Profundidad	Error_prof	Nº_Datos	Nº_Esta	GAP
2.6	2.6	24.1	13	8	11	5	174.1
Dist_mín	Dist_máx	Epicentro	Zona_sísmica	m_b	$m_b(Lg)$	m_L	$M_b mod$
0.4	1.9	E San Miguel de Tajao. TF	Zona atlántica Tenerife-Gran Canaria			3.1	
M_b	M	I_máx_calc	I_máx_obs	Dur_perc	Dist_perc	N_obs_I	Referencias
3.1	3.1						IGN
Nº	EVID	Fecha	Hora	Error_hora	RMS	Latitud	Longitud
733	11615	08/01/1990	21:23:10.63	0.35	0.22	28.481	-16.885
S_mayor	S_menor	Acimut	Profundidad	Error_prof	Nº_Datos	Nº_Esta	GAP
2.7	2.7	153.5	46	7	13	5	167.4
Dist_mín	Dist_máx	Epicentro	Zona_sísmica	m_b	$m_b(Lg)$	m_L	$M_b mod$
0.5	2.5	N Buenavista del Norte. TF	Océano Atlántico			3.7	
M_b	M	I_máx_calc	I_máx_obs	Dur_perc	Dist_perc	N_obs_I	Referencias
3.7	3.7	4.1	3		13	1	IGN, ISC
Nº	EVID	Fecha	Hora	Error_hora	RMS	Latitud	Longitud
734	11662	17/02/1990	22:37:39.45	0.76	0.35	28.128	-16.116
S_mayor	S_menor	Acimut	Profundidad	Error_prof	Nº_Datos	Nº_Esta	GAP
3.4	3.4	128	6	6	10	5	165.7
Dist_mín	Dist_máx	Epicentro	Zona_sísmica	m_b	$m_b(Lg)$	m_L	$M_b mod$
0.4	1.8	E Porís de Abona. TF	Zona atlántica Tenerife-Gran Canaria			3.2	
M_b	M	I_máx_calc	I_máx_obs	Dur_perc	Dist_perc	N_obs_I	Referencias
3.2	3.2						IGN
Nº	EVID	Fecha	Hora	Error_hora	RMS	Latitud	Longitud
735		21/02/1990	07:58:05.73	0.31	0.12	27.978	-16.256
S_mayor	S_menor	Acimut	Profundidad	Error_prof	Nº_Datos	Nº_Esta	GAP
6.9	6.9	166.6	55	3	7	3	282.7
Dist_mín	Dist_máx	Epicentro	Zona_sísmica	m_b	$m_b(Lg)$	m_L	$M_b mod$
0.5	2.0	E El Médano TF	Zona atlántica Tenerife-Gran Canaria			3.0	
M_b	M	I_máx_calc	I_máx_obs	Dur_perc	Dist_perc	N_obs_I	Referencias
3.0	3.0						IGN
Nº	EVID	Fecha	Hora	Error_hora	RMS	Latitud	Longitud
736	11673	24/02/1990	15:03:35.14	0.39	0.17	28.129	-16.124
S_mayor	S_menor	Acimut	Profundidad	Error_prof	Nº_Datos	Nº_Esta	GAP
1.1	1.1	43.7	2	2	8	4	165.4
Dist_mín	Dist_máx	Epicentro	Zona_sísmica	m_b	$m_b(Lg)$	m_L	$M_b mod$
0.4	1.8	E Porís de Abona. TF	Zona atlántica Tenerife-Gran Canaria			3.1	
M_b	M	I_máx_calc	I_máx_obs	Dur_perc	Dist_perc	N_obs_I	Referencias
3.1	3.1						IGN

N°	EVID	Fecha	Hora	Error_hora	RMS	Latitud	Longitud
737	11756	03/05/1990	05:24:04.56	0.37	0.27	28.146	-16.192
S_mayor	S_menor	Acimut	Profundidad	Error_prof	N°_Datos	N°_Esta	GAP
11.2	11.2	169.5	34	6	8	4	196.7
Dist_mín	Dist_máx	Epicentro	Zona_sísmica	m_b	$m_b(Lg)$	m_L	$M_b(mod)$
0.3	1.9	E Porís de Abona. TF	Zona atlántica Tenerife-Gran Canaria			2.4	
M_b	M	I_máx_calc	I_máx_obs	Dur_perc	Dist_perc	N_obs_I	Referencias
2.4	2.4						IGN
N°	EVID	Fecha	Hora	Error_hora	RMS	Latitud	Longitud
738	11758	03/05/1990	22:53:12.24	0.80	0.53	27.953	-15.865
S_mayor	S_menor	Acimut	Profundidad	Error_prof	N°_Datos	N°_Esta	GAP
4.2	4.2	149.3	11	10	11	5	190.3
Dist_mín	Dist_máx	Epicentro	Zona_sísmica	m_b	$m_b(Lg)$	m_L	$M_b(mod)$
0.3	1.9	SO La Aldea de San Nicolás de Tolentino. GC	Zona atlántica Tenerife-Gran Canaria			3.1	
M_b	M	I_máx_calc	I_máx_obs	Dur_perc	Dist_perc	N_obs_I	Referencias
3.1	3.1						IGN
N°	EVID	Fecha	Hora	Error_hora	RMS	Latitud	Longitud
739	11779	20/05/1990	11:20:14.16	0.35	0.19	29.271	-16.868
S_mayor	S_menor	Acimut	Profundidad	Error_prof	N°_Datos	N°_Esta	GAP
2.1	2.1	12.8	47	13	11	5	231.1
Dist_mín	Dist_máx	Epicentro	Zona_sísmica	m_b	$m_b(Lg)$	m_L	$M_b(mod)$
1.0	2.6	N Isla de Tenerife	Océano Atlántico			4.5	
M_b	M	I_máx_calc	I_máx_obs	Dur_perc	Dist_perc	N_obs_I	Referencias
4.5	4.5		3			+	IGN, ISC
N°	EVID	Fecha	Hora	Error_hora	RMS	Latitud	Longitud
740		20/05/1990	13:34:16.78	1.04	0.64	29.228	-16.844
S_mayor	S_menor	Acimut	Profundidad	Error_prof	N°_Datos	N°_Esta	GAP
4.9	4.9	170.7	38f		11	5	227.8
Dist_mín	Dist_máx	Epicentro	Zona_sísmica	m_b	$m_b(Lg)$	m_L	$M_b(mod)$
0.9	2.6	N Isla de Tenerife	Océano Atlántico			2.8	
M_b	M	I_máx_calc	I_máx_obs	Dur_perc	Dist_perc	N_obs_I	Referencias
2.8	2.8						IGN, ISC
N°	EVID	Fecha	Hora	Error_hora	RMS	Latitud	Longitud
741	11791	05/06/1990	21:04:25.62	0.59	0.33	27.722	-18.150
S_mayor	S_menor	Acimut	Profundidad	Error_prof	N°_Datos	N°_Esta	GAP
3.7	3.7	59.7	37	7	13	5	283.8
Dist_mín	Dist_máx	Epicentro	Zona_sísmica	m_b	$m_b(Lg)$	m_L	$M_b(mod)$
0.2	3.7	SO Sabinosa. HE	Isla de El Hierro			3.8	
M_b	M	I_máx_calc	I_máx_obs	Dur_perc	Dist_perc	N_obs_I	Referencias
3.8	3.8		3			+	IGN, ISC
N°	EVID	Fecha	Hora	Error_hora	RMS	Latitud	Longitud
742	11799	07/06/1990	05:08:30.29	0.34	0.17	27.742	-18.113
S_mayor	S_menor	Acimut	Profundidad	Error_prof	N°_Datos	N°_Esta	GAP
2.0	2.0	58.9	32	2	12	5	274.2
Dist_mín	Dist_máx	Epicentro	Zona_sísmica	m_b	$m_b(Lg)$	m_L	$M_b(mod)$
0.1	3.6	SO Sabinosa. HE	Isla de El Hierro			3.5	
M_b	M	I_máx_calc	I_máx_obs	Dur_perc	Dist_perc	N_obs_I	Referencias
3.5	3.5						IGN, ISC
N°	EVID	Fecha	Hora	Error_hora	RMS	Latitud	Longitud
743	11815	11/06/1990	22:48:56.86	0.64	0.34	29.229	-16.870
S_mayor	S_menor	Acimut	Profundidad	Error_prof	N°_Datos	N°_Esta	GAP
2.8	2.8	2.7	22f		10	4	255.9
Dist_mín	Dist_máx	Epicentro	Zona_sísmica	m_b	$m_b(Lg)$	m_L	$M_b(mod)$
0.9	1.8	N Isla de Tenerife	Océano Atlántico			3.1	
M_b	M	I_máx_calc	I_máx_obs	Dur_perc	Dist_perc	N_obs_I	Referencias
3.1	3.1						IGN, ISC

N°	EVID	Fecha	Hora	Error_hora	RMS	Latitud	Longitud
744		23/07/1990	06:48:14.86	1.76	0.58	27.576	-17.992
S_mayor	S_menor	Acimut	Profundidad	Error_prof	N°_Datos	N°_Esta	GAP
13.7	13.7	13.1	27	9	9	4	288.0
Dist_mín	Dist_máx	Epicentro	Zona_sísmica	m_b	$m_b(Lg)$	m_L	$M_b mod$
0.2	3.6	S La Restinga.HE	Océano Atlántico			2.4	
M_b	M	I_máx_calc	I_máx_obs	Dur_perc	Dist_perc	N_obs_I	Referencias
2.4	2.4						IGN
N°	EVID	Fecha	Hora	Error_hora	RMS	Latitud	Longitud
745		02/08/1990	23:44:38.80	0.30	0.33	28.693	-15.961
S_mayor	S_menor	Acimut	Profundidad	Error_prof	N°_Datos	N°_Esta	GAP
2.0	2.0	12.2	17f		13	5	189.1
Dist_mín	Dist_máx	Epicentro	Zona_sísmica	m_b	$m_b(Lg)$	m_L	$M_b mod$
0.6	2.0	NE Isla de Tenerife	Zona atlántica Tenerife-Gran Canaria			2.6	
M_b	M	I_máx_calc	I_máx_obs	Dur_perc	Dist_perc	N_obs_I	Referencias
2.6	2.6						IGN
N°	EVID	Fecha	Hora	Error_hora	RMS	Latitud	Longitud
746	11888	18/08/1990	13:46:30.13	0.59	0.41	27.931	-16.461
S_mayor	S_menor	Acimut	Profundidad	Error_prof	N°_Datos	N°_Esta	GAP
4.3	4.3	13.1	16	10	15	5	224.0
Dist_mín	Dist_máx	Epicentro	Zona_sísmica	m_b	$m_b(Lg)$	m_L	$M_b mod$
0.3	2.2	SE El Médano. TF	Zona atlántica Tenerife-Gran Canaria			2.9	
M_b	M	I_máx_calc	I_máx_obs	Dur_perc	Dist_perc	N_obs_I	Referencias
2.9	2.9						IGN
N°	EVID	Fecha	Hora	Error_hora	RMS	Latitud	Longitud
747	11890	18/08/1990	21:58:37.11	0.28	0.16	28.024	-16.135
S_mayor	S_menor	Acimut	Profundidad	Error_prof	N°_Datos	N°_Esta	GAP
2.4	2.4	11.7	11	4	11	5	215.3
Dist_mín	Dist_máx	Epicentro	Zona_sísmica	m_b	$m_b(Lg)$	m_L	$M_b mod$
0.5	1.9	O El Abercon.GC	Zona atlántica Tenerife-Gran Canaria			2.2	
M_b	M	I_máx_calc	I_máx_obs	Dur_perc	Dist_perc	N_obs_I	Referencias
2.2	2.2						IGN
N°	EVID	Fecha	Hora	Error_hora	RMS	Latitud	Longitud
748		07/09/1990	15:02:52.86	0.73	0.46	28.080	-16.223
S_mayor	S_menor	Acimut	Profundidad	Error_prof	N°_Datos	N°_Esta	GAP
4.4	4.4	137.9	13	12	12	6	172.0
Dist_mín	Dist_máx	Epicentro	Zona_sísmica	m_b	$m_b(Lg)$	m_L	$M_b mod$
0.4	1.9	E San Miguel de Tajao.TF	Zona atlántica Tenerife-Gran Canaria			3.0	
M_b	M	I_máx_calc	I_máx_obs	Dur_perc	Dist_perc	N_obs_I	Referencias
3.0	3.0						IGN
N°	EVID	Fecha	Hora	Error_hora	RMS	Latitud	Longitud
749	11908	12/09/1990	17:05:42.53	0.69	0.35	27.771	-18.032
S_mayor	S_menor	Acimut	Profundidad	Error_prof	N°_Datos	N°_Esta	GAP
3.8	3.8	56.3	20	5	13	5	241.8
Dist_mín	Dist_máx	Epicentro	Zona_sísmica	m_b	$m_b(Lg)$	m_L	$M_b mod$
0.1	3.5	N El Golfo. HE	Isla de El Hierro			3.3	
M_b	M	I_máx_calc	I_máx_obs	Dur_perc	Dist_perc	N_obs_I	Referencias
3.3	3.3						IGN, ISC
N°	EVID	Fecha	Hora	Error_hora	RMS	Latitud	Longitud
750	11933	06/10/1990	15:55:19.79	0.79	0.40	28.143	-15.775
S_mayor	S_menor	Acimut	Profundidad	Error_prof	N°_Datos	N°_Esta	GAP
6.0	6.0	26.3	32	10	6	4	175.6
Dist_mín	Dist_máx	Epicentro	Zona_sísmica	m_b	$m_b(Lg)$	m_L	$M_b mod$
0.1	1.6	O Puerto de Sardina. GC	Zona atlántica Tenerife-Gran Canaria			2.6	
M_b	M	I_máx_calc	I_máx_obs	Dur_perc	Dist_perc	N_obs_I	Referencias
2.6	2.6						IGN

N°	EVID	Fecha	Hora	Error_hora	RMS	Latitud	Longitud
751	11934	06/10/1990	20:17:37.82	0.43	0.31	28.048	-16.181
S_mayor	S_menor	Acimut	Profundidad	Error_prof	N°_Datos	N°_Esta	GAP
2.3	2.3	27.1	5f		9	3	213.5
Dist_mín	Dist_máx	Epicentro	Zona_sísmica	m_b	$m_b(Lg)$	m_L	$M_b mod$
0.4	0.5	O La Aldea de San Nicolás de Tolentino. GC	Zona atlántica Tenerife-Gran Canaria			2.3	
M_b	M	I_máx_calc	I_máx_obs	Dur_perc	Dist_perc	N_obs_I	Referencias
2.3	2.3						IGN
N°	EVID	Fecha	Hora	Error_hora	RMS	Latitud	Longitud
752		09/10/1990	21:26:20.81	0.36	0.20	28.504	-16.068
S_mayor	S_menor	Acimut	Profundidad	Error_prof	N°_Datos	N°_Esta	GAP
5.0	5.0	170.2	40	3	8	4	190.5
Dist_mín	Dist_máx	Epicentro	Zona_sísmica	m_b	$m_b(Lg)$	m_L	$M_b mod$
0.2	1.8	E San Andrés. TF	Zona atlántica Tenerife-Gran Canaria			1.9	
M_b	M	I_máx_calc	I_máx_obs	Dur_perc	Dist_perc	N_obs_I	Referencias
1.9	1.9						IGN
N°	EVID	Fecha	Hora	Error_hora	RMS	Latitud	Longitud
753	11960	30/10/1990	20:16:24.63	0.49	0.45	28.15	-16.22
S_mayor	S_menor	Acimut	Profundidad	Error_prof	N°_Datos	N°_Esta	GAP
10.7	10.7	13.6	18	24	11	5	188.6
Dist_mín	Dist_máx	Epicentro	Zona_sísmica	m_b	$m_b(Lg)$	m_L	$M_b mod$
0.3	1.9	E Porís de Abona. TF	Zona atlántica Tenerife-Gran Canaria			2.6	
M_b	M	I_máx_calc	I_máx_obs	Dur_perc	Dist_perc	N_obs_I	Referencias
2.6	2.6						IGN
N°	EVID	Fecha	Hora	Error_hora	RMS	Latitud	Longitud
754		14/11/1990	11:56:32.71	2.42	1.30	28.028	-16.189
S_mayor	S_menor	Acimut	Profundidad	Error_prof	N°_Datos	N°_Esta	GAP
12.3	12.3	26.9	0f		7	3	218.5
Dist_mín	Dist_máx	Epicentro	Zona_sísmica	m_b	$m_b(Lg)$	m_L	$M_b mod$
0.4	0.5	E El Médano. TF	Zona atlántica Tenerife-Gran Canaria			2.4	
M_b	M	I_máx_calc	I_máx_obs	Dur_perc	Dist_perc	N_obs_I	Referencias
2.4	2.4						IGN
N°	EVID	Fecha	Hora	Error_hora	RMS	Latitud	Longitud
755		14/11/1990	11:58:07.29	1.75	1.04	28.080	-16.219
S_mayor	S_menor	Acimut	Profundidad	Error_prof	N°_Datos	N°_Esta	GAP
9.8	9.8	25.8	0f		7	3	207.2
Dist_mín	Dist_máx	Epicentro	Zona_sísmica	m_b	$m_b(Lg)$	m_L	$M_b mod$
0.4	0.5	E San Miguel de Tajao.TF	Zona atlántica Tenerife-Gran Canaria			2.2	
M_b	M	I_máx_calc	I_máx_obs	Dur_perc	Dist_perc	N_obs_I	Referencias
2.2	2.2						IGN
N°	EVID	Fecha	Hora	Error_hora	RMS	Latitud	Longitud
756		25/11/1990	15:57:49.59	1.33	0.52	29.024	-14.676
S_mayor	S_menor	Acimut	Profundidad	Error_prof	N°_Datos	N°_Esta	GAP
2.9	2.9	99.9	0f		7	3	254.1
Dist_mín	Dist_máx	Epicentro	Zona_sísmica	m_b	$m_b(Lg)$	m_L	$M_b mod$
0.8	1.9	E Isla de Lanzarote	Zona atlántica Tenerife-Gran Canaria			2.4	
M_b	M	I_máx_calc	I_máx_obs	Dur_perc	Dist_perc	N_obs_I	Referencias
2.4	2.4						IGN

Nº	EVID	Fecha	Hora	Error_hora	RMS	Latitud	Longitud
757	11996	06/12/1990	00:16:33.36	0.56	0.30	28.133	-16.234
S_mayor	S_menor	Acimut	Profundidad	Error_prof	Nº_Datos	Nº_Esta	GAP
2.1	2.1	32.9	9	7	11	5	193.7
Dist_mín	Dist_máx	Epicentro	Zona_sísmica	m_b	$m_b(Lg)$	m_L	$M_b mod$
0.3	1.9	E Abades. TF	Zona atlántica Tenerife-Gran Canaria			2.5	
M_b	M	I_máx_calc	I_máx_obs	Dur_perc	Dist_perc	N_obs_I	Referencias
2.5	2.5						IGN
Nº	EVID	Fecha	Hora	Error_hora	RMS	Latitud	Longitud
758	12004	23/12/1990	06:08:17.22	0.86	0.40	30.417	-14.952
S_mayor	S_menor	Acimut	Profundidad	Error_prof	Nº_Datos	Nº_Esta	GAP
4.3	4.3	106.6	0f		10	4	283.4
Dist_mín	Dist_máx	Epicentro	Zona_sísmica	m_b	$m_b(Lg)$	m_L	$M_b mod$
2.2	3.2	NO Isla de Lanzarote	Océano Atlántico			3.5	
M_b	M	I_máx_calc	I_máx_obs	Dur_perc	Dist_perc	N_obs_I	Referencias
3.5	3.5						IGN, ISC
Nº	EVID	Fecha	Hora	Error_hora	RMS	Latitud	Longitud
759	12015	14/01/1991	21:43:23.65	0.78	0.45	28.117	-16.248
S_mayor	S_menor	Acimut	Profundidad	Error_prof	Nº_Datos	Nº_Esta	GAP
5.0	5.0	24.8	5f		8	3	198.9
Dist_mín	Dist_máx	Epicentro	Zona_sísmica	m_b	$m_b(Lg)$	m_L	$M_b mod$
0.3	0.5	E Abades. TF	Zona atlántica Tenerife-Gran Canaria			2.1	
M_b	M	I_máx_calc	I_máx_obs	Dur_perc	Dist_perc	N_obs_I	Referencias
2.1	2.1						IGN
Nº	EVID	Fecha	Hora	Error_hora	RMS	Latitud	Longitud
760	12016	15/01/1991	00:56:59.32	0.61	0.46	28.070	-16.266
S_mayor	S_menor	Acimut	Profundidad	Error_prof	Nº_Datos	Nº_Esta	GAP
4.2	4.2	28.7	25f		9	3	212.0
Dist_mín	Dist_máx	Epicentro	Zona_sísmica	m_b	$m_b(Lg)$	m_L	$M_b mod$
0.3	0.6	E San Miguel de Tajao.TF	Zona atlántica Tenerife-Gran Canaria			2.6	
M_b	M	I_máx_calc	I_máx_obs	Dur_perc	Dist_perc	N_obs_I	Referencias
2.6	2.6						IGN
Nº	EVID	Fecha	Hora	Error_hora	RMS	Latitud	Longitud
761	12038	16/02/1991	11:59:17.24	0.66	0.41	27.681	-18.213
S_mayor	S_menor	Acimut	Profundidad	Error_prof	Nº_Datos	Nº_Esta	GAP
4.1	4.1	60.5	34	5	15	5	296.2
Dist_mín	Dist_máx	Epicentro	Zona_sísmica	m_b	$m_b(Lg)$	m_L	$M_b mod$
0.2	3.7	SO Isla de El Hierro	Océano Atlántico			3.6	
M_b	M	I_máx_calc	I_máx_obs	Dur_perc	Dist_perc	N_obs_I	Referencias
3.6	3.6						IGN
Nº	EVID	Fecha	Hora	Error_hora	RMS	Latitud	Longitud
762	12067	21/03/1991	13:32:00.32	0.94	0.50	27.378	-18.666
S_mayor	S_menor	Acimut	Profundidad	Error_prof	Nº_Datos	Nº_Esta	GAP
6.6	6.6	159.1	5f		10	6	312.3
Dist_mín	Dist_máx	Epicentro	Zona_sísmica	m_b	$m_b(Lg)$	m_L	$M_b mod$
0.7	4.2	SO Isla de El Hierro	Océano Atlántico			5.1	
M_b	M	I_máx_calc	I_máx_obs	Dur_perc	Dist_perc	N_obs_I	Referencias
5.1	5.1		4			+	IGN
Nº	EVID	Fecha	Hora	Error_hora	RMS	Latitud	Longitud
763	12067	27/04/1991	14:58:08.28	0.64	0.42	27.911	-18.022
S_mayor	S_menor	Acimut	Profundidad	Error_prof	Nº_Datos	Nº_Esta	GAP
3.4	3.4	92.8	0f		5	3	203.4
Dist_mín	Dist_máx	Epicentro	Zona_sísmica	m_b	$m_b(Lg)$	m_L	$M_b mod$
0.2	1.3	N Isla de El Hierro	Océano Atlántico			2.3	
M_b	M	I_máx_calc	I_máx_obs	Dur_perc	Dist_perc	N_obs_I	Referencias
2.3	2.3						IGN

Nº	EVID	Fecha	Hora	Error_hora	RMS	Latitud	Longitud
764	12108	14/05/1991	09:52:33.28	0.90	0.43	30.173	-19.406
S_mayor	S_menor	Acimut	Profundidad	Error_prof	Nº_Datos	Nº_Esta	GAP
5.9	5.9	40.2	0f		10	4	317.2
Dist_mín	Dist_máx	Epicentro	Zona_sísmica	m_b	$m_b(Lg)$	m_L	$M_b mod$
2.0	5.0	NO Isla de La Palma	Océano Atlántico			3.7	
M_b	M	I_máx_calc	I_máx_obs	Dur_perc	Dist_perc	N_obs_I	Referencias
3.7	3.7						IGN
Nº	EVID	Fecha	Hora	Error_hora	RMS	Latitud	Longitud
765	12109	18/05/1991	07:21:37.68	0.89	0.46	27.752	-18.132
S_mayor	S_menor	Acimut	Profundidad	Error_prof	Nº_Datos	Nº_Esta	GAP
4.8	4.8	62.8	42	4	12	6	272.5
Dist_mín	Dist_máx	Epicentro	Zona_sísmica	m_b	$m_b(Lg)$	m_L	$M_b mod$
0.2	3.6	O Sabinosa.HE	Isla de El Hierro			2.6	
M_b	M	I_máx_calc	I_máx_obs	Dur_perc	Dist_perc	N_obs_I	Referencias
2.6	2.6						IGN
Nº	EVID	Fecha	Hora	Error_hora	RMS	Latitud	Longitud
766	12127	09/06/1991	01:54:22.75	0.82	0.42	28.040	-16.156
S_mayor	S_menor	Acimut	Profundidad	Error_prof	Nº_Datos	Nº_Esta	GAP
10.9	10.9	170.4	26	16	10	4	214.5
Dist_mín	Dist_máx	Epicentro	Zona_sísmica	m_b	$m_b(Lg)$	m_L	$M_b mod$
0.4	1.9	O La Aldea de San Nicolás de Tolentino. GC	Zona atlántica Tenerife-Gran Canaria			2.4	
M_b	M	I_máx_calc	I_máx_obs	Dur_perc	Dist_perc	N_obs_I	Referencias
2.4	2.4						IGN
Nº	EVID	Fecha	Hora	Error_hora	RMS	Latitud	Longitud
767	12136	14/06/1991	21:29:47.78	0.98	0.69	30.788	-16.858
S_mayor	S_menor	Acimut	Profundidad	Error_prof	Nº_Datos	Nº_Esta	GAP
4.2	4.2	116.3	0f		16	6	289.8
Dist_mín	Dist_máx	Epicentro	Zona_sísmica	m_b	$m_b(Lg)$	m_L	$M_b mod$
2.3	3.4	N Isla de Tenerife	Océano Atlántico			3.7	
M_b	M	I_máx_calc	I_máx_obs	Dur_perc	Dist_perc	N_obs_I	Referencias
3.7	3.7						IGN
Nº	EVID	Fecha	Hora	Error_hora	RMS	Latitud	Longitud
768	12139	18/06/1991	03:45:46.79	0.30	0.16	28.091	-16.168
S_mayor	S_menor	Acimut	Profundidad	Error_prof	Nº_Datos	Nº_Esta	GAP
9.1	9.1	172.8	21	8	7	5	202.4
Dist_mín	Dist_máx	Epicentro	Zona_sísmica	m_b	$m_b(Lg)$	m_L	$M_b mod$
0.4	1.9	E San Miguel de Tajao.TF	Zona atlántica Tenerife-Gran Canaria			2.4	
M_b	M	I_máx_calc	I_máx_obs	Dur_perc	Dist_perc	N_obs_I	Referencias
2.4	2.4						IGN
Nº	EVID	Fecha	Hora	Error_hora	RMS	Latitud	Longitud
769	12144	23/06/1991	20:22:44.99	0.08	0.03	28.294	-15.972
S_mayor	S_menor	Acimut	Profundidad	Error_prof	Nº_Datos	Nº_Esta	GAP
1.4	1.4	21.4	1	1	7	3	185.6
Dist_mín	Dist_máx	Epicentro	Zona_sísmica	m_b	$m_b(Lg)$	m_L	$M_b mod$
0.3	1.7	NO Gáldar. GC	Zona atlántica Tenerife-Gran Canaria			2.5	
M_b	M	I_máx_calc	I_máx_obs	Dur_perc	Dist_perc	N_obs_I	Referencias
2.5	2.5						IGN
Nº	EVID	Fecha	Hora	Error_hora	RMS	Latitud	Longitud
770	12150	02/07/1991	17:23:04.26	0.55	0.78	28.169	-16.192
S_mayor	S_menor	Acimut	Profundidad	Error_prof	Nº_Datos	Nº_Esta	GAP
6.2	6.2	27.5	17f		14	6	159.1
Dist_mín	Dist_máx	Epicentro	Zona_sísmica	m_b	$m_b(Lg)$	m_L	$M_b mod$
0.3	1.9	E Porís de Abona. TF	Zona atlántica Tenerife-Gran Canaria			3.1	
M_b	M	I_máx_calc	I_máx_obs	Dur_perc	Dist_perc	N_obs_I	Referencias
3.1	3.1						IGN

N°	EVID	Fecha	Hora	Error_hora	RMS	Latitud	Longitud
771	12152	04/07/1991	23:41:49.16	0.95	0.61	28.018	-16.152
S_mayor	S_menor	Acimut	Profundidad	Error_prof	N°_Datos	N°_Esta	GAP
8.1	8.1	11.4	12	15	13	5	216.1
Dist_mín	Dist_máx	Epicentro	Zona_sísmica	m_b	$m_b(Lg)$	m_L	$M_b(mod)$
0.4	1.9	O La Aldea de San Nicolás de Tolentino. GC	Zona atlántica Tenerife-Gran Canaria			3.0	
M_b	M	I_máx_calc	I_máx_obs	Dur_perc	Dist_perc	N_obs_I	Referencias
3.0	3.0						IGN
N°	EVID	Fecha	Hora	Error_hora	RMS	Latitud	Longitud
772	12164	23/07/1991	22:56:48.58	0.41	0.22	28.402	-15.627
S_mayor	S_menor	Acimut	Profundidad	Error_prof	N°_Datos	N°_Esta	GAP
7.4	7.4	3.3	41	10	10	4	171.2
Dist_mín	Dist_máx	Epicentro	Zona_sísmica	m_b	$m_b(Lg)$	m_L	$M_b(mod)$
0.3	1.4	N Gáldar.GC	Zona atlántica Tenerife-Gran Canaria			2.5	
M_b	M	I_máx_calc	I_máx_obs	Dur_perc	Dist_perc	N_obs_I	Referencias
2.5	2.5						IGN
N°	EVID	Fecha	Hora	Error_hora	RMS	Latitud	Longitud
773	12190	15/08/1991	06:18:21.38	1.36	1.00	29.428	-16.255
S_mayor	S_menor	Acimut	Profundidad	Error_prof	N°_Datos	N°_Esta	GAP
7.3	7.3	14.9	5f	17	13	5	234.2
Dist_mín	Dist_máx	Epicentro	Zona_sísmica	m_b	$m_b(Lg)$	m_L	$M_b(mod)$
0.9	2.2	N Isla de Tenerife	Océano Atlántico			3.0	
M_b	M	I_máx_calc	I_máx_obs	Dur_perc	Dist_perc	N_obs_I	Referencias
3.0	3.0						IGN
N°	EVID	Fecha	Hora	Error_hora	RMS	Latitud	Longitud
774	12230	17/09/1991	19:38:00.31	0.93	0.73	28.917	-16.209
S_mayor	S_menor	Acimut	Profundidad	Error_prof	N°_Datos	N°_Esta	GAP
4.7	4.7	162.8	48	17	14	6	203.1
Dist_mín	Dist_máx	Epicentro	Zona_sísmica	m_b	$m_b(Lg)$	m_L	$M_b(mod)$
0.439	1.9	N Isla de Tenerife	Océano Atlántico			2.7	
M_b	M	I_máx_calc	I_máx_obs	Dur_perc	Dist_perc	N_obs_I	Referencias
2.7	2.7						IGN
N°	EVID	Fecha	Hora	Error_hora	RMS	Latitud	Longitud
775	12251	07/10/1991	21:09:05.37	1.22	0.73	28.101	-16.144
S_mayor	S_menor	Acimut	Profundidad	Error_prof	N°_Datos	N°_Esta	GAP
7.8	7.8	46.8	5f	17	7	3	199.1
Dist_mín	Dist_máx	Epicentro	Zona_sísmica	m_b	$m_b(Lg)$	m_L	$M_b(mod)$
0.4	0.4	E San Miguel de Tajao.TF	Zona atlántica Tenerife-Gran Canaria			2.2	
M_b	M	I_máx_calc	I_máx_obs	Dur_perc	Dist_perc	N_obs_I	Referencias
2.2	2.2						IGN
N°	EVID	Fecha	Hora	Error_hora	RMS	Latitud	Longitud
776		12/12/1991	21:38:15.49	0.79	0.36	32.576	-16.839
S_mayor	S_menor	Acimut	Profundidad	Error_prof	N°_Datos	N°_Esta	GAP
5.1	5.1	79.4	5f	11	11	5	315.8
Dist_mín	Dist_máx	Epicentro	Zona_sísmica	m_b	$m_b(Lg)$	m_L	$M_b(mod)$
4.0	4.9	S Madeira	Océano Atlántico			4.6	
M_b	M	I_máx_calc	I_máx_obs	Dur_perc	Dist_perc	N_obs_I	Referencias
4.6	4.6						IGN
N°	EVID	Fecha	Hora	Error_hora	RMS	Latitud	Longitud
777	12298	14/12/1991	06:01:11.95	1.05	0.62	28.252	-15.119
S_mayor	S_menor	Acimut	Profundidad	Error_prof	N°_Datos	N°_Esta	GAP
7.9	7.9	11.3	0f	12	12	4	331.1
Dist_mín	Dist_máx	Epicentro	Zona_sísmica	m_b	$m_b(Lg)$	m_L	$M_b(mod)$
0.5	2.6	NE Las Palmas de Gran Canaria	Zona atlántica Gran Canaria-Fuerteventura			3.5	
M_b	M	I_máx_calc	I_máx_obs	Dur_perc	Dist_perc	N_obs_I	Referencias
3.5	3.5						IGN

N°	EVID	Fecha	Hora	Error_hora	RMS	Latitud	Longitud
778	12376	05/02/1992	12:32:40.50	0.61	0.46	29.942	-15.078
S_mayor	S_menor	Acimut	Profundidad	Error_prof	N°_Datos	N°_Esta	GAP
3.6	3.6	24.9	86f		15	5	266.3
Dist_mín	Dist_máx	Epicentro	Zona_sísmica	m_b	$m_b(Lg)$	m_L	$M_b mod$
1.8	3.4	NO Isla de Lanzarote.	Océano Atlántico			3.9	
M_b	M	I_máx_calc	I_máx_obs	Dur_perc	Dist_perc	N_obs_I	Referencias
3.9	3.9						IGN
N°	EVID	Fecha	Hora	Error_hora	RMS	Latitud	Longitud
779		24/03/1992	10:41:02.32	0.87	0.77	28.814	-16.907
S_mayor	S_menor	Acimut	Profundidad	Error_prof	N°_Datos	N°_Esta	GAP
5.7	5.7	172.8	31f		12	5	196.8
Dist_mín	Dist_máx	Epicentro	Zona_sísmica	m_b	$m_b(Lg)$	m_L	$M_b mod$
0.7	2.5	N Isla de Tenerife	Océano Atlántico			3.4	
M_b	M	I_máx_calc	I_máx_obs	Dur_perc	Dist_perc	N_obs_I	Referencias
3.4	3.4						IGN
N°	EVID	Fecha	Hora	Error_hora	RMS	Latitud	Longitud
780	12460	11/04/1992	21:34:15.12	0.08	0.04	28.473	-15.232
S_mayor	S_menor	Acimut	Profundidad	Error_prof	N°_Datos	N°_Esta	GAP
0.4	0.4	43.2	19	6	8	4	177.5
Dist_mín	Dist_máx	Epicentro	Zona_sísmica	m_b	$m_b(Lg)$	m_L	$M_b mod$
0.5	2.4	NO Las Palmas de Gran Canaria	Zona atlántica				
			Gran Canaria-Fuerteventura			2.9	
M_b	M	I_máx_calc	I_máx_obs	Dur_perc	Dist_perc	N_obs_I	Referencias
2.9	2.9						IGN
N°	EVID	Fecha	Hora	Error_hora	RMS	Latitud	Longitud
781	12474	17/04/1992	00:06:22.06	0.74	0.27	27.630	-18.161
S_mayor	S_menor	Acimut	Profundidad	Error_prof	N°_Datos	N°_Esta	GAP
4.6	4.6	63.8	26	4	9	3	294.9
Dist_mín	Dist_máx	Epicentro	Zona_sísmica	m_b	$m_b(Lg)$	m_L	$M_b mod$
0.2	3.7	O La Restinga. HE	Océano Atlántico			2.6	
M_b	M	I_máx_calc	I_máx_obs	Dur_perc	Dist_perc	N_obs_I	Referencias
2.6	2.6						IGN
N°	EVID	Fecha	Hora	Error_hora	RMS	Latitud	Longitud
782	12488	07/05/1992	15:17:11.18	0.32	0.45	28.124	-16.225
S_mayor	S_menor	Acimut	Profundidad	Error_prof	N°_Datos	N°_Esta	GAP
3.0	3.0	179.6	19f		15	5	165.6
Dist_mín	Dist_máx	Epicentro	Zona_sísmica	m_b	$m_b(Lg)$	m_L	$M_b mod$
0.4	1.9	E Porís de Abona. TF	Zona atlántica				
			Tenerife-Gran Canaria			2.8	
M_b	M	I_máx_calc	I_máx_obs	Dur_perc	Dist_perc	N_obs_I	Referencias
2.8	2.8						IGN
N°	EVID	Fecha	Hora	Error_hora	RMS	Latitud	Longitud
783	12490	08/05/1992	04:19:19.97	0.02	0.29	28.318	-15.202
S_mayor	S_menor	Acimut	Profundidad	Error_prof	N°_Datos	N°_Esta	GAP
0.1	0.1	102.2	41f		6	3	201.4
Dist_mín	Dist_máx	Epicentro	Zona_sísmica	m_b	$m_b(Lg)$	m_L	$M_b mod$
0.4	1.0	NO Las Palmas de Gran Canaria	Zona atlántica				
			Gran Canaria-Fuerteventura			2.5	
M_b	M	I_máx_calc	I_máx_obs	Dur_perc	Dist_perc	N_obs_I	Referencias
2.5	2.5						IGN
N°	EVID	Fecha	Hora	Error_hora	RMS	Latitud	Longitud
784	12502	16/05/1992	16:57:27.85	0.44	0.28	28.289	-15.968
S_mayor	S_menor	Acimut	Profundidad	Error_prof	N°_Datos	N°_Esta	GAP
3.6	3.6	166.2	2	2	13	5	138.9
Dist_mín	Dist_máx	Epicentro	Zona_sísmica	m_b	$m_b(Lg)$	m_L	$M_b mod$
0.3	1.8	NO Gáldar. GC	Zona atlántica				
			Tenerife-Gran Canaria			3.3	
M_b	M	I_máx_calc	I_máx_obs	Dur_perc	Dist_perc	N_obs_I	Referencias
3.3	3.3						IGN

Nº	EVID	Fecha	Hora	Error_hora	RMS	Latitud	Longitud
785	12522	01/06/1992	10:42:05.12	0.32	0.32	28.109	-16.250
S_mayor	S_menor	Acimut	Profundidad	Error_prof	Nº_Datos	Nº_Esta	GAP
3.4	3.4	34.4	30	9	13	5	167.6
Dist_mín	Dist_máx	Epicentro	Zona_sísmica	m_b	$m_b(Lg)$	m_L	$M_b mod$
0.4	1.9	E San Miguel de Tajao.TF	Zona atlántica Tenerife-Gran Canaria			3.1	
M_b	M	I_máx_calc	I_máx_obs	Dur_perc	Dist_perc	N_obs_I	Referencias
3.1	3.1						IGN
Nº	EVID	Fecha	Hora	Error_hora	RMS	Latitud	Longitud
786	12528	06/06/1992	23:21:03.47	0.96	0.38	28.010	-16.229
S_mayor	S_menor	Acimut	Profundidad	Error_prof	Nº_Datos	Nº_Esta	GAP
4.6	4.6	70.5	9f		9	3	278.3
Dist_mín	Dist_máx	Epicentro	Zona_sísmica	m_b	$m_b(Lg)$	m_L	$M_b mod$
0.5	1.9	E El Médano TF	Zona atlántica Tenerife-Gran Canaria			2.6	
M_b	M	I_máx_calc	I_máx_obs	Dur_perc	Dist_perc	N_obs_I	Referencias
2.6	2.6						IGN
Nº	EVID	Fecha	Hora	Error_hora	RMS	Latitud	Longitud
787	12573	12/07/1992	05:33:27.84	0.17	0.14	28.089	-16.381
S_mayor	S_menor	Acimut	Profundidad	Error_prof	Nº_Datos	Nº_Esta	GAP
7.4	7.4	169.1	27	7	12	4	206.7
Dist_mín	Dist_máx	Epicentro	Zona_sísmica	m_b	$m_b(Lg)$	m_L	$M_b mod$
0.4	2.1	E San Miguel de Tajao.TF	Zona atlántica Tenerife-Gran Canaria			2.6	
M_b	M	I_máx_calc	I_máx_obs	Dur_perc	Dist_perc	N_obs_I	Referencias
2.6	2.6						IGN
Nº	EVID	Fecha	Hora	Error_hora	RMS	Latitud	Longitud
788	12601	01/08/1992	22:22:06.20	0.43	0.46	28.408	-16.010
S_mayor	S_menor	Acimut	Profundidad	Error_prof	Nº_Datos	Nº_Esta	GAP
3.5	3.5	19.8	0f		9	3	161.4
Dist_mín	Dist_máx	Epicentro	Zona_sísmica	m_b	$m_b(Lg)$	m_L	$M_b mod$
0.2	1.7	E Santa Cruz de Tenerife	Zona atlántica Tenerife-Gran Canaria			3.1	
M_b	M	I_máx_calc	I_máx_obs	Dur_perc	Dist_perc	N_obs_I	Referencias
3.1	3.1						IGN
Nº	EVID	Fecha	Hora	Error_hora	RMS	Latitud	Longitud
789	12604	03/08/1992	08:27:14.82	0.40	0.32	28.771	-16.833
S_mayor	S_menor	Acimut	Profundidad	Error_prof	Nº_Datos	Nº_Esta	GAP
3.2	3.2	7	11		12	4	193.0
Dist_mín	Dist_máx	Epicentro	Zona_sísmica	m_b	$m_b(Lg)$	m_L	$M_b mod$
0.6	2.4	N Isla de Tenerife	Océano Atlántico			2.8	
M_b	M	I_máx_calc	I_máx_obs	Dur_perc	Dist_perc	N_obs_I	Referencias
2.8	2.8						IGN
Nº	EVID	Fecha	Hora	Error_hora	RMS	Latitud	Longitud
790	12668	12/09/1992	16:49:45.53	0.84	0.46	27.882	-18.008
S_mayor	S_menor	Acimut	Profundidad	Error_prof	Nº_Datos	Nº_Esta	GAP
5.4	5.4	74.8	1	4	15	5	201.1
Dist_mín	Dist_máx	Epicentro	Zona_sísmica	m_b	$m_b(Lg)$	m_L	$M_b mod$
0.2	3.5	N Isla de El Hierro	Océano Atlántico			3.3	
M_b	M	I_máx_calc	I_máx_obs	Dur_perc	Dist_perc	N_obs_I	Referencias
3.3	3.3						IGN
Nº	EVID	Fecha	Hora	Error_hora	RMS	Latitud	Longitud
791		30/09/1992	11:34:56.06	0.18	0.10	31.909	-16.890
S_mayor	S_menor	Acimut	Profundidad	Error_prof	Nº_Datos	Nº_Esta	GAP
1.0	1.0	81.1	0f		15	5	308.7
Dist_mín	Dist_máx	Epicentro	Zona_sísmica	m_b	$m_b(Lg)$	m_L	$M_b mod$
3.3	4.3	S Isla de Madeira	Océano Atlántico			4.3	
M_b	M	I_máx_calc	I_máx_obs	Dur_perc	Dist_perc	N_obs_I	Referencias
4.3	4.3						IGN

N°	EVID	Fecha	Hora	Error_hora	RMS	Latitud	Longitud
792	12700	03/10/1992	23:06:45.13	0.29	0.29	28.135	-16.202
S_mayor	S_menor	Acimut	Profundidad	Error_prof	N°_Datos	N°_Esta	GAP
2.8	2.8	147.9	39	5	15	5	164.2
Dist_mín	Dist_máx	Epicentro	Zona_sísmica	m_b	$m_b(Lg)$	m_L	$M_b mod$
0.3	1.9	E Porís de Abona. TF	Zona atlántica Tenerife-Gran Canaria			3.8	
M_b	M	I_máx_calc	I_máx_obs	Dur_perc	Dist_perc	N_obs_I	Referencias
3.8	3.8		4			1	IGN, ISC
N°	EVID	Fecha	Hora	Error_hora	RMS	Latitud	Longitud
793		20/11/1992	18:01:36.57	0.96	0.48	31.429	-16.806
S_mayor	S_menor	Acimut	Profundidad	Error_prof	N°_Datos	N°_Esta	GAP
5.5	5.5	77.7	0f		12	4	301.5
Dist_mín	Dist_máx	Epicentro	Zona_sísmica	m_b	$m_b(Lg)$	m_L	$M_b mod$
2.9	3.8	S Madeira	Océano Atlántico			4.3	
M_b	M	I_máx_calc	I_máx_obs	Dur_perc	Dist_perc	N_obs_I	Referencias
4.3	4.3						IGN
N°	EVID	Fecha	Hora	Error_hora	RMS	Latitud	Longitud
794	12882	16/01/1993	04:49:46.55	0.31	0.12	28.054	-17.915
S_mayor	S_menor	Acimut	Profundidad	Error_prof	N°_Datos	N°_Esta	GAP
1.1	1.1	36.9	2	2	8	4	172.9
Dist_mín	Dist_máx	Epicentro	Zona_sísmica	m_b	$m_b(Lg)$	m_L	$M_b mod$
0.3	3.4	N Isla de El Hierro	Océano Atlántico			2.4	
M_b	M	I_máx_calc	I_máx_obs	Dur_perc	Dist_perc	N_obs_I	Referencias
2.4	2.4						IGN
N°	EVID	Fecha	Hora	Error_hora	RMS	Latitud	Longitud
795	12933	22/02/1993	05:55:36.17	0.82	0.54	28.400	-18.684
S_mayor	S_menor	Acimut	Profundidad	Error_prof	N°_Datos	N°_Esta	GAP
3.8	3.8	102.5	5f		12	5	291.3
Dist_mín	Dist_máx	Epicentro	Zona_sísmica	m_b	$m_b(Lg)$	m_L	$M_b mod$
0.7	4.1	SO Isla de La Palma	Océano Atlántico			3.4	
M_b	M	I_máx_calc	I_máx_obs	Dur_perc	Dist_perc	N_obs_I	Referencias
3.4	3.4						IGN
N°	EVID	Fecha	Hora	Error_hora	RMS	Latitud	Longitud
796	12999	09/04/1993	12:07:54.75	0.56	0.20	27.899	-15.196
S_mayor	S_menor	Acimut	Profundidad	Error_prof	N°_Datos	N°_Esta	GAP
1.9	1.9	10.6	0f		7	3	237.3
Dist_mín	Dist_máx	Epicentro	Zona_sísmica	m_b	$m_b(Lg)$	m_L	$M_b mod$
0.4	1.1	E Las Majoreras. GC	Zona atlántica Gran Canaria-Fuerteventura			2.6	
M_b	M	I_máx_calc	I_máx_obs	Dur_perc	Dist_perc	N_obs_I	Referencias
2.6	2.6						IGN
N°	EVID	Fecha	Hora	Error_hora	RMS	Latitud	Longitud
797	13000	09/04/1993	16:04:33.05	0.24	0.42	28.133	-16.925
S_mayor	S_menor	Acimut	Profundidad	Error_prof	N°_Datos	N°_Esta	GAP
3.2	3.2	162.5	0f		15	5	156.0
Dist_mín	Dist_máx	Epicentro	Zona_sísmica	m_b	$m_b(Lg)$	m_L	$M_b mod$
0.7	2.5	E San Sebastian de la Gomera	Océano Atlántico			3.1	
M_b	M	I_máx_calc	I_máx_obs	Dur_perc	Dist_perc	N_obs_I	Referencias
3.1	3.1	4.1	3		14	1	IGN, ISC
N°	EVID	Fecha	Hora	Error_hora	RMS	Latitud	Longitud
798	13003	10/04/1993	13:29:56.53	0.33	0.29	28.030	-16.121
S_mayor	S_menor	Acimut	Profundidad	Error_prof	N°_Datos	N°_Esta	GAP
3.0	3.0	151	35	7	13	5	181.9
Dist_mín	Dist_máx	Epicentro	Zona_sísmica	m_b	$m_b(Lg)$	m_L	$M_b mod$
0.4	1.8	O El Albercon.GC	Zona Atlantica Tenerife-Gran Canaria			3.4	
M_b	M	I_máx_calc	I_máx_obs	Dur_perc	Dist_perc	N_obs_I	Referencias
3.4	3.4						IGN

N°	EVID	Fecha	Hora	Error_hora	RMS	Latitud	Longitud
799	13007	13/04/1993	03:59:39.97	0.64	0.70	28.102	-16.131
S_mayor	S_menor	Acimut	Profundidad	Error_prof	N°_Datos	N°_Esta	GAP
4.0	4.0	38.9	0f		12	4	202.9
Dist_mín	Dist_máx	Epicentro	Zona_sísmica	m_b	$m_b(Lg)$	m_L	$M_b mod$
0.4	1.8	E San Miguel de Tajao.TF	Zona Atlantica Tenerife-Gran Canaria			2.5	
M_b	M	I_máx_calc	I_máx_obs	Dur_perc	Dist_perc	N_obs_I	Referencias
2.5	2.5						IGN
N°	EVID	Fecha	Hora	Error_hora	RMS	Latitud	Longitud
800	13067	30/05/1993	07:00:21.92	0.64	0.32	29.954	-16.688
S_mayor	S_menor	Acimut	Profundidad	Error_prof	N°_Datos	N°_Esta	GAP
3.0	3.0	162.4	5f		11	5	262.9
Dist_mín	Dist_máx	Epicentro	Zona_sísmica	m_b	$m_b(Lg)$	m_L	$M_b mod$
1.5	2.7	N Isla de Tenerife	Océano Atlantico			3.3	
M_b	M	I_máx_calc	I_máx_obs	Dur_perc	Dist_perc	N_obs_I	Referencias
3.3	3.3						IGN
N°	EVID	Fecha	Hora	Error_hora	RMS	Latitud	Longitud
801	13110	13/06/1993	08:10:53.97	0.38	0.17	29.187	-14.428
S_mayor	S_menor	Acimut	Profundidad	Error_prof	N°_Datos	N°_Esta	GAP
2.3	2.3	50	0f		7	3	257.0
Dist_mín	Dist_máx	Epicentro	Zona_sísmica	m_b	$m_b(Lg)$	m_L	$M_b mod$
0.8	3.1	O Isla de Lanzarote	Zona atlántica Gran Canaria-Fuerteventura			2.8	
M_b	M	I_máx_calc	I_máx_obs	Dur_perc	Dist_perc	N_obs_I	Referencias
2.8	2.8						IGN
N°	EVID	Fecha	Hora	Error_hora	RMS	Latitud	Longitud
802	13112	15/06/1993	05:48:13.46	0.37	0.39	28.000	-16.204
S_mayor	S_menor	Acimut	Profundidad	Error_prof	N°_Datos	N°_Esta	GAP
5.5	5.5	31.4	19f		9	4	225.0
Dist_mín	Dist_máx	Epicentro	Zona_sísmica	m_b	$m_b(Lg)$	m_L	$M_b mod$
0.4	1.9	E El Médano TF	Zona Atlantica Tenerife-Gran Canaria			2.3	
M_b	M	I_máx_calc	I_máx_obs	Dur_perc	Dist_perc	N_obs_I	Referencias
2.3	2.3						IGN
N°	EVID	Fecha	Hora	Error_hora	RMS	Latitud	Longitud
803	13139	08/07/1993	09:19:20.50	0.58	0.36	26.970	-14.363
S_mayor	S_menor	Acimut	Profundidad	Error_prof	N°_Datos	N°_Esta	GAP
5.0	5.0	65.7	0f		12	4	328.4
Dist_mín	Dist_máx	Epicentro	Zona_sísmica	m_b	$m_b(Lg)$	m_L	$M_b mod$
1.6	3.6	S Isla de Fuerteventura	Océano Atlántico			3.4	
M_b	M	I_máx_calc	I_máx_obs	Dur_perc	Dist_perc	N_obs_I	Referencias
3.4	3.4						IGN
N°	EVID	Fecha	Hora	Error_hora	RMS	Latitud	Longitud
804	13161	18/07/1993	09:16:17.49	0.28	0.12	27.686	-18.492
S_mayor	S_menor	Acimut	Profundidad	Error_prof	N°_Datos	N°_Esta	GAP
1.7	1.7	28.3	7	7	13	5	302.2
Dist_mín	Dist_máx	Epicentro	Zona_sísmica	m_b	$m_b(Lg)$	m_L	$M_b mod$
0.5	4.0	O Isla de El Hierro	Océano Atlántico			2.8	
M_b	M	I_máx_calc	I_máx_obs	Dur_perc	Dist_perc	N_obs_I	Referencias
2.8	2.8						IGN
N°	EVID	Fecha	Hora	Error_hora	RMS	Latitud	Longitud
805	13179	23/07/1993	09:05:40.14	0.65	0.33	28.130	-16.193
S_mayor	S_menor	Acimut	Profundidad	Error_prof	N°_Datos	N°_Esta	GAP
5.5	5.5	13.7	7f		7	3	193.1
Dist_mín	Dist_máx	Epicentro	Zona_sísmica	m_b	$m_b(Lg)$	m_L	$M_b mod$
0.4	1.9	E Porís de Abona. TF	Zona Atlantica Tenerife-Gran Canaria			2.3	
M_b	M	I_máx_calc	I_máx_obs	Dur_perc	Dist_perc	N_obs_I	Referencias
2.3	2.3						IGN

N°	EVID	Fecha	Hora	Error_hora	RMS	Latitud	Longitud
806	13208	02/08/1993	07:08:59.02	0.43	0.32	28.834	-17.006
S_mayor	S_menor	Acimut	Profundidad	Error_prof	N°_Datos	N°_Esta	GAP
2.3	2.3	6.2	10f		11	5	199.3
Dist_mín	Dist_máx	Epicentro	Zona_sísmica	m_b	$m_b(Lg)$	m_L	$M_b mod$
0.7	2.6	E Isla de Tenerife	Oceáno Atlántico			2.7	
M_b	M	I_máx_calc	I_máx_obs	Dur_perc	Dist_perc	N_obs_I	Referencias
2.7	2.7						IGN
N°	EVID	Fecha	Hora	Error_hora	RMS	Latitud	Longitud
807	13237	24/08/1993	22:51:54.53	0.31	0.44	28.214	-16.158
S_mayor	S_menor	Acimut	Profundidad	Error_prof	N°_Datos	N°_Esta	GAP
2.5	2.5	6	17	8	16	6	152.2
Dist_mín	Dist_máx	Epicentro	Zona_sísmica	m_b	$m_b(Lg)$	m_L	$M_b mod$
0.3	1.8	E Los Roques. TF	Zona atlántica Tenerife-Gran Canaria			2.8	
M_b	M	I_máx_calc	I_máx_obs	Dur_perc	Dist_perc	N_obs_I	Referencias
2.8	2.8						IGN
N°	EVID	Fecha	Hora	Error_hora	RMS	Latitud	Longitud
808	13241	30/08/1993	13:06:56.37	0.22	0.09	27.639	-17.979
S_mayor	S_menor	Acimut	Profundidad	Error_prof	N°_Datos	N°_Esta	GAP
1.3	1.3	52.6	29	1	7	3	299.0
Dist_mín	Dist_máx	Epicentro	Zona_sísmica	m_b	$m_b(Lg)$	m_L	$M_b mod$
0.1	1.3	La Restinga. HE	Isla de El Hierro			2.4	
M_b	M	I_máx_calc	I_máx_obs	Dur_perc	Dist_perc	N_obs_I	Referencias
2.4	2.4						IGN
N°	EVID	Fecha	Hora	Error_hora	RMS	Latitud	Longitud
809	13243	31/08/1993	01:21:02.94	0.41	0.17	28.552	-16.340
S_mayor	S_menor	Acimut	Profundidad	Error_prof	N°_Datos	N°_Esta	GAP
1.6	1.6	4.6	0f		7	3	269.2
Dist_mín	Dist_máx	Epicentro	Zona_sísmica	m_b	$m_b(Lg)$	m_L	$M_b mod$
0.1	0.8	Bajamar. TF	Isla de Tenerife			2.2	
M_b	M	I_máx_calc	I_máx_obs	Dur_perc	Dist_perc	N_obs_I	Referencias
2.2	2.2		2.5			+	IGN, ISC
N°	EVID	Fecha	Hora	Error_hora	RMS	Latitud	Longitud
810	13253	07/09/1993	01:34:17.42	0.10	0.09	28.216	-15.707
S_mayor	S_menor	Acimut	Profundidad	Error_prof	N°_Datos	N°_Esta	GAP
3.2	3.2	12.4	20f		7	3	171.1
Dist_mín	Dist_máx	Epicentro	Zona_sísmica	m_b	$m_b(Lg)$	m_L	$M_b mod$
0.1	1.4	N Gáldar.GC	Zona atlántica Tenerife-Gran Canaria			2.3	
M_b	M	I_máx_calc	I_máx_obs	Dur_perc	Dist_perc	N_obs_I	Referencias
2.3	2.3						IGN
N°	EVID	Fecha	Hora	Error_hora	RMS	Latitud	Longitud
811	13258	10/09/1993	01:37:50.10	0.39	0.16	27.327	-12.687
S_mayor	S_menor	Acimut	Profundidad	Error_prof	N°_Datos	N°_Esta	GAP
3.0	3.0	7.9	5	0	6	2	335.9
Dist_mín	Dist_máx	Epicentro	Zona_sísmica	m_b	$m_b(Lg)$	m_L	$M_b mod$
1.6	2.7	N El Aiún	Sahara			3.3	
M_b	M	I_máx_calc	I_máx_obs	Dur_perc	Dist_perc	N_obs_I	Referencias
3.3	3.3						IGN
N°	EVID	Fecha	Hora	Error_hora	RMS	Latitud	Longitud
812	13264	11/09/1993	15:39:52.53	0.46	0.32	28.543	-16.332
S_mayor	S_menor	Acimut	Profundidad	Error_prof	N°_Datos	N°_Esta	GAP
1.8	1.8	170.5	0f		12	4	267.5
Dist_mín	Dist_máx	Epicentro	Zona_sísmica	m_b	$m_b(Lg)$	m_L	$M_b mod$
0.1	0.7	Bajamar. TF	Isla de Tenerife			2.8	
M_b	M	I_máx_calc	I_máx_obs	Dur_perc	Dist_perc	N_obs_I	Referencias
2.8	2.8		3.5			+	IGN, ISC

N°	EVID	Fecha	Hora	Error_hora	RMS	Latitud	Longitud
813	13290	29/09/1993	01:24:00.18	0.98	0.55	29.191	-14.928
S_mayor	S_menor	Acimut	Profundidad	Error_prof	N°_Datos	N°_Esta	GAP
4.3	4.3	10.6	5f		10	4	254.0
Dist_mín	Dist_máx	Epicentro	Zona_sísmica	m_b	$m_b(Lg)$	m_L	$M_b mod$
1.1	3.0	O Isla de Lanzarote	Océano Atlántico			3.4	
M_b	M	$I_{máx_calc}$	$I_{máx_obs}$	Dur_perc	Dist_perc	N_obs_I	Referencias
3.4	3.4						IGN
N°	EVID	Fecha	Hora	Error_hora	RMS	Latitud	Longitud
814	13295	03/10/1993	04:47:50.42	0.68	0.51	28.136	-16.283
S_mayor	S_menor	Acimut	Profundidad	Error_prof	N°_Datos	N°_Esta	GAP
5.5	5.5	149.7	33	10	13	5	163.5
Dist_mín	Dist_máx	Epicentro	Zona_sísmica	m_b	$m_b(Lg)$	m_L	$M_b mod$
0.3	2.0	E Punta de Abona.TF	Zona atlántica Tenerife-Gran Canaria			2.7	
M_b	M	$I_{máx_calc}$	$I_{máx_obs}$	Dur_perc	Dist_perc	N_obs_I	Referencias
2.7	2.7						IGN
N°	EVID	Fecha	Hora	Error_hora	RMS	Latitud	Longitud
815	13334	20/10/1993	14:57:38.88	0.47	0.33	28.089	-16.123
S_mayor	S_menor	Acimut	Profundidad	Error_prof	N°_Datos	N°_Esta	GAP
1.9	1.9	31.8	4	3	16	6	172.1
Dist_mín	Dist_máx	Epicentro	Zona_sísmica	m_b	$m_b(Lg)$	m_L	$M_b mod$
0.4	1.8	E San Miguel de Tajao.TF	Zona atlántica Tenerife-Gran Canaria			2.6	
M_b	M	$I_{máx_calc}$	$I_{máx_obs}$	Dur_perc	Dist_perc	N_obs_I	Referencias
2.6	2.6						IGN
N°	EVID	Fecha	Hora	Error_hora	RMS	Latitud	Longitud
816	13347	28/10/1993	17:33:03.47	0.66	0.37	28.174	-16.189
S_mayor	S_menor	Acimut	Profundidad	Error_prof	N°_Datos	N°_Esta	GAP
18.6	18.6	176.6	26	11	8	4	181.2
Dist_mín	Dist_máx	Epicentro	Zona_sísmica	m_b	$m_b(Lg)$	m_L	$M_b mod$
0.3	1.9	E Porís de Abona. TF	Zona atlántica Tenerife-Gran Canaria			2.0	
M_b	M	$I_{máx_calc}$	$I_{máx_obs}$	Dur_perc	Dist_perc	N_obs_I	Referencias
2.0	2.0						IGN
N°	EVID	Fecha	Hora	Error_hora	RMS	Latitud	Longitud
817	13362	10/11/1993	17:10:59.22	1.14	0.65	28.630	-16.758
S_mayor	S_menor	Acimut	Profundidad	Error_prof	N°_Datos	N°_Esta	GAP
5.2	5.2	43.3	14	18	13	5	181.6
Dist_mín	Dist_máx	Epicentro	Zona_sísmica	m_b	$m_b(Lg)$	m_L	$M_b mod$
0.4	2.4	N Garachico. TF	Océano Atlántico			2.3	
M_b	M	$I_{máx_calc}$	$I_{máx_obs}$	Dur_perc	Dist_perc	N_obs_I	Referencias
2.3	2.3						IGN
N°	EVID	Fecha	Hora	Error_hora	RMS	Latitud	Longitud
818	13437	16/12/1993	04:24:18.23	0.84	0.26	28.497	-18.840
S_mayor	S_menor	Acimut	Profundidad	Error_prof	N°_Datos	N°_Esta	GAP
3.6	3.6	106.3	5f		7	3	302.8
Dist_mín	Dist_máx	Epicentro	Zona_sísmica	m_b	$m_b(Lg)$	m_L	$M_b mod$
0.8	2.1	O Isla de la Palma	Océano Atlántico			3.0	
M_b	M	$I_{máx_calc}$	$I_{máx_obs}$	Dur_perc	Dist_perc	N_obs_I	Referencias
3.0	3.0						IGN
N°	EVID	Fecha	Hora	Error_hora	RMS	Latitud	Longitud
819	13448	23/12/1993	09:26:08.73	0.18	0.08	27.977	-16.117
S_mayor	S_menor	Acimut	Profundidad	Error_prof	N°_Datos	N°_Esta	GAP
3.4	3.4	174.9	23	3	7	3	355.5
Dist_mín	Dist_máx	Epicentro	Zona_sísmica	m_b	$m_b(Lg)$	m_L	$M_b mod$
0.4	1.8	O La Aldea de San Nicolás de Tolentino. GC	Zona atlántica Tenerife-Gran Canaria			2.2	
M_b	M	$I_{máx_calc}$	$I_{máx_obs}$	Dur_perc	Dist_perc	N_obs_I	Referencias
2.2	2.2						IGN

N°	EVID	Fecha	Hora	Error_hora	RMS	Latitud	Longitud
820	13449	23/12/1993	12:38:17.26	0.49	0.18	27.998	-16.183
S_mayor	S_menor	Acimut	Profundidad	Error_prof	N°_Datos	N°_Esta	GAP
10.5	10.5	158.8	16	14	9	3	274.8
Dist_mín	Dist_máx	Epicentro	Zona_sísmica	m_b	$m_b(Lg)$	m_L	$M_b mod$
0.5	1.9	O La Aldea de San Nicolás de Tolentino. GC	Zona atlántica Tenerife-Gran Canaria			2.0	
M_b	M	I_máx_calc	I_máx_obs	Dur_perc	Dist_perc	N_obs_I	Referencias
2.0	2.0						IGN
N°	EVID	Fecha	Hora	Error_hora	RMS	Latitud	Longitud
821	13455	23/12/1993	18:46:20.71	0.73	0.29	28.038	-16.135
S_mayor	S_menor	Acimut	Profundidad	Error_prof	N°_Datos	N°_Esta	GAP
3.5	3.5	64.9	5f		9	3	266.3
Dist_mín	Dist_máx	Epicentro	Zona_sísmica	m_b	$m_b(Lg)$	m_L	$M_b mod$
0.4	1.8	E El Médano TF	Zona atlántica Tenerife-Gran Canaria			1.8	
M_b	M	I_máx_calc	I_máx_obs	Dur_perc	Dist_perc	N_obs_I	Referencias
1.8	1.8						IGN
N°	EVID	Fecha	Hora	Error_hora	RMS	Latitud	Longitud
822	13474	31/12/1993	23:14:09.71	0.81	0.36	28.069	-16.121
S_mayor	S_menor	Acimut	Profundidad	Error_prof	N°_Datos	N°_Esta	GAP
3.1	3.1	44.4	1	3	12	9	179.9
Dist_mín	Dist_máx	Epicentro	Zona_sísmica	m_b	$m_b(Lg)$	m_L	$M_b mod$
0.4	1.8	E El Médano TF	Zona atlántica Tenerife-Gran Canaria			2.2	
M_b	M	I_máx_calc	I_máx_obs	Dur_perc	Dist_perc	N_obs_I	Referencias
2.2	2.2						IGN
N°	EVID	Fecha	Hora	Error_hora	RMS	Latitud	Longitud
823	13733	20/02/1994	06:38:05.00	1.01	0.50	28.046	-16.091
S_mayor	S_menor	Acimut	Profundidad	Error_prof	N°_Datos	N°_Esta	GAP
3.2	3.2	32	2	5	11	5	180.0
Dist_mín	Dist_máx	Epicentro	Zona_sísmica	m_b	$m_b(Lg)$	m_L	$M_b mod$
0.4	1.8	O El Risco. GC	Zona atlántica Tenerife-Gran Canaria			2.1	
M_b	M	I_máx_calc	I_máx_obs	Dur_perc	Dist_perc	N_obs_I	Referencias
2.1	2.1						IGN
N°	EVID	Fecha	Hora	Error_hora	RMS	Latitud	Longitud
824	13756	01/03/1994	13:14:24.45	0.34	0.27	28.150	-16.230
S_mayor	S_menor	Acimut	Profundidad	Error_prof	N°_Datos	N°_Esta	GAP
3.1	3.1	18.8	35	6	11	5	161.9
Dist_mín	Dist_máx	Epicentro	Zona_sísmica	m_b	$m_b(Lg)$	m_L	$M_b mod$
0.3	1.9	E Porís de Abona. TF	Zona atlántica Tenerife-Gran Canaria			2.6	
M_b	M	I_máx_calc	I_máx_obs	Dur_perc	Dist_perc	N_obs_I	Referencias
2.6	2.6						IGN
N°	EVID	Fecha	Hora	Error_hora	RMS	Latitud	Longitud
825	13821	20/03/1994	16:56:04.91	0.27	0.16	28.046	-16.138
S_mayor	S_menor	Acimut	Profundidad	Error_prof	N°_Datos	N°_Esta	GAP
2.4	2.4	12.1	9	3	15	5	211.9
Dist_mín	Dist_máx	Epicentro	Zona_sísmica	m_b	$m_b(Lg)$	m_L	$M_b mod$
0.4	1.9	E El Médano TF	Zona atlántica Tenerife-Gran Canaria			2.7	
M_b	M	I_máx_calc	I_máx_obs	Dur_perc	Dist_perc	N_obs_I	Referencias
2.7	2.7						IGN

Nº	EVID	Fecha	Hora	Error_hora	RMS	Latitud	Longitud
826	13887	14/04/1994	05:29:12.49	0.70	0.49	27.815	-15.086
S_mayor	S_menor	Acimut	Profundidad	Error_prof	Nº_Datos	Nº_Esta	GAP
10.1	10.1	160.7	7	9	15	7	212.9
Dist_mín	Dist_máx	Epicentro	Zona_sísmica	m_b	$m_b(Lg)$	m_L	$M_b mod$
0.6	2.6	E Vecindario. GC	Zona atlántica Gran Canaria-Fuerteventura			3.3	
M_b	M	$I_{máx_calc}$	$I_{máx_obs}$	Dur_perc	Dist_perc	N_obs_I	Referencias
3.3	3.3						IGN
Nº	EVID	Fecha	Hora	Error_hora	RMS	Latitud	Longitud
827	13911	21/04/1994	10:10:19.84	0.44	0.16	28.030	-16.184
S_mayor	S_menor	Acimut	Profundidad	Error_prof	Nº_Datos	Nº_Esta	GAP
22.5	22.5	5.9	48	6	9	3	217.9
Dist_mín	Dist_máx	Epicentro	Zona_sísmica	m_b	$m_b(Lg)$	m_L	$M_b mod$
0.4	0.5	E El Médano TF	Zona atlántica Tenerife-Gran Canaria			2.0	
M_b	M	$I_{máx_calc}$	$I_{máx_obs}$	Dur_perc	Dist_perc	N_obs_I	Referencias
2.0	2.0						IGN
Nº	EVID	Fecha	Hora	Error_hora	RMS	Latitud	Longitud
828	13986	19/05/1994	03:00:48.61	0.78	0.29	28.037	-16.277
S_mayor	S_menor	Acimut	Profundidad	Error_prof	Nº_Datos	Nº_Esta	GAP
10.2	10.2	167.7	50	7	9	3	221.0
Dist_mín	Dist_máx	Epicentro	Zona_sísmica	m_b	$m_b(Lg)$	m_L	$M_b mod$
0.3	0.6	E El Médano TF	Zona atlántica Tenerife-Gran Canaria			1.7	
M_b	M	$I_{máx_calc}$	$I_{máx_obs}$	Dur_perc	Dist_perc	N_obs_I	Referencias
1.7	1.7						IGN
Nº	EVID	Fecha	Hora	Error_hora	RMS	Latitud	Longitud
829	14007	26/05/1994	02:15:25.66	0.51	0.29	27.943	-16.202
S_mayor	S_menor	Acimut	Profundidad	Error_prof	Nº_Datos	Nº_Esta	GAP
2.4	2.4	41.5	11f		12	4	237.6
Dist_mín	Dist_máx	Epicentro	Zona_sísmica	m_b	$m_b(Lg)$	m_L	$M_b mod$
0.4	0.5	O La Aldea de San Nicolás de Tolentino. GC	Zona atlántica Tenerife-Gran Canaria			2.3	
M_b	M	$I_{máx_calc}$	$I_{máx_obs}$	Dur_perc	Dist_perc	N_obs_I	Referencias
2.3	2.3						IGN
Nº	EVID	Fecha	Hora	Error_hora	RMS	Latitud	Longitud
830	14121	30/05/1994	14:36:28.58	0.51	0.23	27.550	-15.887
S_mayor	S_menor	Acimut	Profundidad	Error_prof	Nº_Datos	Nº_Esta	GAP
6.5	6.5	10.6	43	11	10	4	255.4
Dist_mín	Dist_máx	Epicentro	Zona_sísmica	m_b	$m_b(Lg)$	m_L	$M_b mod$
0.6	1.8	SO Maspalomas.GC	Zona atlántica Tenerife-Gran Canaria			2.2	
M_b	M	$I_{máx_calc}$	$I_{máx_obs}$	Dur_perc	Dist_perc	N_obs_I	Referencias
2.2	2.2						IGN
Nº	EVID	Fecha	Hora	Error_hora	RMS	Latitud	Longitud
831	14122	30/05/1994	15:12:41.09	0.73	0.62	28.706	-14.536
S_mayor	S_menor	Acimut	Profundidad	Error_prof	Nº_Datos	Nº_Esta	GAP
4.1	4.1	27.9	5f		15	5	224.1
Dist_mín	Dist_máx	Epicentro	Zona_sísmica	m_b	$m_b(Lg)$	m_L	$M_b mod$
0.5	3.2	O El Cotillo. FV	Zona atlántica Gran Canaria-Fuerteventura			3.4	
M_b	M	$I_{máx_calc}$	$I_{máx_obs}$	Dur_perc	Dist_perc	N_obs_I	Referencias
3.4	3.4						IGN

N°	EVID	Fecha	Hora	Error_hora	RMS	Latitud	Longitud
832	14250	27/06/1994	01:57:05.73	0.46	0.35	28.947	-16.238
S_mayor	S_menor	Acimut	Profundidad	Error_prof	N°_Datos	N°_Esta	GAP
1.7	1.7	37.2	13	6	19	7	205.1
Dist_mín	Dist_máx	Epicentro	Zona_sísmica	m_b	$m_b(Lg)$	m_L	$M_b mod$
0.5	2.0	N Isla de Tenerife	Océano Atlántico			2.3	
M_b	M	I_máx_calc	I_máx_obs	Dur_perc	Dist_perc	N_obs_I	Referencias
2.3	2.3						IGN
N°	EVID	Fecha	Hora	Error_hora	RMS	Latitud	Longitud
833	14272	03/07/1994	19:05:28.13	0.52	0.43	28.290	-15.128
S_mayor	S_menor	Acimut	Profundidad	Error_prof	N°_Datos	N°_Esta	GAP
9.6	9.6	174.6	3	3	10	4	170.3
Dist_mín	Dist_máx	Epicentro	Zona_sísmica	m_b	$m_b(Lg)$	m_L	$M_b mod$
0.5	1.3	NE Las Palmas de Gran Canaria	Zona atlántica				
			Gran Canaria-Fuerteventura			2.6	
M_b	M	I_máx_calc	I_máx_obs	Dur_perc	Dist_perc	N_obs_I	Referencias
2.6	2.6						IGN
N°	EVID	Fecha	Hora	Error_hora	RMS	Latitud	Longitud
834	14313	22/07/1994	12:59:52.41	0.27	0.15	27.883	-16.229
S_mayor	S_menor	Acimut	Profundidad	Error_prof	N°_Datos	N°_Esta	GAP
3.1	3.1	8.8	21	12	12	4	250.0
Dist_mín	Dist_máx	Epicentro	Zona_sísmica	m_b	$m_b(Lg)$	m_L	$M_b mod$
0.5	0.6	O Mogán. GC	Zona atlántica				
			Tenerife-Gran Canaria			2.5	
M_b	M	I_máx_calc	I_máx_obs	Dur_perc	Dist_perc	N_obs_I	Referencias
2.5	2.5						IGN
N°	EVID	Fecha	Hora	Error_hora	RMS	Latitud	Longitud
835	14315	23/07/1994	17:27:37.82	0.27	0.17	27.891	-16.165
S_mayor	S_menor	Acimut	Profundidad	Error_prof	N°_Datos	N°_Esta	GAP
4.0	4.0	9.5	20	16	15	5	236.7
Dist_mín	Dist_máx	Epicentro	Zona_sísmica	m_b	$m_b(Lg)$	m_L	$M_b mod$
0.5	1.9	O Mogán. GC	Zona atlántica				
			Tenerife-Gran Canaria			2.6	
M_b	M	I_máx_calc	I_máx_obs	Dur_perc	Dist_perc	N_obs_I	Referencias
2.6	2.6						IGN
N°	EVID	Fecha	Hora	Error_hora	RMS	Latitud	Longitud
836	14318	24/07/1994	00:56:47.37	0.28	0.10	28.028	-16.322
S_mayor	S_menor	Acimut	Profundidad	Error_prof	N°_Datos	N°_Esta	GAP
9.7	9.7	6.1	33	5	9	3	226.4
Dist_mín	Dist_máx	Epicentro	Zona_sísmica	m_b	$m_b(Lg)$	m_L	$M_b mod$
0.3	0.6	E El Médano. TF	Zona atlántica				
			Tenerife-Gran Canaria			1.9	
M_b	M	I_máx_calc	I_máx_obs	Dur_perc	Dist_perc	N_obs_I	Referencias
1.9	1.9						IGN
N°	EVID	Fecha	Hora	Error_hora	RMS	Latitud	Longitud
837	14420	19/08/1994	19:42:55.08	0.43	0.46	28.143	-16.170
S_mayor	S_menor	Acimut	Profundidad	Error_prof	N°_Datos	N°_Esta	GAP
2.9	2.9	29.6	5f		10	4	188.8
Dist_mín	Dist_máx	Epicentro	Zona_sísmica	m_b	$m_b(Lg)$	m_L	$M_b mod$
0.3	1.9	E Porís de Abona. TF	Zona atlántica				
			Tenerife-Gran Canaria			2.3	
M_b	M	I_máx_calc	I_máx_obs	Dur_perc	Dist_perc	N_obs_I	Referencias
2.3	2.3						IGN
N°	EVID	Fecha	Hora	Error_hora	RMS	Latitud	Longitud
838	14530	09/09/1994	22:55:53.35	0.87	0.88	28.151	-16.236
S_mayor	S_menor	Acimut	Profundidad	Error_prof	N°_Datos	N°_Esta	GAP
5.9	5.9	30.3	0f		12	4	189.1
Dist_mín	Dist_máx	Epicentro	Zona_sísmica	m_b	$m_b(Lg)$	m_L	$M_b mod$
0.3	1.9	E Porís de Abona. TF	Zona atlántica				
			Tenerife-Gran Canaria			2.1	
M_b	M	I_máx_calc	I_máx_obs	Dur_perc	Dist_perc	N_obs_I	Referencias
2.1	2.1						IGN

Nº	EVID	Fecha	Hora	Error_hora	RMS	Latitud	Longitud
839	14548	17/09/1994	12:03:13.32	0.48	0.43	28.265	-16.326
S_mayor	S_menor	Acimut	Profundidad	Error_prof	Nº_Datos	Nº_Esta	GAP
9.0	9.0	25.6	5f		5	3	156.9
Dist_mín	Dist_máx	Epicentro	Zona_sísmica	m_b	$m_b(Lg)$	m_L	$M_b mod$
0.2	0.6	E La Caleta. TF	Zona atlántica Tenerife-Gran Canaria			2.0	
M_b	M	I_máx_calc	I_máx_obs	Dur_perc	Dist_perc	N_obs_I	Referencias
2.0	2.0						IGN
Nº	EVID	Fecha	Hora	Error_hora	RMS	Latitud	Longitud
840	14599	11/10/1994	05:39:32.27	0.44	0.39	28.137	-16.240
S_mayor	S_menor	Acimut	Profundidad	Error_prof	Nº_Datos	Nº_Esta	GAP
3.4	3.4	24.6	19f		9	4	193.0
Dist_mín	Dist_máx	Epicentro	Zona_sísmica	m_b	$m_b(Lg)$	m_L	$M_b mod$
0.3	1.9	E Abades. TF	Zona atlántica Tenerife-Gran Canaria			1.9	
M_b	M	I_máx_calc	I_máx_obs	Dur_perc	Dist_perc	N_obs_I	Referencias
1.9	1.9						IGN
Nº	EVID	Fecha	Hora	Error_hora	RMS	Latitud	Longitud
841	14612	15/10/1994	17:33:25.08	0.56	0.21	28.071	-16.222
S_mayor	S_menor	Acimut	Profundidad	Error_prof	Nº_Datos	Nº_Esta	GAP
2.4	2.4	24.4	2	3	9	3	209.7
Dist_mín	Dist_máx	Epicentro	Zona_sísmica	m_b	$m_b(Lg)$	m_L	$M_b mod$
0.4	0.5	E San Miguel de Tajao.TF	Zona atlántica Tenerife-Gran Canaria			2.3	
M_b	M	I_máx_calc	I_máx_obs	Dur_perc	Dist_perc	N_obs_I	Referencias
2.3	2.3						IGN
Nº	EVID	Fecha	Hora	Error_hora	RMS	Latitud	Longitud
842	14679	14/11/1994	22:19:28.73	0.69	0.62	28.278	-16.276
S_mayor	S_menor	Acimut	Profundidad	Error_prof	Nº_Datos	Nº_Esta	GAP
11.3	11.3	24.4	5f		5	3	153.6
Dist_mín	Dist_máx	Epicentro	Zona_sísmica	m_b	$m_b(Lg)$	m_L	$M_b mod$
0.2	0.6	E La Caleta. TF	Zona atlántica Tenerife-Gran Canaria			1.9	
M_b	M	I_máx_calc	I_máx_obs	Dur_perc	Dist_perc	N_obs_I	Referencias
1.9	1.9						IGN
Nº	EVID	Fecha	Hora	Error_hora	RMS	Latitud	Longitud
843	14901	06/02/1995	21:57:06.58	0.42	0.25	28.069	-16.183
S_mayor	S_menor	Acimut	Profundidad	Error_prof	Nº_Datos	Nº_Esta	GAP
3.1	3.1	44.5	23f		7	3	208.3
Dist_mín	Dist_máx	Epicentro	Zona_sísmica	m_b	$m_b(Lg)$	m_L	$M_b mod$
0.4	0.5	E San Miguel de Tajao.TF	Zona atlántica Tenerife-Gran Canaria			2.4	
M_b	M	I_máx_calc	I_máx_obs	Dur_perc	Dist_perc	N_obs_I	Referencias
2.4	2.4						IGN
Nº	EVID	Fecha	Hora	Error_hora	RMS	Latitud	Longitud
844	14971	13/03/1995	06:42:20.43	1.35	0.98	28.074	-16.143
S_mayor	S_menor	Acimut	Profundidad	Error_prof	Nº_Datos	Nº_Esta	GAP
7.8	7.8	25.3	5f		9	3	205.9
Dist_mín	Dist_máx	Epicentro	Zona_sísmica	m_b	$m_b(Lg)$	m_L	$M_b mod$
0.4	0.5	E San Miguel de Tajao.TF	Zona atlántica Tenerife-Gran Canaria			2.0	
M_b	M	I_máx_calc	I_máx_obs	Dur_perc	Dist_perc	N_obs_I	Referencias
2.0	2.0						IGN

N°	EVID	Fecha	Hora	Error_hora	RMS	Latitud	Longitud
845	15053	13/04/1995	18:30:33.88	0.60	0.61	28.081	-16.162
S_mayor	S_menor	Acimut	Profundidad	Error_prof	N°_Datos	N°_Esta	GAP
5.3	5.3	54	5f		10	6	172.8
Dist_mín	Dist_máx	Epicentro	Zona_sísmica	m_b	$m_b(Lg)$	m_L	$M_b mod$
0.3	1.9	E San Miguel de Tajao.TF	Zona atlántica Tenerife-Gran Canaria			3.5	
M_b	M	I_máx_calc	I_máx_obs	Dur_perc	Dist_perc	N_obs_I	Referencias
3.5	3.5						IGN
N°	EVID	Fecha	Hora	Error_hora	RMS	Latitud	Longitud
846	15078	26/04/1995	16:24:12.95	0.42	0.27	28.019	-16.217
S_mayor	S_menor	Acimut	Profundidad	Error_prof	N°_Datos	N°_Esta	GAP
2.5	2.5	27.1	18f		10	4	221.9
Dist_mín	Dist_máx	Epicentro	Zona_sísmica	m_b	$m_b(Lg)$	m_L	$M_b mod$
0.4	0.5	E El Médano TF	Zona atlántica Tenerife-Gran Canaria			2.5	
M_b	M	I_máx_calc	I_máx_obs	Dur_perc	Dist_perc	N_obs_I	Referencias
2.5	2.5						IGN
N°	EVID	Fecha	Hora	Error_hora	RMS	Latitud	Longitud
847	15109	10/05/1995	20:38:46.91	0.54	0.27	28.246	-16.185
S_mayor	S_menor	Acimut	Profundidad	Error_prof	N°_Datos	N°_Esta	GAP
5.5	5.5	168.6	24	8	12	4	161.8
Dist_mín	Dist_máx	Epicentro	Zona_sísmica	m_b	$m_b(Lg)$	m_L	$M_b mod$
0.2	0.5	E Punta Prieta. TF	Zona atlántica Tenerife-Gran Canaria			1.9	
M_b	M	I_máx_calc	I_máx_obs	Dur_perc	Dist_perc	N_obs_I	Referencias
1.9	1.9						IGN
N°	EVID	Fecha	Hora	Error_hora	RMS	Latitud	Longitud
848	15127	21/05/1995	20:54:49.48	1.10	0.88	28.127	-16.202
S_mayor	S_menor	Acimut	Profundidad	Error_prof	N°_Datos	N°_Esta	GAP
6.9	6.9	62.4	0f		10	4	194.2
Dist_mín	Dist_máx	Epicentro	Zona_sísmica	m_b	$m_b(Lg)$	m_L	$M_b mod$
0.3	0.5	E Abades. TF	Zona atlántica Tenerife-Gran Canaria			2.3	
M_b	M	I_máx_calc	I_máx_obs	Dur_perc	Dist_perc	N_obs_I	Referencias
2.3	2.3						IGN
N°	EVID	Fecha	Hora	Error_hora	RMS	Latitud	Longitud
849	15176	07/06/1995	22:09:25.45	0.43	0.29	28.064	-16.230
S_mayor	S_menor	Acimut	Profundidad	Error_prof	N°_Datos	N°_Esta	GAP
2.2	2.2	35.7	5f		10	4	211.6
Dist_mín	Dist_máx	Epicentro	Zona_sísmica	m_b	$m_b(Lg)$	m_L	$M_b mod$
0.3	0.5	E San Miguel de Tajao.TF	Zona atlántica Tenerife-Gran Canaria			1.7	
M_b	M	I_máx_calc	I_máx_obs	Dur_perc	Dist_perc	N_obs_I	Referencias
1.7	1.7						IGN
N°	EVID	Fecha	Hora	Error_hora	RMS	Latitud	Longitud
850	15179	09/06/1995	09:29:28.50	0.70	0.46	28.103	-16.323
S_mayor	S_menor	Acimut	Profundidad	Error_prof	N°_Datos	N°_Esta	GAP
4.6	4.6	37.6	17f		9	4	207.2
Dist_mín	Dist_máx	Epicentro	Zona_sísmica	m_b	$m_b(Lg)$	m_L	$M_b mod$
0.2	2.0	E San Miguel de Tajao.TF	Zona atlántica Tenerife-Gran Canaria			2.4	
M_b	M	I_máx_calc	I_máx_obs	Dur_perc	Dist_perc	N_obs_I	Referencias
2.4	2.4						IGN

Nº	EVID	Fecha	Hora	Error_hora	RMS	Latitud	Longitud
851	15260	27/07/1995	10:35:49.75	0.69	0.39	27.914	-16.277
S_mayor	S_menor	Acimut	Profundidad	Error_prof	Nº_Datos	Nº_Esta	GAP
3.6	3.6	33.8	17f		10	4	246.7
Dist_mín	Dist_máx	Epicentro	Zona_sísmica	m_b	$m_b(Lg)$	m_L	$M_b mod$
0.4	0.6	O Tasarte. GC	Zona atlántica Tenerife-Gran Canaria			2.0	
M_b	M	I_máx_calc	I_máx_obs	Dur_perc	Dist_perc	N_obs_I	Referencias
2.0	2.0						IGN
Nº	EVID	Fecha	Hora	Error_hora	RMS	Latitud	Longitud
852	15265	28/07/1995	23:19:19.11	0.50	0.54	28.197	-16.204
S_mayor	S_menor	Acimut	Profundidad	Error_prof	Nº_Datos	Nº_Esta	GAP
3.8	3.8	18.6	5f		10	4	175.4
Dist_mín	Dist_máx	Epicentro	Zona_sísmica	m_b	$m_b(Lg)$	m_L	$M_b mod$
0.2	0.5	E Las Eras. TF	Zona atlántica Tenerife-Gran Canaria			2.9	
M_b	M	I_máx_calc	I_máx_obs	Dur_perc	Dist_perc	N_obs_I	Referencias
2.9	2.9						IGN
Nº	EVID	Fecha	Hora	Error_hora	RMS	Latitud	Longitud
853	15269	30/07/1995	10:18:53.09	0.55	0.47	28.625	-16.810
S_mayor	S_menor	Acimut	Profundidad	Error_prof	Nº_Datos	Nº_Esta	GAP
3.5	3.5	52.3	0f		13	5	237.7
Dist_mín	Dist_máx	Epicentro	Zona_sísmica	m_b	$m_b(Lg)$	m_L	$M_b mod$
0.4	1.4	N Buenavista del Norte. TF	Océano Atlántico			2.6	
M_b	M	I_máx_calc	I_máx_obs	Dur_perc	Dist_perc	N_obs_I	Referencias
2.6	2.6						IGN
Nº	EVID	Fecha	Hora	Error_hora	RMS	Latitud	Longitud
854	15293	09/08/1995	04:06:24.49	0.20	0.13	28.047	-16.195
S_mayor	S_menor	Acimut	Profundidad	Error_prof	Nº_Datos	Nº_Esta	GAP
1.2	1.2	29	14f		10	4	214.3
Dist_mín	Dist_máx	Epicentro	Zona_sísmica	m_b	$m_b(Lg)$	m_L	$M_b mod$
0.3	0.5	E El Médano TF	Zona atlántica Tenerife-Gran Canaria			1.8	
M_b	M	I_máx_calc	I_máx_obs	Dur_perc	Dist_perc	N_obs_I	Referencias
1.8	1.8						IGN
Nº	EVID	Fecha	Hora	Error_hora	RMS	Latitud	Longitud
855	15314	24/08/1995	05:06:35.66	0.30	0.42	28.321	-16.145
S_mayor	S_menor	Acimut	Profundidad	Error_prof	Nº_Datos	Nº_Esta	GAP
2.8	2.8	163.8	5f		12	4	147.3
Dist_mín	Dist_máx	Epicentro	Zona_sísmica	m_b	$m_b(Lg)$	m_L	$M_b mod$
0.2	0.5	E Candelaria.TF	Zona atlántica Tenerife-Gran Canaria			2.5	
M_b	M	I_máx_calc	I_máx_obs	Dur_perc	Dist_perc	N_obs_I	Referencias
2.5	2.5						IGN
Nº	EVID	Fecha	Hora	Error_hora	RMS	Latitud	Longitud
856	15384	21/09/1995	03:25:41.13	0.45	0.31	28.011	-16.194
S_mayor	S_menor	Acimut	Profundidad	Error_prof	Nº_Datos	Nº_Esta	GAP
2.5	2.5	34.6	5f		10	4	222.7
Dist_mín	Dist_máx	Epicentro	Zona_sísmica	m_b	$m_b(Lg)$	m_L	$M_b mod$
0.4	1.9	O La Aldea de San Nicolás de Tolentino. GC	Zona atlántica Tenerife-Gran Canaria			2.6	
M_b	M	I_máx_calc	I_máx_obs	Dur_perc	Dist_perc	N_obs_I	Referencias
2.6	2.6						IGN

N°	EVID	Fecha	Hora	Error_hora	RMS	Latitud	Longitud
857	15389	23/09/1995	18:01:20.59	0.30	0.20	28.028	-16.234
S_mayor	S_menor	Acimut	Profundidad	Error_prof	N°_Datos	N°_Esta	GAP
1.8	1.8	29.5	17f		9	3	220.6
Dist_mín	Dist_máx	Epicentro	Zona_sísmica	m_b	$m_b(Lg)$	m_L	$M_b mod$
0.4	0.5	E El Médano TF	Zona atlántica Tenerife-Gran Canaria			2.3	
M_b	M	I_máx_calc	I_máx_obs	Dur_perc	Dist_perc	N_obs_I	Referencias
2.3	2.3						IGN
N°	EVID	Fecha	Hora	Error_hora	RMS	Latitud	Longitud
858	15632	30/11/1995	01:39:56.48	0.44	0.28	28.028	-16.244
S_mayor	S_menor	Acimut	Profundidad	Error_prof	N°_Datos	N°_Esta	GAP
2.5	2.5	22.3	11		9	3	221.0
Dist_mín	Dist_máx	Epicentro	Zona_sísmica	m_b	$m_b(Lg)$	m_L	$M_b mod$
0.4	0.5	E El Médano TF	Zona atlántica Tenerife-Gran Canaria			2.1	
M_b	M	I_máx_calc	I_máx_obs	Dur_perc	Dist_perc	N_obs_I	Referencias
2.1	2.1						IGN
N°	EVID	Fecha	Hora	Error_hora	RMS	Latitud	Longitud
859	15723	15/12/1995	16:00:18.33	0.39	0.23	28.862	-16.680
S_mayor	S_menor	Acimut	Profundidad	Error_prof	N°_Datos	N°_Esta	GAP
4.4	4.4	16.9	5	3	14	6	235.2
Dist_mín	Dist_máx	Epicentro	Zona_sísmica	m_b	$m_b(Lg)$	m_L	$M_b mod$
0.5	2.3	N Isla de Tenerife	Océano Atlántico			2.9	
M_b	M	I_máx_calc	I_máx_obs	Dur_perc	Dist_perc	N_obs_I	Referencias
2.9	2.9						IGN
N°	EVID	Fecha	Hora	Error_hora	RMS	Latitud	Longitud
860	15806	31/12/1995	23:59:48.24	0.64	0.24	28.063	-16.221
S_mayor	S_menor	Acimut	Profundidad	Error_prof	N°_Datos	N°_Esta	GAP
2.7	2.7	56.8	10	12	9	3	211.4
Dist_mín	Dist_máx	Epicentro	Zona_sísmica	m_b	$m_b(Lg)$	m_L	$M_b mod$
0.4	0.5	E San Miguel de Tajao.TF	Zona atlántica Tenerife-Gran Canaria			2.1	
M_b	M	I_máx_calc	I_máx_obs	Dur_perc	Dist_perc	N_obs_I	Referencias
2.1	2.1						IGN
N°	EVID	Fecha	Hora	Error_hora	RMS	Latitud	Longitud
861	15873	19/01/1996	06:15:57.78	1.15	0.84	29.278	-16.539
S_mayor	S_menor	Acimut	Profundidad	Error_prof	N°_Datos	N°_Esta	GAP
6.5	6.5	145.6	5f		14	6	251.9
Dist_mín	Dist_máx	Epicentro	Zona_sísmica	m_b	$m_b(Lg)$	m_L	$M_b mod$
0.8	2.3	N Isla de Tenerife	Océano Atlántico		3.3	2.7	
M_b	M	I_máx_calc	I_máx_obs	Dur_perc	Dist_perc	N_obs_I	Referencias
	2.7						IGN
N°	EVID	Fecha	Hora	Error_hora	RMS	Latitud	Longitud
862	16228	11/05/1996	05:43:04.55	0.37	0.32	28.192	-16.066
S_mayor	S_menor	Acimut	Profundidad	Error_prof	N°_Datos	N°_Esta	GAP
4.1	4.1	10.3	14	13	7	5	154.3
Dist_mín	Dist_máx	Epicentro	Zona_sísmica	m_b	$m_b(Lg)$	m_L	$M_b mod$
0.3	1.8	E Las Eras.TF	Zona atlántica Tenerife-Gran Canaria		2.8	2.1	
M_b	M	I_máx_calc	I_máx_obs	Dur_perc	Dist_perc	N_obs_I	Referencias
	2.1						IGN
N°	EVID	Fecha	Hora	Error_hora	RMS	Latitud	Longitud
863	16232	11/05/1996	22:40:22.49	0.36	0.33	28.104	-16.172
S_mayor	S_menor	Acimut	Profundidad	Error_prof	N°_Datos	N°_Esta	GAP
2.3	2.3	26.9	14f		12	4	199.2
Dist_mín	Dist_máx	Epicentro	Zona_sísmica	m_b	$m_b(Lg)$	m_L	$M_b mod$
0.3	0.5	E San Miguel de Tajao.TF	Zona atlántica Tenerife-Gran Canaria		2.6	1.9	
M_b	M	I_máx_calc	I_máx_obs	Dur_perc	Dist_perc	N_obs_I	Referencias
	1.9						IGN

Nº	EVID	Fecha	Hora	Error_hora	RMS	Latitud	Longitud
864	16283	05/06/1996	10:09:11.15	0.30	0.23	28.063	-16.382
S_mayor	S_menor	Acimut	Profundidad	Error_prof	Nº_Datos	Nº_Esta	GAP
1.7	1.7	41.2	12f		12	4	224.0
Dist_mín	Dist_máx	Epicentro	Zona_sísmica	m_b	$m_b(Lg)$	m_L	$M_b mod$
0.3	0.7	E Arenas del mar.TF	Zona atlántica Tenerife-Gran Canaria		2.6	1.9	
M_b	M	I_máx_calc	I_máx_obs	Dur_perc	Dist_perc	N_obs_I	Referencias
	1.9						IGN
Nº	EVID	Fecha	Hora	Error_hora	RMS	Latitud	Longitud
865	16479	28/07/1996	22:55:49.61	0.16	0.16	28.410	-16.183
S_mayor	S_menor	Acimut	Profundidad	Error_prof	Nº_Datos	Nº_Esta	GAP
2.5	2.5	136.9	8f		9	3	161.8
Dist_mín	Dist_máx	Epicentro	Zona_sísmica	m_b	$m_b(Lg)$	m_L	$M_b mod$
0.1	0.6	E Añaza.Tf	Zona atlántica Tenerife-Gran Canaria		2.0	1.1	
M_b	M	I_máx_calc	I_máx_obs	Dur_perc	Dist_perc	N_obs_I	Referencias
	1.2						IGN
Nº	EVID	Fecha	Hora	Error_hora	RMS	Latitud	Longitud
866	16480	28/07/1996	23:13:56.80	0.23	0.25	28.316	-16.182
S_mayor	S_menor	Acimut	Profundidad	Error_prof	Nº_Datos	Nº_Esta	GAP
1.7	1.7	36.6	5f		9	3	144.0
Dist_mín	Dist_máx	Epicentro	Zona_sísmica	m_b	$m_b(Lg)$	m_L	$M_b mod$
0.2	0.5	E Candelaria.TF	Zona atlántica Tenerife-Gran Canaria		2.1	1.3	
M_b	M	I_máx_calc	I_máx_obs	Dur_perc	Dist_perc	N_obs_I	Referencias
	1.3						IGN
Nº	EVID	Fecha	Hora	Error_hora	RMS	Latitud	Longitud
867	16502	05/08/1996	00:25:11.32	0.34	0.32	28.202	-16.255
S_mayor	S_menor	Acimut	Profundidad	Error_prof	Nº_Datos	Nº_Esta	GAP
2.6	2.6	13.4	5f		9	3	175.3
Dist_mín	Dist_máx	Epicentro	Zona_sísmica	m_b	$m_b(Lg)$	m_L	$M_b mod$
0.3	0.6	E Los Roques.TF	Zona atlántica Tenerife-Gran Canaria		2.3	1.5	
M_b	M	I_máx_calc	I_máx_obs	Dur_perc	Dist_perc	N_obs_I	Referencias
	1.5						IGN
Nº	EVID	Fecha	Hora	Error_hora	RMS	Latitud	Longitud
868	16540	16/08/1996	05:25:04.88	0.29	0.27	28.154	-16.252
S_mayor	S_menor	Acimut	Profundidad	Error_prof	Nº_Datos	Nº_Esta	GAP
2.3	2.3	23.6	23f		12	4	188.7
Dist_mín	Dist_máx	Epicentro	Zona_sísmica	m_b	$m_b(Lg)$	m_L	$M_b mod$
0.2	0.5	E Porís de Abona.TF	Zona atlántica Tenerife-Gran Canaria		2.2	1.4	
M_b	M	I_máx_calc	I_máx_obs	Dur_perc	Dist_perc	N_obs_I	Referencias
	1.4						IGN
Nº	EVID	Fecha	Hora	Error_hora	RMS	Latitud	Longitud
869	16547	17/08/1996	05:19:22.86	0.18	0.13	28.047	-16.327
S_mayor	S_menor	Acimut	Profundidad	Error_prof	Nº_Datos	Nº_Esta	GAP
1.0	1.0	38.7	11f		12	4	222.3
Dist_mín	Dist_máx	Epicentro	Zona_sísmica	m_b	$m_b(Lg)$	m_L	$M_b mod$
0.3	0.6	E Arenas del mar.TF	Zona atlántica Tenerife-Gran Canaria		2.3	1.5	
M_b	M	I_máx_calc	I_máx_obs	Dur_perc	Dist_perc	N_obs_I	Referencias
	1.5						IGN

N°	EVID	Fecha	Hora	Error_hora	RMS	Latitud	Longitud
870	16645	14/09/1996	04:21:23.83	0.33	0.28	28.188	-16.097
S_mayor	S_menor	Acimut	Profundidad	Error_prof	N°_Datos	N°_Esta	GAP
2.5	2.5	33.9	5f		10	4	194.3
Dist_mín	Dist_máx	Epicentro	Zona_sísmica	m_b	$m_b(Lg)$	m_L	$M_b mod$
0.3	1.8	O Puerto de Sardina.GC	Zona atlántica Tenerife-Gran Canaria		2.6	1.9	
M_b	M	I_máx_calc	I_máx_obs	Dur_perc	Dist_perc	N_obs_I	Referencias
	1.9						IGN
N°	EVID	Fecha	Hora	Error_hora	RMS	Latitud	Longitud
871	16667	20/09/1996	03:08:56.20	0.26	0.23	28.091	-16.145
S_mayor	S_menor	Acimut	Profundidad	Error_prof	N°_Datos	N°_Esta	GAP
1.8	1.8	19.4	0f		12	4	201.7
Dist_mín	Dist_máx	Epicentro	Zona_sísmica	m_b	$m_b(Lg)$	m_L	$M_b mod$
0.3	0.5	O Agaete.GC	Zona atlántica Tenerife-Gran Canaria		2.5	1.8	
M_b	M	I_máx_calc	I_máx_obs	Dur_perc	Dist_perc	N_obs_I	Referencias
	1.8						IGN
N°	EVID	Fecha	Hora	Error_hora	RMS	Latitud	Longitud
872	16681	27/09/1996	22:14:04.47	0.36	0.42	28.192	-16.221
S_mayor	S_menor	Acimut	Profundidad	Error_prof	N°_Datos	N°_Esta	GAP
3.6	3.6	25.1	21f		12	4	177.3
Dist_mín	Dist_máx	Epicentro	Zona_sísmica	m_b	$m_b(Lg)$	m_L	$M_b mod$
0.2	0.5	E Las Eras.TF	Zona atlántica Tenerife-Gran Canaria		2.4	1.6	
M_b	M	I_máx_calc	I_máx_obs	Dur_perc	Dist_perc	N_obs_I	Referencias
	1.6						IGN
N°	EVID	Fecha	Hora	Error_hora	RMS	Latitud	Longitud
873	16772	29/10/1996	23:49:58.27	0.47	0.38	28.061	-16.200
S_mayor	S_menor	Acimut	Profundidad	Error_prof	N°_Datos	N°_Esta	GAP
2.8	2.8	29.3	16f		12	4	211.0
Dist_mín	Dist_máx	Epicentro	Zona_sísmica	m_b	$m_b(Lg)$	m_L	$M_b mod$
0.3	0.5	E San Miguel de Tajao.TF	Zona atlántica Tenerife-Gran Canaria		2.3	1.5	
M_b	M	I_máx_calc	I_máx_obs	Dur_perc	Dist_perc	N_obs_I	Referencias
	1.5						IGN
N°	EVID	Fecha	Hora	Error_hora	RMS	Latitud	Longitud
874	16822	17/11/1996	07:09:10.51	0.66	0.37	28.207	-16.240
S_mayor	S_menor	Acimut	Profundidad	Error_prof	N°_Datos	N°_Esta	GAP
7.0	7.0	167.8	25	9	12	4	173.7
Dist_mín	Dist_máx	Epicentro	Zona_sísmica	m_b	$m_b(Lg)$	m_L	$M_b mod$
0.2	0.5	E Los Roques.TF	Zona atlántica Tenerife-Gran Canaria		2.1	1.3	
M_b	M	I_máx_calc	I_máx_obs	Dur_perc	Dist_perc	N_obs_I	Referencias
	1.3						IGN
N°	EVID	Fecha	Hora	Error_hora	RMS	Latitud	Longitud
875	16842	29/11/1996	14:29:24.60	0.57	0.53	28.215	-16.005
S_mayor	S_menor	Acimut	Profundidad	Error_prof	N°_Datos	N°_Esta	GAP
9.0	9.0	12.5	0f		8	6	179.2
Dist_mín	Dist_máx	Epicentro	Zona_sísmica	m_b	$m_b(Lg)$	m_L	$M_b mod$
0.3	1.8	NO Puerto de Sardina. GC	Zona atlántica Tenerife-Gran Canaria		3.2	2.6	
M_b	M	I_máx_calc	I_máx_obs	Dur_perc	Dist_perc	N_obs_I	Referencias
	2.6						IGN

N°	EVID	Fecha	Hora	Error_hora	RMS	Latitud	Longitud
876	16843	29/11/1996	14:48:54.97	0.38	0.35	28.185	-16.211
S_mayor	S_menor	Acimut	Profundidad	Error_prof	N°_Datos	N°_Esta	GAP
3.6	3.6	23.9	25f		6	3	178.9
Dist_mín	Dist_máx	Epicentro	Zona_sísmica	m_b	$m_b(Lg)$	m_L	$M_b mod$
0.3	0.5	E Las Eras.TF	Zona atlántica Tenerife-Gran Canaria		2.3	1.5	
M_b	M	I_máx_calc	I_máx_obs	Dur_perc	Dist_perc	N_obs_I	Referencias
	1.5						IGN
N°	EVID	Fecha	Hora	Error_hora	RMS	Latitud	Longitud
877	16979	23/01/1997	06:50:21.94	0.26	0.11	27.151	-17.252
S_mayor	S_menor	Acimut	Profundidad	Error_prof	N°_Datos	N°_Esta	GAP
2.0	2.0	39.9	10	6	7	5	247.3
Dist_mín	Dist_máx	Epicentro	Zona_sísmica	m_b	$m_b(Lg)$	m_L	$M_b mod$
0.9	3.1	S Isla de La Gomera	Océano Atlántico		2.9	2.2	
M_b	M	I_máx_calc	I_máx_obs	Dur_perc	Dist_perc	N_obs_I	Referencias
	2.2						IGN
N°	EVID	Fecha	Hora	Error_hora	RMS	Latitud	Longitud
878	17199	20/03/1997	11:21:50.44	0.27	0.16	28.342	-15.924
S_mayor	S_menor	Acimut	Profundidad	Error_prof	N°_Datos	N°_Esta	GAP
5.0	5.0	9.9	10	6	8	4	152.3
Dist_mín	Dist_máx	Epicentro	Zona_sísmica	m_b	$m_b(Lg)$	m_L	$M_b mod$
0.3	1.9	NO Puerto de Sardina. GC	Zona atlántica Tenerife-Gran Canaria		2.6	1.9	
M_b	M	I_máx_calc	I_máx_obs	Dur_perc	Dist_perc	N_obs_I	Referencias
	1.9						IGN
N°	EVID	Fecha	Hora	Error_hora	RMS	Latitud	Longitud
879	17301	15/04/1997	11:53:16.22	0.59	0.29	28.358	-15.950
S_mayor	S_menor	Acimut	Profundidad	Error_prof	N°_Datos	N°_Esta	GAP
9.3	9.3	10.1	1	3	8	4	153.7
Dist_mín	Dist_máx	Epicentro	Zona_sísmica	m_b	$m_b(Lg)$	m_L	$M_b mod$
0.3	1.9	SE Santa Cruz de Tenerife	Zona atlántica Tenerife-Gran Canaria		2.4	1.6	
M_b	M	I_máx_calc	I_máx_obs	Dur_perc	Dist_perc	N_obs_I	Referencias
	1.6						IGN
N°	EVID	Fecha	Hora	Error_hora	RMS	Latitud	Longitud
880	17802	04/08/1997	10:21:18.20	0.26	0.20	28.051	-16.170
S_mayor	S_menor	Acimut	Profundidad	Error_prof	N°_Datos	N°_Esta	GAP
1.7	1.7	26.1	15f		10	4	212.4
Dist_mín	Dist_máx	Epicentro	Zona_sísmica	m_b	$m_b(Lg)$	m_L	$M_b mod$
0.4	1.9	E San Miguel de Tajao.Tf	Zona atlántica Tenerife-Gran Canaria		2.4	1.6	
M_b	M	I_máx_calc	I_máx_obs	Dur_perc	Dist_perc	N_obs_I	Referencias
	1.6						IGN
N°	EVID	Fecha	Hora	Error_hora	RMS	Latitud	Longitud
881	17887	01/09/1997	06:48:26.24	5.79	0.14	29.218	-14.979
S_mayor	S_menor	Acimut	Profundidad	Error_prof	N°_Datos	N°_Esta	GAP
13.9	13.9	0	0f		4	3	258.0
Dist_mín	Dist_máx	Epicentro	Zona_sísmica	m_b	$m_b(Lg)$	m_L	$M_b mod$
1.0	3.0	O Isla de Lanzarote	Océano Atlántico		3.5	3.0	
M_b	M	I_máx_calc	I_máx_obs	Dur_perc	Dist_perc	N_obs_I	Referencias
	3.0						IGN, ISC

N°	EVID	Fecha	Hora	Error_hora	RMS	Latitud	Longitud
882	17896	03/09/1997	20:47:02.86	0.05	0.02	28.025	-16.239
S_mayor	S_menor	Acimut	Profundidad	Error_prof	N°_Datos	N°_Esta	GAP
0.5	0.5	166.7	30	1	7	3	221.5
Dist_mín	Dist_máx	Epicentro	Zona_sísmica	m_b	$m_b(Lg)$	m_L	$M_b mod$
0.4	0.5	E El Médano.TF	Zona atlántica Tenerife-Gran Canaria		2.1	1.3	
M_b	M	I_máx_calc	I_máx_obs	Dur_perc	Dist_perc	N_obs_I	Referencias
	1.3						IGN
N°	EVID	Fecha	Hora	Error_hora	RMS	Latitud	Longitud
883	17993	13/10/1997	00:31:43.50	0.14	0.10	28.096	-16.251
S_mayor	S_menor	Acimut	Profundidad	Error_prof	N°_Datos	N°_Esta	GAP
1.0	1.0	26.6	17f		9	3	204.6
Dist_mín	Dist_máx	Epicentro	Zona_sísmica	m_b	$m_b(Lg)$	m_L	$M_b mod$
0.3	0.5	E San Miguel de Tajao.TF	Zona atlántica Tenerife-Gran Canaria		2.0	1.1	
M_b	M	I_máx_calc	I_máx_obs	Dur_perc	Dist_perc	N_obs_I	Referencias
	1.2						IGN
N°	EVID	Fecha	Hora	Error_hora	RMS	Latitud	Longitud
884	74444	11/11/1997	05:10:08.02	1.30	0.59	28.085	-15.032
S_mayor	S_menor	Acimut	Profundidad	Error_prof	N°_Datos	N°_Esta	GAP
28.3	28.3	172.4	17	1	11	5	209.8
Dist_mín	Dist_máx	Epicentro	Zona_sísmica	m_b	$m_b(Lg)$	m_L	$M_b mod$
0.9	2.6	E Las Palmas de Gran Canaria	Zona atlántica Gran Canaria-Fuerteventura	3.2			
M_b	M	I_máx_calc	I_máx_obs	Dur_perc	Dist_perc	N_obs_I	Referencias
	3.8						IGN
N°	EVID	Fecha	Hora	Error_hora	RMS	Latitud	Longitud
885	75046	16/11/1997	09:59:50.46	0.88	0.47	27.844	-15.098
S_mayor	S_menor	Acimut	Profundidad	Error_prof	N°_Datos	N°_Esta	GAP
5.3	5.3	166.4	2	5	12	5	210.6
Dist_mín	Dist_máx	Epicentro	Zona_sísmica	m_b	$m_b(Lg)$	m_L	$M_b mod$
1.1	2.5	E Arinaga.GC	Zona atlántica Gran Canaria-Fuerteventura	3.2			
M_b	M	I_máx_calc	I_máx_obs	Dur_perc	Dist_perc	N_obs_I	Referencias
	3.8						IGN
N°	EVID	Fecha	Hora	Error_hora	RMS	Latitud	Longitud
886	80300	15/01/1998	08:44:31.56	0.95	0.63	27.447	-17.999
S_mayor	S_menor	Acimut	Profundidad	Error_prof	N°_Datos	N°_Esta	GAP
5.1	5.1	68.3	20f		15	5	293.3
Dist_mín	Dist_máx	Epicentro	Zona_sísmica	m_b	$m_b(Lg)$	m_L	$M_b mod$
0.3	4.3	S La Restinga. HE	Océano Atlántico	3.8			
M_b	M	I_máx_calc	I_máx_obs	Dur_perc	Dist_perc	N_obs_I	Referencias
	4.3		2			+	IGN, ISC
N°	EVID	Fecha	Hora	Error_hora	RMS	Latitud	Longitud
887	82782	13/02/1998	17:01:06.79	0.93	0.87	28.776	-15.404
S_mayor	S_menor	Acimut	Profundidad	Error_prof	N°_Datos	N°_Esta	GAP
10.7	10.7	173.9	5f		13	5	189.8
Dist_mín	Dist_máx	Epicentro	Zona_sísmica	m_b	$m_b(Lg)$	m_L	$M_b mod$
0.8	2.5	N Isla de Gran Canaria	Zona atlántica Tenerife-Gran Canaria	3.6			
M_b	M	I_máx_calc	I_máx_obs	Dur_perc	Dist_perc	N_obs_I	Referencias
	4.1						IGN
N°	EVID	Fecha	Hora	Error_hora	RMS	Latitud	Longitud
888	85864	02/03/1998	01:51:20.18	0.64	0.46	27.564	-14.907
S_mayor	S_menor	Acimut	Profundidad	Error_prof	N°_Datos	N°_Esta	GAP
3.3	3.3	139	14f		12	4	233.6
Dist_mín	Dist_máx	Epicentro	Zona_sísmica	m_b	$m_b(Lg)$	m_L	$M_b mod$
1.1	2.7	SO Isla de Fuerteventura	Zona atlántica Gran Canaria-Fuerteventura		3.3	2.7	
M_b	M	I_máx_calc	I_máx_obs	Dur_perc	Dist_perc	N_obs_I	Referencias
	2.7						IGN

N°	EVID	Fecha	Hora	Error_hora	RMS	Latitud	Longitud
889	232381	22/03/1998	04:27:31.03	1.28	0.67	27.552	-17.992
S_mayor	S_menor	Acimut	Profundidad	Error_prof	N°_Datos	N°_Esta	GAP
9.7	9.7	19.6	29f		12	4	294.0
Dist_mín	Dist_máx	Epicentro	Zona_sísmica	m_b	$m_b(Lg)$	m_L	$M_b mod$
0.2	4.3	S La Restinga. HE	Océano Atlántico		3.8	3.6	
M_b	M	I_máx_calc	I_máx_obs	Dur_perc	Dist_perc	N_obs_I	Referencias
	3.6				22	2	IGN
N°	EVID	Fecha	Hora	Error_hora	RMS	Latitud	Longitud
890	89683	04/04/1998	02:10:07.14	0.63	0.56	29.321	-15.968
S_mayor	S_menor	Acimut	Profundidad	Error_prof	N°_Datos	N°_Esta	GAP
3.5	3.5	136.7	5f		17	6	226.8
Dist_mín	Dist_máx	Epicentro	Zona_sísmica	m_b	$m_b(Lg)$	m_L	$M_b mod$
0.9	2.4	NE Isla de Tenerife	Océano Atlántico		3.5	3.0	
M_b	M	I_máx_calc	I_máx_obs	Dur_perc	Dist_perc	N_obs_I	Referencias
	3.0						IGN
N°	EVID	Fecha	Hora	Error_hora	RMS	Latitud	Longitud
891	95662	28/04/1998	23:44:02.92	1.14	0.80	28.122	-15.154
S_mayor	S_menor	Acimut	Profundidad	Error_prof	N°_Datos	N°_Esta	GAP
23.4	23.4	172.5	16	24	14	5	189.0
Dist_mín	Dist_máx	Epicentro	Zona_sísmica	m_b	$m_b(Lg)$	m_L	$M_b mod$
1.0	2.5	E Las Palmas de Gran Canaria	Zona atlántica				
			Gran Canaria-Fuerteventura		3.1	2.5	
M_b	M	I_máx_calc	I_máx_obs	Dur_perc	Dist_perc	N_obs_I	Referencias
	2.5						IGN
N°	EVID	Fecha	Hora	Error_hora	RMS	Latitud	Longitud
892	100073	01/06/1998	05:48:58.77	0.39	0.46	28.465	-14.387
S_mayor	S_menor	Acimut	Profundidad	Error_prof	N°_Datos	N°_Esta	GAP
5.2	5.2	159	0f		10	4	156.9
Dist_mín	Dist_máx	Epicentro	Zona_sísmica	m_b	$m_b(Lg)$	m_L	$M_b mod$
0.3	3.2	NO Ajuy.FV	Zona atlántica				
			Gran Canaria-Fuerteventura		3.4	2.8	
M_b	M	I_máx_calc	I_máx_obs	Dur_perc	Dist_perc	N_obs_I	Referencias
	2.8				37	6	IGN, ISC
N°	EVID	Fecha	Hora	Error_hora	RMS	Latitud	Longitud
893	216262	01/06/1998	06:25:52.42	3.45	1.38	28.414	-14.500
S_mayor	S_menor	Acimut	Profundidad	Error_prof	N°_Datos	N°_Esta	GAP
18.5	18.5	64.9	0f		6	2	322.5
Dist_mín	Dist_máx	Epicentro	Zona_sísmica	m_b	$m_b(Lg)$	m_L	$M_b mod$
0.4	1.1	O Ajuy.FV	Zona atlántica				
			Gran Canaria-Fuerteventura		2.8	2.1	
M_b	M	I_máx_calc	I_máx_obs	Dur_perc	Dist_perc	N_obs_I	Referencias
	2.1	3.1	2.5		57	5	IGN, ISC
N°	EVID	Fecha	Hora	Error_hora	RMS	Latitud	Longitud
894	101069	06/06/1998	21:50:38.07	1.06	0.98	28.494	-14.396
S_mayor	S_menor	Acimut	Profundidad	Error_prof	N°_Datos	N°_Esta	GAP
23.5	23.5	7.7	5f		8	4	151.2
Dist_mín	Dist_máx	Epicentro	Zona_sísmica	m_b	$m_b(Lg)$	m_L	$M_b mod$
0.3	3.2	NO Ajuy.FV	Zona atlántica				
			Gran Canaria-Fuerteventura	4.6			
M_b	M	I_máx_calc	I_máx_obs	Dur_perc	Dist_perc	N_obs_I	Referencias
	4.9	5.5	4		80	17	IGN, ISC
N°	EVID	Fecha	Hora	Error_hora	RMS	Latitud	Longitud
895	101045	06/06/1998	21:58:56.89	0.60	0.22	28.178	-14.233
S_mayor	S_menor	Acimut	Profundidad	Error_prof	N°_Datos	N°_Esta	GAP
15.8	15.8	12.7	10	5	9	3	244.4
Dist_mín	Dist_máx	Epicentro	Zona_sísmica	m_b	$m_b(Lg)$	m_L	$M_b mod$
0.3	1.8	N Costa Calma.FV	Isla de Fuerteventura		2.9	2.2	
M_b	M	I_máx_calc	I_máx_obs	Dur_perc	Dist_perc	N_obs_I	Referencias
	2.2	3.6	2.5		28	10	IGN, ISC

N°	EVID	Fecha	Hora	Error_hora	RMS	Latitud	Longitud
896	101046	06/06/1998	22:01:27.35	0.23	0.22	28.430	-14.378
S_mayor	S_menor	Acimut	Profundidad	Error_prof	N°_Datos	N°_Esta	GAP
2.4	2.4	6.3	0f		9	3	178.6
Dist_mín	Dist_máx	Epicentro	Zona_sísmica	m_b	$m_b(Lg)$	m_L	$M_b mod$
0.3	1.7	O Ajuy.FV	Zona atlántica Gran Canaria-Fuerteventura		3.0	2.4	
M_b	M	I_máx_calc	I_máx_obs	Dur_perc	Dist_perc	N_obs_I	Referencias
	2.4	4.0	2.5		34	5	IGN, ISC
N°	EVID	Fecha	Hora	Error_hora	RMS	Latitud	Longitud
897	104874	08/07/1998	15:27:52.46	0.48	0.48	28.243	-16.187
S_mayor	S_menor	Acimut	Profundidad	Error_prof	N°_Datos	N°_Esta	GAP
4.1	4.1	5.8	14f		12	5	168.0
Dist_mín	Dist_máx	Epicentro	Zona_sísmica	m_b	$m_b(Lg)$	m_L	$M_b mod$
0.2	2.5	E Punte Prieta.TF	Zona atlántica Tenerife-Gran Canaria		3.4	2.8	
M_b	M	I_máx_calc	I_máx_obs	Dur_perc	Dist_perc	N_obs_I	Referencias
	2.8	4.6	3		52	4	IGN, ISC
N°	EVID	Fecha	Hora	Error_hora	RMS	Latitud	Longitud
898	107448	01/08/1998	00:22:21.80	0.27	0.27	28.136	-15.654
S_mayor	S_menor	Acimut	Profundidad	Error_prof	N°_Datos	N°_Esta	GAP
2.3	2.3	165.6	30f		13	5	180.9
Dist_mín	Dist_máx	Epicentro	Zona_sísmica	m_b	$m_b(Lg)$	m_L	$M_b mod$
0.6	2.1	San Isidro. GC	Isla de Gran Canaria		3.5	3.0	
M_b	M	I_máx_calc	I_máx_obs	Dur_perc	Dist_perc	N_obs_I	Referencias
	3.0	3.0	2		15	1	IGN, ISC
N°	EVID	Fecha	Hora	Error_hora	RMS	Latitud	Longitud
899	116737	28/10/1998	02:11:30.32	0.06	0.03	28.328	-13.896
S_mayor	S_menor	Acimut	Profundidad	Error_prof	N°_Datos	N°_Esta	GAP
0.2	0.2	153	0f		6	2	272.0
Dist_mín	Dist_máx	Epicentro	Zona_sísmica	m_b	$m_b(Lg)$	m_L	$M_b mod$
0.2	0.9	Pozonegro. FV	Isla de Fuerteventura		2.4	1.6	
M_b	M	I_máx_calc	I_máx_obs	Dur_perc	Dist_perc	N_obs_I	Referencias
	1.6	3.2	2		20	2	IGN, ISC
N°	EVID	Fecha	Hora	Error_hora	RMS	Latitud	Longitud
900	134147	15/04/1999	11:07:34.44	0.84	0.94	28.033	-16.217
S_mayor	S_menor	Acimut	Profundidad	Error_prof	N°_Datos	N°_Esta	GAP
5.9	5.9	167.6	0f		13	5	181.1
Dist_mín	Dist_máx	Epicentro	Zona_sísmica	m_b	$m_b(Lg)$	m_L	$M_b mod$
0.4	2.6	E El Médano.TF	Zona atlántica Tenerife-Gran Canaria		3.4	2.8	
M_b	M	I_máx_calc	I_máx_obs	Dur_perc	Dist_perc	N_obs_I	Referencias
	2.8	3.6	2		51	1	IGN, ISC
N°	EVID	Fecha	Hora	Error_hora	RMS	Latitud	Longitud
901	141643	04/06/1999	10:31:41.00	1.95	0.85	28.444	-18.609
S_mayor	S_menor	Acimut	Profundidad	Error_prof	N°_Datos	N°_Esta	GAP
8.7	8.7	110.8	0f		11	5	299.4
Dist_mín	Dist_máx	Epicentro	Zona_sísmica	m_b	$m_b(Lg)$	m_L	$M_b mod$
0.9	4.6	O Isla de La Palma	Océano Atlántico		3.0	2.4	
M_b	M	I_máx_calc	I_máx_obs	Dur_perc	Dist_perc	N_obs_I	Referencias
	2.4						IGN
N°	EVID	Fecha	Hora	Error_hora	RMS	Latitud	Longitud
902	141753	05/06/1999	19:31:04.41	0.71	0.89	28.120	-15.148
S_mayor	S_menor	Acimut	Profundidad	Error_prof	N°_Datos	N°_Esta	GAP
5.5	5.5	151.9	5f		15	5	189.3
Dist_mín	Dist_máx	Epicentro	Zona_sísmica	m_b	$m_b(Lg)$	m_L	$M_b mod$
1.0	2.5	E Las Palmas de Gran Canaria	Zona atlántica Gran Canaria-Fuerteventura		3.0	2.4	
M_b	M	I_máx_calc	I_máx_obs	Dur_perc	Dist_perc	N_obs_I	Referencias
	2.4						IGN

Nº	EVID	Fecha	Hora	Error_hora	RMS	Latitud	Longitud
903	141806	07/06/1999	04:25:57.72	0.97	0.41	28.623	-17.447
S_mayor	S_menor	Acimut	Profundidad	Error_prof	Nº_Datos	Nº_Esta	GAP
54.0	54.0	176.3	0	10	10	5	246.2
Dist_mín	Dist_máx	Epicentro	Zona_sísmica	m_b	$m_b(Lg)$	m_L	$M_b mod$
0.8	3.5	E Santa Cruz de la Palma.LP	Océano Atlántico		2.8	2.1	
M_b	M	I_máx_calc	I_máx_obs	Dur_perc	Dist_perc	N_obs_I	Referencias
	2.1						IGN
Nº	EVID	Fecha	Hora	Error_hora	RMS	Latitud	Longitud
904	149308	31/07/1999	00:51:35.78	0.82	0.53	29.069	-14.279
S_mayor	S_menor	Acimut	Profundidad	Error_prof	Nº_Datos	Nº_Esta	GAP
20.2	20.2	162	37	24	12	4	195.2
Dist_mín	Dist_máx	Epicentro	Zona_sísmica	m_b	$m_b(Lg)$	m_L	$M_b mod$
0.7	2.2	O Isla de Lanzarote	Zona atlántica		3.2	2.6	
			Gran Canaria-Fuerteventura				
M_b	M	I_máx_calc	I_máx_obs	Dur_perc	Dist_perc	N_obs_I	Referencias
	2.6	4.9	3		81	1	IGN, ISC
Nº	EVID	Fecha	Hora	Error_hora	RMS	Latitud	Longitud
905	150834	14/08/1999	13:44:05.18	0.87	0.84	28.177	-16.206
S_mayor	S_menor	Acimut	Profundidad	Error_prof	Nº_Datos	Nº_Esta	GAP
7.7	7.7	139.1	32	14	15	5	157.9
Dist_mín	Dist_máx	Epicentro	Zona_sísmica	m_b	$m_b(Lg)$	m_L	$M_b mod$
0.3	1.9	E Las Eras.TF	Zona atlántica		2.9	2.2	
			Tenerife-Gran Canaria				
M_b	M	I_máx_calc	I_máx_obs	Dur_perc	Dist_perc	N_obs_I	Referencias
	2.2						IGN
Nº	EVID	Fecha	Hora	Error_hora	RMS	Latitud	Longitud
906	271248	06/09/1999	05:06:06.72	0.14	0.05	28.494	-15.552
S_mayor	S_menor	Acimut	Profundidad	Error_prof	Nº_Datos	Nº_Esta	GAP
0.4	0.4	129.6	4	1	7	5	162.2
Dist_mín	Dist_máx	Epicentro	Zona_sísmica	m_b	$m_b(Lg)$	m_L	$M_b mod$
0.4	1.9	N Isla de Gran Canaria	Zona atlántica		2.4	1.6	
			Tenerife-Gran Canaria				
M_b	M	I_máx_calc	I_máx_obs	Dur_perc	Dist_perc	N_obs_I	Referencias
	1.6						IGN
Nº	EVID	Fecha	Hora	Error_hora	RMS	Latitud	Longitud
907	153944	06/09/1999	15:03:22.50	0.60	1.02	28.210	-16.181
S_mayor	S_menor	Acimut	Profundidad	Error_prof	Nº_Datos	Nº_Esta	GAP
6.1	6.1	179.2	13f		16	6	152.9
Dist_mín	Dist_máx	Epicentro	Zona_sísmica	m_b	$m_b(Lg)$	m_L	$M_b mod$
0.3	2.5	E Los Roques.TF	Zona atlántica		3.0	2.4	
			Tenerife-Gran Canaria				
M_b	M	I_máx_calc	I_máx_obs	Dur_perc	Dist_perc	N_obs_I	Referencias
	2.4						IGN
Nº	EVID	Fecha	Hora	Error_hora	RMS	Latitud	Longitud
908	156515	21/09/1999	00:47:37.27	0.59	0.59	28.080	-16.215
S_mayor	S_menor	Acimut	Profundidad	Error_prof	Nº_Datos	Nº_Esta	GAP
4.9	4.9	28.1	14f		10	4	178.1
Dist_mín	Dist_máx	Epicentro	Zona_sísmica	m_b	$m_b(Lg)$	m_L	$M_b mod$
0.4	1.9	E San Miguel de Tajao.Tf	Zona atlántica		2.9	2.2	
			Tenerife-Gran Canaria				
M_b	M	I_máx_calc	I_máx_obs	Dur_perc	Dist_perc	N_obs_I	Referencias
	2.2						IGN

N°	EVID	Fecha	Hora	Error_hora	RMS	Latitud	Longitud
909	272406	22/09/1999	08:30:45.20	0.86	0.10	28.246	-16.371
S_mayor	S_menor	Acimut	Profundidad	Error_prof	N°_Datos	N°_Esta	GAP
32.8	32.8	32.4	5f		7	4	241.0
Dist_mín	Dist_máx	Epicentro	Zona_sísmica	m_b	$m_b(Lg)$	m_L	$M_b mod$
0.2	2.0	E La Puente.TF	Zona atlántica Tenerife-Gran Canaria		2.8	2.1	
M_b	M	I_máx_calc	I_máx_obs	Dur_perc	Dist_perc	N_obs_I	Referencias
	2.1						IGN
N°	EVID	Fecha	Hora	Error_hora	RMS	Latitud	Longitud
910	157271	26/09/1999	17:45:25.74	0.36	0.44	28.065	-15.781
S_mayor	S_menor	Acimut	Profundidad	Error_prof	N°_Datos	N°_Esta	GAP
3.6	3.6	159.8	21	5	18	6	184.1
Dist_mín	Dist_máx	Epicentro	Zona_sísmica	m_b	$m_b(Lg)$	m_L	$M_b mod$
0.1	2.3	SO Agaete.GC	Zona atlántica Tenerife-Gran Canaria		3.0	2.4	
M_b	M	I_máx_calc	I_máx_obs	Dur_perc	Dist_perc	N_obs_I	Referencias
	2.4						IGN
N°	EVID	Fecha	Hora	Error_hora	RMS	Latitud	Longitud
911	167506	11/12/1999	15:05:10.21	0.98	0.58	28.068	-16.304
S_mayor	S_menor	Acimut	Profundidad	Error_prof	N°_Datos	N°_Esta	GAP
3.8	3.8	38.3	3	5	15	5	177.8
Dist_mín	Dist_máx	Epicentro	Zona_sísmica	m_b	$m_b(Lg)$	m_L	$M_b mod$
0.3	2.7	E Arenas del Mar.TF	Zona atlántica Tenerife-Gran Canaria		2.6	1.9	
M_b	M	I_máx_calc	I_máx_obs	Dur_perc	Dist_perc	N_obs_I	Referencias
	1.9	4.3	3		29	2	IGN, ISC
N°	EVID	Fecha	Hora	Error_hora	RMS	Latitud	Longitud
912	174599	27/12/1999	01:59:47.12	0.48	0.32	28.294	-14.191
S_mayor	S_menor	Acimut	Profundidad	Error_prof	N°_Datos	N°_Esta	GAP
4.5	4.5	99.8	0f		6	2	359.4
Dist_mín	Dist_máx	Epicentro	Zona_sísmica	m_b	$m_b(Lg)$	m_L	$M_b mod$
0.2	1.0	NO Cardón. FV	Isla de Fuerteventura		2.5	1.8	
M_b	M	I_máx_calc	I_máx_obs	Dur_perc	Dist_perc	N_obs_I	Referencias
	1.8	4.6	3.5		19	1	IGN, ISC
N°	EVID	Fecha	Hora	Error_hora	RMS	Latitud	Longitud
913	181546	20/01/2000	06:04:10.90	0.10	0.09	28.335	-16.537
S_mayor	S_menor	Acimut	Profundidad	Error_prof	N°_Datos	N°_Esta	GAP
3.8	3.8	162.5	18	1	10	4	178.9
Dist_mín	Dist_máx	Epicentro	Zona_sísmica	m_b	$m_b(Lg)$	m_L	$M_b mod$
0.1	2.2	S Benijos. TF	Valle de la Orotava.TF		2.8	2.1	
M_b	M	I_máx_calc	I_máx_obs	Dur_perc	Dist_perc	N_obs_I	Referencias
	2.1						IGN
N°	EVID	Fecha	Hora	Error_hora	RMS	Latitud	Longitud
914	186796	03/02/2000	06:53:51.99	0.43	0.56	28.553	-15.001
S_mayor	S_menor	Acimut	Profundidad	Error_prof	N°_Datos	N°_Esta	GAP
7.4	7.4	168.6	33f		12	4	160.8
Dist_mín	Dist_máx	Epicentro	Zona_sísmica	m_b	$m_b(Lg)$	m_L	$M_b mod$
0.8	2.7	NE Isla de Gran Canaria	Zona atlántica Gran Canaria-Fuerteventura		3.3	2.7	
M_b	M	I_máx_calc	I_máx_obs	Dur_perc	Dist_perc	N_obs_I	Referencias
	2.7						IGN
N°	EVID	Fecha	Hora	Error_hora	RMS	Latitud	Longitud
915	207883	05/06/2000	11:12:05.52	0.48	0.55	28.122	-16.175
S_mayor	S_menor	Acimut	Profundidad	Error_prof	N°_Datos	N°_Esta	GAP
4.7	4.7	141.8	27	11	18	6	166.2
Dist_mín	Dist_máx	Epicentro	Zona_sísmica	m_b	$m_b(Lg)$	m_L	$M_b mod$
0.4	2.6	E Abades.TF	Zona atlántica Tenerife-Gran Canaria		3.0	2.4	
M_b	M	I_máx_calc	I_máx_obs	Dur_perc	Dist_perc	N_obs_I	Referencias
	2.4						IGN

Nº	EVID	Fecha	Hora	Error_hora	RMS	Latitud	Longitud
916	208847	13/06/2000	14:22:33.02	0.63	0.51	28.717	-16.890
S_mayor	S_menor	Acimut	Profundidad	Error_prof	Nº_Datos	Nº_Esta	GAP
3.9	3.9	130.4	5f		12	4	217.8
Dist_mín	Dist_máx	Epicentro	Zona_sísmica	m_b	$m_b(Lg)$	m_L	$M_b mod$
0.6	3.0	N Buenavista del Norte. TF	Océano Atlántico		2.7	2.0	
M_b	M	$I_{máx_calc}$	$I_{máx_obs}$	Dur_perc	Dist_perc	N_obs_I	Referencias
	2.0						IGN
Nº	EVID	Fecha	Hora	Error_hora	RMS	Latitud	Longitud
917	210027	21/06/2000	08:57:42.04	0.47	0.62	28.035	-16.079
S_mayor	S_menor	Acimut	Profundidad	Error_prof	Nº_Datos	Nº_Esta	GAP
3.3	3.3	170.1	0f		16	6	182.4
Dist_mín	Dist_máx	Epicentro	Zona_sísmica	m_b	$m_b(Lg)$	m_L	$M_b mod$
0.4	2.5	O La Aldea de San Nicolás de Tolentino. GC	Zona atlántica Tenerife-Gran Canaria		2.7	2.0	
M_b	M	$I_{máx_calc}$	$I_{máx_obs}$	Dur_perc	Dist_perc	N_obs_I	Referencias
	2.0						IGN
Nº	EVID	Fecha	Hora	Error_hora	RMS	Latitud	Longitud
918	211016	27/06/2000	13:21:17.91	1.19	0.59	30.051	-15.323
S_mayor	S_menor	Acimut	Profundidad	Error_prof	Nº_Datos	Nº_Esta	GAP
5.2	5.2	151.9	5f		10	4	254.3
Dist_mín	Dist_máx	Epicentro	Zona_sísmica	m_b	$m_b(Lg)$	m_L	$M_b mod$
1.8	3.3	NO Isla de Lanzarote	Océano Atlántico		2.8	2.1	
M_b	M	$I_{máx_calc}$	$I_{máx_obs}$	Dur_perc	Dist_perc	N_obs_I	Referencias
	2.1						IGN
Nº	EVID	Fecha	Hora	Error_hora	RMS	Latitud	Longitud
919	212371	07/07/2000	22:05:21.10	0.51	0.22	29.966	-14.879
S_mayor	S_menor	Acimut	Profundidad	Error_prof	Nº_Datos	Nº_Esta	GAP
10.9	10.9	9.9	0	4	10	4	265.2
Dist_mín	Dist_máx	Epicentro	Zona_sísmica	m_b	$m_b(Lg)$	m_L	$M_b mod$
1.5	2.0	NO Isla de Lanzarote	Océano Atlántico		2.9	2.2	
M_b	M	$I_{máx_calc}$	$I_{máx_obs}$	Dur_perc	Dist_perc	N_obs_I	Referencias
	2.2						IGN
Nº	EVID	Fecha	Hora	Error_hora	RMS	Latitud	Longitud
920	222935	10/09/2000	16:53:16.56	0.28	0.39	28.479	-16.119
S_mayor	S_menor	Acimut	Profundidad	Error_prof	Nº_Datos	Nº_Esta	GAP
13.6	13.6	28.7	31f		13	5	164.2
Dist_mín	Dist_máx	Epicentro	Zona_sísmica	m_b	$m_b(Lg)$	m_L	$M_b mod$
0.2	2.4	NE Santa Cruz de Tenerife	Zona atlántica Tenerife-Gran Canaria		2.7	2.0	
M_b	M	$I_{máx_calc}$	$I_{máx_obs}$	Dur_perc	Dist_perc	N_obs_I	Referencias
	2.0						IGN
Nº	EVID	Fecha	Hora	Error_hora	RMS	Latitud	Longitud
921	229152	12/10/2000	09:41:43.73	0.69	0.41	27.469	-15.652
S_mayor	S_menor	Acimut	Profundidad	Error_prof	Nº_Datos	Nº_Esta	GAP
7.8	7.8	167.7	1	4	15	5	222.2
Dist_mín	Dist_máx	Epicentro	Zona_sísmica	m_b	$m_b(Lg)$	m_L	$M_b mod$
1.1	2.5	S Maspalomas. GC	Zona atlántica Gran Canaria-Fuerteventura		2.6	1.9	
M_b	M	$I_{máx_calc}$	$I_{máx_obs}$	Dur_perc	Dist_perc	N_obs_I	Referencias
	1.9						IGN
Nº	EVID	Fecha	Hora	Error_hora	RMS	Latitud	Longitud
922	232615	01/11/2000	08:08:45.95	0.67	0.33	28.09	-16.18
S_mayor	S_menor	Acimut	Profundidad	Error_prof	Nº_Datos	Nº_Esta	GAP
2.9	2.9	127.7	10	7	10	4	177.9
Dist_mín	Dist_máx	Epicentro	Zona_sísmica	m_b	$m_b(Lg)$	m_L	$M_b mod$
0.4	1.9	E San Miguel de Tajao. TF	Zona atlántica Tenerife-Gran Canaria		2.8	2.1	
M_b	M	$I_{máx_calc}$	$I_{máx_obs}$	Dur_perc	Dist_perc	N_obs_I	Referencias
	2.1						IGN

Anexo 4.
Referencias del Nuevo
Catálogo Sísmico
de Canarias.



A4-1. Referencias por acrónimos

Acrónimo: AE**Referencia:** Espinosa A. (1594). Del origen y milagros de la Santa Imagen de Nuestra Señora de Candelaria, que apareció en la isla de Tenerife, con la descripción de esta Isla. *En Historia de Nuestra Señora de Candelaria. Goya Ediciones 1952. Santa Cruz de Tenerife. Canarias. 216 pp.***Terremotos:** 5, 6.

Acrónimo: AR**Referencia:** Alvarez Rixo, J.A. (1982). Historia del Puerto del Arrecife: en la Isla de Lanzarote una de Las Canarias. Aula de Cultura del Excmo. Cabildo Insular de Tenerife. 250 pp.**Terremotos:** 93, 99, 102, 103.

Acrónimo: BCIS**Referencia:** Despacho Central Internacional de Sismología. Francia (2018). Boletín en línea: <http://www.franceseisme.fr/donnees/historiques.html>**Terremotos:** 468.

Acrónimo: BO**Referencia:** Bonelli Rubio, J.M. (1950). Contribución al estudio de la erupción del volcán del Nambroque o San Juan (Isla de La Palma) 24 de junio-4 de agosto. *Instituto Geográfico y Catastral, Madrid, 24 pp y 10 gráficos.***Terremotos:** 6, 285, 286, 287, 288, 289, 290, 292, 293, 294, 410.

Acrónimo: BS**Referencia:** Ben Sari, D. (1978). Connaissance Geophysique du Maroc. *Thèse d'Etat, Univ. Grenoble. 262 pp.***Terremotos:** 179, 193.

Acrónimo: CA**Referencia:** Cabrera Sánchez, J.M. (1985). Transcripción de "La relación diaria y verdadera de los terremotos en la isla de Tenerife, lugares de los Realejos, Villa de La Orotava y su puerto y otras vezindades". *Folletos Bosons 3131. Biblioteca Central de Cataluña.***Terremotos:** 21, 22, 23, 24, 25, 26, 27, 28, 29, 30, 31, 32, 33, 34, 36, 37, 38, 39, 40, 41, 42, 43, 44, 49, 50, 51, 52, 53, 55, 58, 59, 60.

Acrónimo: CA1**Referencia:** Carracedo, J.C., Rodríguez Badiola, E., Pérez Torrado, F.J., Hansen, A., Rodríguez-González, A., Scaillet, S., Guillou, H., Paterne, M., Fra Paleo, U. y Paris, R. (2007). La erupción que Cristóbal Colón vio en la isla de Tenerife (Islas Canarias). *Geogaceta 41, 39-42.***Terremotos:** 4.

Acrónimo: CA2**Referencia:** Carracedo, J.C. y Rodríguez Badiola, E. (1991). Lanzarote. La erupción volcánica de 1730. *Excmo. Cabildo Insular de Lanzarote. 183 pp.***Terremotos:** 69.

Acrónimo: CA3**Referencia:** Carracedo, J.C., Day, S., Guillou, H., y Rodríguez Badiola, E. (1996). The 1677 Eruption of La Palma, Canary Islands. *Estudios Geológicos, 52, 103-114.***Terremotos:** 15.

Acrónimo: CB**Referencia:** Romero Ruiz C. y Beltrán Yanes, E. (2015). El impacto de las coladas de 1706 en la ciudad de Garachico. (Tenerife, Islas Canarias, España). *Investigaciones Geográficas, 63, 99-115.***Terremotos:** 65.

Acrónimo: CC

Referencia: Cruz Jorge A.A. y Cruz y Saavedra A.J. (2012). Catástrofes naturales, siniestralidad, accidentes y episodios luctuosos en la Villa de Agaete a través de la prensa. *Infonortedigital. Las Palmas de Gran Canaria. 40 pp.*

Terremotos: 116, 158, 159, 193, 200, 233.

Acrónimo: CL

Referencia: Cazorla León, S. y Sánchez Rodríguez, J. (2003). Los volcanes de Chimanfalla. *Ed. Ayuntamiento de Yaiza. 121 pp.*

Terremotos: 69.

Acrónimo: CO

Referencia: Cologan Fallon, B. (C. 1798). Noticias de algunos terremotos que se han experimentado en estas islas. *Manuscrito. Archivo Zarate-Cologan. La Orotava.*

Terremotos: 69, 80, 81, 82, 83, 84, 85, 86.

Acrónimo: CR

Referencia: Romero Ruiz, C. (1991). Las manifestaciones volcánicas históricas del Archipiélago Canario. *Tomo I. Gobierno de Canarias (Consejería de Política Territorial), Tenerife. 695 pp.*

Terremotos: 1, 2, 3, 4, 5, 6, 7, 8, 9, 10, 11, 12, 13, 14, 15, 16, 17, 18, 19, 20, 21, 22, 23, 24, 25, 26, 27, 28, 29, 30, 31, 32, 33, 34, 35, 36, 37, 38, 39, 40, 41, 42, 43, 44, 45, 46, 47, 48, 49, 50, 51, 52, 53, 54, 55, 56, 57, 58, 59, 60, 61, 62, 63, 64, 65, 69, 71, 72, 73, 74, 75, 76, 77, 78, 79, 80, 81, 82, 83, 84, 85, 86, 87, 91, 92, 93, 94, 95, 96, 97, 98, 99, 100, 101, 102, 103, 120, 121, 122, 123, 126, 127, 128, 129, 130, 132, 133, 134, 135, 136, 137, 138, 139, 140, 141, 142, 143, 144, 145, 146, 147, 148, 149, 150, 151, 152, 153, 154, 155, 156, 158, 163, 164, 165, 166, 167, 168, 169, 170, 171, 172, 173, 174, 175, 176, 177, 178, 179, 180, 181, 182, 183, 184, 185, 186, 187, 188, 189, 190, 191, 192, 193, 194, 195, 196, 197, 198, 199, 200, 201, 202, 203, 204, 205, 206, 209, 210, 213, 215, 216, 217, 218, 219, 220, 221, 222, 223, 224, 225, 226, 227, 228, 229, 230, 231, 232, 252, 298, 299, 326, 332, 333, 335, 404, 405, 406, 407, 410, 411, 412, 413, 414, 416, 417, 418, 419, 420, 421, 422, 423, 424, 426, 427, 428, 429, 431, 432, 433, 434, 435, 436, 437, 438, 439, 440, 441, 442, 443, 444, 445, 446, 447, 448, 449, 450, 452, 453, 454, 455, 456, 457, 458, 459, 460, 461, 462, 463, 465, 484, 485, 488, 489, 490, 491, 492, 493, 494, 495, 496, 497, 498, 500, 501, 502, 503, 505, 506, 507, 508, 509, 510, 511, 513, 514, 515, 516, 517, 518, 519, 520, 521, 522, 523, 524, 525, 526, 527, 528, 529, 533, 535, 536, 537, 538, 540, 541, 542, 543, 544, 546, 547, 549, 550, 551, 552, 553, 554, 556, 557, 558, 559, 560, 561, 562, 563, 564, 565, 566.

Acrónimo: CS

Referencia: Sánchez Sanz, C. (2014). Revisión del catálogo sísmico de Canarias. *Universidad Politécnica de Madrid. Proyecto fin de Carrera. ETSI Topografía, Geodesia y Cartografía. 329 pp y 2 anexos.*

Terremotos: 5, 6, 9, 10, 12, 13, 14, 16, 21, 22, 23, 24, 25, 26, 27, 28, 30, 31, 32, 34, 35, 36, 37, 38, 39, 40, 41, 42, 43, 44, 45, 46, 47, 48, 49, 50, 51, 52, 53, 54, 55, 56, 57, 58, 59, 62, 63, 64, 66, 67, 69, 71, 73, 74, 75, 76, 77, 78, 79, 80, 81, 82, 83, 84, 85, 86, 87, 88, 89, 90, 93, 94, 95, 96, 97, 98, 100, 101, 102, 105, 106, 107, 108, 109, 110, 111, 112, 113, 114, 115, 117, 118, 119, 120, 121, 122, 123, 124, 125, 126, 127, 128, 129, 130, 131, 132, 133, 134, 135, 136, 137, 138, 139, 140, 141, 142, 143, 144, 145, 146, 147, 148, 149, 150, 151, 152, 153, 154, 155, 156, 157, 158, 159, 160, 161, 162, 163, 164, 165, 166, 167, 168, 169, 170, 171, 172, 173, 174, 175, 176, 177, 178, 179, 180, 181, 182, 183, 184, 185, 186, 187, 188, 189, 190, 191, 192, 193, 194, 195, 196, 197, 198, 199, 200, 201, 202, 203, 204, 205, 206, 207, 208, 209, 210, 211, 212, 213, 214, 215, 216, 217, 218, 219, 220, 221, 222, 223, 224, 225, 226, 227, 228, 229, 230, 231, 232, 233, 234, 235, 236, 237, 238, 239, 240, 241, 242, 243, 244, 245, 246, 247, 248, 249, 250, 251, 252, 253, 254, 255, 256, 257, 258, 259, 260, 261, 262, 263, 264, 265, 266, 267, 268, 269, 270, 271, 274, 275, 276, 277, 278, 280, 281, 283, 284, 285, 286, 287, 288, 289, 290, 291, 292, 293, 294, 295, 296, 297, 298, 299, 300, 301, 302, 303, 304, 305, 306, 307, 308, 309, 310, 311, 312, 313, 314, 315, 316, 317, 318, 319, 320, 321, 322, 323, 324, 325, 326, 327, 328, 329, 330, 331, 332, 333, 334, 335, 336, 337, 338, 339, 340, 341, 342, 343, 344, 345, 346, 347, 348, 349, 350, 351, 352, 353, 354, 355, 356, 357, 358, 359, 360, 361, 362, 363, 364, 365, 366, 367, 368, 369, 370, 371, 372, 373, 374, 375, 376, 377, 378, 379, 380, 381, 382, 383, 384, 385, 386, 387, 388, 389, 390, 391, 392, 393, 394, 395, 396, 397, 398, 399, 400, 401, 402, 403, 404, 405, 406, 407, 409, 410, 412, 413, 414, 415, 416, 418, 419, 420, 421, 422, 423, 424, 425, 426, 427, 428, 429, 430, 431, 432, 433, 434, 435, 436, 437, 438, 439, 440, 441, 442, 443, 444, 445, 446, 447, 448, 449, 450, 451, 452, 453, 454, 455, 456, 457, 458, 459, 460, 461, 462,

463, 467, 468, 475, 476, 477, 478, 479, 480, 481, 486, 487, 489, 491, 498, 499, 500, 501, 502, 503, 504, 505, 506, 507, 508, 509, 510, 511, 512, 513, 514, 515, 516, 517, 518, 519, 520, 521, 522, 523, 525, 526, 527, 528, 530, 531, 532, 534, 535, 536, 538, 539, 543, 544, 545, 546, 550, 551, 552, 553, 554, 556, 557, 558, 559, 560, 561, 562, 563, 564, 565, 566.

Acrónimo: CyB

Referencia: Colón, C. y de las Casas, B. (1791). Diario de a bordo. *Fundación Libro Total*, 327 pp._

Terremotos: 4.

Acrónimo: DP

Referencia: Darias Padrón, D.V. (1988). Noticias generales históricas sobre la isla del Hierro una de las Canarias. *Excmo. Cabildo Insular de El Hierro. Imprenta Goya Artes Gráficas. Santa Cruz de Tenerife*. 289 pp.

Terremotos: 73, 74, 75, 77, 78, 79.

Acrónimo: FN

Referencia: Fernández Navarro, L. (1911). Erupción volcánica del Chinyero (Tenerife) en noviembre de 1909. *Anales de la Junta para la Ampliación de Estudios e Investigaciones Científicas. T. V, Mem.1ª*, p13.

Terremotos: 2, 3, 6, 134, 135, 136, 137, 138, 139, 140, 141, 142, 143, 144, 145, 146, 147, 148, 152, 155, 158, 163, 164, 165, 166, 167, 168, 171, 172, 173, 174, 175, 176, 177, 178, 180, 181, 182, 183, 184, 185, 186, 187, 188, 189, 191, 192, 195, 200, 202, 203, 204, 205, 206, 218, 219, 220, 221, 222, 223, 224, 225, 226, 227, 229, 231, 232.

Acrónimo: GA

Referencia: Galbis Rodríguez, J. (1932). Catálogo Sísmico de la zona comprendida entre los meridianos 5° E. y 20° W. de Greenwich y los paralelos 45° y 25° N. Tomo I. *Instituto Geográfico y Catastral*. 807 pp.

Terremotos: 15, 18, 69, 103, 104, 105, 106, 107, 108, 109, 110, 111, 112, 113, 115, 119, 120, 121, 122, 123, 126, 127, 128, 129, 130, 131, 132, 133, 137, 138, 139, 140, 141, 142, 143, 144, 145, 146, 149, 150, 151, 153, 154, 155, 156, 159, 160, 161, 164, 169, 170, 178, 179, 188, 190, 193, 194, 196, 197, 198, 199, 201, 203, 206, 210, 215, 216, 217, 227, 228, 229, 230, 233, 234, 235, 239, 240, 241, 245, 246, 248, 249, 252, 253, 254, 256, 257, 258, 259, 262, 263, 264, 265, 266, 267, 268, 269, 270, 271, 274, 276, 277, 278, 280, 281.

Acrónimo: GG

Referencia: Glas, G. (1764). Descripción de las Islas Canarias 1674. *Traducción de C. Aznar de Acevedo (1982). 2ª Edición. Instituto de Estudios Canarias-Goya Ediciones. Tenerife* 175 pp.

Terremotos: 15, 21, 28, 60, 65, 69.

Acrónimo: HP

Referencia: Hernández-Pacheco, E. (1909). Estudio geológico de Lanzarote y de las isletas canarias. Tomo VI. - *Memoria 4ª. R. Soc. Esp. Hist. Natural*, 107-242.

Terremotos: 69, 70, 71, 72, 91.

Acrónimo: HyB

Referencia: Humboldt, A. y Bonpland, A. (1816). Voyage aux régions équinoxiales du Nouveau Continent fait en 1799, 1800, 1801, 1802, 1803 et 1804. T. I. *Librairie Grecque -Latine-Allemagne, Paris*, 643 pp.

Terremotos: 3, 69.

Acrónimo: IGN

Referencia: Instituto Geográfico Nacional (2018). Archivos de datos sísmicos procedentes de distintos observatorios.

Terremotos: 146, 236, 237, 243, 244, 247, 250, 251, 254, 262, 263, 264, 265, 266, 267, 268, 269, 270, 271, 276, 277, 278, 280, 281, 283, 284, 285, 286, 287, 288, 289, 290, 291, 292, 293, 294, 295, 296, 297, 298, 300, 301, 303, 304, 305, 306, 307, 308, 309, 310, 311, 312, 313, 314, 315, 316, 317, 318, 319, 320, 321,

322, 323, 324, 325, 326, 327, 328, 329, 330, 331, 334, 336, 337, 338, 339, 340, 341, 342, 343, 344, 345, 346, 347, 348, 349, 350, 351, 352, 353, 354, 355, 356, 357, 358, 359, 360, 361, 362, 363, 364, 365, 366, 367, 368, 369, 370, 371, 372, 373, 374, 375, 376, 377, 378, 379, 380, 381, 382, 383, 384, 385, 386, 387, 388, 389, 390, 391, 392, 393, 394, 395, 396, 397, 398, 399, 402, 403, 404, 405, 407, 410, 413, 414, 418, 420, 422, 423, 426, 427, 428, 429, 431, 432, 433, 451, 458, 460, 463, 466, 467, 474, 475, 476, 477, 478, 479, 480, 481, 482, 483, 489, 491, 498, 499, 500, 501, 502, 503, 504, 505, 506, 507, 508, 509, 510, 511, 513, 515, 516, 517, 518, 519, 522, 523, 524, 525, 526, 528, 535, 536, 538, 543, 544, 546, 547, 548, 549, 550, 551, 552, 554, 555, 556, 557, 558, 560, 561, 562, 563, 564, 565, 566, 567, 569, 570, 571, 572, 573, 574, 575, 576, 577, 578, 579, 580, 581, 582, 583, 584, 585, 586, 587, 588, 589, 590, 591, 592, 593, 594, 595, 596, 597, 598, 599, 600, 601, 602, 603, 604, 605, 606, 607, 608, 609, 610, 611, 612, 613, 614, 615, 616, 617, 618, 619, 620, 621, 622, 623, 624, 625, 626, 627, 628, 629, 630, 631, 632, 633, 634, 635, 636, 637, 638, 639, 640, 641, 642, 643, 644, 645, 646, 647, 648, 649, 650, 651, 652, 653, 654, 655, 656, 657, 658, 659, 660, 661, 662, 663, 664, 665, 666, 667, 668, 669, 670, 671, 672, 673, 674, 675, 676, 677, 678, 679, 680, 681, 682, 683, 684, 685, 686, 687, 688, 689, 690, 691, 692, 693, 694, 695, 696, 697, 698, 699, 700, 701, 702, 703, 704, 705, 706, 707, 708, 709, 710, 711, 712, 713, 714, 715, 716, 717, 718, 719, 720, 721, 722, 723, 724, 725, 726, 727, 728, 729, 730, 731, 732, 733, 734, 735, 736, 737, 738, 739, 740, 741, 742, 743, 744, 745, 746, 747, 748, 749, 750, 751, 752, 753, 754, 755, 756, 757, 758, 759, 760, 761, 762, 763, 764, 765, 766, 767, 768, 769, 770, 771, 772, 773, 774, 775, 776, 777, 778, 779, 780, 781, 782, 783, 784, 785, 786, 787, 788, 789, 790, 791, 792, 793, 794, 795, 796, 797, 798, 799, 800, 801, 802, 803, 804, 805, 806, 807, 808, 809, 810, 811, 812, 813, 814, 815, 816, 817, 818, 819, 820, 821, 822, 823, 824, 825, 826, 827, 828, 829, 830, 831, 832, 833, 834, 835, 836, 837, 838, 839, 840, 841, 842, 843, 844, 845, 846, 847, 848, 849, 850, 851, 852, 853, 854, 855, 856, 857, 858, 859, 860, 861, 862, 863, 864, 865, 866, 867, 868, 869, 870, 871, 872, 873, 874, 875, 876, 877, 878, 879, 880, 881, 882, 883, 884, 885, 886, 887, 888, 889, 890, 891, 892, 893, 894, 895, 896, 897, 898, 899, 900, 901, 902, 903, 904, 905, 906, 907, 908, 909, 910, 911, 912, 913, 914, 915, 916, 917, 918, 919, 920, 921, 922.

Acrónimo: ISC

Referencia: Centro Sismológico Internacional. (2018). On line Bulletin. <http://www.isc.ac.uk>

Terremotos: 467, 475, 476, 481, 569, 675, 733, 739, 740, 741, 742, 743, 749, 758, 792, 797, 809, 812, 881, 886, 892, 893, 894, 895, 896, 897, 898, 899, 900, 904, 911, 912.

Acrónimo: KA

Referencia: Karnik, V. (1969). Seismicity of the European Area. Part 1. D. Reidel Publishing Co. Dordrecht. Holland. 364 pp.

Terremotos: 179, 193, 295, 399.

Acrónimo: LB

Referencia: Buch, L. von (1836). Description physique des Iles Canaries: suivie d'une indication des principaux volcans du globe / par Léopold de Buch; Traduite de l'allemand par C. Boulanger. Levrault. Paris. 522 pp.

Terremotos: 6, 15, 69, 70, 71, 72.

Acrónimo: LG

Referencia: López Gómez, A. (1987). Importancia decisiva del Teide en la historia de la climatología. Ed. Arbor: Revista General de Investigación y Cultura, CXXVII, 497, 41-72.

Terremotos: 1.

Acrónimo: LT

Referencia: Torriani, L. (1590). Descripción e Historia del reino de las islas Canarias. En Descripción de las Islas Canarias de L. Torriani por A. Cioranescu (1959). Goya Ediciones. 298 pp.

Terremotos: 5, 6, 7, 8, 9.

Acrónimo: MA

Referencia: Martel San Gil, M. (1960). El volcán de San Juan también llamado de Las Manchas y del Nambroque. La Palma Canarias. 239 pp.

Terremotos: 6, 10, 11, 12, 13, 14, 15, 16, 17, 19, 20, 298, 299, 302, 326, 332, 333, 335, 406, 407, 408, 410, 411, 412, 413, 414, 416, 417, 418, 419, 420, 421, 422, 423, 424, 425, 426, 427, 428, 430, 431, 435,

436, 437, 443, 444, 445, 446, 447, 448, 449, 450, 451, 452, 453, 454, 455, 456, 460, 461, 462, 463, 464, 465.

Acrónimo: MC

Referencia: Millares Carlo, A. (1934). El volcán de La Palma en 1646. *El Museo Canario. Año II*, 2, 81-96.

Terremotos: 10, 11, 12, 13, 14.

Acrónimo: MF

Referencia: Martínez de Fuentes, F. (C. 1820). Vida literaria. Manuscritos. T. II. *Archivo de la Real Sociedad Económica de Amigos del País de Tenerife*.

Terremotos: 64.

Acrónimo: ML

Referencia: Morales Lezcano, V. (1965). Relación del Pico de Tenerife, transmitida por unos estimables mercaderes y hombres dignos de crédito que subieron a la cima. *Revista de Historia Canaria. T. 30. Año 38-39. Número 149-152*, 90-114.

Terremotos: 14.

Acrónimo: MM

Referencia: Mezcua Rodríguez J. y Martínez Solares, J.M. (1983). Sismicidad del Área Iberomobrebí. *Publicación 202. Instituto Geográfico Nacional. Madrid. 300 pp.*

Terremotos: 1, 2, 3, 4, 7, 11, 15, 16, 18, 21, 33, 60, 61, 64, 65, 66, 68, 69, 73, 86, 96, 99, 103, 104, 105, 106, 107, 108, 109, 110, 111, 112, 113, 115, 119, 120, 121, 122, 123, 126, 127, 128, 129, 130, 131, 132, 133, 137, 138, 139, 140, 141, 142, 143, 144, 145, 146, 149, 150, 151, 153, 154, 155, 156, 161, 164, 169, 170, 179, 193, 194, 196, 197, 198, 199, 201, 203, 206, 210, 214, 215, 216, 217, 227, 228, 229, 230, 233, 234, 235, 236, 237, 239, 240, 241, 243, 245, 247, 248, 249, 252, 253, 256, 257, 258, 274, 276, 278, 280, 281, 283, 284, 285, 286, 287, 288, 289, 290, 292, 293, 294, 295, 296, 297, 298, 303, 323, 326, 330, 334, 396, 397, 398, 399, 402, 403, 404, 405, 407, 410, 413, 414, 418, 420, 422, 423, 426, 427, 428, 429, 431, 432, 433, 451, 458, 466, 467, 475, 476, 477, 481, 483, 489, 491, 498, 499, 500, 501, 502, 505, 508, 511, 513, 519, 523, 524, 525, 526, 528, 535, 536, 538, 543, 544, 546, 548, 549, 550, 551, 552, 554, 555, 556, 557, 558, 560, 561, 562, 563, 564, 565, 566.

Acrónimo: MO

Referencia: Monge Montuno, F. (1981). Catálogo Sísmico preliminar del Archipiélago Canario. *Universidad Complutense de Madrid. Cátedra de Geofísica. Publicación 165. 33 pp.*

Terremotos: 1, 2, 3, 4, 7, 11, 16, 21, 28, 33, 60, 61, 65, 68, 69, 73, 86, 96, 99, 104, 105, 106, 107, 108, 109, 110, 111, 112, 113, 115, 119, 120, 121, 122, 123, 126, 127, 128, 129, 130, 131, 132, 133, 137, 138, 139, 140, 141, 142, 143, 144, 145, 146, 149, 150, 151, 153, 154, 155, 156, 164, 169, 170, 190, 193, 194, 196, 197, 198, 199, 201, 203, 206, 210, 215, 216, 217, 227, 228, 229, 230, 233, 234, 235, 236, 237, 239, 240, 241, 243, 244, 245, 247, 248, 249, 250, 251, 252, 274, 278, 280, 281, 283, 284, 285, 286, 287, 288, 289, 290, 291, 292, 293, 294, 295, 296, 297, 298, 299, 326, 396, 397, 398, 399, 402, 403, 410, 412, 413, 414, 418, 420, 422, 423, 427, 428, 429, 431, 432, 433, 434, 438, 439, 440, 441, 442, 444, 451, 454, 458, 459, 460, 466, 467, 475, 476, 479, 481, 483, 489, 491, 498, 500, 502, 503, 505, 506, 507, 508, 511, 513, 515, 516, 517, 519, 522, 523, 524, 525, 526, 528, 535, 536, 538, 543, 544, 546, 547, 548, 549, 550, 551, 552, 553, 554, 555, 556, 557, 558, 559, 560, 561, 562, 563, 564, 565, 566.

Acrónimo: MP

Referencia: Méndez Pérez. (1985). Antología y semblanzas del Teide. *E. Edirca. Las Palmas de Gran Canaria. 34 pp.*

Terremotos: 1.

Acrónimo: MU

Referencia: Munuera Bassols, J.M. (1974). Acerca de la Sismicidad Iberomogrebí. *Comunicaciones 1ª Asamblea Nacional de Geodesia y Geofísica. Instituto Geográfico y Catastral. Madrid, 289-310.*

Terremotos: 18, 103, 105, 106, 107, 108, 109, 110, 111, 112, 113, 115, 120, 123, 126, 127, 129, 132, 138, 139, 149, 151, 153, 154, 155, 156, 161, 164, 170, 179, 193, 201, 203, 206, 210, 215, 216, 217, 227, 229, 236, 237, 240, 241, 248, 249, 252, 266, 267, 269, 270, 271, 274, 276, 281, 285, 286, 289, 295, 296, 297, 397, 398, 399, 402, 404, 405, 423, 466, 467.

-
- Acrónimo:** NN
Referencia: **Sánchez Navarro-Neumann, M.M. (1910).** Enumeración de los terremotos sentidos en España. *Publicaciones Bol. de la Real Soc. Esp. de Historia Natural, Madrid. Tomo XIV y XVI. Revista Ibérica T III, IV, V, VIII, X, XVI, XXVII, XXVIII, y XXXV.*
- Terremotos:** 156, 160, 161, 169, 170, 178, 179, 188, 190, 193, 194, 196, 197, 198, 199, 201, 203, 206, 210, 215, 216, 217, 227, 228, 229, 230, 233, 237, 239, 240, 241, 245, 246, 252, 253, 256, 257, 259, 260, 261, 262, 263, 264, 265, 266, 267, 268, 269, 270, 271, 274, 276, 277, 278, 281.
-
- Acrónimo:** NP
Referencia: **Núñez de la Peña, J. (1676).** Conquista y antigüedades de las islas de la gran Canaria y su descripción. *Imprenta Real. 580 pp.*
- Terremotos:** 5, 6, 14, 15.
-
- Acrónimo:** NP2
Referencia: **Núñez de la Peña, J. (C. 1705)** Relación de los horrosos terremotos y volcanes de fuego que han reventado en la isla de Tenerife. Años 1704 y 1705.
- Terremotos:** 21, 22, 23, 24, 25, 28, 33, 34, 39, 40, 41, 42, 44, 45, 46, 47, 48, 50, 51, 52, 53, 54, 55, 56, 57, 60, 61, 62, 63.
-
- Acrónimo:** OE
Referencia: **Observatorio del Ebro (2018).** 1910-1947 Resumen de las observaciones solares, meteorológicas y sismológicas.
- Terremotos:** 399.
-
- Acrónimo:** PC
Referencia: **Castillo, P.A. del (1848).** Descripción histórica y geográfica de las Islas Canarias. *Imprenta Isleña. 376 pp.*
- Terremotos:** 5, 6, 65, 69.
-
- Acrónimo:** RB
Referencia: **Romero Ortiz J. y Bonelli Rubio, J.M. (1951).** La Erupción del Nambroque (junio-agosto de 1949). *Comisión Nacional de Geodesia y Geofísica. Instituto Geográfico y Catastral. 105 pp y 4 gráficos.*
- Terremotos:** 6, 66, 67, 68, 404, 405, 406, 407, 408, 410, 418, 420, 422, 423, 424, 426, 427, 428, 429, 431, 432, 433, 434, 438, 439, 440, 441, 442, 451, 454, 455, 457, 458, 459, 460, 463.
-
- Acrónimo:** RO
Referencia: **Rothe, J.P. (1969).** The seismicity of the Earth. 1953-1965. *UNESCO. Paris. 335 pp.*
- Terremotos:** 475, 476.
-
- Acrónimo:** RU
Referencia: **Rumeu de Armas, A. y Araña, V. (1982).** Diario pormenorizado de la erupción volcánica de Lanzarote. *Anuario de Estudios atlánticos, 28, 15-61.*
- Terremotos:** 93, 94, 95, 96, 97, 98, 100, 101.
-
- Acrónimo:** SA1
Referencia: **Santiago, M. (1948).** Edición crítica y estudio bibliográfico y nota de la obra de D. Agustín del Castillo "Descripción Histórica y geográfica de las Islas Canarias". *Ed. El Gabinete literario. Vol 1 y 2, 1467-1504.*
- Terremotos:** 1, 5, 6, 8, 9.
-
- Acrónimo:** SA2
Referencia: **Santiago, M. (1960).** Los volcanes de La Palma (Islas Canarias). *El Museo Canario. N. 75-76. 281-346.*
- Terremotos:** 2, 7.
-

Acrónimo: SC
Referencia: Calderón y Arana, S. (1908). Contribución. *Real Soc. Esp. Hist. Nat. T. VIII*. 492 pp.
Terremotos: 131, 132, 133, 138, 139, 140, 141, 142, 143, 144, 145, 146, 147, 152, 159.

Acrónimo: SF
Referencia: Segundo de Franqui, N. (1829). Carta sobre la Erupción del volcán de la montaña de Venge, cerca del pico del Teyde, en la isla de Tenerife, en 9 de junio de 1798. *Anales de Historia Natural* 3, 297-304.
Terremotos: 87, 88, 89, 90.

Acrónimo: SPGM
Referencia: Servicio de Física del Globo, Marruecos (2018). Datos sismológicos.
Terremotos: 675.

Acrónimo: SV
Referencia: Bory de St.-Vincent, J.B.G.M. (1803). Essais sur les Isles Fortunées et l'antique Atlantide, ou précis de l'histoire générale de l'archipel des Canaries. *Ed. Bauodin. Paris*. 522pp.
Terremotos: 6, 65, 69.

Acrónimo: USGS
Referencia: Servicio Geológico de los Estados Unidos (2018). Datos sismológicos.
Terremotos: 475, 476, 620, 675.

Acrónimo: VC
Referencia: Viera y Clavijo, J. (1783). Noticias de la Historia General de las Islas de Canarias. *Ediciones Goya. Santa Cruz de Tenerife. T. 1*, 274-275.
Terremotos: 2, 5, 6, 14, 21, 28, 60, 65, 69.

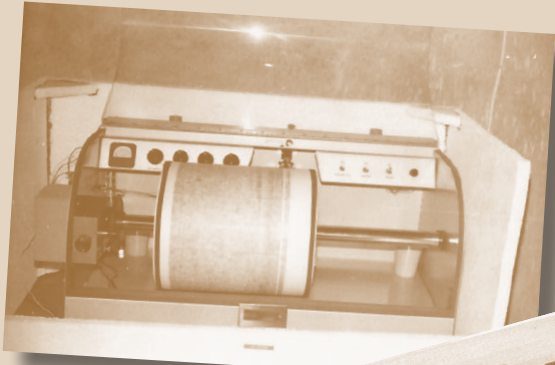
Acrónimo: WyB
Referencia: Webb, B. y Berthelot, S. (1839). Histoire Naturelle des Iles Canaries. *Paris. T. II*. 321 pp.
Terremotos: 2, 3, 6, 65, 93.

A4-2. Referencias

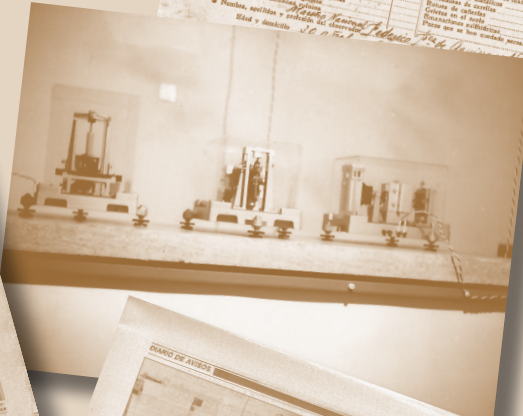
- **Alvarez Rixo, J.A. (1982).** Historia del Puerto del Arrecife: en la Isla de Lanzarote una de Las Canarias. Aula de Cultura del Excmo. Cabildo Insular de Tenerife. 250 pp.
- **Ben Sari, D. (1978).** Connaissance Geophysique du Maroc. *Thèse d'Etat, Univ. Grenoble.* 262 pp.
- **Bonelli Rubio, J.M. (1950).** Contribución al estudio de la erupción del volcán del Nambroque o San Juan (Isla de La Palma) 24 de junio-4 de agosto. *Instituto Geográfico y Catastral, Madrid, 24 pp y 10 gráficos.*
- **Bory de St.-Vincent, J.B.G.M. (1803).** Essais sur les Isles Fortunées et l'antique Atlantide, ou précis de l'histoire générale de l'archipel des Canaries. *Ed. Bauodin. Paris.* 522pp.
- **Buch, L. von (1836).** Description physique des Iles Canaries: suivie d'une indication des principaux volcans du globe / par Léopold de Buch; Traduite de l'allemand par C. Boulanger. *Levrault. Paris.* 522 pp.
- **Cabrera Sánchez, J.M. (1985).** Transcripción de "La relación diaria y verdadera de los terremotos en la isla de Tenerife, lugares de los Realejos, Villa de La Orotava y su puerto y otras vezindades". *Folletos Bosons 3131. Biblioteca Central de Cataluña.*
- **Calderón y Arana, S. (1908).** Contribución. *Real Soc. Esp. Hist. Nat. T. VIII.* 492 pp.
- **Carracedo, J.C. y Rodríguez Badiola, E. (1991).** Lanzarote. La erupción volcánica de 1730. *Excmo. Cabildo Insular de Lanzarote.* 183 pp.
- **Carracedo, J.C., Day, S., Guillou, H., y Rodríguez Badiola, E. (1996).** The 1677 Eruption of La Palma, Canary Islands. *Estudios Geológicos, 52, 103-114.*
- **Carracedo, J.C., Rodríguez Badiola, E., Pérez Torrado, F.J., Hansen, A., Rodríguez-González, A., Scaillet, S., Guillou, H., Paterno, M., Fra Paleo, U. y Paris, R. (2007).** La erupción que Cristóbal Colón vio en la isla de Tenerife (Islas Canarias). *Geogaceta 41, 39-42.*
- **Castillo, P.A. del (1848).** Descripción histórica y geográfica de las Islas Canarias. *Imprenta Isleña.* 376 pp.
- **Cazorla León, S. y Sánchez Rodríguez, J. (2003).** Los volcanes de Chimanfalla. *Ed. Ayuntamiento de Yaiza.* 121 pp.
- **Centro Sismológico Internacional. (2018).** On line Bulletin. <http://www.isc.ac.uk>
- **Cólogan Fallon, B. (C. 1798).** Noticias de algunos terremotos que se han experimentado en estas islas. *Manuscrito. Archivo Zarate-Cólogan. La Orotava.*
- **Colón, C. y de las Casas, B. (1791).** Diario de a bordo. *Fundación Libro Total, 327 pp.*
- **Cruz Jorge A.A. y Cruz y Saavedra A.J. (2012).** Catástrofes naturales, siniestralidad, accidentes y episodios luctuosos en la Villa de Agaete a través de la prensa. *Infonortedigital. Las Palmas de Gran Canaria.* 40 pp.
- **Darias Padrón, D.V. (1988).** Noticias generales históricas sobre la isla del Hierro una de las Canarias. *Excmo. Cabildo Insular de El Hierro. Imprenta Goya Artes Gráficas. Santa Cruz de Tenerife.* 289 pp.
- **Despacho Central Internacional de Sismología. Francia (2018).** Boletín en línea: <http://www.franceseisme.fr/donnees/historiques.html>
- **Espinosa A. (1594).** Del origen y milagros de la Santa Imagen de Nuestra Señora de Candelaria, que apareció en la isla de Tenerife, con la descripción de esta Isla. *En Historia de Nuestra Señora de Candelaria. Goya Ediciones 1952. Santa Cruz de Tenerife. Canarias.* 216 pp.
- **Fernández Navarro, L. (1911).** Erupción volcánica del Chinyero (Tenerife) en noviembre de 1909. *Anales de la Junta para la Ampliación de Estudios e Investigaciones Científicas. T. V, Mem. 1ª, p13.*
- **Galbis Rodríguez, J. (1932).** Catálogo Sísmico de la zona comprendida entre los meridianos 5º E. y 20º W. de Greenwich y los paralelos 45º y 25º N. Tomo I. *Instituto Geográfico y Catastral.* 807 pp.
- **Glas, G. (1764).** Descripción de las Islas Canarias 1674. *Traducción de C. Aznar de Acevedo (1982). 2ª Edición. Instituto de Estudios Canarias-Goya Ediciones. Tenerife* 175 pp.

- **Hernández-Pacheco, E. (1909).** Estudio geológico de Lanzarote y de las isletas canarias. *Tomo VI. - Memoria 4ª. R. Soc. Esp. Hist. Natural, 107-242.*
- **Humboldt, A. y Bonpland, A. (1816).** Voyage aux régions équinoxiales du Nouveau Continent fait en 1799, 1800, 1801, 1802, 1803 et 1804. *T. I. Librairie Grecque -Latine-Allemagne, Paris, 643 pp.*
- **Instituto Geográfico Nacional (2018).** Archivos de datos sísmicos procedentes de distintos observatorios.
- **Karnik, V. (1969).** Seismicity of the European Area. Part 1. *D. Reidel Publishing Co. Dordrecht. Holland. 364 pp.*
- **López Gómez, A. (1987).** Importancia decisiva del Teide en la historia de la climatología. *Ed. Arbor: Revista General de Investigación y Cultura, CXXVII, 497, 41-72.*
- **Martel San Gil, M. (1960).** El volcán de San Juan también llamado de Las Manchas y del Nambroque. *La Palma Canarias. 239 pp.*
- **Martínez de Fuentes, F. (C. 1820).** Vida literaria. Manuscritos. T. II. *Archivo de la Real Sociedad Económica de Amigos del País de Tenerife.*
- **Méndez Pérez. (1985).** Antología y semblanzas del Teide. *E. Edirca. Las Palmas de Gran Canaria. 34 pp.*
- **Mezcua Rodríguez J. y Martínez Solares, J.M. (1983).** Sismicidad del Área Iberomogrebí. *Publicación 202. Instituto Geográfico Nacional. Madrid. 300 pp.*
- **Millares Carlo, A. (1934).** El volcán de La Palma en 1646. *El Museo Canario. Año II, 2, 81-96.*
- **Monge Montuno, F. (1981).** Catalogo Sísmico preliminar del Archipiélago Canario. *Universidad Complutense de Madrid. Cátedra de Geofísica. Publicación 165. 33 pp.*
- **Morales Lezcano, V. (1965).** Relación del Pico de Tenerife, transmitida por unos estimables mercaderes y hombres dignos de crédito que subieron a la cima. *Revista de Historia Canaria. T. 30. Año 38-39. Número 149-152, 90-114.*
- **Munuera Bassols, J.M. (1974).** Acerca de la Sismicidad Iberomogrebí. *Comunicaciones 1ª Asamblea Nacional de Geodesia y Geofísica. Instituto Geográfico y Catastral. Madrid, 289-310.*
- **Núñez de la Peña, J. (1676).** Conquista y antigüedades de las islas de la gran Canaria y su descripción. *Imprenta Real. 580 pp.*
- **Núñez de la Peña, J. (C. 1705)** Relación de los horrosos terremotos y volcanes de fuego que han reventado en la isla de Tenerife. Años 1704 y 1705.
- **Observatorio del Ebro (2018).** 1910-1947 Resumen de las observaciones solares, meteorológicas y sismológicas.
- **Romero Ortiz J. y Bonelli Rubio, J.M. (1951).** La Erupción del Nambroque (junio-agosto de 1949). *Comisión Nacional de Geodesia y Geofísica. Instituto Geográfico y Catastral. 105 pp y 4 gráficos.*
- **Romero Ruiz, C. (1991).** Las manifestaciones volcánicas históricas del Archipiélago Canario. *Tomo I. Gobierno de Canarias (Consejería de Política Territorial), Tenerife. 695 pp.*
- **Romero Ruiz C. y Beltrán Yanes, E. (2015).** El impacto de las coladas de 1706 en la ciudad de Garachico. (Tenerife, Islas Canarias, España). *Investigaciones Geográficas, 63, 99-115.*
- **Rothe, J.P. (1969).** The seismicity of the Earth. 1953-1965. *UNESCO. Paris. 335 pp.*
- **Rumeu de Armas, A. y Araña, V. (1982).** Diario pormenorizado de la erupción volcánica de Lanzarote. *Anuario de Estudios atlánticos, 28, 15-61.*
- **Sánchez Navarro-Neumann, M.M. (1910).** Enumeración de los terremotos sentidos en España. *Publicaciones Bol. de la Real Soc. Esp. de Historia Natural, Madrid. Tomo XIV y XVI. Revista Ibérica T III, IV, V, VIII, X, XVI, XXVII, XXVIII, y XXXV.*
- **Sánchez Sanz, C. (2014).** Revisión del catálogo sísmico de Canarias. *Universidad Politécnica de Madrid. Proyecto fin de Carrera. ETSI Topografía, Geodesia y Cartografía. 329 pp y 2 anexos.*

- **Santiago, M. (1948).** Edición crítica y estudio bibliográfico y nota de la obra de D. Agustín del Castillo "Descripción Histórica y geográfica de las Islas Canarias". *Ed. El Gabinete literario. Vol 1 y 2, 1467-1504.*
- **Santiago, M. (1960).** Los volcanes de La Palma (Islas Canarias). *El Museo Canario. N. 75-76. 281-346.*
- **Segundo de Franqui, N. (1829).** Carta sobre la Erupción del volcán de la montaña de Venge, cerca del pico del Teyde, en la isla de Tenerife, en 9 de junio de 1798. *Anales de Historia Natural 3, 297-304.*
- **Servicio de Física del Globo, Marruecos (2018).** Datos sismológicos.
- **Servicio Geológico de los Estados Unidos (2018).** Datos sismológicos.
- **Torriani, L. (1590).** Descripción e Historia del reino de las islas Canarias. *En Descripción de las Islas Canarias de L.Torriani por A. Cioranescu (1959). Goya Ediciones. 298 pp.*
- **Viera y Clavijo, J. (1783).** Noticias de la Historia General de las Islas de Canarias. *Ediciones Goya. Santa Cruz de Tenerife. T. 1, 274-275.*
- **Webb, B. y Berthelot, S. (1839).** Histoire Naturelle des Iles Canaries. *Paris. T. II. 321 pp.*



Formulario de datos personales y efectos producidos. Incluye campos para nombre, edad, sexo, y una tabla para registrar efectos producidos.

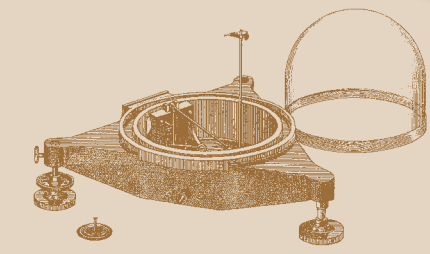


Diario de Avisos. Decano de la Prensa de Canarias. Fundado en Santa Cruz de La Palma en 1889. Artículo principal: CASI UN CENTENAR DE TERREMOTOS. Aunque solo dos fueron lo bastante intensos para perjudicar a las personas.

Diario de Avisos. Artículo: El terremoto entre su centro y las costas aminora la intensidad. Daños importantes. Incluye una imagen de un hombre leyendo un documento.

DESCRIPCION HISTORICA Y GEOGRAFICA LAS ISLAS DE CANARIAS. D. FERRANDO DE BORDON. QUE DEDICA Y CONSAGRA AL PRINCIPE NUESTRO SR. D. Pedro Agustín del Castillo, Vizcaíno, conde de Alcañices, mayor herediario de Canaria y decano perpetuo de su cabildo y regimiento.

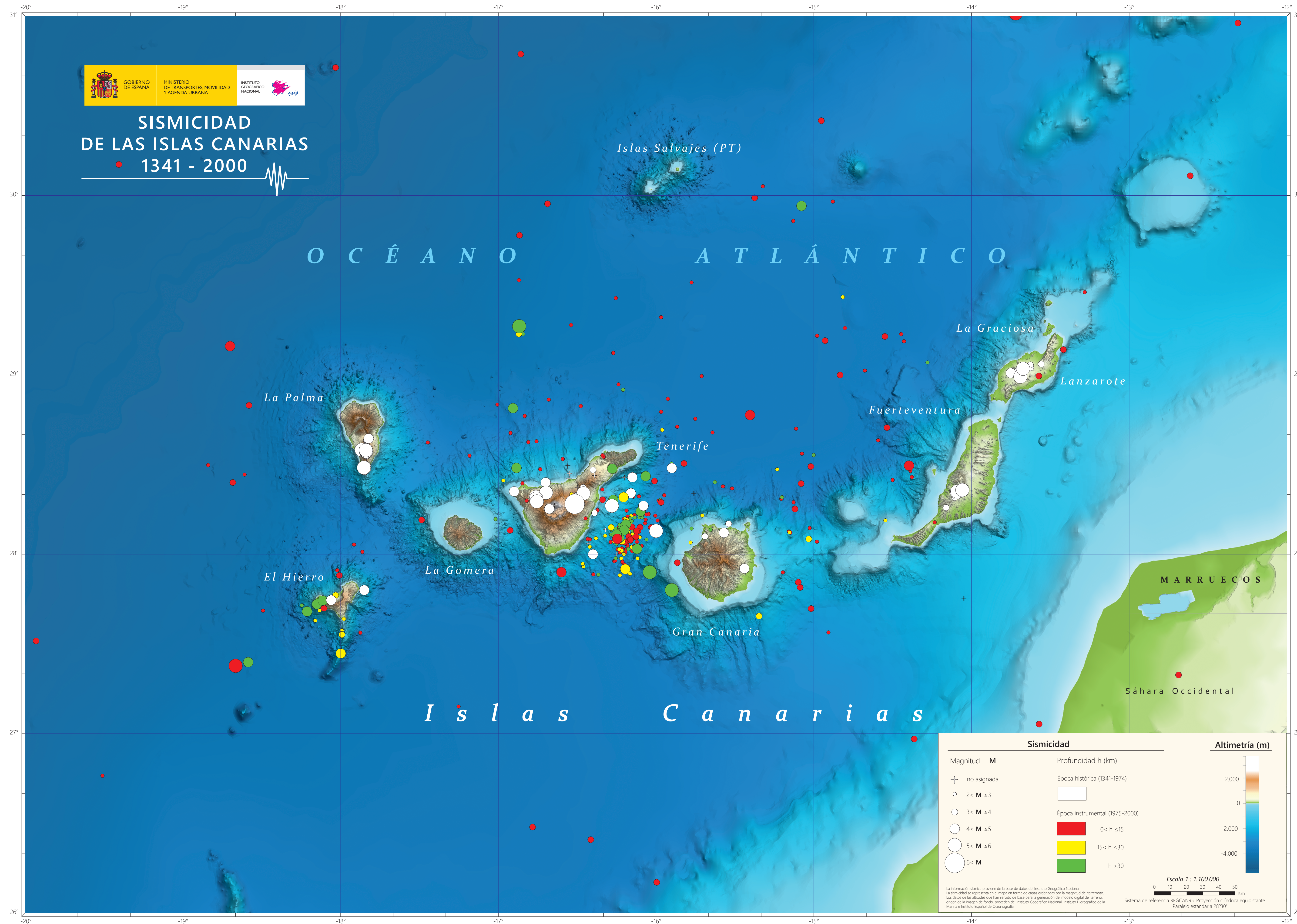
DESCRIPTION PHYSIQUE DES ILES CANARIES. PAR LÉOPOLD DE BUCH. PAR C. BOUJANGER. PARIS, F. G. LEVAILLET, LIBRAIRE ÉDITEUR, 1850.



CNIG Calle General Ibañez de Ibero, 3 28003 - Madrid (España) cnig.es - consulta@cnig.es

NOTICIAS DE LA HISTORIA GENERAL DE LAS ISLAS DE CANARIA. LA DESCRIPCION GEOGRAFICA DE TODAS Y CONTIENEN UNA IDEA DEL ORIGEN, CARACTER, USOS y costumbres de sus antiguas habitantes. POR DON JOSEPH DE VERA Y CLAVIJO, Decano de la Real Academia de la Historia y Abogado de la Real Academia de la Historia y Abogado de la Sociedad Económica de los Amigos del País de Tenerife. TOMO CUARTO. CON LAS LICENCIAS NECESARIAS.

SISMICIDAD DE LAS ISLAS CANARIAS 1341 - 2000

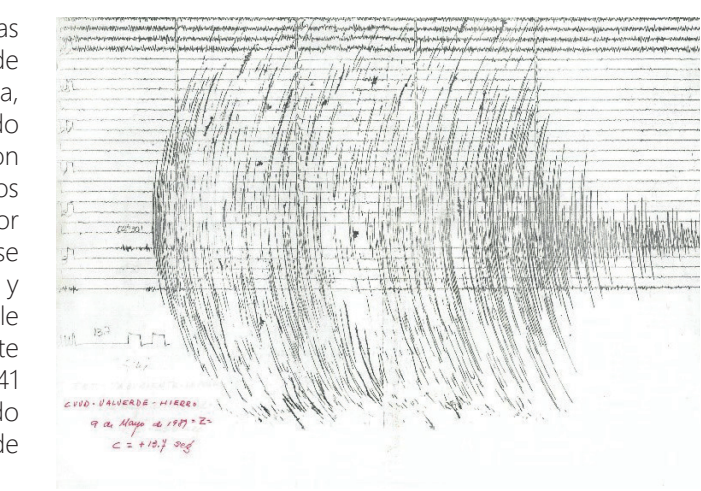


Sismicidad		Altimetría (m)
Magnitud M	Profundidad h (km)	
⊕ no asignada	Época histórica (1341-1974)	2.000
○ 2 < M ≤ 3	□	0
○ 3 < M ≤ 4	Época instrumental (1975-2000)	-2.000
○ 4 < M ≤ 5	■ 0 < h ≤ 15	-4.000
○ 5 < M ≤ 6	■ 15 < h ≤ 30	
○ 6 < M	■ h > 30	

Escala 1 : 1.100.000
 0 10 20 30 40 50 Km
 Sistema de referencia REGCAN95. Proyección cilíndrica equidistante. Paralelo estándar a 28°30'

SISMICIDAD DE LAS ISLAS CANARIAS 1341-2000

La revisión sistemática de todas las fuentes bibliográficas y hemerográficas, en las que se basa el conocimiento de la sismicidad histórica de una zona tectónico-volcánica, como es el archipiélago Canario, nos ha permitido actualizar el catálogo sísmico existente. Por una parte, con el descubrimiento de nuevos terremotos no catalogados hasta ahora, así como con la obtención de mayor información de terremotos ya conocidos, en los que se aumenta el conocimiento de sus efectos en la población y por lo tanto en la intensidad sísmica asignada. Esta doble perspectiva se ha logrado principalmente en la parte histórica del catálogo, que se extiende desde el año 1341 hasta 1975, en el que comienza definitivamente el periodo de registro instrumental, que permite el análisis a partir de los registros de las estaciones sísmicas.



Registro sísmico en la estación de Valverde-Aguarjío (El Hierro) del terremoto del 9 de mayo de 1989 a las 2:30 (UTC), de magnitud 5,2 Mb.

La metodología seguida en este trabajo, para la asignación geográfica del origen de la sismicidad en el periodo histórico, es diferente a la seguida en catálogos anteriores, pues la determinación epicentral se ha basado en la obtención previa de leyes de atenuación de la intensidad sísmica con la distancia para los dos posibles orígenes: tectónico y volcánico. Estas leyes, han permitido mediante extrapolación, la obtención de la intensidad máxima epicentral, así como una acotación más efectiva del área fuente, para cada terremoto. En relación con el periodo instrumental, se han revisado los boletines sísmicos de la época, localizando con métodos de cálculo numérico más sofisticados que los gráficos utilizados en su día, que tienen en cuenta no solo los tiempos de llegadas de las distintas fases sísmicas, sino que consideran también sus diferencias como nuevo dato para la localización. De esta manera, la relocalización obtenida permite además la obtención de los parámetros de las elipses de error asociadas a cada sismo.

Una vez finalizado el nuevo catálogo, se le ha sometido a un análisis que permite conocer las características de los distintos periodos de sismicidad observados en el transcurso del tiempo. Este estudio ha permitido descartar las variaciones observadas en la sismicidad con origen no real de aquellas debidas a posibles incrementos o decrementos de la actividad sísmica relacionadas con la actividad tectónico-volcánica, que tienen que ver con cambios en el método de localización hipocentral, cambios en la fórmula de determinación de la magnitud u otras alteraciones producidas por incrementos del número de estaciones de la Red Sísmica Nacional en Canarias a lo largo de los años o eliminación de algunas de ellas y consecuentemente los cambios en la geometría de la red.

Otro aspecto muy importante que se ha conseguido con esta revisión, es el de la asignación unificada del tamaño de cada sismo, mediante la determinación de la magnitud momento **M**. Para lograr esta única valoración se ha abordado el problema mediante distintos procedimientos. Se ha determinado con datos actuales una correlación entre el valor de la intensidad máxima epicentral y **M**, que nos ha permitido, para aquellos sismos del periodo histórico, cuyo único valor disponible es la intensidad máxima epicentral, obtener su **M**. Para el periodo instrumental, se ha buscado una interrelación entre los distintos tipos de magnitudes presentes en el catálogo, que nos han permitido, mediante el uso de las correspondientes correlaciones, el paso a **M** para todo el catálogo sísmico.

Por último se ha realizado una investigación exhaustiva del desarrollo de la instrumentación sísmica en el área de las Islas Canarias, en ese periodo, estableciéndose que el primer registro sísmico instrumental realizado en España se produjo de forma pionera en el año 1891 en este archipiélago, adelantándose 7 años a lo que se conocía hasta el momento en la historia de la instrumentación sísmica en España.

Grupo de Sismología Volcánica
Instituto Geográfico Nacional

Revisión del Catálogo Sísmico de las Islas Canarias (1341-2000)

